

Strana Riadok	Chybne	Správne
48 24	$\lceil \log_2(c^+ - c^-) \rceil$	$\lceil \log_2(c^+ - c^-) \rceil$
54 17, 18	$\min\{z_1 + 2z_2 + 4z_3 + \dots, \sum a_i x_i + y_1 + 2y_2 + \dots\}$	$\min\{z_0 + 2z_1 + 4z_2 + \dots, \sum a_i x_i + y_0 + 2y_1 + \dots\}$
83 10	$m(Q_i)$	$m(Q_i)$
123 19	$p_i^{(k)} = p_{i'}^{(k-1)}$ $p_j^{(k)} = p_{j'}^{(k-1)}$	$p_i^{(k)} := p_{i'}^{(k-1)}$ $p_j^{(k)} := p_{j'}^{(k-1)}$
197 30	$T' = T + s t_f - s t_f$	$T' := T + s t_f - s t_f$
206 24	$\hat{d}_i := d_i + E(\bar{G}) (i=1, 2)$	$\hat{d}_i := d_i + E(\bar{G}) (i=1, 2)$
259 33	$\lceil r/2 \rceil a r_i$ $\lfloor n/2 \rfloor, n$	$\lceil r/2 \rceil a r_i$ $\lfloor n/2 \rfloor, n$
36 18	Plesník, J. (1982a)	Plesník, J. (1982)
326 20	Plesník, J. (1982)	Plesník, J. (1982a)

Časť KROK 2 algoritmu na strane 118 má byť správne:

KROK 2: Pre každé $j \in \bar{S} \cap V^+(k)$ urobíme:
 $\begin{cases} Ak d_i > d_k + c_{ij}, tak (p_i, d_i) := (k, d_k + c_{ij}) a inak \\ značku nemeníme. \end{cases}$
 Ideme na krok 1. ●

Časť KROK 1 algoritmu v hornej časti strany 120 má byť správne:

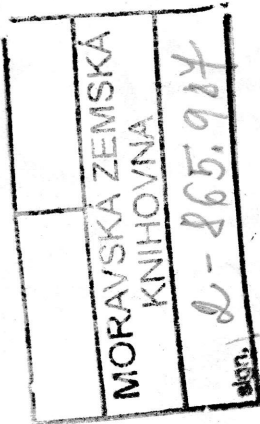
KROK 1: (k-tá iterácia): Ak $k = n - 1$, alebo ak $a_i \neq k$, pre každé $i \in V_G$, STOP.
 Inak, pre každé $i \in V_G$ také, že $a_i = k$, urobíme:
 $\begin{cases} Pre každé $j \in V^+(i)$ urobíme: \\ \begin{cases} Ak d_i > d_j + c_{ij}, tak urobíme: \\ \begin{cases} d_{ij} := d_i + c_{ij}, \\ p_{ij} := i, \\ a_i := a_i + 1, \\ k := k + 1 a ideme na krok 1. \bullet \end{cases} \end{cases} \end{cases}$

Časť 1(c) algoritmu na strane 248 má byť správne:

1(c) (prieskum vrcholu i so značkou S):
 Pre každú nepáriacu hranu ij urobíme:
 $\begin{cases} Ak vrchol j má značku S, tak podľa druhých zložiek značiek \\ nájdeme korene pre i a j. Ak majú rožne korene, tak ideme na \\ krok 2. Ak majú spoločný koreň, tak sme objavili kvet, ktorý \\ stiahneme na jediný vrchol so značkou bázy kvetu: považujeme ho \\ za nepreskúmaný a ideme na 1(b). \\ Ak vrchol j má značku T, tak ju ponecháme a ak nemá žiadnu \\ značku, tak mu dáme „T:i“. \\ Tým je vrchol i preskúmaný a ideme na 1(b). \end{cases}$



OBSAH



PREDHOVOR	9
1 ÚVOD DO TEÓRIE GRAFOV	12
1.A História a motivácia	12
1.B Rôzne druhy grafov	17
1.C Čestovanie	24
1.D Stupne vrcholov	28
1.E Niektoré špeciálne grafy a digrafy	30
1.F Ohodnotené grafové štruktúry — siete	34
1.G Zadávanie grafových štruktúr	35
1.Z Cvičenia a poznámky	38
2 ÚLOHY A ALGORITMY	40
2.A O algoritmoch	40
2.B Polynomiálne transformácie	44
2.C NP-tažké a NP-ekvivalentné úlohy	49
2.D Niektoré základné NP-tažké úlohy	54
2.E O navrhovaní a posudzovaní algoritmov	67
2.Z Cvičenia a poznámky	69
3 DOSIAHNUTEĽNOSŤ	72
3.A Prieskum grafov	72
3.B Bloky a listy	79
3.C Najmenšie doplnenie grafu na list alebo blok	86
3.D Rôzne druhy súvislostí digrafov	91
3.E Prieskum digrafov	93
3.F Najmenšie doplnenie na silne súvislý digraf	99
3.G Tranzitívny uzáver a redukcia	101
3.Z Cvičenia a poznámky	108
4 OPTIMÁLNE SLEDY	111
4.A Príklady na problém optimálnej cesty	111
4.B Vzdialenosť z jedného vrcholu do ostatných	116

4.C Vzdialenosť každého vrcholu do každého	121
4.D Najkratší sled s ohraničeniami	124
4.E Generovanie oznamu najkratších sledov	127
4.F Niektoré ďalšie optimálne sledy	131
4.Z Cvičenia a poznámky	135
5 STROMY A KOSTRY	137
5.A Kostra a nezávislé polocyky	137
5.B Najlacnejšia kostra	139
5.C Najlacnejšia kostra s predpisaným stupňom jedného vrcholu	144
5.D Kostra s minimálnym pomerom dvoch ohodnotení	150
5.E Generovanie oznamu K najlacnejších koštiel	153
5.F Najlacnejšia zdrojová kostra digrafu	157
5.G Najlacnejší steinerovsky strom	163
5.Z Cvičenia a poznámky	170
6 TOKY	173
6.A Úloha o maximálnom toku	173
6.B Polynomiale algoritmy pre maximálny tok	180
6.C Variácie úlohy o maximálnom toku	184
6.D Najlacnejší maximálny tok	192
6.E Viacproduktové toky v grafoch	201
6.F Polynomiálne transformácie úlohy lineárneho programovania na tokové	
úlohy v digrafoch	
6.Z Cvičenia a poznámky	208
	215
7 MIERY SÚVISLOSTI	219
7.A Hranová a vrcholová súvislosť	219
7.B Hranové súvislosti medzi každými dvoma vrcholmi grafu	224
7.C Maximálny počet disjunktívnych zdrojových kostier	232
7.D Najobjemnejší systém k kostier	235
7.Z Cvičenia a poznámky	238
8 PÁREŇIA	240
8.A Alternujúce cesty	240
8.B Hľadanie najpočetnejšieho párenia	243
8.C Hľadanie najcenejšieho párenia	249
8.D Faktory s predpisanymi stupňami	256
8.Z Cvičenia a poznámky	259

PREDHOVOR

Účelom predkladanej knihy je oboznačiť čitateľa so základnými grafovými algoritmami, a tak aspoň trochu prispieť k doterajšej československej literatúre v tomto smere.

V Československu má teória grafov bohatú tradíciu a existujú viaceré knižné publikácie, napr. [Sedláček (1964), (1977, 1981)], [Zelenka (1977)], [Nečas (1978)], [Nešetřil (1979)], [Bosák (1980)], [Jucovič (1981)]. V ďalších sa teória grafov aplikuje a čitateľ sa môže s grafmi oboznačiť aspoň čiastočne: [Kotzig (1961)], [Čulík, Doležal, Fiedler (1967)], [Nebeský (1969)], [Brunovský, Černý (1980)], [Fiedler (1981)] a i. (ďalšie domáce a zahraničné publikácie pozri napr. v [Bosák (1980)]). V uvedených publikáciách sa čitateľ dočíta o „čistej“ teórii grafov, ale aj o mnohých aplikáciach. Známe sú jednoduché aplikácie, kedy sa grafy používajú len ako zobrazovacie prostriedky, ale aj dômyselnnejše aplikácie, kedy sa používajú tiež aj výsledky teórie grafov. (Niektorí autori [Bondy, Murty (1976)] považujú za aplikácie len tie druhé.) V spomínaných knihách sa čitateľ dozvie, že nejakú praktickú úlohu možno sformuľovať v reči teórie grafov, bližší opis algoritmu pre riešenie grafovej úlohy sa však uvádzá len zriedka. Výnimkou je [Čulík et. al. (1967)], kde sa na princípy grafových algoritmov vyučovala. Hlavný dôraz sa kladie na princípy algoritmov a ich zdôvodnenie. Na viacerých miestach sa diskutuje aj o výpočtovej zložitosti. Kniha je písaná jednoducho, bez väčších nárokov na matematické znalosti, a preto by mala byť dostupná pomerne širokému okruhu čitateľov (matematikom, technikom, ekonómom a i.). Všetky potrebné grafové pojmy sú v knihe definované, takže

vyplníť túto medzera.

Publikácia Grafové algoritmy obsahuje viaceré (podľa mienky autora) základné algoritmy a zachytáva aj časť teórie, ktorá sa v poslednom desaťročí okolo grafových algoritmov vybudovala. Hlavný dôraz sa kladie na princípy algoritmov a ich zdôvodnenie. Na viacerých miestach sa diskutuje aj o výpočtovej zložitosti. Kniha je písaná jednoducho, bez väčších nárokov na matematické znalosti, a preto by mala byť dostupná pomerne širokému okruhu čitateľov (matematikom, technikom, ekonómom a i.). Všetky potrebné grafové pojmy sú v knihe definované, takže

v tomto smere nie je potrebné obracať sa na inú literatúru. Pravda, predbežné znalosti z teórie grafov budú rozhodne užitočné. Tu však musíme čitateľa upozorniť na to, že teória grafov nemá zatiaľ ustálenú jednotnú slovenskú, resp. českú terminológiu, a to isté možno povedať napr. o ruskej, resp. anglickej grafovej terminológii. V tejto knihe vychádzame z istého smeru v anglickej terminológii. Väčšina označení má tiež pôvod v angličtine (čo čitateľovi uľahčí štúdium anglickej literatúry). Pre viaceré pojmy bolo potrebné nájsť slovenské názvy. Preto sa na súbor používajúcich názvov treba pozerať ako na návrh slovenskej terminológie z teórie grafov, resp. grafových algoritmov. Hoci pre komunikovanie je otázka terminológie nesporné dôležitá, treba si uvedomiť, že podstatné sú samotné pojmy (ich obsah), a preto by čitateľ mal mysiť skôr v pojnoch ako v ich názvoch alebo označeniacach. Teória grafov toto umožňuje.

Čitateľ v knihe nenájde žiadne hotové algoritmy súce hned do počítača, ale len základné myšlienky a niekedy aj zhŕnutia algoritmov, na základe ktorých už čitateľ-programátor bude vedieť urobiť programy. Pravda, niektoré algoritmy si v tomto smere môžu ešte vyžiaťat mnoho práce. Na niekoľkých miestach sú uvedené aj výsledky nealgoritmickej povahy, umožňujúce lepšie pochopiť problematiku. Tomuto cieľu slúžia aj cvičenia na konci každej kapitoly. Časť z nich má ilustračný charakter a čitateľ ovládajúci základný text ich ľahko zvládne. Mnohé cvičenia sú však náročnejšie, a preto by čitateľ mal počítať aj s tým, že niektoré nebude vedieť vyriešiť. Viaceré z takýchto cvičení sú obsahom vedeckých článkov (teda nie sú triviálne) a malí by čitateľa viest' k samostatnej výskumnej práci. Pri niektorých (náročnejších) cvičeniach uvádzame stručný návod, resp. odkaz na literatúru. Na uľahčenie čítania knihy je text doplnený mnogými obrázkami. Kniha, resp. jej časti, budú užitočné aj študentom vysokých škôl.

Text je rozdeľený na 11 kapitol a každá kapitola ešte na niekoľko častí (A, B atď.). Posledná časť, ktorú označujeme vždy Z, obsahuje cvičenia a poznámky. Vnútri každej časti je samostatné čislovanie viet, obrázkov, vzorcov a pod. Pri odvolavkach vo vnútri časti píšeme napr. obr. 3, ale ak sa obrázok nachádza v inej časti, napr. v časti D kapitoly 6, tak napíšeme obr. 6.D.3. Na konci každého dôkazu je značka ■. Algoritmy (resp. zhŕnutia algoritmov) zvyčajne začinajú hlavičkou *Algoritmus* a končia

značkou ●. Všetky závažnejšie výsledky majú odkazy na literatúru dané menom autora a rokom publikovania. V zozname literatúry je potom v hranatých zátvorkách uvedená časť knihy, v ktorej sa príslušný prameň cituje. Mnohé jednoduché výsledky patria k „folkloru“, a preto tam odkazy na literatúru neuvađame. Takéto výsledky čitateľ nájde napr. v knihách citovaných v príslušnej časti. V zozname literatúry uvádzame aj niekoľko necitovaných prameňov. Zväčša ide o pramene, ktoré sú dostupné našmu čitateľovi a súvisia s grafovými algoritmami. Všetky knihy sú označené symbolom *. Hoci zoznam literatúry obsahuje okolo 300 prameňov, je to len malá časť existujúcej literatúry. Ďalšie pramene nájde čitateľ citované v uvedených článkoch, ale najmä v knihach. Pre obsiahlejšie a klasifikované zoznamy odkazujeme čitateľa na referátové časopisy: Mathematical Reviews, Referativnyj žurnal — matematika a Zentralblatt für Mathematik.

Na uľahčenie orientácie je na konci knihy register obsahujúci všetky dôležité pojmy. Väčšina označení je v súlade s ustálenou matematickou symbolikou. Prehľad najčastejšie používaných označení uvádzame na konci knihy.

Recenzenti knihy RNDr. Jiří Sedláček, CSc. a prof. RNDr. Štefan Znám, DrSc. a vedecký redaktor knihy RNDr. Juraj Bosák, DrSc. vyjadrili k rukopisu početné pripomienky, ktoré pomohli podstatne zlepšiť text pri jeho konečných úpravach. Patrí im moje podakovanie.

J. Plesník

1 ÚVOD DO TEÓRIE GRAFOV

Hlavným a najčastejším používaným pojmom pre nás bude *graf*. Najprv načrieme trochu do histórie vzniku tohto pojmu. Uvedieme niekoľko jednoduchých úloh, ktoré „zdôvodňujú“ existenciu grafových štruktur. Potom uvedieme definície základných pojmov a aj niekoľko tvrdení. Tieto tvrdenia možno nájsť v každej úvodnej knihe do teórie grafov. Napriek tomu ani pokročilejší čitateľ by kapitolu nemal preskočiť, lebo naša terminológia, žiaľ, tiež prispieva k doterajšiemu terminologickému chaosu v teórii grafov a čitateľ by si ju mal osvojiť.

1. A

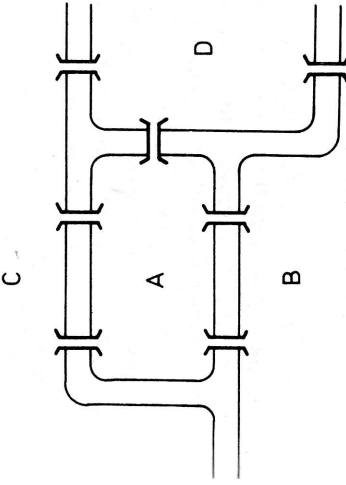
História a motivácia

Počiatky teórie grafov sú pomerne skromné. Na rozdiel od mnohých iných matematických disciplín, ktoré vznikli z významných (väčšinou fyzikálnych) problémov, pri vzniku teórie grafov často stali úlohy z rekreáciej matematiky (hlavolamy).

PROBLÉM MOSTOV

Za otca teórie grafov sa pokladá vynikajúci matematik 18. storočia L. Euler, ktorý v roku 1736 vyriešil nasledujúci problém (hlavolam): Cez mesto Königsberg (dnešný Kaliningrad) tiekla rieka Pregola, ktorá tam vytvárala dva ostrovy (obr. 1). Tým rozdeľovala meno na štyri časti, ktoré však boli pospájané siedmimi mostami. Úlohou bolo navrhnuť okružnú prechádzku po meste, pri ktorej sa prejde cez všetky mosty, ale po každom len raz.

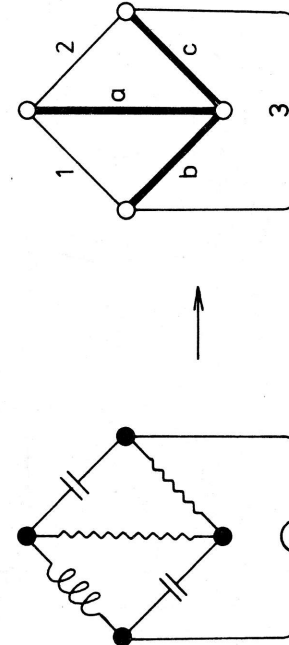
Euler (1736) vyriešil tento problém (ukázal, že takáto prechádzka neexistuje) a vytvoril aj teóriu riešiacu problém takého druhu. V jeho úvahách je implicitne obsiahnutá myšlienka zobrazenia úlohy graficky tak ako na obr. 1, kde každej časti A, B, C, D zodpovedá jeden bod a každému mostu 1, 2, ..., 7 jedna čiara. Pritom dva takéto body sú spojené toľkými čiarami, kolko je mostov medzi príslušnými časťami. Prenechávame čitateľovi sformulovať úlohu pre pravú časť obr. 1 a dokázať, že požadovaná prechádzka neexistuje. So všeobecným výsledkom Eulera sa oboznámime až neskôr.



Obr. 1. Problem 7 mostov.

ELEKTRICKÉ SIETE

Ďalší podnet, ktorý spomienem, príšiel z fyziky. Čitateľ pravdepodobne pozná Kirchhoffove zákony pre elektrické siete. Tieto umožňujú napísat k danej sieti sústavu rovníc. Takáto sústava bude však často obsahovať „zbytočné“ rovnice (lineárne závislé), keďže jeden z týchto zákonov nedáva žiadne obmedzenie na to, cez ktoré „okruhy“ máme písat rovnice, a preto ich píšeme cez všetky. Kirchhoff (1847) dokázal, že stačí uvažovať len „nezávislé okruhy“ a uviedol, ako ich treba hľadať. Na tento účel priradil k danej elektrickej sieti grafické vyjadrenie ignorujúce fyzikálmu povahu prvkov (obr. 2) a ukázal, že stačí v nom nájsť nejakú „kostru“ (hrubo vyznačená) a potom k tej kostre vždy pridať jednu zo zvyšných hrán a uvažovať vzniknutý „okruh“. Tako sa získajú „lineárne nezávislé okruhy“, a pre ne napsané rovnice budú tiež lineárne nezávislé. (Na obr. 2 dostaneme tri takéto „okruhy“: a1b, ac2, b3c.)



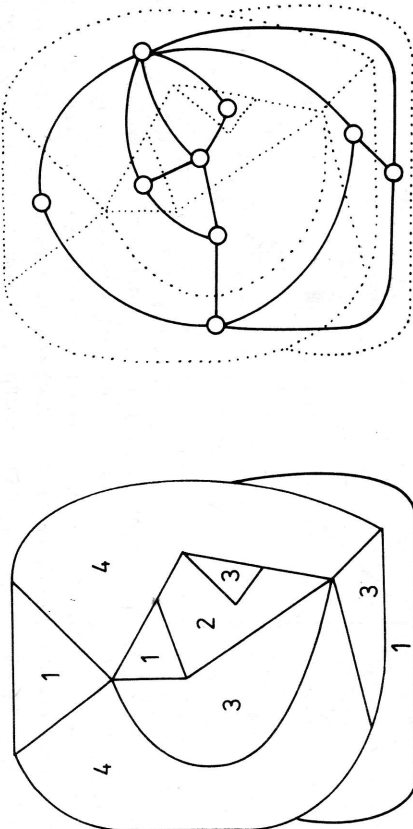
Obr. 2. Určovanie nezávislých okruhov v elektrickej sieti.

FARBENIE MÁP

Geografické (politické) mapy sa často kvôli prehľadnosti vymieňajú farbami. Aký je najmenší počet farieb, ktorý vždy stačí na zafarbenie mapy v rovine, resp. na guľovej ploche? Prv než možno na otázku odpovedať, úlohu treba upresniť. Predovšetkým pôde o také mapy, kde každý štát predstavuje súvislú oblasť. Od výskumu v teórii grafov (problematica hamiltonovských grafov). Hoci vidno analógiu s problémom mostov (Euler), predsa sú takéto úlohy o mnoho ľahšie.

K danej mape možno zostrojiť inú grafickú reprezentáciu tak, že v každom štáte zvolíme jeden bod a dva rôzne body spojíme čiarou práve vtedy, ak príslušné štáty majú spoločný úsek hranice. Tak je to urobené na obr. 3. V tejto reprezentácii sa stačí zaoberať farbením bodov: pri tom dva body spojené čiarou musia mať rôzne farby.

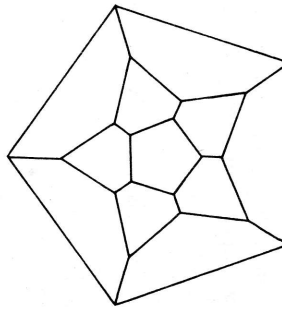
Tento problém je veľmi slávny, stimuloval veľkú časť teórie grafov a podarilo sa ho vyriešiť len nedávno (prvé oznamenie bolo [Appel, Haken (1976)]. Blížšie o dôkaze pozri napr. [Bosák (1979)], alebo v [Behzad et al. (1979)]. V našej knihe sa problém farbenia takmer nezaobereame.



Obr. 3. K farbeniu máp.

HAMILTONOVA HRA

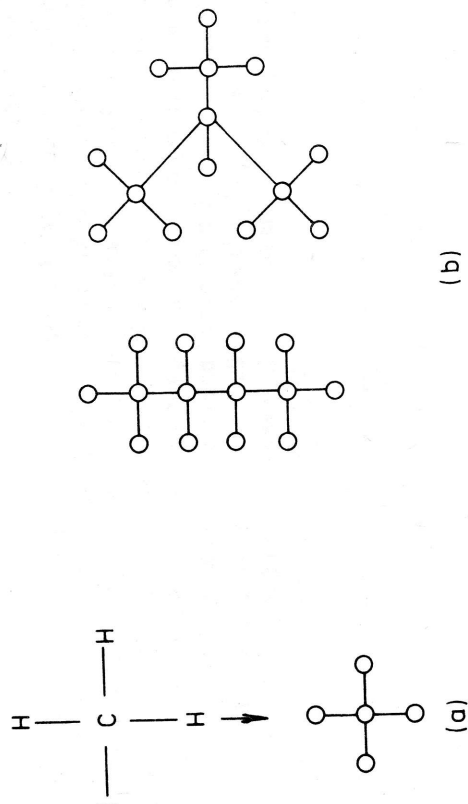
Írsky matematik R. W. Hamilton v súvislosti s objavom nekomutatívnych algebier vynášiel v r. 1859 hru na pravidelnom dvanásťstene (obr. 4). Úlohou bolo „cestovať“ z vrcholu do vrcholu po hranach tohto polyédra za predpísaných podmienok. Taktôž vzniklo niekoľko problémov. Jeden z nich bol problém nájdenia „okružnej cesty“ obsahujúcej každý vrchol práve raz. (Citateľovi odporučame jednu takú „okružnú cestu“ nájsť.) Z tejto úlohy sa zrodil jeden smer výskumu v teórii grafov (problematica hamiltonovských grafov). Hoci vidno analógiu s problémom mostov (Euler), predsa sú takéto úlohy o mnoho ľahšie.



Obr. 4. Pravidelný dvanásťstena.

CHEMICKÉ GRAFY

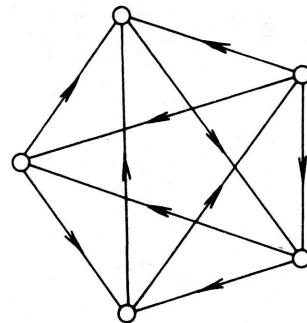
Chemické zlúčeniny sa často znázorňujú graficky. K danému „sumárному vzorec“ priradujeme tzv. „štruktúrny vzorec“. Tieto štruktúrne vzorce môžeme často zjednodušiť tak ako na obr. 5(a), kde je CH_4 (metán). Na obr. 5(b) sú dva rôzne štruktúrne vzorce pre C_nH_{2n+2} . Keďže existuje štruktúrny vzorec k danému sumárному vzorcu, je vo všeobecnosti tažká otázka a pre uhlovodíky C_nH_{2n+2} sa čiastočne základu už Cayley v r. 1874. Hoci dosiahol len čiastočný úspech, grafické zobrazovanie sa ukázalo dobrou pomocou. Práve na tomto základe Sylvester (1878) používa prvýkrát termín *graf* v dnešnom zmysle teórie grafov.



Obr. 5. Grafy chemických zlúčenín.

TURNAJE

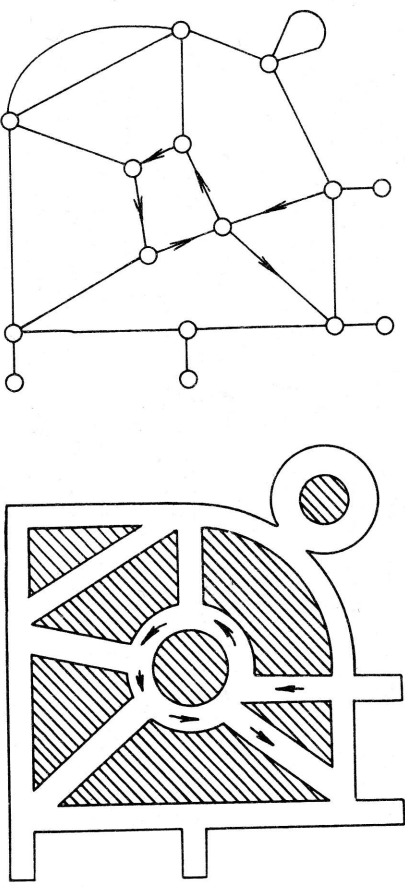
Uvažujme taký športový turnaj, kde hral každý s každým a vždy bol víťaz aj porazený (napr. volejbalový turnaj). Graficky možno výsledok turnaja zobrazit napr. tak ako na obr. 6 pre 5 účastníkov turnaja. (Šipka smeruje od víťaza k porazenému.) Pomocou takýchto grafických reprezentácií možno potom zaviesť rôzne (netradičné) kritériá na celkové umiestnenie účastníkov turnaja. Tiež možno získať rôzne zaujímavosti. Jedna z nich, ktorú ukázal Rédei (1934), je takéto: Po skončení takéhoto turnaja vždy možno n účastníkov usporiadaj do postupnosti a_1, a_2, \dots, a_n , tak, že a_1 zvíťazil nad a_2 , a_2 zvíťazil nad a_3 atď., až a_{n-1} nad a_n .



Obr. 6. Turnaj.

CESTNÁ SIEŤ

Podobnými obrázkami možno zobrazovať aj časti cestnej siete (obr. 7). Tu vyznačíme križovatky, rázcestia, konce slepých uličiek a iné dôležité miesta, ktoré potom spájame čiarami reprezentujúcimi komunikácie, príom šipka na čiare označuje jednosmernú komunikáciu. Takéto zobrazovanie je veľmi jednoduché a možno predpokladať, že vzniklo už v počiatkoch mapovania. Pre viaceré úlohy nám stačí uvážovať len grafické vyjadrenie. Neskoršie sa stretneme s viacerymi praktickými úlohami z cestnej siete (najst najkratšiu cestu a pod.).



Obr. 7. Zobrazenie cestnej siete.

PRVÁ KNIHA Z TEÓRIE GRAFOV

Definitívny vznik teórie grafov sa viaže na rok 1936, kedy maďarský matematik D. König publikoval prvú monografiu z teórie grafov. Odvtedy sa táto disciplína začína prudko rozvíjať jednak z praktických podnetov a jednak z vnuťorných potrieb teórie.

„Starovek“ teórie grafov, t.j. od Eulera až po Königovo knihu, je veľmi pekne opísaný v knihe [Biggs, Lloyd a Wilson (1976)].

1. B Rôzne druhy grafov

V predchádzajúcej časti sme ilustrovali vznik istých obrázkov z praktických úloh. Všetky tieto obrázky majú viaceré spoločné vlastnosti: obsahujú konečné množiny významných bodov (zakreslené ako krúžky), ktoré budeme nazývať

vrcholy a konečnú množinu čiar spájajúcich niektoré vrcholy : tieto čiary budeme nazývať *hrany*. (Tieto pojmy sú prevzaté z geometrie polyédrov.) Takéto štruktúry budeme nazývať *grafy*, resp. slovo *graf* dostane ešte istú predponu.

Náš obrázky sa však lišia aj v niektorých detailoch : niektoré dvojice vrcholov sú spojené aj dvoma, resp. viacerými hránami (tzw. *rovnobežné hrany*), niekde je vrchol spojený sám so sebou (príslušná hrana je tzv. *slučka*), niektoré hrany sú bez šípok (tzw. *rebrá*) a niektoré majú šípku (tzw. *šípy*).

Zatiaľ nie dosť presné pojmy si najprv objasníme na obrázkovej klasifikácii grafových štruktúr a potom uvedieme definíciu abstraktných „grafov“.

ZÁKLADNÁ KLASIFIKÁCIA

Niektoře štruktúry sa vyskytujú pomerne zriedkavo, a preto si slovo „graf“ nechávame na najčastejšiu situáciu. Obr. 1 ukazuje základnú klasifikáciu. Naj-všeobecnejšou grafovou štruktúrou bude pre nás *pseudomigraf*, z ktorého obmedzeniami získame rôzne menšie triedy. Dôležitú úlohu tu hrá pojem násobnej hrany. Rovnobežné hrany sa nazývajú *násobné*, ak sú bud všetky rebrá, alebo sú všetky šípy a majú ten istý začiatok aj ten istý koniec. Na obr. 2 sú rôzne druhy hrán.

Graf neobsahuje šípy, slučky a násobné hrany. *Multigraf* neobsahuje šípy a slučky. *Pseudograf* neobsahuje šípy.

Digraf (z anglického digraph = directed graph) neobsahuje rebrá, slučky a násobné hrany (nesúhlasne rovnobežné šípy, tzv. *protisípy*, môže obsahovať).

Multidigraf neobsahuje rebrá a slučky. *Pseudodigraf* neobsahuje rebrá.

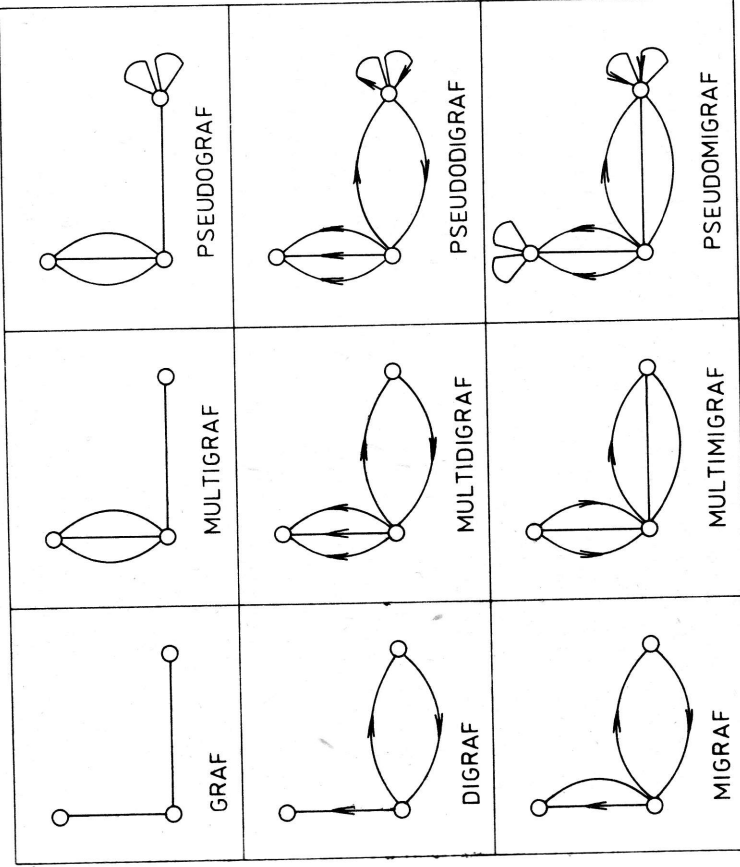
Migraf (z anglického mixed graph) neobsahuje slučky a násobné hrany. *Multimigraf* neobsahuje slučky. *Pseudomigraf* môže mať všetky vyššie zakazované hrany.

ABSTRAKTNÉ GRAFOVÉ ŠTRUKTÚRY

Teraz vyslovime presné definície doteraz zavedených pojmov. Nech zápis (a, b) označuje usporiadanú dvojicu prvkov, zatiaľ čo $[a, b]$ je neusporiadaná dvojica prvkov. Taktto $[a, b] = [b, a]$. V oboch zápisoch môže byť aj $a = b$. Ak A a B sú množiny, tak píšeme $A \circ B = \{[a, b] | a \in A, b \in B\}$ a $A \times B = \{(a, b) | a \in A, b \in B\}$.

Pseudomigraf (alebo *grafová štruktúra*) je usporiadaná trojica (V, E, φ) , kde V je konečná neprázdna množina, E je konečná množina s $E \cap V = \emptyset$ a φ je zobrazenie: $E \rightarrow (V \circ V) \cup (V \times V)$. Prvky z V nazývame *vrcholy* a prvky z E *hrany*. (Symboly V a E zodpovedajú anglickým slovám *vertex* — vrchol a *edge* — hrana.)

Uvedieme príklad. Nech $V = \{1, 2, 3\}$, $E = \{a, b, c, d, e\}$ a nech $\varphi(a) = [1, 2]$,



Obr. 1. Základné druhy grafových štruktúr.

REBRA:



ŠÍPY:



SLUČKY:

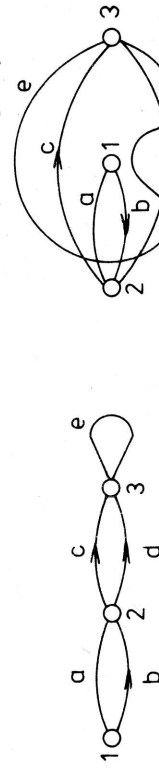


NÁSOBNÉ



Obr. 2. Klasifikácia hrán.

$\varphi(b) = (1, 2)$, $\varphi(c) = \varphi(d) = (2, 3)$ a $\varphi(e) = [3, 3]$. Tento pseudomograf možno zobraziť tzv. diagramom tak ako na obr. 3, kde sú dva jeho diagramy.



Obr. 3. Dva diagramy toho istého pseudomografu.

DIAGRAMY

Vo všeobecnosti (abstraktný) pseudomograf G často reprezentujeme graficky a príslušný obrazok D nazývame *diagram* v rovine (na guľovej ploche, na anuloide, v 3-roznomernom priestore a pod.), ak spĺňa nasledujúce podmienky:

(i) každému vrcholu x_G v G zodpovedá bod x_D v D (kvôli prehľadnosti zakreslený ako kružok, štvorček a pod.), pritom $x_D \neq y_D$, ak $x_G \neq y_G$;

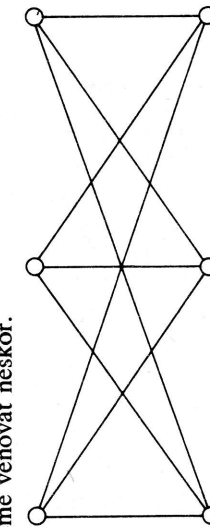
(ii) každej hrane e_G v G zodpovedá čiara e_D v D , pri tom $e_D \neq f_D$, ak $e_G \neq f_G$;

(iii) ak $\varphi(e_G) = [x_G, y_G]$ alebo (x_G, y_G) , tak e_D spája body x_D, y_D a ak $\varphi(e_G) = (x_G, y_G)$, tak naviac e_D je označená šípkou smerujúcou z x_D do y_D ;

(iv) každá čiara je jednoznačne identifikovateľná. (Z toho vyplýva, že čiara e_D spájajúca x_D a y_D neobsahuje žiadnený bod priadený vrcholu a že dve rôzne čiary môžu iba konečne mnoho spoločných bodov. Z toho potom vyplýva, že sa môžeme obmedziť na diagramy, kde čiara sama seba nepretína a dve rôzne čiary majú najviac dva spoločné body a ak zodpovedajú nerovnobéžným hranám, tak nanajvyš jeden spoločný bod.) Taktôž z dvoch diagramov na obr. 3 uprednostníme ľavý diagram pred pravým.

Spoločný vnútorný bod dvoch rôznych čiar nazývame *priesčnikom*. Zvyčajne uprednostňujeme diagramy s malým (nejlepšie nulovým) počtom priesčnikov.

Hovoríme, že pseudomograf je *planárny*, ak existuje taký jeho diagram v rovine, ktorý nemá priesčníky, tzv. *rovinny diagram*. Žiaľ, nie vždy je to možné. Napr. graf, ktorého diagram je na obr. 4, nemá taký diagram (overte!). Planárnym grafom sa budeme venovať neskôr.



Obr. 4. Neplanárny graf.

Často namiesto diagramu grafu (digrafu atď.) hovoríme len o grafе (digrafe atď.). Tak to robíme vždy, keď nemôže dôjsť k nedozrozumieniu (pozri obr. 1 a 4).

Takisto na diagramoch často vyniechaťame označenia vrcholov a hrán.

Diagramy sú veľmi užitočné (väčšina pojmov a tvrdení v teórii grafov vznikla pozorovaním diagramov).

ĎALŠIE POJMY

Teraz upresníme niektoré intuitívne zavedené pojmy. Hrana $e \in E$ sa nazýva *rebro*, ak $\varphi(e) \in V \circ V$, a šíp, ak $\varphi(e) = [u, u]$, tak e sa nazýva *slučkové rebro* a ak $\varphi(e) = (u, u)$, potom slučkový *šíp*; spoločný názov je *slučka*. Hrane, ktorá nie je slučkou, hovoríme *neslučka*. Namiesto rebra niekedy hovoríme *neorientovaná hrana* a šíp je potom *orientovaná hrana*. Vrcholy a hrany majú spoločný názov – *prvky pseudomigrafa*.

Nech $\varphi(e) = [u, v]$ alebo (u, v) . Potom u a v sa nazývajú *krajné vrcholy* hrany e . Tiež hovoríme, že hrana e *spája* vrcholy u a v . Ďalej u a e (a takisto v a e) sa nazývajú *incidentné prvky*. Hovoríme, že u je *okolitý vrchol* pre v a ak $u \neq v$, potom u a v sa nazývajú *susedné vrcholy*. Podobne dve rôzne hrany incidentné s tým istým vrcholom sa nazývajú *susedné*. Ak e je šíp, tak používame aj nasledujúce upresnenia. Vrchol u je *začiatok* a v *koniec* hrany e ; hrana e *odchádza* z u a *prichádza* do v ; e je *orientovaná z u do v* ; v je *následovník* vrcholu u a u je *predchodec* vrcholu v .

Ak pseudomograf $G = (A, B, \gamma)$ nebude zadaný takouto trojicou explicitne, ale inak, potom často píšeme: $A = V_G$ (alebo aj $V(G)$), $B = E_G$ (aj $E(G)$) a $\gamma = \varphi_G$; ak bude zrejmé o aké G ide, tak budeme písat len V, E a φ .

Pre pseudomograf G a jeho vrchol v označujeme: $V_G^*(v)$ je množina všetkých predchodcov vrcholu v alebo *prihádzajúce vrcholové okolie*; $V_G^t(v)$ je množina všetkých nasledovníkov vrcholu v alebo *odchádzajúce vrcholové okolie*; $V_G(v)$ je množina všetkých okolitých vrcholov vrcholu v , stručne len *vrcholové okolie vrcholu v* . Množinu $V_G^0(v) = \{u \in V_G \mid \text{existuje rebro spájajúce } u \text{ a } v\}$, nazývame *neutrálné vrcholové okolie vrcholu v* . Podobne $E_G^-(v)$, resp. $E_G^+(v)$ označujú množiny všetkých šípov prichádzajúcich do v , resp. odchádzajúcich z v ; $E_G^0(v)$ označuje množinu všetkých rebier incidentných s v a $E_G(v)$ množinu všetkých hrán incidentných s vrcholom v . Príslušné názvy sú *prihádzajúce šípové, odchádzajúce šípové, rebrové* a *hranové okolie vrcholu v* .

Dve alebo viaceré hrany e_1, e_2, \dots, e_k sa nazývajú *rovnobežné (parallelné)*, ak každá z nich má tie isté kraje a *násobné*, ak $\varphi(e_1) = \varphi(e_2) = \dots = \varphi(e_k)$.

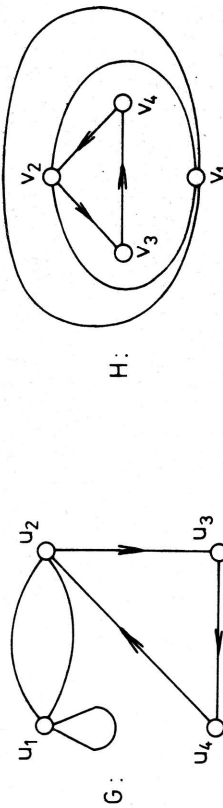
Nech $G = (V, E, \varphi)$ je pseudomograf a $P_G = (V \circ V) \cup (V \times V)$. Pre dané $y \in P_G$ číslo $|\{e \in E \mid \varphi(e) = y\}|$ nazývame *násobnosťou dvojice y* (a niekedy tiež *násobnosťou hrany $f \in E$, ak $\varphi(f) = y$*). Teraz už môžeme presne definovať rôzne druhy

grafových štruktúr (grafy, digrafy atď.). Keďže definície zostávajú nezmenené, potom to nebudeme znova robiť.

Nech G je pseudomograf. Ak v G každé rebro *zorientujeme*, t. j. nahradíme šípom s tým istými krajmi, potom získaný pseudodigraf sa nazýva *orientácia pseudomografu* G . Na druhej strane, ak v G každý šíp *dezorientujeme*, t. j. nahradíme rebrom s tým istými krajmi, získaný pseudografiat sa nazýva *dezorientácia pseudomografu* G .

IZOMORFIZMUS A PODGRAFY

Hovoríme, že dva pseudomografi G a H sú *izomorfné*, ak existuje bijekcia, tzv. *izomorfizmus* $f: V_G \rightarrow V_H$, zachovávajúca násobnosť dvojíc (*t. j. násobnosť dvojice* $y \in P_G$ musí byť tá istá ako násobnosť dvojice $f(y) \in P_H$). Volne povedané G a H sú rovnaké, okrem označenia vrcholov a hrán. (Pozri obr. 5.) Izomorfizmus f sa nazýva *automorfizmus*, ak $H = G$.



Obr. 5. G a H sú izomorfné ($f(u_i) = v_i$).

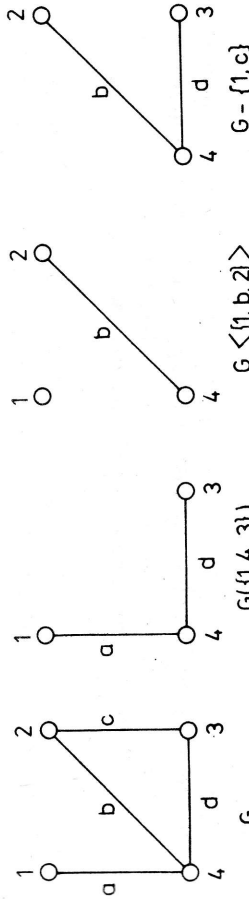
Nech H a G sú pseudomografi. Hovoríme, že H je *podgrafov pseudomografu* G (pišeme $H \subseteq G$), ak $V_H \subseteq V_G$, $E_H \subseteq E_G$ a φ_H je zúženie zobrazenia φ_G na množinu E_H . Hovoríme, že H je *vlastný podgraf*, ak $H \subseteq G$ a $H \neq G$, a pišeme $H \subset G$.

Hovoríme, že H je *podgraf indukovaný množinou* (resp. na množine) *vrcholov* $S \subseteq V_G$, ak $H \subseteq G$, $V_H = S$ a H je maximálny s týmito vlastnosťami (t. j. pre každé $F \subseteq G$, kde $V_F = S$ platí $F \subseteq H$). Potom pišeme $H = G(S)$.

Ak $S \subseteq V \cup E$, potom $G(S)$ označuje tzv. obal množiny S , alebo *hranovo-indukovaný podgraf na* S , čo je minimálny podgraf pseudomografu $G(S)$ už neobsahujujúci S (t. j. žiadny vlastný podgraf pseudomografu $G(S)$ už neobsahuje S). H sa nazýva faktor pseudomografu G , ak $H \subseteq G$ a $V_H = V_G$.

Ak $S \subseteq V_G \cup E_G$, tak $G - S$ označuje maximálny podgraf neobsahujúci S . Hovoríme, že $G_1, G_2 \subseteq G$ sú (vrcholovo) *disjunktné*, ak $V(G_1) \cap V(G_2) = \emptyset$ a *hranovo disjunktné*, ak $E(G_1) \cap E(G_2) = \emptyset$.

Rôzne typy podgrafov sú ilustrované na obr. 6.



Obr. 6. Indukovaný podgraf, obal a vynechanie prvkov grafu.

TERMINOLOGICKÉ POZNÁMKY

Z matematického hľadiska by bolo správnejšie používať termín „graf“ pre pseudomograf. Tak je to napr. v knihe [Bosák (1980)]. Potom sa používajú rôzne prívlastky pre špeciálne „grafy“. Veľká časť teórie je však urobená len pre grafy a digrafy a tiež väčšina praktických úloh vyzaduje len takéto modely. Z tohto aspektu je potom výhodné používať predloženú terminológiu. Naša terminológia je blízka terminológii z kníh [Harary (1969)], [Sedláček (1977, 1981)] a [Behzad, Chartrand, Lesniak-Foster (1979)].

Pri definícii grafov sme využili prípad $V_G = \emptyset$. V takomto zriedkavom prípade budeme hovoriť o *prázdom grafe*.

Podobne, ak pripustíme, aby $V_G \cup E_G$ bola nekoniecna množina, potom G dostane privlastok „*nekoniecny*“. Nekoniecnym grafom sa prakticky neverujeme.

V celej knihe budú mať niektoré písmená stály význam. Tak napr. kladieme počet vrcholov $n(G) = |V(G)|$ a počet hrán $m(G) = |E(G)|$ (stručne len n a m).

Pretotež graf nemá rovnobežné hrany, môžeme hrano e , keď $\varphi(e) = [u, v]$, stotožniť s touto dvojicou a jednoducho hovoriť o hrane $[u, v]$, čo ešte zjednodušíme a pišeme len uv . Analogicky v digrafe budeme hovoriť o hranci (u, v) , resp. uv . Takéto zjednodušenie používame aj v pseudomografoch: napr. namiesto „existuje hrana e taká, že $\varphi(e) = [u, v]$ alebo (u, v) “ píšeme „existuje rebro alebo šíp uv “, alebo len „existuje hrana uv “.

Naša terminológia má aj nevýhody. Jedna z nich je tá, že slovo „graf“ je niekedy vhodné použiť aj v širšom význame. Napr. *teória grafov*, *grafové algoritmy*, *podgraf*, *úlohy na grafoch* a pod. Avšak z kontextu čitateľ hľadá zistí zamyšľaný význam.

1. C Cestovanie

Medzi najdôležitejšie pojmy v teórii grafov patria pojmy „cestovateľské“, keďže sa o ne opiera veľmi mnoho výsledkov a metód. Ak vrcholy považujeme za križovatky a hrany za komunikácie, budeme cestovať tak, že každú záčiatu komunikáciu prejdeme vždy až do konca.

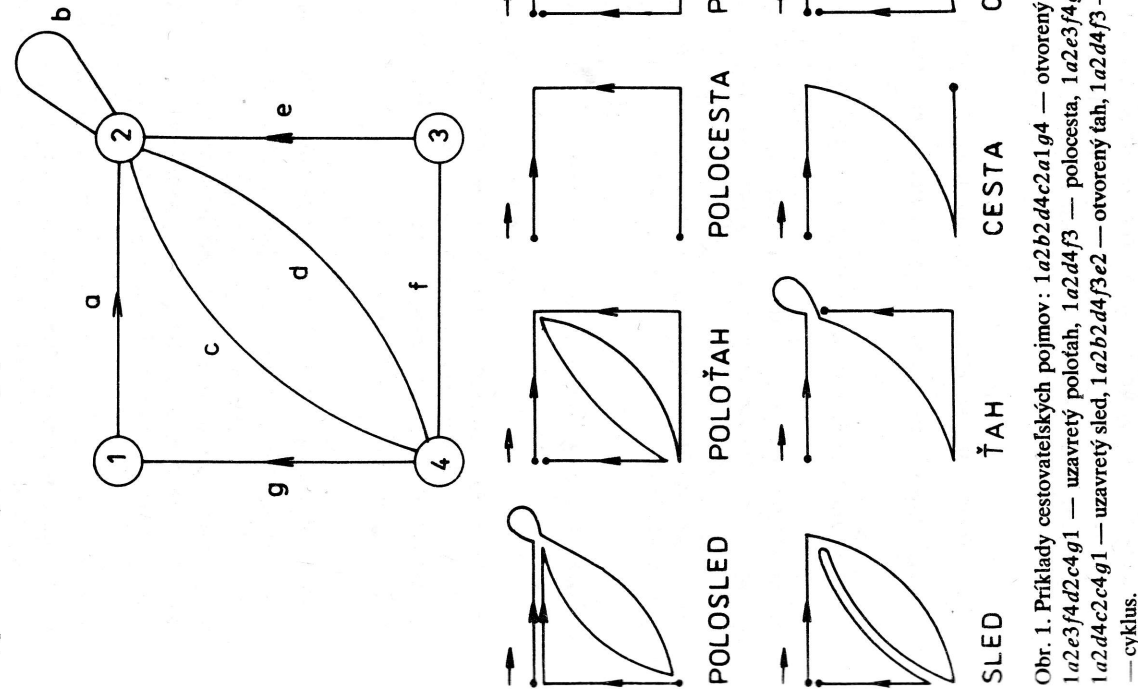
RÔZNE SPÔSOBY CESTOVANIA

V ďalšom uvažujeme ľubovoľný pseudomgraf G . Podľa toho, či pri cestovaní rešpektujeme šípky alebo nie, resp. či dovolíme opakované prechádzanie prvkami, rozlišujeme niekoľko pojmov.

Polesed v G je alternujúca postupnosť $S = v_0e_1v_1e_2 \dots e_pv_p$ ($p \geq 0$) vrcholov $v_0, \dots, v_p \in V_G$ a hrán $e_1, \dots, e_p \in E_G$, kde pre každé $i = 1, \dots, p$, v_{i-1} a v_i sú kraje hrany e_i . Hovoríme, že polesed S začína vo v_0 a končí vo v_p . Tieto vrcholy sú jeho *kraje*. Číslo p je jeho *dĺžka*. Stručne taktoj polesedi nazývame $v_0 - v_p$ *polesed*. Tie hrany polesedu S , ktoré sú orientované v smere polesedu (od v_0 ku v_p) alebo sú neorientované, nazývame *súhlasné hrany*, v opačnom prípade *nesúhlasné hrany polesedu*. Pokial výslovne nevedieme inak, všetky slučkové šípy v polesede považujeme za súhlasné. *Obrátený polesed* k polesedu S je polesed $S^{-1} = v_p e_p \dots v_1 e_1 v_0$. Ak je ešte daný $v_p - v_q$ polesed $T = v_p e_{p+1} \dots e_q v_q$, tak *zreťazenie poleseda S a T* (v tomto poradí) je polesed $ST = v_0 e_1 \dots e_p v_p e_{p+1} \dots e_q v_q$. Úsek polesedu S je Ŀubovoľná podpostupnosť po sebe idúcich prvkov z S , ktorá je tiež polesedom. Napr. $v_i - v_j$ úsek polesedu S je polesed $v_i e_{i+1} v_{i+1}, \dots, e_j v_j$. Úsek polesedu S rôzny od S je *vlastný úsek*. Polesed S sa nazýva *uzavretý*, ak $v_0 = v_p$, a *otvorený*, ak $v_0 \neq v_p$. Polesed S sa nazýva *trivialný*, ak $p = 0$, inak *netrivialný*. Polesed, ktorý má len orientované (resp. neorientované) hrany, nazýva sa *orientovaný* (resp. *neorientovaný*).

Polesed S sa nazýva *poloťah*, ak sú hrany e_1, e_2, \dots, e_p navzájom rôzne ($e_i \neq e_j$ pre $i \neq j$). Ak sú vrcholy v_0, v_1, \dots, v_p navzájom rôzne, potom S sa nazýva *polocesta*. Poloťah môže byť uzavretý aj otvorený, ale netrivialná polocesta len otvorená. Namiesto „uzavretej polocesty“ máme *polocyklus*: uzavretý netrivialný poloťah, ktorého každý vlastný úsek je polocestou.

Doteraz sme cestovali bez respektovania šípok (mohli sme ísť aj proti šípke). Ak dovolíme ísť po orientovanej hrane len v smere šípky, dostávame ďalšie pojmy. **Sled** je taký polesed $S = v_0 e_1 v_1 \dots e_p v_p$, kde pre každé $i = 1, 2, \dots, p$ je alebo $\varphi_G(e_i) = [v_{i-1}, v_i]$ alebo $\varphi_G(e_i) = (v_{i-1}, v_i)$. Podobne máme: *tah* (cesta, cyklus) je poloťah (polocesta, polocyklus), ktorý je sledom. Prikády zavedených pojmov sú



na obr. 1. Poznamenanajme, že pre pseudografy sú pojmy polesed a sled rovnocenné; preto tam vystačíme s pojmi sled, tah, cesta a cyklus.

Obr. 1. Prikády cestovateľských pojmov: 1a2b2d4c2a1g4 — otvorený polosled dĺžky 6, 1a2e3f4d2c4g1 — uzavretý polotah, 1a2a4f3 — polocesta, 1a23f4g1 — polocyklus, 1a2d4c2a4g1 — uzavretý sled, 1a2b2d4f3e2 — otvorený tah, 1a2d4f3 — cesta, 1a2d4g1 — cyklus.

Ak S je polocyklus dĺžky p , tak obal $G\langle S \rangle$ (myslime tým obal prvkov polocyklu S) tiež nazveme *polocyklus*, prípadne *p-polocyklus* (niekedy aj *p-wholinik*). Ak S je cyklus dĺžky p , tak $G\langle S \rangle$ sa tiež nazvá *cyklus*, prípadne *p-cyklus*. (V oboch prípadoch vždy bude z kontextu zrejmé, čo máme na mysli. Ak nie, tak na tom nebude záležať.) Analogicky, ak S je polocesta (resp. cesta), tak $G\langle S \rangle$ sa nazýva tiež *polocesta* (resp. *cesta*).

Poznamenajme, že niekedy polosledy zapisujeme aj stručnejšie (ak nevníkame viacnačnosť, resp. ak na tom nezáleží). Napr. namiesto celej postupnosti vypisujeme len postupnosť vrcholov alebo len postupnosť hrán. Napr. prvý 1—4 polosled z obr. 1 zapíšeme takto: 1224214, resp. takto: abdcag.

Polosled vo všeobecnosti nepredstavuje „ekonomicke“ cestovanie, platí však:

Veta 1. Z každého $u-v$ polosledu S v pseudomigrafe možno vybrať $u-v$ polosledu. Nech $S = w_0e_1w_1e_2 \dots e_pw_p$, kde $w_0 = u$, $w_p = v$. Ak vrcholy w_0, w_1, \dots, w_p sú vzájomne rôzne, tak S je polocestou. Nech $w_i = w_j$ pre nejaké $i < j$. Potom postupnosť $w_0e_1w_1 \dots e_pw_{j+1}w_{j+1} \dots w_p$ je $w_0 - w_p$ polosled kratší ako S . Získaný polosled je alebo polocestou, alebo ho môžeme opäť skrátiť. Taktô po konečnom počte skrátení získame $u-v$ polosledu.

DÔKAZ. Nech $S = w_0e_1w_1e_2 \dots e_pw_p$, $p > 0$, $w_0 = w_p$. Ak S nie je polocyklus, tak existujú i, j , $i < j$, tak, že $w_i = w_j$ a $(i, j) \neq (0, p)$. Potom S hranovo rozložime do dvoch polosledov: $S_1 = w_0e_1w_1 \dots w_{i-1}e_{i+1}w_{i+1} \dots w_p$ a $S_2 = w_ie_iw_{i+1} \dots e_pw_p$, ktoré sú uzavreté a netriválne. Práve jeden z nich má nepárnú dĺžku, a teda môžeme oň horu uvažovať ako o S . Po konečnom počte takýchto rozkladov získame požadovaný polocyklus.

Poznamenajme, že polosled párnnej dĺžky nemusí obsahovať polocyklus. (Uvážte polosled $w_0e_1w_1e_1w_0$.)

Veta 2. V pseudomigrafe možno z uzavretého polosledu S nepárnej dĺžky vybrať polocyklus nepárnnej dĺžky.

DÔKAZ. Nech $S = w_0e_1w_1e_2 \dots e_pw_p$, $p > 0$, $w_0 = w_p$. Ak S nie je polocyklus, tak existujú i, j , $i < j$, tak, že $w_i = w_j$ a $(i, j) \neq (0, p)$. Potom S hranovo rozložime do dvoch polosledov: $S_1 = w_0e_1w_1 \dots w_{j-1}e_{j+1}w_{j+1} \dots w_n$ a $S_2 = w_je_jw_{j+1} \dots e_pw_p$, ktoré sú uzavreté a netriválne. Práve jeden z nich má nepárnú dĺžku, a teda môžeme oň horu uvažovať ako o S . Po konečnom počte takýchto rozkladov získame požadovaný polocyklus.

Poznamenajme, že polosled párnnej dĺžky nemusí obsahovať cyklus. (Uvážte polosled $w_0e_1w_1e_1w_0$.)

Veta 3. V pseudodigrafe možno z uzavretého sledu nenulovej dĺžky vybrať cyklus.

DÔKAZ je podobný predchádzajúcemu a ponechávame ho čitateľovi. ■

SÚVISLOST A KOMPONENTY

Nech G je pseudomigraf. Hovorime, že vrcholy u a v súvisia, ak v G existuje $u-v$ polocesta. Ak každé dva vrcholy súvisia, tak G sa nazýva súvislý. Zrejme binárna relácia „súvisiel“ je ekvivalencia na $V(G)$: ak V_1, V_2, \dots, V_c sú príslušné

triedy ekvivalencie, tak $G(V_1), G(V_2), \dots, G(V_c)$ sú všetky maximálne súvislé podgrafy v G a nazývame ich komponenty (súvislosti). Pri kreslení diagramu často kreslíme komponenty oddelené (kvôli prehľadnosti). Ak G má jediný komponent, tak sa nazýva súvislý, inak nesúvislý.

Veta 4. Ak pseudomigraf G s n vrcholmi a m hranami je súvislý, potom $n \geq m - 1$; naviac, ak neobsahuje polocyklus, tak $m = n - 1$.

DÔKAZ. Nech F je minimálny súvislý faktor pseudomigrafa G . Zrejme F nemá polocyklus (inak by sme z neho mohli vyniechať hranu bez porušenia súvislosti, čo by bol spôsob minimalitu F). Teraz stačí dokázať, že F má $n - 1$ hrán. Pre $n - 1$ je to zrejmé. Ak $n > 1$, tak vyniechaním lubovoľnej hran z F získame dva komponenty F_1, F_2 , z ktorých každý je súvislý a bez polocyklov. Preto podľa indukčného predpokladu platí $m(F_1) = n(F_1) - 1$ a $m(F_2) = n(F_2) - 1$. Keďže $m(F) = 1 + m(F_1) + m(F_2) = n(F_1) + n(F_2) - 1 = n(F) - 1$, veta je dokázaná. ■

Pseudomigraf, ktorý je súvislý a bez polocyklov, nazýva sa strom. Faktor pseudomigrafa, ktorý je stromom, nazýva sa kostra tohto pseudomigrafa. V predchádzajúcicom dôkaze F je kostrou. Tam sme ukázali, že strom má $n - 1$ hrán. Čitateľ by si mal všimnať význam minimálnych (resp. maximálnych) pseudomigrafov určitých vlastností, ktoré často uľahčujú dôkazy. Stromom, resp. kostrám budeme venovať jednu kapitolu.

VZDIALENOSTI

Ak v pseudomigrafe G existuje $u-v$ cesta, hovoríme, že vrchol v je dosiahnutelný z u . Potom symbolom $d_G(u, v)$ (stručne len $d(u, v)$) označíme dĺžku najkratšej $u-v$ cesty a nazveme ju *vzdialenosťou* z vrcholu u do v , resp. vzdialenosť vrcholu v od u . Ak žiadna $u-v$ cesta neexistuje, kladieme $d(u, v) = \infty$. Ak $A, B \subseteq V(G)$, definujeme ich vzdialenosť $d_G(A, B) = \min \{d(u, v) | u \in A, v \in B\}$. Na základe pojmu vzdialenosť definujeme ďalšie pojmy. Pre vrchol $u \in V(G)$ máme:

odchádzajúca excentricita
prichádzajúca excentricita

$$\text{ex}^+(u) = \max_{v \in V(G)} d_G(u, v),$$

$$\text{ex}^-(u) = \max_{v \in V(G)} d_G(v, u),$$

$$\begin{aligned} \text{ex}_G(u) &= \max \{ \text{ex}^+(u), \text{ex}^-(u) \}. \end{aligned}$$

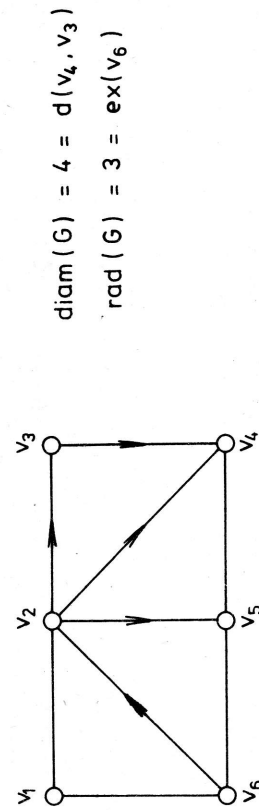
Diameter (alebo *priemer*) pseudomigrafu G je

$$\text{diam}(G) = \max_{u \in V(G)} \text{ex}_G(u).$$

Rádius (alebo *polomer*)

$$\text{rad}(G) = \min_{u \in V(G)} \text{ex}_G(u).$$

Tieto metrické pojmy sú ilustrované na obr. 2.



Obr. 2. Vzdelenosť, excentricita, diameter a rádius.

Veta 5. Pre lubovoľný pseudomigraf G platí: $\text{rad}(G) \leq \text{diam}(G) \leq 2 \text{ rad}(G)$.

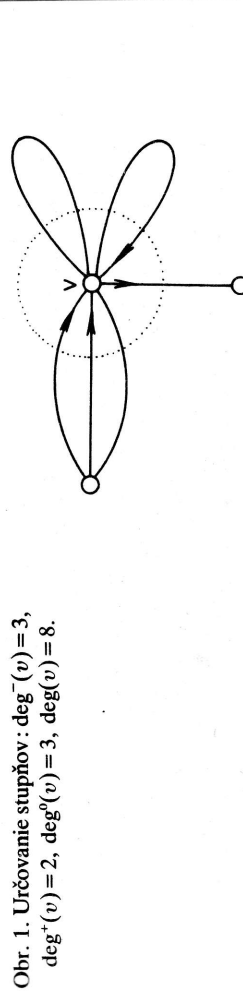
DOKAZ. Prvá nerovnosť je zrejmá z definície. Uvažujme lubovoľné dva vrcholy $a, b \in V(G)$. Nech c je tzv. *centrálny vrchol*, t. j. $\text{ex}(c) = \text{rad}(G)$. Zretezaním $a-c$ cesty dĺžky $d(a, c) \leq \text{rad}(G)$ a $c-b$ cesty dĺžky $d(c, b) \leq \text{rad}(G)$, získame $a-b$ sled dĺžky nanajvýš $2 \text{ rad}(G)$. Taktôž $d(a, b) \leq 2 \text{ rad}(G)$, a teda aj $\text{diam}(G) \leq 2 \text{ rad}(G)$. ■

1. D Stupeň vrcholov

Stupeň vrcholov udávajú počty hrán, ktoré sú s nimi incidentné. Presnejšie, pre vrchol v pseudomigrafu G definujeme niekoľko druhov stupňov. (Označenie zodpovedá anglickému *degree* — stupeň.) *Prichádzajúci stupeň* $\deg^-(v)$ je počet šípov odchádzajúcich z v . *Rebrový stupeň* $\deg^e(v)$ je počet reber incidentných s v , pričom slučkové rebrá počítame dvakrát. *Konečné stupeň* (alebo *celkový stupeň*)

$$\deg_G(v) = \deg^-(v) + \deg^e(v) + \deg^0(v).$$

Obr. 1 ilustruje určovanie stupňov (bodkovaná kružnica je pomôckou). ■



Ak $\deg(v) = 0$, tak v sa nazýva *nulový vrchol*. Graf, ktorý má len nulové vrcholy, nazýva sa *nulový graf*.

Nech G je pseudomigraf a $v \in V_G$. Ak $\deg^-(v) = 0$ a $\deg^e(v) > 0$, potom v sa nazýva *prameň*: ak $\deg^-(v) > 0$ a $\deg^e(v) = 0$, tak v sa nazýva *ústie*. Ak $\deg^-(v) = \deg^e(v)$, tak v sa nazýva *rovnovážny vrchol*. Hovoríme, že G je *rovnovážny alebo rovnovážne orientovaný*, ak má len rovnovážne vrcholy.

Pseudomigraf sa nazýva *pravidelný stupňa k* (*k-pravidelný*), ak každý jeho vrchol má stupeň k . Špeciálne pre $k = 1, 2$ alebo 3 hovoríme, že pseudomigraf je *lineárny, kvadratický alebo kubický*.

Nasledujúce výsledky patria medzi prvé v teórii grafov vôbec [Euler (1736)]:

Veta 1. V lubovoľnom pseudomigrafe G platí: $\sum_{v \in V_G} \deg(v) = 2m(G)$.

DOKAZ. V súčte stupňov je každý kraj neslučký započítaný práve raz, a teda každá hrana práve dvakrát. ■

Dôsledok 1(a). V lubovoľnom pseudomigrafe je počet vrcholov nepárnego stupňa párnym.

DOKAZ. Nech A označuje množinu všetkých vrcholov nepárnego stupňa a nech $B = V(G) - A$. Potom podľa vety 1

$$\sum_{v \in A} \deg(v) + \sum_{v \in B} \deg(v) = 2m.$$

Pretože druhá suma je vždy párné číslo, v prvej musí byť párný počet sčítancov. ■

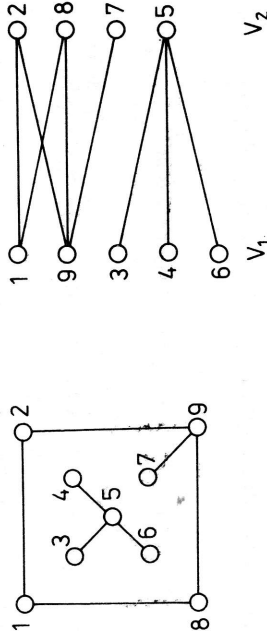
Dôsledok 1(b). Pravidelný pseudomigraf nepárnego stupňa má párný počet vrcholov.

DOKAZ. Ihned z dôsledku 1(a). ■

1. E Niektoře špeciálne grafy a digrafy

Podľa našej dohody každý graf, digraf atď. má aspoň jeden vrchol (inak hovoríme o prázdnom grafe). Graf alebo digraf sa nazýva *trivialný*, ak má jediný vrchol (a teda žiadnu hranu). **Komplementný graf** K_n je graf, ktorý má n vrcholov a pritom každé dva rôzne vrcholy sú susedné. Takoto K_n má $\frac{1}{2}n(n-1)$ hrán. Ak graf G má n vrcholov, tak ho možno pokladať za faktor grafu K_n (uvážovaného na grafom G). Potom graf $K_n - E_G$ označíme symbolom \tilde{G} a nazývame *komplement* (alebo *komplementárny graf*) grafu G . Špeciálne \tilde{K}_n je tzv. *nulový graf* (nená žiadne hrany). **Kompletný digraf** je digraf, v ktorom pre každé dva rozne vrcholy u a v existuje šíp uv aj šíp vu .

Nech je dané číslo $k \geq 2$. Graf sa nazýva *k-partitný*, ak jeho vrcholovú množinu možno rozložiť na k neprázdných podmnožín (tzv. *partíi* alebo časti) V_1, V_2, \dots, V_k tak, že ak $uv \in E(G)$, kde $u \in V_i, v \in V_j$, tak $i \neq j$ (teda žiadne dva vrcholy z tej istej partie nie sú spojené hranou). 2-partitný graf sa obvykle nazýva *bipartitný alebo páryny graf*. Uplne rovnako sa definuje *k-partitný multimograf*. (Na obr. 1 sú dva diagramy tohto bipartitného grafu. V pravom diagrame je už urobený požadovaný rozklad.)



Obr. 1. Dva diagramy bipartitného grafu.

Zistíť, či je daný graf k -partitný, je ľahké (súvisí to so zafarbením grafu, o ktorom budeme neskôr diskutovať). Avšak pre $k = 2$ je to celkom ľahká úloha, ako vidime z nasledujúceho dôkazu.

Veta 1 [König (1936)]. Netrivialný graf G je bipartitný $\Leftrightarrow G$ neobsahuje cyklus nepárnej dĺžky.

DÔKAZ. (\Rightarrow) Nech $C = v_0v_1 \dots v_s$ je cyklus grafu G , kde $v_0 = v_s$. Nech $v_0 \in V_1$. Potom $v_1 \in V_1, v_2 \in V_2, \dots, v_s \in V_2$, a teda $s = m(C)$ je párne číslo.

(\Leftarrow) Nech G neobsahuje cyklus nepárnej dĺžky. Zrejmé stačí dokázať, že každý netrivialný komponent grafu G je bipartitný. Preto predpokladajme, že G je súvislý. Zvolme lubovoľne $v_0 \in V(G)$ a definujme rozklad množiny $V(G)$ takto:

$$\begin{aligned} V_1 &= \{v \in V(G) \mid \text{existuje } v_0 - v \text{ sled nepárnej dĺžky}\}, \\ V_2 &= \{v \in V(G) \mid \text{existuje } v_0 - v \text{ sled párnej dĺžky}\}. \end{aligned}$$

Dokážme, že V_1, V_2 sú dobre definované. Ak by existoval $v_0 - v$ sled S_1 nepárnej dĺžky aj $v_0 - v$ sled S_2 párnej dĺžky, tak $S_1 S_2^{-1}$ je uzavretý sled nepárnej dĺžky, z ktorejho možno podľa vety 1.C.2 vybrať cyklus nepárnej dĺžky, čo je spor s predpokladom. Ešte ukážeme, že V_1, V_2 sú požadované partie v bipartitnom grafie. Nech $uw \in E(G)$. Ak by $u \in w$ patriili do toho istého V_i , potom existujú $v_0 - u$ cesta P a $v_0 - w$ cesta Q s rovnakou paritou dĺžok. Potom však $P \cup Q^{-1}$ je uzavretý sled nepárnej dĺžky $m(P) + 1 + m(Q)$, čo je opäť spor s predpokladom. ■

ACYKLICKÉ DIGRAFY

V grafe bez cyklov je každý komponent stromom, a preto sa takto graf nazýva *les*. Analogický pojem v digrafoch je tzv. *acyklický digraf*, t. j. digraf bez cyklov. K acycklickému digrafom sa ďalej vrátim. Tu uvedieme len nasledujúce základné pozorovania.

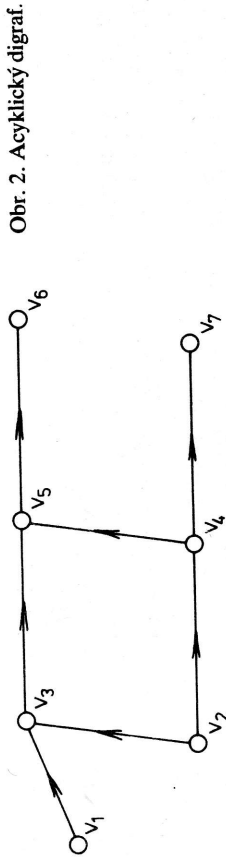
Lema 2(a). Ak G je acycklický digraf, potom každý jeho netrivialný komponent má prameň až ústie.

DÔKAZ. Začiatok hubovoľnej maximálnej cesty v takom komponente je prameňom a jej koniec je ústím. ■

Veta 2. Digraf G je acycklický \Leftrightarrow vrcholy vo V_G možno usporiadať do postupnosti v_1, v_2, \dots, v_n tak, že platí: $v_i v_j \in E_G \Rightarrow i < j$.

DÔKAZ. (\Rightarrow) Tvrdenie je zrejmé pre $n = 1$. Ak $n \geq 2$, potom podľa lemy 2(a) existuje vrchol (označíme ho) v_n , ktorý je nulový alebo je ústím. Indukčný predpoklad zaručuje postupnosť v_1, v_2, \dots, v_{n-1} vrcholov digrafa $G - v_n$ spĺňajúcu tvrdenie vety. Potom postupnosť v_1, v_2, \dots, v_n nám zrejme vyhovuje.
(\Leftarrow) Táto časť je zrejmá. ■

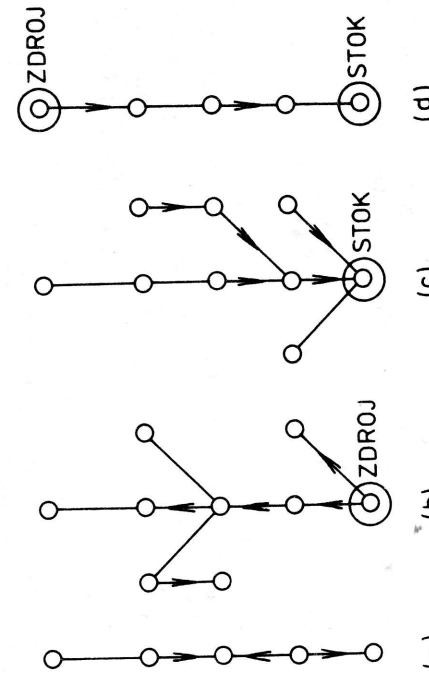
Príklad acycklického digrafa s vrcholmi označenými v súlade s vetou 2 je na obr. 2.



Obr. 2. Acyklický digraf.

STROMY

Súvislý migraf bez polocyklov sa nazýva **strom**. Stromy patria medzi najendochšie migrafy a vieme ich dobre charakterizovať. Na obr. 3 sú príklady stromov. Často však stačí stromy študovať v grafoch.



Obr. 3. Strom: (a) bez zdroja a stoku, (b) zdrojový, (c) stokový, (d) so zdrojom aj stokom.

Veta 3. Pre lubovoľný graf G sú nasledujúce tvrdenia ekvivalentné:

- (1) G je strom.
- (2) Pre každé 2 vrcholy x, y v G existuje jediná $x-y$ cesta.
- (3) G je súvislý a $m = n - 1$.
- (4) G je bez cyklov a $m = n - 1$.

DOKAZ. (1) \Rightarrow (2) Strom je súvislý, a preto pre každé dva vrcholy x, y existuje nejaká $x-y$ cesta P . Ak by existovala ešte $x-y$ cesta $Q \neq P$, potom uzavretý sled PQ^{-1} by obsahoval cyklus, čo je nemožné.

(2) \Rightarrow (3) Po odstránení lubovoľnej hrany e bude mať graf $G - e$ práve dva komponenty. Každý z nich bude strom, a preto tvrdenie vyplýva indukciou podľa počtu vrcholov.

(3) \Rightarrow (4) Zrejmé G má faktor $F \subseteq G$, ktorý je súvislý a bez cyklov, teda stromom. Preto $m(F) = n - 1$ a keďže aj $m(G) = n - 1$, tak $F = G$, a teda G nemá cykly.

(4) \Rightarrow (1) Každý komponent G_i grafu G je strom, a preto $m(G_i) = n(G_i) - 1$, čo v súčte pre k komponentov dáva: $m(G) = n(G) - k$. Preto musí byť $k = 1$, a teda G je súvislý graf. ■

Dôsledok 3(a). Každý netriviálny strom má aspoň dva koncové vrcholy (t. j. vrcholy stupňa 1).

DOKAZ. Inak má aspoň n hrán (podľa vety 1.D.1), čo protirečí vete 3. ■

Ak uvažujeme orientáciu šípov, zavádzame ďalšie pojmy. Vrchol pseudomigráfu, z ktorého je každý vrchol dosiahnuteľný, nazýva sa **zdroj**. Duálny pojem je **stok** — vrchol dosiahnuteľný z každého vrcholu. Strom, ktorý má zdroj (resp. stok), sa nazýva **zdrojový** (stokový); pozri obr. 3. Tieto pojmy majú prevažne význam len v digrafoch. Ak každá hrana stromu je orientovaná (resp. neorientovaná), strom sa nazýva **orientovaný** (neorientovaný).

Veta 4. Nech G je digraf a $v \in V(G)$. Potom nasledujúce tvrdenia sú ekvivalentné:

- (1) G je strom so zdrojom v .
- (2) Pre každý vrchol u existuje v G jediný $v-u$ sled.

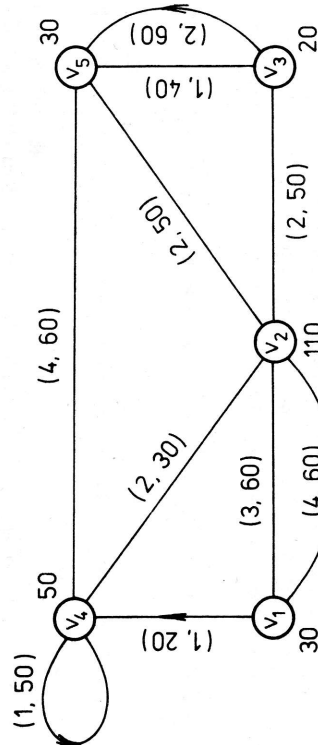
- (3) Vrchol v je zdroj v G , $\deg^-(v) = 0$ a pre každé $u \neq v$ je $\deg^-(u) = 1$.
- (4) Vrchol v je zdroj v G , ale vynechaním lubovoľnej hrany sa táto vlastnosť poruší.
- (5) G je súvislý, $\deg^-(v) = 0$ a pre každý iný vrchol u je $\deg^-(u) = 1$.

DOKAZ. Prenechávame čitateľovi overiť platnosť implikácií (1) \Rightarrow (2) \Rightarrow (3) \Rightarrow (4) \Rightarrow (5) \Rightarrow (1). ■

1. F Ohodnotené grafové štruktúry — siete

V aplikáciach teórie grafov sa často vyskytujú grafy sprevádzané ďalšou informáciou, ktorá nám opisuje realitu dokonalejšie ako samotný graf. Tako sa možno dívať aj na digrafe. Podstatnejšie zváčšenie informácie prináša pridanie číselných údajov na hrany, resp. vrcholy.

Ak každý vrchol v pseudomigrafu G má priadenú p -ticu reálnych čísel a každá hrana e má priadenú q -ticu reálnych čísel, kde $p+q \geq 1$, potom hovoríme, že pseudomigraf G je **ohodnotený**. Inak sa G nazýva **neohodnotený pseudomigraf**.



Obr. 1. Ohodnotený pseudomigraf.

V konkrétnych situáciach ohodnotenia vrcholov a hrán nazývame rôzne: napr. **dĺžka hrany, priorita hrany alebo vrcholu a pod.** Na obr. 1 je príklad ohodnoteného pseudomigrafu G , kde $V(G) = \{v_1, v_2, v_3, v_4, v_5\}$. Tu G predstavuje cestnú sieť; vrcholy sú križovatky, hrany sú ulice. Každý vrchol v_i je ohodnotený jedným číslom $r(v_i)$, ktoré značí priemerný čas čakania na križovatke v_i . Každá hrana e má dve čísla: prvé je $s(e)$, ktoré vyjadruje dĺžku ulice e a druhé je $r(e)$ a označuje maximálnu povolenú rýchlosť na ulici e . (Napr. $r(v_4) = 50$, $s(v_3, v_5) = 1$ a $r(v_3, v_5) = 60$.)

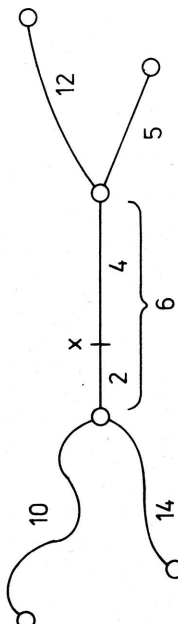
V pseudomigrafe sučet dĺžok jeho hrán (dĺžka hrany sa započítava tolikrát, kolkokrát sa hrana v polosede vyskytuje). Týmto zovšeobecňujeme pojem dĺžky polosedu pre neohodnotené pseudomigrafy, kde je vlastne dĺžka každej hrany rovná 1. Formálne úplne rovnako ako v časti 1.C sa definujú pojmy **vzdialenosť**, **centrum**, **eccentricita**, **diameter** a i. Tako na obr. 1 je vzdialenosť $d(v_4, v_1) = 5$ a $d(v_1, v_4) = 1$.

Ohodnotené pseudomigrafy sa často nazývajú **siete**. Niekedy sa stretávame aj s prívlastkami (napr. dopravná alebo transportná sieť). My však nebudeme slovo „sieť“ používať v tomto zmysle.

BODY NA HRANÁCH

V niektorých modeloch, kde sa vyskytuju ohodnotenia hrán, ktoré možno interpretovať ako dĺžky ulíc a pod., je výhodné neuvažovať graf ako abstraktívnu štruktúru, ale skôr jeho diagram, pričom budú dôležité aj tie body na hránach, ktoré sú vrcholmi. Tako každá hrana je reprezentovaná krivkou zodpovedajúcej dĺžky. Potom má význam hovoriť o vzdialnosti ľubovoľných dvoch bodov x, y grafu (presnejšie diagramu). Ak sa body x alebo y nachádzajú mimo vrcholu, prehlásime ho za vrchol (stupňa 2) a problem **vzdialenosť bodov x, y** sa redukuje na problem vzdialenosť vrcholov x, y v novom grafe.

Napr. pre komunikačnú sieť z obr. 2 s vyznačenými dĺžkami hrán je bod x „absolútne centrom“, t. j. na ňom sa minimalizuje eccentricita bodov. Je zrejmé, že vo všeobecnosti možno takto uvažovať aj o pseudomigrafoch.



Obr. 2. Absolútne centrum komunikačnej siete.

1. G Zadávanie grafových štruktúr

Doteraz sme zadávali grafové štruktúry pomocou diagramov. Ľudia totiž uprednostňujú obrázky. Avšak tento spôsob zatiaľ nie je vhodný pre počítače. Z tohto dôvodu tu uvedieme niekoľko spôsobov pre zadávanie grafových štruktúr. Základom opäť budú grafy, resp. digrafy.

SUSEDSKÉ MATICE

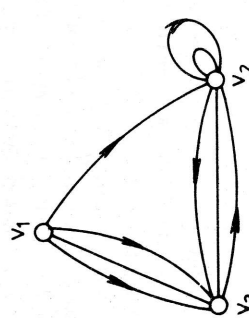
Susedská matice $A(G)$ grafu G s vrcholmi v_1, v_2, \dots, v_n je štvorcová matica typu (n, n) , ktorej prvok $a_{ij} = 0$, ak $v_i v_j \notin E_G$, $A(G)$ je zrejme symetrická.

Ak G je pseudograaf, potom kladieme $a_{ij} = |\varphi_G^{-1}([v_i, v_j])|$.

Analogicky definujeme susedskú maticu digrafa alebo aj pseudodigrafa G :
 $a_{ij} = |\varphi_G^{\text{r-l}}((v_i, v_j))|$.

Ak je daný pseudomigraf G , hranovo ho rozložíme na faktory G_1 , G_2 , pričom G_1 obsahuje len neorientované a G_2 len orientované hrany. Potom definujeme $A(G) = A(G_1) + A(G_2)$ (pozri obr. 1). Matica $A(G)$ však potom už neurčuje G jednoznačne na rozdiel od $A(G_1)$ a $A(G_2)$.

Ak by sme chceli zapísat ohodnotenie hrán, tak by sme potrebovali ďalšiu maticu. Tento spôsob sa málo používa.



v_1	v_2	v_3	$A(G_1)$	$A(G_2)$
0	0	1	0 1 2	0 1 3
0	1	1	0 1 1	0 2 2
1	1	0	0 1 0	1 2 0

Obr. 1. Susedské matice.

Veta 1. Nech G je pseudomigraf, nech $A = A(G)$ a nech $a_{ij}^{(k)}$ označuje prvok matice A^k na mieste (i, j) . Potom v G sa počet $v_i - v_j$ sledov dĺžky k rovná $a_{ij}^{(k)}$ ($k = 0, 1, 2, \dots$).

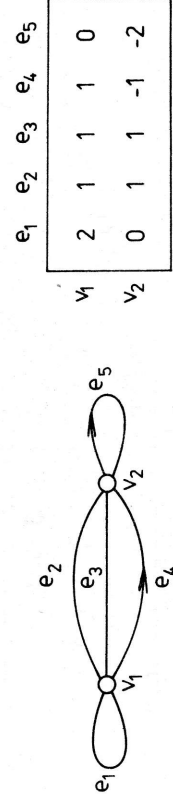
DÔKAZ. Pre $k=0$ je A^k jednotková matica a $A^0 = A$. V oboch prípadoch je tvrdenie zrejmé. Kedže

$$a_{ij}^{(k)} = \sum_{s=1}^n a_{is}^{(k-1)} a_{sj}^{(1)},$$

tak tvrdenie vyplýva z použitia indukcie. ■

INCIDENČNÉ MATICE

Iný spôsob je zadat G pomocou tzv. *incidenčnej matice* $B(G)$, ktorá má $n(G)$ riadkov (zodpovedajúcich vrcholom) a $m(G)$ stĺpov (hranami). Ak G je pseudomigraf, tak prvok b_{ij} incidenčnej matice $B(G)$ kladime rovny 1, ak hrana e_j je neorientovaná neslučka a inciduje s v_i , alebo ak e_j je orientovaná neslučka odchádzajúca z v_i ; $b_{ij} = -1$ ak e_j je orientovaná a prichádza do v_i ; $b_{ij} = 2$ ak e_j je neorientovaná slučka a $b_{ij} = -2$ ak e_j je orientovaná slučka pri v_i ; v ostatných prípadoch je $b_{ij} = 0$. Na obr. 2 je priklad.



Obr. 2. Incidenčná matice.

Incidenčná matice má v každom stĺpci nanajvýš dva nenulové prvky a súčet absolútnych hodnôt týchto prvkov je 2. Takáto matice má však **nm** prvkov, a preto sa zriedka používa.

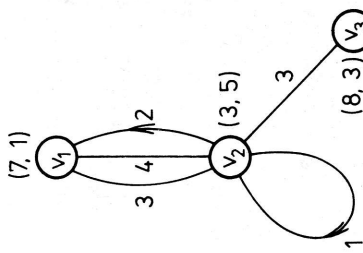
ZOZNAMY HRÁN

Úspomnejší spôsob zadávania je pomocou *zoznamov hrán*. Hrany pseudomigrifu rozdelíme na dve skupiny: rebrá a šípy. Potom napišeme zoznam vrcholov, zoznam rebier (ako dvojice vrcholov) a zoznam šípov (usporiadane dvojice vrcholov). Ak je pseudomigraf ohodnotený, tak tu možno jednoducho pripisať aj ohodnotenia, ako ilustruje priklad na obr. 3.

Tento zápis je veľmi úsporný oproti predchádzajúcim, lebo mnogé úlohy z praxe vedú na grafové modely s pomerne malým počtom hrán.

ZOZNAMY OKOLITÝCH VRCHOLOV

Podobný a ešte častejší spôsob zadávania pseudomigrafov je pomocou *okoli*. Pre každý vrchol v sa napišu najprv jeho ohodnotenia, potom vrcholy z neutrálneho okolia $V^0(v)$, pričom za každým $w \in V^0(v)$ napišeme ohodnotenia rebra vw a konečne vrcholy z odchádzajúceho okolia $V^+(v)$, pričom za každým $w \in V^+(v)$ napišeme ohodnotenia šípa vw . Poznamenajme, že okolia $V^-(v)$ už sú týmto určené a netreba ich zadávať. Zrejme namiesto okolia $V^+(v)$ možno dať len okolia $V^-(v)$. Na obr. 3 je uvedený príklad.



Obr. 3. Zoznamy hrán a zoznamy okolitých vrcholov.

POZNÁMKY

Čitateľovi by malo byť zrejmé, ako previesť jedny dátá na iné (napr. ako zo susedskej maticy vytvoriť zoznam hrán a pod.).

Existuje mnoho ďalších spôsobov, ktoré sa hodia najmä na špeciálne grafové štruktúry (napr. stromy). Vhodné zakódovaná informácia často uľahčuje spracovanie a vedie k efektívnejším algoritmom. Čitateľovi odporúčame knihu [Aho, Hopcroft a Ullman (1974)].

1. Z Cvičenia a poznámky

1. Dokážte, že každý turnaj (pozri 1.A) má tzv. hamiltonovskú cestu (t. j. cestu obsahujúcu všetky vrcholy) [Rédei (1934)].

2. (a) Dokážte vetu 1.C.3.

(b) Dokážte, že ak uzavretý polosled S obsahuje hranu e nepárny počet ráz, tak $Z \setminus S$ možno vybrať polocyklus obsahujúci e .

3. Hovoríme, že postupnosť nezáporných celých čísel d_1, \dots, d_n sa realizuje pseudografiom, ak existuje pseudografi so stupňami vrcholov d_1, \dots, d_n . Dokážte:

(a) Postupnosť d_1, \dots, d_n sa realizuje pseudografiom $\Leftrightarrow d_1 + \dots + d_n$ je párné číslo.

(b) Postupnosť $d_1 \geq d_2 \geq \dots \geq d_n$ sa realizuje multigrafiom $\Leftrightarrow d_1 + \dots + d_n$ je párné číslo a $d_2 + \dots + d_n \geq d_1$ [Hakimi (1962)].

(c) Postupnosť $d_1 \geq d_2 \geq \dots \geq d_n$ sa realizuje grafiom \Leftrightarrow postupnosť $d_1 - 1, d_2 - 1, \dots, d_{n+1} - 1, d_{n+2}, \dots, d_n$ sa realizuje grafiom [Havel (1955), Hakimi (1962)].

(d) Postupnosť kladných čísel $d_1 \geq \dots \geq d_n$ sa realizuje súvislým multigrafiom $\Leftrightarrow d_1 + \dots + d_n$ je párné číslo, $d_1 + \dots + d_n \geq d_1$ a $d_1 + \dots + d_n \geq 2(n-1)$ [Hakimi (1962)].

4. Dokážte vetu 1.E.4.

5. Množina vrcholov grafu s minimálnou excentricitou sa nazýva *centrum* grafu. Dokážte, že centrum neorientovaného stromu pozostáva alebo z jediného vrcholu alebo z dvoch susedných vrcholov.

6. *s-rozmerná kocka* ($s \geq 1$) je graf s^2 vrcholmi reprezentovaný všetkými možnými booleovskými vektormi (pozostávajúcimi z 0 a 1) dĺžky s , pričom dva vrcholy sú spojené hranou práve vtedy, keď sa príslušné vektoru líšia práve v jednej súradnici.

Dokážte, že *s-rozmerná kocka* je pravidelný bipartitný graf stupňa s a priemeru s . Navrhnite nejakú grafovú operáciu, pomocou ktorej možno získať z s -rozmernej kocky $(s+1)$ -rozmernú kocku.

Na kockách sa dobre študujú náhodné booleovské funkcie v súvislosti s pravdepodobnosťnými algoritmi (napr. [Toman (1979)]).

7. Ukážte, že každý graf možno reprezentovať ako tzv. *prienekový graf* vhodného systému množín $\{S_1, \dots, S_n\}$, kde každé S_i zodpovedá vrcholu v_i a dva vrcholy v_i, v_j sú spojené hranou práve vtedy, keď $S_i \cap S_j \neq \emptyset$.
 [Návod: Za S_i zvolte $E(v_i) \cup \{v_i\}$.] Tiež ukážte, že pre súvislý graf $s \geq 3$ možno žiadať, aby $|S_1 \cup \dots \cup S_n| \leq m$ [Harary (1969)]. Existuje mnoho ďalších reprezentácií grafov. Z výpočtového hľadiska je snahou nájsť úspornú reprezentáciu grafu. Ukazuje sa však, že tieto problémy patria medzi ťažké úlohy (tzv. NP-tažké, pozri kap. 2) ([Nešetřil, Pultr (1977)], [Kucera, Nešetřil, Pultr (1980)], [Poljak, Rödl, Turzik (1981)]).

2 ÚLOHY A ALGORITMY

V tejto kapitole stručne priblížujeme pojem algoritmu a niektoré s tým súvisiace otázky, ako je napr. zložitosť algoritmov a úloh. V matematike sa veľmi často transformuje jedna úloha na druhú. Tu nás budú zaujímať transformácie, ktoré nevyžadujú „príliš mnoho“ krokov. Tieto tzv. polynomiálne transformácie ilustrujeme na viacerých úlhách, pričom sa oborznáme s úlohou lineárneho programovania a s viacerými diskrétnymi úlohami. Niektoré problémy už majú svoju históriau, ale stále sa pre ne nedári nájsť „dobré“ algoritmy. V posledných rokoch sa podarilo ukázať, že mnogé z takýchto úloh patria do istej triedy nazývajom rovnocenných úloh v tom zmysle, že *z existencie „dobrého“ algoritmu pre jednu z nich vyplýva existencia „dobrych“ algoritmov pre ostatné*. Ukážeme, že mnoho kombinatorických a obzvlášť grafových úloh patrí do tejto triedy.

2. A O algoritmoch

Intuitívne pod *algoritmom* rozumieeme postup, ktorý nás dovedie k riešeniu úlohy. Pritom tento postup musí byť *determinovaný* (t. j. zadaný vo forme konečného počtu jednoznačných pravidiel). Inou čirotou algoritmov je ich *hromadnosť* (t. j. jedným algoritmom možno riešiť celú triecu úloh rovnakého druhu). Keďže tento postup má byť *efektívny* (t. j. má zaručiť vyriešenie úlohy po konečnom počte krokov), tak neprípúšťame v algoritme také pravidlá, ako napr.: „Ak existujú mimozemské civilizácie, tak chod domov, inak zostať tu.“ (Kedže doteraz nevieme, či existujú mimozemské civilizácie, tak túto inštrukciu nemôžno realizovať.)

Úlohy sa vyskytovali od nepamäti, a preto aj algoritmy na ich riešenie. Okrem takých úloh, ako uloviť medveda, ako založiť oheň a pod., vyskytovali sa aj úlohy súvisiace s počítaním. S rozvojom počítania sa objavujú algoritmy pre sčítanie, násobenie a pod. Snáď najznámejší algoritmus, v názve ktorého slovo *algoritmus* vystupuje, je Euklidov algoritmus pre nájdanie najväčšieho spoločného deliteľa dvoch prirodzených čísel.

S intuitívnym pojmom algoritmu sa často vystačí, avšak hlbšie skúmania vyzádzuju jeho formalizáciu. V tejto súvislosti uvedme, že na začiatku 20. storočia

sa Hilbert (1926) a iní zástancovia formalizmu domnievali, že možno nájsť formálny uzavretý systém pre zapisovanie a dokazovanie všetkých matematických poznatkov. Gödel (1931) však dokázal, že to nie je možné („mechanický dokazovať“ všetky vety elementárnej aritmetiky). K dôkazu jeho „vety o neúplnosti“ použil metódou diagonalizácie, založenu na starovekých paradoxoch. (Použil ju aj Cantor (1874) na dokázanie toho, že reálnych čísel je viac ako celých.) Upresnenie pojmu „mechanické dokazovanie“, viedlo k formálnej definícii algoritmu (napr. Turing (1936), Church (1936) a ľ.). Všetky navrhnuté definície algoritmu sa ukázali ekvivalentné, čo je obsiahnuté v tzv. *Churchovej teóze*: Každý algoritmus (v neformalnom zmysle) možno reprezentovať tzv. Turingovým počítačom a obrátené.

Turingov počítač má obojstranne nekonečnú pásku rozdeľenú na polička a pohyblivú hlavicu, ktorá môže čítať aj zapísavať na poličko pásky jeden symbol z danej konečnej (aspoň 2-prvkovej) abecedy S_1, \dots, S_m . Riadiaca jednotka počítača sa v každom časovom okamihu 1, 2, 3, ... nachádza v jednom z konečného počtu stavov q_1, \dots, q_n . Vo všeobecnosti, v nejakom časovom okamihu t sa hlavica nachádza na nejakom poličku P , kde číta symbol S_i a riadiaca jednotka je v stave q_j . Tým je činnosť počítača určená a urobí jeden zo štyroch krokov: (1) hlavica vymazáva z polička P symbol S_i a zapisuje tam nejaký symbol S_k , (2) hlavica sa posune o jedno poličko vľavo, (3) hlavica sa posune o jedno poličko vpravo, (4) počítač sa zastaví. *Program pre Turingov počítač* pozostáva z definovania jednej z uvedených štyroch možností a nového stavu riadiacej jednotky pre každú dvojicu (S_i, q_j) . Úlohou počítača je spracovať danú postupnosť symbolov (vstup) zapisanú na páske.

Formalizácia pojmu algoritmu sa ukázala plodná. Turing diagonalizáciou dokázal, že neexistuje algoritmus pre takýto problém: *Určiť pre daný Turingov počítač s programom a pre daný vstup, či sa počítač zastaví*. Takýchto nerozhodnuteľných problémov (presnejšie tried problémov) je známych mnoho (pozri napr. [Jones (1974)]). Pravdepodobne najkrajší výsledok dáva Matijasevič (1970), ktorý dokázal, že *problem určiť, či daná polynomická rovnica viacerých premenných s celočíselnými koeficientmi má celočíselné riešenie* (tzv. desiaty Hilbertov problém), je *algoritmicky nerozhodnuteľný*. (Každú konkrétnu rovniciu môžeme viedieť vyriešiť, ale neexistuje jediný algoritmus alebo pevný konečný počet algoritmov, ktorým by sa dala vyriešiť každá polynomická rovnica.) Z grafových problémov je algoritmicky nerozhodnuteľný napr. *problem zisťiť, či pre daný graf G_0 existuje graf alebo nekonečný graf G tak, že pre každé $v \in V_G$ je podgraf $G(V_G(v))$ (indukovaný vrcholovým okolím vrcholu v) izomorfny s G_0* [Bulitko (1973)]. Algoritmicky nerozhodnuteľný je tak isto *problem zisťiť, či pre danú konečnú množinu grafov M existuje graf G tak, že pre každé $v \in V_G$ je graf*

$G(V_G(v))$ izomorfny s niektorým z grafov množiny M [Bulitko (1973a)].

Pre skutočné výpočty je však Turingov počítač ťažkopadný, a preto pri štúdiu zložitosti algoritmov, resp. úloh, uvažuje sa hypotetický počítač blízky skutočnému počítačom. Najčastejšie sa ako referenčný uvažuje tzv. *počítač RAM* (random access machine) [Cook, Reckhow (1973)], ktorý má tieto vlastnosti: Pamäť počítača pozostáva z nekonečného počtu buniek, očislovaných číslami $1, 2, \dots$, čo sú adresy buniek. Počítač má ešte pevný konečný počet registrov. V každej bunke a v každom registri možno uložiť jedno celé číslo. (Pri úlohách s reálnymi číslami sa predpokladá, že tam možno uložiť aj reálne číslo.) V jednom kroku môže počítač (1) preniesť obsah nejakého registra do bunky, ktorej adresa je v druhom registri, alebo (2) preniesť obsah bunky, ktorej adresa je v registri, do druhého registra, alebo (3) urobiť nejakú aritmetickú operáciu na číslach v dvoch registroch, alebo (4) urobiť porovnanie čísel z dvoch registrov. Program počítača má pevnú konečnú dĺžku a udáva postupnosť operácií, ktoré sa majú urobiť. Predpokladá sa, že počítačový obsah pamäti je vstup a konečný obsah je výstup.

V nami uvažovaných úlohách bude počítač pracovať sekvenčne. Teoreticky by sa mohol prejavíť paralelizmus tak, že by sme do jednej bunky uložili vhodný zakódovaním mnoho malých čísel tvoriacich jedno veľké číslo a jednou operáciou na veľkom čísele uskutočnili vlastné operácie na všetkých malých. Tomuto problému sa možno vyhnúť, ak predpokladáme, že čas potrebný na manipuláciu s číslom je úmerný dĺžke jeho binárnej reprezentácie [Aho et al. (1974)].

Na toto miesto poznámejme, že v ďalšom predpokladáme, že vstup do počítača je „rozumné zakódovaný“. Týka sa to najmä celých čísel, ktoré nezapisujeme unárne, ale binárne (resp. v desiatkovéj sústave a pod.). Potom na zapisanie čísla n netreba n symbolov, ale stačí $\lfloor \log_2 n \rfloor + 1$ binárnych symbolov (0 a 1), resp. $\lfloor \log_{10} n \rfloor + 1$ desiatkových symbolov. Celková dĺžka dát opisujúcich nejakú úlohu, sa nazýva *dĺžka vstupu* pre túto úlohu alebo jednoducho *dĺžka úlohy*.

ZLOŽITOSŤ ALGORITMOV A PROBLÉMOV

Uvedli sme, že niektoré úlohy sú nerozhodnuteľné. Existencia algoritmu pre niektoré úlohy je celkom zrejmá, lebo pre vyriešenie stačí preskúsať všetky možnosti (tak je to v mnohých kombinatorických a grafových úlohách). Žiaľ, takých možností býva veľmi mnoho, a preto má zmysel hľadať lepší algoritmus. Ukázalo sa rozumné posudzovať algoritmy podľa počtu elementárnych operácií (času), ktorý potrebujú na vyriešenie problému. Keďže málokedy sa podarí tento počet presne vypočítať, tak sa uspokojujeme s odhadmi. Dolné odhady sa ľahko ziskavajú (pozri napr. [Morávek (1969)] pre niekoľko diskrétnych problémov: novšie úspechy pozri napr. v [Aho et al. (1974)] a [Gruska (1975)].

Algoritmy a úlohy často porovnávame *asymptoticky*: Pre dve kladné funkcie

$g(x)$ a $h(x)$ píšeme $g(x) = O(h(x))$ a $h(x) = \Omega(g(x))$, ak existujú $c_0 > 0$ a x_0 tak, že $g(x) \leq c_0 h(x)$ pre každé $x \geq x_0$.

Takto hovoríme, že algoritmus má *zložitosť* $O(f(L))$, ak pre každé dosťatočne veľké L vyrieší každú úlohu dĺžky L v čase $O(f(L))$. Analogický hovoríme, že algoritmus má *zložitosť* $\Omega(f(L))$, ak pre každé číslo c existuje príklad úlohy dĺžky $L \geq c$, na vyriešenie ktorej potrebuje čas $\Omega(f(L))$. Jednoducho hovoríme o $O(f(L))$ *algoritme*, resp. o $\Omega(f(L))$ *algoritme*.

Podobne možno hovoríť o úlohách: Nejaká úloha má *zložitosť* $O(f(L))$, ak preňu existuje $O(f(L))$ algoritmus a má *zložitosť* $\Omega(f(L))$, ak každý algoritmus preňu je $\Omega(f(L))$ algoritmus.

Na toto miesto poznámejme, že obvyčajne namiesto vyššie definovanej „jemnej“ dĺžky úlohy uvažujeme len „hrubú“ dĺžku úlohy získanú tým, že namiesto dĺžky $\lfloor \log c \rfloor + 1$ prirodzeného čísla c počítame (ako v počítači RAM) dĺžku 1. Ako príklad uvažujme *úlohu triedenia* (usporiadania do neklesajúcej postupnosti) prirodzených čísel c_1, c_2, \dots, c_n . Jemná dĺžka tejto úlohy je $L = \sum (\lfloor \log c_i \rfloor + 1)$ a hrubá dĺžka je iba n . Keďže na vyhľadanie minimálneho c_i stačí (v počítači RAM) $O(n)$ operácií, tak pre úlohu triedenia máme $O(n^2)$ algoritmus. Poznámejme, že dômyselnnejšie postupy viedli k vytvoreniu $O(n \log n)$ algoritmov a je ukázané, že lepší algoritmus už neexistuje, t. j. že táto úloha má *zložitosť* $\Omega(n \log n)$ (pozri napr. [Knuth (1973)]). Nech $K = \max(\lfloor \log c_i \rfloor + 1)$. Potom pri jemnej reprezentácii úlohy vystáme s $O(K)$ jemnými operáciami namiesto jednej hrubej, a preto máme algoritmy zložitosti $O(K \cdot n^2) \leq O(L^3)$, resp. $O(K \cdot n \log n) \leq O(L^2 \log L)$. Aj vo všeobecnosti sa tak isto zaručí k hrubému algoritmu jemný algoritmus, a teda polynomiálnosť sa zachová. Obrátený prechod nie je vždy možný. V ďalšom budeme hovoriť len o dĺžke úlohy, ale z kontextu bude vždy zrejmé, o akú dĺžku ide.

V grafových algoritmoch budeme obvyčajne uvažovať (hrubú) dĺžku úlohy $m + n$, kde m je počet vrcholov, a n počet vrcholov, aj keď pôde o ohodnotenie grafových štruktúry. Toto umožňuje uvažovať funkciu f (z definície zložitosti) ako funkciu dvoch premenných a jemnejšie odhadovať zložitosť. Potom sa však môže stat, že dva algoritmy (napr. zložitosť $O(m \cdot n^4)$ a $O(m^3 \cdot n)$) sú neporovnatelné (pre niektoré hodnoty m a n je lepší jeden a pre iné zasa druhý).

Edmonds (1965) bol prvý, ktorý si uvedomil rozdiel medzi *polynomálnymi algoritmami* (t. j., kde za f môžeme zobrať polynom) a *nepolynomálnymi algoritmami* (t. j., kde za f nemôžeme zobrať polynom). (Prvé algoritmy nazýva „dobré“.) Podľa toho možno rozdeliť aj problémy na také, ktoré majú polynomiálne algoritmy a také, pre ktoré polynomiálne algoritmy neexistujú, a taktô aspoň hrubo rozdeliť problémy na „zvládnuteľné“ a „beznádejné“. Túto ideu sa zatiaľ nepodarilo úplne realizovať, ale istý pokrok tu už je a častočne sa s ním oboznámieme v nasledujúcich častiach.

2. B Polynomiaľné transformácie

Nech je daný problém P_1 so vstupnými dátami D_1 . Problém P_1 môžeme riešiť aj tak, že ho pretransformujeme na nejaký iný problém P_2 , t. j. dátu D_1 preobrábime na dátu D_2 zodpovedajúce problému P_2 . Ak riešenie R_2 problému P_2 vieme prerobiť na riešenie R_1 problému P_1 , tak transformácia je hotová. Ak prerábanie dát D_1 na D_2 a riešenia R_2 na R_1 vyžaduje len polynomálne mnoho elementárnych operácií vzhľadom na dĺžku dát D_1 , tak uvedená transformácia sa nazýva *polynomiálna*. (Presnejšie, ak existuje polynóm P tak, že pre každý problém P_1 s dĺžkou vstupných dát L_1 možno transformáciu urobiť výkonaním nanajvyš $p(L_1)$ operácií.)

Pri pretransformovaní P_1 na P_2 stačí pre jeden príklad problému P_1 vyriešiť jeden príklad problému P_2 . Ak pripustíme riešiť viač príkladov problému P_2 , tak hovoríme o *redukcií* P_1 na P_2 . (Napr. problém násobenia dvoch čísel sa redukuje na problém sčítania dvoch čísel.) Ak sumárny počet operácií je polynomiálny vzhladom na L_1 , tak redukcia sa nazýva *polynomiálna*. Ak P_1 možno polynomiálne redukovať na P_2 a obrátené, tak hovoríme, že P_1 a P_2 sú *polynomiálne ekvivalentné*.

V ďalšom uvedieme viaceré polynomiálne transformácie a redukcie rôznych úloh. Väčšina z týchto úloh je kvôli stručnosti formulovaná v tvare: „Treba nájsť X spĺňajúce predpisane podmienky“. Pod tým vždy myslíme úlohu zistit, či také X existuje a ak existuje, tak ho aj nájsť.

ÚLOHA LINEÁRNEHO PROGRAMOVANIA

Nech sú dané (reálne) čísla a_{ij} , b_i , c_j ($i = 1, \dots, m$; $j = 1, \dots, n$). Úlohou je nájsť čísla x_1, \dots, x_n , ktoré minimizujú $c_1x_1 + \dots + c_nx_n$ pri ohraničeniacach

$$\begin{aligned} a_{11}x_1 + \dots + a_{1n}x_n &= b_1, \\ \vdots & \\ a_{m1}x_1 + \dots + a_{mn}x_n &= b_m, \\ x_1, x_2, \dots, x_n &\geq 0. \end{aligned}$$

V maticovom tvare úlohu zapísame stručne takto: $\min \{c^T x \mid Ax = b, x \geq 0\}$ (symbol Γ označuje transponovanie matice; vektory považujeme za stípcové, a preto c^T je riadkový vektor). Lineárne programovanie vzniklo v 40. rokoch násloho storočia a stalo sa významným nástrojom najmä v ekonómii. Jeho história a úspechy možno nájsť napr. v [Dantzig (1962)].

K uvedenej úlohe sa definuje tzv. *duálna úloha*: $\max \{b^T u \mid u^T A \leq c^T\}$. Vektor x spĺňajúci ohraničenia sa nazýva *pripustné riešenie primárnej úlohy*; analogicky hovoríme o pripusťnom riešení u duálnej úlohy a o *optimálnych riešeniach*. $c^T x$ a $u^T b$ sú *účelové funkcie úloh*. Z teórie duality vyberáme:

Veta 1. Pre primárnu a duálnu úlohu platí:

- (a) (*Slabá verá o dualite*): Pre libovoľné pripustné riešenia x a u je $c^T x \geq b^T u$.
- (b) (*Silná verá o dualite*): Ak má jedna z úloh optimálne riešenie, tak má aj druhá a optimálne hodnoty účelových funkcií sa rovnajú ($c^T x^* = b^T u^*$).
- (c) (*Podmienky ortogonality*): Pripustné riešenia x a u sú optimálne $\Leftrightarrow (u^T a_j - c_j)x_j = 0$ pre každé $j = 1, \dots, n$, kde a_j je j -ty stípec matice A .

DÔKAZ časti (a) je bezprostredný: $u^T b \leq u^T Ax \leq c^T x$. Dôkaz časti (b) je zložitejší, a tu ho neuvozdzame (pozri napr. [Dantzig (1962)], [Hu (1969)]). Dôkaz časti (c) vyplýva z dôkazu časti (a) a z tvrdenia (b). ■

Poznamenajme, že existujú aj iné tvary úlohy lineárneho programovania, napr. $\min \{c^T x \mid Ax \geq b, x \geq 0\}$. Potom duálna úloha je $\max \{b^T u \mid u^T A \leq c^T, u \geq 0\}$ a platí analógia vety 1. Rôzne tvary sa ľahko prevádzajú jeden na druhý: rovnosť môžeme nahradíť dvoma nerovnosťami: nerovnosť zasa možno previesť na rovnosť pridaním nezápornej doplnkovej premennej: premennú neohraničenú na znamienko nahrádime rozdielom dvoch nezáporných premenných. Namiešto maximizácie funkcie $b^T u$ možno tiež minimalizovať funkciu $-b^T u$ a takto možno duálnu úlohu previesť na tvar primárnej úlohy. Preto možno hovoriť, že duálna úloha k duálnej je rovná pôvodnej primárnej úlohe.

Pri konštrukcii duálnej úlohy možno však postupovať aj bez transformácie na základný tvar riadiac sa pravidlom, že rovnosťiam primáru zodpovedajú v duálnej premenné bez ohraničenia na znamienko a obrátené. Nerovnosti musia byť také, aby sme jednoducho vynásobením získali požadovanú nerovnosť v slabej vete o dualite ako hore.

Klasická metóda riešenia úlohy lineárneho programovania je tzv. *simplexová metóda*, ktorá predstavuje cestovanie po susedných vrcholoch polyedrickej množiny určenej ohraničeniami $Ax = b$, $x \geq 0$. Každý vrchol zodpovedá tzv. *bázickému riešeniu* systému $Ax = b$ a prechádza sa od jedného bázického riešenia k druhému, až sa nájde optimálne riešenie, alebo sa zistí, že neexistuje. Z výpočtového hľadiska môžeme predpokladať, že všetky vstupné údaje (a_{ij}, b_i, c_j) sú racionálne čísla, čo však možno upraviť na celé čísla. Potom simplexová metóda poskytuje racionálne riešenie, a teda takéto môžeme zíadať vždy.

Hoci v praxi je so simplexovou metódou veľká spokojnosť, boli zostrojené priklady ukazujúce jej exponenciálny charakter dokonca pre špeciálnu, tzv. 44

dopravnú úlohu [Zadeh (1973)] (pozri 6.D). Nedávno však Chačíjan (1979) nášiel polynomiálny algoritmus. Hoci v praxi zatiaľ nemôže konkurovať simplexovo metóde, táto tzv. *elipsoidová metóda* poskytla niektoré nové polynomiálne algoritmy [Lovász (1980)], [Grötschel, Lovasz, Schrijver (1981)], [Nešetřil, Poljak (1980)]. (Využíva sa možnosť charakterizovania niektorých úloh systémom lineárnych nerovností.)

Nasledujúci výsledok [Itai (1978)] použijeme v kap. 6.

Veta 2. Nasledujúce 3 úlohy sú polynomiálne ekvivalentné.

(1) **Úloha lineárneho programovania:** Nájsť racionálne rišenie úlohy $\min \{c^T x | Ax = b, x \geq 0\}$, kde všetky a_{ij}, b_i a c_j sú celé čísla.

(2) **Nezáporné rišenie lineárnych rovníc:** Nájsť racionálne rišenie systému $Ax = b$, $x \geq 0$, kde všetky a_{ij} a b_i sú celé čísla.

(3) **Nezáporné racionálne rišenie lineárnych rovníc s malými koeficientmi:** Úloha (2), kde všetky $a_{ij}, b_i \in \{-1, 0, +1\}$.

Dôkaz. (1) pretransformujeme na (2). Podľa vety 1 je x optimálnym rišením úlohy (1) práve vtedy, ak existuje optimálne rišenie u duálnej úlohy $\max \{b^T u | A^T u \leq c\}$. Potom je $c^T x = b^T u$ a môžeme ziajať, aby u bol racionalný vektor. Teda získame úlohu nájsť racionálne rišenie (x^T, u^T) systému

$$Ax = b, \quad x \geq 0, \quad A^T u \leq c, \quad c^T x = b^T u.$$

Systém nerovností $A^T u \leq c$ zmenejme na rovnosť zavedením doplnkových premenných $v \geq 0$. Substitučiou $u = u' - u''$, kde $u' \geq 0, u'' \geq 0$, získame požadovaný tvar úlohy: $Ax = b, A^T u' - A^T u'' + v = c, c^T x - b^T u' + b^T u'' = 0$ $x \geq 0, u' \geq 0, u'' \geq 0, v \geq 0$.

Teraz (2) pretransformujeme na (3). Zrejme môžeme predpokladať, že $b \geq 0$.

Každú rovnicu systému $Ax = b$ nahradíme rovnocenným systémom rovníc, ktorý získame vyjadením čísel v dvojkovej sústave, ako ukazuje nasledujúci príklad.

Rovnicu

$$(i) \quad 7x_1 - 10x_2 + 2x_3 = 12$$

môžeme prepísat takto:

$$(ii) \quad (1.x_1 - 0.x_2 + 0.x_3)2^0 + (1.x_1 - 1.x_2 + 1.x_3)2^1 + \\ (1.x_1 - 0.x_2 + 0.x_3)2^2 + (0.x_1 - 1.x_2 + 0.x_3)2^3 = \\ 0.2^0 + 0.2^1 + 1.2^2 + 1.2^3.$$

Pomocou nových premenných $u_i, v_i \geq 0$ zabezpečíme prenos z nižších jednotiek na vyššie, ako pri počítaní v dvojkovej sústave: z (ii) získame:

$$\begin{aligned} (iii) \quad 1.x_1 - 0.x_2 + 0.x_3 &= 12 \\ 1.x_1 - 1.x_2 + 1.x_3 + u_1 - v_1 - 2(u_2 - v_2) &= 0, \\ 1.x_1 - 0.x_2 + 0.x_3 + u_2 - v_2 - 2(u_3 - v_3) &= 1, \\ 0.x_1 - 1.x_2 + 0.x_3 + u_3 - v_3 &= 1. \end{aligned}$$

Ukázme, že systém (iii) je ekvivalentný s (ii), a tým aj s (i). Ak x, u, v je rišenie systému (iii), tak vynásobme prvé rovnici v (iii) číslom 2^0 , druhú číslom 2^1 atď. a spočítajme. Získame práve (ii), a preto x je rišením (ii).

Obratene, ak x je racionálne rišenie rovnice (ii), tak zrejme existujú také racionálne čísla y_1, y_2, y_3, y_4, y_5 , že koeficient pri 2^p na ľavej strane, zväčšený o y_{p+1} , je rovný koeficientu pri 2^p na pravej strane pre každé $p = 0, 1, 2, 3$. Ďalej k číslam y_1, \dots, y_4 existujú racionálne čísla $u_i, v_i \geq 0$ tak, že $y_1 = -2(u_1 - v_1), y_2 = (u_1 - v_1) - 2(u_2 - v_2), \dots$. Prítom y_4 je už určené podmienkou (ii) (t.j. $y_1 + 2y_2 + 4y_3 + 8y_4 = 0$), a preto $y_4 = u_3 - v_3$. Teda systém (iii) má racionalné rišenie.

Vo všeobecnosti sa konštrukcia systému (iii) a dokaz správnosti robí tak isto. Ak $K = 1 + [\log_2 \max\{|a_{ij}|, |b_i|\}]$, tak celkove zo systému m rovníc s počtom neznámych nanajvýš $n + 2(K - 1)m$.

V získanom systéme však sú niektoré koeficienty 2 alebo -2. To možno odstrániť takto: namiesto $\pm 2x_j$ píšeme $\pm (x_j + x'_j)$ a pridávame rovnici $x_j = x'_j$. Tým získame problém (3).

Keďže uvedené transformácie sú zrejme polynomiálne a (3) je špeciálnym prípadom (1), veta je dokázaná. ■

ÚLOHA BINÁRNEHO LINEÁRNEHO PROGRAMOVANIA

Ak v úlohe lineárneho programovania žiadame, aby všetky x_i boli celé čísla, tak hovoríme o *úlohe celočíselného lineárneho programovania*. Takéto úlohy sú veľmi trážké (pozri napr. [Hu (1969)], [Taha (1975)]). Často však vystačíme s úlohami, kde je dane číslo K a žiadame, aby každé $x_i \leq K$. Tieto úlohy možno ešte zjednodušíť:

Veta 3. Nasledujúce úlohy sú polynomiálne ekvivalentné:

- (1) *Úloha celočíselného lineárneho programovania s ohaničenými premennými:* $\min \{c^T x | Ax = b, x \geq 0, x_i \leq K, i \in I\}$, kde a_{ij}, b_i, c_j a K sú dané celé čísla.
- (2) *Úloha binárneho lineárneho programovania:* $\min \{c^T x | Ax = b\}$, každé $x_i \in \{0, 1\}$, kde všetky čísla a_{ij}, b_i, c_j sú celé.
- (3) *Binárne rišenie systému rovníc:* Nájsť $x_1, \dots, x_n \in \{0, 1\}$ tak, aby $Ax = b$, kde všetky a_{ij}, b_i sú celé.

(4) **Binárne riešenie sústemu rovníc s malými koeficientmi:** Úloha (3), kde všetky $a_{ij}, b_i \in \{-1, 0, 1\}$.

(5) **Binárne riešenie lineárnej rovnice:** Dané sú prirodzené čísla a_1, \dots, a_n, b , a treba nájsť $x_1, \dots, x_n \in \{0, 1\}$ tak, aby $a_1x_1 + \dots + a_nx_n = b$.

(6) **Rozdelenie multimonotónych čísel:** Dané prirodzené čísla a_1, \dots, a_n treba rozdeliť do dvoch tried s rovnakým súčtom ($\sum a_i/2$).

(7) **Úloha o binárnom batohu:** max $\{c_1x_1 + \dots + c_nx_n | a_1x_1 + \dots + a_nx_n \leq b$, všetky $x_i \in \{0, 1\}\}$, kde všetky c_i a tak isto všetky a_i a číslo b sú prirodzené čísla.

(8) **Nezáporné celočíselné riešenie lineárnej rovnice:** Dané sú prirodzené čísla a_1, \dots, a_n, b : treba nájsť nezáporné celé čísla x_1, \dots, x_n , tak, aby $a_1x_1 + \dots + a_nx_n = b$.

(9) **Úloha o celočíselnom batohu:** Úloha (7), kde namiesto $x_i \in \{0, 1\}$ žiadame, aby všetky x_i boli nezáporné celé čísla.

DOKAŽ. Využívame známe techniky z lineárneho a celočíselného programovania (doplnkové premenne, metoda bisekcie, agregácia rovníc: pozri napr. [Taha (1975)]).

(1) \rightarrow (2) (šípka označuje, že úlohu (1) redukujeme na úlohu (2)). Nech $s = |\log_2 K|$. Potom namiesto každého x_i dosadime $2^0y_0 + 2^1y_1 + \dots + 2^sy_s$, kde $y_{ij} \in \{0, 1\}$ sú nové premenné. Ak si uvedomíme, že zápis čísla K má dĺžku $\Omega(\log K)$, tak hned vidíme, že uvedená transformácia je polynomálna.

(2) \rightarrow (3). Nech súčet všetkých záporných c_i je c^- a kladných c^+ . Potom pre každé riešenie x úlohy (2) platí: $c^- \leq c^T x \leq c^+$. Taktôž pre nájdenie minima pre $c^T x$ stačí vyriešiť $\log_2(c^+ - c^-)$ úloh tvaru: $c^T x \leq d$, $Ax = b$, $x_i \in \{0, 1\}$. Skutočne stačí použiť tzv. metodu bisekcie na interval $[c^-, c^+]$. (Najprv zvolíme $d = [(c^+ - c^-)/2]$: ak úloha má riešenie, tak ďalej skúmame len interval $[c^-, d]$, inak len interval $[d, c^+]$). V novom intervale opäť nájdeme „stred“ ažd.). V každej takejto úlohe možno nerovnosť $c^T x \leq d$ nahradit rovnosťou $c^T x + 2^0z_0 + 2^1z_1 + \dots + 2^sz_s = d$, kde $t = |\log_2 d|$ a z_i sú nové binárne premenné. Tým získame úlohu tvaru (3).

(3) \rightarrow (4). Dôkaz je úplne analogický ako pre vetu 2.

(4) \rightarrow (1). Zrejmé.

(3) \rightarrow (5). Nech pre každé i súčet záporných a_{ij} je a_i^- a kladných a_i^+ a nech $f(x) := a_1x_1 + \dots + a_nx_n - b$. Potom $a_i^- - b_i \leq f_i(x) \leq a_i^+ - b_i$. Preto, ak položíme: $q_i := 1 + \max \{|a_i^- - b_i|, |a_i^+ - b_i|\}$, tak $q_i > |f_i(x)|$ a sústém rovníc:

(i) $f_i(x) = 0, \dots, f_m(x) = 0$

môžeme agregovať do jednej rovnice

$$(ii) f_1(x) + q_1f_2(x) + q_1q_2f_3(x) + \dots + q_1q_2\dots q_{m-1}f_m(x) = 0.$$

Tvrďme, že ak má rovnica (ii) riešenie, tak má aj sústém (i) riešenie a zrejme aj obrátenie. (Vidíme, že $f_1(x)$ musí byť deliteľné q_1 , ale $q_1 > |f_1(x)|$, a preto $f_1(x) = 0$. Po vydelení rovnice číslom q_1 zistíme, že $f_2(x) = 0$ atď.) Rovnica (ii) má tvar $a_1x_1 + \dots + a_nx_n = b$. Ak niektoré $a_i < 0$, tak namiesto x_i dáme $1 - x_i$. Ak $a_i = 0$, tak rovniciu jednoducho zmenšíme. Ak po týchto úpravách je $b \leq 0$, tak rovnica zrejme nemá netriviálne riešenie. Inak máme požadovaný tvar úlohy (5) ekvivalentný so sústémom (i). Poznamenajme, že hoci je číslo $q_1q_2 \dots q_{m-1}$ obrovské, predsa má dĺžku $O(\log q_1 + \log q_2 + \dots + \log q_{m-1}) \leq O(\Sigma \log |a_{ij}| + \Sigma \log |b_i|)$, t. j. polynomiálmu vzťahom na dĺžku zápisu úlohy (3).

(5) \rightarrow (6) [Karp (1972)]. Stačí uvažovať čísla $a_1, a_2, \dots, a_n, \Sigma a_i + b, 2\Sigma a_i - b$ (ich súčet je $4 \sum a_i$). Dôkaz vypĺňa z toho, že posledné 2 čísla nemôžu byť v tej istej triede.

(6) \rightarrow (5). Stačí položiť $b = \Sigma a_i/2$.
 (5) \rightarrow (7). Úloha (5) má riešenie práve vtedy, ak $\max \{a_1x_1 + \dots + a_nx_n | a_i x_i + \dots + a_n x_n \leq b\} = b$.

(7) \rightarrow (2). Úloha (7) je rovocenná úlohe $\min \{-(c_1x_1 + \dots + c_nx_n) | a_1x_1 + \dots + a_nx_n + 2^0y_0 + \dots + 2^sy_s = b, \text{ všetky } x_i, y_j \in \{0, 1\}\}$, kde $s = |\log_2 b|$.
 (5) \rightarrow (8). Úloha (5) je rovocenná úlohe: Nájsť cele čísla $x_i, y_j \geq 0$ spôsobujúce rovnice $a_1x_1 + \dots + a_nx_n = b$, $x_1 + y_1 = 1, \dots, x_n + y_n = 1$. Agregovaním týchto $n+1$ rovnic do jednej (ako v dôkaze (3) \rightarrow (5)), získame úlohu tvaru (8).

(8) \rightarrow (9). Analogicky ako (5) \rightarrow (7).
 (9) \rightarrow (1). Úloha (9) je rovocenná úlohe: $\min \{-(c_1x_1 + \dots + c_nx_n) | a_1x_1 + \dots + a_nx_n + y = b; x_1, x_2, \dots, x_n, y \text{ sú nezáporné cele čísla nepresahujúce } b\}$. ■

Poznamenajme, že veta 3 platí aj vtedy, ak v (1) nežiadame ohranenie premennych [Borosh, Treybing (1976)]. Ak však pripustíme kvadratické ohraňčenia (napr. $3x_1x_2 + x_2^2 - x_3 + 20 = 0$), tak je tu kvalitatívny skok: Takéto celočíselné úlohy sú algoritmicke neriešiteľné [Jeroslow (1973)].

2.C

NP-ťažké a NP-ekvivalentné úlohy

V lineárnom, resp. v celočíselnom lineárnom programovaní, sa vyskytovali redukcie úloh dôvnejšie, ale často boli obmedzené na úzky okruh problémov, resp. boli len „jednosmerne“. Veľký rozvoj polynomiálnych redukcii sa začína prácou

Cooka (1971) a následnou prácou Karpa (1972). Cook založil tzv. triedu NP rozhodovacích problémov, t. j. problémov, ktorých riešenie je alebo „áno“, alebo „nie“ (napr. „má rovnica $3x_1 + 4x_2 + x_3 = 5$ binárne riešenie?“) a ktorých „áno“ možno verifikovať v polynomiálnom čase (trojica $x_1 = 0, x_2 = 1, x_3 = 1$ dáva odpoved „áno“, čo možno v polynomiálnom čase overiť). Formálne sa zavádzajú tzv. nedeterministický polynomiálny (skratene NP) Turingov počítač, ktorý uhádne pripustnú štruktúru (u nás trojicu $(0, 1, 1)$) a potom ju overí v polynomiálnom čase. Ak je riešenie „nie“, tak počítač dáva alebo odpoved „nie“, alebo sa vôbec nezastaví. (Pre rigorózne definicie odkazujeme čitateľa napr. na [Aho et al. (1974)], alebo [Garey, Johnson (1979)]). Potom Cook dokázal, že každý problém z triedy NP možno polynomiálne transformovať na problém splinitelnosti (booleškého výrazu: pozí $a_i \cdot b^k \in \{0, 1\}$), ktorý je tiež z NP, a preto dostáva pomenovanie NP úplný. Karp (1972) už uvádzá 21 NP-úplných problémov.

Ak pre problém Q existuje NP-úplný problém P tak, že P možno polynomiálne redukovať na Q , tak Q sa nazýva NP-tažký problém. Ak pre problém Q existuje problém $P \in \text{NP}$ taky, že Q možno polynomiálne redukovať na P , tak Q sa nazýva NP-lahký. Taký problém Q , ktorý je aj NP-tažký aj NP-lahký, nazýva sa NP-ekvivalentný.

Pretože problémy v triede NP sú len rozhodovacie, nebude sa zaoberať s NP-úplnými problémami, ale skôr s NP-ekvivalentnými problémami, ktoré zahŕňajú priamo aj optimalizačné problémy. Zvlášť nás bude zaujímať, či je nejaký problém NP-tažký. Taktô vystačíme s nasledujúcimi definíciami, kde za referenčný problém sa kladie binárna úloha lineárneho programovania (stručne: 0–1 úloha LP). Problém Q sa nazýva NP-tažký, ak 0–1 úlohu LP možno polynomiálne redukovať na Q a NP-lahký, ak Q možno polynomiálne redukovať na 0–1 úlohu LP. Potom NP-ekvivalentný problém je problém polynomiálne ekvivalentný s 0–1 úlohou LP. Všetky známe NP-tažké problémy sa vyznačujú tým, že pre žiadny z nich nie je doteraz známy polynomiálny algoritmus. Na druhej strane nie je dokázané, že pre NP-ekvivalentné problémy také algoritmy neexistujú.

PROBLÉM SPLNITEĽNOSTI

Takto už poznáme 9 NP-ekvivalentných problémov (podľa vety 2.B.3). Nasledujúca veta nám umožní dokázať, že mnohé ďalšie problémy sú NP-tažké, keďže problém splinitelnosti sa často dá polynomiálne pretransformovať na daný problém. Najprv uvedieme definíciu.

Problém splinitelnosti: Daný je boolešký výraz v konjunktívnej normálnej forme $F = C_1 \wedge C_2 \wedge \dots \wedge C_m$ nad premennými x_1, \dots, x_n , t. j. každé C_j je elementárnu disjunkciou $d_{j1} \vee d_{j2} \vee \dots \vee d_{jn}$, kde každé $d_{jk} \in \{x_1, \dots, x_n, \bar{x}_1, \dots, \bar{x}_n\}$ a \bar{x}_i

označuje negáciu premennej x_i . Úlohou je zistiť, či existujú pravidostné hodnoty premenných tak, aby F bolo splnené (pravidlé). Elementárne disjunkcie sú nazývané *klaузulami* a premenné a ich negácie *symbolmi*. Pravidlú hodnotu budeme označovať 1 a nepravidlú 0.

Veta 1. Problém splinitelnosti je NP-tažký.

Dôkaz. Dáme polynomiálnu redukciu úlohy binárnej lineárnej rovnice $a_1x_1 + \dots + a_nx_n = b$ (a_1, \dots, a_n, b sú prirodené čísla) na problém splinitelnosti, čo podľa vety 2.B.3 stačí. Môžeme predpokladať, že $b \geq \max a_i$ (inak úlohu možno zmeniť vynechaním tých a_i , ktoré sú väčšie ako b). Nech $t = [\log_2 b]$ a nech binárne zápis čísel a_1, \dots, a_n, b sú: $a_i = a_i^{0,2^0} + \dots + a_i^{t,2^t}$ ($i = 1, \dots, n$), $b = b^{0,2^0} + \dots + b^{t,2^t}$, kde $a_i^k, b^k \in \{0, 1\}$. Potom zrejmé n -tica (x_1, x_2, \dots, x_n) (ide o usporiadanú n -ticu, ale to je už vyjadrené okruhlymi závorekami) je riešením rovnice $a_1x_1 + \dots + a_nx_n = b$ práve vtedy, keď je riešením nasledujúceho systému $t+1$ kongruencii (mod 2) a jednej rovnice. (Systém simuluje počítanie v dvojkovej sústave.)

$$(i) \quad \begin{cases} S^0 := a_1^0x_1 + \dots + a_n^0x_n & \equiv b^0, \\ S^1 := a_1^1x_1 + \dots + a_n^1x_n + (S^0 - b^0)/2 & \equiv b^1, \\ S^2 := a_1^2x_1 + \dots + a_n^2x_n + (S^1 - b^1)/2 & \equiv b^2, \\ \vdots \\ S^t := a_1^tx_1 + \dots + a_n^tx_n + (S^{t-1} - b^{t-1})/2 & \equiv b^t, \\ (S^t - b^t)/2 & = 0. \end{cases}$$

Pre vyriešenie systému (i) bude užitočné vyriešiť úlohu tohto typu:

- (ii) Pre dané $p_1^k, \dots, p_{2^n}^k, q^k \in \{0, 1\}$ treba zistiť, či $\sum p_j^k \equiv q^k \pmod{2}$ a ak áno, tak spomedzi nových n premenných v_1^k, \dots, v_n^k zvoliť $(\Sigma p_j^k - q^k)/2$ jednotiek a ostatné nuly.

Skutočne, ak uvažujeme kongruenciu $S^k \equiv b^k$, tak môžeme klásť $p_j^k = d_j^k x_j$ pre $j = 1, \dots, n$. Keďže $(S^{k-1} - b^{k-1})/2 \leq n$, tak toto číslo možno reprezentovať tak, že spomedzi $p_{n+1}^k, \dots, p_{2^n}^k$ zvolíme práve $(S^{k-1} - b^{k-1})/2$ jednotiek. K tomu stačí položiť $p_{n+1}^k = v_1^{k-1}, \dots, p_{2^n}^k = v_n^{k-1}$, kde $v_1^{k-1}, \dots, v_n^{k-1}$ je výstup z úlohy (ii) pre predchádzajúcu kongruenciu.

Riešenie úlohy (ii) simuluujeme v dvoch fázach. V prejnej fáze uložíme $(\Sigma p_j^k - q^k)/2$ výstupných jednotiek do vektora dĺžky $2n$ (boolešké premenné $u_1^k, u_2^k, \dots, u_{2^n}^k$) a potom v druhej fáze tiež jednotky dôležité do požadovaného vektora (v_1^k, \dots, v_n^k) dĺžky n .

- 1. Fáza: Zavedieme boolešké premenné $y_0^k, y_1^k, \dots, y_{2^n}^k$. Pre každé $i = 1, \dots, 2n$ požadujeme splnenie vzťahu:

$$(ii.a) \begin{cases} y_0^k = q^k, \\ [(y_{i-1}^k = 0) \wedge (p_i^k = 1)] \Rightarrow [(y_i^k = 1) \wedge (u_i^k = 0)], \\ [(y_{i-1}^k = 1) \wedge (p_i^k = 1)] \Rightarrow [(y_i^k = 0) \wedge (u_i^k = 1)], \\ [p_i^k = 0] \Rightarrow [(y_i^k = y_{i-1}^k) \wedge (u_i^k = 0)]. \end{cases}$$

Lahko sa ukáže, že $y_i^k = 0$ práve vtedy, keď rozdiel $\sum_{j=1}^i p_j^k - q^k$ da sa deliť dvoma a že potom tento podiel je rovny

$$\sum_{j=1}^i u_j^k.$$

Takto celá kongruencia je splnená práve vtedy, keď $y_{2n}^k = 0$.

2. Fáza: Vektor (u_1^k, \dots, u_{2n}^k) preobíme na vektor (v_1^k, \dots, v_n^k) s tým istým počtom jednotiek. Zavedieme pomocné booleovské premenné w_g^k ($i = 1, \dots, n$; $j = n+1, \dots, 2n$) a pre každé $g, i \in \{1, \dots, n\}$ a $j, h \in \{n+1, \dots, 2n\}$, $g \neq i, j \neq h$, žiadame splnenie vzťahu:

$$(ii.b) \begin{cases} [(u_i^k = 1) \vee (u_j^k = 0)] \Rightarrow [w_{ij}^k = 0], \\ [u_i^k = 1] \Rightarrow [w_{ij}^k \vee w_{ji}^k \vee \dots \vee w_{nj}^k = 1], \\ w_{ij}^k \wedge w_{ih}^k = 0, \quad w_{ij}^k \wedge w_{jh}^k = 0, \\ v_i^k = u_i^k \vee w_{i,n+1}^k \vee \dots \vee w_{i,2n}^k. \end{cases}$$

Môžno ukázať, že premenné w_{ij}^k zabezpečujú prenos jednotiek $u_{n+1}^k, \dots, u_{2n}^k$ len na miesta v_i^k , pre ktoré sú $u_i^k = 0$, a že tým získame požadovaný výstup (v_1^k, \dots, v_n^k) .

Na vyriešenie systému (i) stačí požadovať splnenie vzťahov (ii.a) a (ii.b) pre každé $k = 0, 1, \dots, t$, pričom pre $i = 1, \dots, n$ všade namiesto p_i^k dosadime $a_i^k \wedge x_i$ a namiesto p_{n+i}^k dosadime v_i^{k-1} , pričom kladime $v_1^{k-1} = v_2^{-1} = \dots = v_n^{-1} = 0$. Konečne, na splnenie posledného vzťahu v systéme (i) žiadame, aby $v_1^t = v_2^t = \dots = v_n^t = 0$.

Ak všetky premenné $x_i, y_i, u_i^k, v_i^k, w_{ij}^k$ a čísla $a_i^k \in \{0, 1\}$ považujeme za booleovské a (ii.a), (ii.b) upravíme podľa známych vzťahov ($A \Rightarrow B$ nahradíme výrazom $\bar{A} \vee B$, $\bar{A} \wedge \bar{B}$ výrazom $\bar{A} \vee \bar{B}$, $(A \wedge B) \vee C$ výrazom $(A \vee C) \wedge (B \vee C)$ a pod.), tak zrejme získame nejakú konjunktívnu normálnu formu F . Lahko možno overiť, že konštrukcia formy F vyžaduje len polynomické mnoho krokov (vzhľadom na dĺžku rovnice $a_1x_1 + \dots + a_nx_n = b$). Takže tým sme úlohu nájšť binárne riešenie rovnice polynomické pretransformovali na úlohu nájšť hodnoty booleovských premenných, ktoré spĺňajú formu F . Čo ďalej? Poslednú úlohu redukovať na (rozhodovací) problem splnitelnosti. To však je ľahké. (Zistíme, či F je splnitelná, ak áno, zvolíme hodnotu jednej premennej a znova testujeme : ak je splnitelná, tak zafixujeme hodnotu tej premennej, inak ju zmeníme na opačnú

a zafixujeme : pokračujeme tým, že zvolíme hodnotu druhej premennej atď. Ak n je počet premenných, tak v čase $O(n)$ zistíme ich hodnoty.) ■

V ďalšom uvidíme, že splnitelnosť možno polynomická redukovať na mnogé úlohy, čím sa dokáže, že sú NP-tažké. S tým sa zvyčajne uspokojíme, ale ak chceme ukázať, že sú aj NP-ťahké, tak ich zapíšeme v tvare $0 \rightarrow 1$ úlohy LP. Napr. v probléme splnitelnosti kluazulu $x_1 \vee \bar{x}_2 \vee \bar{x}_3 \vee x_4$ zapíšeme takto : $x_1 + (1 - x_2) + (1 - x_3) + x_4 \geq 1$, kde už pod x_i myslíme binárne premenné. Lahšia cesta je v príslušnej rozhodovacej verzii problému patriť do triedy NP, ale tu zistíš, že príslušná rozhodovacia verzia problému má ten význam, že často sa buduje uprednostňíme redukcie na $0 \rightarrow 1$ úlohu LP, čo má ten význam, že na ňu sa buduje na riešení úlohy LP, kde namiesto ohrazeničnia $x_i \in \{0, 1\}$ dáme $0 \leq x_i \leq 1$. Toto nás však väčšinou nebude zaujímať a prenechávame čitateľovi, aby zostrojil 0-1 úlohy LP. Istou pomocou môže byť to, že najprv zostrojíme len binárnu úlohu polynomického programovania : $\min \{f(x)|h_i(x) = 0, \dots, h_p(x) = 0, \forall x_i \in \{0, 1\}\}$, kde f, h_1, \dots, h_p sú nejaké polynomy premenných x_1, \dots, x_n , pričom každá premenná tam vystupuje len lineárne, lebo $x_i^2 = x_i$. (Prikladom takej funkcie je $5x_1x_2x_3 - 3x_2x_3 + 4x_2x_4 - 1$.) Potom známym spôsobom (pozri napr. [Taha (1975)]) nahradíme súčiny. Namiesto súčinu $x_1x_2 \dots x_k$ dám novú premennú y a pripojíme ohrazeničnia : $ky \leq x_1 + \dots + x_k \leq y + k - 1$, čo je zrejme polynomická transformácia.

Poznamenajme, že nie o každom NP-tažkom probléme vieme dokázať, že je aj NP-ťahký. Napr. úlohu binárnej rovnice $a_1x_1 + \dots + a_nx_n = b$ možno pretransformovať na spojité úlohu $\langle a_1x_1 + \dots + a_nx_n = b, x_1^2 = x_1, \dots, x_n^2 = x_n \rangle$. Preto úloha *najst racionálne (alebo aj reálne) riešenie systému nelineárnych rovníc je NP-tažká*, ale nevieme či je NP-ťahká.

APROXIMÁCIA

V optimizačných úlohách (t. j. takých, kde minimalizujeme alebo maximalizujeme účelovú funkciu pri istých ohrazeničach) má zmysel hľadať aspoň approximáciu optimámu. Existujú rôzne kritériá pre approximáciu. Za predpokladu, že optimálna hodnota f^* účelovej funkcie f je nenulová, tak snahu je získať také prípustné riešenie x , pre ktoré je $f(x)/f^* \geq \epsilon$ čo najbližšie k hodnote 1. Tako k danej minimálizáčnej úlohe s $f^* > 0$ a číslu $\epsilon \geq 1$ môžeme priradiť tzv. ϵ -approximačnú úlohu: Najst prípustné riešenie x tak, aby $f(x)/f^* \leq \epsilon$. Analogicky pre maximálizáčnu úlohu s $f^* > 0$ a číslu $\epsilon \leq 1$ stavíme ϵ -approximačnú úlohu takto. Nájst prípustné riešenie x tak, aby $f(x)/f^* \geq \epsilon$. (Tieto definície možno zjednotiť pod tzv. ϵ -approximačnú úlohu, kde $\epsilon \geq 0$: zaručí, aby $|f(x) - f^*|/|f^*| \leq \epsilon$. My však budeme používať len ϵ -approximáciu.)

Approximáčny algoritmus sa niekedy nazýva aj *heuristiký* alebo stručne len

heuristika. Všeobecnejšie pod pojmom *heuristika* pre daný problém rozumieť postup, ktorý nám nezaručuje vyriešenie každého príkladu problému. Kým approximačný algoritmus musí vždy daf priprastné, hoci nie optimálne riešenie, heuristika nemusí daf ani priprastné riešenie.

V praxi je nepríjemné stretnúť NP-ťažký problém, avšak niektoré úlohy majú dokonca príslušný Q -approximačný problém NP-ťažký aj pre $Q \neq 1$. Ilustrujeme to na 0—1 úlohe LP [Sannii, Gonzalez (1976)].

Veta 2. Pre každé $Q \geq 1$ je Q -approximačná 0—1 úloha LP (s kladným minimom) NP-ťažká.

DOKAZ. Na takúto úlohu pretransformujeme úlohu binárnej rovnice $a_1x_1 + \dots + a_nx_n = b$ ($a_1, a_2, \dots, b > 0$). Nech $k \geq Q$ je celé číslo. Postavme úlohu $\min \{1 + k(b - \sum a_i x_i) | \sum a_i x_i \leq b, x_i \in \{0, 1\}\}$. Táto úloha má minimum rovne 1 práve vtedy, keď má rovnica $\sum a_i x_i = b$ riešenie, inak je vždy minimum aspoň $1 + k$. V prvom pripade Q -approximačný algoritmus dáva hodnotu nanajívš $Q \leq k$ a v druhom vždy aspoň $1 + k$, a teda podľa toho vieme zistit, či má rovnica riešenie alebo nie.

Zostrojeniu úlohu možno ľahko prevest na základný tvar 0—1 úlohy: $\min \{z_1 + 2z_2 + 4z_3 + \dots + 2^t z_t | \sum 2^i z_i = 1 + k(b - \sum a_i x_i) : \sum a_i x_i + y_1 + 2y_2 + \dots + 2^s y_s = b : x_i, y_i, z_i \in \{0, 1\}\}$, kde t, s sú dosťatočne veľké čísla. ■

Na druhej strane, niektoré úlohy majú polynomiálne Q -approximačné algoritmy pre lubovoľné predpísané $Q \neq 1$ (ako napr. problém binárneho batohu), resp. len pre nejaké $Q \neq 1$ (pozri napr. [Garey, Johnson (1979)]). S niektorými sa stretneť aj pri grafových úlohách.

2.D Niektoré základné NP-ťažké úlohy

Tu uvedieme niekoľko ďalších úloh, z ktorých sa často vychádza pri dokazovaní, že nejaká úloha je NP-ťažká. Najprv uvedieme negrafové a potom grafové úlohy.

3-SPLNITEĽNOSŤ

Ide o problém splnieťnosť konjunktívnej normálnej formy, kde každá klaузula má práve 3 symboly. (Napr. $(x_1 \vee \bar{x}_2 \vee \bar{x}_3) \wedge (x_1 \vee x_2 \vee \bar{x}_3)$.) Už Cook (1971) dokazuje:

Veta 1. Problém 3-splniteľnosti je NP-ťažký.

DOKAZ. Dáme transformáciu z problému splniteľnosti. Ak nejaká klaузula má menej symbolov ako 3, tak jednoducho nejaký zopakujeme. Čažšie je znížiť počet symbolov. To urobíme zavedením nových premenných. Uvažujme nejakú klaузulu $C = a_1 \vee a_2 \vee \dots \vee a_k$, kde každé a_i je niektorá premenná x_1, \dots, x_n alebo jej negácia a $k > 3$. Potom namiesto C napišeme nasledujúcich $k - 2$ klauzí dlžky 3, kde y_1, \dots, y_{k-3} sú nové premenné:

$$(a_1 \vee a_2 \vee y_1), (y_1 \vee a_3 \vee y_2), \dots, \\ (\bar{y}_{k-4} \vee a_{k-2} \vee y_{k-3}), (\bar{y}_{k-3} \vee a_{k-1} \vee a_k).$$

Ak každá z týchto $k - 2$ klauzí je splnená, tak aspoň jedno $a_i = 1$, a teda C je splnené. Obrátenie, ak C je splnené, potom možno zvoliť y_1, \dots, y_{k-3} tak, že aj každá z $k - 2$ klauzí bude splnená: Ak $a_1 \vee a_2 = 1$, tak stačí zvoliť $y_1 = y_2 = \dots = y_{k-3} = 0$; ak $a_{k-1} \vee a_k = 1$, tak stačí zvoliť $y_1 = y_2 = \dots = y_{k-3} = 1$; ak nejaké $a_i = 1$, kde $3 \leq i \leq k - 2$, tak stačí zvoliť $y_1 = y_2 = \dots = y_{i-2} = 1$ a $y_{i-1} = \dots = y_{k-3} = 0$. Ak takto nahradíme každú klaузulu C_j tak získame požadovanú formu. Transformácia je zrejme polynomiálna. ■

3-ROZMERNÉ PÁRENIE

Nech X, Y, Z sú navzájom disjunktné množiny tej istej mohutnosti q a nech $M \subseteq X \times Y \times Z$ je daná množina trojíc. Úlohou je vybrať 3-rozmerné párenie $M \subseteq M$, t.j. q trojíc, z ktorých žiadne dve trojice nemajú spoločnú zložku. (Neskôr uvidíme, že „2-rozmerné párenie“ je už polynomiale zvládnuteľné.) Nasledujúci výsledok dokazuje Karp (1972), ale tu sledujeme dôkaz z [Garey, Johnson (1979)].

Veta 2. Úloha 3-rozmerného párenia je NP-tažká.

DOKAZ. Na túto úlohu pretransformujeme problém 3-splnitelnosti, ktorého premenné sú x_1, \dots, x_n a klauzuly C_1, \dots, C_m . Množina trojíc M bude pozostávať z troch množín: M^1 zabezpečí, že každá premenná x_i bude mať vo všetkých svojich výskytoch v C_1, \dots, C_m tú istú hodnotu a analogicky aj \bar{x}_i : množina M^2 zabezpečuje splnenie všetkých klauzí C_j (ak je to možné): konečne množina M^3 obsahuje zvyšné trojice, zabezpečujúce existenciu 3-rozmerného párenia, ak je forma splnitelná. Množiny M^1, M^2, M^3 a X, Y, Z definujeme postupne.

Pre každú premennú x_i a každú klaузuлу C_j zavedieme prvok x_{ij} a analogický pre \bar{x}_i a C_j je prvok \bar{x}_{ij} . Pomocou nich vyjadrimo výskyt symbolu v klauzule. Nех

$$X = \{x_{ij} | 1 \leq i \leq n, 1 \leq j \leq m\}.$$

Dalej zavádzame množiny A, B, S a T , pomocou ktorých zostrojíme požadované množiny M' (množiny A, B sa uplatňujú v M' , S v M^2 a T v M^3):

$$A = \{a_{ij} \mid 1 \leq i \leq n, 1 \leq j \leq m\},$$

$$B = \{b_{ij} \mid 1 \leq i \leq n, 1 \leq j \leq m\},$$

$$S = \{s_j \mid 1 \leq j \leq m\}, \quad S' = \{s'_j \mid 1 \leq j \leq m\},$$

$$T = \{t_k \mid 1 \leq k \leq m(n-1)\}, \quad T' = \{t'_k \mid 1 \leq k \leq m(n-1)\}.$$

Teraz kladieme:

$$Y = A \cup S \cup T,$$

$$Z = B \cup S' \cup T'.$$

Množina $M = M' \cup M^2 \cup M^3$, kde $M' \cap M^i = \emptyset$ ak $i \neq j$. Množiny M' definujeme postupne.

$$M^1 = M_1^1 \cup M_2^1 \cup \dots \cup M_n^1,$$

kde

$$M_i^1 = \{(x_{ij}, a_{ij}, b_{ij}) \mid 1 \leq j \leq m\} \cup \{(\bar{x}_{ij}, a_{ij+1}, b_{ij}) \mid 1 \leq j \leq m\},$$

pričom $a_{i,m+1} = a_1$.
Z trojic v $M^2 \cup M^3$ už žiadna nebude obsahovať a_{ij} ani b_{ij} . Každé a_{ij} a tiež b_{ij} je práve v dvoch trojiciach (z M_i^1) a v M_k^1 pre $k \neq i$ sa nevyskytujú. Potom z definície M_i^1 je vidieť, že pre dané i , každé 3-rozmerné párenie \hat{M} bude obsahovať alebo všetky trojice $(x_{ij}, a_{ij}, b_{ij}), 1 \leq j \leq m$ alebo všetky trojice $(\bar{x}_{ij}, a_{ij}, b_{ij}), 1 \leq j \leq m$. To zodpovedá tomu, že každá premenná x_i môže mať iba jedinú hodnotu.

Ďalej definujeme

$$M^2 = M_1^2 \cup M_2^2 \cup \dots \cup M_m^2,$$

kde

$$M_j^2 = \{(x_{ij}, s_j, s'_j) \mid x_i \in C_j\} \cup \{(\bar{x}_{ij}, s_j, s'_j) \mid \bar{x}_i \in C_j\}.$$

Kedzie každá kľauzula obsahuje 3 symboly, tak každé M_j^2 má najviac 3 trojice. Z týchto trojíc bude v M práve jedna (aby sme pokryli s_j treba aspoň jedna, lebo s_j nebude v trojiciach z M^1). Trojica (x_{ij}, s_j, s'_j) môže byť v \hat{M} iba vtedy, ak sa x_{ij} nevyskytuje v trojiciach z $\hat{M} \cap M^1$ a vtedy je $x_i = 1$; analogicky pre $\bar{x}_i = 1$.

Doteraz je v $\hat{M} mn + m$ prvkov množiny X . Zvyšné prvky, ktorých je $m(n-1)$, pokryjeme množinou M^3 , kde

$$M^3 = \{(x_{ij}, t_k, t'_k), (\bar{x}_{ij}, t_k, t'_k) \mid 1 \leq i \leq n, 1 \leq j \leq m,$$

$$1 \leq k \leq m(n-1)\}.$$

Kedže sme už ukázali, že 3-rozmerné párenie \hat{M} existuje práve vtedy, keď sú všetky kľauzuly súčasne splnené, tak dôkaz je hotový. ■

PRESNÉ POKRYTIE 3-MNOŽINAMI

Daná je množina U s $3p$ prvkami a systém S niektorých jej 3-prvkových podmnožín. Úlohou je najti podsystém $S' \subseteq S$ taký, že každý prvek $x \in U$ sa vyskytuje práve v jednej podmnožine z S' .

Nasledujúce pozorovanie uvádzajú Karp (1972).

Veta 3. Úloha presného pokrycia 3-množinami je NP-tažká.

DÔKAZ. Úloha 3-rozmerného párenia sa transformuje ihneď na túto úlohu: $S = \{(x, y, z) \mid (x, y, z) \in M\}$, $U = X \cup Y \cup Z$ a S' potom zodpovedá \hat{M} . ■

2-ZAFARBENIE HYPERGRAFU (ROZŠTIEPENIE MNOŽÍN)

Daná je konečná množina U a systém neprázdných podmnožín $S_1, S_2, \dots, S_m \subseteq U$. Tým je zadaný tzv. *hypergraf*: prvky z U sú jeho vrcholy a S_1, S_2, \dots, S_m sú jeho hrany. Úlohou je zafarbiť všetky vrcholy dvoma farbami tak, aby v každej hrane boli vrcholy oboch farieb (inými slovami: rozložiť U na dve triedy tak, aby žiadna množina S_i celá nepatria do jednej triedy).

Nasledujúci výsledok možno pripisať Lovászovi (1973).

Veta 4. Úloha 2-zafarbenia hypergrafu je NP-tažká, dokonca v prípade, že každá hrana obsahuje najviac 3 vrcholy.
DÔKAZ. Uvedieme transformáciu z problému 3-splniteľnosti. Nech $(a_i \vee b_j \vee c_j), j = 1, \dots, m$, sú kľauzuly, kde $a_i, b_j, c_j \in \{x_1, \dots, x_n, \bar{x}_1, \dots, \bar{x}_n\}$. Vrcholová množina bude

$$U = \{x_1, \dots, x_n, \bar{x}_1, \dots, \bar{x}_n\} \cup \bigcup_{j=1}^m \{y_j, z_j\} \cup \{t, \bar{t}\}.$$

Za hrany volíme:

$$\begin{aligned} &\{t, \bar{t}\}, \\ &\{x_i, \bar{x}_i\} \text{ pre } i = 1, \dots, n, \\ &\{a_i, b_j, y_j\}, \{c_j, z_j\}, \{y_j, z_j, t\} \text{ pre } j = 1, \dots, m. \end{aligned}$$

Ak sú všetky kľauzuly splnené, tak príslušné pravidlá dosťanú farbu 1 a farbu 0, tak symboly y_j a z_j možno zafarbiť tak, že zostrojený hypergraf bude zafarbený farbami 0 a 1. Obrátenie, nech tento hypergraf je zafarbený dvoma farbami. Môžeme predpokladať, že t má farbu 1. Potom aspoň jeden zo symbolov y_j, z_j má farbu 0, a teda aspoň jeden zo symbolov a_j, b_j, c_j má farbu 1 ($1 \leq j \leq m$). Preto bude každá kľauzula splnená. ■

3-ZAFARBENIE GRAFU

Úlohou je priradiť každému vrcholu grafu jednu z farieb 1, 2, 3 tak, aby každé dva susedné vrcholy mali rôzne farby. (Vo všeobecnosti minimálny počet farieb, ktorými možno takto zafarbiť vrcholy grafu G , nazýva sa *chromatické číslo alebo farebnosť* a označuje sa symbolom $\chi(G)$. Vidíme že $\chi(G) = k$ práve vtedy, keď graf G je k -partitný, ale nie je $(k-1)$ -partitný.)

Zistíť, či je graf 2-zafarbitelný, je ľahké. Nájst farebnosť je NP-tažká úloha [Karp (1972)]. Nasledujúci silnejší výsledok je z práce [Garey, Johnson a Stockmeyer (1976)].

Veta 5. Problém 3-zafarbenia grafu je NP-tažký.

Dôkaz. Vychádzame z problému 3-splňiteľnosti s premennými x_1, x_2, \dots, x_p a klauzulami C_1, \dots, C_q . Zostrojíme graf G , ktorý bude 3-zafarbitelný práve ak všetky C_j možno splniť súčasne. Nech $C_j = a_j \vee b_j \vee c_j$ ($j=1, \dots, q$), kde $a_j, b_j, c_j \in \{x_1, \dots, x_p, \bar{x}_1, \dots, \bar{x}_p\}$. Kladieme:

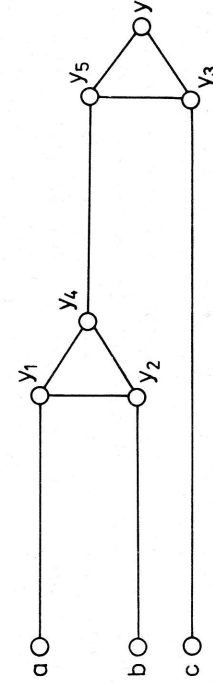
$$V(G) = \{x_1, \dots, x_p, \bar{x}_1, \dots, \bar{x}_p\} \cup \{y_{jk} \mid 1 \leq j \leq q, 1 \leq k \leq 6\} \cup \{v_1, v_2, v_3\},$$

$$E(G) = \{v_1v_2, v_2v_3, v_3v_1\} \cup \{x_i\bar{x}_i, x_iv_j, \bar{x}_iv_k \mid 1 \leq i \leq p\} \cup$$

$$\bigcup_{j=1}^q (E_j \cup \{v_2y_{j6}, v_3y_{j6}\}),$$

kde E_j je množina hran grafu H_j z obr. 1 (index j je tam všade vyniechaný). Ku každej klaузule C_j je priradený graf H_j . Ak každá klaузula C_j je splnená, tak aspoň jeden zo symbolov a_j, b_j, c_j je pravdivý. Každý pravdivý symbol nech má v G farbu 1 a nepravdivý farbu 2. Z obr. 1 vidieť, že potom zvyšok grafu H_j možno zafarbiť 3 farbami tak, aby y_{j6} malo farbu 1. Nech v_i dostane farbu i pre $i=1, 2, 3$. Takže celý graf G možno zafarbiť troma farbami.

Obrátenie, nech G je zafarbený troma farbami. Môžeme predpokladať, že v_i má farbu i ($i=1, 2, 3$). Potom y_{j6} má pre každé j farbu 1. Keďže vrchol v_3 je spojen s každým x_i a \bar{x}_i , tak a_j, b_j, c_j môžu mať iba farbu 2 a 1. Z obr. 1 však vidieť, že ak by mal iba farbu 2, tak y_{j6} by muselo mať farbu 2, čo je spor. Teda aspoň jedno



Obr. 1. Graf H z dôkazu vety 5.

Dôsledok 5(a). Problém q -aproximácie farebnosti grafu je NP-tažký pre každé $q < 4/3$.

Dôkaz. Každý q -aproximačný algoritmus použije tri farby ($3 = [3q]$) na grafy farebnosti 3 a aspoň štyri farby na grafy farebnosti väčšej ako 3, takže je to algoritmus pre úlohu 3-zafarbenia grafu. ■

Poznamenajme, že dôsledok 5(a) možno rozšíriť až po $q < 2$ [Garey, Johnson (1976)], avšak pre $q \geq 2$ je to otvorený problém.
Problém tzv. hranového zafarbenia je tiež NP-tažký [Holyer (1981)].

MAXIMOVÝ KOMPLETNÝ PODGRAF

V danom grafe treba nájsť komplettný podgraf s maximálnym počtom vrcholov. Nasledujúce tvrdenie dáva už Karp (1972).

Veta 6. Problém maximového kompletného podgrafa je NP-tažký.

Dôkaz. Urobíme transformáciu z problému splniteľnosti. Nech C_1, \dots, C_q sú klauzuly nad premenými x_1, \dots, x_p . Zostrojíme graf G takto:

$$V(G) = \{(s, i) \mid s \text{ je symbol v } C_i, s \in \{x_1, \dots, x_p, \bar{x}_1, \dots, \bar{x}_p\}, 1 \leq i \leq q\},$$

$$E(G) = \{[(s, i), (t, j)] \mid s \neq \bar{i}, i \neq j\}.$$

Lahko vidieť, že forma $C_1 \wedge \dots \wedge C_q$ je splniteľná práve vtedy, ak G má komplettný podgraf s q vrcholmi. ■

Dôsledok 6(a). Problém nájsť nulový indukovaný podgraf (nezávislú množinu) s maximálnym počtom vrcholov je NP-tažký.

Dôkaz. Stačí utobiť komplement grafu (do kompletného) a použiť predchádzajúcu vetu. ■

MINIMOVÉ VRCHOLOVÉ POKRYTIE HRÁN

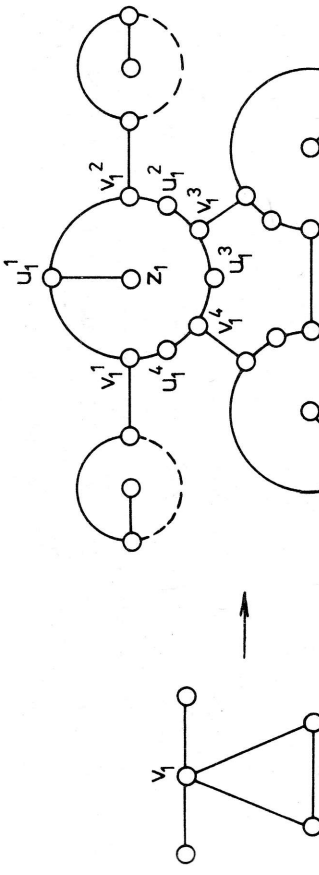
V danom grafe treba nájsť minimálny počet vrcholov pokryvajúcich všetky hrany. (Vrchol pokryva hranu, ak je jej krajom.)
Základ nasledujúceho výsledku je už v práci [Karp (1972)]: predkladaná veta je

z práce [Garey, Johnson (1977)].

Veta 7. Problém minimového vrcholového pokrycia hrán je NP-tažký dokonca pre planárne grafy s maximálnym stupňom 3.

DOKAZ. Nech je daný graf G . Lahko vidieť [Gallai (1959)], že nejaká množina $M \subset V(G)$ pokrýva všetky hrany práve vtedy, ak je množina $V(G) - M$ nezávislá. Takoto tvrdenie vyplýva ihned z dôsledku 6(a), ak nekladieme obmedzenia na grafy.

Teraz dokážeme [Garey, Johnson, Stockmeyer (1976)], že sa možno obmedziť na planárne grafy. Pre daný graf G uvažujme taký jeho diagram v rovine, v ktorom každý bod roviny je priesekom najviac dvoch hrán. Každé križovanie hrán možno nahradíť tak, ako na obr. 2, a tým získať planárny graf \hat{G} s $n(G) + 22t$ vrcholmi a $m(G) + 42t$ hranami, kde t je počet priesekov v diagrame grafu G . Prenechávame čitateľovi, aby overil, že p je minimálny počet vrcholov pokryvajúcich všetky hrany v G práve vtedy, ak $p + 13t$ je minimálny počet vrcholov pokryvajúcich všetky hrany grafu \hat{G} (pokrytie v G rozšírite na pokrytie v \hat{G} pridaním vhodných 13 vrcholov v každom podgrafe z obr. 2). Tým je ukázane tvrdenie pre planárne grafy.



Obr. 3. Zmenšenie stupňov na maximálny stupeň 3.

chávame čitateľovi, aby overil, že q je minimálny počet vrcholov pokryvajúcich všetky hrany v \hat{G} práve vtedy, keď $q + \sum \deg v = q + 2\hat{n}$ je minimálny počet vrcholov pokryvajúcich všetky hrany v \hat{G} ($\hat{n} = m(\hat{G})$).

Sumarizujúci vidime, že z minimového pokrycia v G' vieme určiť minimové pokrytie v \hat{G} a potom aj v G . ■

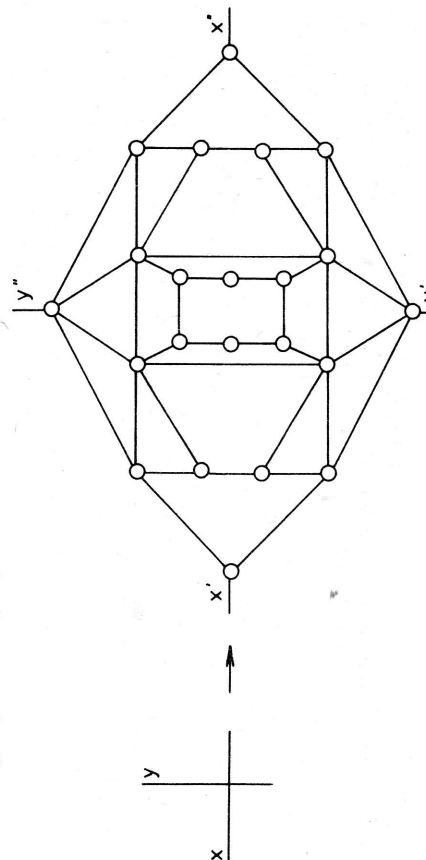
Dôsledok 7(a). Problém nájsť nezávislú množinu s maximálnym počtom vrcholov je NP-tažký dokonca pre planárne grafy s maximálnym stupňom 3.

HAMILTONOVSKÉ ÚLOHY

V danom digrafe treba nájsť tzv. hamiltonovský cyklus, t. j. cyklus obsahujúci všetky vrcholy. Príbuzné sú problémy nájdenia cesty, resp. polocyklu, resp. polocesty obsahujúcej všetky vrcholy. Tieto hamiltonovské úlohy sú NP-tažké, ako uvádzajú Karp (1972). Ďalšie príspevky boli zamerané na zosilnenie v rôznych smeroch. Nasledujúci výsledok a dôkaz je z práce [Plesník (1979)] a je založený na myšlienkach z [Garey, Johnson, Tarjan (1976)].

Veta 8. Problém nájsť hamiltonovský cyklus je NP-tažký, dokonca v planárnych bipartiitných digrafoch, kde každý vrchol v má alebo $\deg^-(v) = 1$ a $\deg^+(v) = 2$ alebo $\deg^-(v) = 2$ a $\deg^+(v) = 1$.

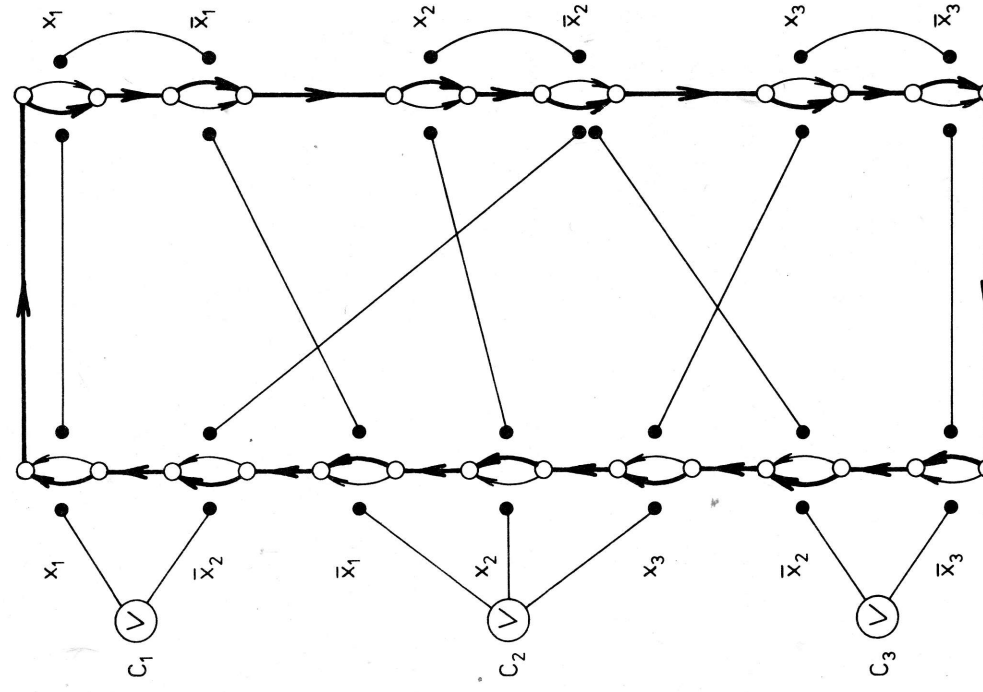
DOKAZ. Uvedieme transformáciu z problému spinietnosti. Nech forma $F = C_1 \wedge C_2 \wedge \dots \wedge C_q$, kde $C_j = S_{j1} \vee S_{j2} \vee \dots \vee S_{jk_j}$ ($k_j \geq 2$), pričom $S_{ij} \in \{x_1, \dots, x_p, \bar{x}_1, \dots, \bar{x}_p\}$. K forme F skonštruujeme digraf \hat{G} s požadovanými vlastnosťami a taký, že F je splnitelná práve vtedy, ak \hat{G} má hamiltonovský cyklus. Túto konštrukciu



Obr. 2. Planárna realizácia priesecníka.

Konečne, dokážme tvrdenie aj pre planárne grafy s maximálnym stupňom 3. Na to stačí v \hat{G} nahradíť každý vrchol jednoduchým podgrafov ako na obr. 3 (vrchol stupňa s nahradíme cyklom dĺžky $2s$, z ktorého ešte vychádza jedna koncová hrana). Pôvodné hrany inciduntú s každým druhým vrcholom cyklu. Získaný planárny graf (alebo multigraf) G' má zrejmé maximálny stupeň 3. Zasa pre-

ilustrujeme na obr. 4, kde je základná schéma digrafu G pre $F = (x_1 \vee \bar{x}_2) \wedge (\bar{x}_1 \vee x_2 \vee x_3) \wedge (\bar{x}_2 \vee \bar{x}_3)$. (Tu je $p = q = 3$, $k_1 = 2$, $k_2 = 3$, $k_3 = 2$.) Najprv priradíme k F multidigraf Z tvaru cyklu $2(k_1 + \dots + k_q + 2p)$, v ktorom sú striedavo umiestnené jednoduché a dvojnásobné šípy. Predpokladá



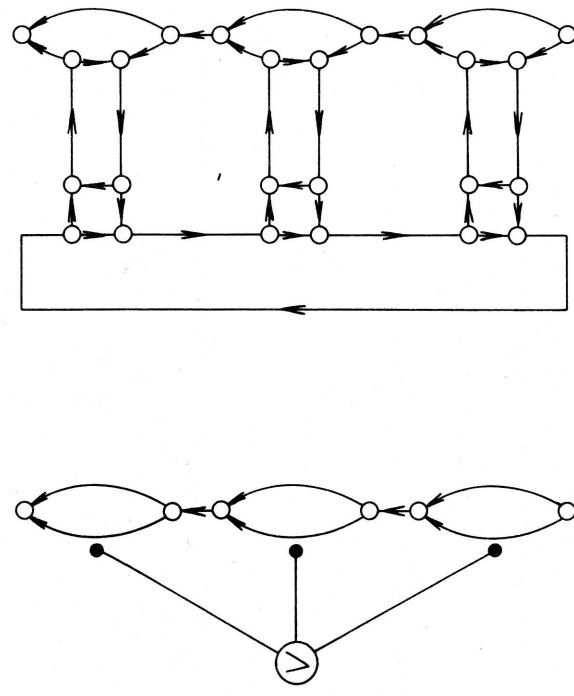
Obr. 4. Konštrukcia digrafa G pre formu $F = (x_1 \vee \bar{x}_2) \wedge (\bar{x}_1 \vee x_2 \vee x_3) \wedge (\bar{x}_2 \vee \bar{x}_3)$:
 $F(1, 0, 1) = 1$.

sa, že (a) ku každej kľauzule C_j je priradený úsek „cyklu“ Z , ktorý obsahuje k_j dvojnásobných šípov ($2k_j$ vricholov), (b) okrem toho každej dvojici symbolov x_i a \bar{x}_i zodpovedá úsek obsahujúci dva dvojnásobné šípy, (c) všetky dvojnásobné šípy zodpovedajúce kľauzám sú v jednom úseku (budeme predpokladať, že v ľavom) a ostatné zodpovedajúce symbolom x_i a \bar{x}_i sú v druhom (v pravom). Tento multidigraf Z je základom, ktorý budeme rozširovať na požadovaný digraf G pomocou špeciálnych súčasťok (pozri obr. 4).

Budeme vyžadovať, aby hodnota pre x_i (alebo \bar{x}_i) bola pravdivá, ak hamiltonovský cyklus obsahuje ľavý šíp z každej dvojice šípov priradených premennej x_i (alebo \bar{x}_i). Napríklad, hamiltonovský cyklus vyznačený na obr. 4 hrubou čiarou ukáva $x_1 = 1$, $x_2 = 0$, $x_3 = 1$.

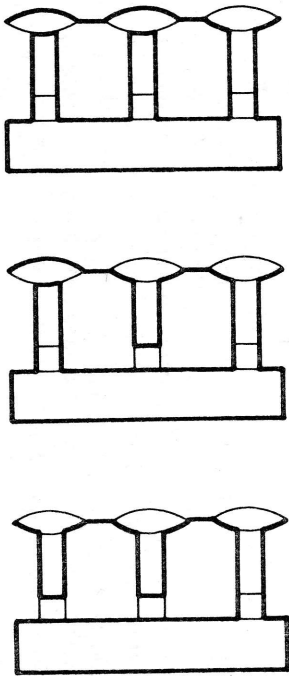
Ukážeme, že v digrafoch možno simulaovať isté súčasťky (načrtnuté na obr. 4), ktoré nám zabezpečia, že každý hamiltonovský cyklus v Z bude: (i) obsahovať aspoň jeden ľavý šíp v každom C_j , (ii) pre každý výskyt symbolu x_i (alebo \bar{x}_i) bude prechádzať alebo cez všetky ľavé šípy alebo cez všetky pravé šípy priradené k x_i (alebo k \bar{x}_i), (iii) nikdy neprechádza súčasne cez nejaký ľavý šíp a cez nejaký pravý šíp zodpovedajúci x_i (analogicky \bar{x}_i).

Hamiltonovský cyklus v Z splňajúci (i), (ii) a (iii) budeme nazývať obmedzený hamiltonovský cyklus, stručne OH cyklus.



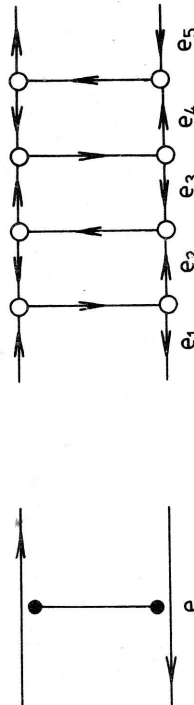
Obr. 5. 3-disjunktor a digrafová realizácia.

Prvá súčiastka nazývaná „ k -disjunktor“ spája k (≥ 2) šípov zodpovedajúcich kľauzule a zabezpečuje, že aspoň jeden z nich musí ležať v lubovoľnom OH cykle v Z , čo značí, že každá kľauzula C_j bude splnená (podmienka (i)). Schematické znázornenie a digrafová realizácia 3-disjunktora je na obr. 5. (Čitateľ si to ľahko urobí pre lubovoľné $k \geq 2$: ak každá kľauzula v F má tri symboly, netreba nič viac robiť.) Každý spájaný šíp e je nahradený troma šípmi e_1 , e_2 , e_3 tak, že e sa vyskytuje v nejakom OH cykle v Z práve vtedy, ak e_1 a e_3 sa súčasne vyskytujú v nejakom hamiltonovskom cykle takto rozšíreného multidigrafu Z . To možno ľahko vidieť pomocou obr. 6, kde sú načrtnuté základné možnosti pre taký cyklus (pre 3-disjunktor).



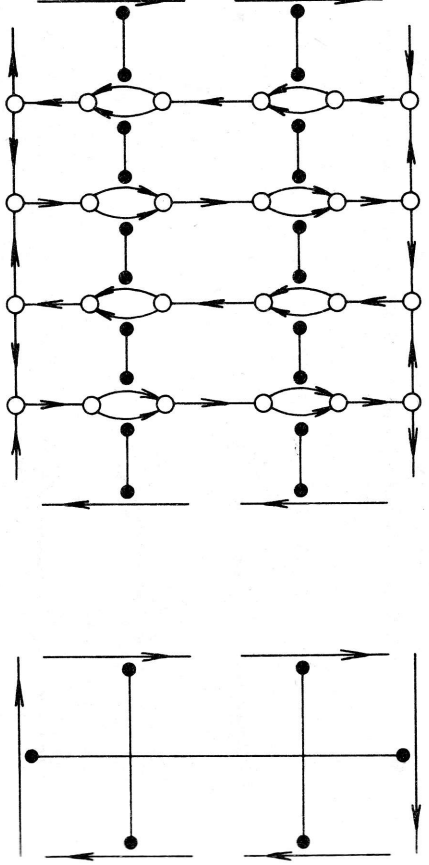
Obr. 6. Možné stavy pre 3-disjunktor (symetrické prípady sú vynechané).

Druhá súčiastka, ktorú nazveme „vylučujúci disjunktor“, spája dva šípy a zabezpečuje, že práve jeden z nich sa bude vyskytovať v OH cykle. Istý počet takýchto vylučujúcich disjunktorov (pozri obr. 4) nám zabezpečuje podmienky (ii) a (iii). Vylučujúci disjunktor možno realizovať digrafovom tak, ako na obr. 7. Vidime,



že šíp e sa bude vyskytovať v nejakom OH cykle v Z práve vtedy, ak šípy e_1 , e_3 a e_5 sa budú súčasne vyskytovať v nejakom hamiltonovskom cykle takto rozšíreného multidigrafu Z .

Na zabezpečenie planarity treba ešte vyriešiť križovanie dvoch vylučujúcich disjunktorov. To však možno realizovať tak ako na obr. 8.



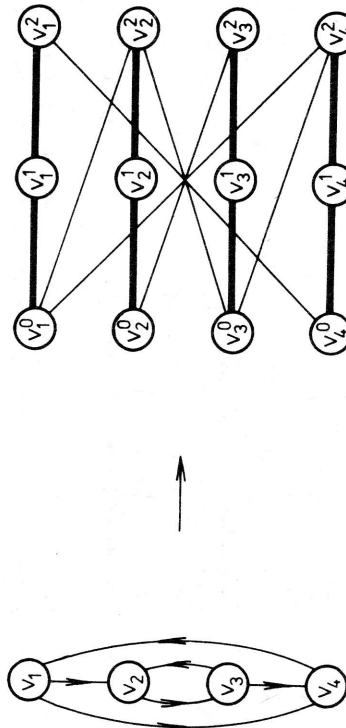
Obr. 8. Križovanie vylučujúcich disjunktorov a planárna realizácia.

Po realizácii všetkých súčiastok zrejmé získame digraf G , ktorý je planárny a pre každý vrchol v je alebo $\deg^+(v) = 1$ a $\deg^-(v) = 2$ alebo $\deg^+(v) = 2$ a $\deg^-(v) = 1$. Navyše, G nemá polocyklos nepárnnej dĺžky (overte!), a teda je bipartitný. Tiež prenechávame čítateľovi overiť, že G sme zostrojili v polynomialeom počte krokov (vzhľadom na $p + q$). Zrejme platí: forma F je splniteľná práve vtedy, keď G má hamiltonovský cyklus. Dôkaz je hotový. ■

Následujúci dôsledok je verziou istého výsledku z práce [Garey, Johnson, Tarjan (1976)].

Dôsledok 8(a). Problém nájsť hamiltonovský cyklus je NP-tažký, dokonca v planárnych bipartitných grafoch s maximálnym stupňom 3.

DOKAZ. Použijeme transformáciu z digrafov na grafy, ktorú navrhol R. E. Tarjan v [Karp (1972)]. Každý vrchol v_i digrafu G nahradíme troma vrcholmi v_i^0 , v_i^1 a v_i^2 ; pridáme rebrá $v_i^0v_i^1$ a $v_i^1v_i^2$; namiesto každého ťažna v_iv_k dátme rebro $v_i^0v_k^2$. Konštrukciu takého grafu \hat{G} ilustruje obr. 9. Ľahko vidieť, že digraf G má hamiltonovský cyklus práve vtedy, keď \hat{G} má hamiltonovský cyklus. Ak vydeme z grafu G splňajúceho obmedzenia vety 8, tak zrejme \hat{G} bude bipartitný s maximálnym stupňom 3. ■



Obr. 9. Transformácia digrafu na graf.

Veta 9. (a) Problém nájsť hamiltonovskú cestu je NP-tažký dokonca pre digrafy z vety 8.

(b) Problém nájsť hamiltonovskú cestu je NP-tažký dokonca pre grafy z dôsledku 8(a).

DÔKAZ. (a) Ak na obr. 4 spojíme vrchóny šíp so spodným šípom vylučovacím disjunktorom, tak zrejme ziskaný digraf G' bude mať hamiltonovskú cestu práve vtedy, keď digraf G (z dôsledku vety 8) má hamiltonovsky cyklus (vrchný aj spodný šíp v nám ležia). Keďže G' má požadované vlastnosti, dôkaz je hotový.

(b) Stačí modifikovať konštrukciu z obr. 9 tak, že jeden zo stredných vrcholov, napr. v_i^1 , nahradime dvoma vrcholmi u a w a pridame rebrá $v_i^0 u$ a $w v_i^1$. Ziskaný graf je zrejme planárny, bipartitný, s maximálnym stupňom 3 a má hamiltonovskú cestu (s krajinmi u a w) práve vtedy, keď pôvodný graf \hat{G} (z dôsledku 8(a)) má hamiltonovský cyklus. ■

POZNÁMKÁ

Uvedli sme niekoľko NP-tažkých úloh. S niekoľkými sa ešte oboznámieme v cvičeniacích, resp. v ďalších kapitolách. Najväčší zoznam NP-tažkých problémov je v knihe [Garey, Johnson (1979)], kde čitateľ nájde úlohy z rôznych oblastí: teória grafov, algebra a teória čísel, teória hier, logika, matematické programovanie a ī. Je tam vyše 300 základných problémov, ktoré sa ešte špecializujú, čím tento počet mnohonásobne vzrástá.

Nasledujúce kapitoly knihy sú venované grafovým úloham. Väčšinou ide o kombinatorické problémy, t. j. také, kde z konečnej množiny treba vybrať prvok, resp. prvky požadovaných vlastností. Preto v tejto časti urobíme niekoľko poznamok k navrhovaniu a posudzovaniu algoritmov. Podrobnejšie informácie môže čitateľ nájsť napr. v [Aho et al. (1974)], [Gruska (1975)], [Reingold et al. (1977)] a [Garey a Johnson (1979)].

NIEKTORÉ VŠEOBECNÉ METÓDY

Tu uvedieme niekoľko jednoduchých, ale užitočných metód používaných pri riešení kombinatorických úloh.

Významná a veľmi všeobecna je myšlienka **rekurzie**, ktorá spočíva v tom, že sa problém redukuje na jeden, resp. niekoľko menších problémov (často toho istého druhu), ktoré môžeme opäť redukovať atď., až získame problém, ktoré vieme bezprostredne vyriešiť. Potom sa z riešení menších problémov utvoria riešenia väčších, až sa získa riešenie pôvodného problému. Príkladom použitia tejto myšlienky je v časti 2.A spomínaná metóda bisekcie ($O(\log n)$ algoritmus pre zistenie toho, či sa dané číslo nachádza v danej neklesajúcej postupnosti n čísel).

Myšlienku rekurzie nachádzame aj v tzv. **metóde dynamického programovania**. Táto je použiteľná pre (optimálizáčné) úlohy, ktorých riešenie možno získať cez postupnosť rozhodnutí. Pritom netreba generovať všetky možné postupnosti, ale len optimálne postupnosti. Ak podpostupnosti optimálnych postupností musia byť tiež optimálne pre príslušné podproblemy, tak hovoríme, že platí tzv. **princíp optimality**. (Vtedy také postupnosti, ktoré obsahujú neoptimálne podpostupnosti, netreba generovať.) Typické použitie tejto myšlienky uvidíme pri hľadaní najkratšieho sledu v kap. 4 ($i-j$ úsek najkratšieho sledu musí byť najkratším $i-j$ sledom).

Inou realizáciou myšlienky rekurzie je tzv. **metóda vettenia a ohraňčovania**. Tu množinu prípustných riešení optimalizačného problému rozkladáme (verívme) na niekoľko podmnožín a riešime, resp. vettíme, resp. vettíme, príslušné podproblemy. Ak zistíme, že hodnota účelovej funkcie na nejakej podmnožine nemôže byť lepšia ako doteraz zistená hodnota (ohraňčenie), tak túto podmnožinu vynecháme. Pri výriešení niektorého podproblému často získame lepšie ohraňčenie atď. Táto metóda je takmer vždy použiteľná, avšak zvyčajne dáva iba nepolyomné algoritmy.

Ďalšie realizácie myšlienky rekurzie sa objavujú v podobe rôznych operácií na grafoch. Takými sú napr. vynechávanie hrán, resp. vrcholov, kontrakcie niektorých podgrafov a pod.

Uvádzané metódy sú samozrejme len náčrtky, ktoré treba pre daný problém prispôsobiť a doplniť. Hoci niekedy dávajú algoritmus, často získame len heuristiku. Tak je to aj s nasledujúcim metódou, ktorá sa nazýva *pažravá* (greedy) metóda. Úlohou je z danej konečnej množiny prvkov, z ktorých každý má priradenú nejakú hodnotu, vybrať podmnožinu maximálnej sumárnej hodnoty a splňajúcu isté ohraničenie. Pažravá metóda vyberá vždy najhodnotnejší prvok, potom druhý najhodnotnejší atď. Pritom sa vždy testuje, či utvorená podmnožina spĺňa požadované ohraničenie. Ak nie, tak posledný pridaný prvok vylúčime a v ďalších krokoch už viac neuvažujeme. Táto myšlienka našla uplatnenie napr. pri konštrukcii najlacnejšej kostry (kap. 5).

Veľký význam pri konštrukcii algoritmov majú rôzne štruktúry dát, lebo často závlahujú manipuláciu. Keďže nás budú zaujímať skôr základné myšlienky algoritmov, ako ich detailná implementácia (podrobne realizovaný algoritmus), tak sa obmedzujeme len na jednoduché štruktúry dát. Efektívnejšie algoritmy využívajúce zložitejšie a dômyselnnejšie štruktúry nájdete čitateľ v uvádzaných prameňoch. Používame len také jednoduché a dobre známe štruktúry ako *Pole* (vektor, matica), *zásobník* (ukladáme za posledný prvok a vyberáme posledný prvok), *front* (ukladáme za posledný prvok a vyberáme prvy prvok), resp. ich rôzne modifikácie (napr. *prioritný front*) umožňujúce jednoducho vsúvať a vyberať aj vnútorné prvky (pozri najpr. [Aho et al. (1974)] alebo [Reingold et al. (1977)]).

O POSUDZOVANÍ ALGORITMOV

V časti 2. A sme uvedli definíciu zložitosti. (Ide o časovú zložitosť. Tzv. *priestorová zložitosť*, udávajúca potrebnu veľkosť pamäti, sa definuje analogicky; tu však spomíname len sporadicke.) Táto definícia je zameraná na *najhorší prípad*, a preto sa môže stať, že tých príkladov, kde algoritmus vyzaduje veľa krokov, je veľmi malo, resp. sa nevyskytuje medzi príkladmi z praxe. Tak je to napr. so simplexovou metódou (pozri 2. B). Nabáda to k zmene pohľadu na algoritmy, a to neposudzovať ich podľa správania v najhoršom prípade, ale napr. podľa správania v *priemernom* prípade, čo je *pravdepodobnosťné* kritérium.

Pravdepodobnosťné metódy v teórii grafov sú diskutované napr. v [Erdős, Spencer (1974)] a objavujú sa aj aplikáciu pri navrhovaní a analyzovaní algoritmov a heuristik (napr. [Pósa (1976)], [Karp (1977)], [Babai, Kučera (1979)] a ī.). Pravda, tu vystupujú otázky týkajúce sa pravdepodobnosťho rozloženia. Jednoducho to možno ilustrovať na úlohe nájsť priemer grafu.

Postavíme takisto $O(1)$ heuristiku: Bez prezerania grafu prehlásime, že priemer je 2. Keďže je známe, že takmer každý graf má priemer 2, tak uvedená heuristika bude s pravdepodobnosťou 1 dávať správny výsledok. V mnohých príkladoch z praxe by sme zrejme s týmto výsledkom neboli spokojní.

V našej knihe pravdepodobnosťné metódy neuvádzame. Tiež tu čitateľ nenádej zožeobecnenia grafových algoritmov na abstraktnejšie štruktúry, tzv. *matroidy*. V tomto smere odporúčame knihu [Lawler (1976)]. V týchto speciálnych množinových systémoch (hypergrafoch) sa však stráca pravok názornosti a algoritmy sú už „negrafové“. Pre všeobecné hypergrafové neboli dosiahnuté výraznejšie algoritmické úspechy. O hypergrafoch pojednávajú napr. Berge (1970), Zykov (1974), Lovász (1979) a Nešetřil (1979).

Sumárne možno konštatovať, že pri posudzovaní algoritmov sú ešte stále veľké rozdiely medzi teóriou a praxou. Najviac sa to prejavuje pri úlohach malých rozmerov, kde napr. $O(n^3)$ algoritmus môže byť horší ako $O(n^2)$ algoritmus alebo dokonca ako $O(2^n)$ algoritmus, už len z toho dôvodu, že ide o asymptotickú zložitosť.

Na záver treba zdôrazniť, že mnohé významné problémy z praxe sú NP-ťažké, a preto je malá nádej na existenciu polynomiálnych algoritmov. Avšak existuje polynomiálne algoritmy pre príbuzné úlohy tu môžu dobre poslužiť ako základné prvky pri navrhovaní heuristik. Iným východiskom je štúdium špeciálnych podriedí problemov, t. j. uvažovať algoritmy pre špeciálne triedy grafových štruktúr. Viaceré také algoritmy možno nájsť v knihe [Golumbic (1980)].

2. Z

Cvičenia a poznámky

1. Nech je dané číslo k . Navrhnite $O(n)$ algoritmus pre usporiadanie celých čísel a_1, a_2, \dots, a_n , ak vieme, že $-k \leq a_i \leq k$ pre každé i .
 2. Navrhnite lineárne (vzhľadom na dĺžku vstupu plus výstupu) algoritmy prevádzajúce jedný grafový dátá na druhej (pozri 1.G).
 3. Dokážte, že vybrať z daného systému množín maximálny počet navzájom disjunktných množín je NP-ťažký problém [Karp (1972)].
 4. Nech je dany systém $\{S_1, \dots, S_p\}$ podmnožín množiny U . Treba nájsť podmnožinu $U' \subseteq U$ takú, aby $S_i \cap U' \neq \emptyset$ pre každú i a pričom množina U' má minimálnu mohutnosť. Dokážte, že úloha je NP-ťažká [Karp (1972)].
 5. Dokážte zosilnenie vety 2.D.5: Problém 3-zafarbenia planárneho grafu je tiež NP-ťažký.
 6. Ovrite, že úlohu zafarbit graf G k farbami možno sformulovať takto: Nех premená $x_{ij} \in \{0, 1\}$ ($1 \leq i \leq n$; $1 \leq j \leq k$) má hodnotu 1, ak vrchol i dostane farbu j a 0 inak. Potom máme $0 \rightarrow 1$ úlohu LP (bez účelovej funkcie):
- $$\sum_j x_{ij} = 1 \quad (1 \leq i \leq n), \quad x_{ij} + x_{kj} \leq 1 \quad \text{ak } i \neq j \leq k.$$

Pre hľadanie farebnosti grafov bolo navrhnutých mnoho heuristik, ale žiadna z nich nezaručuje dobrú aproximáciu (pozri napr. [Johnson (1974)] a [Plesník (1980)].)

7. Ukážte, že problém rozložiť vrcholy grafu do daného počtu k tried tak, aby počet hrán spájajúcich vrcholy z rôznych tried bol maximálny, je NP-tažký. [Návod: Uvážte problém farebnosti grafu [Sahni, Gonzales (1976)].] Úloha je NP-tažká dokonca pre $k = 2$ (tzw. maximový rez) [Garey, Johnson, Stockmeyer (1976)]. Sahni a Gonzalez (1976) uvádzajú $(k+1)/k$ -aproximačný algoritmus.

8. (a) Treba nájsť minimálny počet vrcholov, ktorých vyniechanie z digrafa dá acyklický digraf. Ukážte, že je to NP-tažké [Karp (1972)]. [Návod: Vrcholové pokrytie hrán grafu : každé rebro nahradte dvojicou protisípov.]
 (b) Dokážite analógium úlohy (a) pre vyniechanie hrán [Karp (1972)]. [Návod: Použite (a) : každý vrchol w nahradte šípom $w'w''$ a šíp uv šípom $u''v'$.]

(c) Dokážite analógium (b) pre prípad, že šípy nevyniechávame, ale obraciame. [Návod: Dokážite, že minimál sú rovnaké [Grinberg, Dambit (1966)]: použite vetu 1.E.2.]

9. Množina vrcholov $S \subseteq V(G)$ grafu G sa nazýva *dominujúca*, ak pre každé $u \in V(G) - S$ je $S \cap V(u) \neq \emptyset$. Ukážte, že problém nájsť dominujúcu množinu minimálnej mohutnosti je NP-tažké. [Návod: V probléme vrcholového pokrycia hrán pridajte ku každej hrane uv cestu $ux_{uv}v$, kde x_{uv} je nový vrchol. Problem zostáva NP-tažký aj pre planárne grafy s maximálnym stupňom 3 [Garey, Johnson (1979) a Plesník (1980a)].]

10. *Problém multicentra (p -centra):* Pre dané p treba v grafe G vybrať p -vrcholovú množinu C tak, aby $\max_{u \in V(G)} \min_{v \in C} d(u, v)$ bolo minimálne. *Problém multimediu (p-mediu):* Tu C treba vybrať tak, aby $\sum_{u \in V(G)} \min_{v \in C} d(u, v)$ bolo minimálne.

Dokážte, že obe úlohy sú NP-tažké a že problém ρ -approximácie multicentra je pre $\rho < 2$ tiež NP-tažký. [Návod: Použite problem dominujúcej množiny.] (Tieto problémy sú NP-tažké dokonca pre planárne grafy s maximálnym stupňom 3 [Plesník (1980a)].)

Uvedené problémy možno interpretovať ako úlohy optimálneho rozmiestnenia p stredísk (požiarne zboru, nemocnice, obchody a pod.) v uzloch (obciach) komunikačnej (cestnej) siete. V aplikáciách treba uvažovať ohodnotenie grafy, kde každá hrana má nejakú dižku a každý vrchol u má váhu (dôležitosť) $w(u)$; potom v uvedených definíciiach uvažujeme namiesto $d(u, v)$ „váženú

vzdialenosť“ $w(u) d(u, v)$. Algoritmy pre takéto problémy možno nájsť napr. v [Christofides (1975)], [Minieka (1978)] a [Kariv, Hakimi (1979) a (1979a)].

11. Pre daný graf G a číslo k treba nájsť také vrcholové pokrytie V_1 všetkých hrán, ktoré tvorí súvisívý podgraf (t. j. $G(V_1)$ je súvisívý graf). Dokážte, že tento problém je NP-tažký dokonca pre planárne grafy s maximálnym stupňom 4 [Garey, Johnson (1977)]. [Návod: Uvažujme rovinny diagram grafu G v probléme minimového vrcholového pokrycia a doplnme ho takto: (a) V každej stene (oblasti) zakreslime uzavretú krivku veda hranice steny. Potom do každej pôvodnej hrany $ij \in E(G)$ vsunieme dva nové vrcholy x_{ij}' , x_{ij}'' a do príslušného úseku každej príhalej krivky zakreslime 2 vrcholy x_{ij}'' a x_{ij}''' ; okrem toho pridáme dva vrcholy x_{ij}''', x_{ij}'''' a hrany $x_{ij}x_{ij}'$, $x_{ij}x_{ij}''$, $x_{ij}x_{ij}'''$, $x_{ij}x_{ij}''''$. Vedľa každej pôvodnej hrany sme prechádzali pri kreslení kriviek 2 raz, a preto z x_{ij} vedú hrany na dve strany, takže bude stupňa 4. (b) Pre každý pôvodný vrchol $v \in V(G)$ pridáme dva vrcholy v' a v'' tak, že v' umiestníme na niektornej príhalej krivke a v'' vnutri oblasti. Potom pridáme hrany vv' a $v''v'$. Nech G' je získaný graf a r je počet všetkých vrcholov typu x_{ij}', x_{ij}'' a v' . Potom $n(G') = n(G) + 2m(G) + 2r$. Dokážte, že G má vrcholové pokrytie mohutnosti k práve vtedy, keď G' má súvislú vrcholové pokrytie mohutnosti $k' := k + m(G) + r$.]
12. Pre daný graf G a číslo d treba nájsť podgraf priemeru d s maximálnym počtom vrcholov. Táto úloha je NP-tažká, lebo je NP-tažká pre $d=1$ (veta 2.D.6). Dokážte, že je NP-tažká aj pre každé pevné $d \geq 2$ [Kyš, Wawruch (1981)]. [Návod: Možno urobiť transformáciu z problému pre $d=1$. Daný graf G_1 rozšírite na vhodný graf G_d tak, aby maximový podgraf priemeru d v G_d určoval maximový kompletný podgraf v G_1 .]
13. Ukážte, že problém rozlezenia multimnožiny prirodzených čísel $\{a_1, \dots, a_n\}$ na dve časti s rovnakými súčtami, zostáva NP-tažký aj pre množinu (t. j. $a_i \neq a_j$ pre $i \neq j$). [Návod: Uvažte rozdelenie množiny $\{1, 2, \dots, n, Ka_1 + 1, Ka_2 + 2, \dots, Ka_n + n\}$ pre dostatočne veľké K .]
14. Ukážte, že trv. úloha kvadratického programovania je NP-tažká dokonca pri celočíselných dátach (ide o úlohu minimalizovať kvadratickú funkciu $x^T Cx + p^T x$ pri lineárnych ohaničeniaciach $Ax \leq b$, kde prvky matíc C , A a vektorov p , b sú dané celé čísla) [Sahni (1974)]. [Návod: Transformujte úlohu binárneho riešenia systému lineárnych rovníc; ukážte, že každé $x_i \in \{0, 1\}$ práve viede, keď $0 \leq x_i \leq 1$ a $\min \Sigma (x_i - x_i^2) = 0$.] Poznamenajme, že pre úlohu konvexného kvadratického programovania (ak uvedená kvadratická funkcia je konvexná, alebo ekvivalentne, ak C je pozitívne semidefinitná matica) existuje polynomálny algoritmus [Kozlov, Tarasov, Chačian (1979)].

3 DOSIAHNUTELNOSŤ

Jeden z najjednoduchších postupov uvádza Tarry (1895) a formuluje ho pre problém úniku z labyrintu. Tu uvedieme jeho metódu na grafe.

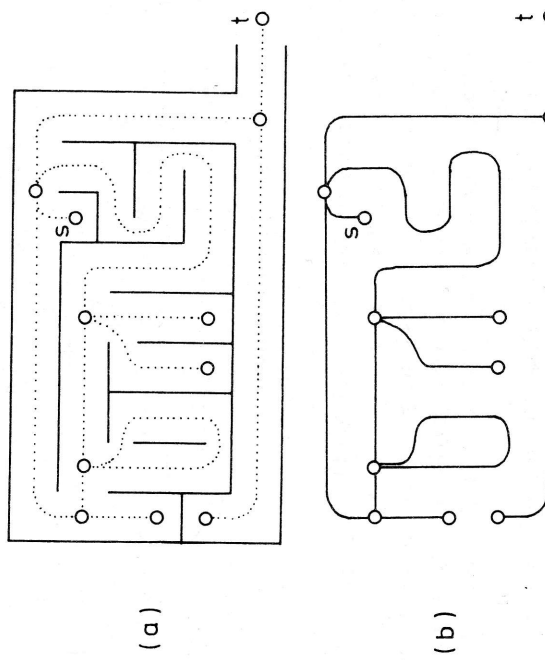
Medzi základné, a pritom jednoduché úlohy na grafoch patrí úloha zistieť, či nejaké dva vrcholy v grafe súvisia, resp. nájsť všetky komponenty grafu. Tieto úlohy súvisia s klasickou úlohou prieskumu labyrintu a ľiou aj začíname. Komponentu grafu je jeho maximálny stívlský podgraf. Tu študujeme aj niektoré iné maximálne podgrafy. Konkrétno budeme hľadať bloky, listy a silne súvislé komponenty. Tiež uvažujeme otázku minimálneho doplnenia grafu (digrafu) na graf (digraf) s takýmto vlastnosťami. Záver kapítoly patrí hľadaniu minimálnych digrafov, resp. maximálnych digrafov s rovnakou dosiahnutelnosťou (transzitívna redukcia a tranzitívny uzáver).

3. A Prieskum grafov

Ak je daný graf G napr. pomocou susedskej matice alebo zo zoznamov okolí, ľahko možno ihned zistieť, či G má predpisanú vlastnosť. Intuitívne je zrejmé, že každá „netriviálna“ vlastnosť bude vyžadovať preskúmanie „grafa“. Inak to nie je ani vtedy, ak G je zadaný diagramom a treba zistieť, či je graf G sliviský. Totíž v diagrame nemusia byť jednotlivé komponenty zakreslené oddelené. Ak je pritom graf G (resp. jeho diagram) rozsiahly, tak v jednom momente môžeme pozorovať iba jeho malú časť a graf sa nám javí ako labyrint.

LABYRINTY

Konštrukcia bludísk je staroveké umenie, ktoré čitateľ iste pozná z mytológie. Abyšak matematické štúdium takého objektu sa objavuje až koncom 19. storočia a uvádzra sa v knihách z rekreačnej matematiky [Lucas (1882)], [Čupr (1949)]. Uvažujme príklad labyrintu na obr. 1(a), kde rázcestia a konce chodieb sú vyznačené krúžkami a možnosti chodenia predstavujú bodkované čiary. Takto sme už priradili k danému labyrintu pseudograf, ktorý je prekreslený na obr. 1(b). Úlohou je dostať sa z miesta s do miesta t (teda von). V inej terminológii treba nájsť $s \rightarrow t$ sled v príslušnom pseudografe. Keďže úvahy pre graf a pseudograf sa v ničom neodlišujú, budeme hovoriť len o grafe.



Obr. 1. Labyrint a príslušný pseudograf.

TARRYHO PRIESKUM GRAFOV

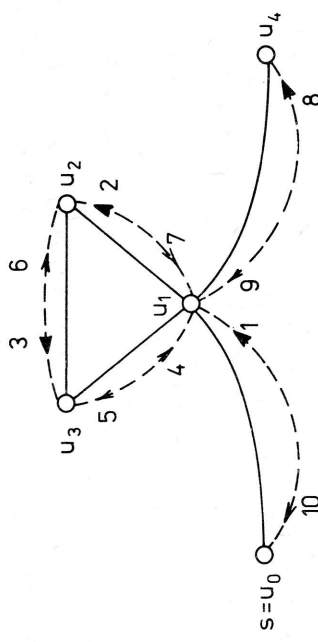
Táto metóda spočíva v konštrukcii sledu začínajúceho v danom vrchole s podľa nasledujúcich dvoch pravidiel.

(T1) Každou hranou môžeme v jednom smere prechádzať nanajvyš raz.
(T2) Po tej hrane, po ktorej sme prišli do nejakého vrcholu prvýkrát, môžeme ďalšiu iba vtedy, ak niet inej možnosti. ●

Na obr. 2 je príklad grafu a sledu vytvoreného týmto postupom (prerušované čiary so šípkami ukazujú, ktorým smerom hranou prechádzame, číslo určuje poradie hran v sledo, plná šípka označuje, že touto hranou sme do vrcholu prišli prvýkrát).

Veta 1. (a) Tarryho prieskum grafov je konečný.

(b) Ak pravidlá (T1) a (T2) nedovolujú vytvoriť dlhší sled, tak posledný vrchol sledu je s (teda sled je uzavretý) a každá hrana komponentu grafu obsahujúceho s je prejdená oboma smermi.



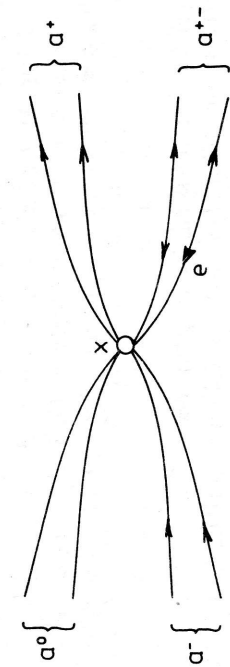
Obr. 2. Tarryho prieskum.

DOKAZ. (a) Graf má konečne mnoho hrán a pravidlo (T1) zakazuje prechádzat hrano viac ako 2 razy (raz v každom smere).

(b) Nech je utvorený prípustný $s-x$ sled Q , ktorý už nemôžno predĺžiť. Ak by $x \neq s$, tak existuje hraná e , ktorou sme prišli do x pred s . Z nepredĺžiteľnosti sledu vyplýva, že hraná e je už prejdená aj v smere od x . Vrátme sa do okamihu tesne po tomto prejdení hranáy e .

Všetky hrany incidentné s x možno rozdeliť na triedy (obr. 3). Nech a^0, a^-, a^+ , resp. a^{+-} je počet tých hrán, ktoré sú vôbec neprešli, ktorími sme do x len prišli, z x len odšli, resp. prišli aj odšli. Z našich predpokladov máme: $a^+ + a^{+-} = a^- + a^+$ (počet príchodov a odchodov musí byť rovnaký), $a^0 + a^- = 0$ (pravidlo (T2)). Teda ak $a^+ = 0$, čo značí, že všetky hrany incidentné s x sú už prejdené dvakrát. Takže po tomto odchode z x nemôžno nikdy do x prísť (T1). Tento spor dokazuje, že $x = s$.

Je zrejmé, že celý sled Q leží v komponente C obsahujúcom s . Treba ukázať, že každá hraná v C je prejdená oboma smermi (t. j. nachádza sa v Q dvakrát). Nech



Obr. 3. Situácia po odchode hranou e.

$s = u_0, u_1, \dots, u_q$ je poradie vrcholov, v akom sa v Q vyskytujú prvýkrát. Indukciu dokážeme, že všetky hrany incidentné s u_r ($r = 0, 1, \dots, q$) sú prejdené oboma smermi. Z u_0 sme vystartovali a teraz v ňom stojíme, takže počet odchodov sa rovná počtu prichodov, a preto každá hrana incidentná s u_0 je prejdená oboma smermi. Teda tvrdenie pre u_0 platí. Nech $r > 0$ a nech u_{k+r} je hrana, ktorou sme do u_r prišli prvýkrát. Pretože $k < r$, tak táto hrana je podľa indukčného predpokladu prejdená oboma smermi. Avšak po jej prejdení v smere od u_r už musia byť všetky hrany incidentné s u_r prejdené oboma smermi (to sa ukáže ako vyšše pre x , obr. 3).

Z dokázaného už ľahko (indukciou) vidieť, že vrcholy každej $u_0 \rightarrow x$ cestu sme navštívili, a teda prezreli celý komponent C . ■

Poznamenajme, že ak chceme nájsť nejakú $s-x$ cestu, kde s a x sú predpísané vrcholy, tak nie je potrebné, aby algoritmus prebehol celý. Jednoducho ho zastavime, ak prideme do x prvýkrát. Tým máme zaručený $s-x$ sled. Jeho posledné pozostávajúci z hrán prejdených práve raz je $s-x$ tāh (nie nevyhnutne cesta).

Pre skutočný labyrint Tarry navrhuje zaznamenaná prechody chodobami a smery takto: Ak prechádzame chodbou prvý raz, zanecháme na jej začiatku dve znácky a na jej konci jednu alebo tri znácky podľa toho, či prichádzame do známeho (t. j. už predtým navštiveného) alebo do nového rázcestia. Ak sa vraciame chodbou, kde už na začiatku bola jedna znáčka, tak k nej prídame ešte jednu (potom bude mať na každom konci dve). Potom obe pravidlá (T1) a (T2) možno zhŕnúť do jedného: Na libovoľnom rázcestí nemožno vstúpiť do chodby s dvoma znáckami a možno vstúpiť do chodby so žiadnou alebo jednou znáčkou, a ak net inej možnosti, tak aj do chodby s tromi znáckami. ●

TRÉMAUXOV PRIESKUM

Analogický algoritmus ako Tarry dal už skôr Trémaux a uverejnil ho v knihe [Lucas (1882)] (avšak s chybým dôkazom). V skutočnosti ide o špecializáciu Tarryho algoritmu: Pravidlá (T1) a (T2) doplnené o pravidlo:

(T3) Ak prideme hranou prechádzanou prvýkrát do známeho vrcholu, tak hned v nasledujúcom kroku sa touto hranou vraciame. ●

Na rozdiel od všeobecného Tarryho algoritmu tu už máme zaručené, že z vytvoreného $s-x$ sledu stačí vyniechať prejdené hrany a získať $s-x$ cestu. Naväc takéto vyniechanie možno ľahko robiť už pri generovaní $s-x$ sledu, keďže stačí porovnávať poslednú hranu s predchádzajúcou a ak sú rovnaké, tak tento úsek dĺžky 2 zo sledu vyniechať.

POSTUPY DO HÍBKÝ A DO ŠÍRKY

Trémauxov algoritmus prieskumu grafu sa znova dostáva do pozornosti až okolo r. 1970 (porovnaj [Tarjan (1972)]), kedy sa začína využívať pri konštrukcii efektívnych algoritmov (v anglickej literatúre dostáva meno "depth first search"). Ide o zatkodovanie grafu do vhodného tvaru, ktorý je užitočný v rôznych algoritnoch.

Trémauxov prieskum sa nazýva *postup do híbky*, ak je upravený takto: Vrcholy dostávajú čísla $1, 2, \dots, n$ v tom poradí, ako ich objavujeme (prvýkrát nachádzame). Ak sme zastali a ešte existujú neobjavené vrcholy (tie sú v inom komponente), tak v ľubovoľnom z nich začнемe vyrávať nový sled atď., až pokial nepreskúmame všetky vrcholy (čislovanie vrcholov počíraje), takže posledný objavený vrchol dostane číslo n). Každá hrana dostane šípkou označujúcu smer prvého prechodu hrana. Hrany rozdelujeme do dvoch tried: do prvej triedy dávame tie, ktoré nás priviedli k novým vrcholom (tzw. stromové hrany) a do druhej ostatné, trv. spätné hrany alebo chordy. Hrany prvej triedy tvoria zdrojové stromy (vetvenia). Súvisí graf sa takto zmení na digraf, ktorý sa nazýva *palma*. Ako obvykle pri zdrojových stromoch, ak i je stromový šíp, tak i sa nazýva otcom vrcholu j a j synom vrcholu i . Obr. 4 ilustruje postup do híbky.

Teraz opíšeme algoritmus pre postup do híbky trochu podrobnejšie, z čoho bude viete, že uvedené myšlienky možno realizovať v lineárnom čase.

Nech $f(j)$ označuje otca vrcholu j , t. j. vrchol j bol objavený hranou ij , kde $i = f(j)$. Ďalej, nech $p(j)$ označuje *poradie*, v ktorom bol vrchol j objavený. Číslo k udáva priebežný počet objavených vrcholov. Predpokladáme, že skúmané graf

G s $V(G) = \{1, 2, \dots, n\}$. Číslo q udáva najmenší nepreskúmaný vrchol a s je tzv. koreň a označuje začiatok vytváraného sledu: i a j sú premenné vrcholy. Predpokladáme, že graf G je zadaný okoliami vrcholov $V(i)$.

Algoritmus

KROK 0: Pre každé $i = 1, 2, \dots, n$ sú prvky vo $V(i)$ neoznačené a položíme $f(i) := p(i) := 0$. Ďalej kladieme $f(n+1) := 0$, $i := s := k := p(1) := 1$, $q := 2$.

KROK 1: Ak existuje vo $V(i)$ neoznačený prvk, tak zvolíme jeden z nich, nech je to j , a urobíme:

$\begin{cases} \text{Ak } p(j) = 0 \text{ (} j \text{ bolo dotočaz neobjavené), tak urobíme:} \\ \text{Ak } j = q, \text{ tak urobíme:} \\ \text{A: } \begin{cases} \text{Ak } q \leq n, \text{ tak} \\ q := q + 1. \text{ Ak } f(q) > 0, \text{ tak ideme na A.} \\ \text{Prvok } j \text{ vo } V(i) \text{ dostane označenie „stromová“ (hrana } ij \text{ je} \\ \text{stromová), } f(j) := i, k := k + 1, p(j) := k, i := j \text{ a ideme na} \\ \text{krok 1.} \end{cases} \end{cases}$

Ak $p(j) > 0$, tak urobíme:

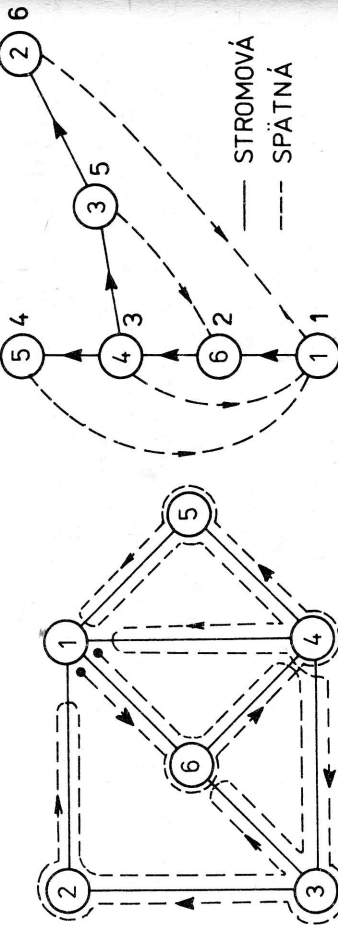
$\begin{cases} \text{Ak } j = f(i), \text{ tak } j \text{ vo } V(i) \text{ dostáva označenie „stromová“,} \\ \text{inak „spätná“.} \\ \text{Ideme na krok 1.} \end{cases}$

KROK 2: Ak sú všetky prvky vo $V(i)$ označené, tak urobíme:

$\begin{cases} \text{Ak } i = s, \text{ tak urobíme:} \\ \text{A': } \begin{cases} \text{Ak } q > n, \text{ tak STOP. Inak } i := s := q \text{ a urobíme:} \\ q := q + 1. \text{ Ak } f(q) > 0, \text{ tak ideme na A'.} \\ \text{Ideme na krok 1.} \end{cases} \\ \text{Inak } i := f(i) \text{ a ideme na krok 1.} \end{cases}$

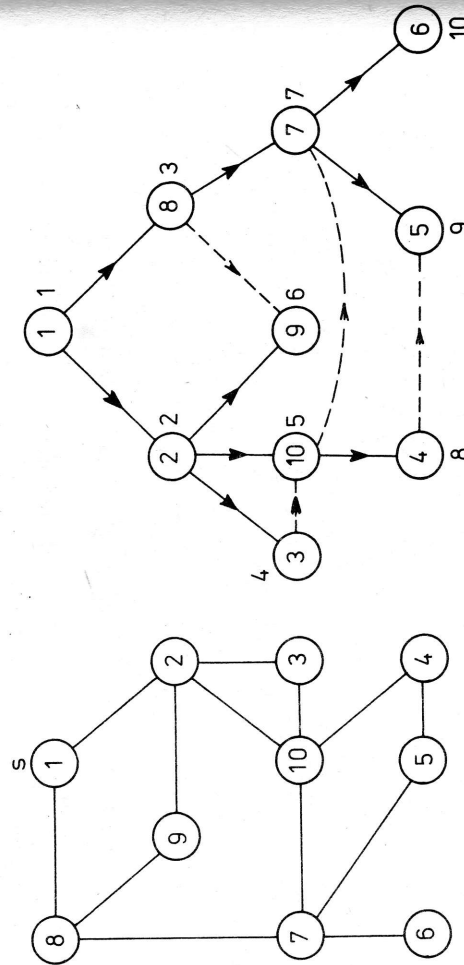
Poznamenajme, že každá hrana je v okoliach $V(i)$ zapísaná 2-krát a algoritmus teda každú hranu označí 2-krát. K tomu, aby sme zistili smer prvého prechodu nejakou hranou ij , stačí zistiť, či $p(i) < p(j)$ alebo obrátené. V prvom prípade sme stromovú hranu prechádzali v smere od i ku j a späť od j ku i ; v druhom prípade je to obrátené.

Hned vidieť, že ak vo výbere elementu $j \in V(i)$ máme dobrý systém (napr. berieme vždy posledný neoznačovaný a jeho polohu si zaznamenávame), tak uvedený algoritmus je zložitosť $O(m+n)$.
V istom zmysle opäčný je tzv. *postup do šírky* (breadth first search), v ktorom skúmané najprv vrchol s (t. j. hrany z $E(s)$), potom jeho susedov, potom susedov



Obr. 4. Postup do híbky (graf a ziskaná palma).

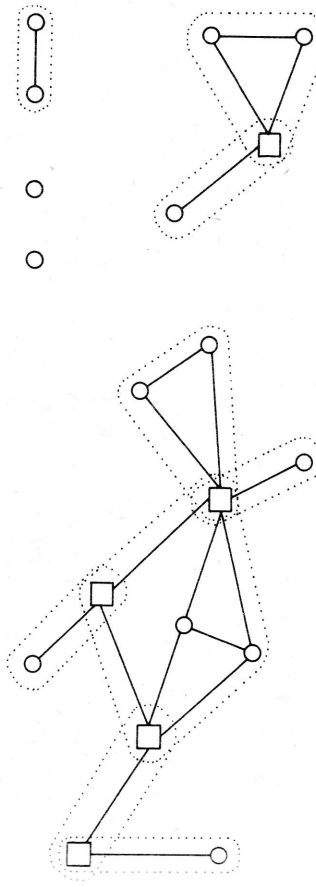
týchto susedov atd. Ide tu vlastne o rozklad vrcholovej množiny podľa vzdialenosť (od s). (Podrobnejšie takéto úlohy skúsmame v kap. 4.) Postup do šírky však negeneruje žiadnen sled, keďže „preskakuje“. Je to však systematický postup, ktorý možno tiež realizovať v lineárnom čase (3.Z.3). Na obr. 5 je príklad.



Obr. 5. Postup do šírky.

ARTIKULÁCIE, BLOKY, MOSTY A LISTY

Vrchol $u \in V(G)$ sa nazýva *artikulácia* netriválneho grafu G , ak $G - u$ má väčší počet komponentov, ako má G . Podgraf H grafu G sa nazýva *blok*, ak je súvislý, netriválny, bez artikulácie (vzhľadom na H) a je už maximálny s týmito vlastnosťami. Na obr. 1 sú vyznačené artikulácie štvorcokmi a v bodkovaných obálkach sú bloky.



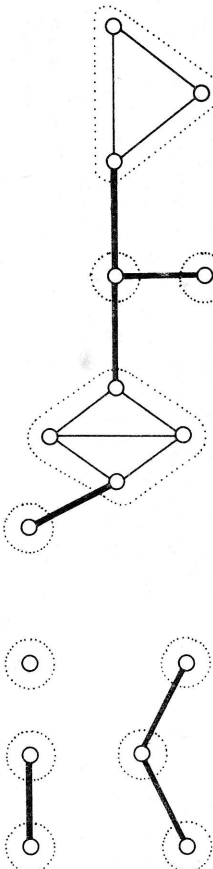
Obr. 1. Bloky a artikulácie.

Hrana e grafu G sa nazýva *most*, ak $G - e$ má väčší počet komponentov, ako má G . Podgraf $H \subseteq G$ sa nazýva *list*, ak je súvislý, bez mostov (vzhľadom na H) a už maximálny s týmito vlastnosťami. Na obr. 2 sú mosty označené hrubými čiarami a v bodkovaných obálkach sú listy. Ak uvažujeme súvislý graf reprezentujúci nejakú komunikačnú sieť, tak artikulácie a mosty predstavujú „chúlosť“ miesta tejto siete (stačí, aby niektoré takéto miesto „vypadlo“ a poruší sa súvislosť sieti). Poznamenajme, že pojmy artikulácia, blok, most a list sa úplne rovnako definujú aj pre pseudografy.

Čitateľahko overí, že graf K_2 má most, ale nemá artikuláciu, aže existujú grafy s artikuláciami, ktoré nemajú mosty. Hned však vidieť, že ak súvislý graf má aspoň 3 vrcholy a má most, tak má aj artikuláciu (všeobecne: ak uv je most a $\deg(u) > 1$, tak u je artikulácia).

Existujú grafy, kde každá hrana je mostom, napr. stromy (všeobecne sú to práve lesy). Platí však:

Veta 1. Každý netriválny súvislý graf má aspoň dva vrcholy, ktoré nie sú artikuláciami.



Obr. 2. Mosty a listy.

DÔKAZ. Nech S je najká maximálna (t. j. nepredĺžiteľná) cesta v grafe G . Nech S má kraje u a v . Ak $G - v$ je nesúvislý, tak S sa dá predĺžiť do nejakého vrcholu $w \in V_G(v)$, ktorý neleží v tom komponente grafu G ako u . Tento spor ukazuje, že v nie je artikulácia. Podobne ani u . ■

Veta 2. Nech v je vrchol súvislého grafu G . Potom nasledujúce tvrdenia sú ekvivalentné.

- v je artikuláciou grafu G .
 - Existuje rozklad množiny $V(G) - \{v\}$ na neprázdne podmnožiny U a W tak, že lubovolná cesta začínajúca v U a končiaca vo W obsahuje vrchol v .
- DÔKAZ.** (i) \Rightarrow (ii) Graf $G - v$ má aspoň dva komponenty. Ak množinu vrcholov jedného komponentu označíme pomocou U a položíme $W = (V - \{v\}) - U$, tak máme požadované tvrdenie.
- (ii) \Rightarrow (i) Ihneď z definície. ■

Analogické tvrdenie platí pre mosty.

Veta 3. Nech e je hrana súvislého grafu G . Potom nasledujúce tvrdenia sú ekvivalentné:

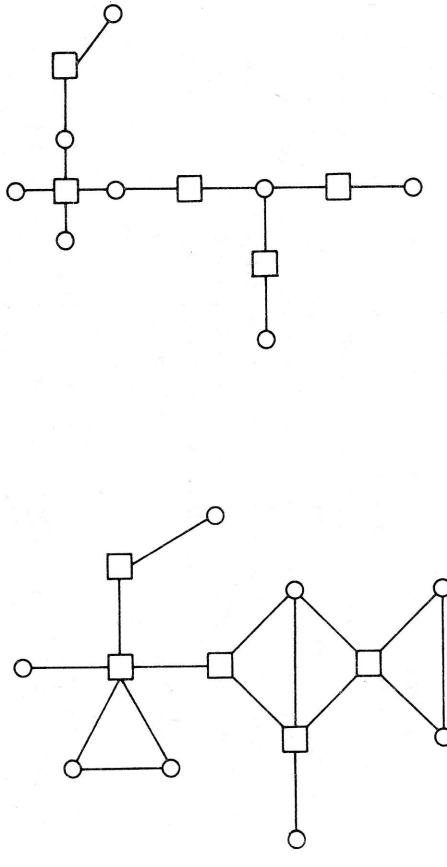
- e je mostom v G .
- e neleží v žiadnom cykle grafu G .
- Existuje rozklad množiny $V(G)$ na neprázdne podmnožiny U a W tak, že každá $U - W$ cesta obsahuje hranu e .

DÔKAZ je ľahký a prenechávame ho čitateľovi. ■

BLOKOVO-ARTIKULAČNÝ GRAF

Všimneme si niektoré vzťahy blokov a artikulácií. Podobné vzťahy listov a mostov uvádzame v cvičeniacich.

V teórii grafov sa definiuje k netriviálnemu súvislému grafu G tzv. *blokovo-artikuláčny graf* $bc(G)$ ako graf, ktorého vrcholmi sú bloky a artikulácie grafu G a dva vrcholy sú spojené hranou, ak jeden z nich zodpovedá bloku a druhý artikuláciu, ktorá leží v tomto bloku. Obr. 3 túto konštrukciu ilustruje. Blokovo-artikulačný graf zaviedol a skúmal Sedláček (1957, 1959), neskôr Gallai (1962) a i. (chybne už König (1936)).



Obr. 3. Graf a jeho blokovo-artikulačný graf.

Blok môže obsahovať niekoľko artikulácií grafu; ak obsahuje práve jednu artikuláciu, tak sa nazýva *koncový*; ak ani jednu, tak sa nazýva *izolovaný*. Nasledujúca veta zhŕňa niektoré pozorovania.

Veta 4. Nech G je netriviálny súvislý graf. Potom platí:

- Každé dva bloky v G majú nanajvyšší jeden spoločný vrchol.
- Každá hraha grafu G leží práve v jednom bloku.
- Každý cyklus má všetky hrany práve v jednom bloku.
- Spoločný vrchol dvoch blokov je artikuláciou grafu G .
- Každá artikulácia grafu G leží aspoň v dvoch blokoch.
- Blokovo-artikulačný graf grafu G je strom.
- Ak má graf G aspoň dva bloky, tak má aspoň dva koncové bloky.

DÔKAZ. (1) Nech $B_1 \neq B_2$ sú bloky v G . Predpokladajme, že $V(B_1) \cap V(B_2)$ obsahuje aspoň dva vrcholy. Potom $B_1 \cup B_2$ je súvislý, netriviálny graf bez artikulácie. Keďže $B_1 \subset B_1 \cup B_2$, tak máme spor s maximálou bloku B_1 .

- (2) Hrana a jej kraje tvoria netrievály súvislý podgraf bez artikulácií, a preto leží v nejakom bloku. Z (1) vyplýva, že leží v jedinom bloku.
 (3) Samotný cyklus je súvislý, netrievály podgraf bez artikulácie, a teda celý leží v nejakom bloku grafu G . Tvrdenie teraz vyplýva z (2).

(4) Nech vrchol v leží aj v bloku B_1 aj v bloku B_2 . Podľa (1) B_1 a B_2 viac spoločných vrcholov nemajú. Zvolme $v_1 \in V(v) \cap V(B_1)$ a $v_2 \in V(v) \cap V(B_2)$. Tvrдime, že v grafe $G - v$ neexistuje $v_1 - v_2$ cesta. V opačnom prípade zretefanie takejto cesty s cestou v_2vv_1 by dávalo cyklus grafu G . Hrany tohto cyklu musia podľa (3) ležať v jedinom bloku, čo nie je možné, lebo $v_1v \in E(B_1)$ a $v_2v \in E(B_2)$. Teda $G - v$ je nesúvislý, a preto v je artikulácia.

(5) Artikulácia u je krajom nejakej hrany, a preto podľa (2) leží v nejakom bloku B . Ak u leží len v jedinom bloku, tak $B - u$ je súvislý (lebo B nemá artikulácie), a teda aj $G - u$ je súvislý, čo je nemožné.

(6) Zrejme $bc(G)$ je súvislý graf. Ukážeme, že neobsahuje cyklus. Nech $bc(G)$ má cyklus Z . Podľa definície blokovo-artikulačného grafu v Z sa musia striedať vrcholy B_i zodpovedajúce blokom a vrcholy a_j zodpovedajúce artikuláciám. Preto má Z tvar: $a_1B_1a_2B_2a_3 \dots a_tB_ta_{t+1} \dots a_1B_1a_2$, ($t \geq 2$). Budeme predpokladať, že Z je cyklus najmenšej dĺžky. Z toho potom vyplýva, že ak $i \neq j \neq i+1 \pmod{t}$, tak B_i neobsahuje artikuláciu a_j (inak by existoval krašší cyklus: $a_{i+1}B_{i+1}a_{i+2} \dots a_jB_ja_{i+1}$). Potom môžeme ku Z priradiť cyklus Z_G v grafe G takto: v každom bloku B_i vyberieme nejakú $a_i - a_{i+1}$ cestu P_i a položíme $Z_G = P_1P_2 \dots P_t$. Z vlastnosti (1), (2) a z toho, že $a_j \notin B_i$ ak $i \neq j \neq i+1$ vyplýva, že $P_i \neq P_j$ pre $i \neq j$. Takže Z_G je naozaj cyklus a pritom obsahuje hrany z rôznych blokov. To je spor s (3).

(7) Zo (6) máme, že $bc(G)$ je strom a má aspoň tri vrcholy. Takýto strom má aspoň dva koncové (t. j. stupňa 1) vrcholy. Koncové vrcholy grafu $bc(G)$ však musia zodpovedať blokom grafu G ako vyplýva z (5). ■

VLASTNOSTI BLOKOV

Následujúca veta zhŕňa viaceré známe vlastnosti blokov (porovnaj [Harary (1969)]).

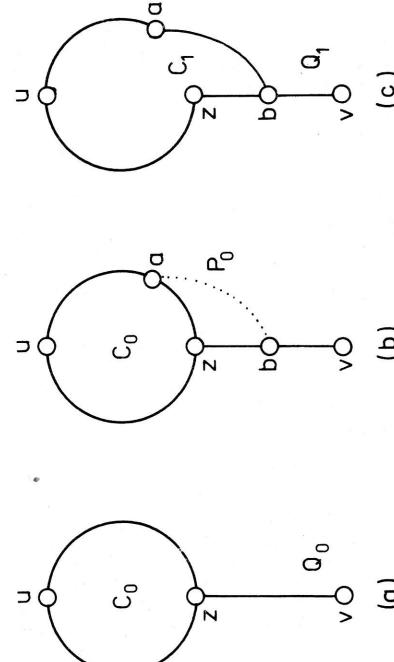
Veta 5. Nech G je súvislý graf s aspoň tromi vrcholmi. Potom nasledujúce tvrdenia sú ekvivalentné.

- (1) G je blok.
- (2) Lubovoľné dva vrcholy grafu G ležia na spoločnom cykle.
- (3) Lubovoľný vrchol a lubovoľná hrana grafu G ležia na spoločnom cykle.
- (4) Lubovoľné dve hrany grafu G ležia na spoločnom cykle.
- (5) Pre lubovoľné dva vrcholy u, v a lubovoľnú hranu e grafu G existuje $u - v$ cesta obsahujúca hranu eu .

- (6) Pre každé tri vrcholy u, v, w grafu G existuje $u - w$ cesta obsahujúca vrchol v .

- (7) Pre každé tri vrcholy u, v, w grafu G existuje $u - w$ cesta neobsahujúca vrchol v .

Dôkaz. (1) \Rightarrow (2) Nech $u, v \in V(G)$. Keďže G má aspoň tri vrcholy a nemá artikuláciu, tak nemá ani most. Preto každá hrana leží v cykle (veta 3). Tako vraciel u leží v nejakom cykle C_0 . Ak leží v na C_0 , nič čo dokazovať. Preto nech je mimo C_0 . Graf G je súvislý, a preto existuje cesta od cyklu C_0 k vrcholu v ; nech je to $z - v$ cesta Q_0 . Situáciu znázorňuje obr. 4(a). Ukažeme, že existuje cyklus C_1 obsahujúci u a cestu Q_1 od neho ku v , pričom $m(Q_1) < m(Q_0)$. Skutočne, vrchol z nie je artikuláciou, a preto v grafe $G - z$ existuje cesta P_0 od $C_0 - z$ ku $Q_0 - z$; nech je to $a - b$ cesta (pozri obr. 4(b)). Z podgrauu tvoreného cyklom C_0 a cestami Q_0 a P_0 už ľahko vyberieme požadovaný cyklus C_1 a cestu Q_1 tak, ako na obr. 4(c). Ak $m(Q_1) = 0$, tak v leží na cyklate C_1 a dôkaz je hotový. V opačnom prípade tento postup zopakujeme a nájdeme C_2 a Q_2 , kde $m(Q_2) < m(Q_1)$ atď., až získame cyklus C obsahujúci u aj v .



Obr. 4. Skrátenie cesty Q_0 .

- (2) \Rightarrow (3) Nech je daný vrchol u a hrana uv . Podľa predpokladu existuje cyklus C_0 obsahujúci u a vrchol v . Ak vrchol v leží na cykle C_0 , tak cyklus obsahujúci vrchol u a hranu vu sa vyberie veľmi ľahko. Zostáva prípad, kedy vrchol v je mimo cyklus C_0 . To je situácia z obr. 4(a), pričom $m(Q_0) = 1$. Keďže z (2) vyplýva, že G je blok, tak použijeme predchádzajúcu konštrukciu, ktorá je na obr. 4(b) a 4(c), pričom teraz $b = v$. Keďže C_1 obsahuje úsek $z - b$ cesty Q_0 , tak teraz to značí, že C_1 obsahuje hranu $zb = zv$, a teda C_1 je požadovaný cyklus.

(3) \Rightarrow (4) Nech sú dané hrany ut a zu . Podľa predpokladu existuje cyklus C_0 obsahujúci hrany ut a vrchol z . Ak v leží na cykle C_0 , hľadaný cyklus sa nájde ľahko. Ak vŕchol v leží mimo C_0 , tak zase možno použiť konštrukciu z obr. 4 a hned získame požadovaný cyklus C_1 (keďže zrejmé (3) \Rightarrow (1)).

(4) \Rightarrow (5) Ak existuje hrana uv , tak existuje cyklus C obsahujúci hrany uv a hrany e . Zrejmé $C - uv$ je požadovaná $u - v$ cesta obsahujúca e . Ak $uv \notin E(G)$, tak uvažujeme graf $G + uv$. Ak $G + uv$ spĺňa (4), a teda aj (2). Potom aj $G + uv$ spĺňa (2), a teda podľa dokázaných implikácií aj (4).

(5) \Rightarrow (6) Zvolíme hrany e incidujúcu s vŕcholom v . Podľa (5) existuje $u - w$ cesta obsahujúca e , a teda aj vŕchol v .

(6) \Rightarrow (7) Podľa (6) existuje $u - v$ cesta obsahujúca vŕchol w . Potom $u - w$ úsek tejto cesty neobsahuje vŕchol v .

(7) \Rightarrow (1) Žiadny vŕchol v nemôže byť artikuláciou, lebo pre libovoľné dva vŕcholy u, w existuje $u - w$ cesta neobsahujúca v , a teda $G - v$ je súvislý graf. ■

HLADANIE BLOKOV A ARTIKULÁCIÍ

Keďže už máme lineárny algoritmus na zisťovanie komponentov grafu, ľahko môžeme vyrobti polynomálny algoritmus pre hľadanie artikulácií a blokov:

Pre každý neutriviálny komponent H a každý vŕchol $u \in V(H)$ zistíme, či $H - u$ je súvislý graf. Ak nie je, tak u je artikulácia: v opačnom prípade u nie je artikuláciou. Blok zasa možno generovať takto: Zoberieme nejakú hrancu uv a hľadáme (napr. postupom do hĺbky z koreňa u) nejakú $u - v$ cestu v grafe $H - uv$. Ak takáto cesta P existuje, tak spolu s hrancou uv vytvára cyklus B . Potom pre každý vŕchol $u \in V(B)$, ktorý nie je artikuláciou v H , zoberieme susedný vŕchol v mimo B a v grafe $H - u$ nájdeme nejakú cestu $z v$ do $V(B) - u$; ak existuje, tak jej vŕcholy a hrany pridáme k B a označíme symbolom B . Tako zrejmé vyrobíme podgraf B , ktorého vŕcholy indukujú blok $v H$.

Avšak takýto algoritmus je dosť zložitý. Tu načrtнемe $O(m + n)$ algoritmus. Takýto algoritmus dáva Tarjan (1972) (pozri tiež [Hopcroft a Tarjan (1973)]) a tiež Dinic, Zajcev a Karzanov (1974).

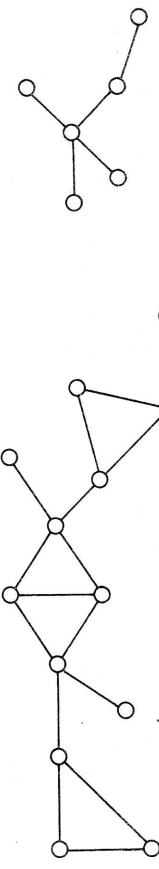
Nech vŕchol v je artikuláciou súvislého grafu G . Potom maximálny súvislý podgraf H grafu G obsahujúci vŕchol v , v ktorom však v nie je artikuláciou, nazýva sa *vetva* grafu G pri artikulácii v . Postup do hĺbky (Trémauxov prieskum) má takúto peknú vlastnosť: Ak vojdeme donejakej vety pri v , tak z tejto vety vyjdeme až vtedy, ak ju celú pochodíme (každú hrancu oboma smermi). Špeciálne, ak vojdeme do koncového bloku, tak ho opustíme iba vtedy, ak už je celý preskúmaný. Túto zrejmú vlastnosť využijeme na hľadanie blokov a artikulácií. Základný postup do hĺbky doplníme o ďalšie záznamy. Používame zásobník ZE ,

do ktorého postupne ukladáme objavované hrany. Vždy, keď preskúmame koncový blok, tak hrany tohto bloku dám zo ZE na výstup a pokračujeme v prieskume zvyšného grafu, ktorého koncový blok dám po preskúmaní opäť na výstup atď. Na identifikáciu artikulácií a koncových blokov zaznamenávame pre každý objavený vŕchol u tzv. *dolné číslo* $r(u)$, čo je najmenšie *poradové číslo* $p(v)$ vŕcholu v , pre ktorý existuje vo vyváranej palme $u - v$ cesta, pozostávajúca zo stromových hrán nasledovaných nanajvýš jednou spätnou hránou. Taká cesta môže byť aj triviálna, a preto pri objavení vŕcholu u kladieme $r(u) := p(u)$. Tako vždy $r(u) \leq p(u)$. Ak nájdeme spätnú hrancu odchádzajúcu z u , napr. šíp ux , tak kladieme: $r(u) := \min\{r(u), p(x)\}$. Okrem toho, ak sa v prieskume vraciame, t. j. z vŕcholu w do u , kde $f(w) = u$, tak kladieme $r(u) := \min\{r(u), r(w)\}$. Tieto dve možnosti opravovania $r(u)$ nám zrejme vystačia na to, aby sme po úplnom preskúmaní vŕcholu u (t. j. ešte pred návratom do $f(u)$) vypočítali dolné číslo $r(u)$.

Uvažujme teraz situáciu, kedy sme ukončili prieskum nejakého vŕcholu y a budeme sa vracať do $f(y) = x$. Ak $r(y) \geq p(x)$, tak postupne vynecháme zo ZE a prenesieme na výstup hrany od poslednej až po xy vrátane: táto skupina hrán tvorí jeden blok (vždy koncový, resp. izolovaný v grafe bez tých blokov, ktoré sú už prav takto vynechali). Ak je návyše vŕchol x rôzny od koreňa s , tak x je artikuláciou. Ak x je koreňom a po skončení celého prieskumu z neho odchádzajú aspoň dve stromové hrany, tak je artikuláciou. Prenehávame čitateľovi nahlásnuť (3.Z.4(a)), že takto doplnený postup do hĺbky správne nájde bloky aj artikulácie v čase $O(m + n)$. ●

Teraz je už ľahké zostrojiť k danému grafu blokovo-artikulačný graf (3.Z.4(a)).

HLADANIE MOSTOV A LISTOV
Možno navrhnut modifikáciu predchádzajúceho postupu pre zistovanie mostov a artikulácií. Iná možnosť je transformovať túto úlohu na hľadanie blokov a artikulácií tak, že do každej hrany vsumieme jeden nový vŕchol. Potom nový vŕchol je artikuláciou práve vtedy, ak prislušná hrana je mostom v pôvodnom grafe. Listy sa tiež ľahko identifikujú (3.Z.4(b)).



Obr. 5. Graf a listová kondenzácia.

Istou analógiou blokovo-artikulačného grafu je tzv. *listová kondenzácia grafu*, ktoréj vrcholmi sú listy a dva vrcholy sú spojené hranou, ak príslušné listy boli spojené hranou. Z vlastností listov a mostov hned vidíme, že listová kondenzácia súvislého grafu je strom. Obr. 5 ilustruje tento pojem.

Opačne prenáme čitateľovi navrhnutý $O(m+n)$ algoritmus pre nájdenie listovej kondenzácie (3.Z.4(b)).

3. C Najmenšie doplnenie grafu na list alebo blok

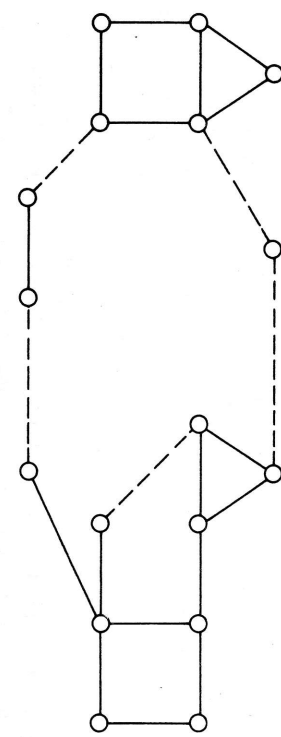
Nech je daný graf G s k komponentmi. Aký je minimálny počet hran, ktoré treba pridať ku G tak, aby sme získali súvislý graf? Odpoveď je zrejmá: treba pridať $k-1$ hrán (alebo strom na k vrcholoch má $k-1$ hrán). Zovšeobecnenie tejto úlohy, kde dopĺňame ohodnotenými hranami ažiacame, aby súčet ohodnotených pridaných hrán bol minimálny, vieme tiež riešiť. Ide o problém najlacnejšej kostry a venujeme sa mu v kap. 5. Tu si všimneme doplnenie grafu na list, resp. blok.

NAJMENŠIE DOPLENIE GRAFU NA LIST

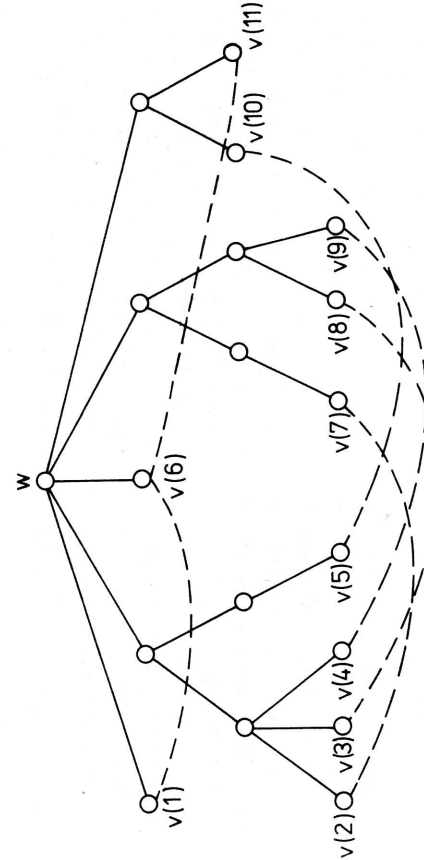
Nech je daný graf G , ktorý nie je list. Aký je najmenší počet hran, ktoré treba pridať ku G tak, aby vzniknutý multigraf \hat{G} bol list? Budeme hovoriť, že \hat{G} je *najmenší list obsahujúci G*. (Takáto úloha môže vzniknúť pri rozširovaní komunikácej siete.) Obr. 1 ukazuje príklad najmenšieho doplnenia (čiarkované hran).

Taky list grafu, ktorý neinciduje so žiadnym mostom, nazýva sa *izolovaný* a taky, ktorý incideuje práve s jedným mostom, nazýva sa *koncový*.

Nasledujúce tvrdenie možno nájsť v prácach [Eswaran a Tarjan (1976) a [Plesník (1976)]. Príslušné dôkazy predstavujú zároveň polynomiálne algoritmy.



Obr. 1. Najmenšie doplnenie na list.



Obr. 2. Doplnenie stromu na list.

T_0 . Ďalej nech $v(1), v(2), \dots, v(p_0)$ sú všetky koncové vrcholy stromu T_0 v tom poradí, v akom ich objavujeme postupom do hľbky, začinajúcim vo vrcholu w (pozri priklad na obr. 2). Potom k T_0 pridávame nové hrany $v(i)v(i+1/p_0/2)$ pre $i=1, 2, \dots, [p_0/2]$ (porovnaj obr. 2). Vzniknutý graf H bude bez mostov, a teda list.

Overime si to. Každá nová hrana spája dva vrcholy stromu, a teda leží v cykle. Uvažujme preto nejakú stromovú hranu uv . Nech u je otcom vrcholu v . Predpokladajme, že uv je mostom v H . Potom $H - uv$ má dva komponenty: C_u obsahujúci u a C_v obsahujúci v . Z postupu do hľbky vyplýva, že koncové vrcholy stromu T_0 ležiaci v C_v tvoria nejakú postupnosť $v(s), v(s+1), \dots, v(t)$. Tieto vrcholy by mohli byť pospájané len takými novými hranami, ktorých oba kraje ležia v tejto postupnosti. To však zrejmé vedie ku sporu s rozmiestnením nových hrán, ak $t \leq [p_0/2]$ alebo ak $s > [p_0/2]$. Ak $s \leq [p_0/2]$ a súčasne $t > [p_0/2]$, tak máme tiež spor, okrem prípadu $s = 1$ a $t = p_0$, čo však nie je možné, lebo vrchol w má stupeň aspoň 2.

(4) Konečne, od listu H prejdeme k listu \hat{G} obsahujúcemu graf G . Každú novú hranu xy v H možno realizovať tak, že v listoch L_x a L_y zodpovedajúcich v listovej kondenzácii vrcholom x a y zvolíme po jednom vrchole (ľubovoľne) a tieto spojíme hranou. Je zrejmé, že vzniknutý graf \hat{G} bude listom obsahujúcim G a počet nových hrán je $k-1+[p_0/2]$. Podľa (2) však $k-1=(2q+p-p_0)/2$, takže počet nových hrán je $q+p/2-p_0/2+[p_0/2]=q+[p/2]$. ■

Kedže jednotlivé kroky (1) až (4) vieme urobiť v čase $O(m+n)$, tak máme $O(m+n)$ algoritmus pre nájdenie najmenšieho listu obsahujúceho daný graf.

NAJMENŠIE DOPLNENIE GRAFU NA BLOK

Nech je daný graf G . Aký je minimálny počet hrán, ktorými treba G doplniť tak, aby získaný graf \hat{G} bol blok? \hat{G} sa nazýva **najmenší blok obsahujúci G** . Týmto problémom sa zaoberali viacerí autori. Čiastočný úspech oznámi Slater (1975). Úplné riešenie dávajú Eswaran a Tarjan (1976), Plesník (1976) a Rosenthal a Goldner (1977), v ktorých sa nachádzra aj dôlevedená veta.

Najprv zavedieme niekoľko pojmov a označení. Komponent C grafu G sa nazýva **izolovaný**, ak nemá koncové bloky. Nech $e_1(G)$ označuje počet koncových blokov grafu G , $e_2(G)$ počet izolovaných komponentov a $c(G)$ počet všetkých komponentov grafu G . Kladieme $e(G) := e_1(G) + 2e_2(G)$. Počet blokov grafu G obsahujúcich daný vrchol v označujeme symbolom $b(v)$ a $b(G) := \max\{b(v) | v \in V(G)\}$.

Vetva grafu G pri artikulácii u je maximálny súvislý podgraf grafu G obsahujúci u , v ktorom u nie je artikuláciou. Prút je vetva T , kde $e(T)=2$.

T_0 . Ďalej nech $v(1), v(2), \dots, v(p_0)$ sú všetky koncové vrcholy stromu T_0 v tom poradí, v akom ich objavujeme postupom do hľbky, začinajúcim vo vrcholu w (pozri priklad na obr. 2). Potom k T_0 pridávame nové hrany $v(i)v(i+1/p_0/2)$ pre $i=1, 2, \dots, [p_0/2]$ (porovnaj obr. 2).

$$f(G) = \max\{b(G) + c(G) - 2, [e(G)/2]\}.$$

DOKAZ. Nech $h(G)$ označuje pravú stranu predchádzajúceho výrazu. Najprv dokážeme, že $f(G) \geq h(G)$. Graf $\hat{G} - G := \hat{G} - E_G$ má $f(G)$ hrán. Každý izolovaný komponent grafu G incidiuje v \hat{G} aspoň s dvoma novými hranami a každý koncový blok aspoň s jednou novou hranou. Teda súčet stupňov vrcholov grafu $\hat{G} - G$ je aspoň $e(G)$, takže $f(G) \geq [e(G)/2]$.

Ak $b(G) \leq 1$, tak G nemá artikuláciu, a preto má len izolované komponenty. Potom však $b(G) + c(G) - 2 < e_2(G) = [e(G)/2]$. Nech teda $b(G) \geq 2$. Potom G má niejakú artikuláciu u a obsiahnutú v $b(G)$ blokoch. Tako graf $G - u$ má $c(G) + b(G) - 1$ komponentov, a teda treba aspoň $c(G) + b(G) - 2$ nových hrán na ich spojenie do súvislého grafu. Graf $\hat{G} - u$ je súvislý, a preto $f(G) \geq c(G) + b(G) - 2$.

Teraz dokážeme, že $f(G) \leq h(G)$. Pre $h(G) = 1$ je to ľahké. Preto nech $h(G) \geq 2$. Dokazujeme indukciou podľa $h(G)$ a uvažíme niekoľko prípadov a podprípadov.

(1) Ak je graf G nesúvislý, zoberieme ľubovoľné dve komponenty a v každom z nich zvolíme jeden vrchol rôzny od artikulácie a ležiaci v koncovom bloku alebo v izolovanom komponente. Po spojení týchto dvoch vrcholov novou hranou pre získaný graf G' zrejme platí: $h(G') = h(G) - 1$. Keďže podľa indukčného predpokladu $f(G') = h(G')$, tak aj $f(G) = h(G)$.

(2) Ak graf G je súvislý, tak $e_2(G) = 0$ a $c(G) = 1$. Rozlišime tri prípady.

(2.1) $b(G) - 1 > [e_1(G)/2]$. Potom existuje jediný vrchol u taký, že $b(u) = b(G)$ (inak by existovalo aspoň $2(b(G)-1)$ koncových blokov). Zvoleme dve vervy pri u a v každej z nich jeden vrchol ležiaci v koncovom bloku grafu G a rôzny od artikulácie grafu G . Spojením týchto dvoch vrcholov novou hranou získame graf G' s $b(G') = b(G) - 1$ a $e_1(G') \leq e(G) - 1$. Tako $h(G') = h(G) - 1$ a zasa môžeme použiť indukciu.

(2.2) $b(G) - 1 = [e_1(G)/2]$. Ak $b(G) = 2$, tak $e_1(G) = 2$ a $f(G) = 1$. Preto nech $b(G) \geq 3$. Potom G má nanajvyššiu dve také vrcholy u_1, u_2 , že $b(u_1) = b(u_2) = b(G)$ (inak by existovalo aspoň $3[b(G)-1]-1$ koncových blokov). Uvažujme nejakú vetrovú T pri u_1 , ktorá má aspoň dva koncové bloky grafu G (ak taká verva neexistuje, tak $b(u_1) = 3$, $e_1(G) = 3$ a prípad je ľahký: stačí spojiť novou hranou dva vrcholy z koncových blokov rôzne od artikulácií). Ak existuje aj u_2 s $b(u_2) = b(G)$, tak verva T obsahuje u_2 (inak by graf G mal viac koncových

blokov, ako predpokladáme) a potom už pre každé $u \in V(G) - \{u_1, u_2\}$ platí: $b(u) \leq 2$. Spojme ľubovoľný koncový blok grafu G obsiahnutý v T s ľubovoľným koncovým blokom grafu G z inej vetvy pri u_1 novou hranou tak, že spojíme nejaké dva vrcholy týchto blokov, ktoré nie sú artikuláciami v G . Týmto získame graf G' s $e_1(G') = e_1(G) - 2$ (nový blok obsahujúci priradenú hranu nebude v G' koncový, lebo incideje s aspoň dvoma artikuláciami). Ďalej, $b(G') = b(G) - 1$, lebo pridaním novej hrany sa počet vetiev pri u_1 (a ak $b(u_2) = b(G)$, tak aj pri u_2) zmenší o 1. Takto opäť $h(G') = h(G) - 1$.

(2.3) $b(G) - 1 < [e_1(G)/2]$. Nech u je taký vrchol, že $b(u) = b(G)$. Z náslova predpokladu vyplýva, že G obsahuje nejaký vrchol $v \neq u$, kde $b(v) \geq 3$. Zvýme nejaký koncový blok grafu G z vetvy pri u a nejaký koncový blok grafu G z inej vetvy pri u . Spojením vybraných blokov novou hranou tak, že spojíme dva vrcholy rôzne od artikulácií grafu G , získame graf G' s $e_1(G') = e_1(G) - 2$ a $b(G') \leq b(G)$. Preto opäť $f(G) = f(G) - 1$.

Tým sú prebraté všetky možnosti a veta je dokázaná. ■

Uvedený dôkaz zrejme poskytuje polynomálny algoritmus pre nájdenie najmenšieho bloku obsahujúceho G . Získat však lineárny algoritmus nie je jednoduché a vyžaduje dômyseľnú manipuláciu s dátami. Čitateľa odkažujeme na článok [Rosenthal a Goldner (1977)], kde je taký algoritmus uvedený.

ZLOŽITOSŤ DOPLŇANIA V OHODNOTEŇÝCH GRAFOCH

V reálnych úlohach zvyčajne nezáleží na počte nových liniek, ale je dôležitá ich sumárna cena. Preto v grafoch s ohodnotenými hranami zovšeobecníme uvedené problémy takto: Graf treba doplniť na list (resp. blok) tak, aby súčet ohodnotení pridaných hrán bol najmenší. Takéto doplnenie nazývame *najlacnejšie doplnenie*. Nasledujúci výsledok možno nájsť v [Eswaran a Tarjan (1976)].

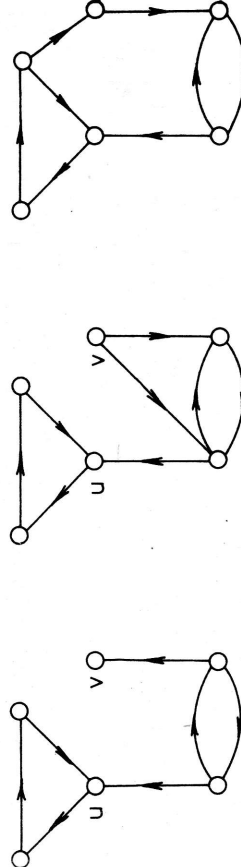
Veta 3. Problém najlacnejšieho doplnenia grafu na list aj problém najlacnejšieho doplnenia grafu na blok sú NP-tažké.

DOKAŽ. Problém nájdenia hamiltonovského cyklu v grafe G polynomiálne transformujeme na uvedené problémy. Nech H je nulový graf na množine vrcholov V_G , ktorý treba najlacnejšie doplniť na list, resp. blok, ak cena kažej hranы ij z komplementu grafu H je 1, pre $ij \in E_G$ a 2, kde $ij \notin E_G$. Zrejme najlacnejšie doplnenie grafu H na list, resp. blok, má cenu $n = |V_G|$, práve vtedy, keď G má hamiltonovský cyklus. ■

3. D Rôzne druhy súvislosti digrafov

Digraf sa nazýva *súvislý* alebo tiež *slabo súvislý*, ak pre každé jeho dva vrcholy u, v existuje $u-v$ sled. V tomto pripade sa môže stat, že neexistuje $u-v$ sled a dokonca ani $v-u$ sled. Digraf sa nazýva *jednostranne súvislý*, ak pre každé jeho dva vrcholy u, v existuje $u-v$ sled alebo $v-u$ sled. Napokon digraf sa nazýva *silne súvislý*, ak pre každé jeho dva vrcholy u, v existuje $u-v$ sled aj $v-u$ sled. (Úplne rovnako sa definujú tie isté pojmy aj pre pseudomigraf.) Na obr. 1 sú priklady digrafov s rôznymi súvislostami.

Uvádzame niekoľko základných pozorovaní známych z teórie grafov (pozri napr. [Harary (1969)]).



Obr. 1. Slabo, jednostranne a silne súvislé digrafy.

Veta 1. (a) Digraf G je súvislý $\Leftrightarrow G$ má polosled obsahujúci všetky vrcholy.

(b) Digraf G je jednostranne súvislý $\Leftrightarrow G$ má sled obsahujúci všetky vrcholy.

(c) Digraf G je silne súvislý $\Leftrightarrow G$ má uzavretý sled obsahujúci všetky vrcholy (tzv. hamiltonovský sled).

(d) Digraf G je silne súvislý $\Leftrightarrow G$ je súvislý a každá hraná leží v nejakom cykle.

DOKAŽ. V tvrdeniach (a), (b), (c) z existencie takého polosledu, resp. sledu, hned vyplýva príslušná súvislosť, a preto dokážeme len obrátené implikácie. Nech je daný digraf G s $V(G) = \{v_1, v_2, \dots, v_n\}$.

(a) Pre každú dvojicu vrcholov $v_i, v_{i+1} \in V(G)$ existuje $v_i - v_{i+1}$ polosled a zretezenie všetkých takýchto polosledov dá požadovaný polosled.

(b) Príradme ku G digraf G' s $V(G') = V(G)$, pričom $v_iv_j \in E(G')$, ak v G existuje $v_i - v_j$ sled. Kedže G' obsahuje faktor, ktorý je turnajom, tak má cestu D obsahujúcu všetky vrcholy (tzv. hamiltonovskú cestu), ako sa ľahko zistí indukciou (1.Z.1). Po nahradení každej hraný v_iv_j v D $v_i - v_j$ sledom v G získame požadovaný sled.

(c) Podľa (b) existuje nejaký $v_p \rightarrow v_q$ sled obsahujúci všetky vrcholy, ktorý s $v_q \rightarrow v_p$ sledom dá požadovaný uzavretý sled.

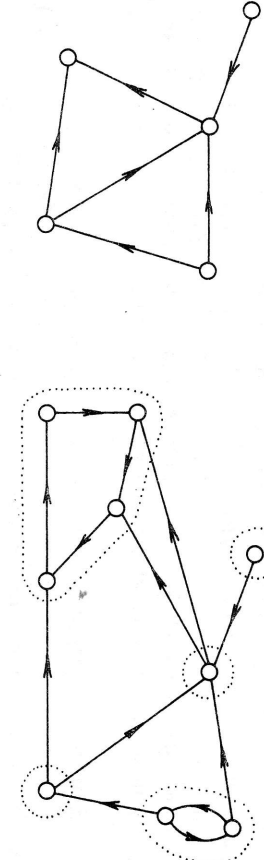
(d) Pre každú hranu uv existuje $v-u$ sled, a teda aj $v-u$ cesta, ktorá s uv dáva cyklus. Obrátenie, podľa (a) existuje nejaký $u-w$ polosled S obsahujúci všetky vrcholy. Ak namiesto každej hrany v_iv_j v S dám ten z dvoch úsekov v_iv_j a $Z_{ij} - v_iv_j$ cyklu Z_{ij} obsahujúceho hranu v_iv_j , ktorý je orientovaný v smere polosledu $u-w$, tak získame $u-w$ sled obsahujúci všetky vrcholy. Berúc zvyšné úseky cyklov, získame $w-u$ sled, ktorý s predchádzajúcim dáva hamiltonovský sled. Tvrdenie teraz vyplýva z (c). ■

Rôzne súvislosti digrafov dávajú podklad pre definície rôznych komponentov. Maximálny slabo (resp. jednostranne, resp. silne) súvislý podgraf daného digrafu sa nazýva *slaby (jednostranný, silny) komponent*. Najväčší význam majú silné komponenty digrafu. Hned je vidieť, že *každý vrchol digrafu leží práve v jednom silnom komponente* a že *rozklad na silné komponenty je jednoznačný*.

KONDENZÁCIA DIGRAFU (DIGRAF SILNÝCH KOMPONENTOV)

Štúdium súvislostí digrafu G ulahčuje tzv. digraf silných komponentov alebo tiež kondenzácia G^* , čo je digraf, ktorého vrcholmi sú silné komponenty S_1, S_2, \dots, S_k a hraná S_iS_j existuje práve vtedy, keď v pôvodnom digrafe G existovala aspoň jedna hraná v_iv_j , kde $v_i \in V(S_i)$ a $v_j \in V(S_j)$. Obr. 2 ilustruje zostrojenie kondenzácie digrafu.

Veta 2. Kondenzácia každého digrafu je acyklický digraf.



Obr. 2. Digraf a kondenzácia.

DÔKAZ. Ak kondenzácia obsahuje cyklus, tak pôvodný digraf obsahuje cyklus prechádzajúci aspoň dvoma silnými komponentmi. To však nie je možné, lebo

samotný cyklus je silne súvislý podgraf, a teda celý leží v jednom silnom komponente. ■

Zaujímavú aplikáciu uvedených pojmov pri skúmaní matic dáva Harary (1962). Predpokladajme, že danú štvorcovú matricu Q s prvками q_{ij} sa nám podarí permutovaním riadkov a súčasným permutovaním zodpovedajúcich stĺpcov prevest na tzv. *blokovo-trojuholníkový tvar*. Potom vlastné čísla všetkých diagonálnych blokov sú vlastné čísla matice Q a z inverzii jednotlivých diagonálnych blokov možno určiť inverznú maticu Q^{-1} . Ak matrica Q je pomerneriedka (má málo nenulových prvkov) možno očakávať, že získané diagonálne bloky budú malé, a preto tento postup môže byť vhodný. Požadovaný blokovo-trojuholníkový tvar možno nájsť takto: (1) Zostrojíme digraf G , ktorý má šíp ij práve vtedy, keď $q_{ij} \neq 0, i \neq j$. (2) Určíme silné komponenty digrafu G . (3) Zostrojíme kondenzáciu G^* . (4) Monotonne očisľujeme vrcholy v G^* . (5) Potom podľa toho očisľujeme aj vrcholy digrafu G tak, aby jeho susedská matica A bola horná blokovo-trojuholníková. (6) Konečne v matici A nahradíme jednotkové prvky a diagonálne prvky zodpovedajúcimi (podľa (1)) prvками z matice Q . Kroky (1), (5) a (6) sú ľahké. Lineárne algoritmy pre kroky (2), (3) a (4) uvedieme v nasledujúcej časti.

Prieskum digrafov

TARRYHO PRIESKUM DIGRAFOV

Prieskum digrafov je analogický prieskumu grafov. Tu generujeme polosled začínajúci v nejakom vrchole s , pričom hranami môžeme prechádzať v oboch smeroch zachovávajúc nasledujúce pravidlo (TD) a pravidlá (T1), (T2) známe z prieskumu grafov (časť 3.A).

(TD) Prvýkrát môžeme hranou prechádzať iba v smere šípkov.

(T1) Každou hranou môžeme v jednom smere prechádzať nanajvýš raz.

(T2) Po tej hrane, po ktorej sme prišli do nejakého vrcholu prvýkrát, môžeme ist späť iba vtedy, ak nie iné možnosti. ●

Poznamenajme, že Tarry sa nezaoberal orientovaným bludiskom, ale rozšírenie jeho metódy na orientovaný prípad je jednoduché. Tiež námame analogickú vetu.

Veta 1. (a) Tarryho prieskum digrafov je konečný.

(b) Ak pravidlá (TD), (T1) a (T2) nedovoľujú vytvoriť ďalší polosled, tak posledný vrchol polosledu je začiatok s. Tento polosled obsahuje všetky vrcholy

dosiahnutelné z_s a všetky hranы odchádzajúce z týchto vrcholov sú prejdené oboma smernimi. Naviac, niet hranы, ktorá by bola prejdená iba raz.

DÔKAZ. (a) Hráň je konečne mnoho a každou možno prejsť nanajvýš 2 razy (pravidlo (T1)).

(b) Nech je utvorený $s-x$ polosled Q , ktorý už nemožno predĺžiť. Predpokladajme, že $x \neq s$ a nech e je hrana, ktorou sme prišli do x prvykrát. Ak už nie iných možností, tak možno hranu e prejsť aj v smere od x . Keďže stojime v x , tak už bola táto možnosť použitá. Uvažme situáciu, ihned po tomto spätnom prejdení hranou e (obr. 1). (Prichody a odchody označujeme slabými šípkami, zatiaľčo orientácia hrán je vyznačená plnými šípkami.) Nech a^0, a^-, a^+ , resp. a^{+-} označuje počet tých šípov prichádzajúcich do x , ktorými sme ešte vobeč nešli, prišli do x , odšli z x , resp. prišli aj odšli. Analogický význam majú symboly b^0, b^-, b^+ a b^{+-} pre šípy odchádzajúce z x . Z našich predpokladov máme: $a^- + b^- = a^+ + b^+ = 0$ (pravidlo (TD)), $b^0 = 0, a^- = 0$ (pravidlo (T2)). Takže máme: $b^+ = 0$. Teda všetky hranы pri x sú prejdené oboma smernimi, alebo sú orientované do x a neprejdené ani raz. Z toho vyplýva, že ak sme sa ešte niekedy vrátili do x , tak sme mohli z x vystihnúť istou a len tu istou hranou, a preto v x nemôžeme zastať. Tým sme ukázali, že $x = s$. Teda stojíme v x . Nech $s = u_0, u_1, \dots, u_q$ je postupnosť vrcholov v tom poradí, v akom sa v našom poloslede vyskytli prvykrát. Ukažeme, že všetky hranы odchádzajúce z u_r sú neprejdené oboma smernimi a každá hrana prichádzajúca do u_r je alebo vobeč prejdená alebo prejdená oboma smernimi ($r = 0, 1, \dots, q$). Pre $r > 0$ sa to hned ukáže (porovnaj obr. 1) a ďalej použijeme indukciu. Nech teda $r > 0$ a nech hrana $e = u_i u_r$ je tá, po ktorej sme prišli do u_r prvykrát. Podľa indukčného prepočtu nedôjde prejdenie hranu e aj v smere od u_r . Po tomto prechode budú (porovnaj obr. 1) všetky odchádzajúce hranы z u_r prejdené dvakrát a prichádzajúce hrany e

niekedy prejde hranu e aj v smere od u_r . Po tomto prechode budú (porovnaj obr. 1) všetky odchádzajúce hranы z u_r prejdené dvakrát a prichádzajúce hrany e neprejdené oboma smernimi a každá hrana prichádzajúca do u_r je alebo vobeč prejdená alebo prejdená oboma smernimi ($r = 0, 1, \dots, q$). Pre $r = 0$ sa to hned ukáže (porovnaj obr. 1) a ďalej použijeme indukciu. Nech teda $r > 0$ a nech hrana $e = u_i u_r$ je tá, po ktorej sme prišli do u_r prvykrát. Podľa indukčného prepočtu nedôjde prejdenie hranu e aj v smere od u_r . Po tomto prechode budú (porovnaj

alebo ani raz. Preto, ak ešte prideme do u_r , tak len po prichádzajúcej hrane, avšak touto hned aj odídeme (inej možnosti niet). Teda naše tvrdenie platí. Z tohto už ľahko vyplýva zvyšok tvrdenia vety. ■

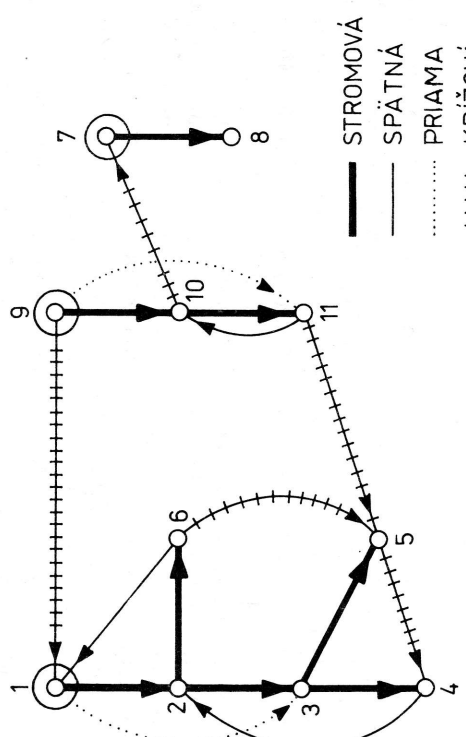
POSTUP DO HLBKY

Ak predchádzajúcemu Tarryho algoritmu pridáme (ako v časti 3.A) nasledujúce pravidlo (T3), získame špeciálnu verziu, ktorou bude hovoriť **Trémauxov prieskum digrafu** (hoci Trémaux orientované labirynty neskúmal).

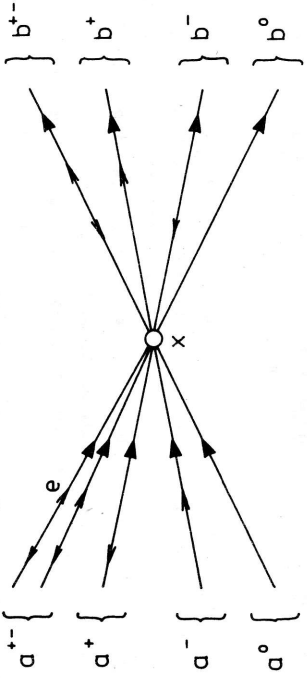
(T3) Ak prideme hranou prechádzanou prvýkrát do známeho vrcholu, tak hned v nasledujúcom kroku sa touto hranou vraciame. ●

To zodpovedá postupu do hľbky a pod týmto názvom ho uvádzajú Tarjan (1972), ktorý ho explicitne študuje. Žiaľ, aj v tejto verzii je prieskum digrafu dosť zložitý. Oproti grafom, kde nám postup do hľbky rozdelil hranы na dve triedy (stromové a spätné hranы), tu dostávame až štyri druhы hŕan, ako ilustruje obr. 2. Číslo pri každom vrchole u označuje poradie $p(u)$ jeho objavenia. Hrubé číary predstavujú tzv. **stromové hranы** a vytvárajú zdrojové stromy (zdroje sú 1, 7 a 9). Nestromová hrana \bar{ij} , kde $p(i) < p(j)$ je tzv. **priama hrana** (bodkovane vyznačená): pre otázkу existencie sledov môže byť aj vyniechaná). Nech $p(i) > p(j)$, ak existuje $j-i$ cesta v strome, tak \bar{ij} sa nazýva **spätná hrana** (tenká číara na obr. 2); v opačnom prípade sa \bar{ij} nazýva **krízová hrana** (poprečiarkovaná číara).

Na rozlišenie spätnej a krízovej hrany \bar{ij} stačí vedieť, či je už vrchol j úplne



Obr. 2. Roztriedenie hran pri postupe do hľbky: korene (začiatky polosledov) sú 1, 7 a 9.



Obr. 1. Situácia po odchode hranou e .

preskúmaný v tom zmysle, že sme ho už opustili proti šípkе stromovou hranou kj , kde $f(j) = k$. Viede ij je križová hrana. Inak je zrejmé / nejaký iterovaný otec vrcholu i , a preto ij je spätná hrana. Po zastavení v koreňi s zvolíme za nový koreň lubovoľný ēšte neobjavený vrchol a proces opakujeme, pokiaľ nepreskúmame všetky vrcholy (a teda aj hrany).

Podobne ako pri grafoch aj tento postup možno uskutočniť v čase $O(m+n)$, ak je digraf zadany odchádzajúcimi okoliami.

HLADANIE SILNÝCH KOMPONENTOV

Najst silné komponenty nie je ľahká úloha. Priamo z definície možno navrhnuť polynomiaľny algoritmus. Keďže tato úloha má značný význam, tak sa hľadali čo najefektívnejšie postupy. (Napr. Liebl a Sedláček (1966) v súvislosti s úpravou matíc na blokovo-trojuholníkový tvar (pozri 3.D).) Avšak až v r. 1970 predložil Faradžev $O(m + n \log n)$ algoritmus založený na postupnom kontrahovaní cyklov a v r. 1972 Tarjan $O(m + n)$ algoritmus založený na postupe do hľbky. Tu tiež uvádzame lineárny algoritmus využívajúci postup do hľbky, keďže tento sa ľahšie realizuje ako všeobecný Tarryho prieskum. Algoritmus je založený na dvoch hlavných myšlienkach: (1) Transzitivita silnej súvislosti a fakt, že cyklus je silne súvislý. (2) Ak prideme do silného komponentu, ktorý v kondenzácii predstavuje ústie, tak z neho vydeme až po úplnom preskúmaní (toto platí aj pri Tarryho prieskume).

Budeme predpokladať, že digraf je zadaný zo známymi odchádzajúcich okolí, t. j. pre každý vrchol i je daná množina $V^+(i)$ v zásobníku. Vrchol $f(i)$ je ten (otec), z ktorého sme prvýkrát pršli do i . Ďalej $p(i)$ značí poradie objavenia vrcholu i . V zásobníku ZV zaznamenávame postupne objavované vrcholy a v zásobníku ZE zase hrany. Pre každý vrchol $i \in ZV$ zaznamenávame číslo $r(i) = \min \{p(j) \mid j \in ZV \text{ a } i \text{ už súme zistili, že existuje } i \rightarrow j \text{ cesta}\}$. Presnejšie, pri objavení vrcholu i položime $r(i) := p(i)$ a potom $r(i)$ zlepšujeme pri dvoch druhoch príležitostí: (1) Ak objavíme spätnú alebo križovú hrancu ij , kde $j \in ZV$, tak $r(i) := r(j)$. (2) Ak sa vraciame stromovou hranou ij (proti šípke, t. j. $f(j) = i$, kde $r(j) < r(i)$, tak $r(i) := r(j)$).

Základný postup je podobný ako pri grafoch. Začíname z nejakého vrcholu s (prvý koreň). Všeobecne, ak sme vo vrchole i , tak vo $V^+(i)$ nájdeme posledný neoznačený element j , ktorý označíme „stromová“, „priama“, „spätná“ alebo „križová“ (myslí sa hrana ij) podľa uvedených definícií. Ak j bol doteraz neobjavený, tak postúpime na tento vrchol až. Príom robíme všetky uvedené záznamy.

Ak prideme do vrcholu y , kde už sú všetky prvky vo $V^+(y)$ označené, tak (ako vyplýnie z ďalšieho) y je posledný prvok v zásobníku ZV . Potom y vymenáme zo

preskúmaný v tom zmysle, že sme ho už opustili proti šípkе stromovou hranou kj , kde $f(j) = k$. Viede ij je križová hrana. Inak je zrejmé / nejaký iterovaný otec vrcholu i , a preto ij je spätná hrana. Po zastavení v koreňi s zvolíme za nový koreň lubovoľný ēšte neobjavený vrchol a proces opakujeme, pokiaľ nepreskúmame všetky vrcholy (a teda aj hrany).

Podobne ako pri grafoch aj tento postup možno uskutočniť v čase $O(m+n)$, ak je digraf zadany odchádzajúcimi okoliami.

HLADANIE SILNÝCH KOMPONENTOV

Nájst silné komponenty nie je ľahká úloha. Priamo z definície možno navrhnuť polynomiaľny algoritmus. Keďže tato úloha má značný význam, tak sa hľadali čo najefektívnejšie postupy. (Napr. Liebl a Sedláček (1966) v súvislosti s úpravou matíc na blokovo-trojuholníkový tvar (pozri 3.D).) Avšak až v r. 1970 predložil Faradžev $O(m + n \log n)$ algoritmus založený na postupnom kontrahovaní cyklov a v r. 1972 Tarjan $O(m + n)$ algoritmus založený na postupe do hľbky. Tu tiež uvádzame lineárny algoritmus využívajúci postup do hľbky, keďže tento sa ľahšie realizuje ako všeobecný Tarryho prieskum. Algoritmus je založený na dvoch hlavných myšlienkach: (1) Transzitivita silnej súvislosti a fakt, že cyklus je silne súvislý. (2) Ak prideme do silného komponentu, ktorý v kondenzácii predstavuje ústie, tak z neho vydeme až po úplnom preskúmaní (toto platí aj pri Tarryho prieskume).

Budeme predpokladať, že digraf je zadaný zo známymi odchádzajúcich okolí, t. j. pre každý vrchol i je daná množina $V^+(i)$ v zásobníku. Vrchol $f(i)$ je ten (otec), z ktorého sme prvýkrát pršli do i . Ďalej $p(i)$ značí poradie objavenia vrcholu i . V zásobníku ZV zaznamenávame postupne objavované vrcholy a v zásobníku ZE zase hrany. Pre každý vrchol $i \in ZV$ zaznamenávame číslo $r(i) = \min \{p(j) \mid j \in ZV \text{ a } i \text{ už súme zistili, že existuje } i \rightarrow j \text{ cesta}\}$. Presnejšie, pri objavení vrcholu i položime $r(i) := p(i)$ a potom $r(i)$ zlepšujeme pri dvoch druhoch príležitostí: (1) Ak objavíme spätnú alebo križovú hrancu ij , kde $j \in ZV$, tak $r(i) := r(j)$. (2) Ak sa vraciame stromovou hranou ij (proti šípke, t. j. $f(j) = i$, kde $r(j) < r(i)$, tak $r(i) := r(j)$).

Základný postup je podobný ako pri grafoch. Začíname z nejakého vrcholu s (prvý koreň). Všeobecne, ak sme vo vrchole i , tak vo $V^+(i)$ nájdeme posledný neoznačený element j , ktorý označíme „stromová“, „priama“, „spätná“ alebo „križová“ (myslí sa hrana ij) podľa uvedených definícií. Ak j bol doteraz neobjavený, tak postúpime na tento vrchol až. Príom robíme všetky uvedené záznamy.

Ak prideme do vrcholu y , kde už sú všetky prvky vo $V^+(y)$ označené, tak (ako vyplýnie z ďalšieho) y je posledný prvok v zásobníku ZV . Potom y vymenáme zo

ZV a prejdeme na vrchol $x = f(y)$ (ak y nie je koreň). Ak príom $r(y) = p(y)$, tak to znamená, že žiadnen z vrcholov i , kde $p(i) < p(y)$, nie je dosiahnutelný z y , a vtedy robíme výstup silne súvislého komponentu takto: Zo zásobníka ZE postupne prenášame hrany na výstup, kým nezostane v ZE hrana xy ako posledná, resp. ak y je koreň, tak ZE celkom vyprázdnime. Potom vrchol y spolu s množinou záciatkov prenesených hrán indukuje jeden silný komponent. Hrana xy spája dva rôzne silné komponenty. Z vrcholu x pokračujeme v prieskume až.

Ak sme už prieskum z jedného koreňa s ukončili, tak zvolíme lubovoľne ďalší neobjavený vrchol za koreň a pokračujeme v postupe do hľbky. ●

Správnosť takého algoritmu vyplýva z uvedeného Tarryho prieskumu a z faktu, že spomínany vrchol y je vrcholom, ktorý predchádza v prieskume všetkým vrcholom silného komponentu prenášaného na výstup a ktorý zodpovedá v danej situácii ústiu kondenzácie. Detaily aj dôkaz lineárnosti prenechávame čitateľovi ako cvičenie. Tak isto nechávame na čitateľa navrhnuť lineárny algoritmus na zostrojenie kondenzácie digrafu.

MONOTÓNNE OČISLOVANIE VRCHOLOV

ACYKLICKÉHO DIGRAFU

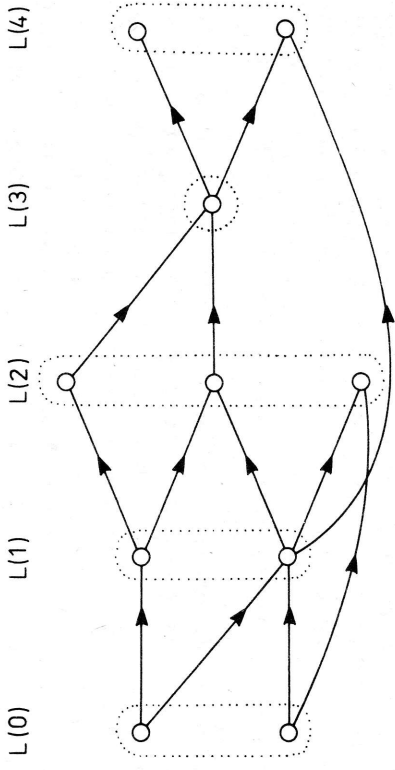
Ako už vieme (veta 1.E.2), vrcholy acyklického digrafu možno očislovať číslami $1, 2, \dots, n$ tak, že každý šíp smerie od menšieho čísla k väčiemu. Takéto očislovanie sa nazýva *monotoné*. (Niektory sa uvádzajú pod názvom „topologické usporiadanie“.) Tu ukážeme použitie postupu do hľbky pre ziskanie takého usporiadania (očislovania).

Nech premenná c je „číslovač“. Na začiatku položíme $c := n$. Zvolíme lubovoľný vrchol za koreň a robíme postup do hľbky. Ak sa dostaneme do nejakého vrcholu y , pre ktorý sú už všetky prvky vo $V^+(y)$ očislované, tak vrcholu y pridáme číslo c , potom položíme $c := c - 1$ a pokračujeme v postupe. ●

Správnosť tohto algoritmu vyplýva zo skutočnosti, že v prieskume acyklického digrafu nebudú spätné hrany. Priame hrany zrejme vyrhovujú získanému očislovaniu. Pre stromové a križové hrany to možno hned ukázať indukciou. Keďže ide o prieskum do hľbky doplnený o jednoduchú manipuláciu s číslom c , vidíme, že ide o $O(m+n)$ algoritmus.

ROZTRIEDENIE VRCHOLOV ACYKLICKÉHO DIGRAFU DO ÚROVNÍ

Obmenou predchádzajúceho usporiadania je nasledujúci rozklad vrcholovej množiny acyklického digrafu G do úrovni $L(0), L(1), \dots, L(k)$ tak, že $L(0) = \{u \in V(G) \mid \deg(u) = 0\}$ a pre $i \geq 1$ nech $G_i := G - (L(0) \cup \dots \cup L(i-1))$



Obr. 3. Roztriedenie vrcholov acyklického digrafa do úrovni.

a $L(i) := \{u \in G_i \mid \deg_G(u) = 0\}$. Obr. 3 ukazuje príklad digrafa s takto roztriedenými vrcholmi ($k = 4$).

Nasledujúca metóda založená na definícii úrovni [Goralčíková a Koubek (1979)] je skôr postupom do šírky. Nech h určuje tzv. výšku vrcholov, t.j. $h(v) = i$, ak $v \in L(i)$.

Nech je digraf G zadaný zo znameniami prechodcov $V^-(u)$ a nasledovníkov $V^+(u)$. Na začiatku určíme čísla $d^-(u) := \deg^-(u)$ (ktoré potom budeme redukovať), a teda určíme aj množinu $L(0)$.

Algoritmus

KROK 0: Určíme všetky $d^-(u)$, množinu $L(0)$, $L(i) := \emptyset$ ($i \geq 1$),
 $i := 0$ a ideme na krok 1.

KROK 1: Pre každé $u \in L(i)$ urobíme:

$$\begin{cases} d^-(v) := d^-(v) - 1. Ak d^-(v) = 0, tak \\ \quad \left[\begin{array}{l} L(i+1) := L(i+1) \cup \{v\} \\ \quad h(v) := i+1 \end{array} \right] \end{cases}$$

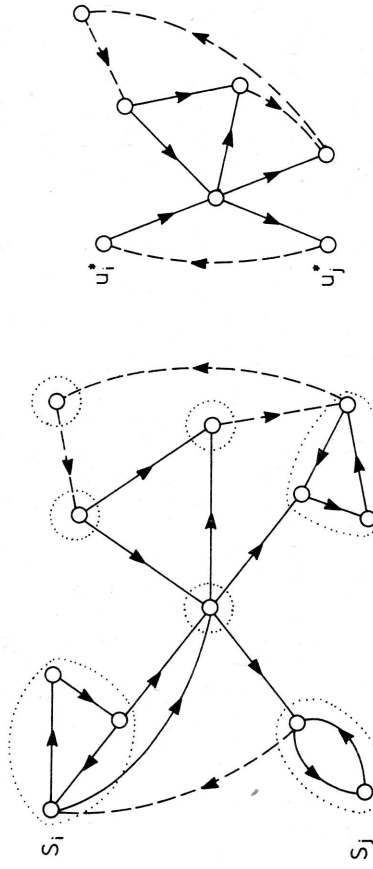
KROK 2: $i := i + 1$. Ak $L(i) \neq \emptyset$, tak ideme na krok 1 : inak STOP ($k = i - 1$, jednotlivé triedy sú $L(0), \dots, L(i-1)$ a výška každého vrcholu v je $h(v)$). ●

Správnosť algoritmu je zrejmá. Prenechávame čitateľovi overiť, že má lineárnu zložitosť (3.Z.8). Nakoniec poznamenajme, že pomocou úrovni možno ľahko urobiť monotoné očislovanie vrcholov.

3.F Najmenšie doplnenie na silne súvisí digraf

Ak je daná komunikačná siet reprezentovaná digraffom G , ktorý nie je silne súvislý, tak má zmysel doplniť G novými hranami tak, aby sme získali silne súvislý digraf \hat{G} . Prirodzená je požiadavka, aby sme pridali ku G čo najmenej hrán (komunikačných liniek). V takom prípade \hat{G} nazývame **najmenší silne súvislý digraf obsahujúci G** . Tento problém postavili a vyriešili Eswaran a Tarjan (1976). Nasledujúci výklad je založený na ich práci.

Najprv k danému digrafu G zostrojime kondenzáciu G^* . Potom utvoríme najmenší silne súvislý digraf \hat{G}^* obsahujúci acyklický digraf G^* . Konečne, pomocou \hat{G}^* zostrojíme \hat{G} tak, že pre každú pridanú hranu $u_i^* u_j^*$ v \hat{G}^* , kde vŕcholy u_i^* a u_j^* zo zodpovedajú silným komponentom S_i a S_j digrafa G , zvolíme libovoľné vrcholy $x \in S_i$, $y \in S_j$ a ku G pridáme hranu xy (pozri priklad na obr. 1). ●



Obr. 1. Doplnenie na silne súvislý digraf pomocou kondenzácie.

Je zrejmé, že takýto postup je správny. Okrem toho, kondenzáciu G^* vieme zostrojiť v čase $O(m+n)$ a zostrojenie \hat{G} pomocou \hat{G}^* tiež nevyžaduje viac operácií. Takto zostáva vyriešiť problém pre acyklické digrafy.

Veta 1. Nech G je acyklický digraf, ktorý má s prameňov, t ústí a q nulových vrcholov. Potom minimálny počet hrán, ktoré treba pridať ku G , aby sme získali silne súvislý digraf, je rovný $\max\{s, t\} + q$.

DOKAZ. Ak máme vyrobiť silne súvislý digraf, tak pre každý prameň a nulový vrchol musíme pridať aspoň jednu prichádzajúcu hranu, takže spolu aspoň $s+q$ hrán. Analogicky pre každé ústie a nulový vrchol treba pridať aspoň jednu odchádzajúcu hranu, teda spolu aspoň $t+q$ hrán. Porovnaním vidime, že celkove treba pridať aspoň $\max\{s, t\} + q$ hrán.

Ešte ukažeme, že toľko hrán aj stačí pridať. Budeme predpokladať, že $s \leq t$ (inak to zmenou orientácie zarúčime a vo výsledku potom opäť zmieníme orientáciu). Nech existuje prirodzené číslo $p \leq s$, pramene $v(1), \dots, v(p)$ a ústia $w(1), \dots, w(p)$ spĺňajúce tri podmienky:

(i) Existuje $v(i) - w(i)$ cesta pre všetky $i = 1, \dots, p$.

(ii) Pre každý prameň v existuje $v - w(i)$ cesta pre nejaké i .

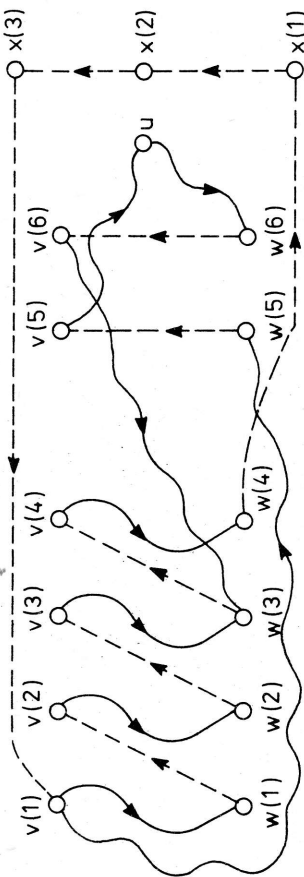
(iii) Pre každé ústie w existuje $v(i) - w$ cesta pre nejaké i .

Lahko vidieť, že také p existuje; neskôr si dámeho vhodný algoritmus. Nech ostatné pramene sú $v(p+1), \dots, v(s)$ a $w(p+1), \dots, w(s)$ nech sú ďaľšie ústia. Nulové vrcholy a ostatné ústia označme ako $x(1), x(2), \dots, x(q+t-s)$.

K digrafu G pridáme nasledujúcu množinu hrán:

$$\begin{aligned} E' = & \{w(i)v(i+1) \mid 1 \leq i < p\} \cup \{w(i)v(i) \mid p+1 \leq i \leq s\} \cup \\ & \left\{ \begin{array}{l} \{w(p)v(1)\}, \text{ ak } q+t-s=0, \\ \{w(p)x(1), x(q+t-s)v(1)\} \cup \{x(i)x(i+1)\}, 1 \leq i < q+t-s \end{array} \right\}, \\ & \text{ak } q+t-s>0. \end{aligned}$$

Vidime, že $|E'| = t+q$. Látko sa dokáže, že $G+E'$ je silne súvislý digraf. (Pozri obr. 2, kde máme $p=4, s=6, t=7, q=2$.) Totiž vrcholy $v(1), \dots, v(p), w(1), \dots, w(p), x(1), \dots, x(q+t-s)$ budú podľa (i) ležať v nejakom uzavretom siede Q . Pre každý vrchol u mimo Q existuje $u-w$ cesta, kde w je nejaké ústie a podľa (ii) potom aj $u-w(j)$ cesta, kde $1 \leq j \leq p$, teda existuje $u-V(Q)$ cesta. Analogicky



Obr. 2. Ilustrácia k dôkazu vety 1.

pomocou (iii) vidime, že existuje $V(Q)-u$ cesta. Teda $G' = G+E'$ je silne súvislý digraf. ■

Ešte naznačime, ako nájsť prameň a ústia splňajúce podmienky (i)–(iii) v lineárnom čase. To potom dá aj celkove lineárny algoritmus pre najmenšie doplnenie na silne súvislý digraf, lebo ostatné kroky v dôkaze možno uskutočniť tiež v lineárnom čase.

Najprv zvolíme prameň v_1 a vyrobíme maximálnu (nepredĺžiteľnú) v_1-x_1 cestu. Zriejme x_1 musí byť ústím, a teda $v(1) = v_1$ a $w(1) = x_1$. Pritom všetkým vrcholom tejto cesty dáme značku $+1$. Potom zvolíme neoznačovaný prameň v_2 a nagerenujeme maximálnu cestu v_2-x_2 za predpokladu, že nanajvyš vrchol x_2 môže byť označovaný značkou $+1$. Pritom každý neoznačovaný vrchol tejto cesty dostane značku $+2$ atď. Potom analogicky generujeme „spätné“ cesty z neoznačovaných ústí w_1, w_2, \dots tak, že najprv hľadáme maximálnu y_1-w_1 cestu, kde nanajvyš vrchol y_1 môže byť označovaný značkami predchádzajúcich ciest: pritom každý neoznačovaný vrchol tejto cesty dostane značku -1 atď. Takto „pokryjeme“ aj všetky ústia. Ak niektorá z týchto spätných ciest y_j-w_j bola taká, že y_j malo značku $+i$ a žiadne ústie ju ešte nemá, tak zmeníme značku $-j$ pri w_j na $+i$. Potom dvojica „(prameň, ústie)“ s tou istou značkou $+i$ tvorí jednu požadovanú dvojicu $(v(k), w(k))$. ●

Zrejme celý proces možno realizovať v čase $O(m+n)$.

Na záver poznamenanajme, že problém s ohodnotenými hranami, kde hľadáme doplnenie hranami s minimálnym súčtom ohodnotení, je NP-tažký (3.Z.13).

3.G

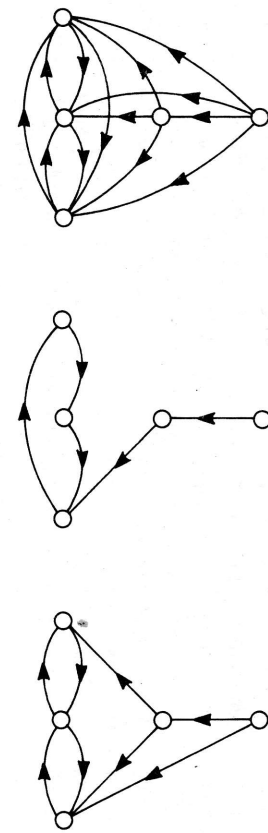
Tranzitívny uzáver a redukcia

V modeloch rôznych systémov sa niekedy vyskytuje úloha zistit pre daný digraf G všetky také dvojice (x, y) , $x \neq y$, že v G existuje $x-y$ sled. Digraf $G^T = (V_G, E^T)$ pozostáva zo všetkých takých dvojíc (x, y) sa nazýva tranzitívny uzáver digrafa G . (Niektory sa uvažuje aj prípad $x=y$ a skúmajú sa len netriviálne $x-y$ sledy. Toto môžno zobrazit pseudodigrafom, ktorý sa nazýva reflexívno-tranzitívny uzáver a lísi sa od G^T iba tým, že pri niektorých vrcholoch má slučky. Slučka pri vrchole x však zodpovedá tomu, že x leží v netriviálnom silnom komponente, čo spolu pre všetky vrcholy overíme v lineárnom čase. Preto sa stačí zaoberať len s G^T .)

Tranzitívny uzáver možno definovať aj ako digraf s maximálnym počtom hrán a s rovnakou dosiahnutelnosťou, ako má G . Digraf s minimálnym počtom hrán

a s rovnakou dosiahnutnosťou ako má G , nazývame tranzitívnu redukciu G^r . Obr. 1 ilustruje tieto pojmy.

Tranzitívny uzáver digrafa je zrejme jednoznačne určený. Tak isto hned viete, že stačí hľadať tranzitívny uzáver acyklických digrafov, lebo kondenzácia digrafu je acyklická a tranzitívny uzáver každého silného komponentu je kompletný digraf.



Obr. 1. Digraf, tranzitívna redukcia a uzáver.

Pre tranzitívnu redukciu zasa vidime, že tranzitívna redukcia každého silného komponentu je cyklus. Taktô potom stačí vedieť hľadať tranzitívnu redukciu kondenzácie, teda acyklického digrafa. Ak z digrafu G vychádza postupne tranzitívne hrany (hrana xy sa nazýva tranzitívna, ak existuje $x \rightarrow y$ sled neobsahujúci hranu xy), tak ziskame faktor bez tranzitívnych hrán a s rovnakou dosiahnutnosťou, ako má G . Preto stačí vedieť hľadať tranzitívnu redukciu pre acyklické digrahy bez tranzitívnych hrán. Lahko možno dokázať, že každý acyklický digraf G bez tranzitívnych hrán má tranzitívnu redukciu rovnú G [Aho, Garey a Ullman (1972)]. Z toho hned vidime, že tranzitívna redukcia acyklického digrafa je jediná.

Tako zrejme existujú polynomiálne algoritmy pre zostrojenie tranzitívneho uzáveru aj redukcie.

WARSHALLOV ALGORITMUS

PRE TRANZITÍVNÝ UZÁVER

Nasledujúci $O(n^3)$ algoritmus je od Warshalla (1962). Algoritmus tejto zložitosti dáva aj Martynjuk (1962).

Nech je digraf G s $V_G = \{1, 2, \dots, n\}$ zadaný susedskou maticou A (boolovská matice): $a_{ij} = 1$ ak $ij \in E_G$ a $a_{ij} = 0$ inak. Postupne počítame boolovské matice $A^{(0)} := A, A^{(1)}, A^{(2)}, \dots, A^{(n)}$. Prítom pre každé $k \in \{0, 1, 2, \dots, n\}$ žiadame, aby prvok $a_{ij}^{(k)}$ matice $A^{(k)}$ bol rovny 1 práve vtedy, keď v G existuje $i \rightarrow j$ sled, ktorého každý vnútorný vrchol patrí do množiny $\{1, 2, \dots, k\}$. Pre $k = 0$ je to zrejme

splnené. Pre $k \geq 1$ vidime, že každý takýto sled alebo neobsahuje vrchol k , alebo je zreťazenním nejakého $i \rightarrow k$ sledu a $k \rightarrow j$ sledu, pričom oba majú všetky vnútorné vrcholy v množine $\{1, 2, \dots, k-1\}$. Tako máme:

$$(W1) \quad a_{ij}^{(k)} = a_{ij}^{(k-1)} \vee (a_{ik}^{(k-1)} \wedge a_{kj}^{(k-1)}).$$

Z uvedeného je zrejmé, že $A^{(n)}$ bude susedskou maticou reflexívno-tranzitívneho uzáveru a vynechaním slučiek získame tranzitívny uzáver. Keďže prechod od $A^{(k-1)}$ k $A^{(k)}$ vyžaduje $O(n^2)$ operácií, tak na celý algoritmus stačí $O(n^3)$ operácií. Ešte si všimnime, že vystačíme s jedným polom, v ktorom sa na začiatku nachádza matica $A^{(0)}$. Skutočne, z (W1) máme:

$$\text{Ak } a_{ik}^{(k-1)} = 0, \text{ tak } a_{ij}^{(k)} = a_{ij}^{(k-1)} = 0 \text{ a ak } a_{ik}^{(k-1)} = 1, \text{ tak } a_{ij}^{(k)} = a_{ij}^{(k-1)} \vee a_{kj}^{(k-1)}. \text{ Keďže vždy je } a_{ik}^{(k)} = a_{ik}^{(k-1)}, \text{ tak pre } i\text{-tý riadok } r_i^{(k)} \text{ matice } A^{(k)} \text{ platí: } r_i^{(k)} = r_i^{(k-1)}$$

a všeobecne:

$$(W2) \quad r_i^{(k)} = \begin{cases} r_i^{(k-1)}, & \text{ak } a_{ik}^{(k-1)} = 0, \\ r_i^{(k-1)} \vee r_k^{(k-1)}, & \text{ak } a_{ik}^{(k-1)} = 1. \end{cases}$$

Tento vzťah umožňuje získať z matice $A^{(k-1)}$ matice $A^{(k)}$ na tom istom poli. ●

Konečne poznámenajme, že efektívnosť tohto algoritmu je v tom, že boolovská disjunkcia sa veľmi ľahko na počítači realizuje, keďže pri malom n celý riadok r_i predstavuje jedno, resp. niekoľko „slov“ (takže namiesto n operácií možno hovorí o jednej).

TRANZITÍVNÝ UZÁVER CEZ KONDENZÁCIU

Keďže existuje $O(m+n)$ algoritmus na zostrojenie kondenzácie digrafu, ponuka sa myšlienka urobiť najprv tranzitívny uzáver kondenzácie a z neho potom tranzitívny uzáver pôvodného digrafu. Pretože, ako vieme, kondenzácia je vždy acyklický digraf, tak je tu nádej, že tranzitívny uzáver sa bude robiť jednoducho než vo všeobecnosti. Takýto prístup volia napr. Faradžev (1970) a Munro (1971). Prenechávame čitateľovi dokázať, že ak poznáme tranzitívny uzáver G^* kondenzácie G^* digrafu G , tak v čase $O(n^2)$ ľahko zostrojíme tranzitívny uzáver G^r digrafu G (3.Z.15). Potom celý algoritmus závisí od toho, aký dobrý máme algoritmus pre zostrojenie tranzitívneho uzáveru acyklického digrafu. Faradžev (1970) dáva $O(mn + n^2)$ algoritmus. Tu uvádzame takýto algoritmus založený na postupe do ľubky.

Nech acyklický digraf G je zadaný zo znamami nasledovníkov. Ďalej budeme používať maticu typu (n, n) , ktorá sa na začiatku rovná matici susednosti $A(G)$ digrafu G a na konci algoritmu máci susednosti $A(G^r)$ jeho tranzitívneho

uzáveru. Vždy keď sa v prieskume vraciame proti šípke hrany (každého druhu) \vec{ij} , tak k nasledovníkom vrcholu i pridáme všetkých nasledovníkov vrcholu j . To možno realizovať tak, že boolevský súčet riadkov i a j našej maticy dám do riadku i . Tako pre každú hrancu vystačíme s $O(n)$ operáciami, a teda celkové s $O(mn)$ operáciami. Na prvú maticu $A(G)$ vystačíme s $O(n^2)$ operáciami, a preto na celý algoritmus s $O(mn + n^2)$ operáciami. To je nanajvýš $O(n^3)$, ale pri riedkych digrafoch to môže byť podstatne menej. ●

HLADANIE TRANZITÍVNEJ REDUKCIE A UZÁVERU ACYKLICKÉHO DIGRAFU SÚČASNÉ

Podobne ako pre transzitívny uzáver aj pre redukciu platí, že z transzitívnej redukcie kondenzácie vieme v čase $O(n^2)$ vytobiť transzitívnu redukciu pôvodného digrafu (3.Z.15). Preto aj tu sa pozornosť sústredí na acyclické digrafy. Algoritmus z práce [Goralčíková a Koubek (1979)], ktorý teraz uvedieme, súčasne počíta pre acyclický digraf G transzitívnu redukciu G^R aj transzitívny uzáver G^T , a to v čase $O(nm_R + m)$, kde m_R je počet hrán v G^R . V ďalšom kladime $T := G^T$ a $R := G^R$.

Predpokladajme, že digraf G má vrcholy rozložené do úrovni $L(0), L(1), \dots, L(s)$ a pre každý vrchol v je daná jeho výška $h(v)$ (číslo úrovne). To možno urobiť v lineárnom čase (pozri 3.E). Pripomeňme si, že R vznikne z G vyniechaním transzitívnych hrán. Ihneď z definície úrovňových množín máme:

$$(GK1) L(h(v) + 1) \cap V_R^*(v) = L(h(v) + 1) \cap V_T^*(v) = L(h(v) + 1) \cap V_R^*(v).$$

Ak označíme:

$$A(v, p) := \bigcup_{k=h(v)+1}^{p-1} \bigcup_{y \in L(h) \cap V_R^*(v)} L(p) \cap V_T^*(y),$$

tak pre každé $p > h(v) + 1$ môžeme písat:

$$(GK2) \quad \begin{aligned} L(p) \cap V_R^*(v) &= [L(p) \cap V_T^*(v)] - A(v, p), \\ L(p) \cap V_T^*(v) &= [L(p) \cap V_R^*(v)] \cup A(v, p). \end{aligned}$$

K dôkazu týchto rekurentných vzťahov si stačí uvedomiť definíciu T a R (pozri aj obr. 2, kde $vy \in R, v z_1 \in G$ a ostatné hrany sú z $T - E_G$; tu $z_1 \notin L(p) \cap V_R^*(v)$ a $z_2 \in L(p) \cap V_T^*(v)$).

Zo vzťahov (GK1) a (GK2) môžeme postupne určiť množiny $V_R^*(v)$ a $V_T^*(v)$ pre každý vrchol v tým, že určíme jednotlivé príekopy s úrovňovými množinami.

Algoritmus

```
Pre i=1, 2, ..., s urobíme:
  Pre j=0, 1, 2, ..., s-i urobíme:
     $\boxed{P := j+i \text{ a pre každé } v \in L(j) \text{ urobíme:}}$ 
     $\boxed{A := \bigcup_{k=j+1}^{p-1} \bigcup_{y \in L(k) \cap V_R^*(v)} L(p) \cap V_T^*(y),}$ 
     $L(p) \cap V_R^*(v) := [L(p) \cap V_T^*(v)] - A,$ 
     $L(p) \cap V_T^*(v) := [L(p) \cap V_R^*(v)] \cup A. \bullet$ 
```

Poznamajme, že i tu určuje rozdiel $p - j$, ktorý je najprv 1, potom 2 atď., čo umožňuje stavať na predchádzajúcich výpočtoch.

Odhadneme zložitosť uvedeného algoritmu za predpokladu, že množiny $L(i) \cap V_R^*(v)$ a $L(i) \cap V_T^*(v)$ sú ukladané ako zásobníky, zatiaľ čo každá z množín $L(i) \cap V_T^*(v), A(v, i)$ je vyjadrená charakteristickou funkciou na množine $L(i)$ (táto funkcia má hodnotu 1, ak $v \in L(i)$ patrí do množiny a 0 inak).

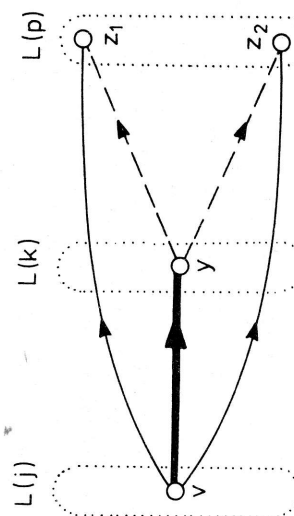
Pre najvnútorenejší cyklus algoritmu stačia nasledujúce počty operácií (časy). Na zostrojenie množiny A :

$$\sum_{k=j+1}^{p-1} |L(k) \cap V_R^*(v)| |L(p)|.$$

Množinu $L(p) \cap V_R^*(v)$ zostrojíme pomocou výškovej funkcie h v čase $O(|V_R^*(v)|)$. Potom množinu $L(p) \cap V_T^*(v)$ zostrojíme v čase $O(|L(p) \cap V_R^*(v)|)$ a množinu $L(p) \cap V_T^*(v)$ v čase $O(|L(p)| \cap V_R^*(v))$.

Množina A je vlastne $A(v, p)$ a počas celého algoritmu sa každé $A(v, p)$ počítan raz. Preto celkový čas na všetky množiny A nepresiahne:

$$\sum_{v \in V_G} \sum_{p=0}^s O(|L(p)| \sum_{k=j+1}^{p-1} |L(k) \cap V_R^*(v)|) \leq$$



Obr. 2. Ilustrácia vzťahov (GK2).

$$\leq O\left(\sum_{v \in V_G} \left(\sum_{p=0}^s |L(p)|\right) |V_K^*(v)|\right) \leq O\left(\sum_{v \in V_G} |V_G| |V_K^*(v)|\right) = O(nm_K).$$

Analogicky viďte, že celkový čas na konštrukciu množín $L(p) \cap V_G^*(v)$ nepresahne

$$\sum_{v \in V_G} O(|V_G^*(v)|) = O(m).$$

Na konštrukciu množín $L(p) \cap V_G^*(v)$ stačí čas

$$\sum_{v \in V_G} \sum_{p=0}^s O(|L(p) \cap V_G^*(v)|) \leq \sum_{v \in V_G} O(|V_G^*(v)|) = O(m).$$

Úplne podobne vidieť, že množiny $L(p) \cap V_T^*(v)$ možno skonštruovať v čase $O(m_K)$.

Sumarizujúc vidíme, že na celý algoritmus vystačíme s $O(mn_K + m)$ operáciami. Keďže m_K môže byť dosť nízke, napr. $O(n)$, tak niekedy to dáva $O(n^2)$ algoritmus. Na druhej strane, môžeme dostat len $O(n^3)$ algoritmus. Aho, Garey a Ullman (1972) dokázali, že ak $2 \leq \alpha \leq 3$, tak existuje $O(n^\alpha)$ algoritmus pre tranzitívny uzáver práve vtedy, ak existuje $O(n^\alpha)$ algoritmus pre tranzitívnu redukciu acylického digrafa.

TRANZITÍVNY UZÁVER A NÁSOBENIE MATÍC

Teraz uvedieme algoritmus pre tranzitívny uzáver, ktorý má menšiu zloženosť ako $O(n^3)$ a využíva rýchly algoritmus pre násobenie matíc. Vychádzame z práce [Munro (1971)].

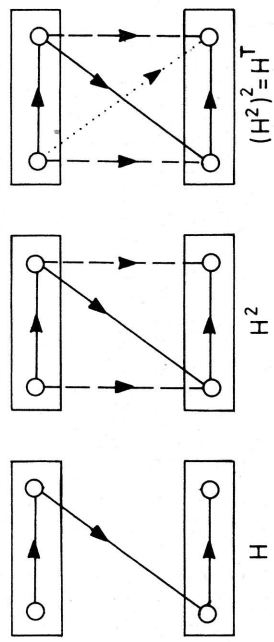
Ak G je digraf, tak G^2 označuje tzv. druhú mocninu digrafa G , t. j. $V(G^2) = V_G$ a $E(G^2) = \{xy \mid x, y \in V_G, x \neq y \text{ a } \text{vzdialosť } d_G(x, y) \leq 2\}$. (Vo všeobecnosti je $G^{n-1} = G^n$). Monotónne očislovaný acylický digraf G s $2q$ vrcholmi $1, 2, \dots, 2q$, ktoré sú zároveň ich číslami, nazývame kvázitranzitívny, ak oba indukované podgrafy $G(\{1, 2, \dots, q\})$ a $G(\{q+1, \dots, 2q\})$ sú tranzitívne uzavreté.

Veta 1. Ak existuje $O(n^\alpha)$ algoritmus pre 2. mocninu kvázitranzitívnych digrafov, kde $2 \leq \alpha \leq 3$, tak existuje aj $O(n^\alpha)$ algoritmus pre tranzitívny uzáver digrafov.

Dôkaz. Podľa uvedeného môžeme sa ohraňať na acylické digrafy. Teda nech G je acylický digraf a nech má $n = 2^t$ vrcholov (to možno dosiahnuť pridaním nulových vrcholov), ktoré sú monotonne očislované.

Najprv urobíme tranzitívne uzávery 2^{t-1} indukovaných podgrafov $G(\{1, 2\}), G(\{3, 4\}, \dots, G(\{n-1, n\})$; pomocou nich potom tranzitívne uzávery digrafov $G(\{1, 2, 3, 4\}), G(\{5, 6, 7, 8\}), \dots$, ktorých je 2^{t-2} atd. až získame tranzitívny

uzáver digrafu G . Vidíme, že pri tomto stačí robiť len tranzitívne uzávery kvázitranzitívnych digrafov H . Poslednú úlohu však zvládнемe, ak urobíme 2. mocninu digrafu H , t. j. H^2 a potom 2. mocninu výsledku, t. j. $(H^2)^2$ (pozri obr. 3). ●



Obr. 3. Zstrojenie uzáveru kvázitranzitívneho digrafu.

Nech existuje $O((2')^\alpha)$ algoritmus na utvorenie 2. mocniny kvázitranzitívneho digrafu H s 2^t vrcholmi. Na utvorenie 4. mocniny máme teda tiež $O((2')^\alpha)$ algoritmus. Nech $c > 0$ je také číslo, že vždy vystačíme s $c(2')^\alpha$ operáciami. Keďže máme urobiť 4. mocninu pre $n/2^t$ digrafov, z ktorých každý má 2^t vrcholy, tak v tejto iterácii vystačíme s $c(2')^\alpha \cdot n/2^t$ operáciami. Pretože t prebieha od 2 po t ($n = 2^t$), tak na celý algoritmus vystačíme s počtom operácií:

$$\begin{aligned} \sum_{i=2}^t c(2')^\alpha n/2^i &= cn \sum_{i=2}^t (2^{\alpha-1})^i < cn(2^{\alpha-1})^{t+1} = \\ &= cn2^{\alpha-1} \cdot (2^{\alpha-1})^{t-1} \cdot n^{\alpha-1} = cn \cdot 2^{\alpha-1} \cdot n^{\alpha-1} = c \cdot 2^{\alpha-1} \cdot n^\alpha. \end{aligned}$$

Teda $O(n^\alpha)$ operácií nám stačí. ■

Ako vieme z kap. 1, prvky a_{ij} 2. mocniny matic susednosti A digrafu G vyjadrujú počty rôznych $i-j$ sledov dĺžky 2 v G . Takže nahradiac v A^2 všetky nenulové prvky jednotkami a prvky v hlavnej uhlopriečke nulami, získame matricu susednosti digrafu G^2 . Avšak na výrobenie A^2 nám stačí $O(n^{1082})$ operácií [Strassen (1969)], takže tým máme zaručený $O(n^{2.81})$ algoritmus pre tranzitívny uzáver acylického, a tým aj lubovoľného digrafu. Okrem Munra takýto algoritmus ohlásili aj Fischer a Meyer (1971). Výsledok Strassena bol viackrát zlepšený. Ako uvádzá Tarjan (1980), V. Y. Pan našiel dokonca $O(n^{2.49})$ algoritmus pre súčin dvoch matíc typu (n, n) , a tým aj $O(n^{2.49})$ algoritmus pre tranzitívny uzáver, resp. redukciu. Tento výsledok má skôr teoretický než praktický význam.

Na záver ešte poznámejme, že Schnorr (1977) oznamuje pravdepodobnosť algoritmus, pre ktorý dokazuje, že ak m_T je očakávaný počet hrán tranzitívneho uzáveru, tak $O(n+m_T)$ je očakávaný počet operácií pre nájdenie tranzitívneho uzáveru.

3.7 Cvičenia a poznámky

1. Dokážite, alebo vyvráťte: Pre nájdenie cesty z rovinného labiryntu sa stačí pridržať stále ľavej steny (t. j. na rázcestí vždy volíme prvého chodbu vľavo).
2. Zostrojte lineárny algoritmus pre vybranie $u-v$ cesty z daného $u-v$ sledu.
3. Navrhnite podrobnejšie lineárne algoritmy pre postupy do hľbky, resp. šírky v grafoch.
4. (a) Dokážte, že postup načrtnutý v 3.B správne hľadá bloky aj artikulácie. Navrhnite $O(m+n)$ algoritmus pre identifikáciu blokov, artikulácií a tiež pre zostrojenie blokovo-artikulačného grafu.
- (b) Analogicky pre listy, mosty a listovú kondenzáciu.
5. Navrhnite podrobnejší $O(m+n)$ algoritmus pre postup do hľbky v grafoch načrtnutý v 3.E.
6. Zostrojte podrobnejší $O(m+n)$ algoritmus pre hľadanie silných komponentov digrafa a tiež pre zostrojenie kondenzácie digrafu.
7. Navrhnite lineárny algoritmus pre zisťovanie jednostrannej súvislosti digrafu.
8. Ukážte, že algoritmus pre rozdelenie vrcholov acyklického digrafu do úrovni (3.E) je lineárny.
9. Dokážte, že ak je digraf silne súvislý a rovnovažne orientovaný, tak je silne súvislý.
10. (a) Nech G je silne súvislý digraf s $n \geq 2$. Potom pre každý vrchol $v \in V_G$ existuje vrchol $u(v) \neq v$ tak, že $G - u(v)$ je jednostranne súvislý a vrchol v je stokom digrafu $G - u(v)$ [Horák (1983)]. [Návod: Nech Z je cyklus obsahujúci v . Ak $V_Z \neq V_G$, tak stiahnite Z na jeden vrchol a použiť indukciu.]
(b) Navrhnite polynomiálny algoritmus pre nájdenie takého vrcholu $u(v)$.
11. (a) Dokážte, že graf má silne súvislú orientáciu práve vtedy, keď je list [Robbins (1939)].
(b) Dokážte, že silne súvislý migraf G má silne súvislú orientáciu (zorientujeme rebrá) \Leftrightarrow pre každú hranu e je $G - e$ silabo súvislý migraf \Leftrightarrow deorientácia migrafa G (šípy zmeníme na rebrá) je listom.
12. Dokážte, že pre lubovoľné rebro e bloku G s $n \geq 3$ vrcholmi existuje taká silne súvislá orientácia \hat{G} grafu G , ktoréj každý cyklus obsahuje hranu e (t.j. $\hat{G} - e$ je acyklický digraf) [Sedláček (1959)].

13. Dokážte, že problém najlacnejšieho doplnenia digrafu G na silne súvislý digraf je NP-tažký (hrany mimo G majú ceny).
14. Dokážte, že problém najlacnejšieho doplnenia grafu G na blok je NP-tažký, dokonca aj vtedy, ak G je strom.
15. Ukážte, ako možno z tranzitívneho uzáveru G^* kondenzácie G^* zestrojiť v čase $O(n_\Delta^2)$ tranzitívny uzáver digrafu G . Tiež ukážte analógiu pre redukciu a s rovnakou dosiahnuteľnosťou možno v čase $O(m+n)$.
16. (a) Dokážte, že nájsť podgraf H grafu G s minimálnym počtom hrán v plánarnejch digrafoch s maximálnym stupňom 3. [Návod: Uvažte problém hamiltonovského cyklu.]
(b) Ukážte, že analogický problém v digrafoch je NP-tažký, dokonca v plánarnejch digrafoch s maximálnym stupňom 3. [Návod: Uvažte problém hamiltonovského cyklu.]
17. Dokážte, že pravidelný bipartitný graf nemá artikuláciu [Lovász (1979)].
18. Množina vrcholov $S \subseteq V(G)$ sa nazýva jadro digrafu G , ak je nezávislá (t. j. ak $u, v \in S$, tak $uv \notin E(G)$) a absorbujúca (t. j. ak $x \notin S$, tak $S \cap V^+(x) \neq \emptyset$). Jadrá sa študovali v súvislosti s hrami dvoch hráčov. Každej pozícii P_i je priradený vrchol digrafu v_i a šíp vv_j označuje, že z pozície P_i možno na jeden tåh prejsť do pozície P_j . Ak je hráč v jadre, tak (pri jeho správnej hre) už ho z jadra nemožno vytlačiť.
(a) Dokážte, že každý digraf bez cyklov nepárnej dĺžky má jadro [Richardson (1946)]. [Návod: Nech H_0 je silný komponent zodpovedajúci ústiu v kondenzácii (ak G je silne súvislý, tak $H_0 = G$). Nech $v_0 \in V(H_0)$ a nech $S_0 = \{u \in V(H_0) \mid v H_0$ existuje $v_0 - u$ sled parnej dĺžky}. Dokážte, že S_0 je jadrom v H_0 . Ak $H_0 = G$, tak S_0 je jadrom v G . Inak nech $G_1 := G - S_0 - V_G(S_0)$. V G_1 nájdeme silný komponent H_1 zodpovedajúci ústiu a v ňom (ako hore) jadro S_1 . Potom nech $G_2 := G_1 - S_1 - V_G(S_1)$ atď. Po vycerpaní všetkých vrcholov v G , nech $S = S_0 \cup S_1 \cup S_2 \cup \dots$. Ukážte, že S je jadrom digrafu G . [Berge (1970)].]
(b) Dokážte, že nájsť jadro digrafu (vo všeobecnosti) je NP-tažký problém [V. Chvátal (pozri [Garey, Johnson (1979)])]. [Návod: Pre problém splnitelnosti zostrojte digraf G s vrcholmi $x_1, \bar{x}_1, \dots, x_p, \bar{x}_p, C_1, \dots, C_q$ a šípmi $x_i\bar{x}_i$, C_iC_j a podobne $C_j\bar{x}_i$. Potom pre všetky $i: C_jx_k$, ak klauzula C_j obsahuje symbol x_k a podobne $C_j\bar{x}_i$. Dokážte, že forma je ešte prídame vrcholy C'_i, C''_i a šípy $C'_iC'_j, C'_iC''_j$ a $C''_iC'_j$. Dokážte, že forma je splnitelná práve vtedy, keď G má jadro.]
19. Nech G je graf s $V(G) = \{v_1, \dots, v_n\}$. Ku každej bijektii $f: V(G) \rightarrow \{1, 2, \dots, n\}$ pripadne číslo $\varepsilon_f(G) := \sum_{i=1}^n |f(v_i) - f(v_j)|$ (suma prebieha cez všetky hrany v_iv_j). Číslo $\varepsilon(G) = \min_f \varepsilon_f(G)$ sa nazýva elevácia grafu G a číslo $\bar{\varepsilon}(G) = \max_f \varepsilon_f(G)$ koelevácia grafu G .

- (a) Dokážte, že elevácia kompletného grafu K_n je $\binom{n+1}{3}$.
- (b) Ak \bar{G} je komplement grafu G s n vrcholmi, tak $\varepsilon(G) + \varepsilon(\bar{G}) = \varepsilon(K_n)$.
Dokážie.

Tieto aj ďalšie pozorovania uvádzajú Niepel a Tomasta (1981) a úloha súvisí s optimálnym rozmiestňovaním objektov na priamke. Avšak Garey, Johnson a Stockmeyer (1976) dokázali, že nájst eleváciu grafu je NP-tažké.

20. Nech G je graf s n vrcholmi. Ku každej bijekcii $f: V(G) \rightarrow \{1, 2, \dots, n\}$ priradme číslo $w_f(G) = \max |f(u) - f(v)|$, kde maximalizujeme cez všetky $uv \in E(G)$: $w_f(G) := 0$ ak $m = 0$. Tzv. pássová šírka grafu G je číslo $w(G) = \min_f w_f(G)$. (Ak vrcholy grafu G usporiadame podľa čísel $f(u)$ a zostrojime príslušnú susedskú maticu A , tak všetky nenulové prvky budú ležať v prvých $w_f(G)$ naddiagonálach a v prvych $w_f(G)$ poddiagonálach matice A : číslo $w(G)$ zodpovedá susedskej matici s minimálnou šírkou pásu; bližšie pozri napr. [Fiedler (1981)].)

- (a) Ukážte, že $m \leq (n-1) + (n-2) + \dots + (n-w(G))$.

- (b) Navrhnite lineárny algoritmus na zistenie toho, či $w(G) \leq 1$.

- (c) Navrhnite najkrajšiu heuristiku pre hľadanie $w(G)$.

V [Garey, Graham et al. (1978)] je lineárny algoritmus na zistenie toho, či $w(G) \leq 2$: tiež je tam ukázané, že nájst $w(G)$ je NP-tažký problém dokonca pre stromy s maximálnym stupňom 3: literatúra citovaná v tomto článku obsahuje viaceré algoritmy a heuristiky.

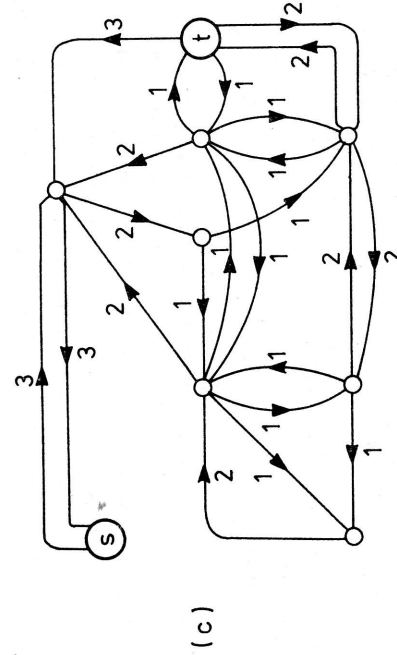
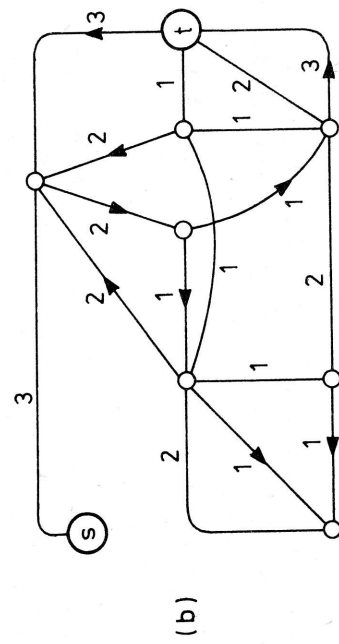
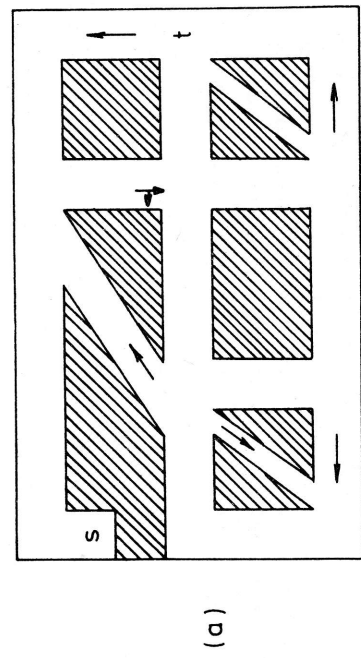
Mnoho reálnych optimalizačných úloh možno previesť na úlohu nájst optimálny sled (obyčajne najkraťšiu cestu). Tieto úlohy treba upresniť, a takto vznikajú viaceré problémy podľa toho, či je to úloha v grafe alebo digrafe, či sú hrany ohodnotené, či treba nájsť sled z jedného vrcholu do druhého alebo medzi každými dvoma vrcholmi, alebo či stačí jeden sled a pod.
Uvedieme viaceré polynomiale algoritmy pre rôzne úlohy. Najčastejšie však uvažujeme najkraťšie cesty. Pravda, za istých predpokladov na štruktúru, resp. ohodnotenie. Takmer všetky algoritmy sú na digrafoch, keďže tieto problémy z grafov možno často previesť na digrafy.

4.A Príklady na problém optimálnej cesty

Uvedieme niekoľko úloh, ktoré možno previesť na problém optimálnej cesty. S ďalšími úlohami, kde sa tento problém vyskytuje (ako podľaha), oboznámieme sa neskôr.

NAJKRATŠIA TRASA V CESTNEJ SIETI

Uvažujme cestnú sieť nejakého mesta. Úlohou je nájst najkratšiu trasu z daného bodu s do daného bodu t . Pritom každý úsek ij ulice (medzi dvoma križovatkami) má kladnú dĺžku c_{ij} ; niektoré úseky sú obojsmerne, niektoré jednosmerne a na niektorých križovatkách sú zakázané niektoré smery jazdy (pozri príklad na obr. 1(a)). Toto možno zobraziť pseudomigratom (obr. 1(b)) a tento prípadne ešte redukovať na digraf (obr. 1(c)). Úlohou potom je nájst najkratší $s-t$ sled v tomto digrafe. (Čitateľ by si mal uvedomiť, že pri hľadaní najkraťšieho sledu možno každé rebro nahradí dvojicou protisípov tej istej dĺžky a že namiesto množiny násobných šípov stačí uvažovať najkraší z nich a ostatné vynechať). Čitateľ by si mal premyslieť alternatívne riešenie križovatiek s prikázanými smermi. Po transformácii úlohy do digrafu hľadáme najkraťšiu $s-t$ sled, t. j. taký $s-t$ sled, ktorého súčet dĺžok hrán je minimálny. Z predpokladu kladných dĺžok hrán vyplyva, že taký $s-t$ sled bude cestou.



Obr. 1. Úloha: (a) v cestnej sieti, (b) v migrafe, (c) v digrafe.

NAJSPOĽAHLIVEJŠÍ SLED

V danej komunikačnej sieti, kde každá linka e má danú spoľahlivosť p_e (pravdepodobnosť správnej činnosti), treba nájsť najspôsobnejšiu $s-t$ sled. Spôsobnosť sledu je rovná súčinu spoľahlivostí jednotlivých liniek.

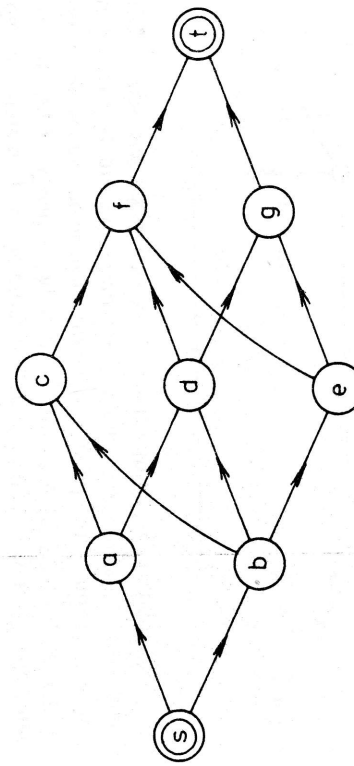
Ak v príslušnom digrafe (alebo grafe) položíme dĺžku každej hrany e rovnú $-\log p_e \geq 0$, dosiahvame preblém najkratšej $s-t$ cesty.

NAJŠIRŠÍ SLED

Ak má každá linka komunikačnej siete predpísanú šírku, tak sa môžeme pýtať na najširší $s-t$ sled. Pritom pod šírkou sledu rozumie šírku najužšej linky v ňom. Takejto úlohy vznikajú napr. pri preprave nadmerných nákladov v cestnej sieti.

ANALÝZA PROJEKTU

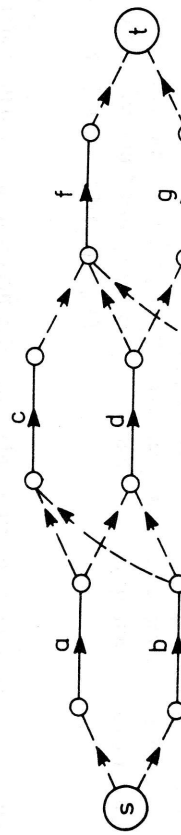
Veľký projekt pozostáva obvykle z množstva drobných činností (úloh). Každá činnosť si vyžaduje istý čas (trvanie činnosti). Naviac, niektorá činnosť môže začať až vtedy, keď sa nejaké iné už skončili (napr. pri stavbe budovy stavíame mury až po vykopaní základov, vybudovaní kanalizácie a pod.). Teda sú tu „technologicke väzby“, ktoré častočne usporiadávajú činnosti. Toto častočné usporiadanie možno zobraziť digrafom: každej činnosti zodpovedá jeden vrchol a šíp udávajú technologicke väzby (šíp uv znamená, že činnosť u sa má vykonať prv ako činnosť v): okrem toho pridáme dve fiktívne činnosti — vrcholy s a t , kde s zodpovedá začiatku projektu (začiatok) a t ukončeniu projektu (koniec). Každá činnosť nasleduje až po s a predchádza t . Získaný digraf musí byť acyklický (inak projekt



Obr. 2. Digraf projektu, kde činnosti sú reprezentované vrcholmi.

nemožno realizovať) a každý jeho vrchol leží na nejakej $s-t$ ceste. Avšak takýto digraf môže mať zbytočne mnoho hrán a pre ďalšie účely stačí uvažovať jeho tranzitívnu redukciu. Príklad výsledného digrafa je na obr. 2.

Digrafi tohto druhu sú však mälo používané. Časťasie k projektu priradujeme taký digraf, kde činnosti sú *reprezentované hrancami*. Takýto digraf možno získať z predchádzajúceho jednoduchu tým, že každý vrchol u (okrem s a t) nahradíme šípom $u_1 u_2$. Potom tie šípy, ktoré prichádzali do u , budú prichádzať do u_1 a tie, čo z u odchádzali, budú odchádzať z u_2 . Tako každá činnosť je reprezentovaná šípom. Šípy zabezpečujúce technologické väzby nazývame *fiktívnymi činnosťami* (a zvyčajne ich zakresľujeme čiarkované). Digraf z obr. 2 sa takto zmení na digraf z obr. 3.



Obr. 3. Reprezentácia činností šípmi.

V takomto digrafe môže byť mnogo fiktívnych hrán, a preto ho často zjednodušíme kontrahováním niektorých fiktívnych činností tak, aby sme zachovali pôvodné čiastočne usporiadanie činností. Obr. 4 ukazuje digraf z obr. 3 po takomto zjednodušení.

V ďalšom budeme pod *digraforem projektu* myslieť vždy taký, kde činnostiam zodpovedajú šípy. (Časté sú aj názvy *sietový graf*, *PERT sieť*, *CPM sieť*). Vrcholy zodpovedajú udalostiam (ukončenie nejakých činností). Takýto digraf možno zostaviť aj priamo. Uspokojivý digraf však obyčajne zostavíme až po viacerých vylepšeniacach, keďže nie vždy sú nám dané všetky technologické väzby.



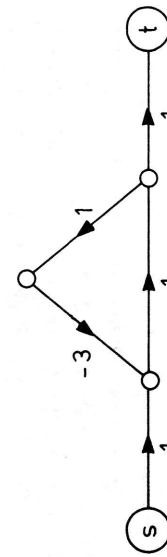
Obr. 4. Digraf projektu po zjednodušení (trvania činností sú vyznačené).

digraf môže mať zbytočne mnoho hrán a pre ďalšie účely stačí uvažovať jeho tranzitívnu redukciu. Príklad výsledného digrafa je na obr. 2.

Digrafi tohto druhu sú však mälo používané. Časťasie k projektu priradujeme taký digraf, kde činnosti sú *reprezentované hrancami*. Takýto digraf možno získať z predchádzajúceho jednoduchu tým, že každý vrchol u (okrem s a t) nahradíme šípom $u_1 u_2$. Potom tie šípy, ktoré prichádzali do u , budú prichádzať do u_1 a tie, čo z u odchádzali, budú odchádzať z u_2 . Tako každá činnosť je reprezentovaná šípom. Šípy zabezpečujúce technologické väzby nazývame *fiktívnymi činnosťami* (a zvyčajne ich zakresľujeme čiarkované). Digraf z obr. 2 sa takto zmení na digraf z obr. 3.

OBŤAŽNOSŤ ÚLOHY O NAJKRATŠEJ CESTE

V prvých dvoch úlohách, ktoré sme uvedli, všetky hrany mali nezáporné dĺžky. Vo štvrtej úlohe to boli tiež len nezáporné dĺžky, ale tam sme hľadali najdlhšiu cestu. Táto úloha je rovnocenná hľadaniu najkratšej cesty po zmene každej dĺžky c_{ij} na $-c_{ij}$. Pre spomínané úlohy poznáme polynomiálne algoritmy (uviedieme ich v ďalších častiach), avšak pre štvrtú úlohu je to len vďaka acyklicnosti digrafu projektu. Takéto algoritmy v skutočnosti hľadajú najkratší sled, ktorý vždy nemusí existovať, ako ukazuje obr. 5. Preto sa v algoritmoch vyskytne predpoklad neexistencie cyklu zápornej dĺžky.

Obr. 5. Najkratší $s-t$ sled neexistuje.

Ako sme už naznačili, úlohu v grafoch prevádzame do digrafov nahradením každého rebra dvojicou protišípov. Tým však z rebra zápornej dĺžky vzniká záporný cyklus, s čím si potom nevieme poradiť. Ak však graf neobsahuje cyklus zápornej dĺžky, možno úlohu riešiť ako istý problém faktoru. Preto tento prípad budeme viedieť riešiť až v kap. 8, hoci je zaradený v časti 4.D.

Veta 1. Problém najkratšej cest je NP-ťažký dokonca pre kubické plánarne grafy, resp. digrafy.

DÔKAZ. Pre takúto triedu grafov (resp. digrafov) je problém nájdenia hamiltonovskej cesty NP-ťažký, dokonca ak je daný jej začiatok s a koniec t . To je

rovnocenné nájdeniu najdlhšej $s-t$ cesty, a teda nájdeniu najkratšej $s-t$ cesty, ak všetky hrany budú mať ohodnotenie -1 . ■

Jedna myšlienka riešenia úlohy, nájsť najkratšiu $s-t$ cestu, by mohla byť takáto: Najprv nájdeme všetky $s-t$ cesty a z nich vyberieme najkratšiu. Prenechávame čitateľovi (4.2.2) ukázať, že všetkých ciest môže byť exponentiálne mnogo (v závislosti od $m+n$), a teda taký postup nemôžno pokladať za dobrý.

4.B Vzdialenosť z jedného vrcholu do ostatných

Základnou ideou pri hľadaní najkratších cest je rekurencia (princíp optimality z dynamického programovania). Preto úloha nájsť najkratšiu $s-t$ cestu v digrafe G pre dané s a t , vyžaduje taký základný postup ako úloha nájsť najkratšiu $s-v$ cestu pre každé $v \in V_G$.

MOOROV ALGORITMUS

Tento algoritmus hľadá vzdialenosť (a potom aj príslušné najkratšie cesty) z daného vrcholu s do ostatných vrcholov v neohodnotenom digrafe ($t. j.$, ak každá hrana má dĺžku 1). Algoritmus navrhhol Moore (1957) a využíva sa tu postup do šírky. Vrcholom postupne priradujeme znaky. Vo všeobecnosti, vrchol j dostane znaku (p_j, d_j) , ak sme našli $s-j$ cestu dĺžky d_j , ktoréj posledná hrana je p_j . V skutočnosti bude $d_j = d(s, j)$ a algoritmus takto urobí *distančný rozklad* vrcholovej množiny z vrcholu s : $V_G = V_0 \cup V_1 \cup \dots$, kde $V_k = \{i \in V \mid d(s, i) = k\}$.

Algoritmus

KROK 0: Vrchol s dostáva znaku $(0, 0)$, ostatné vrcholy sú označované, $k := 0$, $V_0 := \{s\}$.

KROK 1: Pre každé $i \in V_k$ urobíme:

$\begin{cases} V_{k+1} := \emptyset. Každého neoznačovaného nasledovníka j vrcholu i označ- \\ [kujeme: (p_j, d_j) := (i, k+1), V_{k+1} := V_{k+1} ∪ {j}.] \end{cases}$

KROK 2: Ak $V_{k+1} = \emptyset$, STOP. Inak $k := k+1$ a ideme na krok 1. ●

Veta 1. Po skončení Moorovho algoritmu platí: Ak vrchol j je označovaný, tak $d_j = d(s, j)$ a ak je neoznačovaný, tak neexistuje žiadna $s-j$ cesta.

DOKAZ. Z algoritmu viďime, že každý vrchol dostáva znaku nanajvýš raz. Ak vrchol j má znaku $(i, k+1)$, tak existuje $s-j$ cesta dĺžky $k+1$. Skutočne, takú platí $d = d(s, i)$. Dokážeme, že ak d je najmenšia dočasná znaka, tak $d =$

cestu získame zreťazením $s-i$ cesty dĺžky k (ktorá existuje podľa indukčného predpokladu) a špa i . (Pre $k=0$ je tvrdenie zrejmé.)

Nech $d(s, j) = b$. Indukciou podľa b ukážeme, že potom j má znaku, a pritom $d = b$. Nech Q je $s-j$ cesta dĺžky b a nech i je jej predošlý vrchol. Potom $d(s, i) = b-1$ a podľa indukčného predpokladu i je označovaný, pričom $d_i = b-1$. Algoritmus však pri $k = b-1$ pribírá vrchol j značku, pričom $d_j = k+1 = b$ (lebo podľa prvej časti dôkazu vrchol j zostáva pri $k < b-1$ neoznačovaný). ■

Hned vidieť, že ak nás zaujíma len vzdialenosť $d(s, t)$ pre jeden vrchol t , tak algoritmus možno zastaviť ihneď po označovaní vrcholu t .

Uvedený algoritmus ešte nedáva požadovanú $s-t$ cestu, avšak najkratšiu $s-t$ cestu možno určiť zo znáziek veľmi ľahko. Nech $t = i_q$ a má znaku (i_{q-1}, d_{i_q}) a nech i_{q-1} má znaku $(i_{q-2}, d_{i_{q-1}}, \dots)$, až nech i_1 má znaku (i_0, d_{i_1}) , kde $i_0 = s$. Potom cesta $i_0 i_1 \dots i_q$ je najkratšia $s-t$ cesta.

Zložitosť algoritmu. Predpokladajme, že G je zadaný pomocou nasledovníkov vrcholov. Potom algoritmus pre rozklad prezerá každú hranu nanajvýš raz, a teda nevyžaduje viac ako $O(m)$ operácií. Nájdenie $s-t$ cesty nevyžaduje viac ako $O(n)$ operácií, a teda celkovo Moorov algoritmus vystačí na nájdenie najkratšej $s-t$ cesty s $O(m+n)$ operáciami. Na nájdenie najkratších $s-v$ ciest pre všetky $v \in V_G$ potom stačí $O(mn + n^2)$ operácií. „Rozumný“ digraf má $m \geq n$, a preto máme algoritmus zložitosťi $O(m)$ pre jednu cestu a zložitosťi $O(mn)$ v druhom prípade.

DIJKSTROV ALGORITMUS

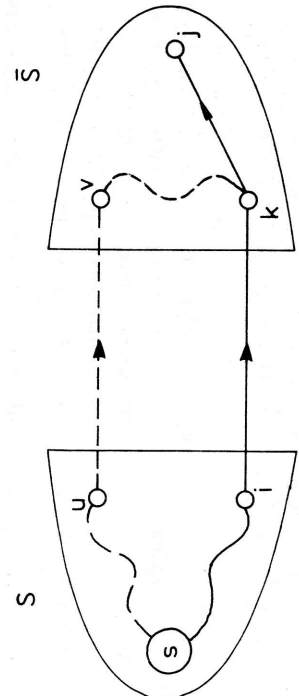
V nasledujúcom algoritme, ktorého autorom je Dijkstra (1959), predpokladáme, že dĺžka každej hranы $i-j$ je $c_{ij} \geq 0$. Tu podobne ako v Moorovom algoritme vrchol j dosťava znaku (p_j, d_j) , ak sme našli $s-j$ cestu dĺžky d_j , ktoréj predposledný vrchol je p_j . Tam boli znaky trvalé, avšak tu sa môžu meniť (ak nájdeme kratšiu $s-j$ cestu). Teda znaky budú dočasné a postupne ich budeme zlepšovať až sa zmienia na trvalé znaky, t. j. potom už $d_j = d(s, j)$.

Na začiatku dostane vrchol s trvalú znaku $(0, 0)$ a každý iný vrchol j dočasné znaku (s, c_{sj}) , kde $c_{sj} = \infty$ pre $s \notin E_G$. Nech v algoritme S označuje množinu všetkých vrcholov, ktoré majú už permanentnú znaku a $\bar{S} = V_G - S$. Na začiatku je $S = \{s\}$. Všeobecný krok algoritmu vyzera takto (pozri obr. 1): V množine \bar{S} nájdeme taký vrchol k , že $d_k = \min \{d_j \mid j \in \bar{S}\}$ a presuňeme ho do S . Potom zostavajúce dočasné znaky pozmeníme: pre každé $j \in \bar{S}$ a presuňeme ho do S . Ponecháme, ak $d_j \leq d_k + c_{kj}$ a zmeníme na znaku $(k, d_k + c_{kj})$ v opačnom prípade. Správnosť tejto idey overíme indukciou. Predpokladajme, že pre každé $i \in S$ platí $d = d(s, i)$. Dokážeme, že ak d je najmenšia dočasná znaka, tak $d =$

$d(s, k)$. Nech existuje $s-k$ cesta P dĺžky $c(P) < d_k$ a nech v je jej prvý vrchol ležiaci v \bar{S} (pozri obr. 1) a u jeho predchodca v P . Potom z algoritmu máme:

$$d_v \leq d_u + c_{uv} \leq d(s, u) + c_{uv} \leq c(P) < d_k,$$

Úplne rovnako ako v predošom algoritme možno z trvalých znáziek v čase $O(n)$ zistíť najkratšiu $s-t$ cestu, ak $d_t < \infty$. (Ak $d_t = \infty$, tak žiadna $s-t$ cesta neexistuje.) Preto zhnieieme iba algoritmus pre vzdialenosť.



Obr. 1. K Dijkstrovmu algoritmu ($s-k$ cesta P je čiarkovaná).

Algoritmus

KROK 0: $S := \{s\}$, $\bar{S} := V_G - S$, $(p_j, d_j) := (0, 0)$ a $(p_i, d_i) := (s, c_{ij})$ pre $j \in \bar{S}$, kde $c_{ij} = \infty$ pre $s \neq j \in E_G$.

KROK 1: Nájdeme vrchol $k \in \bar{S}$ taký, že $d_k = \min \{d_j | j \in \bar{S}\}$. Ak $d_k = \infty$, STOP (žiadna $s-\bar{S}$ cesta neexistuje). $S := S \cup \{k\}$, $\bar{S} := \bar{S} - \{k\}$. Ak $\bar{S} = \emptyset$, STOP (dĺžka najkratšej $s-t$ cesty je d_t). Inak ideme na krok 2.

KROK 2: Pre každé $j \in \bar{S} \cap V^*(k)$ urobíme:

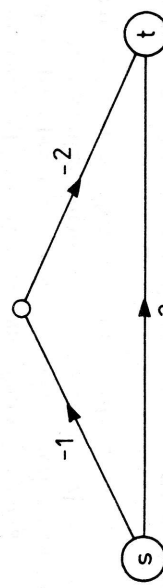
$$\begin{cases} \text{Ak } d_j > d_k + c_{kj}, \text{ tak } (p_j, d_j) := (k, d_k + c_{kj}) \text{ a inak} \\ \text{značku nemenime.} \end{cases}$$

Ideme na krok 1. ●

Poznamajme, že ak nás zajíma iba vzdialenosť $d(s, t)$, tak výpočet možno ukončiť hneď potom, keď sa t dostane do S . Preto je vhodné, keď pri minimizácii v kroku 1 vrchol t kandiduje na k ako prvý.

Zložitosť algoritmu. Krok 0 je zanedbateľný. Krok 1 vyžaduje $O(n)$ operácií a robí sa $n-1$ raz, teda celkové $O(n^2)$ operácií. Podobne je to v kroku 2, a teda celkové má algoritmus zložitosť $O(n^2)$.

Poznámky o zložitosti. Hoci možno jemnejšie implementovať a odhadnúť



Obr. 2. Dijkstrov algoritmus tu zlyhalo.

Existujú pokusy rozšíriť Dijkstrov algoritmus pre digrafy bez cyklov zápornej dĺžky, ale pripúšťajúce záporné dĺžky hrán. Jeden taký návrh je v [Edmonds a Karp (1972)]. Avšak D. B. Johnson (1973) uvádzá príklad, kde tento algoritmus vyžaduje exponenciálne mnoho operácií.

FORDOV ALGORITMUS

Tento algoritmus nájde všetky vzdialenosť $d(s, v)$, pre $v \in V_G$, za predpokladu, že digraf G neobsahuje cyklus zápornej dĺžky, avšak záporné dĺžky hrán sa pripúšťajú. Každému vrcholu $j \in V_G$ priradíme trojicu (a_j, p_j, d_j) , kde a_j udáva počet hrán nejakej $s-j$ cesty Q , ktorá je z preskúmaných $s-j$ cest najkratšia a spomedzi takýchto najkratších má najmenší počet hrán. Tak isto ako prv, $d_j = c(Q)$ a p_j je predposledný vrchol cesty Q .

V nasledujúcom algoritme, za autora ktorého sa pokladá Ford (1956) a tiež Bellman (1958), sa najprv prezerajú $s-j$ cesty obsahujúce 1 hranu, potom 2 hrany atd. (premenam k vyjadruje tento počet). Predpokladá sa, že digraf G s dĺžkami hrán c_{ij} je zadaný zo známi nasledovníkom $V^*(i)$, $i \in V_G$.

Algoritmus

KROK 0: Vrcholu s priradíme trojicu $(0, 0, 0)$ a každému vrcholu $j \neq s$ trojicu $(0, 0, \infty)$: $k := 0$

KROK 1: (k-tá iterácia): Ak $k = n - 1$, alebo ak $a_i \neq k$, pre každé $i \in V_G$, STOP.

Inak, pre každé $i \in V_G$ také, že $a_i = k$, urobíme:

Pre každé $j \in V^*(i)$ urobíme:

Ak $d_j > d_i + c_{ij}$, tak urobíme:

$$\begin{cases} d_j := d_i + c_{ij}, \\ p_j := i, \\ a_j := a_i + 1, \\ k := k + 1 \end{cases}$$

a ideme na krok 1. ●

Správnosť algoritmu vyplýva z významu značiek (a_j, p_j, d_j) , $j \in V_G$. Tvrďme, že po skončení k-tej iterácie je d_j rovná dĺžke najkratšej $s-j$ cest, ktoré majú nanajvyššiu $k+1$ hrán. To hned vidieť indukciou podľa k . Pre $k=0$ je to zrejmé a nech to platí pre $k-1$. V k -tej iterácii algoritmu sa každá dĺžka d_j najkratšej $s-j$ cesty s počtom hrán $a_j \leq k$ porovnáva s dĺžkou každej $s-j$ cesty s počtom hrán $k+1$ a ak je dlhšia, tak sa ňou nahradí.

Zložitosť algoritmu. Algoritmus urobí nanajvyššiu $n-1$ iterácií (pre $k=n-1$ sa už zastaví). Na každú iteráciu stačí $O(m)$ operácií. Teda celkové má Fordov algoritmus zložitosť $O(mn) \leq O(n^3)$.

ACYKLICKÉ DIGRAFY

Acyklický digraf nemá cykly vôbec, a preto tu možno úlohu riešiť najjednoduchšie pri lúbovoľných ohodnoteniaciach hrán. Budeme zisťovať vzdialenosť $d(s, i)$, kde s je prameň digrafu G . Nasledujúci algoritmus má menšiu zložitosť ako Fordov a jeho princíp je všeobecne známy. Predkladaná implementácia vychádza z práce [Noltemeier (1976)]. Každému vrcholu j priradíme trojici (r_j, p_j, d_j) , kde r_j bude označovať počet nepreskúmaných šípov prichádzajúcich do j ; p_j a d_j majú význam ako prv (d_j je dĺžka najkratšej $s-j$ cesty a p_j jej predposledný vrchol). Predpokladáme, že digraf G je zadany zoznamami nasledovníkov vrcholov. Okrem toho používame jeden pomocný zoznám Z v tvare zásobníka.

Algoritmus

KROK 0: Vrcholu s priradíme trojici $(0, 0, 0)$ a každému vrcholu $j \neq s$ trojici $(\deg(j), 0, \infty)$. Do zásobníka Z dáme všetky pramene digrafu G a vrchol s ako posledný element.

KROK 1: Pre posledný element $i \in Z$ urobíme:

Odoberieme i zo Z .

Pre každé $j \in V^*(i)$ urobíme:

Ak $d_j > d_i + c_{ij}$, tak urobíme:

$$\begin{cases} d_j := d_i + c_{ij}, \\ p_j := i. \end{cases}$$

Ak $r_j = 0$ tak do Z pridáme j (ako posledný element).

KROK 2: Ak $Z = \emptyset$, STOP. Inak ideme na krok 1. ●

K dôkazu správnosti algoritmu stačí nahládnuť, že po jeho skončení (ktoré je zaručené tým, že každý vrchol sa dostane do zásobníka práve raz) už bude $d_j = d(s, j)$ pre každé j . To je však pravda, lebo ak Q je $s-j$ cesta dĺžky $d(s, j)$ a i je jej predposledný vrchol, tak z toho, že $d_i = d(s, i)$ (indukčný predpoklad), vyplýnie požadovaná rovnosť. Ponížame indukciu podľa poradia, v ktorom sme vrcholy vyberali zo Z .

Zložitosť algoritmu. Na zistenie prameňov, resp. prichádzajúcich stupňov v kroku 0 stačí $O(m+n)$ operácií. Každý krok 1 sa realizuje pre každý vrchol práve raz, v nombre $O(|E^+(i)|)$ operácií. Keďže krok 1 sa realizuje tak celkové vystačíme s $O(m)$ operáciami. Preto celý algoritmus má zložitosť $O(m+n)$.

Poznamajme, že pre zistenie najdlhších $s-j$ ciest stačí zmeniť znamienka všetkých dĺžok hrán (vynásobiť číslom -1). Pretože najdlhšie dráhy sa hladajú napr. pri analýze činností v digrafoch projektov, je vhodné prerobiť algoritmus. Na to stačí všetky d_j a c_{ij} v nombre vynásobiť číslom -1 . (Potom už algoritmus bude hľadať najdlhšie cesty na základe pôvodných údajov c_{ij} .)

Algoritmus pre najdlhšiu cestu možno použiť aj na *monotonne očislovanie*, t.j. na usporiadanie vrcholov acylického digrafu do postupnosti v_1, v_2, \dots, v_n tak, že pre každú hranu $v_i v_j$ platí: $i < j$ (pozri vetu 1.E.2 a algoritmus v 3.E.). Zrejme postupnosť, v ktorej vrcholy opúšťajú zásobník Z , už má takú vlastnosť.

4.C

Vzdialenosť z každého vrcholu do každého

V tejto časti skúmame problém nájdienia najkratšej $i-j$ cesty pre každú dvojicu vrcholov i, j digrafu G . Táto úloha obsahuje predchádzajúcu, a preto predpoklad o neexistencii cyklov zápornej dĺžky je tu dôležitý. Uvažujeme dva postupy. V prvom sa problém redukuje na úlohu z predchádzajúcej časti a v druhom je špeciálna metóda pre tento problém.

TRANSFORMÁCIA DÍŽOK HRÁN

Úlohu vyriešime, ak vyriešime n „jednokoreňových“ úloh z predchádzajúcej časti tak, že zvolíme za s postupne všetky vrcholy. Použitím Fordovho algoritmu by sme takto mali $O(n^4)$ algoritmus. Ak však G má všetky hrany nezáporných dĺžok, tak môžeme použiť Dijkstrovo algoritmus a celková zložitosť bude $O(n^3)$. Ukážeme, že transformáciou dĺžok hrán možno vždy zaručiť takúto zložitosť.

Algoritmus

KROK 0: Zvolíme nejaký vrchol $s \in V_G$ a zistíme množinu vrcholov D_s , dosiahnutelných z s (pozri 3.E). Ak $D_s = V_G$, položíme $H := G$ a ideame na krok 1. Inak zvolíme číslo $b > (n-1)c_{\max}$, kde $c_{\max} := \max \{c_{ij} \mid ij \in E_G\}$, a pre každé $j \in V_G - D_s$ pridáme ku G hranu sj dĺžky b , čím ziskame digraf H .

KROK 1: Pre každé $j \in V_H$ zistíme Fordovým algoritmom vzdialenosť $d_j := d_H(s, j)$.

KROK 2: Pre každú hranu $ij \in E_H$ vypočítame $\hat{c}_{ij} := d_i + c_{ij} - d_j$ (čo je podľa Fordovho algoritmu vždy nezáporné).

KROK 3: Použitím Dijkstrovoho algoritmu pri dĺžkach \hat{c}_{ij} v H urobíme:

[Pre každé $i \in V_H$ zistíme:
[$d_H(i, j)$ a príslušné najkratšie cesty Q_{ij} pre všetky $j \in V_H$.]

KROK 4: Pre každé $ij \in E_H$ urobíme:
[$c(Q_{ij}) := \hat{c}(Q_{ij}) - d_i + d_j$. Ak $c(Q_{ij}) < b$, tak kladieme $d_{ij} := c(Q_{ij})$,
inak $d_{ij} := \infty$.]

STOP (d_{ij} sú hľadané vzdialenosť v G a Q_{ij} sú príslušné cesty). ●

Správnosť algoritmu je zrejmá a hned aj vidieť, že má zložitosť $O(n^3)$. Myšlienka transformácie sa nachádza v prácii [Edmonds a Karp (1972)] a na jej základe D. B. Johnson využíva svoj výsledok (spomínaný v predchádzajúcej časti) a dáva algoritmus zložitosťi $O(\min \{n^{2+1/k} + nm, n^2 \log n + nm \log \log n\})$, kde k je pevné prirodzené číslo.

FLOYDOV ALGORITMUS

Nasledujúci algoritmus navrhol Floyd (1962) na základe práce [Warshall (1962)], s ktorou sme sa už stretli pri hľadaní tranzitívneho uzáveru.
Predpokladá sa, že je daná matica $D^{(0)}$ typu (n, n) , „priamych“ vzdialenosť $d_{ij}^{(0)}$,

t.j.

$$d_{ij}^{(0)} = \begin{cases} 0, & \text{ak } i=j, \\ c_{ij}, & \text{ak } ij \in E_G, \\ \infty, & \text{inak.} \end{cases}$$

Algoritmus konštruuje z $D^{(0)}$ postupnosť matíc $D^{(1)}, D^{(2)}, \dots, D^{(n)}$, kde pre každé $k \in \{1, \dots, n\}$ prvok $d_{ij}^{(k)}$ matice $D^{(k)}$ je rovný dĺžke najkratšeho $i \rightarrow j$ sledu, ktorého každý vnitorný (t.j. nekrajný) vrchol patrí do množiny $\{1, 2, \dots, k\}$. Je zrejmé, že každý taký sled alebo neobsahuje vrchol k , alebo je zretezaním najkratšeho $i \rightarrow k$ sledu a najkratšeho $k \rightarrow j$ sledu, pričom oba majú vnitorné vrcholy v množine $\{1, 2, \dots, k-1\}$. Preto môžeme písat:

$$(F) \quad d_{ij}^{(k)} = \min \{d_{ij}^{(k-1)}, d_{ik}^{(k-1)} + d_{kj}^{(k-1)}\}.$$

Špeciálne máme $d_{kk}^{(k)} = d_{kk}^{(k-1)}$ a $d_{kk}^{(0)} = d_{kk}^{(k-1)}$, lebo $d_{kk}^{(k-1)} = 0$ (neexistujú cykly zápornej dĺžky).

To znamená, že matice $D^{(k-1)}$ môžeme transformovať na $D^{(k)}$ postupne po riadkoch, pritom k -ý riadok sa nezmení.

Samotné cesty môžu potom učiť z výslednej matice $D^{(n)}$ rekurentne zo vzťahu: $d_{ij}^{(n)} = d_{ij}^{(n-1)} + d_{ij}^{(0)}$. Ak nás však zaujíma viac najkratších ciest, tak je dobré parallelnie s $D^{(n)}$ budovať maticu $P^{(n)}$, ktoréj element $p_{ij}^{(n)}$ označuje predposledný vrchol nejakého $i \rightarrow j$ sledu dĺžky $d_{ij}^{(n)}$ a určíme ho takto: Ak sa vo vzťahu (F) realizuje minimum na $d_{ij}^{(k-1)}$, tak $p_{ij}^{(k)} = P_{ij}^{(k-1)}$; inak $p_{ij}^{(k)} = P_{kj}^{(k-1)}$. ●

Tým je Floydov algoritmus opísaný aj zdôvodnený. Na zastrojenie každej matice vystačíme s $O(n^3)$ operáciami, a teda celkové má algoritmus zložitosť $O(n^3)$.

ZISTOVANIE ZÁPORNÝCH CYKLOV

Doteraz sme neuvedli, ako zistíť, či digraf má **záporný cyklus** (t.j. cyklus zápornej dĺžky). Ajšak Floydov algoritmus umožňuje riešiť aj takúto úlohu. Definujme maticu $D^{(0)}$ takto: $d_{ij}^{(0)} := c_{ij}$ ak $ij \in E_G$ a $d_{ij}^{(0)} := \infty$ inak. Ak podľa vzťahu (F) vypočítame postupne matice $D^{(1)}, D^{(2)}, \dots, D^{(n)}$, tak zrejme prvok $d_{ij}^{(n)}$ je rovný dĺžke najkratšeho netrviaľného $i \rightarrow j$ sledu, ktorého každý vnitorný vrchol patrí do množiny $\{1, 2, \dots, k\}$. Preto platí:

Veta 1. (a) Digraf obsahuje záporný cyklus $\Leftrightarrow d_{ii}^{(n)} < 0$ pre nejaké $i, k \in \{1, 2, \dots, n\}$.
(b) Ak digraf neobsahuje záporný cyklus, tak $d_{ii}^{(n)} = d(i, j)$ pre $i \neq j$ a $d_{ii}^{(n)} = \infty$ je dĺžka najkratšieho $i \rightarrow i$ cyklu (pre všetky $i, j \in \{1, 2, \dots, n\}$).

Takto modifikovaný Floydov algoritmus má stále zložitosť $O(n^3)$. Poznamenaj-

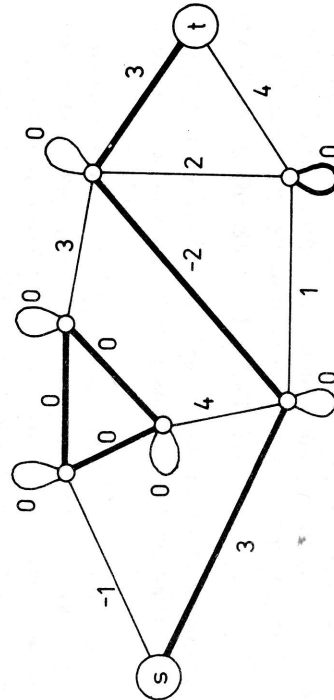
me, že záporný cyklus možno odhalit aj v čase $O(\min\{n^{2+1/k} + nm, n^2 \log n + nm \log n\})$, keď k je pevné prirodzené číslo [D. B. Johnson (1977)].

4. D Najkratší sled s ohrazeniami

Niekedy je potrebné nájsť najkratší zo sledov spĺňajúcich isté ohraničenia. Napr. sledy majú prechádzať, resp. neprechádzať predpisanými prvkami, alebo hrany majú ešte ďalšie ohodnotenie a vzhľadom na toto má sled byť tiež minimálny a pod.

NAJKRATŠIA $s-t$ CESTA V GRAFE

Ak je daný graf G s dĺžkami hrán $c_{ij} \geq 0$ a dva vrcholy $s, t \in V_G$, potom ľahko vieme nájsť najkratšiu $s-t$ cestu: Každé rebro ij nahradíme dvojicou protišpojov ij a ji s dĺžkami c_{ij} a riešime problem v di grafe. Ak však G má aj záporné dĺžky, táto transformácia nie je vhodná (vzniknú záporné 2-cykly).



Obr. 1. Transformácia problému najkratšej $s-t$ cesty na problem faktora.

Úloha najkratšej $s-t$ cesty v grafe pri záporných dĺžkach niektorých hrán má svoje opodstatnenie. Napr. pri výbere najlepšej trasy v cestnej sieti zodpovedajúcej grafu môžeme každému úseku ij pripisať číslo c_{ij} zodpovedajúce stratám (námahe a pod.) potrebným na prekonanie úseku ij , pritom niektoré c_{ij} môžu byť aj záporné (zaujímavé úseky prírodných krás spôsobujú osvieženie, ak nimi prechádzame prvý raz). Ak z takého dôvodu tiež nechceme tým istým mestom prechádzať viac raz, tak máme problem najkratšej $s-t$ cesty. Pravda, takýto

problem nevieme vždy riešiť, ale ak graf nemá cykly zápornej dĺžky, možno postupovať takto [Lawler (1976)]:

Ku každému vrcholu $i \neq s, t$ pridáme slúčku dĺžky $c_{ii} = 0$ a vo vzniknutom pseudografe \hat{G} hľadáme najlacnejší faktor F so stupňami: $\deg_F(s) = \deg_F(t) = 1$ a $\deg_F(i) = 2$, pre každé $i \neq s, t$ (dĺžky hrán považujeme za ceny). Ak z F vychádzame všetky cykly (všetky sú nulovej dĺžky), tak získame hľadanú $s-t$ cestu. ● Obr. 1 ilustruje uvedenú transformáciu.

Vzniknutý problem faktora tu však nebude riešiť. Polynomiálny algoritmus pre tento problem uvedieme v časti 8.D.

NAJKRATŠÍ SLED S MINIMÁLNYM POČTOM SPECIÁLNYCH HRÁN

Klee a Larman (1979) rozširujú Floydov algoritmus pre najkratší sled v digrafoch bez záporných cyklov pri rôznych ohrazeniach. Tu uvedieme len jednu z úloh, ktoré riešili.

V di grafe G bez cyklov zápornej dĺžky je daná množina M špeciálnych hrán a číslo r . Pre každé $q \leq r$ a každé dva vrcholy $i, j \in V_G$ treba nájsť najkratší $i-j$ sled obsahujúci nanajvýš q špeciálnych hrán.

Nech pre $k = 0, 1, \dots, n$ je $D^{(k)}(q)$ matice typu (n, n) , pričom jej prvok $d_{ij}^{(k)}(q)$ znamená dĺžku takého najkratšieho $i-j$ sledu, ktorého každý vnútorný vrchol leží v množine $\{1, 2, \dots, k\}$ a ktorý obsahuje nanajvýš q špeciálnych hrán. Zrejmé platí:

$$(KL) \quad d_{ij}^{(k)}(q) = \min\{d_{ij}^{(k-1)}(q), d_{ik}^{(k-1)}(q_1) + d_{kj}^{(k-1)}(q_2)\},$$

kde minimalizácia prebieha cez všetky usporiadane rozklady čísla q na dve čísla $q_1, q_2 \geq 0$. (Napr. pre $q = 2$ sú tri možnosti: $0+2, 1+1$ a $2+0$). Vo všeobecnosti je práve $q+1$ takých rozkladov a toľko treba robiť výpočtom pre (KL) . Keďže q prebieha hodnoty $0, 1, \dots, r$, tak ide o $O(r^2)$ operácií pre pevné i, j , $k \in \{1, 2, \dots, n\}$. Teda na celý algoritmus vystačíme s $O(n^3 r^2)$ operáciami. ●

NAJKRATŠÍ SLED PRI ČASOVOM OHRAZENÍ

Tu sa predpokladá, že je daný digraf G , kde každá hrana ij má dve ohodnotenia, dĺžku c_{ij} a prechodový čas t_{ij} . Úloha je takáto:

Pre daný vrchol $s \in V_G$ a číslo T treba pre každé $j \in V_G$ nájsť najkratší $s-j$ sled s celkovým prechodovým časom nepresahujúcim T . Túto úlohu študoval Lawler (1967, 1976) a za predpokladu, že každé t_{ij} je celé kladné číslo, dáva nasledujúci algoritmus (pre lubovoľné reálne čísla c_{ij}):

Nech $d_j(t)$ je dĺžka najkratšieho $s-j$ sledu s prechodovým časom nanajvýš t . Potom zrejme môžeme písat rekurentné vzťahy:

$$(L) \quad \begin{cases} d_j(t) = \infty, & \text{ak } t < 0, \\ d_s(0) = 0, \\ d_j(t) = \min \{d_j(t-1), \min_k \{d_k(t-t_{kj}) + c_{kj}\}\}. \end{cases}$$

Tieto vzťahy umožňujú postupne pre $t = 0, 1, \dots, T$ vypočítať všetky $d_j(t)$. Pre každé t vystačíme s $O(n^2)$ operáciami, a teda máme $O(n^2T)$ algoritmus na riešenie celej úlohy. (Poznamenajme, že ak $T = n - 1$ a každé $t_{ij} = 1$, tak máme klasickú situáciu najkratšieho sledu a algoritmus bude v podstate Fordov algoritmus.)

Nájdeme príslušný sledov výzaduje len malú úpravu, ktorú už poznáme. ● Ak chceme riešiť úlohu pre všetky možné dvojice vrcholov, tak stačí vyriešiť n jednokoreňových úloh, a máme teda $O(n^3T)$ algoritmus. Ak sú však všetky $t_{ij} \leq t_0$, kde $t_0 \ll T/\log T$, tak metóda predložená v [Lawler (1976)] dáva $O(n^3t_0^2 \log T)$ algoritmus. Lawler tiež uvádzá nasledujúci zaujímavý príklad na uvedenú úlohu.

Treba nájsť najkratšiu trasu z u do v v cestnej sieti pre automobil, ak v sieti je len q čerpacích benzínových staníc (u a v sú medzi nimi). S plinou nádržou automobil prejde len T kilometrov, a preto jeho trasa musí prechádzať stanicami tak, aby medzi dvoma po sebe idúcimi stanicami nebola väčšia vzdialenosť ako T .

Riešenie možno nájsť v dvoch etapách. Najprv uvedeným spôsobom vypočítame všetky hodnoty $d_{ij}(T)$ (t. j. $s = i$). Neskôr potom H je kompletný digraf na q vrcholoch, kde každá hraha ij má dĺžku $d_{ij}(T)$. Potom dĺžka najkratšieho $u-v$ sledu v H (bez ohrianičenia) je zrejme rovná rovná dĺžke hľadanej trasy v pôvodnej cestnej sieti.

Poznámka o zložitosti. Čitateľ si iste všímol, že čas $O(n^2T)$ nie je polynomálny (lebo T možno vyjadriť pomocou $O(\log T)$ bitov), ale len „pseudopolynomálny“. Avšak polynomálny algoritmus sorať možno očakávať, keďže Megiddo (pozri [Garey a Johnson(1979)]) ukázal, že takýto problém je NP-ťažký.

Veta 1. Problém nájdenia $u-v$ sledu Q dĺžky $c(Q) \leq L$ a s prechodovým časom $t(Q) \leq T$, kde u, v sú dané vrcholy a L, T dané čísla, je NP-ťažký, dokonca ak všetky c_{ij} a t_{ij} sú prirodzené čísla a problém je v grafoch alebo acyklických digrafoch, ktoré sú planárne, bipartitné a s maximálnym stupňom 3.

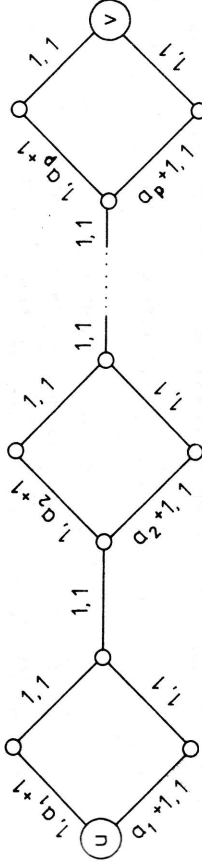
Dôkaz. Dáme polynomálnu transformáciu problému rozdelenia multimnožiny čísel a_1, a_2, \dots, a_p na dve triedy, každú so súčtom $b = \sum a_i/2$, na našu úlohu.

Uvažujme graf z obr. 2, kde na každej hrane ij máme dvojicu c_{ij}, t_{ij} . Žiadajme cestu Q prechádza alebo hornou alebo dolnou časťou nejakého štvoruholníka. Takto ak $I \subseteq \{1, 2, \dots, p\}$ je množina indexov tých štvoruholníkov, ktorími Q prechádza v dolnej časti, tak

$$c(Q) = \sum_{i \in I} a_i + 3p - 1,$$

$$t(Q) = \sum_{i \in I} a_i + 3p - 1.$$

Zrejme $c(Q) \leq b + 3p - 1$ a súčasne $t(Q) \leq b + 3p - 1$ práve vtedy, ak $\sum_{i \in I} a_i = b$. Orientujúc všetky rebrá smerom od u ku v , máme dôkaz aj pre digrafy. ■



Obr. 2. K dôkazu vety 1.

4.E

Generovanie zo zoznamu najkratších sledov

Niekedy môžu byť obmedzenia na sledy veľmi zložité, alebo dokonca aj nie celkom jasné. Vtedy sa uchyľujeme k zostaveniu nejakých M najkratších sledov medzi danými dvoma vrcholmi u a v . Z tohto zoznamu sa potom vyberá využívajúci sled. Pod M najkratšimi $u-v$ sledmi rozumieme M rozličných $u-v$ sledov vybraných tak, že každý iný $u-v$ sled je aspoň taký dlhý ako lubovoľný z týchto M sledov.

M NAJKRATŠICH SLEDOV

Nasledujúca metóda, ktorú navrhol Dreyfus (1969), dáva M najkratších $1-j$ sledov pre každé $j = 2, \dots, n$. Predpokladáme, že hľadáme sledy v digrafe G , kde

$V_G = \{1, 2, \dots, n\}$ a každá hrana ij má dĺžku c_{ij} . Pritom nech G je bez cyklov zápornej dĺžky.

Táto metóda vyzýva, aby pre každé s a j bola množina s najkratších $1-j$ sledov jednoznačne určená. Preto musíme usporiadat sedy rovnakej (ohodnotej) dĺžky: napr. postupnosti ich vrcholov lexikograficky usporiadame. Takto napr. z dvoch $1-6$ sledov 153216 a 15346 rovnakej ohodnotej dĺžky prehľásime prvý za kratší.

Nech $d_j(s)$ označuje dĺžku s -teho najkratšieho $1-j$ sledu a nech $p_{kj}(s)$ označuje počet takých $1-j$ sledov v množine s najkratších $1-j$ sledov, v ktorých je hrana kj posledná.

Zrejme $p_{kj}(0) = 0$ a hned vidiet, že platí rekurentný vzťah:

$$(D1) \quad p_{kj}(s+1) = \begin{cases} p_{kj}(s) + 1, & \text{ak } kj \text{ je poslednou hranou v } (s+1)\text{-om} \\ & \text{najkratšom } 1-j \text{ sledu,} \\ p_{kj}(s), & \text{inak.} \end{cases}$$

Tažíš sa počítajú hodnoty $d_j(s)$. Nech kj je posledná hrana v $(s+1)$ -om najkratšom $1-j$ sledu. Dĺžka $1-k$ úseku tohto sledu je $d_k(p_{kj}(s)+1)$. Taktéž berúc minimum cez všetky možné k , získame vzťah

$$(D2) \quad d_j(s+1) = \min_k \{d_k(p_{kj}(s)+1) + c_{kj}\}, \text{ pričom } d_j(1) = 0.$$

Vzťah (D2) však nemožno priamo využiť na počitanie, lebo $d_j(s+1)$ môže implicitne závisieť od $d_k(s+1)$, a to zasa od $d_j(s+1)$. Počet hrán v sledi je však výbornou pomocou umožňujúcou organizáciu počítania. Totiž $d_k(s+1)$ sa objavuje na pravej strane vzťahu (D2), iba ak hrana kj je poslednou hranou v každom z s najkratších $1-s$ sledov. Keďže hrana kj je poslednou hranou takéhoto sledu, tak jeho $1-k$ úsek má o jednu hranu menej. Preto po počítanom výpočte hodnoty $d_j(1)$ (napr. pomocou Dijkstrovo alebo Fordovo algoritmu), počítame najprv tie z hodnoty $d_j(2)$, kde sa hodnoty $d_j(1)$ realizovali analogicky počítame hodnoty $d_j(3)$ atď. Takoto vzťah (D2) umožňuje vypočítať všetky $d_j(s)$. ●

Na výpočet hodnôt $d_j(1)$ ($j = 2, 3, \dots, n$) vystačíme s $O(n^3)$ operáciami (Fordov algoritmus). Na výpočet jednej hodnoty $d_j(s)$ podla (D2) stačí $O(n)$ operácií, čo pre všetky $j = 2, 3, \dots, n$ znamená $O(n^2)$ operácií. Takže na výpočet $d_j(s)$ pre všetky $s = 1, 2, \dots, M$ stačí $O(n^3 + Mn^2)$ operácií. Vhodnou štruktúrou dát možno počet operácií $O(n^2)$ v jednej iterácii zredukovať na $O(n \log n)$ (porovnaj [Lawler (1976)]).

Všetky hodnoty $d_j(s)$ treba uložiť v pamäti, čo je spolu $O(Mn)$ miest. Okrem toho v každej iterácii treba m miest na hodnoty $p_{kj}(s)$. Ak predpokladáme, že pre každé s s-tý najkratší $1-j$ sled dáme na výstup a viac neudržujeme v pamäti, tak celkove nám stačí pamäť rozsahu $O(Mn + m)$.

M NAJKRATŠÍCH CIEST

V mnohých reálnych úlohach sa vyzadujú nie hocjaké sledy, ale cesty. Nech digraf G s $V_G = \{1, 2, \dots, n\}$ je bez záporných cyklov. Úlohou je nájsť M najkratších $1-n$ ciest.

Základ nasledovného algoritmu pochádza od Yena (1971), ale predkladaná verzia je modifikáciou, ktorú publikoval Lawler (1972).

Najprv nájdeme nejakú najkratšiu $1-n$ cestu. Nech je to cesta $P_1 = 1v_2v_3 \dots v_qn$, ktorá na začiatku tvorí obsah zo znamu Z . Túto cestu odstráime zo Z a „vyrobíme“ z nej niekoľko ciest takto: Nájdeme najkratšiu $1-n$ cestu neobsahujúcu hrancu $1v_2$, potom najkratšiu $1-n$ cestu obsahujúcu hrancu $1v_2$ a neobsahujúcu v_2v_3 . Vo všeobecnosti hľadáme najkratšiu $1-n$ cestu spomedzi $1-n$ ciest obsahujúcich $1-v_i$ úsek cesty P_1 a neobsahujúcich hrancu v_iv_{i+1} . Jednoducho stačí nájsť najkratšiu v_i-n cestu v digrafe $G - \{1, v_2, \dots, v_{i-1}\} - v_iv_{i+1}$, kde $1 \leq i \leq q$, pričom $v_1 = 1$ a $v_{q+1} = n$. Takoto získame nanajvýs q $1-n$ ciest (pre každé i nemusí existovať) z cesty P_1 a všetky ich uložíme do zoznamu Z spolu s informáciou: „predpísany úsek a zakázané hrany“.

Cesta P_1 je prvá najkratšia $1-n$ cesta a druhá najkratšia sa nachádza v Z . Preto vyberieme najkratšiu z cestu v Z , označíme ju P_2 (druhá najkratšia vôbec) a odstráime ju zo Z . Z cesty P_2 vytvoríme nové cesty (podobne ako zo P_1) a všetky dámeme do Z . Z tých všetkých, čo sú v Z , nájdeme najkratšiu a označíme P_3 (tretia najkratšia vôbec) atď. Takoto postupujeme, pokiaľ nezískame P_M , resp. skončíme prv, ak Z bude prázdné, a teda už nebude z čoho vyrábať nové cesty.

Algoritmus

KROK 0: Ak sú všetky dĺžky hrán nezáporné, tak pre vyhľadávanie najkratších ciest môžeme používať Dijkstrovo algoritmus. V opačnom prípade jednorazové použitie Fordovho algoritmu umožňuje urobiť transformáciu dĺžok hrán na nezáporné (pozri časť 4.C), a potom už stačí používať len Dijkstrovo algoritmus. Nájdeme najkratšiu $1-n$ cestu P_1 a dám ju do Z . Predpísaný úsek pre túto cestu je triviálny (vrchol 1) a zakázané hrany tvoria prázdnu množinu. Položíme $s := 1$.

KROK 1: Ak Z je prázdné, STOP (neexistuje viac ciest). Inak nájdeme

najkratšiu z cest v Z , označme ju P_s a vyniecháme zo Z . Na výstup dámme P_s . Ak $s = M$, STOP (našli sme už M najkratších $1-n$ cest).

KROK 2: Nech $P_s = 1v_2v_3 \dots v_qn$ a nech P_s má predpísaný úsek $1-v_p$ ($p \leq q$) a nech F_s je zakázaná množina šípov odchádzajúcich z v_p . (Pre $s=1$ je $P=1$ a $F_s=\emptyset$.) Potom pri každom z nasledujúcich $q-p+1$ ohranicení nájdeme najkratšiu $1-n$ cestu a každú spolu s ohrianičením „predpísaný úsek a zakázané hrany“ dáme do Z .

- (0) Predpísaný je $1-v_p$ úsek z P_s a $F_s \cup \{v_pv_{p+1}\}$ je zakázaná množina hrán.
- (1) Predpísaný je $1-v_{p+1}$ úsek z P_s a $v_{p+1}v_{p+2}$ je zakázaná hrana.
- ⋮
- (i) ($1 \leq i < q-p$) Predpísaný je $1-v_{p+i}$ úsek z P_s a hrana $v_{p+i}v_{p+i+1}$ je zakázaná.
- ⋮
- (q-p) Predpísaný je $1-v_q$ úsek z P_s a hrana v_qn je zakázaná.

Položíme $s := s + 1$ a ideme na krok 1. ●

Je ľahké ukázať, že uvedený systematický prieskum „nezabudne“ na žiadnu krátku $1-n$ cestu, a teda, že algoritmus pracuje správne.

Všimnime si zložitosť algoritmu. Na nájdenie M -tej najkratšej cesty treba vykonať $M-1$ iterácií (kroky 1 a 2). V každej iterácii sa $O(n)$ razy používa Dijkstrrov algoritmus (lebo $q-p+1$ môže byť až $n-1$). To je spolu $O(Mn^2)$ operácií, aj keď sme nerátali rôzne drobné výpočty: tieto sú však dominované týmto počtom. Sem sme však nezahrnuli manipuláciu so zoznamom Z . Vhodné je použiť na Z prioritný front, ktorý umožňuje odstránenie, resp. vloženie najkratšej cesty v čase $O(\log M)$. V každej iterácii treba vložiť, resp. vybrať nie viac ako n cest: teda celkove na to stačí $O(Mn \log M)$ operácií. Keďže vždy $M \leq n!$, tak $\log M \leq n \log n$. Preto vystačíme s $O(Mn^2 \log n)$ vkladaniami, resp. vyberaniami zo Z . Každá cesta vyžaduje na záznam $O(n)$ operácií. Preto na toto, a teda aj celkove, vystačíme s $O(Mn^3 \log n)$ operáciami.

Na záver poznamenajme, že algoritmus postupne generuje prvú najkratšiu $1-n$ cestu, potom druhú najkratšiu atď., takže ho môžeme hocikeď prerušiť, a teda číslo M nie je potrebné poznávať vopred.

4. F

Niekteror ďalšie optimálne sledy

Doteraz sme uvažovali sledy, kde hrany, resp. jediným kritériom optimality bola ich dĺžka. Teraz uvedieme niekoľko iných kritérií.

NAJŠIRŠIA CESTA

Daný je digraf G , v ktorom každá hrana $i-j$ má priradené nezáporné číslo $b_{ij} = b(ij)$, tzv. šírku (alebo *príepustnosť, kapacitu* a pod.). Potom pod šírkou neakej cesty rozumieme šírku najužšej hrany (t. j. hrany s minimálnou šírkou) v nej. Nech sú dané vrcholy $s, t \in V_G$; ulohou je nájsť $s-t$ cestu najväčšej šírky.

Ulohy takéhoto druhu možno niekedy riešiť jednoduchým spôsobom. Teraz možno postupovať napr. takto: Najprv usporiadame hrany do neklesajúcej postupnosti podľa šírky: $b(e_1) \leq b(e_2) \leq \dots \leq b(e_n)$. V digrafe $G_0 := G$ hľadáme nejakú $s-t$ cestu P_0 . Potom v digrafe $G_1 := G_0 - e_1$ hľadáme nejakú $s-t$ cestu P_1 . Vo všeobecnosti hľadáme v digrafe $G_i := G_{i-1} - e_i$ $s-t$ cestu P_i . Ak i maximálne číslo, pre ktoré P_i existuje, tak P_i je zrejmé najširšia $s-t$ cesta. ●

Uvedený algoritmus má zložitosť $O(m^2)$. Teraz uvedieme rýchlejší spôsob načrtnutý v práci [Edmonds, Karp (1972)] a opísaný v [Adeelson-Velskij, Dinic, Karzanov (1975)].

Hľadanú cestu skonštruujeme pomocou značkovacej metódy. V skutočnosti nájdeme najširšiu $s-t$ cestu pre každé $j \in V_G$.

Na začiatku s dosťavia značku $(-, \infty)$ a ostatné vrcholy sú neoznačované. Vo všeobecnosti označovaný vrchol j má značku (i, b_j) , čo značí, že poznáme $s-t$ cestu šírky b_j a jej prepredosledný vrchol je i . Ak S je množina vrcholov už označovaných a $\bar{S} := V_G - S$ množina neoznačovaných, pričom $t \in \bar{S}$, tak ďalší vrchol označujeme takto: Nech $i-j$ je taká hrana, že $i \in S, j \in \bar{S}$ a pritom číslo $r_j := \min \{b_{ij}, b_{ij}\}$ je maximálne. Potom vrchol j dostáva značku (i, r_j) , t. j. $b_j = r_j$.

Abyste pred označkovaním vrcholu j nemuseli hľadať hrancu i podľa definície, tak je vhodné dávať vrcholom $z S$ aj dočasné značky (i, r_j) . Potom pred trvalým označkovaním zistíme len maximálne r_j (na čo stačí $O(n)$ operácií) a jedna dočasná značka sa stane trvalou. Po označovaní vrcholu j však ešte treba vypočítať a pozmeniť dočasné značky (u, r_v) pre $v \in \bar{S}$ takto: Zistíme $r'_v = \min \{b_{uv}, b_{vv}\}$: ak $r'_v > r_v$, tak (u, r_v) sa zmení na (j, r'_v) a inak sa nezmiení. Na to stačí $O(n)$ operácií. Celkove n vrcholov dostane trvalu značku, a teda na celý algoritmus vystačíme s $O(n^2)$ operáciami. ●

Správnosť algoritmu je zrejmá. Poznamenajme, že ak G je graf, tak

pomocou najcennejšej kostry možno nájsť najširšiu $i \rightarrow j$ cestu pre každú dvojicu $[i, j]$ (pozri 5.Z.20).

CESTA S NAJVÄČŠOU OČAKÁVANOU ŠÍRKOU

Nech je G digraf, kde každá hrana ij má dve ohodnotenia: spoločlivosť p_{ij} , $0 < p_{ij} \leq 1$ (vyjadruje pravdepodobnosť správnej činnosti komunikačnej linky) a šírku $b_{ij} > 0$. Pre dané dva vrcholy $s, t \in V_G$ treba nájsť $s \rightarrow t$ sled s najväčšou očakávanou šírkou. Pritom očakávaná šírka sledu Q je

$$e(Q) = \min_{ij \in Q} b_{ij} \prod_{j \in Q} p_{ij}.$$

V tomto vzorci je $\min b_{ij}$ šírka sledu Q a $\prod p_{ij}$ je spoločlivosť (pravdepodobnosť správnej činnosti) sledu Q .

Kedže každý optimálny sled obsahuje optimálnu cestu, budeme hovoriť len o cestách. Táto uloha zahŕňa v sebe úlohu o najspoločlivejšej ceste (všetky $b_{ij} = 1$) aj úlohu o najširšej ceste (všetky $p_{ij} = 1$), ktoré sme už riešili. Nasledujúca metóda dáva Christofides (1975).

Algoritmus

KROK 0: Nájdeme najširšiu $s \rightarrow t$ cestu v G : nech jej šírka je b^* . Ďalej v G nájdeme najspoločlivejšiu $s \rightarrow t$ cestu Q_0 : nech má spoločlivosť p_0 a šírku b_0 . Nech $D := Q_0$ (D je kandidát na cestu s najväčšou očakávanou šírkou). Položime $k := 0$, $G_k := G$.

KROK 1: Ak $e(D) \geq b^* p_k$, STOP (D je optimálna cesta). Inak urvoríme digraf $G_{k+1} := G_k - \{ij \mid b_{ij} \leq b_k\}$.

Položime $k := k + 1$ a ideme na krok 2.

KROK 2: V G_k nájdeme najspoločlivejšiu $s \rightarrow t$ cestu Q_k : nech jej spoločlivosť je p_k a šírka b_k . Ak $s \rightarrow t$ cesta neexistuje, STOP (D je optimálna cesta). Ak $e(D) < e(Q_k)$, tak $D := Q_k$. Ideme na krok 1. ●

Dokážeme správnosť algoritmu. Ak optimálna cesta má väčšiu očakávanú šírku, ako má Q_0 , tak musí mať šírku väčšiu ako b_0 , lebo Q_0 je najspoločlivejšia $s \rightarrow t$ cesta. Teda potom optimálna cesta leží v G_1 . Analogický argument platí pre Q_1 atď. Keďže D je optimálna cesta spomedzi Q_0, Q_1, \dots, Q_k , tak D bude výsledok. Zrejmé ak $e(D) \geq b^* p_k$, tak môžeme skončiť, lebo už v G_k , a teda ani v G_{k+1} lepšiu cestu ako D nenájdeme.

Počet iterácií (kroky 1 a 2) nepresiahne m a v každej iterácii stačí $O(n^2)$ operácií

CYKLUS S MAXIMÁLNYM ZISKOM ZA ČASOVÝ JEDNOTOKU

Nasledujúci problém skúmali Dantzig, Blattner a Rao (1967) a Lawler (1967, 1976): Nákladný parník si môže vyberať prístavu, ktoré navštívi, a poradie v ktorom ich navštívi. Ak pláva z prístavu i do prístavu j , tak zarobi z_{ij} korún (zisk) a potrebuje na to t_{ij} dni (nakladanie, prevoz a vykladanie). Ktoré prístavy má parník navštíviť a v akom poradí, aby maximalizoval svoj priemerný denný zisk?

Hneď je vidieť, že riešenie problému nájdeme, ak zistíme taký cyklus, v ktorom pomer celkového zisku k celkovému času je maximálny. Parník potom bude stále obiehať tento cyklus (začiat môže z lubovoľného prístavu tohto cyklu). Ako model sa nám zrejmé hodí digraf. Úlohu prevedieme na minimalizačnú tak, že definujeme ceny $c_{ij} := -z_{ij}$. Teda budeme hľadať taký cyklus Z v digrafe, aby podiel

$$\left(\sum_{ij \in Z} c_{ij} \right) / \left(\sum_{ij \in Z} t_{ij} \right)$$

bol minimálny.

Ďalej budeme predpokladať, že každý cyklus C má kladné sumárne časové ohodnotenie. (Pre uvedenú úlohu je to vždy pravda.)

Najprv odhadnime minimálnu hodnotu pomeru číslom r . Potom môžeme určiť nové ceny $\hat{c}_{ij} := c_{ij} - rt_{ij}$ a uvážime tri možné prípady pri tomto ohodnotení:

(1) Existuje záporný cyklus Z , t. j.

$$\sum_{ij \in Z} \hat{c}_{ij} < 0.$$

(2) Nexistuje záporný cyklus, ale existuje nulový cyklus Z , t. j.

$$\sum_{ij \in Z} \hat{c}_{ij} = 0.$$

(3) Každý cyklus je kladný, t. j.

$$\min_Z \sum_{ij \in Z} \hat{c}_{ij} > 0.$$

Prvý prípad dáva:

$$\sum_{ij \in Z} (c_{ij} - rt_{ij}) < 0,$$

takže odhadnutá hodnota r je príliš veľká a na Z sa realizuje lepšia hodnota.
V druhom prípade analogicky vidime, že r je optimálna hodnota a realizuje sa cyklom Z .

V treťom prípade je r príliš malé.

Na týchto pozorovaniah možno založiť výpočtovú procedúru: Zvolíme dosta-
točne veľké $r_0 : z$ prvého prípadu potom získame nejaké r_1 , potom opäť z prvého
prípadu r_2 atď., pričom $r_0 > r_1 > r_2 > \dots$. Keďže hodnoty r_1, r_2, \dots sa realizujú na
cykloch, a tých je len konečne mnoho, tak niekedy musí vzniknúť prípad 2 a máme
optimum nájdené. Poznamenajme, že cykl Z vieme hľadať v čase $O(n^3)$ (pozri
4.C).

Uvedená postupnosť však môže byť pomerne dlhá. K cieľu nás rýchlejšie
dovedie metóda bisekcie (rozpolohovania): Predpokladáme, že poznáme interval
[a, b], v ktorom leží optimálna hodnota. Najprv skúšame $r = (a + b)/2$, a tým
interval „neurčitosť“ [a, b] zmenšíme na polovičný [a, (a + b)/2], ak vznikol
prípad (1), resp. [(a + b)/2, b], ak máme prípad (3). V prípade (2) máme dokonca
optimálne riešenie. Získaný interval potom rozpolíme atď. Opakujúc (k - 1)-krát
toto delenie, získame interval neurčitosť dĺžky $(b - a)/2^k$, čo pre dosťatočne veľké
 k je už malé a v praxi stačí. Teoretičky tu však môže pre veľké k ležať iba jeden
podiel, lebo cyklus je len konečne mnogo. ●

Aby sme získali odhad počtu operácií, budeme predpokladať, že všetky čísla
 c_{ij} a t_{ij} sú celé a že $|c_{ij}| \leq c_0$ a $|t_{ij}| \leq t_0$. Tako pre prvý interval [a, b] stačí brať
 $a := -nc_0, b := nc_0$. Okrem toho vidime, že pre dva rôzne cykly Z a Z' je rozdiel
optimálnych hodnôt aspoň $1/(n^2 t_0^2)$. Skutočne, ak C/T a C'/T' sú príslušné
pomery, tak

$$\left| \frac{C}{T} - \frac{C'}{T'} \right| = \left| \frac{CT' - C'T}{TT'} \right| \neq 0.$$

Posledný podiel je najmenší, ak $CT - C'T = 1$ a $TT' = n^2 t_0^2$.
 Z toho vyplýva, že rozličných pometrov nie je viac ako $2nc_0/(1/(n^2 t_0^2))$
= $2n^3 c_0 t_0^2$. Preto uvedená postupnosť r_1, r_2, \dots nemá viac prvkov, a teda taký
algoritmus nevyžaduje viac ako $O(n^3 c_0 t_0^2)$ operácií. Ak c_0, t_0 nezávisia od n , tak to
dáva $O(n^6)$ algoritmus.

Lepšia situácia je v prípade metódy bisekcie. Na túto stačí interval $[a, b]$
rozpoliť nie viac ako $\log_2(b - a) - \log_2(1/(n^2 t_0^2))$ razy, čo je $O(\log n +$

+ $\log c_0 + \log t_0$). Nanajvyšš tolko krát treba hľadať záporný cyklus. Celkové máme
teda $O(n^3(\log n + \log c_0 + \log t_0))$ algoritmus, teda polynomiálny, lebo dĺžka
vstupu nášho problému je aspoň $n + \log c_0 + \log t_0$.

4.7

Cvičenia a poznámky

1. (a) Sformuluje úlohu o celočiselnom batohu $\max \{c_1x_1 + \dots + c_p x_p | a_1x_1 + \dots + a_p x_p \leq b\}$, všetky $x_i \geq 0$ a celé) ako úlohu o najdlhšej ceste v acyklickom
digrafe. [Návod: Môžeme predpokladať, že $a_i \neq a_j$ pre $i \neq j$. Zostrojíme digraf
 G s $V(G) = \{0, 1, \dots, b\}$ a $E(G) = E_1 \cup \dots \cup E_p$, kde $E_i = \{jk | k - j = a_i, 0 \leq j < k \leq b\}$. Každý šíp z E_i nech má dĺžku c_i . Ukážte, že najdlhšia cesta
v G začínajúca v 0 zodpovedá optimálnemu riešeniu úlohy o batohu [Garfin-
kel, Nemhauser (1972)]. Táto transformácia však nie je polynomiálna.]
(b) Sformuluje úlohu o binárnom batohu ako úlohu o najdlhšej ceste vo
vhodnom acyklickom digrafe s $p(b+1)$ vrcholmi [Fulkerson (1966)].
2. Ukážte, že existuje kladné reálne číslo k a nekonečná postupnosť digrafov
tak, že pre každý z nich platí: Počet všetkých najkratších $s-t$ ciest je aspoň
 $2^{k(m+n)}$.
3. (a) Urobte presnejší odhad počtu operácií v Dijkstrovoom algoritme (pre
kompletný digraf) a navrhnite implementáciu zameranú na zníženie počtu
operácií. (Yen (1972) dáva modifikáciu s $n^2/2$ sčítaniami a s n^2 porovna-
níami.)
(b) Navrhnite $O((m+n)\log n)$ implementáciu Dijkstrovoho algoritmu (výhod-
né pre riedke digrafe). [Návod: Čísla d_j udržiavame usporiadane podľa vektoru
(prioritnom fronte) a v kroku 1 berieme za d_k vždy jeho prvý prvk. V kroku
2 stačí $O(\log n)$ operácií na presunutie jedného čísla d_j na správne miesto, čo
je spolu $O(\deg^+(k)\log n)$ operácií pre jedno k : za celý algoritmus to bude
 $O(m \log n)$ operácií.]
4. Ukážte, že aj nasledujúca zjednodušená verzia Fordovo algoritmu nájde
všetky vzdialenosťi z vrcholu s .
KROK 0: Vrchol s dostane dvojicu $(0, 0)$ a každý iný vrchol dostane $(0, \infty)$.
KROK 1: Ak $d_j \leq d_i + c_{ij}$ pre každé $ij \in E_G$, tak STOP. Inak volíme $ij \in E_G$
také, že $d_j > d_i + c_{ij}$ a urobíme:

$$\begin{cases} d_j := d_i + c_{ij}, \\ p_j := i. \end{cases}$$

Ideme na krok 1. ●

A väčak takýto algoritmus môže vyžadovať exponenciálne mnoho iterácií aj pri nezáporných dĺžkach šípov [D. B. Johnson (1977)].

5. Navrhnite $O(m + n)$ algoritmus pre nájdenie najdlhsnej cesty v acylickom digrafe s reálnymi dĺžkami hrán. (Kraje cesty nie sú dane.)
6. Uvažujte digraf projektu, kde každá činnosť $i j$ má trvanie (dĺžku) T_{ij} . Nech T označuje *trvanie celého projektu* (t. j. dĺžka najdlhszej $s \rightarrow t$ cesty). Každému vrcholu i priradíme dve čísla: a_i -dĺžka najdlhsnej $s \rightarrow i$ cesty a b_i -dĺžka najdlhsnej $i \rightarrow t$ cesty. Potom pre každú činnosť $i j$ možno určiť: *najskôr možný začiatok $T_{ij}^{(z)}$, najneskôr možný začiatok $T_{ij}^{(x)}$* (pri dodržaní technologických väzieb a za *najneskôr možný koniec $T_{ij}^{(x)}$*) (pri hľadaní najdlhsnej cesty). Vyjadrite tieto časy pomocou a_i , a_j , b_i , b_j . Číslo $r_{ij} := T_{ij}^{(x)} - T_{ij}^{(z)}$ sa nazýva *rezerva činnosti $i j$* . Ak $r_{ij} = 0$, činnosť $i j$ sa nazýva *kritickej*. Ukážte, že činnosť je kritickej práve vtedy, keď leží na nejakej najdlhsnej (*, kritickej:*) $s \rightarrow t$ ceste. Výpočet uvedených časových údajov sa nazýva *časová analýza projektu* (a je známa pod názvami: CPM, resp. PERT). Ukážte, že celú časovú analýzu možno urobiť v čase $O(m + n)$.

Poznamenajme, že tu všade sme predpokladali neohraničenosť zdrojov (strov, pracovníkov a pod.), takže činnosti môžu prebiehať súčasne. Ak sú však zdroje ohrianičené, časová analýza je NP-tážkou úlohou, ako aj mnohé iné úlohy „rozvrhovania“ (pozri napr. [Garey, Johnson (1979)]. Niektoré heuristiky možno nájsť v [Davis, Patterson (1975)].

- Úlohou skratenia trvania projektu sa zaobereame v 6.Z.14.
7. Navrhnite analógiu Floydovho algoritmu pre určenie všetkých vzdialenosí, kde postupne pre $k = 1, \dots, n$ budete počítať $d_{ij}^{(k)} := d_{G((1, 2, \dots, k))}(i, j)$. $O(n^3)$
- algoritmus založený na tejto myšlienke predložil Dantzig (1966).
8. Nech acylický digraf má kladné dĺžky c_{ij} a kladné trvania t_{ij} hrán. Ďalej nech sú dané čísla C a T . Dokážte, že problém nájsť cestu dĺžky aspoň C a trvania aspoň T je NP-tážký. [Návod: Použite dôkaz vety 4.D.1.]
9. Navrhnite algoritmus pre riešenie úlohy o preprave nadmerného nákladu: Pre každý úsek komunikácie je daná jeho dĺžka a maximálny rozmer nákladu, ktorý radiál možno prepraviť; tiež je to známe pre križovatky v jednotlivých smeroch prechádzania. (Rozmer sa obvykle skladá z niekoľkých zložiek: hmotnosť, výška, šírka a pod.). Úlohou je pre dané miesta s a t a náklad daného rozmeru nájsť najkratšiu trasu z do t .

5 STROMY A KOSTRY

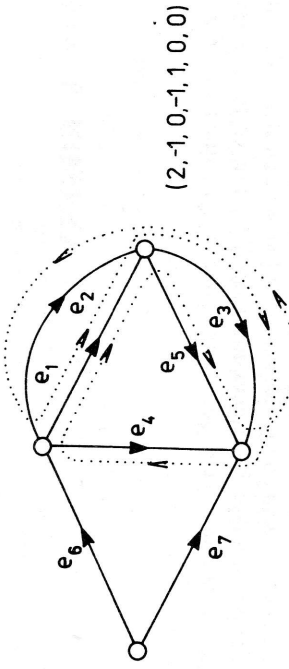
Stromy majú významné postavenie v celej teórii grafov aj v grafových algoritnoch. Zvlášť sa uplatňujú vo funkcií minimálnych podgrafov zabezpečujúcich cesty. Táto kapitola je v prevažnej miere venovaná *kostrám*, t. j. takým faktorom, ktoré sú stromy. Dominujúce postavenie má úloha o najlacnejšej kostre v grafe. Oboznámitme sa aj s niektorými zovšeobecneniami, kde sa na kostru hľadá ohrianičenia. Tiež uvádzame algoritmus pre generovanie oznamu K najlacnejších kostier, čo môže byť istým východiskom pri hľadaní najlacnejšej kostry s komplikovanými ohrianičeniami. Ďalej hľadáme tzv. najlacnejšiu zdrojovú kostru digrafu. Kapitolu končime Steinerovým problémom, ktorý zodpovedá úlohe nájsť najlacnejšiu spojovaciu siet daných bodov. Úvodná časť je venovaná slúbenému postupu na určovanie nezávislých okruhov v elektrických sietach pomocou kostier.

5.A Kostra a nezávislé polocykly

V časti 1.A sme spomenuli, ako Kirchhoff (1847) určoval nezávislé okruhy v elektrických obvodoch pri ich analýze, presnejšie, pri aplikovaní Kirchhoffovho napäťového zákona.

Analyzovanú elektrickú siet môžeme reprezentovať súvislým pseudograffom, ale ak každú hranu nejako zorientujeme, čo zodpovedá vyznačeniu elektrických prúdov, získame pseudodigraf G . Nech $E(G) = \{e_1, e_2, \dots, e_m\}$. Potom ku každému uzavretému polosledu Q (čo zodpovedá okruhu v elektrickej sieti) priradíme vektor $p = (p_1, p_2, \dots, p_m)$, kde $p_i = p_i^+ - p_i^-$, pričom p_i^+ je počet súhlasných výskytov šípa e_i v Q a p_i^- počet nesúhlasných výskytov šípa e_i v Q (pozri obr. 1). Systém uzavretých polosledov sa nazýva *nezávislý* (resp. *závislý*), ak príslušný systém vektorov je lineárne nezávislý (resp. závislý). Tako je úlohou nájsť v danom súvisiame pseudodigrafe G maximálny počet nezávislých uzavretých polosledov.

Kirchhoff navrhol zostrojiť najprv hubovoľnú kostru T . (Ignorujúc orientáciu šípov v G , postup do hľbky alebo do šírky nám v lineárnom čase nájde strom (pozri 3.A), ktorý po zavedení pôvodnej orientácie možno zobrať za T .) Potom pre každú chordu e , t. j. hranu $e \in E(G) - E(T)$, vyberieme jeden polocyklus Z_e



Obr. 1. Uzavretý posledok a príslušný vektor.

pseudodigrafu $T+e$. Takož získame presne $m-(n-1)$ polocyklov, ktoré tvoria lineárne nezávislý systém, lebo každý polocyklus Z_e obsahuje takú hranu (hranu e), ktorá sa v iných polocykloch nevykryuje. Kirchhoff dokázal, že viac nezávislých posledov nemôže existovať:

Veta 1. Maximálny počet $v(G)$ nezávislých uzavretých posledov v súvisom pseudodigrafe G je $m-n+1$.

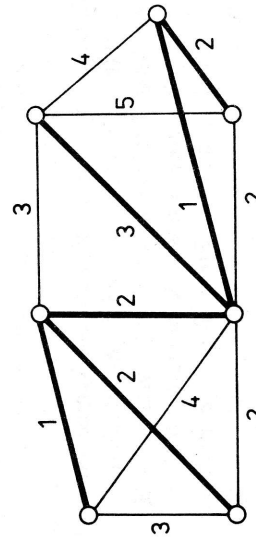
DOKAZ. Postupujeme indukciou podľa m . Ak $m=n-1$, tak každému uzavretému posledodu zodpovedá nulový vektor. Nech T je nejaká kostra v G tvorená hranami $e_m, e_{m-1}, \dots, e_{m-n+2}$ a nech $e_1, e_2, \dots, e_{m-n+1}$ sú hrany mimo kostry. Nech $G_k = T + e_1 + e_2 + \dots + e_k$. Podľa indukčného predpokladu $v(G_{k-1}) = k-1$ a nech Z_1, Z_2, \dots, Z_{k-1} sú nezávislé uzavreté posledody v G_{k-1} . Pridaním hrany e_k získame G_k a vzniknú nové uzavreté posledody C_1, C_2, \dots, C_r (prechádzajúce hranou e_k). Aspoň jeden z týchto posledov je polocyklus. Môžeme predpoklať, že je to C_1 a že zložka $p_k(C_1) = 1$. Zrejmé $Z_1, Z_2, \dots, Z_{k-1}, C_1$ tvoria lineárne nezávislý systém. Avšak pre každé $i \geq 2$ už C_i na týchto posledoch závisí. Skutočne, vektor $p(C_i) - p_k(C_1)p(C_i)$ zodpovedá uzavretému posledodu, ktorý vznikol z C_1 tým, že vždy namiesto hrany e_k používame obrátený úsek polosledu C_1 bez e_k . Toto je posledod v G_{k-1} , a preto uvedený vektor je lineárnou kombináciou vektorov Z_1, \dots, Z_{k-1} , a teda $p(C_i)$ je lineárnou kombináciou vektorov Z_1, \dots, Z_{k-1}, C_1 . Preto $v(G_k) = k$. ■

Ak G je pseudomigraf s t komponentmi, tak číslo $m-n+t$ sa nazýva cyklotomické číslo pseudomigrafa G . Podľa predchádzajúceho pre pseudodigraf G platí: $m-n+t = v(G)$.

Ďalšie informácie o použití teórie grafov pri skúmaní elektrických obvodov nájde čitateľ napr. v knihe [Čulík, Doležal, Fiedler (1967)].

5.B Najlacnejšia kostra

V danom grafe G , kde každá hraná $e \in E(G)$ má reálne hodnotenie (cenu) $c(e)$, treba nájsť *najlacnejšiu kostru*, t.j. takú kostru T grafu G , že jej cena $c(T)$ (sučet cien jednotlivých hrán v T) je minimálna. Na obr. 1 je priklad grafu a najlacnejšej kostry (hrubé čiary).



Obr. 1. Najlacnejšia kostra.

S úlohou nájsť najlacnejšiu kostru sa možno stretnúť aj v praxi, napr. pri zostavovaní najlacnejšej súvislej siete prenosových liniek pre sieť televíznych vysielačov. Podobne je to pri rozvode elektriny, plynu a pod., ak žiadame, aby rozvetvenia neexistovali mimo zdroja a odberateľov (napr. kvôli ľahšej údržbe a kontrole). Tu všade treba nájsť najlacnejší súvislý faktor kompletného grafu, kde cena hrany uv vyjadruje predpokladané náklady na vybudovanie linky z u do v . Tieto náklady sú vždy nezáporné, a preto môžeme predpokladať, že optimálny súvislý faktor bude bez cyklov, teda kostra. (Vynechaním ľuboľnej hrany z cyklu sa cena faktora nezväčší.)

Problém najlacnejšej kostry patrí medzi staršie úlohy na grafoch. Ako prvý sa ním zaoberal Borůvka (1926) inšpirovaný úlohou navrhovania optimálnej elektrovodnej siete. Borůvka dáva aj polynomálny, ale dosť komplikované formulovaný algoritmus. Jeho postup zlepšil Jarník (1930). Medzi ďalších, ktorí sa týmto zaoberali, patrí Choquet (1938), avšak až po Kruskalovi (1956) sa problém stal dostatočne známy. Dobrý prehľad starších príspevkov možno nájsť v knihe [Čulík, Doležal a Fiedler (1967)].

Poznamenajme, že úlohu možno zaviesť aj pre pseudografy, ale vždy ju možno redukovať na grafy.

ZÁKLADNÉ TVRDENIA

Následujúce výsledky možno nájsť explicitne alebo implicitne v práciach mnohých autorov. (Kvôli jednoduchosti často píšeme $G - H$ namiesto $G - E(H)$, $e \in G$ namiesto $e \in E(G)$ a pod.)
Podľa vety 1.E.3(2), ak T je kostra grafu G , tak pre lubovoľnú hrancu $h \in G - T$ má graf $T + h$ jediný cyklus.

Veta 1. Nech T_1 a T_2 sú kostry grafu G . Potom pre každú hrancu $h_i \in T_1 - T_2$ existuje hrana $h_2 \in T_2 - T_1$ tak, že obe hrany ležia na cykle grafu $T_2 + h_i$ a na cykle grafu $T_1 + h_2$.

Dôkaz. Nech $h_1 = uw$. Graf $T_1 - h_1$ má práve dva komponenty: G_u (obsahujúci u) a G_v (obsahujúci v) (porovnaj obr. 2). Nech P_1 je (jediná) $u - v$ cesta v T_2 . Potom existuje hrana $h_2 = \hat{u}\hat{v}$ tak, že vrchol $\hat{u} \in P_1$ a vrchol $\hat{v} \in G_v$. Potom $P_2 + h_2$ je (jediný) cyklus v $T_2 + h_i$ a zrejmé obsahuje hrancu h_2 . V T_1 existuje jediná $\hat{u} - \hat{v}$ cesta P_1 , a tá obsahuje hrancu h_1 . Preto $P_1 + h_2$ je (jediný) cyklus v $T_1 + h_2$ a obsahuje h_1 . ■

Veta 2 (o optimalite kostry). Kostra T grafu G je najlacnejšia $\Leftrightarrow T$ nemožno zmeniť výmenou hrany (t. j. ak neexistuje lacnejšia susedná kostra).

Dôkaz. (\Rightarrow) Zrejmé. (\Leftarrow) Nech S_0 je nejaká najlacnejšia kostra. Ak $S_0 = T$, niet čo dokazovať, a preto nech existuje hrana $h_1 \in T - S_0$. Podľa vety 1 existuje hrana $h_2 \in S_0 - T$ tak, že h_1 a h_2 ležia aj na cykle v $S_0 + h_1$ až na cykle v $T + h_2$. Z optimality S_0 máme $c(h_2) \leq c(h_1)$ a z predpokladu vety o T je $c(h_2) \geq c(h_1)$, teda $c(h_1) = c(h_2)$. Preto kostra $S_1 := S_0 + h_1 - h_2$ je opäť najlacnejšia, a pritom má viac spoločných hrán s T ako kostra S_0 . Ak $S_1 \neq T$, tak analogicky možno celý postup zopakovať s S_1 namiesto S_0 a vytvoriť kostru S_2 atď. Taktôž možno vytvoriť takú najlacnejšiu kostru S_k , že $S_k = T$, a teda T je tiež optimálna kostra. ■

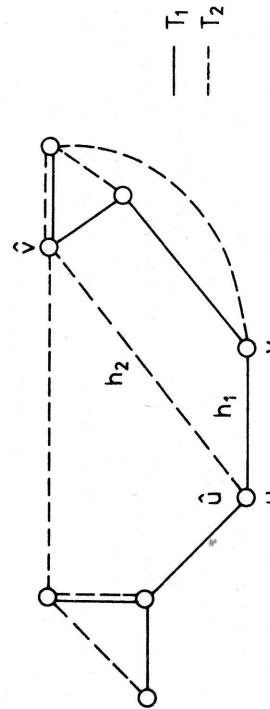
Uvedená veta už naznačuje istý algoritmus: Nájdeme lubovoľnú kostru a postupne vymieňame hrany, až získame optimálnu kostru. Avšak takýto algoritmus je zložitejší ako iné známe postupy. Väčšina známych algoritmov sa opiera o nasledujúcu vetu. Najprv zavedieme jeden pojem.
Nech G je graf a $\emptyset \neq U \subset V_G$. Potom množina hrán $[U, V_G - U]_G = \{xy \mid xy \in E_G, x \in U, y \in V_G - U\}$ sa nazýva (hranový) rez grafu G .

Veta 3. Hrana e grafu G leží v nejakej najlacnejšej kostre $\Leftrightarrow e$ je najlacnejšia hrana nejakého rezu grafu G .

Dôkaz. (\Rightarrow) Nech e leží v najlacnejšej kostre T . Potom $T - e$ pozostáva z dvoch stromov T_1 a T_2 . Zrejmé, že $[V(T_1), V(T_2)]_G$ je rezom a obsahuje e . Ak by v tomto rezze bola lacnejšia hrana f , tak $T - e + f$ by bola lacnejšia kostra grafu G , ako je T .

(\Leftarrow) Nech $e = uw$ je najlacnejšou hrancou rezu $[U, W]_G$, $u \in U$, $w \in W$ a nech T je najlacnejšia kostra. V T existuje jediná $u - w$ cesta, a tá zrejmé obsahuje aspoň jednu hrancu xy takú, že $x \in U$, $y \in W$. Podľa predpokladu je $c(uw) \leq c(xy)$, a preto kostra $T - xy + uw$ je tiež najlacnejšia a obsahuje hrancu $uw = e$. ■

Obr. 2. K dôkazu vety 1.



VŠEOBECNÝ SPÁJACÍ ALGORITMUS
Predchádzajúca veta je ideovým základom nasledujúceho „spájacieho“ algoritmu [Cheriton a Tarjan (1976)].

Algoritmus
KROK 0: Nech F_0 je nulový faktor v G : $i := 0$, $G_0 := G$. Ak $n > 1$, ideme lubovoľne na krok 2 alebo 3.

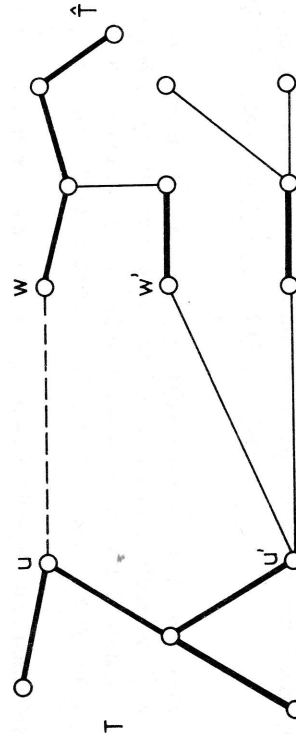
KROK 1: Ak $i = n - 1$, STOP (F_i je hľadaná kostra).

KROK 2 (spájaci): Zvolíme nejaký strom T lesa F_i a vyberieme najlacnejšiu hrancu e zredu $[V(T), V_G - V(T)]_G$: $F_{i+1} := F_i + e$. Ak e neexistuje, STOP (G je nesúvislý, a teda nemá kostru). $i := i + 1$.

KROK 3 (ocíťany): Utvoríme graf G_{i+1} tak, že z G_i vyniecháme nejaké (žiadne, resp. aj všetky) z nestromových hrán spájajúcich vrcholy toho istého stromu v F_i a tiež nejaké z hrán spájajúcich dva rôzne stromy v F_i s výnimkou jednej najlacnejšej hrany j : $j = j + 1$ a ideme na krok 1. ●

Veta 4. Všeobecny spájaci algoritmus pracuje správne.

DÔKAZ. (1) Najprv dokážeme, že ak sa v očistnom kroku nikdy nevyniecháva hrana (t. j. $G_j = G$) a G je súvislý graf, tak les F_{n-1} je najlacnejšou kostrou grafu G . Za tým účelom dokážeme indukciou, že pre každé $i = 0, 1, \dots, n-1$ les F_i je obsiahnutý v nejakej najlacnejšej kostre. Pre F_0 je tvrdenie zrejmé. Uvažujme les F_i ($0 \leq i < n-1$) a v súlade s krokom 2 nejaký jeho strom T a najlacnejšiu hrancu $e = uw$, kde $u \in V(T)$ a $w \in V_G - V(T)$: nech w leží v strome \hat{T} . Podľa indukčného predpokladu F_i leží v nejakej najlacnejšej kostre S . Ak hrana uw leží tiež v S , potom $F_{i+1} \subseteq S$ a dôkaz je hotový. Inak je situácia podobná ako na obr. 3, kde hrany v S sú vyznačené plňmi a z toho hrany v F_i hrubými čiarami. V S existuje jediná $u-w$ cesta, a tá musí obsahovať nejakú hrancu $u'w'$, kde $u' \in T$, $w' \notin T$. Z voľby hrany uw máme $c(uw) \leq c(u'w')$, a preto kostra $S' = S + uw - u'w'$ je tiež najlacnejšia a obsahuje F_{i+1} , čo sme chceli dokázať.



Obr. 3. K dôkazu vety 4.

(2) Naše tvrdenie však platí aj vtedy, keď v očistnom kroku nejaké hrany vyniechávame. Totiž algoritmus aj tak ziajdnu z týchto hrán nevyberie, resp. nemusí vybrať a ak G je súvislý, tak aj každý graf G_j bude súvislý. ■

Uvedený algoritmus je načrtnutý príliš hrubo, takže ľahko by bol hovorit o jeho zložitosti. Teraz uvedieme dva staršie známe algoritmy, ktoré možno uvažovať ako špeciálne prípady všeobecného spájacieho algoritmu.

KRUSKALOV ALGORITMUS

Kruskal (1956) navrhuje pred samotným hľadaním kostry usporiadat všetky hrany do postupnosti tak, aby $c(e_1) \leq c(e_2) \leq \dots \leq c(e_m)$. Na to stačí $O(m \log m)$ operácií (porovnaj 2.A). Potom postupne berieme hrany e_1, e_2, \dots , a skúšame ich pridať k okamžitému lesu F_i : ak $F_i + e_j$ je lesom, tak $F_{i+1} := F_i + e_j$, inak e_j vyniecháme. ●

Tento postup možno viesť do všeobecného spájacieho algoritmu, ak po utvorení F_{i+1} , v očistnom kroku vyniecháme všetky hrany e_{i+1}, \dots, e_s , ktoré sú chordami stromov v F_{i+1} , ale hrana $e_{s+1} = uw$ už spája dva rôzne stromy. Potom v spájacom kroku volíme za T strom obsahujúci u (alebo w).

Stromy v F_i môžeme reprezentovať množinami ich vrcholov. Na zistenie druhu hrany uw stačí zistiť, či u a w patria do tej istej množiny alebo nie. V druhom pripade potom príslušné množiny zjednotiť. Toto hľadanie a zjednocovanie za celý algoritmus možno ľahko urobiť v čase $O(n^2)$, ale použitím vhodných štruktúr dát a manipulácií, možno získať čas $O(m \log n)$, resp. ešte lepsi [Tarjan (1975)]. Takto na celý Kruskalov algoritmus vystačime s $O(m \log n)$ operáciami.

PRIMOV ALGORITMUS

Následujúci algoritmus sa prisudzuje Primovi (1957). V skutočnosti však jeho ideu využíva už Jarník (1930). Nezávisle ho znova objavuje aj Dijkstra (1959). Na báze tejto myšlienky bol potom zostrojený aj všeobecny spájaci algoritmus, ktorého je špeciálnym prípadom, a možno ho charakterizovať takto:

V spájacom kroku vždy za T volíme strom s maximálnym počtom vrcholov (ostatné sú jednovrcholové). V očistnom kroku žiadne hrany nevyniechávame. ●
Odhadneme zložitosť algoritmu. Najlacnejšiu hranu vyberáme spomedzi nanajvýš m hrán a takých výberov robíme $n-1$, čo spolu predstavuje nanajvýš $O(mn) \leq O(n^3)$ operácií. Avšak už Dijkstra (1959) ukazuje nasledujúcu implementáciu:

Nech $V(G) = \{1, 2, \dots, n\}$, $d_i := \min \{c(ij) \mid i \in T\}$ a $t_i \in T$ je taký vrchol, kde $c(t_i, j) = d_i$. Na začiatku strom aj množina T pozostáva z vrcholu 1, $t_1 = 1$ a $d_1 = c(1j)$ pre $j = 2, 3, \dots, n$. Potom vo všeobecnosti, ak hľadáme najlacnejšiu hranu rezu $[T, V_G - T]_G$, stačí nájsť najmenšie d_j ($j \notin T$) (na to stačí $O(n)$ operácií), nech je to d_k , a potom zobrať hranu t_k . Potom bude $T := T \cup \{k\}$

a kladieme : ak $c(k_j) < d_j$, tak $d_j := c(k_j)$ a $t_j := k_j$, (j $\notin T$) : inak d_j a t_j nemenime.
Na toto tiež vystačime s $O(n)$ operáciami. Takto na celý algoritmus ($n - 1$ iterácií) stačí $O(n^2)$ operácií.

Poznamenajme, že pre husté grafy (t. j. ak m je porovnateľné s n^2) ani lepší algoritmus nie je možný, avšak pre riedke grafy (ak $m \ll n^2$) je napr. Kruskalov algoritmus lepší. Ale aj Primov algoritmus možno implementovať na $O(m \log n)$ algoritmus [Kerschbaum a Van Slyk (1972)].

Yao (1975) bol prvý, ktorý dal $O(m \log \log n)$ algoritmus pre najlacnejšiu kostru. V práci [Cheriton a Tarjan (1976)] možno nájsť viaceré jednoduchšie implementácie všeobecného algoritmu takejto zložitosti. V jednom z nich sa vyžaduje vybrať za T vždy taký strom, ktorý má najmenší počet vrcholov.

5.C Najlacnejšia kostra s predpisánym stupňom jedného vrcholu

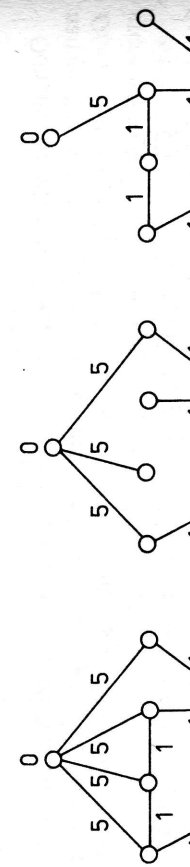
Glover a Klingman (1975) navrhli a riesili nasledujúce rozšírenie úlohy o najlacnejšej kostre.

Problém P(k): Dany je graf G s reálnymi cenami hrán, číslo k a vyznačený jeden vrchol 0. Úlohou je nájsť najlacnejšiu kostru spomedzi kostier, v ktorých má vrchol 0 stupeň k .

Zrejme úlohy, kde žiadame, aby $\deg(0) \leq k$, resp. $\deg(0) \geq k$, sa redukujú na problém P(k).

Takéto požiadavky na kostry vznikajú pri konštruovaní rôznych sietí. Napr. v počítačovej sieti by mal mať ústredný počítač dosť veľký „stupeň“, lebo príliš malo liniek by nesťačilo na prenos informácií.

Obr. 1 ilustruje problém P(3).



Obr. 1. Graf, riešenie problému P(3) a najlacnejšia kostra bez ohrianičení.

Pre malé k (nezávislé od n) možno úlohu riešiť aj prebraním $\binom{n}{k}$ možností pri vŕchole 0 a použitím algoritmov pre najlacnejšiu kostru, avšak ak k nie je pevný, ale napr. $n/2$, tak uvedený spôsob nedáva polynomálny algoritmus. Postup, ktorý uvedieme neskôr, však taký algoritmus dáva v každom prípade. Na zdôvodnenie potrebujeme niekoľko tvrdiení.

Nech T je kostra grafu G a hrana $e' \in G - T$. Potom jedinú cestu v T spájajúcu kraje hrany e' v T označíme symbolom $T(e')$. Nasledujúcu vetu uvádzajú Čulík, Doležal a Fiedler (1967).

Veta 1. Nech T a T' sú kostry grafu G . Potom existuje taká bilekcia φ množiny hrán $E(T) - E(T')$ na množinu $E(T') - E(T)$, že pre každé $e \in E(T) - E(T')$ platí: $T - e + \varphi(e)$ je kostra.

DOKÁZ. Dokážeme existenciu bilekcie $\gamma: E(T) \rightarrow E(T')$ takej, že pre každé $e' \in E(T) \cap E(T')$ je $\gamma(e') = e'$ a pre každé $e' \in E(T') - E(T)$ platí: $T + e' - \gamma(e')$ je kostra. Potom za φ stačí zobrazenie γ^{-1} .

Ak existuje $e' \in E(T) \cap E(T')$, tak mechanickou reštrikciu zobrazenia γ^{-1} vymenáme hrancu e' a vrcholy u a v stotožníme. Úplne rovnako utvorme kostru \hat{T} z T' . Ak položíme $\gamma(e') = e'$ a použijeme indukčný prepredoklad pre dvojicu kostier \hat{T} a \hat{T}' , tak ziskame požadovanú bilekciu γ .

Takto zostáva prípad, keď $E(T) \cap E(T) = \emptyset$. Ak bilekcia γ neexistuje, tak podľa Königovej–Hallovej vety 8.A.2 existuje $A \subseteq E(T)$ tak, že pre obal

$$S := T \left\langle \bigcup_{e \in A} E(T(e')) \right\rangle, \text{ platí:}$$

$$|A| > |E(S)|. \quad (*)$$

Budeme prepredokladať, že množina A je vybraná tak, že $|A|$ je minimálne.

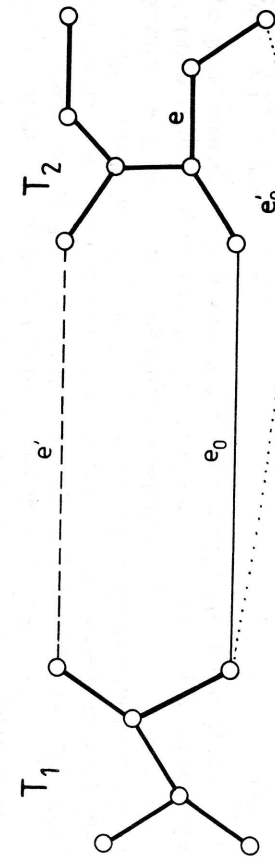
Nech $V(A)$ označuje množinu všetkých krajov hrán z A . Zrejmé $V(A) \subseteq V(S)$, $S \subseteq T$. Graf $T \langle A \rangle \subseteq T'$ je les, a teda $|A| \leq |V(A)| - 1$. Ďalej tvrdíme, že S je strom, lebo inak už pre niektorý jeho komponent možno napišať $(*)$, čo by bolo v spore s minimalitu $|A|$. Taktôž $|E(S)| \geq |V(A)| - 1$, čo spolu s predchádzajúcou nerovnosťou dáva: $|A| \leq |E(S)|$. Tento spor s $(*)$ dokazuje existenciu požadovanej bilekcie γ . ■

Množinu hrán grafu G incidujúcich s vrcholom 0 budeme označovať symbolom E_0 a prvky množiny E_0 opäťme vždy indexom 0 (napr. e_0). Kostra T sa nazýva prípusťná, ak obsahuje práve k hrán z množiny E_0 .

Veta 2. Nech G je graf a T je jeho kostra. Ďalej nech hrany $e_0, e \in T$ a $e'_0, e' \in G - T$. Potom ak aspoň jeden z grafov $T + e' - e$ a $T + e'_0 - e_0$ nie je kostra, tak nasledujúce dve tvrdenia sú ekvivalentné.

- (1) $T + e' - e_0$ a $T + e'_0 - e$ sú kostry.
- (2) $T + e' + e'_0 - e - e_0$ je kostra.

Dôkaz. (1) \Rightarrow (2). Nech T_1 a T_2 sú stromy, z ktorých sa skladá les $T - e_0$. Podľa (1) je $T' := T + e' - e_0$ kostra (pozri obr. 2, kde hrany v T sú vyznačené phýnnymi čiarami a hrany v T_1 a T_2 hrubými čiarami). Bez újmy na všeobecnosti môžeme predpokladať, že $e \in T_2$. Sú dve možnosti. (i) Jeden kraj hrany e'_0 patrí do T_1 a druhý do T_2 (obr. 2). Potom $T + e'_0 - e_0$ je zrejme kostra a podľa predpokladu vety $T + e' - e$ už nie je kostra. Taktôž vidíme, že $e \notin T(e')$, ale podľa (1) $e \in T(e')$. Preto $T' + e'_0 - e$ je kostra. (ii) Oba kraje hrany e'_0 patria do toho istého stromu (kedže $T + e'_0 - e$ je kostra, tak patria do T_2). Teraz hned vidiet, že $T' + e'_0 - e$ je kostra.



Obr. 2. K dôkazu vety 2.

(2) \Rightarrow (1). Nech $S = T + e' + e'_0 - e - e_0$ je kostra. Potom podľa vety 1 existuje bijekcia $\varphi: \{e, e_0\} \rightarrow \{e', e'_0\}$ tak, že každá dvojica $(x, \varphi(x))$ dáva kostru $T + \varphi(x) - x$. Potom podľa predpokladu vety vzniká aspoň jedna z možností: $\varphi(e_0) \neq e'_0$ alebo $\varphi(e) \neq e'$. Teda $\varphi(e) = e'_0$ a $\varphi(e_0) = e'$. ■

Ak je daná kostra T grafu G , tak hrany $e \in T$ a $e' \notin T$ nazývame *zameniteľné*, ak $T - e + e'$ je kostra grafu G : tiež hovoríme, že dvojica (e, e') je zámenná pre T .

Veta 3 (o optimalite). Prípustná kostra T nie je optimálna pre problém $P(k) \Leftrightarrow$ aspoň jedna z nasledujúcich troch podmienok je splnená:

(A) Existuje zámenná dvojica (e, e') pre T tak, že $c(e') < c(e)$, t. j. $T + e' - e$ lacnejšia prípustná kostra.

(B) Existuje zámenná dvojica (e_0, e'_0) pre T tak, že $c(e_0) < c(e'_0)$, t. j. $T + e'_0 - e_0$ je lacnejšia prípustná kostra.

(C) Neplatí (1) ani (2) a existujú hrany $e, e_0 \in T$ a $e', e'_0 \notin T$ tak, že každá z dvojíc (e_0, e') , (e, e'_0) je zámenná pre T , a pritom $c(e') + c(e'_0) < c(e) + c(e_0)$. Ekvivalentne: neplatí (1) ani (2) a $T + e' + e'_0 - e - e_0$ je lacnejšia prípustná kostra.

Dôkaz. (C) \Rightarrow (A). Nech T_1 a T_2 sú stromy, z ktorých sa skladá les $T - e_0$, podľa (1) je $T' := T + e' - e_0$ kostra (pozri obr. 2, kde hrany v T sú vyznačené phýnnymi čiarami a hrany v T_1 a T_2 hrubými čiarami). Bez újmy na všeobecnosti môžeme predpokladať, že $e \in T_2$. Sú dve možnosti. (i) Jeden kraj hrany e'_0 patrí do T_1 a druhý do T_2 (obr. 2). Potom $T + e'_0 - e_0$ je zrejme kostra a podľa predpokladu vety $T + e' - e$ už nie je kostra. Taktôž vidíme, že $e \notin T(e')$, ale podľa (1) $e \in T(e')$. Preto $T' + e'_0 - e$ je kostra. (ii) Oba kraje hrany e'_0 patria do toho istého stromu (kedže $T + e'_0 - e$ je kostra, tak patria do T_2). Teraz hned vidiet, že $T' + e'_0 - e$ je kostra.

(C) \Rightarrow (B). Nech T' je lacnejšia prípustná kostra. Potom podľa vety 1 existuje bijekcia $\varphi: T - T' \rightarrow T' - T$ tak, že každá dvojica $(x, \varphi(x))$ je zámenná pre T . Keďže $\varphi: T - T' \rightarrow T' - T$ tak, že každá dvojica $(x, \varphi(x))$ je zámenná pre T . Keďže vrchol 0 má rovnaký stupeň v T aj v T' , tak tieto dvojice možno rozdeliť do troch skupín: dvojice tvaru (e, e') (ako v (1)), dvojice tvaru (e_0, e'_0) (ako v (2)) a konečne skupina dvojíc tvaru (e_0, e') (ako v (3)), pričom z obuč tvarov je ich rovnaký počet. Ak žiadna z dvojíc 1. skupiny ani žiadna z dvojíc 2. skupiny, nedáva lacnejšiu kostru, tak neplatí ani (1) ani (2). Utkáme, že platí (3). Totiž potom dvojice 3. skupiny dôvajú $\sum [c(e) - c(e'_0) + c(e_0) - c(e')] > 0$ (lebo $c(T) > c(T')$). Preto medzi nimi existuje zámenná dvojica (e, e') a zámenná dvojica (e_0, e') tak, že $c(e) + c(e_0) > c(e') + c(e'_0)$ (stačí zobrať zámennú dvojicu (e, e'_0) , kde je $c(e) - c(e'_0)$ maximálne a dvojicu (e_0, e') maximalizujúcu $c(e_0, e') - c(e')$). ■

Veta 3 dáva zrejme polynomiálny algoritmus, ktorý postupne vylepšuje prípustné riešenie. Taky algoritmus by však bol dosť zložitý. Lepším sa ukazuje nasledujúci „duálny“ prístup.

Veta 4. Nech T je optimálna kostra v probléme $P(k)$. Potom:

(A) (Zväčšovanie stupňa.) Nech existujú hrany $e \in T$, $e'_0 \notin T$ tak, že $T' := T + e'_0 - e$ je kostra. Ak $c(e'_0) - c(e)$ je minimálne, tak T' je optimálna kostra pre problém $P(k+1)$.

(B) (Zmenšovanie stupňa.) Nech existujú hrany $e_0 \in T$, $e' \notin T$ tak, že $T' := T + e' - e_0$ je kostra. Ak $c(e') - c(e_0)$ je minimálne, tak T' je optimálna kostra pre problém $P(k-1)$.

Dôkaz. Pretože dôkazy časti (A) a (B) sú podobné, obmedzíme sa na dôkaz časti (A).

Ukážeme, že T' nespĺňa žiadnu z podmienok (1), (2), (3) z vety 3, a tým dokážeme optimálnu kostru T' .

- (1) Nech $e_1 \in T'$ a $e'_1 \notin T'$ sú zámenné hrany pre T' a $c(e_1) > c(e'_1)$. Kedže T je optimálna kostra, tak tieťo hrany nie sú zámenné pre T . Taktôž získavame kostru $T'':=T'+e'_1-e_1=T+e'_0+e'_1-e-e_1$. Podľa vety 1 potom každá z dvojic hrán (e_1, e'_1) a (e, e'_1) je zámenná pre T (lebo (e_1, e'_1) nemôže byť). Z predpokladu vety je $c(e'_1)-c(e) \leq c(e'_0)-c(e_1)$ a z optimality T pre $P(k)$ máme $c(e'_1) \geq c(e)$. Z týchto nerovností vidieť, že $c(e_1) \geq c(e) \geq c(e'_0)$, a teda (1) neplatí.
- (2) Nech $e_0 \in T'$ a $e''_0 \notin T'$ sú zámenné pre T' a $c(e_0) > c(e''_0)$. Z kostry T získavame $T'':=T'+e''_0-e_0=T+e'_0+e''_0-e-e_0$. Ak $e_0=e'_0$, tak $T''=T+e''_0-e$ a z predpokladu vety je $c(e''_0)-c(e) \geq c(e'_0)-c(e)$. Taktôž $c(e''_0) \geq c(e'_0)=c(e_0)$, a teda (2) neplatí.

Preto nech $e_0 \neq e'_0$, a teda $e_0 \in T$. Kedže $e''_0 \notin T'$, tak aj $e''_0 \notin T$. Z vety 1 vidime, že (e_0, e'_0) a (e, e''_0) sú zámenné dvojice pre $T((e_0, e'_0))$ nie je taká, lebo T je optimálna kostra. Z predpokladu vety je $c(e''_0)-c(e) \geq c(e'_0)-c(e)$ a z optimality T máme $c(e'_0) \geq c(e_0) \geq c(e''_0)$, čo spolu dáva $c(e'_0) \geq c(e_0)$, a teda podmienka (2) ani teraz nie je splnená.

- (3) Nech existujú hrany $e^*_1, e_1 \in T'$ a $e''_0, e'_1 \notin T'$ tak, že $T'':=T'+e''_0+e'_1-e_1$, je kostra, a priom

$$(3a) \quad c(e'_0)+c(e'_1)-c(e_1)<0.$$

Ak $e''_0=e'_1$, alebo $e=e'_1$, tak rovnaké úvahy ako v (1), resp. (2) vedú k sporu.

Preto budeťme predpokladať, že $e''_0 \neq e'_1$, až $e \neq e'_1$. Odtiaľ vyplýva, že $e_1, e''_0 \in T$ a $e'_1 \notin T$. Taktôž budeme uvažovať kostru $T'':=T+e'_0+e''_0+e'_1-e-e_1-e''_0$, kde pridávané hrany nepatria do T , vymenávané patria do T a vsetkých šest hrán je navzájom rôznych. Podľa vety 1 možno z nich utvoriť tri dvojice zámenných hrán pre T . Teoreticky je $6 (=3!)$ možností:

- (I) $(e, e''_0), (e_1, e'_0), (e^*, e'_1)$;
- (II) $(e, e''_0), (e_1, e'_1), (e^*, e'_0)$;
- (III) $(e, e'_0), (e_1, e''_0), (e_0^*, e'_1)$;
- (IV) $(e, e'_0), (e_1, e'_1), (e^*, e'_0)$;
- (V) $(e, e''_0), (e, e'_1), (e^*, e'_0)$;
- (VI) $(e, e'_0), (e, e'_1), (e^*, e''_0)$.

Uvažujme prípad (I). Z predpokladu vety (o vzniku $T' z T$) je

$$(3b) \quad c(e''_0)-c(e) \geq c(e'_0)-c(e).$$

Kedže $T+e'_0-e_1$ a $T+e'_1-e''_0$ sú kostry (2. a 3. dvojica v (1)), tak podľa vety 2 dokážeme, že aj $\hat{T}:=T+e'_0+e'_1-e_1-e''_0$ je kostra. K tomu stačí uvážiť, že

aspoň jeden z grafov $S_1:=T+e'_1-e_1$ a $S_2:=T+e'_0-e''_0$ nie je kostra. To však je pravda, lebo kombinujúc (3a) a (3b) viďme, že

$$(3c) \quad c(e'_1)-c(e_1)+c(e'_0)-c(e''_0)<0.$$

Potom ak by S_1 aj S_2 boli kostry, tak aspoň jedna z nich by bola lacnejšia ako T . Taktôž \hat{T} je prípusťná kostra pre $P(k)$, ale podľa (3c) je lacnejšia ako optimálna kostra T , čo je spor. Tým je prípad (1) vylučený.

Uvažujme prípad (II). Prvá dvojica je taká istá ako v (I) a dáva tú istú nerovnosť (3b). Kombinujúc (3a) a (3b) získame (3c), a preto aspoň jedna z kostier $T+e'_1-e_1$ a $T+e'_0-e''_0$ (druhá a tretia dvojica v (II)) je lacnejšia ako T , čo je nemožné.

Ostatné prípady sa vylučujú podobne. Menovite (III) ako (I) a prípady (IV), (V) a (VI) ako (II). Sumárne potom je vylučený prípad (3). Tým je optimálna kostra T pre problém $P(k+1)$ dokázaná.

Druhá časť vety (časť (B) – optimálna kostry T' pre $P(k-1)$) sa dokazuje analogicky a dôkaz prenechávame čitateľovi (5.Z.4). ■

Následujúca veta hovorí o tom, kedy možno aplikovať vetu 4.

Veta 5. Nech k_1 je počet blokov grafu G obsahujúcich vrchol 0 a nech $k_2=\deg_G(0)$. Ďalej nech T je kostra grafu G a $\deg_T(0)=k$. Potom $k_1 \leq k \leq k_2$ a naviac

- (A) Existujú hrany $e \in T$ a $e'_0 \notin T$ tak, že $T+e'_0-e$ je kostra $\Rightarrow k < k_2$.
- (B) Existujú hrany $e_0 \in T$ a $e' \notin T$ tak, že $T+e'-e_0$ je kostra $\Rightarrow k_1 < k$.

DÔKAZ. Zrejme $k \leq k_2$. Naviac, pre každý blok B má $B \cap T$ stupeň každého vrcholu aspoň 1, teda $k_1 \leq k$.

(A) (⇒) Pretože $T+e'_0-e$ má pri vrchole 0 stupeň $k+1$, tak zrejme $k < k_2$.
 (⇐) Nech hrana $e'_0 \in G-T$, potom $T+e'_0$ obsahuje cyklus dĺžky aspoň 3, a ten obsahuje hrannu e neincidentnú s vrcholom 0. Takže $T+e'_0-e$ je kostra.
 (B) (⇒) $T+e'-e_0$ má pri vrchole 0 stupeň $k-1$, tak podľa uvedeného $k_1 < k$.
 (⇐) Ak $k_1 < k$, tak pre nejaký blok B obsahujúci vrchol 0 platí: $\deg_{B \cap T}(0) \geq 2$. Nech okolie $V_{B \cap T}(0)=\{v_1, v_2, \dots, v_s\}$: potom $s \geq 2$. Tako $(B \cap T)-\{0\}$ má práve s komponentov s vrcholovými množinami V_1, V_2, \dots, V_s . Keďže vrchol 0 nie je artikuláciou v B , tak existuje hrana e' spájajúca nejaký vrchol z V_i s nejakým vrcholom z V_j , kde $i \neq j$. Potom $T+e'$ obsahuje cyklus obsahujúci hrany $0v_i$ a $0v_j$. Taktôž stačí položiť $e_0=0v_j$. ■

Na základe viet 4 a 5 možno postaviť takýto algoritmus pre riešenie problému $P(k)$: (1) Ak $k < k_1$ alebo $k > k_2$, tak $P(k)$ nemá riešenie. (2) Ak $k_1 \leq k \leq k_2$, tak

najdeme najlacnejšiu kostru T (bez ohrazenia na stupeň vrcholu 0) podľa časti 5.B: nech $\deg_T(0) = s$. (2.1) Ak $s < k$, tak aplikujeme vetu 4(A) ($k-s$)-krát a získame optimálnu kostru pre $P(k)$. (2.2) Ak $s > k$, tak zasa ($s-k$)-nasobné použitie vety 4(B) nám dá optimum pre $P(k)$. Podrobnejšiu implementáciu tohto postupu možno nájsť v [Glover, Klingman (1975)]. ●

Na záver poznamenajme, že možno postaviť všeobecnejšiu úlohu: V súvislom grafe G je daných t špeciálnych vrcholov v_1, v_2, \dots, v_t : okrem toho je danych t čísel k_1, k_2, \dots, k_t . Úlohou je nájsť najlacnejšiu kostru grafu G spomedzi koster, v ktorých pre každé $i = 1, 2, \dots, t$ má vrchol v_i stupeň k_i . Práve sme opísali polynomiálny algoritmus pre $t=1$. Avšak už pre $t=2$ zostáva problém otvorený. Žiaľ, ak t nie je pevné, tak problém je NP-tažký, dokonca aj vtedy, ak žiadame len prípustné riešenie (5.Z.5). ●

5.D Kostra s minimálnym pomerom dvoch ohodnotení

Tu sa budeme zaoberať s nasledujúcim problémom, ktorý navrhol a vyriešil Chandrasekaran (1977).

Problém MP: Dany je graf G , kde každá hrana $e \in E(G)$ má dve reálne ohodnotenia a_e, b_e . Úlohou je nájsť kostru T grafu G minimalizujúcu pomer

$$(*) \quad \sum_{e \in T} a_e / \sum_{e \in T} b_e.$$

Ako príklad na aplikáciu uvažujeme nasledujúcu úlohu. Pri konštrukcii elektrického zariadenia treba navrhnuť prepojenie n dánich svoriek do súvislej siete, pričom iné svorky sa už nepoužijú. Pritom za prepojenie dostaneme p korún, vodič spájajúci svorky i a j stojí c_{ij} korún a instalácia trvá t_{ij} časových jednotiek. Predpokladajme, že takýchto zariadení máme vyrábať veľmi mnoho, a preto sa kladie úloha: maximalizovať priemerný zisk za časovú jednotku.

Je zrejmé, že optimálne riešenie (prepojenie) T musí byť kostrou a ak pre $e = ij$ položíme $a_e := c_{ij} - p/(n-1)$, $b_e := t_{ij}$, tak máme uvedený problém MP.

TRANSFORMÁCIA NA PARAMETRICKÚ ÚLOHU O NAJLACNEJŠEJ KOSTRE

Jednoduché modifikácie algoritmov pre najlacnejšiu kostru nevedú k riešeniu problému MP. Ukážeme, že možno použiť známy trik pre transformáciu zlomko-

vej účelovej funkcie na parametrickú. K tomu budeme predpokladať, že pre každú kostru T je $\sum_{e \in T} b_e > 0$. K problému MP a k danému reálnemu číslu k priradíme:

Problém N(k): Treba nájsť najlacnejšiu kostru grafu G , kde cena každej hrany e je $c_e(k) := a_e - kb_e$.

Veta 1. Nech k^* je optimálna hodnota účelovej funkcie $(*)$ v probléme MP a nech $T^*(k)$ je riešením problému $N(k)$. Potom platí:

$$\sum_{e \in T^*(k)} c_e(k) \begin{cases} > 0 & \Leftrightarrow k^* > k, \\ < 0 & \Leftrightarrow k^* < k, \\ = 0 & \Leftrightarrow k^* = k. \end{cases}$$

DOKAZ. Môžeme písat ekvivalencie:

$$\sum_{e \in T^*(k)} c_e(k) > 0$$

$$\Leftrightarrow \sum_{e \in T} c_e(k) > 0, \quad \text{pre každé } T$$

$$\Leftrightarrow \sum_{e \in T} a_e / \sum_{e \in T} b_e > k, \quad \text{pre každé } T$$

$$\Leftrightarrow k^* > k.$$

Tým je prvá ekvivalencia dokázaná. Dokážeme druhú:

$$k^* < k$$

$$\Leftrightarrow \sum_{e \in T} c_e(k) > 0, \quad \text{pre každé } T$$

$$\Leftrightarrow \sum_{e \in T} a_e / \sum_{e \in T} b_e < k, \quad \text{pre každé } T$$

$$\Leftrightarrow \sum_{e \in T^*(k)} c_e(k) < 0.$$

Tretia ekvivalencia vyplýva bezprostredne z prvých dvoch. ■

Bezprostredne máme:

Dôsledok 1(a). Nejaká kostra T je optimálna pre problém MP $\Leftrightarrow T$ je optimálna pre problém $N(k^*)$.

V ďašom ukážeme, že stačí riešiť iba konečne mnogo, ba dokonca iba

polynomiálne mnoho problémov $N(k)$, aby sme našli k^* , a teda podľa dôsledku 1(a) aj riešenie problému MP.

Nech $e, f \in E(G)$. Potom funkcie $a_e - kb_e$ a $a_f - kb_f$ sú alebo identické, alebo jedna je všade väčšia ako druhá, alebo majú jediný priesčenik pri $k(e, f) := (a_e - a_f)/(b_e - b_f)$. Taktô množina $K := \{k(e, f) | e, f \in E(G)\}$ má najviac m^2 takýchto hodnôt k a ľahko ich možno pomocou $O(m^2 \log m)$ operácií usporiadať do postupnosti:

$$-\infty < k_1 < k_2 < \dots < k_r < \infty.$$

Veta 2. Nech I je jeden z otvorených intervalov $(-\infty, k_1), (k_i, k_{i+1})$ pre $1 \leq i < r$, (k_r, ∞) a nech $\hat{k} \in I$. Potom každé riešenie $T^*(\hat{k})$ problému $N(\hat{k})$ je riešením problému $N(k)$ pre každé k z uzáveru intervalu I .

DOKAZ. Podľa vety 5.B.2 ak $T^*(\hat{k})$ nie je optimálnym riešením problému $N(\hat{k})$, tak existujú zámenné hrany $e \in T^*(\hat{k})$ a $f \notin T^*(\hat{k})$ tak, že $c_f(\hat{k}) < c_e(\hat{k})$. Keďže $c_f(\hat{k}) \geq c_e(\hat{k})$, tak alebo $k(e, f) \in [k, \hat{k}] \subset I$. Pretože I neobsahuje žiadne k_r , máme spor. ■

Z nášho predpokladu, že pre každú kostru T je $\Sigma b_e > 0$, vyplýva:

$$L_T(k) := \sum_{e \in T} (a_e - kb_e) > 0, \quad \text{ak } k \rightarrow +\infty;$$

$$L_T(k) < 0, \quad \text{ak } k \rightarrow -\infty.$$

Kedže $L_T(k)$ je spojité funkcia argumentu k , tak pre riešenie problému MP možno dať tento algoritmus: Po nájdení intervalov $I_0 := (-\infty, k_1)$, $I_1 := (k_1, k_2)$, ..., $I_r := (k_r, \infty)$ zvolíme stredný index j (t. j., $j := \lceil r/2 \rceil$) a nejaké $k \in I_j$. Potom nájdeme najlacnejšiu kostru $T^*(k)$ a vypočítame $L_j := L^{T^*(k)}(k_j)$ a $L_{j+1} := L^{T^*(k)}(k_{j+1})$. Ak $L_j L_{j+1} \leq 0$, tak $T^*(k)$ je riešenie problému MP. Ak $L_j > 0$ až $L_{j+1} > 0$, tak zvolíme stredný index v množine $\{j+1, \dots, r\}$ a ak $L_{j+1} < 0$, tak v $\{0, \dots, j\}$ a postup opakujeme. Taktô po vytvorení $O(\log m)$ problémov najlacnejšej kostry zistame požadované riešenie. ● Zložitosť celého postupu je $O(m^2 \log m)$ a je určená zložitosťou triedenia čísel k_i .

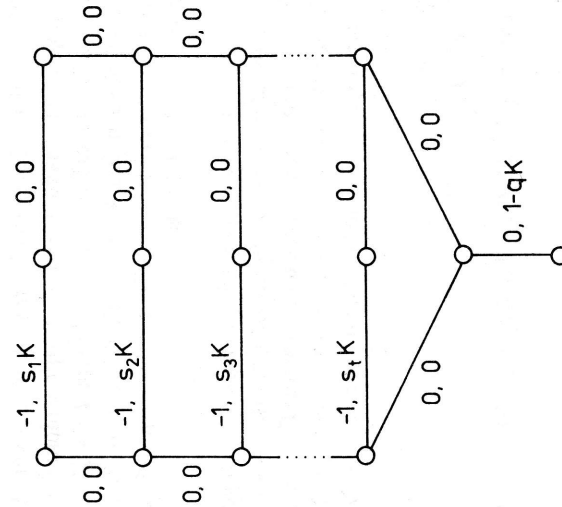
ZLOŽITOSŤ PROBLÉMU PRI L'UBOVOLNÝCH OHODNOTENIACH

Predchádzajúci algoritmus sme odvodili za predpokladu, že pre každú kostru je $\Sigma b_e > 0$. Ak je $\Sigma b_e < 0$, tak stačí zmeniť každé a_e na $-a_e$ a máme prýpravu. Žiaľ, vo všeobecnosti platí:

1(a)

Problém MP je NP-tažký dokonca pre planárne grafy s maximálnym stupňom 3.

DOKAZ. Uvedieme polynomiálnu transformáciu problému rozdelenia multimnožiny prirodzených čísel s_1, s_2, \dots, s_t na dve triedy $\{s_i\}_{i \in I}$ a $\{s_i\}_{i \in II}$, každú so súčtom $q = \sum s_i/2$. Nech $K \geq 2$ a nech G je graf z obr. 1, kde každá hrana e má vyznačené ohodnotenia a_e, b_e . Ľahko sa ukáže, že problém rozdelenia má riešenie práve vtedy, ak optimum v probléme MP nepresahuje $-t/2$. ■



Obr. 1. K dôkazu vety 3.

5.E

Generovanie zoznamu K najlacnejších kostier

Niekedy potrebujeme nájsť najlacnejšiu kostru spomedzi kostier spĺňajúcich dosť komplikované ohraničenia (napr. stupne vrcholov nesmú prekročiť dané číslo a pod.). Viede sa často uchýlime k „preberanju“ kostier. Vsetkých kostier v grafe môže byť aj nepolyynomiale mnho, a preto je vhodné generovať a overovať kostry v smere od najlacnejšej k najdrahšej. To dáva nádej, že nebude treba prebrať všetky kostry, ale len nejakých K najlacnejších.

PRINCÍP ALGORITMU

Tu načrtieme myšlienku jedného prístupu k tejto úlohe podľa práce [Gabow (1977)]. Základom je nasledujúca veta:

Veta 1. Nech G je graf a $IN, OUT \subseteq E(G)$ sú dané množiny hrán. Ďalej nech $S = \{T \mid T \text{ je kostra grafu } G \text{ a } IN \subseteq E(T) \subseteq E(G) - OUT\}$ a nech T_0 je najlacnejšia kostra v S . Potom druhú najlacnejšiu kostru v S stačí hľadať medzi susedmi (susednými kostrami) kostry T_0 .

Dôkaz. Nech T' je druhá najlacnejšia kostra v S . Podľa vety 5.C.1 možno hrany množiny $T_0 - T'$ popáriť s hránami $T' - T_0$ do dvojíc zájemných hrán pre T_0 . Nech sú to $(e_1, f_1), \dots, (e_r, f_r)$. Pre každé $j = 1, \dots, r$ kostra $T_j := T_0 - e_j + f_j$ zrejmé patrí do S . Keďže T_0 je najlacnejšia kostra v S , tak $c(f_j) - c(e_j) \geq 0$. Potom však $c(T_j) \leq c(T_0) + \sum [c(f_j) - c(e_j)] = c(T')$, a teda T_j je tiež druhá najlacnejšia kostra v S a pritom susedná s T_0 . ■

Myslienka algoritmu je takáto: Nech S^1 je množina všetkých koster grafu G . Nájdeme (napr. Kruskalovým algoritmom) najlacnejšiu kostru T_1 v S^1 . Potom nech $IN_1 := OUT_1 := \emptyset$ a druhú najlacnejšiu kostru T_2 hľadáme medzi susedmi kostry T_1 (podľa vety 1, kde $IN := OUT := \emptyset$). Nech $T_2 = T_1 - e_1^1 + f_1^1$. Potom S^1 rozdelime na dve disjunktné množiny (sleduj obr. 1, kde vždy množina S_i^1 má minimálny prvok T_i)

$$\begin{aligned} S_1^2 &:= \{T \mid T \in S_1^1, e_1^1 \in T\}, \\ S_2^2 &:= \{T \mid T \in S_1^1, e_1^1 \notin T\}. \end{aligned}$$

Ak položime $IN_2 := \{e_1^1\}$, $OUT_2 := \emptyset$ a $IN_2^2 := \emptyset$, $OUT_2^2 := \{e_1^1\}$, tak môžeme písat

$$S_1^2 = \{T \mid T \text{ je kostrou v } G \text{ a } IN_2^2 \subseteq E(T) \subseteq E(G) - OUT_2^2\},$$

$$S_2^2 = \{T \mid T \text{ je kostrou v } G \text{ a } IN_2^2 \subseteq E(T) \subseteq E(G) - OUT_2^2\}.$$

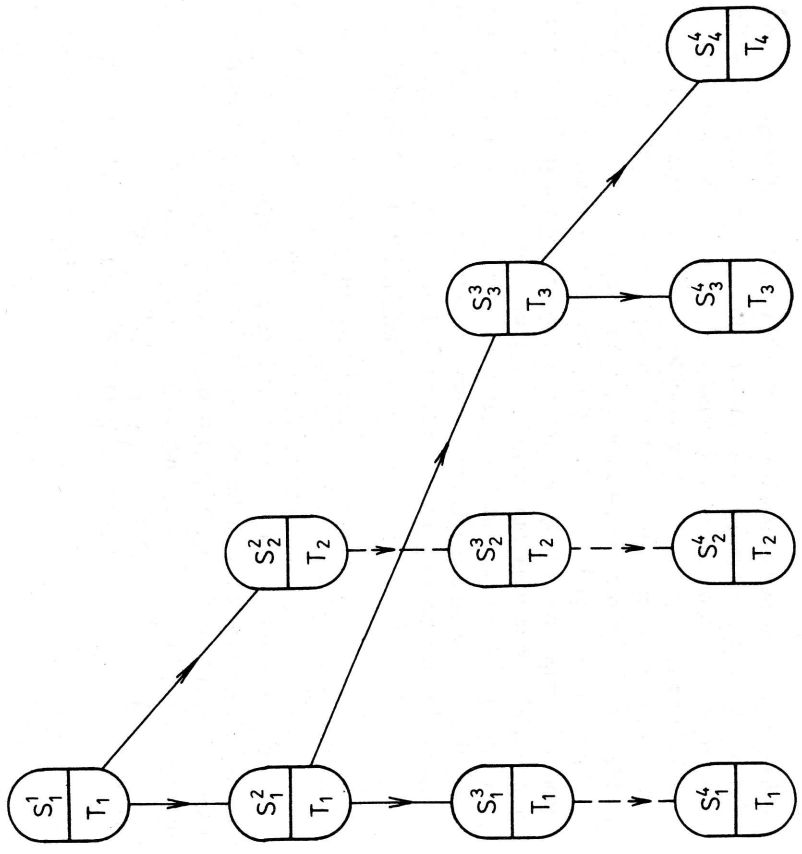
Vidíme, že $T_1 \in S_1^2$, $T_2 \in S_2^2$. Taktôž na základe vety 1 stačí hľadať druhú najlacnejšiu kostru v S_1^2 medzi susedmi koster T_1 a tiež druhú najlacnejšiu kostru v S_2^2 medzi susedmi koster T_2 . Lacnejšia z nich je zrejmé tretia najlacnejšia kostra T_3 grafu G .

Ak napr. $T_3 \in S_1^2$ (ako na obr. 1) a $T_3 = T_1 - e_1^2 + f_1^2$, tak potom rozdelime množinu S_1^2 na dve: množinu

$$S_1^3 := \{T \mid T \in S_1^2 \text{ a } e_1^2 \in T\} \text{ obsahujúcnu } T_1 \text{ a množinu}$$

$$S_2^3 := \{T \mid T \in S_1^2 \text{ a } e_1^2 \notin T\} \text{ obsahujúcnu } T_3.$$

Okrem toho kladieme $S_2^3 := S_2^2$ (túto množinu sme „zdedili“).



Obr. 1. Rozkladanie množiny koster.

Nech máme vo všeobecnosti množinu všetkých koster grafu G takto rozdelenú na množiny S'_1, S'_2, \dots, S'_k , kde

$$(*) \quad S'_i = \{T \mid T \text{ je kostrou grafu } G \text{ a } IN_i \subseteq E(T) \subseteq E(G) - OUT_i\}.$$

T_i je najlacnejšou kostrou v S'_i a i -tou najlacnejšou kostrou grafu G ($i = 1, \dots, j$). Potom v každej množine S'_i môžeme nájsť druhú najlacnejšiu kostru (podľa vety 1 stačí hľadať medzi susedmi koster T_i) a najlacnejšiu z nich označiť T_{j+1} a prehlásiť za $(j+1)$ -ú najlacnejšiu kostru grafu G . Nech $T_{j+1} \in S'_k$ a $T_{j+1} = T_k - e_k^j + f_k^j$. Potom množinu S'_k rozdelíme na dve:

$$\begin{aligned} S_k^{i+1} &:= \{T \mid T \in S'_k, e_k^i \in T\}, \\ S_{j+1}^{i+1} &:= \{T \mid T \in S'_k, e_k^i \notin T\}. \end{aligned}$$

Ak definujeme $IN_k^{i+1} := IN_k \cup \{e_k^i\}$, $OUT_k^{i+1} := OUT_k$

a $IN_{j+1}^{i+1} := IN_j$, $OUT_{j+1}^{i+1} := OUT_k \cup \{e_k^i\}$,

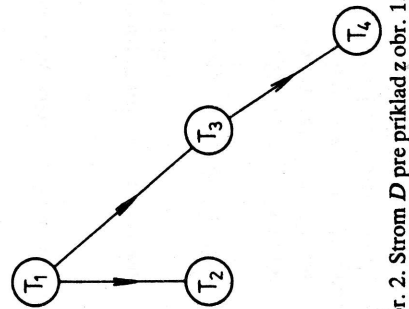
tak S_k^{i+1} a S_{j+1}^{i+1} budú mať tvar (*). Tiež vidime, že $T_k \in S_k^{i+1}$ a $T_{i+1} \in S_{i+1}^{i+1}$. Množiny S_i^{i+1} ($i = 1, \dots, j; j \neq k$) a s nimi aj príslušné IN a OUT , zdedíme“ ($S_j^{i+1} := S_j$). Tým máme urobený požadovaný rozklad všetkých kostier do $(j+1)$ -ej úrovne a najdených $j+1$ najlacnejších kostier. (Priklad takého rozkladania až do štvrtej úrovne je na obr. 1 v tvare stromu rozkladu.) ●

Tým je daný princíp algoritmu a jeho zdôvodnenie.

POZNÁMKY K IMPLEMENTÁCIÍ

Pri počítaní je vhodné mať pri každom S_i^i ešte číslo t_i^i udávajúce cenu druhej najlacnejšej kostry v S_i^i a príslušné hrany e_i^i a f_i^i . Explicitne nepoznáme množiny S_b^i , ale iba istú informáciu o nich (to nám stačí), a menovite: $t_b^i, e_b^i, f_b^i, T_i, IN_b^i, OUT_b^i$ (ale budeme hovoriť o S_b^i). Množiny S_b^i udrižiavame usporiadane (v prioritnom fronte) podľa veľkosti čísel t_b^i . Tako rozkladáme vždy prvé množinu $S_{i_0}^i$, vynecháme ju a dve vzniknuté množiny S_k^{i+1} a S_{j+1}^{i+1} posúvame podľa čísel t_k^{i+1} a t_{j+1}^{i+1} , čím ziskame nové usporiadanie. Toto vsúvanie možno urobiť v čase $O(\log K)$ (metódou bisekcie), a teda v čase $O(m)$, lebo kostier nie je viac ako 2^m .

Uvedené zakódovanie množín S_i^i je však dosť objemné – výzaduje priestor veľkosti rádove m , a teda celkove mK , čo je nepríjemné. Toto však možno zredukovať takto: Definujme orientovaný strom D takto: Vrcholmi sú kostry T_i (doteraz nájdené) a šip z T_i do T_j existuje práve vtedy, ak kostra T_j vznikla z T_i



Obr. 2. Strom D pre prievod z obr. 1.

výmenou jednej hrany (nech $T_j = T_i - e_j + f_j$). Budeme predpokladať, že všetci synovia (nasledovníci) T_j toho istého vrcholu sú na diagrame stromu D usporiadani tak, že j narastá zľava doprava. Priklad stromu pre obr. 1 je na obr. 2. Predpokladajme, že máme doteraz nájdené kostry T_1, T_2, \dots, T_p , takže poznáme príslušný strom D . Potom objemnú informáciu o S_i^i (t. j. T_i, IN_i^i, OUT_i^i) získame takto:

Nech P je $T_1 - T_i$ cesta v D . Uvažujme množiny:

$$O_1 := \{e_j \mid T_j \text{ leží na } P \text{ a } j > 1\},$$

$$O_2 := \{f_j \mid T_j \text{ leží na } P \text{ a } j > 1\},$$

$$T := (T_1 \cup O_2) - O_1,$$

$$I_1 := \{e_j \mid T_j \text{ je „lavý brat“ nejakého } T_q \text{ z } P\},$$

$$I_2 := \{e_j \mid T_j \text{ je synom kostri } T_i\}.$$

Potom možno ukázať, že $T_i = T - T_i$, $IN_i^i = I_1 \cup I_2$, $OUT_i^i = O_1$. (5Z.8) Takto vystačíme s priestorom $O(1)$ na každé S_i^i a sumárne stačí priestor $O(K+m)$ na celý algoritmus (kostry T_1, T_2, \dots , postupne dávame na výstup).

Na využenie informácie o S_i^i stačí $O(m)$ operácií.

Zložitá úloha v algoritme je hľadať najlacnejšiu susednú kostru. Vyhodné je na začiatku usporiadať hrany grafu G od najlacnejšej po najdražšiu do postupnosti h_1, h_2, \dots, h_m (v čase $O(m \log m)$). Potom sa dobre hľadajú dvojice zámmenných hrán (g, h) pre danú kostru T takto:
Ak $h_1 \in G - T - OUT$, nájdeme všetky vhodné hrany $g_1 \in T - IN$ a nazveme ich potom nevhodnými. Prejdeme na h_2 atď. Takto (g_1, h_1) je najlepšia dvojica pre g_1 , lebo h_1 je najlacnejšia hrana. Podobne (g_2, h_2) je najlepšia dvojica pre každé g_2 (lebo s h_2 sú výmeniteľné už nájdené hrany g_1 , ktoré sú pri hľadaní g_2 využili). Tako prejdeme všetky hrany h_i a nájdeme požadovanú najlepšiu dvojicu (g, h) .

Gabow (1977) dáva podrobnejšiu implementáciu celého algoritmu a ukazuje, že vystačíme s časom $O(Km \log m)$ (ba ešte trochu lepším). Tiež uvádzá modifikáciu poskytujúcu všetky kostry grafu (nech je ich N) od najlacnejšej po najdrahšiu v čase $O(Nm)$ a v priestore $O(N+m)$.

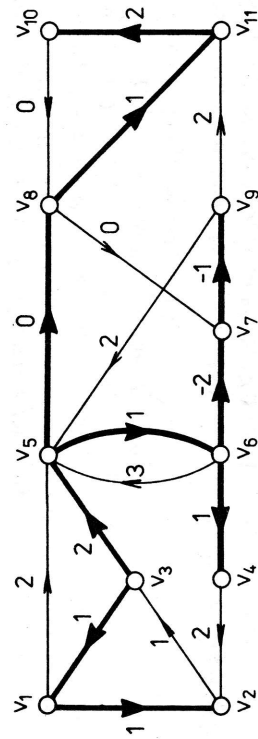
5.F

Najlacnejšia zdrojová kostra grafu

K úlohe o najlacnejšej kostre v grafe možno „prirodzené“ priradiť viac úloh v diigate. Jednu z nich je nasledujúca.

Daný je digraf G a každej jeho hrane e je priradené reálne číslo (cena) $c(e)$. Úlohou je nájsť najlacnejšiu zdrojovú kostru digrafu G .

Pripomíname, že v úlohe nie je predpísaný vrchol, ktorý má byť zdrojom (vrchol, z ktorého je každý iný dosiahnuteľný). Viaceré modifikácie tejto úlohy možno prevest na ňu (pozri cvičenia). Hned vidieť, že úloha najlacnejšej kostry v grafe je špeciálnym prípadom (rebro nahrádime dvojicou protišípov). Na obr. 1 je priklad digrafu a v ňom hrubými čiarami je vyznačená jedna najlacnejšia zdrojová kostra T ($c(T) = 6$ a zdrojom je v_3).



Obr. 1. Najlacnejšia zdrojová kostra (hrubé čiary).

Ako prvú túto úlohu formulovali a vysvetlili Chu a Liu (1965). Nezávisle túto, resp. nepodstatne zmenenú úlohu vytvorili Edmonds (1967) a Bock (1971). Všetky tri algoritmy sú takmer rovnaké, avšak Chu a Liu dávajú zdôvodnenie teóriou grafu, zatiaľ čo dôkazy Edmondsa a Bocka sa opierajú o teóriu lineárneho programovania. Karp (1971) dáva grafový dôkaz Edmondsovo algoritmu.

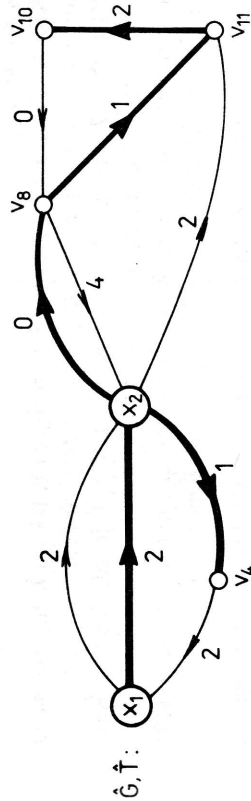
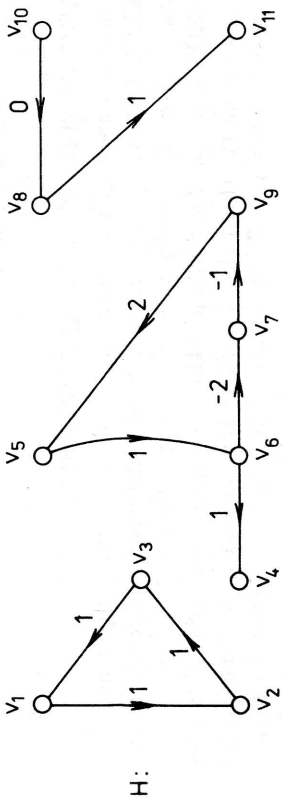
Medzi aplikácie patrí napr. návrh siete zberných kanálov. Kanály sú jednosmerne (vedene dolu svahom) a z veľkého množstva treba vybrať niekoľko tvoriacich siet so stokom (tu ide o najlacnejšiu stokovú kostru). Edmonds dáva úlohu dopravenia najvieryhodnejšej informácie (v súčte) od riadiťa (veľiteľa) až k jednotlivým pracovníkom (vojakom a pod.). (Tu ide o najlacnejšiu zdrojovú kostru s predpísaným zdrojom.)

Algoritmus

Následujúci algoritmus sa v základe zhoduje s postupom, ktorý predložili Chu a Liu. Ide o intuitívne pritodený rekurentný postup, ktorého detaily budú však zrejmé až pri dôkaze.

KROK 1 (vyber najlacnejších prichádzajúcich šípov):

- 1.1: Pre každý vrchol $u \in V_G$ vyberieme jednu najlacnejšiu prichádzajúcu hranu (ak existuje). Tým sme vybrali nejakú množinu hrán Q s $|Q| \leq n$.



Obr. 2. Ilustrácia algoritmu na digrafe z obr. 1.

a hrán ako má G , a preto môžeme predpokladať, že v ňom vieme nájsť najlacnejšiu zdrojovú kostru \hat{T} (ak existuje).

2.2: Ak \hat{G} nemá zdrojovú kostru, tak ju nemá ani G a STOP.

KROK 3 (roziahnutie kostry \hat{T}): Pri návrate od \hat{G} ku G roziahneme kostru \hat{T} a získame kostru T digrafu G takto:

3.1: Každý vrchol x_i , ktorý vznikol kontrakciou cyklu Z_t , nahradíme:
(i) Ak x_i je zdrojom v \hat{T} , tak namiesto x_i dáme cestu $Z_t - e_i^{\max}$, kde e_i^{\max} je nejaká najdrahšia hrana cyklu Z_t .

(ii) Nech x_i nie je zdrojom v \hat{T} , nech y_r je (jediný) šíp v \hat{T} prichádzajúci do x_i a nech šíp yx , vznikol pri kontrakcii zo šípa e_w . Nech e'_w je šíp cyklu Z_t prichádzajúci do vrcholu w . Potom namiesto x_i dáme cestu $Z_t - e'_w$.

3.2: Každý šíp kostry \hat{T} nahradíme šípom digrafa G , z ktorého pri kontrakcii vznikol.

STOP: T je najlacnejšou zdrojovou kostrou digrafu G . ●

Na obr. 2 ilustrujeme uvedený algoritmus pre digraf z obr. 1. Výsledkom je kostra T vyznačená na obr. 1.

DÔKAZ SPRÁVNOSTI ALGORITMU

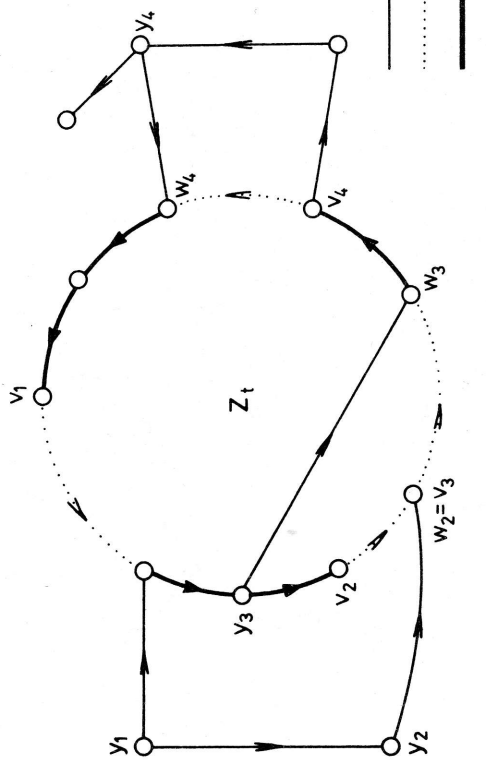
Postupne komentujeme a dokazujeme jednotlivé závery algoritmu.
(KROK 1.2) Ak $|Q| < n - 1$, teda digraf G má aspoň dva vrcholy s prichádzajúcimi stupňami 0, a teda nemôže mať zdrojovú kostru.

(KROK 1.3) Ak H neobsahuje cyklus, tak ani polocyklus (do každého vrcholu prichádza nanajvýš jeden šíp), a teda je kostrou, kde práve jeden vrchol má prichádzajúci stupeň 0. Z vyberu šípov hned vidiť, že lubovoľná najlacnejšia zdrojová kostra S má cenu $c(S) \geq c(H)$. (Ak možno, tak pridáme ku zdroju kostry S najlacnejší prichádzajúci šíp f . Zrejmé $c(S + f) \geq c(Q)$, a teda aj $c(S) \geq c(H)$.)

(KROK 2.2) Ak G má kostru S so zdrojom z , a teda \hat{G} má zdrojovú kostru. (KROK 3) Je zrejmé, že utvorený digraf T z \hat{T} je zdrojovou kostrou v G . Zostáva dokázať optimálnitu kostry T .

Nech spomedzi najlacnejších zdrojových kostier v G je kostra A_0 taká, ktorá má najviac hrán v $Z_1 \cup Z_2 \cup \dots \cup Z_r$. Najprv dokážeme:

(*) Z každého cyklu Z_t kostra A_0 obsahuje všetky hrany okrem jednej.



Obr. 3. Priklad kostry A_0 a cyklu Z_t .

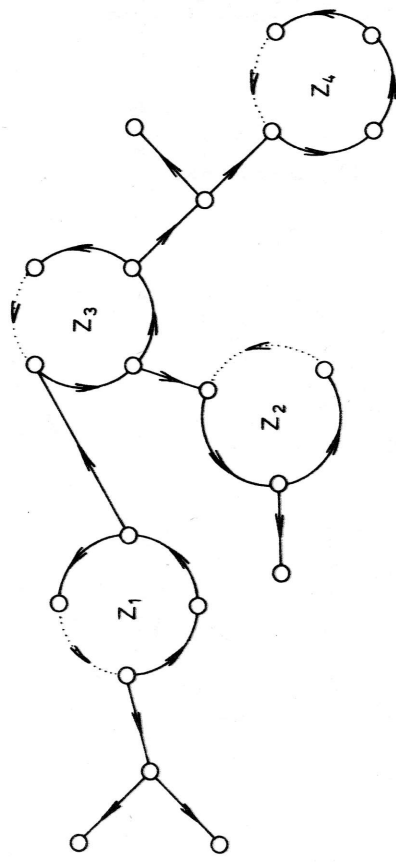
Nech v_1w_1, \dots, v_rw_r sú všetky šípy cyklu Z_t v smere jeho obiehania, ktoré nepatria do A_0 ($w_i = v_{i+1}$ je možné). Obr. 3 ilustruje takúto situáciu. Pre spor predpokladajme, že $r \geq 2$. Uvažujme šíp $v_jw_i \in Z_t$. Máme dve možnosti, ktoré postupne rozoberieme.

(1) V A_0 neexistuje $w_i \rightarrow v_i$ sled pre nejaké i . Potom w_i nie je zdrojom v A_0 a jediný šíp $y_jw_i \in A_0$ možno nahradí šípom v_jw_i , čím získame kostru $A_1 := A_0 - y_jw_i + v_jw_i$, ktorá je zdrojová (lebo platí (1)) a najlacnejšia, lebo v_jw_i bola vybraná v kroku 1 ako najlacnejšia prichádzajúca hrana do w_i . Ale A_1 má viac hrán v $Z_1 \cup \dots \cup Z_s$ ako A_0 , čo je spor s vložbou A_0 .

(2) Pre každé $i = 1, 2, \dots, r$ existuje v A_0 $w_{i-1} \rightarrow v_i$ úsek zo vrcholu v v A_0 prichádzra nanajvýš jeden šíp, tak Q_i obsahuje $w_{i-1} \rightarrow v_i$ sled P_i . Potom $P_i P_{i-1} \dots P_1 \cap A_0$ (kldieme $w_0 := w_r$), a teda v A_0 existuje $w_i \rightarrow w_{i-1} \rightarrow \dots \rightarrow w_1$ sled Q . Protože do každého acylického digrafa \hat{T} sa vložiť možno maximálne $n-1$ nových hrán, ak Q má $n-1$ nových hrán, tak Q je optimálna.

Keďže v oboch prípadoch sme pršli do sporu s predpokladmi, tak tvrdenie (*) je dokázané. Tento vzťah kostry A_0 a cyklov Z_1, \dots, Z_r je ilustrovaný na obr. 4 (zdroj v A_0 môže, ale nemusí ležať v cykle).

Teraz dokážeme optimálnitu kostry T . Pri kontrakkii cyklov sa G zmení na \hat{G} a kostra A_0 sa podľa (*) zmení na nejakú zdrojovú kostru \hat{A}_0 pre \hat{G} . Podľa predpokladu o \hat{T} je $c(\hat{T}) \leq c(\hat{A}_0)$.

Obr. 4. Vzťah kostry A_0 a cyklov Z_1, \dots, Z_4 .

Vzťah kostry T a cyklov Z_1, \dots, Z_4 je podobný ako pri A_0 (pozri obr. 4), lebo T sme tak konštruuvali v kroku 3. Preto v T prichádza do každého cyklu Z_j jedna alebo žiadna hrana : nech je to e_i ($i \in S := \{1, 2, \dots, s\}$). Dalej, nech e'_i označuje hrano cyklu Z_j prichádzajúcu do toho istého vrcholu ako hrana e_i : ak e_i neexistuje (také t môže byť nanajvýš jedno), tak kladieme : $e'_i := e_i^{\max}$, čo je najdrahšia hrana v Z_j a $c(e'_i) := 0$.

Nech pri prechode od G ku \hat{G} prejde hrana e_i na hranu \hat{e}_i . Vieme, že $c(\hat{e}_i) = c(e_i) - c(e'_i) + c(e_i^{\max})$ (podľa kroku 2). Kostra T obsahuje teda hrany e_i ($i \in S$) a niejaké ďalšie hrany $e_j \notin Z_1 \cup \dots \cup Z_4$ pre $i \in I - S$, kde I je vhodná množina indexov. Pre kostru A_0 analogicky definujeme hrany $f_i, f'_i, f_i^{\max} := e_i^{\max}$ pre $i \in S$ a f_j pre $j \in J - S$. Potom vzťah $c(T) \leq c(A_0)$ môžeme písť takto:

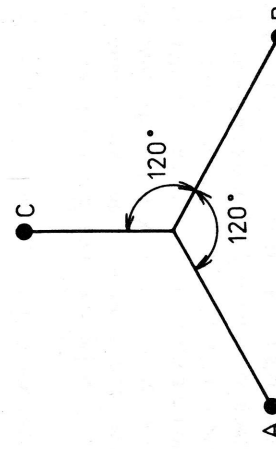
$$\sum_{i \in I} c(\hat{e}_i) \leq \sum_{j \in J} c(f_j), \text{ t. j.}$$

$$\sum_{i \in S} [c(e_i) - c(e'_i) + c(e_i^{\max})] + \sum_{i \in I - S} c(e_i) \leq \sum_{j \in S} [c(f_j) - c(f'_j) + c(f_j^{\max})] + \sum_{j \in J - S} c(f_j).$$

Ak ku každej strane pripočítame výraz

$$\sum_{i \in S} [c(Z_i) - c(e_i^{\max})],$$

získame :



Obr. 1. Steinerov problém v rovine a jeho riešenie.

5.G Najlacnejší steinerovský strom

Začiatkom 19. storočia J. Steiner postavil a vyriešil nasledujúci problém: Pre dané 3 body A, B, C v rovine treba nájsť spojovaciu sieť najkratšej možnej celkovej dĺžky (pozri obr. 1). Zvšeobecnenie tohto problému pre viac bodov študoval Jarník a Kôssler (1934) a teraz je známy ako Steinerov problém v rovine (resp. všeobecnejšie: v n -rozmernom euklidovskom priestore). Každá optimálna spojovacia sieť má tvar „stromu“, a preto sa často hovorí o steinerovskom strome.

Iná verzia tohto problému je známa pod názvom rektilineárny Steinerov problém. Ide o úlohu v rovine, kde môžeme používať iba horizontálne a vertikálne čiary a navrhlo ju Hanan (1966) v súvislosti s elektronickými súčasťami (tláčením obvodov).

„Najdiskrétniejsiu“ verziu, Steinerov problém v grafoch, ktorému sa tu

$$\sum_{i \in S} [c(e_i) + c(Z_i) - c(e'_i)] + \sum_{i \in I - S} c(e_i) \leq \sum_{j \in S} [c(f_j) + c(f'_j) - c(f'_j)] + \sum_{j \in J - S} c(f_j),$$

t. j. $c(T) \leq c(A_0)$, čo sme chceli dokázať. ■

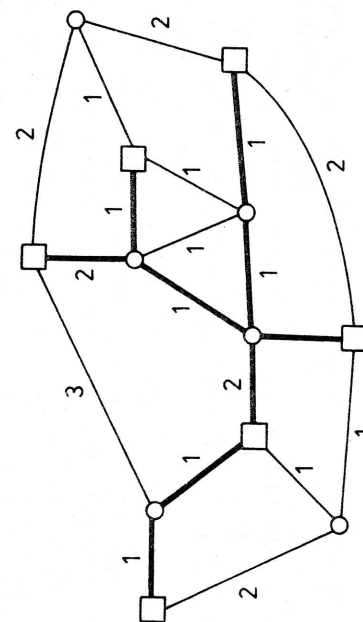
Na prechod od G ku \hat{G} nám stačí $O(m + n)$ operácií a tak isto je to pri prechode od \hat{G} ku G . Takýto prechodov môže byť nanajvýš $n - 1$ ($n(\hat{G}) \leq n(G) - 1$), a teda celý algoritmus má zložitosť nanajvýš $O(mn + n^2)$. Tarjan (1977) dáva implementácie pracujúce v časoch $O(m \log n)$, resp. $O(n^2)$.

budeme venovať, sfornulovali Hakimi (1971) a nezávisle Dreyfus a Wagner (1971): Daný je súvislý graf G , kde každá hrana $e \in E(G)$ má kladné ohodnotenie (cenu) $c(e)$: pre danú množinu $B \subseteq V(G)$, tzv. základných vrcholov, treba nájsť najlacnejší strom $T \subseteq G$ obsahujúci B .

Lubovoľný súvislý podgraf $H \subseteq G$ obsahujúci B nazývame **steinerovský podgraf**: špeciálne, ak H je strom, tak sa nazýva **steinerovský strom**. Je zrejmé, že v Steinerovom problémе môžeme namiešať stromu S žadať najlacnejší steinerovský podgraf, lebo vždy bude riešením strom.

Tento problém je problémom najlacnejšej kostry, ak $B = V(G)$ a problémom najkratšej cesty, ak $|B| = 2$. Zrejme tento problém lepšie vystihuje úlohy navrhovania optimálnych spojovacích sietí ako problém najlacnejšej kostry (pozri 5.B). Na obr. 2 je príklad, kde sú štvorčekmi vyznačené základné vrcholy a najlacnejší steinerovský strom je vyznačený hrubými čiarami.

Steinerovský strom môže okrem základných vrcholov obsahovať aj iné, tzv. **steinerovské vrcholy** (porovnaj obr. 2, kde sú štyri také vrcholy).



Obr. 2. Najlacnejší steinerovský strom (hrubé čiary).

Je zrejmé, že ak v nejakom cykle Z grafu pre nejakú hranu $ij = e \in Z$ platí: $c(e) > c(Z - e)$, tak hranu e nikdy nepoužijeme v optimálnom steinerovskom strome, a teda ju môžeme vyniechať. Iná možnosť je, že vypočítame vzdialenosť $d_G(i, j)$, pričom dĺžka hrán kladieme rovné ich cenám a potom definujeme novú cenu $c'(e) := d_G(i, j)$. Taktto môžeme aj doplniť graf na kompletnej (cena novej hrany bude rovná vzdialenosť jej kraju). Týmto možno zabezpečiť, že ohodnotenia tvoria metriku. Potom každému steinerovskému stromu v takomto kompletom grafe možno ľahko priradiť steinerovský strom rovnakej ceny (pre tie isté základné vrcholy) v pôvodnom grafe.

Strenerov problem v euklidovskom priestore.

Veta 1. Nech ohodnotenia v kompletom grafe K_n tvoria metriku a nech p je počet základných vrcholov. Potom pre počet s steinerovských vrcholov v najlacnejšom steinerovskom strome T platí: $s \leq p - 2$. ■

Dôkaz. Strom T má $p + s$ vrcholov, a teda $p + s - 1$ hrán. Každý základný vrchol má stupeň aspoň 1 a každý steinerovský vrchol aspoň 3 (z predpokladu metrického ohodnotenia), takže súčet stupňov v strome T je aspoň $p + 3s$. Tako $2(p + s - 1) \geq p + 3s$ odkiaľ máme požadovanú nerovnosť. ■

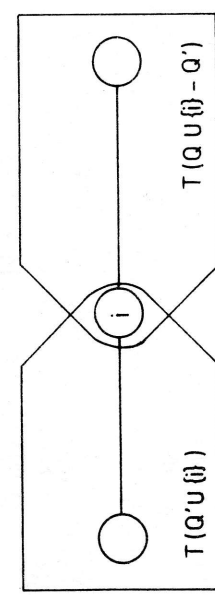
Poznamenajme, že veta 1 naznačuje takýto postup pre nájdenie najlacnejšieho steinerovského stromu: Pre každé $j = 0, 1, \dots, p - 2$ a každú podmnožinu $M \subseteq V(G) - B$ možnosť j najst v indukovanom podgrafe $G(B \cup M)$ najlacnejšiu kostru. Potom najlacnejšia zo všetkých takýchto kostrí bude najlacnejším steinerovským stromom. Takýto postup však možno odporučiť iba vtedy, ak $|V(G) - B|$ je malé číslo.

DREYFUSOVÁ A WAGNEROVÁ METÓDA

Dreyfus a Wagner (1971) predložili trochu nádejnejši (hoci tiež nepolynomický) algoritmus, ktorý možno odporučiť pre malé hodnoty $p := |B|$. Ak $Q \subseteq B$ a $i \in V(G)$, tak $c(Q \cup \{i\})$ bude označovať cenu najlacnejšieho steinerovského stromu $T(Q \cup \{i\})$ pre (množinu základných vrcholov) $Q \cup \{i\}$ a $c_i(Q)$ cenu najlacnejšieho stromu $T_i(Q)$ spomedzi steinerovských stromov pre $Q \cup \{i\}$, ktoré majú vrchol i nekoncový.

Nech $i \notin Q$. Optimálny steinerovský strom pre $Q \cup \{i\}$ s nekoncovým vrcholom i možno rozložiť na dva optimálne steinerovské stromy: jeden pre $Q' \cup \{i\}$ a druhý pre $Q \cup \{i\} - Q'$, kde Q' je vhodná množina s $\emptyset \subset Q' \subset Q \cup \{i\}$, takže

$$(*) \quad c_i(Q) = \min_{\emptyset \subseteq Q' \subseteq Q} \{c(Q' \cup \{i\}) + c(Q \cup \{i\} - Q')\}.$$



Obr. 3. Rozkľad steinerovského stromu $T(Q)$.

Pre získanie vzťahu pre $c(Q \cup \{i\})$ predpokladajme, že G je kompletnej graf s metrickým ohodnotením. Potom pre optimálny steinerovský strom $T(Q \cup \{i\})$ máme tri možnosti:

- (1) Vrchol i je nekoncový. Potom $c(Q \cup \{i\}) = c_i(Q)$.
- (2) Vrchol i je koncový a jeho jediný sused $j \notin Q$. Potom vrchol j je steinerovský vrchol v $T(Q \cup \{i\})$, takže (z predpokladu metrického ohodnotenia) má stupeň aspoň 3. Tako $T(Q \cup \{i\})$ možno rozložiť na hranu ij a strom $T(Q \cup \{j\})$, v ktorom j má stupeň aspoň 2. Preto $c(Q \cup \{i\}) = c_{ij} + c_j(Q)$.
- (3) Vrchol i je koncový a jeho sused (v strome) $j \in Q$. Potom $c(Q \cup \{i\}) = c_{ij} + c(Q)$.

Sumarizujúc tieto tri prípady, môžeme písat:

$$(**) \quad c(Q \cup \{i\}) = \min \begin{cases} \min_{j \notin Q} \{c_{ij} + c_j(Q)\}, \\ \min_{j \in Q} \{c_{ij} + c(Q)\}. \end{cases}$$

Poznamenajme, že predchádzajúci vzorec zahŕňa aj prípad (1) ($c_{ij} = 0, j = i \notin Q$).

Ak položíme $c(U) = 0$, pre $|U| = 1$, tak rekurentné vzťahy (*) a (**) umožňujú vypočítat postupne až $c(B)$ a samozrejme súčasne nájsť aj optimálny strom. Avšak exponenciálny počet operácií nedovoluje realizovať výpočet pre väčšie $|B|$. ●

ZLOŽITOSŤ PROBLÉMU

Steinerov problém v grafoch patrí medzi ťažké problémy, ako dokázal Karp (1972).

Veta 2. Steinerov problém v grafoch je NP-ťažký dokonca pre bipartitné neohodenotné grafy (všetky $c(e) = 1$).

DOKAŽ. Uvedieme polynomiálnu transformáciu problému vrcholového pokrycia hrán grafu na nás problem. Najprv do každej hrany e_i daného grafu G vsunieme nový vrchol u_i ($i = 1, \dots, m$). Potom pridáme nový vrchol w , ktorý spojme s každým pôvodným vrcholom $v_i \in V(G)$. Vzniknutý graf \hat{G} je zrejme bipartitný. Ďalej nech $B = \{w, u_1, \dots, u_m\}$ je množina základných vrcholov v \hat{G} (pozri obr. 4). Tvrdime, že hrany grafu G možno pokrýť s k vrcholmi práve vtedy, ak v \hat{G} existuje steinerovský strom ceny $m + k$.

K pokryvajúcim vrcholom zosirojme steinerovský strom ako na obr. 4. To možno aj obrátiť, ak každý vrchol u_j , $u_j v_q$ má v strome stupň 1. To však možno zariadiť: ak obe hrany $v_p u_j$, $u_j v_q$ patria do stromu, tak jednu z nich vymenčame a pridáme alebo hranu wv_p alebo wv_q tak, aby sme získali strom. ■

Pre získanie vzťahu pre $c(Q \cup \{i\})$ predpokladajme, že G je kompletnej graf s metrickým ohodnotením. Potom pre optimálny steinerovský strom $T(Q \cup \{i\})$

- (1) Vrchol i je nekoncový. Potom $c(Q \cup \{i\}) = c_i(Q)$.
- (2) Vrchol i je koncový a jeho jediný sused $j \notin Q$. Potom vrchol j je steinerovský vrchol v $T(Q \cup \{i\})$, takže (z predpokladu metrického ohodnotenia) má stupeň aspoň 3. Tako $T(Q \cup \{i\})$ možno rozložiť na hranu ij a strom $T(Q \cup \{j\})$, v ktorom j má stupeň aspoň 2. Preto $c(Q \cup \{i\}) = c_{ij} + c_j(Q)$.
- (3) Vrchol i je koncový a jeho sused (v strome) $j \in Q$. Potom $c(Q \cup \{i\}) = c_{ij} + c(Q)$.

Obr. 4. K dôkazu very 1.

V 5.Z.15 čitateľ uvidí, že problém zostáva NP-ťažký dokonca pre planárne gráfy. Tam sa v skutočnosti ukáže NP-obtažnosť rektilineárneho problému [Garey, Johnson (1977)]. Dôkaz pre problém v rovine pozri v [Garey, Graham, Johnson (1977)].

APROXIMÁCIA POMOCOU KOSTRY

Hoci problém najlacnejšieho steinerovského stromu je NP-ťažký, predsa možno dať hrubú aproximáciu optimálnej v polynomiálnom čase.

K danému grafu G s množinou základných vrcholov B pridáme kompletný graf $K(B)$ s vrcholovou množinou B a každej jeho hranie uv pridáme cenu $c_{K(B)}(uv) := d_G(u, v)$, pričom pri výpočte vzdialenosť v v G , po dĺžkami hrán rozumieme ich ceny. Nech P_w je nejaká $u-v$ cesta v G dĺžky $d_G(u, v)$. Nech T je nejaká najlacnejšia kostra grafu $K(B)$. Potom, ak nahradíme každú hranu $uv \in T$ cestou P_w , získame nejaký steinerovský podgraf $H \subseteq G$ pre B , lebo T je súvislý graf a obsahuje B . Konečne, $z H$ vyberieme steinerovský strom T' pre B (napr. zoberieme hubovlnú kostru T' grafu H).

Nech S je najlacnejší steinerovský strom pre B . Potom zrejme $c(S) \leq c(T') \leq c(H) \leq c(T)$. Hoci niekedy môže byť $c(T) < c(S)$, v najhoršom prípade máme len rovnosť. Tu vzniká prirodzená otázka: aký môže byť pomer $c(T)$ a $c(S)$ (pre netrviaľny prípad, keď $|B| > 1$). Presnejšie, nech Q_{graph} je minimálne číslo také, že pre všetky príklady Steinerovho problému platí: $c(T)c(S) \leq Q_{\text{graph}}$. Prv ako dámé na otázku odpoved, poznámenajme, že uvedený spôsob approximácie pomocou kostry bol študovaný najprv pre Steinerov problem v rovine, resp. v n -rozmernom euklidovskom priestore R^n a tiež pre rektilineárny problém. Tam tiež má zmysel nájsť korešpondujúce čísla Q_n a Q_{rect} . Graham a Hwang (1976) ukázali, že

$$Q_n \leq \sqrt{3} = 1,73 \dots$$

a z príkladov Chunga a Gilberta (1976) máme

$$Q_n \geq (4 - \sqrt{2})/\sqrt{3} = 1.49 \dots, \text{ ak } n \rightarrow \infty.$$

Dalej Chung a Hwang (1978) dokázali, že

$$1.16 \dots = 2/\sqrt{3} \leq Q_2 \leq 3/(2\sqrt{3} + 2 - \sqrt{7 + 2\sqrt{3}}) = 1.34 \dots$$

Konečne Hwang (1976) zistil, že

$$Q_{\text{rect}} = 3/2.$$

Žiaľ, pre grafy je toto číslo väčšie [Plesník (1981)]:

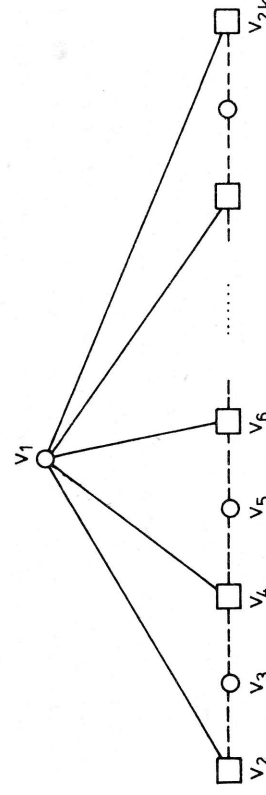
Veta 3. $Q_{\text{graph}} = 2$.

Dôkaz. Najprv dokážeme, že $Q_{\text{graph}} \leq 2$. Zrejme v najlacnejšom steinerovskom strome S je každý koncový vrchol základný: nech u_i je jeden z nich. Nech W je sled v S začínajúci v u_i , obsahujúci všetky vrcholy v S , prechádzajúci každou hranou nanajvyš 2 razy a končiaci v nejakom základnom vrchole. Taký sled W možno získať napr. Tarryho prieskumom, ako ilustruje obr. 5. Nech u_i, u_{i+1}, \dots, u_k je postupnosť základných vrcholov v tom poradí, v akom sa v sledе W pravidl vyskytujú. Tento $u_i - u_k$ sled W možno zrejme rozložiť na $k - 1$ cest: $u_i - u_2$ cesta Q_{12} , $u_2 - u_3$ cesta Q_{23} , ..., $u_{k-1} - u_k$ cesta $Q_{k-1,k}$. Vzdialenosť $d_G(u_i, u_{i+1}) \leq c(Q_{i,i+1})$ pre každé $i = 1, 2, \dots, k - 1$. Nech T je najlacnejšia kostra v $K(B)$ a nech

$c(T) \leq c(\bar{T}) = \sum c_{K(B)}(u_i u_{i+1}) = \sum d_G(u_i, u_{i+1}) \leq \sum c(Q_{i,i+1}) = c(W) < 2c(S)$,

čo sme mali dokázať.

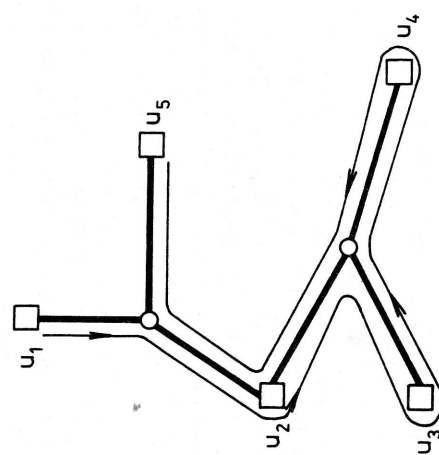
Teraz dokážeme, že $Q_{\text{graph}} \geq 2$. K tomu uvažujme graf G z obr. 6 s $2k$ vrcholmi, z ktorých je k základných (vyznačené štvorčekmi) a každá hrana má cenu 1. Najlacnejší steinerovský strom S je vyznačený plnými čiarami a najlacnejšia kostra T , resp. korešpondujúci strom T' , prerušovanými čiarami. Vidíme, že $c(S) = k$ a $c(T) = 2k - 2$. Teda podiel $c(T)/c(S) \rightarrow 2$ ak $k \rightarrow \infty$. ■



Obr. 6. K dôkazu vety 3.

Poznamenajme, že v uvedenej metóde nie je potrebné konštruovať graf $K(B)$, ale najlacnejšiu kostru možno konštruovať priamo z grafu G . Dokonca môžeme hneď konštruovať steinerovský strom T' napodobňujúci nejaký algoritmus pre najkratšiu kostru. Taktto to robia Takahashi a Matsuyama (1980), ktorí používajú Primov algoritmus. Vychádzajú zo stromu T_1 pozostávajúceho z jedného vrcholu $u \in B$. Ak už máme nejaký strom T_i , tak nájdeme vrchol $x \in B - V(T_i)$ najbližší k stromu T_i , a potom nejakú najkratšiu $x - V(T_i)$ cestu pridáme k T_i , čím získame strom T_{i+1} . Pre nejaké $i \leq k$ už T_i zrejme zahŕňa B , a teda je steinerovským stromom.

Iná metóda spočíva v tom, že ak r je dĺžka (t. j. cena) najlacnejšej hrany grafu, tak pre každý základný vrchol u všetky body hrán do vzdialenosťi r od u siiahneme do u . Tým získame „menšiu“ graf a postup môžeme opakovat, až získame graf s jediným základným vrcholom, z ktorého potom postupne získame steinerovský strom pre pôvodný graf. Tentto postup je podrobne opísaný v práci [Plesník (1981)], kde je aj ukázané, že získame strom, ktorého cena je vždy menšia ako dvojnásobok optimálnej cesty. Žiaľ, obr. 6 aj tu ukazuje, že pomer k optimu ide k 2 pre $k \rightarrow \infty$. Polynomálny algoritmus s lepším pomerom však nie je známy.



Obr. 5. Strom S a sled W .

5.7 Cvičenia a poznámky

1. Dokážte nasledujúcu analógiu vety 5.A.1: Maximálny počet nezávislých uzavretých sledov v sile sívislom pseudodigrafe je rovný $m - n + 1$. [Návod: Nech $e = uv$ je neslučka ležiaca v cykle; vyniechajte e a vrcholy u, v stočoňte: použite indukciu.] [Berge (1958).]
2. Dokážte, že počet kostier grafu môže byť nepolynomiálny, avšak vždy ohrianičený číslom 2^m .
V teórii grafov sa dokazuje, že kompletnej graf K_n má práve n^{n-2} kostier (pozri napr. [Harary (1969)], [Moon (1970)], [Nesetřil (1979)], a ī.)
3. (a) Ukážte, že nasledujúci algoritmus [Kruskal (1956)] nájde najlacnejšiu kostru. V každom kroku vyniecháme z grafu najdrahšiu možnú hranu, pre ktorú zvyšok zostane ešte stúsviký. Po $m - (n - 1)$ krokoch máme výsledok.
(b) Dokážte, že pred hľaním najlacnejšej kostry v kompletnom grafe môžeme vyniechať lubovoľných $n - 2$ najdrahších hrán.
4. (a) Vyplňte nedzery v dôkaze vety 5.C.4.
(b) Dajte podrobnejšiu implementáciu algoritmu pre $P(k)$ z časti 5.C.
5. Ukážte, že problém nájst kostru s predpisanými stupňami nepresahujúcimi 2 je NP-tažký dokonca pre planárne kubické grafy. [Návod: Uvažte problém hamiltonovské cesty.]
Poznamenajme, že problém nájst kostru s maximálnym počtom koncových vrcholov je tiež NP-tažký [Garey, Johnson (1979)].
6. Rozhodnite, čivery 5.C.2 až 4 platia aj vtedy, ak E_0 je lubovoľná množina hrán (nie nevhnutne okolitých hrán jedného vrcholu).
7. Uvedtie príklad ukazujúci, že nasledujúca modifikácia Kruskalovho algoritmu nedáva ϱ -aproximačný algoritmus pre problém MP z 5.D pri ziadnom pevnom ϱ : V každom kroku vyberáme do kostry takú hranu, aby sme získali les s minimálnou parciálou účelovou funkciou.
8. Ukážie, že v algoritme z časti 5.E (poznámky o implementácii) platí to, čo sa tam tvrdí, t. j.: $T_i = T$, $IN_i^t = I_1 \cup I_2$, $OUT_i^t = O_1$.
9. Nech T_1, \dots, T_p je p najlacnejších kostier grafu G . Dokážte, že $(p+1)$ -ú najlacnejšiu kostru stačí hľadať medzi susedmi kostier T_1, \dots, T_p .
10. Pretransformujte všeobecnú úlohu nájst najlacnejšiu zdrujovú kostru digrafu na úlohu s kladnými cennami.
11. Uvažujte úlohu nájst najlacnejšiu zdrujovú kostru digrafu s predpisaným zdrujom. Ukážie: (a) Túto úlohu možno previesť na úlohu s volným zdrujom.
(b) Pre túto úlohu možno modifikovať algoritmus z 5.F, krok 2 tak, že

- $c(\hat{e}_w) := c(e_w) - c(e'_w) + k_i$, kde k_i je lubovoľné číslo priradené cyklu Z_i (napr. $k_i = 0$). Ďalej ukažte, že ak zvolíme $k_i = c(Z_i)$, tak $c(T) = c(\hat{T})$.
12. (a) Ukážte, že úlohu najlacnejší faktor digrafa, ktorého každý komponent je zdrujový strom, možno previesť na úlohu o zdrujovej kostre pridaním nového vrcholu (zdroja).
(b) Ukážie, že ak v úlohe (a) žiadame práve k komponentov, tak v algoritme z 5.F stačí v kroku 1 vybrať $n - k$ najlacnejších hrán a potom pre \hat{G} hľadať tiež „ k -zdrujový les“.
 13. Dokážte, že v rektilineárnom Steinerovom problém sa môžeme obmedziť len na také vertikálne a horizontálne príamky roviny, ktoré prechádzajú základnými bodmi [Hanan (1966)].
 14. Dokážte, že rektilineárny Steinerov problém v rovine je NP-tažký. [Návod: Urobíme nasledujúcu polynomiálnu transformáciu z problému súvisného vrcholového pokrycia plátnarého grafu s maximálnym stupňom 4 (2.Z.11). Nech daný graf G má n vrcholov a m hrán. Uvažujme v rovine štvorčekovú mriežku M s mrežovými bodmi tvaru $(6in^2, 6jn^2)$, pre všetky celočíselné i, j .
(a) Najprv zakreslime diagram grafu G v mriežke M tak, že vrcholy umiestime v mrežových bodech, hrany pozostávajú z čiar mriežky a výsledok je rovinný diagram. (To možno urobiť postupným pridávaním stien v polynomickom čase). Tie čiary z mriežky, ktoré sme použili na zakreslenie, nazívame hranové segmenty. (b) Mriežinu B základných bodov pre Steinerov problem zostrojime takto:
Pre každý mrežový bod p_i zodpovedajúci vrcholu v_i grafu G vynecháme zo všetkých hranových segmentov pri p_i úseky bodov so vzdialenosťou od p_i menšou ako 2. Nech L je sumárna dĺžka zvyšných častí hranových úsekov a nech B je množina všetkých bodov na nich s celočíselnými súradnicami. Dokážte, že G má súvislé vrcholové pokrytie mohutnosti $k \Leftrightarrow$ existuje rektilineárny steinerovský strom ceny $c := L + 2m + 2(k-1)$.] [Garey, Johnson (1977).]
 15. Dokážte, že Steinerov problém v grafoch je NP-tažký dokonca pre planárne neohodnotené grafy (všetky $c_{ij} = 1$). [Návod: Použite 5.Z.14.]
 16. Dokážte, že ak uv je najlacnejšia hraná súvisného grafu a u, v sú základné vrcholy, tak existuje najlacnejší steinerovský strom obsahujúci hranu uv .
 17. Uvažte nasledujúce zosilnenie metódy kostry pri hľadaní najlacnejšieho steinerovského stromu pre B v grafe G : Nech je dané pevné číslo q . Utvoríme všetky možné $K(B \cup Q)$, kde $Q \subseteq V(G) - B$ a $|Q| = q$, nájdeme v nich najlacnejšie kostry a vyberieme najlacnejšiu z nich. Ukažte na príklade neohodnoteného grafu, že ani tento postup nedáva q -aproximáciu s $q < 2$.

18. Sformuluje Steinerov problém v grafoch ako 0—1 úlohu lineárneho programovania.

19. Nech hrana e grafu G má dĺžku $a(e)$ a cenu $c(e)$. Pre dané číslo B (rozpočet) treba nájsť faktor F grafu G s minimálnym priemerom (daným dĺžkami hrán) a taký, že jeho cena (súčet cien jeho hrán) nepresahuje B . Dokážte, že tento problém je NP-fazký. [Návod: Transformuje problém minimálneho vrcholového pokrycia hrán.]

V [Plesník (1981a)] je dokázané, že dokonca aj vtedy, keď B nás obmedzuje len na kostry, je q -aproximačný problém NP-fazký pre $q < 2$.

Ak namiesto minimálneho priemeru žiadame, aby $\sum d_F(u, v)$ bolo minimálne (sumujeme cez všetky dvojice vrcholov (u, v)), tak tiež ide o NP-fazký problém dokonca aj vtedy, keď všetky dĺžky a ceny hrán sú jednotkové a B nás obmedzuje na kostry, t.j. $B = n - 1$ [Johnson, Lenstra, Rinnooy Kan (1978)].

20. Nech je daný graf G , kde každá hrana ij má šírku b_{ij} . Dokážte, že stačí nájsť jednu najcennejšiu kostru v G , kde cena hrany ij je b_{ij} , aby sme určili najširšiu $i-j$ cestu v G (pozri 4.F) pre každú dvojicu $[i, j]$.

Pojem „tok“, ktorý budeme študovať, je abstrakciou ustálených fyzikálnych tokov (tok vody, elektriny, automobilov, materiálu a pod.) v príslušných sieťach (vodovodná, elektrická, cestná, dopravná sieť a pod.). Dôležitým podnetom pre vznik teórie boli problémy z dopravy produktov k spotrebiteľom. Takéto úlohy možno formulovalať ako úlohy lineárneho programovania. Avšak v pojoch tokov možno ľahko formulovať mnoho zaujímavých a dôležitých kombinatorických úloh, ktoré často vôbec nesúvisia s reálnymi tokmi. Teória tokov má aplikácie aj v teórii grafov.

V tejto kapitole sa venujeme hlavne úlohe o maximálnom toku (preprava maximálneho množstva hmoty pri obmedzených prieplustnostiach prepravných liniek). Jedno zo zároveňoceného tejto úlohy je prepraviť predpísané množstvo hmoty pri minimálnych nákladoch. Obe tieto úlohy majú tú peknú vlastnosť, že medzi optimálnymi riešeniami existuje aj celočíselné optimum (pri celočíselných vstupných údajoch) a existujú polynomiálne algoritmy pre jeho nájdenie. Uvedieme viacere aplikácie týchto úloh. Okrem jednoduchých variácií základnej úlohy si všimneme aj viacproduktové toky a ďalšie zovšeobecnenia.

6.A

Úloha o maximálnom toku

Nech G je digraf, v ktorom sú vyznačené dva vrcholy: $vstup s$ a $výstup t$: ostatné vrcholy sú tzv. prechodové. Ďalej nech každá hrana $e \in E(G)$ má priradené nezáporné reálne číslo $b(e)$, tzv. kapacitu (tiež: prieplustnosť alebo šírku) hrany e . (Kapacita vyjadruje maximálne množstvo hmoty, ktoré možno začasovú jednotku po danej komunikácii prepravit.) Zjednodušene často pišeme b_{ij} namiesto $b(e)$.

Funkcia $x: E(G) \rightarrow \mathbb{R}$ sa nazýva tok, presnejšie $s-t$ tok v G , ak spĺňa podmienky:

$$0 \leq x_{ij} \leq b_{ij}, \quad ij \in E(G) \text{ (kapacitné ohrianičenia),}$$

$$\sum_{i \in V(t)} x_{ji} - \sum_{i \in V(s)} x_{ij} = 0, \quad i \in V(G) - \{s, t\} \text{ (podmienky kontinuity).}$$

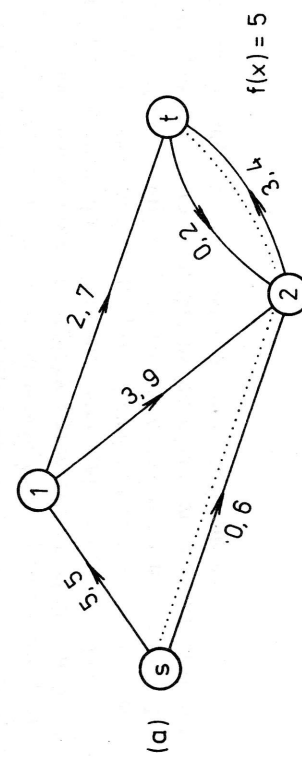
Číslo x_{ij} je množstvo hmoty, ktoré „tečie“ šípom ij . Podmienky kontinuity vyjadrujú jednoduchý fakt, že to, čo do vrcholu priteká, to z neho aj odteká: teda je to vlastne Kirchhoffov prúdový zákon.

Číslo

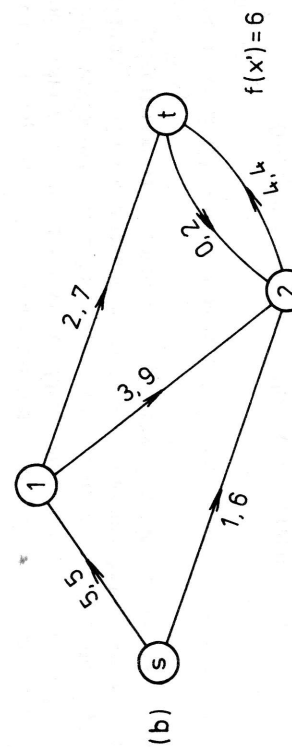
$$f(x) := \sum_{i \in V(t)} x_i - \sum_{j \in V(i)} x_j$$

nazývame *veľkosť* (alebo *hodnota*) $s-t$ toku x . $f(x)$ je vlastne „čisté“ množstvo, ktoré priteče do t . Vzhľadom na podmienky kontinuity vidime, že $f(x)$ je „čistý odtok“ z s , t. j. $f(x) = -(\sum x_{is} - \sum x_{sj})$.

Pod úlohou o *maximálnom toku* rozumieme nájsť $s-t$ tok s maximálnou veľkosťou. Taký tok sa nazýva *maximálny*. Medzi prvých, ktorí túto úlohu študovali explicitne v digrafoch, patria Ford a Fulkerson (1956), hoci tento problém vystúpalo v rôznych úlohach o preprave už prv.



(a)



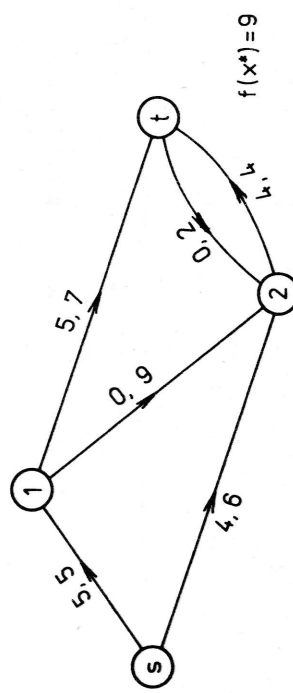
(b)

Obr. 1. (a) Tok x (druhé číslo je kapacita hrany).
(b) Tok x ziskaný z x zvážením po ceste $s-t$.

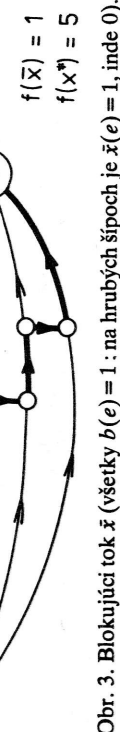
Vidíme, že kapacitné ohraničenia a podmienky kontinuity sú lineárne (v x_{ij}) a účelová funkcia $f(x)$ je tiež lineárna. Preto úloha o maximálnom toku je úlohou lineárneho programovania, avšak dosť špeciálnou, a preto má zmysel hľadať špeciálne algoritmy na jej riešenie. V tejto úlohe lineárneho programovania je množina pripustných riešení neprázdna (napr. existuje *neutralny tok*, t. j. $x_{ij} := 0$ pre všetky $ij \in E(G)$), polyedrická, teda uzavretá, a ohraničená (kapacitné ohraničenia). Preto spojité (dokonca lineárna) funkcia $f(x)$ má tam maximum. Teda maximálny tok vždy existuje.

Príklad na obr. 1(a) ukazuje tok x vektoru $5 : 0,2, 0,6, 9, 7, 3, 5$ na každej hrane ij je dvojica čísel (x_{ij}, b_{ij}) . Na obr. 1(b) je tok x' , ktorý sme získali zo x tak, že na ceste $s-t$ sme zvážili tok x o jednotku. Avšak takýmto spôsobom už nemôžeme získať väčší tok x' , keďže na kažnej $s-t$ ceste existuje aspoň jedna hrana ij taká, že $x'_{ij} = b_{ij}$. Takáto hrana sa nazýva *nasýtená* a cesta obsahujúca nasýtenú hranu *blokovaná*. Taký tok, pri ktorom sú všetky $s-t$ cesty blokované, nazývame *blokujúci tok*.

Žiaľ, blokujúci tok nemusí byť maximálny (obr. 2 ukazuje maximálny tok \bar{x} pre digraf z obr. 1 : má vektor 9). Z obr. 3 je vidiť, že blokujúci tokom \bar{x} nemôžemo approximovať maximálny tok x^* dokonca ani v acylickom digrafe, kde sú všetky



Obr. 2. Maximálny tok x^* .



Obr. 3. Blokujúci tok \bar{x} (všetky $b(e) = 1$: na hrubých šípoch je $\bar{x}(e) = 1$, iné 0).

kapacity jednotkové (na hrubo vyznačených hranach ij je $\bar{x}_{ij} = 1$ a inde $\bar{x}_{ij} = 0$: nájdite tok x^* s $f(x^*) = 5$).

VETA O MAXIMÁLNOM TOKU A MINIMOVOM REZE

Ford a Fulkerson (1956) navrhli silnejšiu prostriedok na zvážšovanie daného toku x . Nech P je nejaká polocesta, nech P^+ je množina súhlásnych a P^- množina nesúhlásnych šípov polocesty P . Čísla $b_{ij} - x_{ij}$ pre $ij \in P^+$ a x_{ij} pre $ij \in P^-$ sa nazývajú **rezervy** na poloceste P : minimálna z rezerv na P sa nazýva **rezerva polocesty P** . Ak je rezerva nejakej polocesty P kladná, tak P sa nazýva **rezervná polocesta**. Rezervná $s-t$ polocesta sa nazýva aj **zväčšujúca polocesta pre x** . Tento názov je oprávnený, lebo ak $\delta > 0$ je rezerva $s-t$ polocesty P , tak funkcia x' :

$$x'_{ij} = \begin{cases} x_{ij} + \delta, & \text{pre } ij \in P^+, \\ x_{ij} - \delta, & \text{pre } ij \in P^-, \\ x_{ij}, & \text{inak.} \end{cases}$$

inak je opäť tokom $v G$ a $f(x') = f(x) + \delta$. Totiž kapacitné ohraničenie aj podmienky kontinuity sa dodržia, ako vidieť z príkladu na obr. 4 (napr. vo vrchole 1 bude o δ viac pritekať, ale aj o δ viac odtekáť).



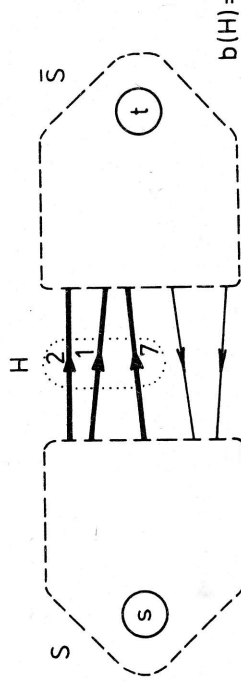
Obr. 4. Zväčšujúca polocesta.

Ak G je digraf a $A, B \subseteq V(G)$, tak $(A, B)_G := (A \times B) \cap E(G)$. Nech $S \subseteq V(G)$, $\bar{S} := V(G) - S$ a nech $s \in S$, $t \in \bar{S}$. Potom množinu hrán $H := (S, \bar{S})_G$ nazývame **(hranový) $s-t$ rez**. Je zrejmé, že každá $s-t$ cesta obsahuje aspoň jednu hranu z lubovoľného $s-t$ rezu. Obr. 5 ilustruje tento pojem. **Kapacita $b(H)$ rezu H** je súčet kapacít jednotlivých hrán rezu. **Rez s minimálnou kapacitou sa nazýva minimový**.

Pre libovoľnú funkciu $h: E(G) \rightarrow R$ a množiny $A, B \subseteq V(G)$ budeme stručne písat:

$$h(A, B) = \sum_{ij \in (A, B)_G} h_{ij}.$$

Ak x je nejaký $s-t$ tok a $(S, \bar{S})_G$ nejaký $s-t$ rez, tak zrejmé $f(x) = x(S, \bar{S})$



Obr. 5. $s-t$ rez kapacity 10.

$- x(\bar{S}, S) \leq b(S, \bar{S})$, lebo platia podmienky kontinuity a kapacitné ohraničenia.

Táto nerovnosť nám pripomína tzv. slabú vetu o dualite v lineárnom programovaní. Preto očakávame, že v extrémnych prípadoch dosiahneme rovnosť. Skutočne je to tak a nasledujúca veta môže byť aj odvodena z vety o dualite v lineárnom programovaní, ale tu uprednostníme pôvodný grafový dôkaz [Ford, Fulkerson (1956)], ktorý je jednoduchší a konštruktívny.

Veta 1. Veľkosť maximálneho $s-t$ toku je rovná kapacite minimového $s-t$ rezu.

DÔKAZ. Najprv poznámenajme, že veta má vždy zmysel, lebo maximálny tok vždy existuje (maximalizujeme spojitu funkciu na kompakte, ako sme už spomínali: neskôr si zaručíme maximálny tok aj algoritmicky) a minimový rez tiež (lebo je len konečne mnoho rezov).

Nech x^* je maximálny $s-t$ tok a b^* nech je kapacita minimového $s-t$ rezu. Podľa predchádzajúceho je $f(x^*) \leq b^*$. Teraz nájdeme taký $s-t$ rez H , že $f(x^*) = b(H)$, a tým bude dôkaz hotový. Nech $S \subseteq V(G)$ je množina vrcholov obsahujúca s a každý taký vrchol v , pre ktorý existuje rezervná $s-v$ polocesta. Zrejme $t \notin S$, lebo inak by existovala zväčšujúca $s-t$ polocesta pre x^* , čo protieči maximálite toku x^* . Teda $t \in \bar{S}$. Každá hrana ij idúca z S do \bar{S} je nasýtená, lebo inak z existencie rezervnej $s-i$ polocesty by vyplynula existencia rezervnej $s-j$ polocesty, čo je nemožné ($j \in \bar{S}$). Analogicky na každej hrane idúcej z \bar{S} do S je tok x nulový. Taktto $f(x^*) = x^*(S, \bar{S}) = b(S, \bar{S})$. ■

Z algoritmického hľadiska je významné nasledujúce tvrdenie [Ford, Fulkerson (1957)].

Veta 2 (o optimalite toku). Nejaký $s-t$ tok x je maximálny \Leftrightarrow neexistuje rezervná $s-t$ polocesta pre x .

DÔKAZ. (\Rightarrow) Pomocou zväčšujúcich polocest by sa dal tok x zväčsiť.

(\Leftarrow) Nech $S := \{v\}$ existuje rezervná $s-v$ polocesta pre x . Potom tak ako v predchádzajúcom dôkaze vidime, že $f(x) = b(S, \bar{S})$, a teda x je maximálny tok a $(S, \bar{S})_G$ minimový rez. ■

FORDOV A FULKERSONOV ALGORITMUS

Veta 2 nám ponúka nasledujúci spôsob hľadania maximálneho toku: Nájdeme nejaký tok (napr. nulový) a ten postupne zväčšujeme po zväčšujúcich polocestách. Otázku zostáva hľadanie zväčšujúcich polociest.

Ford a Fulkerson (1957, 1962) navrhli postupne generovať množinu vrcholov dosiahnuteľných z s po rezervných polocestach. K tomu sa používajú znacky vrcholov: každý označkovany vrchol $j \neq s$ má znaku tvaru (i^+, δ_i) alebo (i^-, δ_i) , ktorá značí, že sme našli rezervnú $s-j$ polocestu s rezervou δ_j a posledný šíp tejto polocesty je v prvom pripade i^+ a v druhom i^- . Vrchol s má znaku $(-, \infty)$ (trvale).

Vo všeobecnosti zoberieme lubovoľný označkovany, ale nepreskúmaný vrchol i a preskúmame ho takto:

Každý neoznačkovaný vrchol $j \in V^+(i)$ dostane znacku

$$(i^+, \min \{\delta_j, b_{ij} - x_{ij}\}), \quad \text{ak } x_{ij} < b_{ij},$$

a každý neoznačkovaný vrchol $j \in V^-(i)$ znacku

$$(i^-, \min \{\delta_j, x_{ji}\}), \quad \text{ak } x_{ji} > 0.$$

(Značky priradujeme postupne, takže aj vrchol $j \in V^+(i) \cap V^-(i)$ dostane len jednu znacku.) Tým je vrchol i preskúmaný.

Ak t dostane nejakú znacku, tak znáčkovanie skončíme a identifikujeme rezervnú $s-t$ polocestu, po ktorej vrchol t dostal znacku. To je ľahké zistit podľa prvých zložiek znackiek: posledným šípom tejto polocesty bude šíp zt , ak t má znaku (z^+, δ_t) a šíp tz , ak t má znaku (z^-, δ_t) atď. Po tejto poloceste potom zväčšíme tok o δ_t (čo je minimálna rezerva na tej) a získame nový tok x' . Potom všetky znacky zotrieme a znáčkujeme znova (pre tok x').

Ak sa pri nejakom znáčkovanom vrchole t neoznačkuje, to značí, že neexistuje rezervná $s-t$ polocesta a príslušný tok je podľa vety 2 maximálny. Ak S je množina označkovaných vrcholov, tak z dôkazu vety 2 viďme, že potom $(S, \bar{S})_G$ je minimový rez. ●

Všimnime si zložitosť Fordovho a Fulkersonovho algoritmu. Ak máme k dispozícii oznamy okolo jednotlivých vrcholov, tak na celé značkovanie potrebné na nájdenie zväčšujúcej polocesty vystačíme s $O(m)$ operáciami. Identifikáciu zväčšujúcej $s-t$ polocesty a zväčšenie toku po nej možno urobiť v čase $O(n)$.

Sumárne jedna iterácia nepresiahne $O(m)$ operácií a celý algoritmus $qO(m)$ operácií, kde q je počet iterácií. Žiaľ, q môže byť veľmi veľké, dokonca nekonečné, ako vidieť z Fordovho a Fulkersonovho príkladu (1962) (pozri 6.Z.1), kde sa ani v limite nezíska maximálny tok.

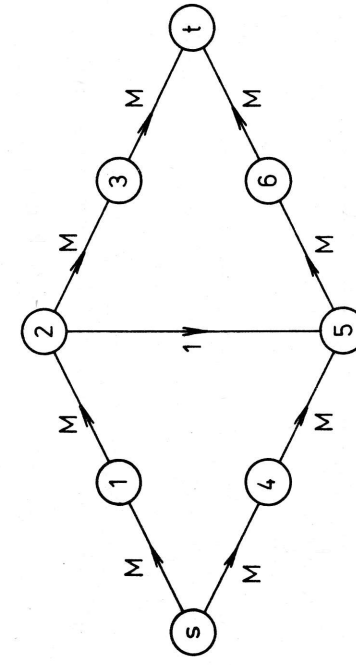
Ukazuje sa však, že v prípade celočíselných kapacít (a aj v prípade racionálnych, resp. všeobecnejšie, ak podiel lubovoľných dvoch kapacít je racionálne číslo — súmerateľné kapacity) je tento algoritmus konečný, ako viďte z nasledujúceho výsledku, resp. jeho dôkazu.

Veta 3. Nech sú všetky kapacity cele čísla a nech f^* je hodnota maximálneho toku. Potom ak začíname s celočíselným tokom (napr. nulovým), tak Fordov a Fulkersonov algoritmus nájde po nanajvyšši f^* iteráciach maximálny tok. Naviac tento tok bude celočíselný.

DÔKAZ. V každej iterácii je δ celé číslo a vektor toku vzrástie o δ , čo je aspoň jednotka. ■

Spomínany Fordov a Fulkersonov príklad podnietil niektorých autorov k hľadaniu konečných modifikácií algoritmu (napr. Hu (1969), ale Poinstein (1972) zistil jeho nekonečnosť a sám návrhol modifikáciu, ktorá je už konečná).

Táto otázka nie je však až taká dôležitá, lebo pre praktické úlohy je konečnosť vždy zaručená (veta 3). Horsié je to, že počet iterácií môže byť až f^* , ako vidieť z príkladu na obr. 6, ktorý dali Edmonds a Karp (1970, 1972): Nech M je veľké celé číslo. Vychádzajúc z nulového toku, zväčšíme ho o 1 po poloceste $(s, 1, 2, 6, t)$. Tento zase o 1 po poloceste $(s, 4, 5, 2, 3, t)$, potom o 1 po poloceste $(s, 1, 2,$



Obr. 6. Fordov a Fulkersonov algoritmus tu urobí $2M$ iterácií.

$5, 6, t$) atď. Teda celkové takto bude treba $2M$ iterácií ($f^* = 2M$), čo exponenciálne závisí od vstupnej informácie, ktorá má dĺžku $O(\log_2 M)$ bitov. Preto Fordov a Fulkersonov algoritmus nie je polynomiálny, hoci sa v praxi ukazuje pomerne rýchly. Polynomiálne modifikácie uvedieme v nasledujúcej časti.

6.B

Polynomiálne algoritmy pre maximálny tok

ALGORITMUS NAJKRATŠÍCH POLOCEST

Ak Fordov–Fulkersonov algoritmus bude zväčšovať tok vždy po najkratšej zväčšujúcej poloceste, tak vystačíme s polynomiálnym počtom iterácií, zatiaľ čo dva ďalšie sú založené na celočíselnosti kapacít, inak dávajú maximálny tok len v limite.

Veta 1. Ak tok vždy zväčšujeme po najkratšej rezervnej $s-t$ poloceste, tak na nájdenie maximálneho toku vystačíme s $O(mn)$ zväčšeniami toku (nezávisle od počiatocného toku). ■

DOKAZ. Ako vieme, na každej zväčšujúcej poloceste je aspoň jedna hrana taká, na ktorej sa tok zmiení na nulový, resp. rovný kapacite. Každú takú hranu nazveme *kritickou hranou* zväčšujúcej polocesty.

Nech ij je kritická (súhlasná alebo nesúhlasná) hrana v $(k+1)$ -ej zväčšujúcej poloceste P . Potom dĺžka polocesty P je $m(P) = \sigma^k(i) + \tau^k(i) = \sigma^k(j) + \tau^k(j)$ (z definície čísel σ a τ). Ak sa hrana ij znova vyskytne v nejakej (povedzme) $(r+1)$ -ej ($r > k$) zväčšujúcej poloceste Q a je to najskôr ďalší výskyt (r je minimálne), tak sa tam objaví v opačnom smere. Teda ak $\tau^k(i) = \tau^r(j) + 1$, tak $\sigma^r(i) = \sigma^r(j) + 1$. Podľa lemy 1(a) máme $\sigma^r(j) \geq \sigma^k(j)$ a $\tau^r(i) \geq \tau^k(i)$, čo všetko spolu dáva:

$$m(Q) = \sigma^r(i) + \tau^r(i) \geq \sigma^k(i) + \tau^k(i) + 2 = m(P) + 2.$$

Každá polocesta má dĺžku nanajvyš $n-1$, a teda každá hrana môže byť kritickou nanajvyš $(n/2)$ -krát. Keďže každá zväčšujúca polocesta obsahuje aspoň jednu kritickú hranu, tak môžeme urobiť nanajvyš $mn/2$ zväčšení toku. ■

Pre nájdenie najkratšej rezervnej $s-t$ polocesty pre tok x^k možno upresniť znackovaci metódu Forda a Fulkersona tak, že bude sledovať postup do šírky. Prehľadnejšie však je k toku x^k zostrojiť tzv. rezervný digraf G^k , kde $V(G^k) = V(G)$ a $ij \in E(G^k)$ práve vtedy, keď alebo $ij \in E(G)$ a $x_{ij} < b_{ij}$ alebo $ji \in E(G)$ a $x_{ji} > 0$. Rezervné polocesty v G zrejmé zodpovedajú cestám v G^k .

Na zostrojenie digrafu G^* stačí $O(m)$ operácií a na nájdenie najkratšej $s-t$ cesty v G^* , a tým zväčšujúcej polocesty v G stačí tiež $O(m)$ operácií (algoritmus Moore). Na zväčšenie toku stačí $O(n)$ operácií. Tako uvažiac vetu 1 na celý algoritmus stačí $O(m^2n)$ operácií. Toto sa pre riedke digrafy redukuje na $O(n^3)$, ale pre husté máme len $O(n^5)$. (Zadeh (1972) ukázal, že v najhoršom prípade odhad $O(n^5)$ nemôžno znížiť.)

Dinic (1970) zrealizoval myšlienku metódy najkratších polociest v $O(mn^2)$ algoritme tým, že nachádza všetky zväčšujúce polocesty danej dĺžky naraz. Ďalší pokrok vychádza z jeho práce. Karzanov (1974) dáva $O(n^3)$ algoritmus a Čerkasskij (1977) – $O(n^2m^{1/2})$. Posledné dva algoritmy používajú predtok (ignorujúci podmienky kontinuity), ktorý sa potom „vyrovná“ na tok. Sleator a Tarjan (1980) dávajú $O(mn \log n)$ algoritmus. Toky v planárnych digrafoch skúma napr. Kučera (1981).

ALGORITMUS NAJŠIRŠÍCH POLOCEST

V tejto modifikácii Fordovho a Fulkersonovo algoritmu každé zväčšovanie toku sa uskutočňuje po najširšej rezervnej $s-t$ poloceste. ● (Šírka polocesty je rovná minimálnej rezerve hrany tejto polocesty.) Teda v každej iterácii sa tok maximálne zväčšuje. Takyto algoritmus uvádzajú Edmonds a Karp (1972).

V časti 4.F je daný $O(n^2)$ algoritmus pre nájdenie najširšej $s-t$ cesty. Ak ho použijeme v rezervnom digrafe G^* toku x^* , tak získame požadovanú najširšiu rezervnú $s-t$ polocestu. Odhadnime počet iterácií.

Veta 2. Nech sú všetky kapacity celé čísla a nech f^* je hodnota maximálneho toku. Potom algoritmus najširších polociest nájde maximálny tok nanajvyš po $1 + m \ln f^*$ zväčšovaniam toku.

DÔKAZ. Nech x je nejaký tok a nech najširšia rezervná $s-t$ polocesta pre x má rezervu $\delta > 0$. Odhadnime rozdiel $f^* - f(x)$. Nech množina S obsahuje vrchol s a všetky také vrcholy v , pre ktoré existuje rezervná $s-v$ polocesta s rezervou väčšou ako δ . Zrejmé $t \in \bar{S} := V(G) - S$, a teda $(S, \bar{S})_G$ je $s-t$ rez. Preto ak hrana $uv \in (S, \bar{S})_G$, tak $b(uv) - x(uv) \leq \delta$ a ak $uv \in (\bar{S}, S)_G$, tak $x(uv) \leq \delta$ (inak by sme S mohli zväčsiť). Tako môžeme písat:

$$\begin{aligned} f^* - f(x) &\leq b(S, \bar{S}) - f(x) = b(S, \bar{S}) - [x(S, \bar{S}) - x(\bar{S}, S)] = \\ &= [b(S, \bar{S}) - x(S, \bar{S})] + x(\bar{S}, S) \leq \delta|(S, \bar{S})_G| + \delta|(\bar{S}, S)_G| \leq m\delta. \end{aligned}$$

Z toho vyplýva, že pre nový tok x' platí: $f^* - f(x) \leq m[f(x') - f(x)]$. Odtiaľ:

$$f^* - f(x') \leq \left(1 - \frac{1}{m}\right)[f^* - f(x)].$$

Ak štartujeme z toku x^0 , tak po k zväčšeniacach toku získaný tok x^k spĺňa vzťah:

$$f^* - f(x^k) \leq \left(1 - \frac{1}{m}\right)^k [f^* - f(x^0)] \leq \left(1 - \frac{1}{m}\right)^k f^* \leq e^{-k/m} f^*.$$

Z predpokladu celočíselnosti kapacít vyplýva, že ak $f^* - f(x^k) < 0$, t. j. ak $k > m \ln f^*$ je maximálny. Toto zaručíme, ak $-k/m + \ln f^* < 0$, t. j. ak $k > m \ln f^*$. ■

V každej iterácii je najprácejšie nájsť najširšiu rezervnú $s-t$ polocestu. Ako sme už uvádzali, na to máme $O(n^2)$ algoritmus. Taktôž na celý algoritmus vystačíme pri celočíselných kapacitách s $O(n^2 m \ln f^*)$ operáciami, čo značí, že algoritmus je polynomiálny. Teoreticky to presahuje zložitosť najlepších známych algoritmov, ale v praxi sa tento algoritmus veľmi dobre osvedčil.

ALGORITMUS ZIEMŇOVANIA STUPNICE

Tento algoritmus, skúmaný v prácach [Edmonds a Karp (1972)] a [Dinic (1973)] využíva takúto vlastnosť: Ak všetky kapacity sú násobkami celého čísla p , tak Fordov a Fulkersonov algoritmus konštruuje tok, ktoré sú násobkami čísla p . Nech δ_{\max} je šírka najširšej $s-t$ cesty v digrafe G , kde pod šírkou hrany rozumieme jej kapacitu. Položme

$$q = \lceil \log_2 \delta_{\max} \rceil.$$

Teraz kapacitu každej hrany e zaokruhlíme nadol pri stupni s „jednotkou“ 2^q , t. j. $b(e)$ zmeníme na $b_q(e) := 2^q \lfloor b(e)/2^q \rfloor$. Potom Fordovým–Fulkersonovym algoritmom nájdeme maximálny tok x_q^* v digrafe G s kapacitami $b_q(e)$. Ďalej zjednodušme stupnicu tak, že namiesto kapacity $b_q(e)$ dáme $b_{q-1}(e) := b_q(e) + 2^{q-1} \lfloor (b(e) - b_q(e))/2^{q-1} \rfloor$ (t. j. $b(e)$ zaokruhlíme nadol v stupni s „jednotkou“ 2^{q-1}). Potom vychádzajúc z x_q^* nájdeme (Fordovým–Fulkersonovým algoritmom) maximálny tok x_{q-1}^* v digrafe G pri kapacitách $b_{q-1}(e)$. Ďalej zjednodušme $b_{q-1}(e)$ až do $b_{q-2}(e) := b_{q-1}(e) + 2^{q-2} \lfloor (b(e) - b_{q-1}(e))/2^{q-2} \rfloor$ a tok x_{q-2}^* atď. Pre celočíselné kapacity $b(e)$ bude $b_0(e) = b(e)$, a preto x_0^* je hľadaný maximálny tok. Pre celočíselné kapacity možno pokračovať (niekedy do nekonečna) a získať postupnosť $x_{-1}^*, x_{-2}^*, \dots$, ktorá konverguje k maximálnemu toku x^* pre pôvodné kapacity. ● Máme však:

Veta 3. Ak sú všetky kapacity celé čísla, tak algoritmus ziemňovania stupnice nájde maximálny tok po nanajvyš $m(q+1)$ zväčšovaniacach toku.

DÔKAZ. Uvažujme situáciu pri kapacitách $b_k(e)$ po nájdení maximálneho toku x_k^* . Nech množina S pozostáva z vrcholu s a vsetkých takých vrcholov v ,

$$f(x^*) \leq f(S, \bar{S}) \leq f(x_k^*) + 2^{k-1}|(S, \bar{S})_G|.$$

Teda najmävý $|(S, \bar{S})_G| \leq m$ zväčšovaním toku sa uskutoční pri zostrojovaní toku x_{k-1}^* z toku x_k^* pri kapacitách $b_{k-1}(e)$.

Uplne analogicky sa ukáže, že tok x_q^* možno získať z počiatčného nulového toku x_{q+1}^* pomocou nanajvyšší m zväčšovania. Preto na prechod od x_{q+1}^* ku $x_0^* = x^*$ vystačíme s $m(q+1)$ zväčšovaniami toku. ■

Ako vieme, na každé zväčšovanie vystačíme s m operáciami, a preto na celý algoritmus s $O(m^2(1 + \log_2 \delta_{\max}))$ operáciami. (Na zistenie δ_{\max} stačí $O(n^2)$ operácií.) Keďže $\delta_{\max} \leq b_{\max} \leq m$ (maximálna kapacita hrany), algoritmus je zrejme polynomiálny.

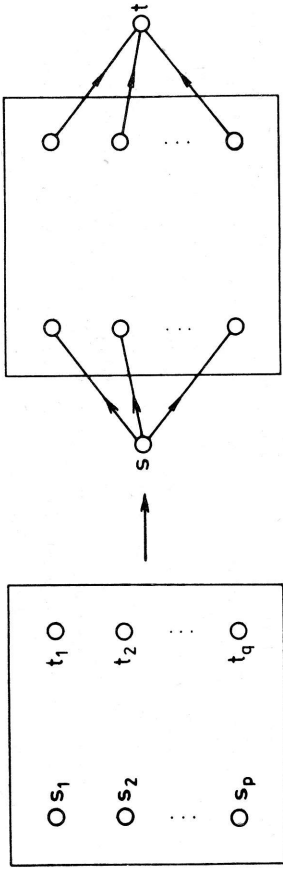
6.C Variácie úlohy o maximálnom toku

Niektoré obmeny úlohy o maximálnom toku možno previesť na základnú úlohu, resp. analogicky riešiť, ale iné môžu byť veľmi ťažké.

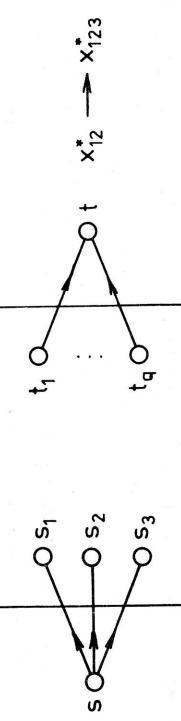
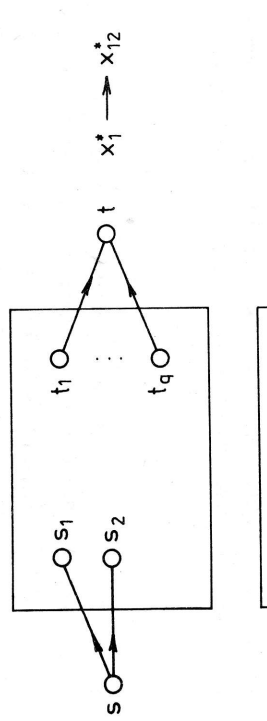
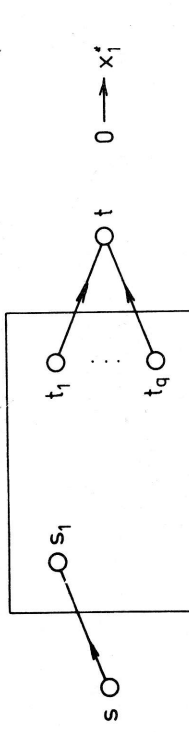
TOK Z VIACERÝCH VSTUPOV DO VIACERÝCH VÝSTUPOV

V prípade, že je daných viac vstupov s_1, s_2, \dots, s_p a viac výstupov t_1, t_2, \dots, t_q , tak problém nájsť maximálny sumárny tok z $\{s_1, s_2, \dots, s_p\}$ do $\{t_1, t_2, \dots, t_q\}$ možno ľahko redukovať na úlohu s jedným vstupom a jedným výstupom tak, ako ukazuje obr. 1. Tu predpokladáme, že tok môže tieť z lubovoľného vstupu do lubovoľného výstupu. (Inak ide o tzv. via produktové toky, pozri 6.E.) Vrcholy s a t sú nový vstup a výstup, pričom hrany ss_i aj $t t_i$ majú nekonečné kapacity. Ak je však vstup (výrobca) limitovaný, tak to možno vyjadriť kapacitou hrany ss_i : analogicky pre výstupy (spotrebiteľov).

Niekedy sa hľadá taký maximálny tok, ktorý spĺňa priority vstupov, resp. výstupov [Dinic (1973)], [Minieka (1973)]. Nech x je tok zo vstupov s_1, s_2, \dots, s_p



Obr. 1. Redukcia na úlohu s jedným vstupom a výstupom.



Obr. 2. Postupné konštruovanie lexicografického maximálneho toku podľa vstupov.

Je zrejmé, že lexikograficky maximálny tok podľa vstupov (alebo výstupov) je maximálny, lebo inak by existovala zvažujúca $s_i \rightarrow t_j$ polocesta, a teda by sme nasili tok lexikograficky väčší.

Lexikograficky maximálny tok podľa vstupov možno nájsť postupne tak, ako je ukázané obr. 2. Všetky výstupy sú spojené do umelého výstupu t , pričom šípy t_i majú nekonečné kapacity. Najprv spojíme umelý vstup s len s vrcholom s_i pomocou šípa ss_i (nekonenej kapacity) a nájdeme maximálny $s \rightarrow t$ tok x_i^* . Potom pridáme hrancu ss_2 a vychádzajúc z x_i^* , nájdeme maximálny $s \rightarrow t$ tok x_{i2}^* a z neho po pridani ss_3 maximálny $s \rightarrow t$ tok x_{i23}^* atď. Zrejmé tok $x_{i2\dots p}^*$ je lexikograficky maximálny podľa vstupov.

Symetrická konštrukcia nám zasa dá lexikograficky maximálny tok $y_{12\dots q}^*$ podľa výstupov.

Pretože toku $x_{i2\dots p}^*$ a $y_{12\dots q}^*$ sú maximálne $s \rightarrow t$ toky, existuje $s \rightarrow t$ rez $(S, \bar{S})_G$ tak, že každá hrana $ij \in (S, \bar{S})_G$ je nasýtená aj jedným aj druhým tokom a na každej hrane $ij \in (S, \bar{S})_G$ sú obidva toky nulové. Tako možno obidva toky skombinovať a získať tok z definovaný takto: $z(ij) = x_{i2\dots p}^* (ij)$, ak obidva vrcholy $i, j \in S$ a $z(ij) = y_{12\dots q}^* (ij)$ inak. Vidíme, že tok z je lexikograficky maximálny súčasne podľa vstupov aj podľa výstupov. ●

HRANOVÉ A VRCHOLOVÉ KAPACITY

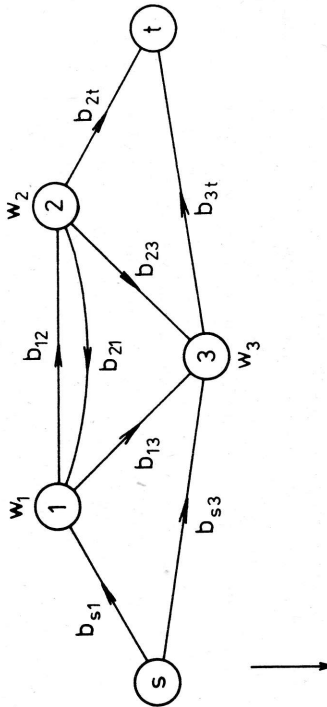
Nech v základnej úlohe o maximálnom toku má navyše aj každý vrchol $j \in V(G) - \{s, t\}$ predpisanú kapacitu w_j a žiadajme, aby

$$\sum_{i \in V(j)} x_{ij} \leq w_j.$$

(To zodpovedá napr. obmedzenej prieplustnosti cestných križovatiek.) Takúto úlohu možno previesť na základnú tak, že každý vrchol $j \neq s, t$ nahradíme dvoma vrcholmi j' a j'' , ktoré spojíme šípom $j' \rightarrow j''$ kapacity w_j . Potom všetky tie šípy, ktoré prichádzajú do j , budú prichádzať do j' a tie, čo odchádzajú z j , budú odchádzať z j'' . Obr. 3 ukazuje túto transformáciu.

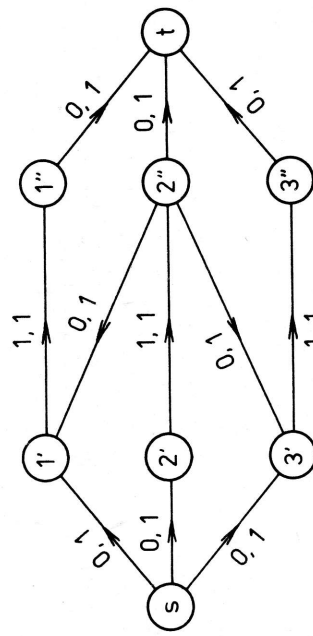
DOLNÉ MEDZE NA TOK

Predpokladajme, že každá hrana ij digrafu má okrem kapacity b_{ij} priradené ešte číslo a_{ij} — dolnú medzu na tok. Taktôž namiesto ohrazenia $0 \leq x_{ij} \leq b_{ij}$ žiadame, aby $a_{ij} \leq x_{ij} \leq b_{ij}$.



Obr. 3. Odstránenie vrcholových kapacít.

Ak boli všetky $a_{ij} = 0$, tak vždy existoval nejaký tok (napr. nulový), ale teraz sme postavenej aj pred úlohu nájsť nejaký tok, čo formulujeme ako úlohu nájsť **pripustný tok**. Okrem úlohy nájsť maximálny tok tu má zmysel aj úloha nájsť **minimálny tok**, ako vidieť z nasledujúceho problému, ktorý riešili Dantzig a Fulkerson (1954).



Obr. 4. K úlohe pokrycia letov najmenším počtom lietadiel.

Daný rozvrh p letov treba realizovať s najmenším počtom lietadiel (rovnakých).

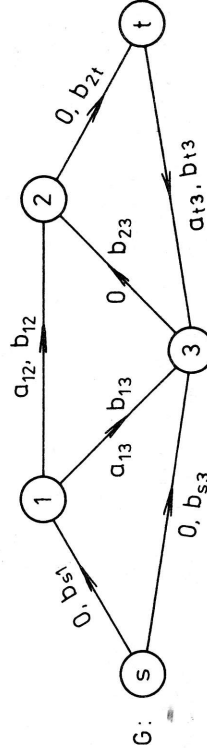
K tejto úlohe priradme digraf, kde každému letu i zodpovedá hrana $i' - i''$. Okrem toho, ak lietadlo po lete i môže uskutočniť let j , digraf bude obsahovať šíp $i'j$.

Konečne pridáme vrchol s a šípy si' a $si'' - r$ (pozri príklad na obr. 4).

Ak všetky kapacity hrán sú jednotkové a dolné medze na tok nulové okrem hrán $i' - i''$, kde sú jednotky, tak veľkosť minimálneho celočiselného $s - t$ toku je rovná minimálnemu počtu potrebných lietadiel.

Pripustný tok možno nájsť pretransformovaním na úlohu s nulovými dolnými medzami: K danému digrafu G zostrojíme digraf \hat{G} tak, že pridáme šíp ts nekonečnej kapacity, nový vstup \hat{s} , nový výstup \hat{t} a pre každý šíp ij , kde $a_{ij} > 0$ zmeníme kapacitu b_{ij} na $b_{ij} - a_{ij}$ a pridáme šípy $\hat{s}j$ a is s kapacitami a_{ij} : nasobné šípy potom nahradime jedným so sumárnom kapacitou. (Porovnaj obr. 5, kde v digrafe G je na každej hrane ij dvojica (a_{ij}, b_{ij}) a na každej hrane v \hat{G} len kapacita hrany, lebo dolné medze sú nulové.)

Teraz je lahlko skonštruovať ku každému prípustnému $s - t$ toku x v G $\hat{s} - \hat{t}$ tok y v \hat{G} nasycujúci všetky hrany $\hat{s}j$ aj všetky hrany ij (stačí položiť $y_{ij} := x_{ij} - a_{ij}$ a zvyšok a_{ij} odviesť do \hat{t} a do j priviesť a_{ij} jednotiek z \hat{s}). Tok y je potom



maximálny. Obrátenie, $z \hat{s} - \hat{t}$ toku y v \hat{G} , ktorý nasycuje všetky hrany $\hat{s}j$ (a teda všetky hrany ij), lahlko zostrojíme prípustný tok x pre G ($x_{ij} := y_{ij} + a_{ij}$). Sumarizujúc vidime, že pre nájdenie nejakého prípustného toku v G , staci najst maximálny $\hat{s} - \hat{t}$ tok v \hat{G} : ak nasycuje všetky $\hat{s}j$ hrany, tak zostrojíme prípustný tok x v G aho: ak všetky hrany nenasycuje, tak prípustný tok v G neexistuje. Vychádzajúci z prípustného toku x v G možno najst maximálny tok upravený algoritmom Forda a Fulkersona: na nesúhlasných šípoch rezervých polociest musí byť $x_{ij} > a_{ij}$ (namiesto $x_{ij} > 0$). Analogicky možno zostrojiť algoritmus pre nájdenie minimálneho toku.

Iný spôsob hľadania maximálneho, resp. minimálneho $s - t$ toku sa nám ponúka, ak si uvedomíme, že po nájdení toku y v \hat{G} nasycujúceho hrany $\hat{s}j$, hodnota y_s je rovná veľkosti $s - t$ toku x v G . Preto vychádzajúci z v nájdeme v \hat{G} maximálny $s - t$ tok y^* nasycujúci hrany $\hat{s}j$ (nájdeme lexikograficky maximálny tok podľa vstupov \hat{s} , s a výstupov \hat{t} , t pričom \hat{s} a t sú prioritné). Položiac $x_{ij}^* := y_{ij}^* + a_{ij}$ pre $ij \in E(G)$ získame maximálny $s - t$ tok v G s veľkosťou $y_{ts}^* + f_s^*(y^*)$, kde $f_s^*(y^*)$ je čistý odtok z s v \hat{G} pri toku y^* .

Ak chceme nájsť minimálny $s - t$ tok, tak vychádzajúc z toku y v \hat{G} , hľadáme lexikograficky maximálny tok y^* podľa vstupov \hat{s} , t a výstupov \hat{t} , s (\hat{s} a t sú prioritné), pričom kapacitu šípa ts položíme rovnú y_s . Toku y^* potom zodpovedá tok x^* v pôvodnom digrafe, ktorý má veľkosť $y_{ts}^* - f_t^*(y^*)$, kde $f_t^*(y^*)$ je čistý odtok z t toku y^* v \hat{G} . ●

Z uvedených postupov bezprostredne vyplýva:

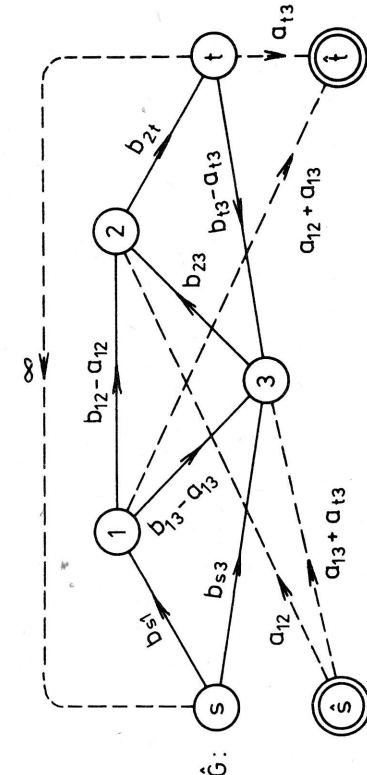
Veta 1. Ak sú všetky kapacity aj dolné medze šípov digrafu celočiselné a existuje prípustný tok x , tak existuje celočiselný maximálny tok x_1 a celočiselný minimálny tok x_2 . Naviac, zložitosť algoritmov pre x_1 a x_2 je taká istá ako pre základnú úlohu o maximálnom toku.

TOKY PO REBRÁCH

Toky si možno celkom dobre predstaviť aj po rebrách. Pritom tok môže tieť po rebre v hociktorom, ale iba v jednom smere a nesmie prekročiť kapacitu rebra. Veľkosť $f(x)$ nejakého $s - t$ toku x je rovná čistému odtoku z s , a teda čistému prítoku do t .

K úlohe nájsť maximálny tok v grafe vedie napr. úloha: Obojsmerné ulice mesta treba zjednosmerniť tak, aby bol zabezpečený maximálny dopravný tok z miesta s do miesta t .

Aj tu stačí každé rebro $e = [i, j]$ s kapacitou $b[i, j]$ nahradí dvojicou protišipov ij a ji s kapacitami $b_{ij} = b_{ji} = b[i, j]$. Potom po nájdení toku x v digrafe stačí tento tok upraviť a máme tok v pôvodnom grafe. Totiž, ak x_{ij} a x_{ji} sú kladné, tak



Obr. 5. Odstránenie dolných medzi.

vyrobíme nový tok x' definovaný takto: Nech $z(e) = \min\{x_{ij}, x_{ji}\}$: potom položíme $x'_{ij} = x_{ji} - z(e)$ a $x'_{ji} = x_{ij} - z(e)$ (veľkosť toku sa týmto nezmiení).

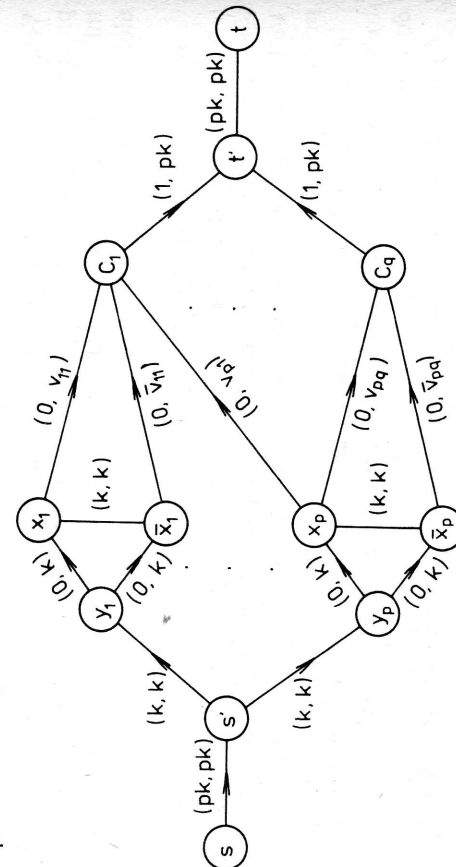
Avšak úplne iná je situácia, ak pre každé rebro máme danú aj dolnú medzu na tok [Itai (1978)]:

Veta 2. Problém zistíť (nie nutne celočíselny) prípustný tok v grafe, kde každé rebro má kapacitu a dolnú medzu na tok, je NP-fažký; dokonca pri celočíselných dátach.

Dôkaz. Najprv transformujeme problém splnitelnosti boolevskej konjunktívnej normálnej formy F na problém splnitelnosti formy s rovnakým počtom výskytov každého symbolu. Nech sa symbol x_i vyskytuje celkové k_i -krát a symbol \bar{x}_i -krát. Položime $k := 1 + \max\{k_i | 1 \leq i \leq p\}$, kde p je počet premenných v F .

Utvorme konjunktívnu normálnu formu $\tilde{F} = F \wedge D_1 \wedge D_2 \wedge \dots \wedge D_p$, kde $D_i := (x_i \vee \dots \vee x_i \vee \bar{x}_i \vee \dots \vee \bar{x}_i)$, pričom x_i je v D_i $(k - k_i)$ -krát a \bar{x}_i $(k - k_i)$ -krát. Zrejme každý symbol sa vyskytuje v \tilde{F} presne k -krát. Forma \tilde{F} je zrejme splnitelná práve vtedy, keď F je splnitelná.

Nech $\tilde{F} = C_1 \wedge C_2 \wedge \dots \wedge C_q$ a každý zo symbolov $x_1, \bar{x}_1, \dots, x_p, \bar{x}_p$ sa v \tilde{F} vyskytuje práve k -krát. Problém splnitelnosti \tilde{F} pretransformujeme najprv na problém prípustného toku v migrafe a ten potom na nás problém. K \tilde{F} priradme migraf na obr. 6, kde na každej hrane je dvojica: (dolná medza na tok, kapacita). Číslo v_{ij} udáva počet výskytov symbolu x_i v C_j , analogicky slúži \bar{v}_{ij} pre \bar{x}_i .



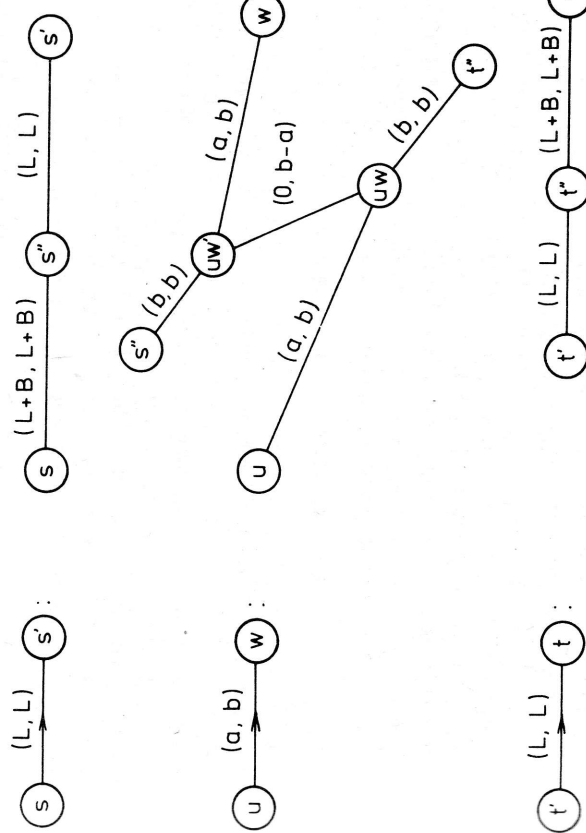
Obr. 6. K transformáciu splnitelnosti na prípustný tok.

Ak existuje prípustný tok, tak každé rebro $x_i \bar{x}_i$ musí byť nasýtené. Preto celý tok x_i prechádza alebo do \bar{x}_i a potom do x_i (vtedy x_i označíme ako pravdivé), alebo do x_i a potom do \bar{x}_i (vtedy je \bar{x}_i pravdivé). V prvom prípade každý šíp $x_i C_j$ sa nasýti: inak bude šíp $\bar{x}_i C_j$ nasýtený. Keďže dolná medza na šípe C_j je 1, tak pre každé C_j existuje prichádzajúci šíp s kladným tokom (čo označuje pravdivosť C_j). Teda forma \tilde{F} je splnitelná.

Ak je forma \tilde{F} splnitelná, tak prípustný $s \rightarrow t$ tok zrejme existuje.

Teraz ešte ukážeme, ako nahradit šípy rebrami, a tým previesť problém z migrafa na graf. Pridajme dva nové vrcholy s'' a t'' . Šíp (s, s') nahradíme rebrami $[s, s'']$ a $[s'', s']$ a analogicky šíp (t', t) , ako ukazuje obr. 7, kde B je súčet kapacít všetkých šípov migrafa okrem (s, s') a (t', t) , t. j. $B = (5+q)pk$ a $L = pk$ je požadovaná veľkosť toku. Ostatné šípy (u, w) nahradíme tak, ako ukazuje obr. 7, kde uw a uw' sú nové vrcholy pre šíp (u, w) .

Nech x je prípustný $s \rightarrow t$ tok v ziskanom grafe. Môžeme predpokladať, že $x(s, s'') \geq 0$, a teda potom aj $x(t'', t) \geq 0$ (inak tok na každom rebre obratíme). Vrchol t susedí iba s t'' , a preto $x(t', t'') = L$ a $x(uw, t'') = b$. Takto $x(u, w) \geq 0$, a preto $a \leq x(u, uw) \leq b$, $0 \leq x(uw', uw) = b - x(u, uw) \leq b - a$. Analogicky



Obr. 7. Nahradenie šípov rebrami.

vidíme, že $x(s', uw') = b$ a $x(uw', w) = x(u, uw) \geq a$, a preto celkový tok z u do w je nezáporný a späťa ohrianičenia na tok po šípe v migrafe.

K danému toku na šípe ľahko zostrojime tok na rebrách. ■

Hoci nevieme dobre hľadať ani celočeselný tok, máme aspoň nasledujúcu existenčnú vetu.

Veta 3. Ak v grafe G s celočeselnými kapacitami a dolnými medzami reber existuje prípustný tok, tak v ňom existuje celočeselný maximálny tok aj celočeselný minimálny tok.

Dôkaz. Ku každému toku y v G možno priradiť orientáciu G_y grafu G tak, že hrano zorientujeme v smere toku po nej; takto y je tokom v digrafe G_y . Obrátenie, každý tok v G_y je aj tokom v G . Existuje len konečne mnoho orientácií grafu G a v každej z nich podľa vety 1 existuje celočeselný maximálny tok aj celočeselný minimálny tok, kedykolvek existuje prípustný tok. ■

6.D Najlacnejší maximálny tok

Tokmi možno reprezentovať „tok“ produktov od výrobcov k spotrebiteľom, avšak z ekonomickejho hľadiska je dôležité uskutočniť prepravu čo najlacnejšie. Totiž niektoré prepravné linky môžu mať dostatočne veľkú kapacitu, ale drahú prepravu (napr. letecké linky). Preto závadzame na každú hranu ij aj cenu c_{ij} prepravy za jednotku toku. Úlohou je minimalizovať celkové prepravné náklady. Presnejšie, budeme uvažovať takúto úlohu:

Nech každý šíp ij digrafu G má kapacitu $b_{ij} \geq 0$ a cenu c_{ij} (môže byť aj záporná).

Pre daný vstup s a výstup t treba nájsť najlacnejší maximálny $s-t$ tok, t. j. taký maximálny $s-t$ tok x , pre ktorý je $\sum_{ij \in E(G)} x_{ij} c_{ij}$ minimálne.

Pre túto špeciálnu úlohu lineárneho programovania existuje veľmi mnoho metód, najmä pre jej dopravné verzie. Tzv. klasickú dopravnú úlohu, o ktorej pojednávame neskôr, uvažuje už Hitchcock (1941) a odvtedy sa tejto problematike venovalo mnoho autorov: Dantzig (1951) : Flood (1953) : Ford a Fulkerson (1950a) : Orden (1956) : Berge (1958) : Bily, Fiedler a Nožička (1958) : Fiedler a Nožička (1961) : Ford a Fulkerson (1962) a i. Prehľad viacerých metod nájdete napr. v [Gořeštník, Judin (1969)]. Väčšina prác využíva dualitu z lineárneho programovania (takýto postup budeme neskôr ilustrovať na Hitchcockovej dopravnej úlohe). V prácii [Bily et al.] je podrobne rozpracovaný grafový postup.

vidíme, že $x(s'', uw') = b$ a $x(uw', w) = x(u, uw) \geq a$, a preto celkový tok z u

K danému toku na šípe ľahko zostrojime tok na rebrách. ■

Hoci nevieme dobre hľadať ani celočeselný tok, máme aspoň nasledujúcu existenčnú vetu.

Veta 3. Ak v grafe G s celočeselnými kapacitami a dolnými medzami reber existuje prípustný tok, tak v ňom existuje celočeselný maximálny tok aj celočeselný minimálny tok.

Dôkaz. Ku každému toku y v G možno priradiť orientáciu G_y grafu G tak, že hrano zorientujeme v smere toku po nej; takto y je tokom v digrafe G_y . Obrátenie, každý tok v G_y je aj tokom v G . Existuje len konečne mnoho orientácií grafu G a v každej z nich podľa vety 1 existuje celočeselný maximálny tok aj celočeselný minimálny tok, kedykolvek existuje prípustný tok. ■

Tokmi možno reprezentovať „tok“ produktov od výrobcov k spotrebiteľom, avšak z ekonomickejho hľadiska je dôležité uskutočniť prepravu čo najlacnejšie. Totiž niektoré prepravné linky môžu mať dostatočne veľkú kapacitu, ale drahú prepravu (napr. letecké linky). Preto závadzame na každú hranu ij aj cenu c_{ij} prepravy za jednotku toku. Úlohou je minimalizovať celkové prepravné náklady. Presnejšie, budeme uvažovať takúto úlohu:

Nech každý šíp ij digrafu G má kapacitu $b_{ij} \geq 0$ a cenu c_{ij} (môže byť aj záporná).

Pre daný vstup s a výstup t treba nájsť najlacnejší maximálny $s-t$ tok, t. j. taký maximálny $s-t$ tok x , pre ktorý je $\sum_{ij \in E(G)} x_{ij} c_{ij}$ minimálne.

Pre túto špeciálnu úlohu lineárneho programovania existuje veľmi mnoho metód, najmä pre jej dopravné verzie. Tzv. klasickú dopravnú úlohu, o ktorej pojednávame neskôr, uvažuje už Hitchcock (1941) a odvtedy sa tejto problematike venovalo mnoho autorov: Dantzig (1951) : Flood (1953) : Ford a Fulkerson (1950a) : Orden (1956) : Berge (1958) : Bily, Fiedler a Nožička (1958) : Fiedler a Nožička (1961) : Ford a Fulkerson (1962) a i. Prehľad viacerých metod nájdete napr. v [Gořeštník, Judin (1969)]. Väčšina prác využíva dualitu z lineárneho programovania (takýto postup budeme neskôr ilustrovať na Hitchcockovej dopravnej úlohe). V prácii [Bily et al.] je podrobne rozpracovaný grafový postup.

ALGORITMUS POLOCYKLOV A POLOCEST

Pre riešenie uvedenej úlohy nájsť najlacnejší maximálny tok dámme metódu, ktorá je kombináciou algoritmov z prac [Klein (1967)] a [Busacker, Gowen (1961)]. V prvej z nich sa najprv nájde maximálny tok, ktorého cena sa potom zmenší zmenou toku na polocycloch zápornej ceny; tento pristup možno nazvať primárnym. V druhej práci je duálny pristup: Daný optimálny tok veľkosti h sa zväčšuje po najlacnejších $s-t$ polocestach.

Cena polocyklu alebo polocesty P je definovaná ako súčet cien súhlasných šípov minus súčet cien nesúhlasných šípov. (Cena predstavuje čistú zmenu ceny toku, ak na P zväčšíme tok o jednotku.) Tok x môžeme zväčšiť na polocykle alebo poloceste o $\delta > 0$, ak $x(e) + \delta \leq b(e)$ na každom súhlasnom šípe e a ak $x(e) - \delta \geq 0$ na každom nesúhlasnom šípe e . Nasledujúca veta sa explicitne alebo implicitne objavuje vo viacerých prácaach. Časť (a) možno nájsť v [Busacker, Saaty (1965)] a časť (b) v [Jewell (1958)] a v [Busacker, Gowen (1961)].

Veta 1. Nech x je tok veľkosti $f(x) = h$. Potom platí:

- Tok x má minimálnu cenu (spomedzi tokov veľkosti h) práve vtedy, keď x nemožno zväčšiť na polocykle zápornej ceny.
- Ak x je tok minimálnej ceny a zväčšíme ho o δ po najlacnejšej $s-t$ poloceste P , tak získame tok x' minimálnej ceny (spomedzi tokov veľkosti $h + \delta$).

Dôkaz. (a) (\Rightarrow) Toto tvrdenie je zrejmé. (\Leftarrow) Nech existuje tok y veľkosti h , ale menšej ceny, ako má x . Uvažujme rozdiel $z^0 = y - x$. Funkcia z^0 späňa podmiennky kontinuity v každom vrchole (aj v s a t), avšak nemusí byť tokom, lebo niekde môže „tieť“ proti šípke. Nech D^0 je digraf obsahujúci všetky vrcholy základného digrafa a $ij \in E(D^0)$ práve vtedy, keď $z_{ij}^0 > 0$, alebo keď $z_{ij}^0 < 0$. V D^0 je z^0 už tokom s nulovou veľkosťou $f(z^0)$ (tzw. cirkulácia), a teda z^0 možno rozložiť do cyklov digrafu D^0 . Skutočne, D^0 obsahuje nejaký cyklus C_1 ; nech $\delta_1 = \min \{z_{ij}^0 | ij \in C_1\}$. Ak zmeníme tok z^0 na C_1 o δ_1 , získeame tok z^1 . Nech D^1 obsahuje len tie šípy ij digrafu D^0 , kde $z_{ij}^1 > 0$ (D^1 má aspoň o jeden šíp menej ako D^0). Ak $E(D^1) \neq \emptyset$, tak v D^1 nájdeme cyklus C_2 , na ktorom možno z^1 zmensiť o nejaké δ_2 atď.

Takto viidme, že z^0 je súčtom tokov na cykloch C_1, C_2, \dots, C_k . Každý z týchto cyklov C_i zodpovedá v pôvodnom digrafe polocyklu Q_i , na ktorom možno zmeniť tok x o δ_i . Kedže $x + z^0 = y$ a tok y má menšiu cenu ako x , tak niekterý z polocyklov Q_i má zápornú cenu, čo je spor s predpokladom. Teda x má minimálnu cenu.

- Podľa prvej časti vety stačí dokázať, že x' nemožno zväčsiť na polocykly Q zápornej ceny. Keďže pre x je to pravda, tak Q a polocesta P majú aspoň jednu

Obr. 1. Príklad polocesty P a polocyklu Q .

spoločnú hranu e , pričom P prechádza cez e jedným a Q druhým smerom. Na obr. 1 sú dve také hrany: orientácia hrán nie je vyznačená: šípky udávajú smer prechodu polocesty P a polocyklu Q hránami. Polocestu P spolu s polocyklom Q a vyznačenými smermi môžeme povaľať za multidraf H , v ktorom P a Q sú hranoovo disjunktné, $\deg_H(s) = \deg_H(s) + 1$, $\deg_H(t) = \deg_H(t) + 1$ a $\deg_H(u) = \deg_H(u) = 2$ pre každé $u \neq s, t$.

Sumárna cena $c(H)$ hrán v H je rovná $c(P) + c(Q)$. Keďže $c(Q) < 0$, tak $c(H) < c(P)$. Každý 2-cyklus, ktorý zodpovedá jednej hrane v G (P a Q nou prechádzajú v rôznych smeroch) prispieva k $c(H)$ nulou, preto po vyniechaní hrán takýchto 2-cyklov z H , získame multidraf H' s $c(H') = c(H)$. Ak H' obsahuje cyklus Z , tak tento zodpovedá polocyklu v G , na ktorom možno tok x zviesť, a preto $c(Z) \geq 0$. Po vyniechaní hrán takýchto cyklov z H' získame H'' s $c(H'') \leq c(H') = c(H) < c(P)$. Avšak H'' pozostáva už len z nejakej $s-t$ cesty D a izolovaných vrcholov. D zodpovedá rezervnej $s-t$ poloceste a $c(D) = c(H'') < c(P)$, čo je spor s volbou P . ■

Rezervné polocykly zápornej ceny a rezervné $s-t$ polocesty minimálnej ceny môžeme zrejme hľadať pomocou metód pre najkratšie cesty, bud' priamo v G , resp. prehľadnejšie v pomocnom kompletom drafu \hat{G} , v ktorom dĺžky jednotlivých šípov (i, j) sú dané takto:

$$\hat{a}_{ij} = \begin{cases} c_{ij}, & \text{ak } x_{ij} < b_{ij}, x_{ij} = 0: \\ -c_{ji}, & \text{ak } x_{ij} = b_{ij}, x_{ij} > 0: \\ \min\{c_{ij}, -c_{ji}\}, & \text{ak } x_{ij} < b_{ij}, x_{ij} > 0: \\ +\infty, & \text{inak.} \end{cases}$$

Potom najkrášia $s-t$ cesta v \hat{G} zodpovedá najlacnejšej rezervnej $s-t$ poloceste v G pre tok x . Záporným cyklotom v \hat{G} zodpovedajú rezervné polocykly zápornej ceny.

Na základe vety 1 ihned máme:

Algoritmus

KROK 0: Nájdeme nejaký tok (nulový alebo aj maximálny).

KROK 1 (zmena toku po záporných polocykloch):

- 1.1: V príslušnom drafu \hat{G} hľadáme záporný cyklus. Ak neexistuje, ideme na krok 2.
- 1.2: Zmeníme tok na zápornom polocykle, čím získame lacnejší tok rovnakej velkosti. Ideme na 1.1.
- KROK 2 (zväčšenie toku po najlacnejších polocestách):**
- 2.1: V drafu \hat{G} hľadáme najkrášiu $s-t$ cestu. Ak žiadna neexistuje, STOP (okamžitý tok je najlacnejší maximálny tok).
- 2.2: Tok zväčšíme po najdenej najlacnejšej rezervnej $s-t$ poloceste. Ideme na 2.1. ●

Veta 2. Ak v úlohe nájst najlacnejší maximálny tok sú všetky kapacity celočiselné, tak (bez ohľadu na ceny) existuje taký najlacnejší maximálny tok, ktorý je celočiselný. Naviac, predchádzajúcim algoritmom vieme taký tok nájsť.

DÔKAZ. Ak v kroku 0 vyjedeme z celočiselného toku, tak každá zmena toku v krocích 1 alebo 2 bude celočiselná. Celočiselných tokov je len konečne mnoho a žiadnen sa v algoritme nevykystuje 2-krát, lebo v kroku 1 sa vždy prechádza k lacnejšiem tokom a v kroku 2 zasa k väčšiem tokom. ■

Týmto je zaručená konečnosť algoritmu aj v prípade racionalných kapacít, čo v praxi stačí. K zložitosti algoritmu sa dostaneme neskôr.

DOPRAVNÁ ÚLOHA

Nech je daný draf G , v ktorom každá hrana ij má predpísanú kapacitu b_{ij} a cenu c_{ij} za jednotku toku. Nech G má vstupy s_1, \dots, s_p a výstupy t_1, \dots, t_q s predpísanými požiadavkami a_1, \dots, a_p , resp. b_1, \dots, b_q . Úlohou je prepraviť „produkt“ zo vstupov na výstupy vo požadovaných množstvach a pri minimálnych nákladoch. Inými slovami, v G treba nájsť tok x do vstupov taký, že čistý odtok $f_{s_i}^+(x) = a_i$ a čistý prítok $f_{t_j}^-(x) = b_j$, a pritom $\sum c_{ij}x_{ij}$ je minimálne. Takáto úloha sa nazýva *dopravná*. (Iné názvy: sieťová dopravná úloha, úloha dopravy oklukou.)

Analogicky ako v 6.C možno túto úlohu previesť na úlohu o najlacnejšom maximálnom $s-t$ toku, ak ku G pridáme vstup s , výstup t (pôvodné vstupy a výstupy sa stanú prechodovými vrcholmi), hrany ss_i kapacity a_i a ceny 0 a hrany tj kapacity b_j a ceny 0. Je zrejmé, že dopravná úloha má prípustné riešenie práve vtedy, keď v novom drafu maximálny $s-t$ tok nasycuje všetky hrany ss_i a tj . Potom reštrikcia najlacnejšieho maximálneho $s-t$ toku na pôvodný draf je riešením dopravnej úlohy.

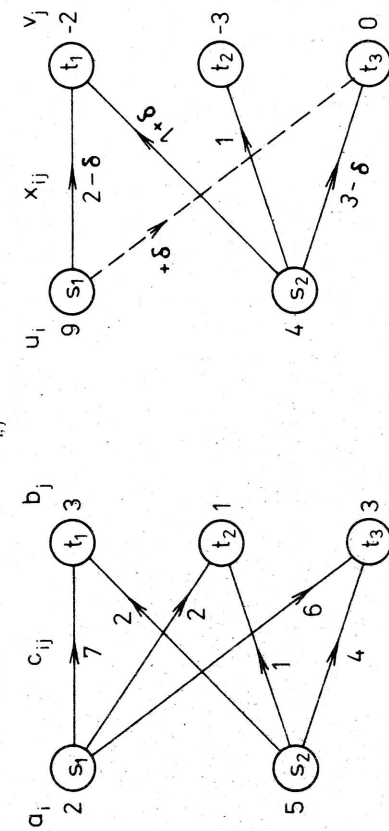
Medzi najznámejšie špeciálne dopravné úlohy patrí tzv. Hitchcockova

dopravná úloha (iný názov: klasická dopravná úloha). Hitchcock (1941) formuloval a riešil dopravnú úlohu, kde G je bipartitný digraf s $V(G) = S \cup T$ a $E(G) = \{st_j \mid s_i \in S, t_j \in T\}$ a všetky kapacity hrán sú nekonečné. Pre túto špeciálnu úlohu existuje mnoho algoritmov, a tu uvedieme simplexovú metódu, ktorú vypracoval Danzig (1951), ako špecializáciu primárnej simplexovej metódy známej z lineárneho programovania. Nasledujúci výsklad je založený na teórii duality (veta 2.B.1).

Nech x_{ij} označuje množstvo prepravované z s_i do t_j . Potom úlohu môžeme zapisať takto (porovnaj obr. 2):

$$\begin{cases} (a) & x_{i1} + x_{i2} + \dots + x_{iq} = a_i & (i=1, 2, \dots, p); \\ (b) & x_{1j} + x_{2j} + \dots + x_{pj} = b_j & (j=1, 2, \dots, q); \\ (c) & x_{ij} \geq 0 & (i=1, 2, \dots, p; j=1, 2, \dots, q); \end{cases}$$

minimalizovať $\sum_{i,j} c_{ij}x_{ij}$.



Obr. 2. Príklad Hitchcockovej dopravnej úlohy: kostra a zmena riešenia
 $((i, j) = (1, 3), \delta = 2, (\bar{i}, \bar{j}) = (1, 1))$.

K ohrazeniam (a) priradme premenné u_i a k (b) v_j . Potom duálna úloha je takáto:

$$\left\{ \begin{array}{l} u_i + v_j \leq c_{ij} \quad (i=1, 2, \dots, p; \quad j=1, 2, \dots, q); \\ \text{maximalizovať } \left(\sum_i a_i u_i + \sum_j b_j v_j \right). \end{array} \right.$$

Pripustné riešenia x a (u, v) sú optimálne práve vtedy, keď sú splnené podmienky ortogonality:

$$(*) \quad (u_i + v_j - c_{ij})x_{ij} = 0 \quad (i=1, 2, \dots, p; \quad j=1, 2, \dots, q).$$

Postup bude takýto:

(1) Nájdeme pripustné riešenie, ktoré bude odpovedať nejakej kostre digrafa G : Na hraniach kostry je $x_{ij} \geq 0$, ale mimo kostry je vždy $x_{ij} = 0$. Takéto riešenie x sa nazýva **bázické riešenie** a možno ho nájsť postupným nasycovaním vrcholov: Zvolíme dvojicu (i, j) a položíme $x_{ij} = \{\min a_i, b_j\}$ a do kostry berieme hrancu $s_i t_j$. Tým sa niektorý z vrcholov s_i, t_j nasýti, a preto ho z digrafu vyniecháme. Druhý z vrcholov vždy ponecháme a jeho požiadavku zmenšíme o x_{ij} . Potom postup opakujeme na redukovanom digrafe atď., až pokial má digraf hrany. Tako sme získali kostru a príslušné bázické riešenie. (Prvý vyniechaný vrchol bude koncový, a teda indukciu vidime, že získame kostru.)

(2) Ak máme nejakú kostru T a príslušné bázické riešenie x , tak nájdeme u_i a v_j spĺňajúce podmienky ortogonality (*). Keďže na hranách kostry môžu byť všetky $x_{ij} > 0$, musíme určiť u_i a v_j tak, aby $u_i + v_j - c_{ij} = 0$. To sa doceliť tým, že zvolíme napr. $v_q = 0$ a ostatné hodnoty u_i a v_j už vypočítame postupne cez hrany kostry T . (Výpočet je jednoznačný, lebo v T existuje jediná $t_p \rightarrow s_i$, resp. $t_p \rightarrow t_j$ polocesta.)

(3) Ak pre všetky i a j máme $u_i + v_j \leq c_{ij}$, t. j. ak (u, v) je pripustné riešenie dualnej úlohy, tak (keďže podmienky (*) sú splnené) x je optimálnym riešením primárnej a (u, v) duálnej úlohy.

(4) Ak existuje (\bar{i}, \bar{j}) tak, že $u_{\bar{i}} + v_{\bar{j}} > c_{\bar{i}\bar{j}}$, zmeníme riešenie x a (v súlade so simplexovou metódou) utvoríme novú kostru T' obsahujúcu hrancu $s_{\bar{i}} t_{\bar{j}}$. Nech C je (jediný) polocyklus v $T + s_{\bar{i}} t_{\bar{j}}$ uvažovaný tak, že šíp $s_{\bar{i}} t_{\bar{j}}$ je v ňom súhlasný. Vidíme, že ak hodnoty x_{ij} na súhlasných šípoch polocyklu zväčšíme o $\delta \geq 0$ a na nesúhlasných šípoch zmenšíme o δ , tak všetky požiadavky a_i, b_j budú splnené. Naviac, ak zvolume δ maximálne možné a také, aby $x_{ij} - \delta \geq 0$ na všetkých nesúhlasných šípoch, získame nové pripustné riešenie x' : $x'_{ij} = x_{ij} + \delta$ na súhlasných šípoch, $x'_{ij} = x_{ij} - \delta$ na nesúhlasných šípoch polocyklu C a $x'_{ij} = x_{ij}$ inak. Týmito aspoň na jednom nesúhlasnom šípe $(\bar{i}, \bar{j}) \in C$ máme $x'_{ij} = 0$. Položiac $T' = T + s_{\bar{i}} t_{\bar{j}}$, získame novú kostru T' , takže x' je nové bázické riešenie a ideme na krok (2). ●

Dôvod na zavedenie hrany $s_{\bar{i}} t_{\bar{j}}$ do kostry je ten, že cena riešenia poklesne o $\delta(u_{\bar{i}} + v_{\bar{j}} - c_{\bar{i}\bar{j}})$, čo pri $\delta > 0$ je skutočný pokles účelovej funkcie v dopravnej úlohe (6.Z.10). Každaj kostr zodpovedá jediné bázické riešenie. Skutočne: na každej koncovej hrane kostry je bázické riešenie jednoznačne určené (je rovné požiadavke koncového vrcholu) a tvrdenie vyplýva indukciou. Preto ak vždy bude $\delta > 0$, tak žiadne bázické riešenie, a teda ani žiadna kostra, sa nemôže zopakovať. Keďže

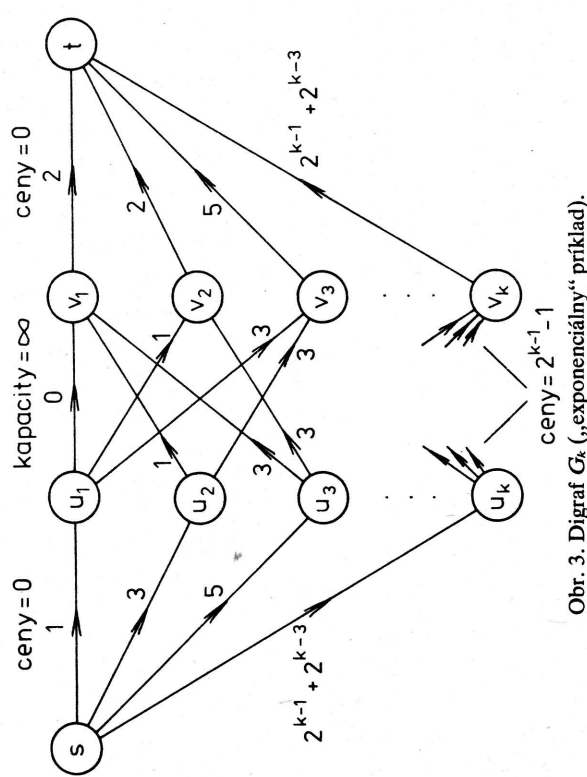
kostier je len konečné mnoho, tak z toho vyplýva konečnosť algoritmu. Žiaľ, ak sa vyskyne $\delta = 0$, tak môže vzniknúť zacyklenie. Taký príklad možno nájsť v [Gass (1964)], hoci v praktických úloholach sa zacyklenie nevyskytlo. Teoreticky sa možno poísť proti zacykleniu nepatrým pozmenením (perturbáciou) požiadaviek a_i a b_j (ak $\epsilon > 0$ je dostatočne malé, tak v úlohe s požiadavkami $a_1 + \epsilon, \dots, a_p + \epsilon, b_1, b_2, \dots, b_{q-1}, b_q + p\epsilon$ budú vždy hrany kôstry zodpovedať kladné hodnoty riešenia, a preto sa zacyklenie nevyskytne).

Hoci sa všeobecnej dopravná úloha zdá byť omnoho zložitejšia, predsa ju možno polynomiálne pretransformovať na Hitchcockovu dopravnú úlohu (6.Z.7).

POZNÁMKY O ZLOŽITOSTI

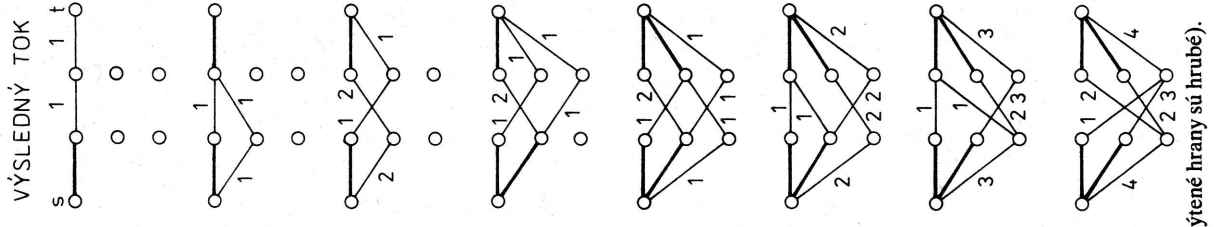
Hoci sa algoritmus polocyklov a polociest v praxi osvedčil, nie je polynomiálny, ako ukázal Zadeh (1973). Tu načrtne jeho príklad, na ktorom ukazuje, že uvedený algoritmus môže vyzadovať exponentiálne mnoho zmien toku.

Nech G_k je digraf s $2k+2$ vrcholmi $s, t, u_1, \dots, u_k, v_1, \dots, v_k$ a množinou šípov $\{su_i \mid 1 \leq i \leq k\} \cup \{v_j \mid 1 \leq j \leq k\} \cup \{uv_j \mid 1 \leq i \leq k, 1 \leq j \leq k, i \neq j\} \cup \{u_iv_i\}$. Kapacity a ceny sú vyznačené na obr. 3. Všetky šípy su_i až v_jt majú cenu 0 a všetky šípy u_iv_j majú kapacitu ∞ , (v skutočnosti stačí brať $b(u_i, v_j) = \min\{b(s, u_i), b(v_j, t)\}$). Pre $j \geq 3$ je $b(s, u_i) = b(v_j, t) = 2^{j-1} + 2^{j-3}$ a $c(u_i, v_j) = c(u_i, v_i) = 2^{j-1} - 1$, ak $i < j$.



Obr. 3. Digraf G_k (exponentiálny) príklad.

POLOCESTA	CENA	HRANY POLOCESTY	VÝSLEDNÝ TOK
P_1	0	$s \rightarrow t$	$s \rightarrow t$
P_2	1	$s \rightarrow u_1 \rightarrow v_1 \rightarrow t$	$s \rightarrow u_1 \rightarrow v_1 \rightarrow t$
P_3	2	$s \rightarrow u_1 \rightarrow v_2 \rightarrow t$	$s \rightarrow u_1 \rightarrow v_2 \rightarrow t$
P_4	3	$s \rightarrow u_1 \rightarrow v_3 \rightarrow t$	$s \rightarrow u_1 \rightarrow v_3 \rightarrow t$
P_5	3	$s \rightarrow u_2 \rightarrow v_1 \rightarrow t$	$s \rightarrow u_2 \rightarrow v_1 \rightarrow t$
P_6	4	$s \rightarrow u_2 \rightarrow v_2 \rightarrow t$	$s \rightarrow u_2 \rightarrow v_2 \rightarrow t$
P_7	5	$s \rightarrow u_2 \rightarrow v_3 \rightarrow t$	$s \rightarrow u_2 \rightarrow v_3 \rightarrow t$
P_8	6	$s \rightarrow u_3 \rightarrow v_1 \rightarrow t$	$s \rightarrow u_3 \rightarrow v_1 \rightarrow t$



Obr. 4. Postupnosť zväčšujúcich polociest v G_3 (nasýtené hrany sú hrubé).

Predpokladajme, že v kroku 0 algoritmu zvolíme nulový tok ako počiatocný. Keďže ceny sú nezáporné, tak žiadny polocyklos zápornej ceny neexistuje, a preto ideme na krok 2, v ktorom sa bude tok zväčšovať až na maximálny tok. Postupnosť zväčšujúcich $s-t$ polociest P_i v G_3 , ich ceny a príslušné výsledné toky sú vyznačené na obr. 4. Tu vidíme, že maximálny tok v G_3 má veľkosť 8 a na nájdenie najlacnejšeho maximálneho toku sme potrebovali 8-krát zväčšovať tok.

Zadeh (1973) ukazuje, že vo všeobecnosti v G_k treba urobiť $2^k + 2^{k-2} - 2$ zväčšovaní toku po najlacnejších rezervných $s-t$ polocestách P_i , čo je exponenciálne mnoho vzhladom na rozmer úlohy (zapisaný binárne). Postupnosť polociest P_i má viaceré pekné vlastnosti, ktoré uľahčia dokázať toto tvrdenie. Napr.: (1) postupnosť cien polociest P_i je neklesajúca a ak dve polocesty majú rovnakú cenu, tak majú aj rovnaký počet hrán, (2) každé zväčšovanie zväčšuje tok o 1, (3) alebo sa práve jedna hrana nasyti, alebo práve na jednej hrane sa tok stane nulovým, (4) existuje vždy práve jedna taká hrana trvanú u_iv_j s nulovým tokom, ktorá je v zväčšujúcej poloceste.

Zadeh ukázal modifikácie digrafu G_k , ktoré slúžia ako zlé príklady pre ďalšie algoritmy. Napríklad, ak by sme v uvedenom algoritme v kroku 0 nášli maximálny tok, tak v ďalšom sa uplatní len zmena toku na lacnejší cez polocykly zápornej ceny (krok 1). Vtedy stačí pridať ku G_k šíp \bar{s} kapacity $2^k + 2^{k-2} - 2$ a ceny 0 a šíp $\bar{s}t$ kapacity $2^k + 2^{k-2} - 2$ a veľmi veľkej ceny (napr. takej, aký je súčet všetkých cien ostatných hrán), kde \bar{s} je nový vstup. Ak v kroku 0 nájdeme $\bar{s}-\bar{t}$ tok veľkosti $2^k + 2^{k-2} - 2$ (maximálny), tak ho možno meniť na záporných polocykloch C_1, C_2, \dots , kde $C_i = P_i\bar{s}$ a zrejmé má zápornú cenu a dokonca je to najlacnejší rezervný polocyklos. Takto postupne meníme tok vždy o jednotku na polocykloch C_1, C_2, \dots a podľa predchádzajúceho treba takýto zmien $2^k + 2^{k-2} - 2$. Tým sa tok na šípe $\bar{s}t$ stane nulovým a získame najlacnejší maximálny tok.

Aj iné metódy sú exponenciálne: primárno-duálna Fordova a Fulkersonova metóda (1962) a simplexová metóda [Dantzig (1962)]. Zadehov príklad po úprave slúži tiež ako exponenciálny príklad na simplexovú metódu riešenia Hitchcockovej dopravnej úlohy (6.Z.11). Takéto príklady možno nájsť aj v [Adeelson–Velskij et al. (1975)], kde sa diskutujú aj ďalšie metódy (metóda potenciálov, maďarská metóda), Edmonds a Karp (1970, 1972) však dávajú polynomiálny algoritmus pre najlacnejší maximálny tok použitím myšlienky zjednočania stupnice v primárno-duálnej metóde. Ukažujú, že na Hitchcockov dopravný problém ($s \leq p \leq q$) stačí $q[2 + \log_2(\sum a_i/q)]$ zmien toku, ak sú všetky požiadavky a_1, \dots, a_p a b_1, \dots, b_q celočíselné. Takéto algoritmy majú však zatiaľ len teoretický význam, totiž v praktických úlohach sa klasické algoritmy správajú lepšie. Spomedzi klasických metod sa primárno-duálna metóda pokladala za najlepšiu, ale Glover, Karney

a Klingman (1974) testovaním na množstve príkladov zistili, že primárna simplexová metóda [Dantzig (1962)] je najrýchlejšia.

NAJLACNEJŠIE ZVÄČŠENIE KAPACÍT ŠÍPOV

Predpokladajme, že v danom digrafe G máme zabezpečiť $s-t$ tok veľkosti f , pričom v prípade potreby možno zväčšiť kapacity hrán zväčšiť. Nech $\hat{s} \bar{t}$ má kapacitu $b_{\hat{s}\bar{t}}$ a nech $c_{ij} > 0$ je cena každého zväčšenia kapacity o jednotku. Úlohou je minimali- zovať sumárnu cenu za zväčšenie kapacít.

Túto úlohu aj nasledovnú ideu riešenia navrhoval Fulker son (1959). Môžeme predpokladať, že v G existuje $s-t$ cesta (inak je a zostane maximálny tok len nulovej veľkosti). Ku každému šípu $\bar{i}j$ pridajme nový násobný šíp $\bar{i}j$ kapacity ∞ a ceny c_{ij} : pôvodný šíp $\bar{i}j$ bude mať pôvodnú kapacitu b_{ij} , ale cenu 0. Okrem toho pridajme nový šíp $\bar{i}t$ kapacity f a ceny 0, kde \bar{i} je nový vstup. Je zrejmé, že stačí nájsť najlacnejší maximálny $s-\bar{t}$ tok v utvorenom multidigrafe \hat{G} a pôvodná úloha je vyriešená. Totiž ak poteče tok šípom $\bar{i}j$, tak už $\bar{i}j$ musí byť násadený, lebo má menšiu (nulovú) cenu. Pri počítaní nemusíme mať skutočne dva násobné šípy, ale len jeden s nelineárnou, avšak konvexnou a po časťach lineárnou cenu

$$\hat{c}_{ij}(x_{ij}) := \begin{cases} 0, & \text{ak } x_{ij} \leq b_{ij}; \\ c_{ij}(x_{ij} - b_{ij}), & \text{ak } x_{ij} > b_{ij}. \end{cases}$$

Výpočet potom prebieha súmovočne s násobnými šípmi.

Na tej istej myšlienke možno modifikovať algoritmus poločyklov a polociest aj pre prípad, že ceny sú konvenčné funkcie zložené aj z viac ako dvoch lineárnych časti (6.Z.6).

6.E

Viacproduktové toky v grafoch

Nech je daný graf G , kde každé rebro $[u, v]$ má kapacitu $b[u, v]$ a nech je daných k vstupov s_1, s_2, \dots, s_k a k výstupov t_1, t_2, \dots, t_k . Potom k -tica (x_1, x_2, \dots, x_k) sa nazýva k -produktovy tok (presnejšie, $(s_1, \dots, s_k) - (t_1, \dots, t_k)$ tok) v grafe G , ak pre každé $i = 1, 2, \dots, k$ je x_i jednoproduktový $s_i - t_i$ tok a pre každé rebro $[u, v] \in E(G)$ platí:

$$|x_1(u, v)| + \dots + |x_k(u, v)| \leq b[u, v].$$

Poznamenajme, že ak po rebre $[u, v]$ tečie tok x_i veľkosti h v smere od u ku v , tak kladieme $x_i(u, v) = h \geq 0$ a $x_i(v, u) = -h \leq 0$. Nech $f(x_i)$ označuje čistý odtok toku x_i z s_i .

Zavedenie dolných medzi na tok je tiež možné, ale to nebudem robiť, lebo potom dokonca pre jednoproduktový tok máme NP-tažký problém (veta 6.C.2).

Zavádzame dve úlohy: (1) Dané sú požiadavky d_1, \dots, d_k : treba nájsť taký $(s_1, \dots, s_k) - (t_1, \dots, t_k)$ tok (x_1, \dots, x_k) , že pre každé $i = 1, 2, \dots, k$ je (čistý odtok $\sum s_i f(x_i) - d_i \geq d_i$). (2) Treba maximalizovať $f(x_1) + \dots + f(x_k)$.

V ďalšom sa sústredíme najmä na 2-produktové toky, keďže tu sa dosiahol významný úspech. Najprv riešime úlohu (2).

MAXMÁLNÝ 2-PRODUKTOVÝ TOK

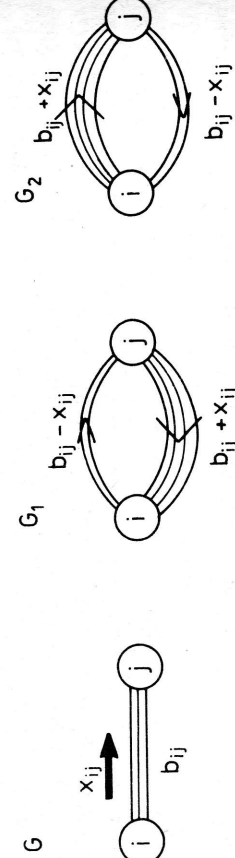
V GRAFE

Ako prvy túto úlohu vyriešil Hu (1963). Konečnosť jeho algoritmu je zaručená iba pre celočíselné kapacity rebier, avšak jeho myšlienka, zmeniť na cykle maximálny $s_i - t_i$ tok a umožniť väčší $s_2 - t_2$ tok, bola základom pre neskoršie polynomiaľné algoritmy [Čerkašskij (1973)], [Iai (1978)], [Sakarovitch (1973)], [Adelson-Velskij, Dinic, Karzanov (1975)]. V posledných dvoch prácach autorí uvažujú algoritmy porozostávajúce z riešení niekoľkých jednoproduktových úloh. Sakarovitch používa na odvodenie teóriu lineárneho programovania. Tu uvádzame grafový postup podľa [Adelson-Velskij et al.]

Predpokladáme, že graf G s kapacitami rebier $b[i, j]$ má dané 4 rozličné vrcholy: vstupy s_1, s_2 a výstupy t_1, t_2 .

Ak je daný $s_1 - t_1$ tok x v grafе G , tak x G zostrojíme dva digrafy G_1, G_2 nahradením každého rebra $[i, j]$ dvojicou protišípov (i, j) a (j, i) . G_1 má kapacity $b_1(i, j) := b[i, j] - x(i, j)$ (kedže $x(j, i) = -x(i, j)$, tak $b_1(j, i) = b[i, j] + x(i, j)$) : G_2 má kapacity $b_2(i, j) := b_1(j, i)$ (porovnaj obr. 1, kde širky hrán zodpovedajú kapaciami, $b[i, j] = b_{ij}$ a $x(i, j) = x_{ij}$)).

K prechodu od nejakého toku y v digrafe G_1 alebo G_2 na tok v grafе G je užitočné definovať funkciu $\bar{y}(i, j) := y(i, j) - y(j, i)$.



Obr. 1. Kapacity šípov v digrafoch G_1 a G_2 .

Algoritmus

KROK 1: V grafе G nájdeme maximálny $s_1 - t_1$ tok x .

KROK 2: Pomocou G a x zostrojíme digraf G_1 a určíme jeho kapacity b_1 .

Potom v G_1 nájdeme maximálny $s_2 - t_2$ tok y_1 .

KROK 3: Zostrojíme digraf G_2 a určíme kapacity b_2 . Potom v G_2 nájdeme maximálny $s_2 - t_2$ tok y_2 .

KROK 4:

4(a): Ak veľkosť toku $f(y_1) \leq f(y_2)$, tak položíme $z_1 := y_1$ a v G_2 zmenšíme tok y_2 na $s_2 - t_2$ tok z_2 vektoru $f(z_2) = f(z_1)$.

4(b): Ak $f(y_1) > f(y_2)$, tak položíme $z_2 := y_2$ a v G_1 zmenšíme tok y_1 na $s_2 - t_2$ tok z_1 vektoru $f(z_1) = f(z_2)$.

KROK 5: Položíme $x_1 := x + (\tilde{z}_1 + \tilde{z}_2)/2$, $x_2 := (\tilde{z}_1 + \tilde{z}_2)/2$ a STOP: (x_1, x_2) je maximálny dvojproduktový tok v G . ●

Dokážeme správnosť algoritmu. Najprv dokážeme, že (1) podmienky kontinuity sú spĺňané pre x_1 aj pre x_2 . Potom overíme (2) dodržanie kapacitných ohraničení a nakoniec ukážeme (3) maximálnitu dvojproduktového toku (x_1, x_2) .

(1) Kedže $V_{G_1}^+(i) = V_{G_1}^-(i) = V_G(i)$ pre každé i , tak máme:

$$\begin{aligned} \sum_{j \in V_{G_1}(i)} \tilde{z}_1(i, j) &= \sum_{j \in V_{G_1}(i)} [z_1(i, j) - z_1(j, i)] = \\ &= \sum_{j \in V_{G_1}(i)} z_1(i, j) - \sum_{j \in V_{G_1}(i)} z_1(j, i) = \\ &= \begin{cases} 0, & \text{ak } i \neq s_2, t_2; \\ f(z_1) & \text{pre } i = s_2; \\ -f(z_1) & \text{pre } i = t_2. \end{cases} \end{aligned}$$

Analogický výsledok platí pre \tilde{z}_2 , takže podmienky kontinuity sú splnené.

Naviac vidime, že $f(x_1) = f(x)$, a teda x_1 je tiež maximálny $s_1 - t_1$ tok v G . (2) Treba ukázať, že pre hubovolnú hranu $[i, j] \in E(G)$ je $|x_1(i, j)| + |x_2(i, j)| \leq b_{ij}$. Vynechávajúc argument (i, j) , máme: $|x_1| + |x_2| \leq \max \{|x_1 + x_2|, |x_1 - x_2|\}$. Preto stačí ukázať, že

$$|x_1 + x_2| = |x + \tilde{z}_1| \leq b \quad \text{a} \quad |x_1 - x_2| = |x - \tilde{z}_2| \leq b.$$

Kedže z_1 je tokom v G_1 a z_2 v G_2 , tak z definície čísel \tilde{z}_1, \tilde{z}_2 máme (pozri obr. 1):

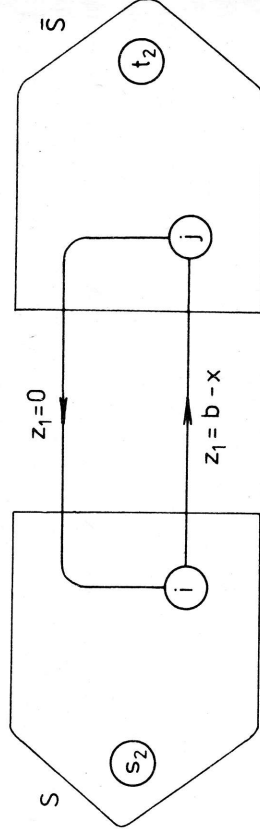
$$-b = x - (b + x) \leq x + \tilde{z}_1 \leq x + b - x = b,$$

$$-b = x - (b + x) \leq x - \bar{z}_2 \leq x + b - x = b,$$

čo sme mali ukázať.

(3) Pre dôkaz maximality toku (x_1, x_2) uvážime dva prípady, zodpovedajúce krokom 4(a) a 4(b).

(a) $f(y_i) \leq f(y_j)$. Potom $z_1 = y_i$. K maximálnemu $s_2 - t_2$ toku z_1 v G_1 existuje minimový $s_2 - t_2$ rez $(S, \bar{S})_\alpha$ s kapacitou $f(z_1)$. Ako vieme, na každom šípe $ij \in (S, \bar{S})_\alpha$ je $z_1(i, j) = b[i, j] - x(i, j) = x(i, j) - x(j, i)$ a $z_1(j, i) = 0$ (pozri obr. 2). Preto pre $ij \in (S, \bar{S})_\alpha$ máme: $x_1 + x_2 = x + z_1 = x + b - x = b$: takto aj $|x_1| + |x_2| = b$ a $x_1, x_2 \geq 0$. Teda oba toky x_1, x_2 v G smerujú S do \bar{S} a spolu nasycujú všetky hrany rezu $[S, \bar{S}]_G$. Ak na všetkých hranach tohto rezu je $x_1 = 0$, tak $f(x_2) = b[S, \bar{S}]$, a preto x_2 je maximálny $s_2 - t_2$ tok v G . Pretože v (1) sme ukázali, že x_1 je maximálny $s_1 - t_1$ tok v G , tak zrejme (x_1, x_2) je maximálny dvojproduktový tok v G .



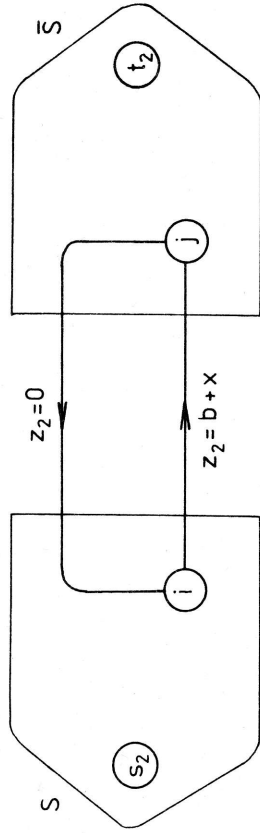
Obr. 2. K dôkazu správnosti algoritmu (prípad (a)).

Zostal nám prípad, keď na nejakom rebre ij , $i \in S$, $j \in \bar{S}$ máme $x_1(i, j) > 0$. Kedže sme ukázali, že na všetkých hranach rezu tok x_1 tečie len z S do \bar{S} , tak zrejme $s_1 \in S$ a $t_1 \in \bar{S}$. Potom však $[S, \bar{S}]_G$ je rezom oddelujúcim $\{s_1, s_2\}$ a $\{t_1, t_2\}$, a teda (x_1, x_2) je maximálny tok, lebo ho nasycuje.

(b) $f(y_i) \geq f(y_j)$. Potom $z_2 = y_j$. Analogicky ako v prípade (a), tu existuje minimový $s_2 - t_2$ rez $(S, \bar{S})_\alpha$ s kapacitou $f(z_2)$ (pozri obr. 3). Pre $ij \in (S, \bar{S})_\alpha$ máme: $x_1 - x_2 = x - \bar{z}_2 = x - (b + x) = -b$: takto $x_1 \leq 0$ a $x_2 \geq 0$. Preto v G tok (x_1, x_2) nasycuje hrany rezu $[S, \bar{S}]_G$, pričom x_1 tečie z S a x_2 z S do \bar{S} . Ak je $x_1 = 0$ na všetkých hranach rezu, tak x_2 nasycuje rez, a teda je maximálny $s_2 - t_2$ tok, čo spolu s maximalitou $s_1 - t_1$ toku x_1 dáva požadované tvrdenie.

Preto nech existuje $i \in S$, $j \in \bar{S}$ tak, že $x_1(i, j) < 0$. Potom však $s_1 \in \bar{S}$, $t_1 \in S$ a $[S, \bar{S}]_G$ je rez oddelujúci $\{s_2, t_1\}$ a $\{t_2, s_1\}$. Kedže tok (x_1, x_2) ho nasycuje, tak je maximálny.

Tým je správnosť algoritmu dokázaná. ■



Obr. 3. K dôkazu správnosti algoritmu (prípad (b)).

Zložitosť algoritmu je zrejme taká, ako pri 1-produktovom toku (pozri 6.B). V dôkaze algoritmu sme videli, že $f(x_i) = f(x)$, kde x bol maximálny $s_1 - t_1$ tok. Teda platí [Hu (1963)]:

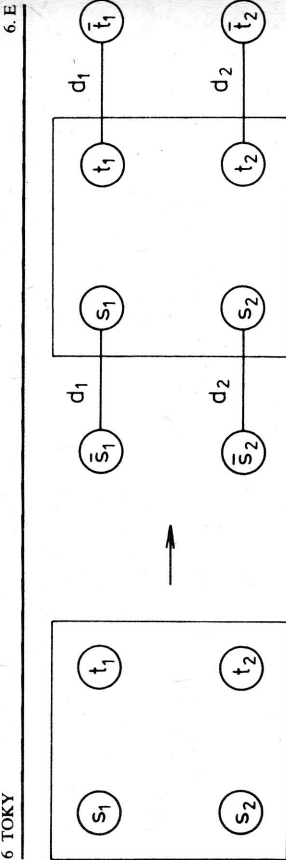
Veta 1. Existuje taký maximálny 2-produktový tok v grafe (a uvedeným algoritmom ho možno nájsť), ktorý súčasne maximalizuje tok jedného predpisaneho produktu.

V dôkaze algoritmu sme tiež videli, že zostrojený 2-produktový tok nasycoval hrany istého rezu grafu. Keďže veľkosť žiadneho toku nemôže byť väčšia ako kapacita rezu, tak máme [Hu (1963)]:

Veta 2. Maximálna sumárna veľkosť 2-produktového $(s_1, s_2) - (t_1, t_2)$ toku v grafe je rovná minimálnej kapacite rezu oddeľujúceho s_1 a t_1 a súčasne s_2 a t_2 . (Ide o $\{s_1, s_2\} - \{t_1, t_2\}$ rezu.)

Túto úlohu možno previesť na úlohu nájsť maximálny 2-produktový tok, tak ako ukazuje obr. 4. Pridáme nové vstupy \bar{s}_1, \bar{s}_2 , výstupy \bar{t}_1, \bar{t}_2 a rebrá $\bar{s}_1s_1, t_1\bar{t}_2$ s predpisane požiadavky na produkty d_1 a $\bar{s}_2s_2, t_2\bar{t}_2$ kapacity d_2 , kde d_1, d_2 sú predpisane požiadavky na produkty.

Zrejme v pôvodnom grafe existuje $(s_1, s_2) - (t_1, t_2)$ tok (x_1, x_2) s $f(x_1) \geq d_1$ a $f(x_2) \geq d_2$ práve vtedy, keď v novom grafe existuje $(\bar{s}_1, \bar{s}_2) - (\bar{t}_1, \bar{t}_2)$ tok (\bar{x}_1, \bar{x}_2) sumárnej veľkosti $d_1 + d_2$. Tako použitím predchádzajúceho algoritmu vieme riešiť aj 2-produktovú úlohu s požiadavkami.



Obr. 4. Transformácie požiadaviek na maximalizáciu toku.

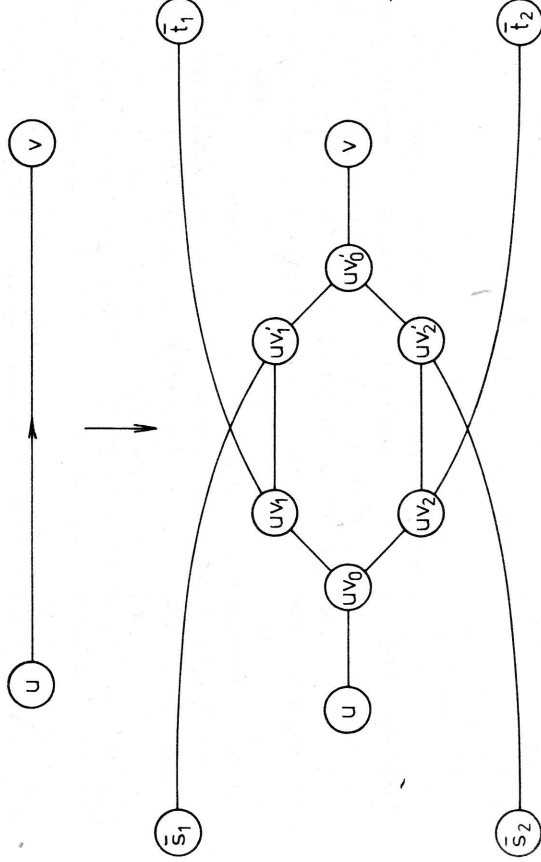
CELOČISELNÉ TOKY

Ak budú všetky kapacity hrán celé párne čísla, tak toky z_1, z_2 vieme zaručiť celočiselné a na každej hrane párne. Preto v tomto prípade máme toky x_1 a x_2 celočiselné [Hu (1963)]. Vo všeobecnosti celočiselnosť kapacít nám vždy zaručuje, že hodnoty tokov na hranach budú celočiselné násobky čísla $1/2$. Rothschild a Whinston (1966) dokázali, že ak sú všetky kapacity celočiselné a pri každom vrchole je súčet kapacít okolitých rebier parný, tak existuje taký maximálny 2-produktový tok, ktorý je celočiselný.

Žiaľ, vo všeobecnosti máme [Even, Itai, Shamir (1976)]:

Veta 3. Úloha nájsť v grafe celočiselný 2-produktový tok spĺňajúci požiadavky aj úloha nájsť maximálny celočiselný 2-produktový tok sú NP-tažké, dokonca aj v prípade jednotkových kapacít rebier.

DÔKAZ. Podľa vety 6.F.6 sú takéto úlohy v digrafoch NP-tažké. Nech je daný digraf G s jednotkovými kapacitami šipov a požiadavkami d_1, d_2 . Najprv pridáme ku G nové vstupy \bar{s}_1, \bar{s}_2 a výstupy \bar{t}_1, \bar{t}_2 , ktoré spojíme s pôvodnými pomocou šipov $\bar{s}_1, s_1, t_1, \bar{t}_1$ kapacity d_1 a šipov $\bar{s}_2, s_2, t_2, \bar{t}_2$ kapacity d_2 (potomaj obr. 4). Taktôto sú ūlohu nájsť 2-produktový tok s požiadavkami d_1, d_2 pretransformovali na takúto úlohu v digrate \tilde{G} . Každý nový šíp kapacity d_i môžeme nahradit d_i šípmi jednotkovej kapacity. Môžeme predpokladať, že $d_1, d_2 \leq |E(G)|$ (všetky hrany v G sú jednotkovej kapacity), a preto sa rozmer úlohy zväčší len lineárne. Ziskaný multidigraf \tilde{G} má len šípy kapacity 1 a každý z nich môžeme nahradit štruktúrou rebier ako na obr. 5, a tým získať graf \hat{G} s jednotkovými kapacitami rebier. Lahko vidieť, že v \hat{G} existuje celočiselný 2-produktový tok spĺňajúci požiadavky $\hat{d}_i := d_i + |E(\hat{G})| (i = 1, 2)$ práve vtedy, keď v \hat{G} existuje taký tok spĺňajúci požiadavky d_i (rebra $[\bar{s}_i, uv'_i], [uv_i, \bar{t}_i]$ musia byť vždy nasýtené produktom i , smer tokov na ostatných rebrách je týmto determinovaný).

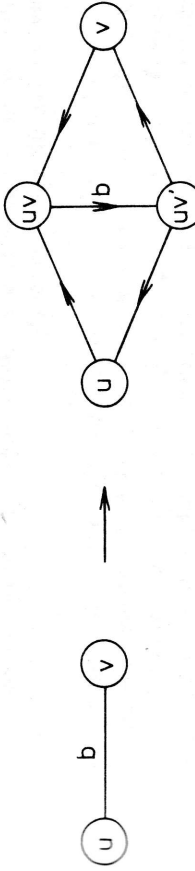


Obr. 5. Nahradenie šípa rebrami.

Posledná podmienka je ekvivalentná s tým, že v \hat{G} existuje celočiselný 2-produktový tok sumárnej veľkosti $\hat{d}_1 + \hat{d}_2$. ■

TRANSFORMÁCIA GRAFOV NA DIGRAFY

V časti 6.C sme videli, že rebro možno nahradit dvojicou protišípov, ak ide o jednoproduktový tok. Pre viac produktov takisto substitúcia nevyhovuje. Vždy však možno nahradzať podľa obr. 6, kde rebro $[u, v]$ kapacity b nahradzame štruktúrou piatich šípov, z ktorých šíp (uv, uv') má kapacitu b a ostatné kapacitu aspoň b .

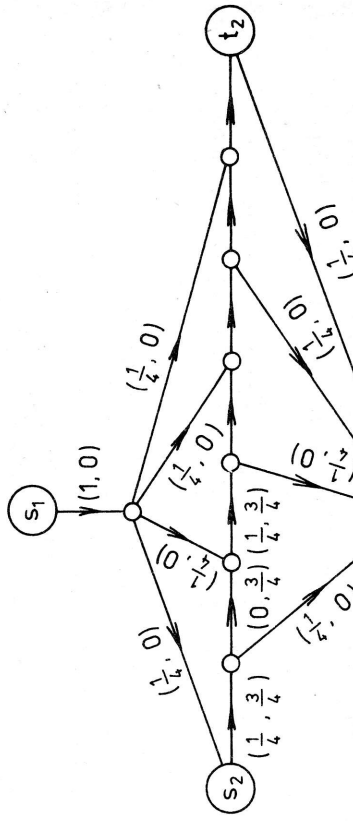


Obr. 6. Nahradenie rebra šípmi.

Každý k -produktový tok po rebre $[u, v]$ vieme "ahko simulaovať" v šípoch a obrátenie. Žiaľ, takáto substitúcia nefunguje pre dolné medze. (Ak by sme mali takú transformáciu, tak by sme NP-tažký problém prípusťného toku v grafe s dolnými medzami vedeli sformulovať ako úlohu lineárneho programovania, a teda vedeli riešiť polynomiálne, čo je mälo pravdepodobné.)

Uvedená transformácia na digrafe nie je príliš užitočná, lebo doteraz neboli vypracovaný priamy polynomiálny algoritmus ani na riešenie 2-produktovej úlohy v digrafoch. Je to však úloha lineárneho programovania, a teda polynomiálne ju vieme riešiť.

Najst algoritmus pre maximálny 2-produktový tok v digrafoch nebude ľahké. K tomuto záveru vedú príklady takého druhu ako na obr. 7, kde hodnoty maximálneho toku sú malé zlomky. (Každý šíp má kapacitu 1.) Iný dôvod je ten, že viaceré úlohy možno na úlohu maximálneho 2-produktového toku polynomiálne pretransformovať, ako uvidíme v nasledujúcej časti.



Obr. 7. Maximálny 2-produktový tok v digrafe.

6.F Polynomiálne transformácie úlohy lineárneho programovania na tokové úlohy v digrafoch

Tokové úlohy v digrafoch sa "ahko formuluju" v tvare úloh lineárneho programovania. Tu zavedieme niektoré ďalšie tokové úlohy a ukážeme, že úlohu lineárneho programovania možno na ne polynomiálne pretransformovať bez ohľadu na existenciu polynomiálneho algoritmu pre úlohu lineárneho programovania. Okrem toho, predložené transformácie sú lineárne, resp. takmer lineárne a tiež

pomocou nich dokážeme o niektorých celočíselných tokových úlohách, že sú NP-tažké.

HOMOLOGICKÝ TOK S DOLNÝMI MEDZAMI

Uvažujme digraf so vstupom s a výstupom t . Nech každý šíp ij má dolnú medzu (na tok) a_{ij} a kapacitu b_{ij} , kde pripúšťame $a_{ij} = 0$ a $b_{ij} = \infty$. Ako vieme (pozri 6.C), tu ľahko najdeme prípusťný tok, avšak úloha je ľahšia, ak sú navýše všetky hrany rozložené do tried tzv. *homologických hrán* a žiadame, aby každou hranou z tej istej triedy prechádzal rovnako veľký tok, t. j. $x(e_1) = x(e_2)$, kedykoľvek e_1, e_2 patria do tej istej triedy, teda ak e_1 a e_2 sú homologické hrany. Úlohou je nájsť prípusťný tok spôsobujúci homologické požiadavky: nájsť prípusťný homologický tok.

Táto úloha, zavedená v [Berge, Ghouila-Houri (1962)], je špeciálnou úlohou lineárneho programovania, ale je dostatočne obsažná, ako vidieť z nasledujúceho výsledku [Itai (1978)].

Veta 1. Úlohu lineárneho programovania možno polynomiálne pretransformovať na úlohu nájsť prípusťný homologický tok.

DÔKAZ. Podľa vety 2.B.2 stačí pretransformovať úlohu: nájsť nezáporné riešenie systému lineárnych rovnic

$$(1) \quad \sum_{j=1}^n a_{ij}x_j = b_i, \quad i = 1, 2, \dots, m,$$

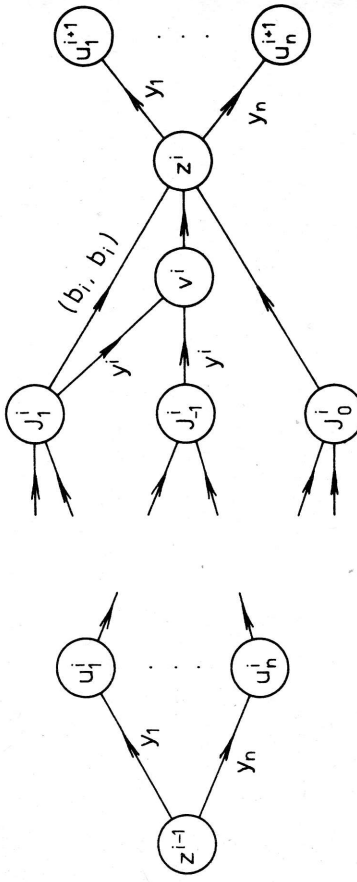
kde všetky $a_{ij} \in \{-1, 0, 1\}$, $b_i \in \{0, 1\}$.

Ak pre $p = -1, 0, 1$ a $i = 1, 2, \dots, m$ položime $J'_p := \{j \mid a_{ij} = p\}$, tak predchádzajúci systém rovnic (1) môžeťme ekvivalentne zapísť takto:

$$(2) \quad \sum_{j \in J'_1} x_j - \sum_{j \in J'_{-1}} x_j = b_i, \quad i = 1, 2, \dots, m.$$

Teraz k systému (2) skonštruijeme digraf G pozostávajúci z m časťí. Každá časť obsahuje $n + 5$ vrcholov: $u_1^i, u_2^i, \dots, u_n^i, v^i, z^i, J_{-1}^i, J_0^i, J_1^i$. V závislosti na i -tej rovnici systému (2), hrany i -tej časti sú tie iste (pozri obr. 1): Ak $j \in J_p^i$, potom viedieme šíp $z^i u_j^i$ do J_p^i ohodnotený dvojicou $(0, \infty)$ (dolná medza je 0, kapacita ∞): vrchol J_1^i spojíme do z^i šípom s ohodnotením (b_i, b_i) ; $z^i J_1^i$ aj $z^i J_{-1}^i$ viedieme homologické šípy do v^i s ohodnotením $(0, \infty)$; $z^i J_0^i$ a $z^i v^i$ viedieme šípy do z^i s ohodnotením $(0, \infty)$.

Digraf G ľahko obsahuje vstupný vrchol $s = z^0$, výstup $t = z^n$ a pre každé $j = 1, 2, \dots, n$, triedu homologických hrán $(z^0, u_1^j), (z^1, u_2^j), \dots, (z^{m-1}, u_j^m)$ s ohodnotením $(0, \infty)$.

Obr. 1. Časť digrafu G z dôkazu vety 1.

Na obr. 1, každý zo symbolov $y_1, \dots, y_n, y^1, \dots, y^m$ zodpovedá vždy jednej homologickej triede.

Dokážeme, že systém (2) má nezáporné riešenie práve vtedy, keď G má prípustný homologickej tok.

Nech $x \geq 0$ je riešenie systému (2). Potom definujeme tok y v G takto: $y(z^0, u_1^i) = \dots = y(z^{m-1}, u_m^i) = x_i$. Ďalej kladieme $y(J_i, z') = b_i$ a

$$y(J_i, v^i) = y(J_{-1}, v^i) = \sum_{j \in J_{-1}} x_j = \sum_{j \in J_i} x_j - b_i.$$

Tok y na ostatných hranach je už určený z podmienok kontinuity.

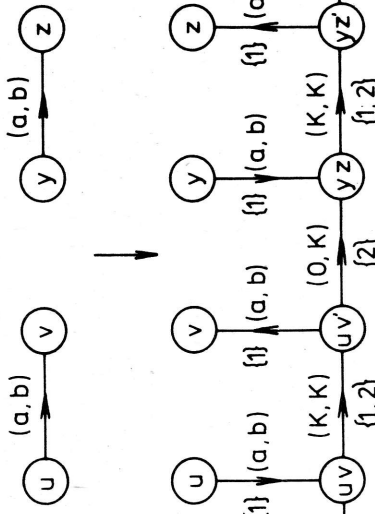
Obrátené, ak y je tok v G , tak nech y, \dots, y_n a y^1, \dots, y^m sú jeho hodnoty na homologickej hranach ako na obr. 1. Potom zrejme môžeme položiť $x_j = y_j$ a získame riešenie systému (2), a teda aj systému (1). ■

SELEKTÍVNY VIACPRODUKTOVÝ TOK S DOLNÝMI MEDZAMI

Nech je daný digraf G a v ňom $2k$ špeciálnych vrcholov s_1, s_2, \dots, s_k a t_1, t_2, \dots, t_k . Nech každá hraná e má danú dolnú medzu $a(e)$ a kapaciu $b(e)$. k -tici 1 -produktových tokov (x_1, x_2, \dots, x_k) sa nazýva (prípustný) k -produktový tok s dolnými medzami, ak x_i je $s_i \rightarrow t_i$ tok (s_i je vstup a t_i výstup) pre každé $i = 1, 2, \dots, k$ a pre každú hranu $e \in E(G)$ platí:

$$a(e) \leq x_1(e) + x_2(e) + \dots + x_k(e) \leq b(e).$$

Tiež hovoríme, že (x_1, \dots, x_k) je $(s_1, \dots, s_k) \rightarrow (t_1, \dots, t_k)$ tok.



Obr. 2. Nahradenie homologickej hrán.

druhý produkt (spoločné pre všetky konštrukcie). Prípustné množiny produktov sú vyznačené na každej hrane; K je dostatočne veľká konštantá, ktorú zabezpečíme neskôr.

Je zrejmé, že účinok homologickej hrán je zabezpečený.
Ešte nám zostáva zabezpečiť konštantu K , ktorá musí byť aspoň taká veľká ako tok na ľubovoľnej hrane. Na druhej strane, jej binárny zápis musí byť dostatočne krátky, aby sme zabezpečili polynomiuálnu transformáciu.

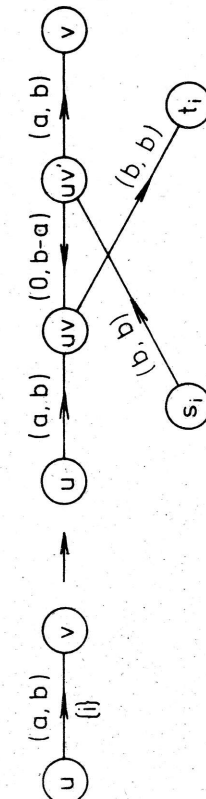
Úlohu nájsť prípustný homologickej tok možno sfomulovať v tvare lineárnych rovnic a nerovnic, čo možno upraviť na tvar $Ax = b$, $x \geq 0$ (doplňkovými premennými). Pritom všetky koeficienty $a_{ij} \in \{-1, 0, 1\}$ a každé b_i je ohraničené maximálnou konečnou kapacitou (nekonečné kapacity sa do formulácie nedostanú). Z teórie lineárneho programovania je známe, že ak existuje prípustné riešenie, tak existuje aj bázické riešenie. Nech B je podmatice matice A zodpovedajúca nejakému bázickému rišeniu a nech B_i vznikne z B výmenou i -teho stĺpca za b . Potom podľa Cramerovo pravidla je $x_i = \det(B_i)/\det(B)$, a teda $|x_i| \leq |\det(B_i)|$.

Ak M je maximálna konečná kapacita hrany, tak každá zložka vektora b je ohrianičená číslom M . Keďže prívyk ostatných stĺpcov v B sú z množiny $\{-1, 0, 1\}$, tak podľa Hadamrovej nerovnosti máme: $|x_i| \leq M^{n/2}$. Taktô stačí voliť $K = M^{n/2}$ a na binárny zápis tejto konštanty stačí $\log M + \frac{1}{2} n \log n + 1$ bitov, čo zabezpečuje polynomiuálnu transformáciu. ■

2-PRODUKTOVÝ TOK S DOLNÝMI MEDZAMI

Avšak Itai (1978) ukazuje, že od selektívnosti možno upustiť:

Veta 3. Úlohu nájsť prípustný selektívny 2-produktový tok s dolnými medzami možno polynomiuálne prertransforovať na úlohu nájsť prípustný 2-produktový tok s dolnými medzami.



Obr. 3. Nahradenie selektívnej hrany.

DÔKAZ. Každú hrancu (u, v) , ktorá pripúšťa iba tok $i \in \{1, 2\}$, nahradíme tak, ako ukazuje obr. 3. Vrcholy uv a uv' sú nové. Vrcholy s_i a t_i sú pôvodné (vstup a výstup pre i -tý produkt) a predpokladáme o nich, že s_i je prameňom a t_i ústím (inak to ľahko možno zariadiť pridaním nových vrcholov s'_i a t'_i a hrán (s'_i, s_i) a (t_i, t'_i) : zrejme s'_i a t'_i už budú také). Z toho vyplýva, že hrancami (s_i, uv') a (uv, t_i) môže tieť len produkt i , ktorý ich musí nasycovať. Preto aj hrancami (u, uv) a (uv', v) bude tieť len produkt i , a to rovnakej velkosti. ■

2-PRODUKTOVÝ TOK S POŽIADAVKAMI

A MAXIMÁLNY 2-PRODUKTOVÝ TOK

Tu upustíme od dolných medzi (t. j. všetky budú nulové), ale budeme žiadať, aby $s_i \rightarrow t_i$ tok x_i (i -teho produktu) mal veľkosť $f(x_i) \geq d_i$ ($i = 1, 2$), kde d_1, d_2 sú dané čísla (požiadavky).

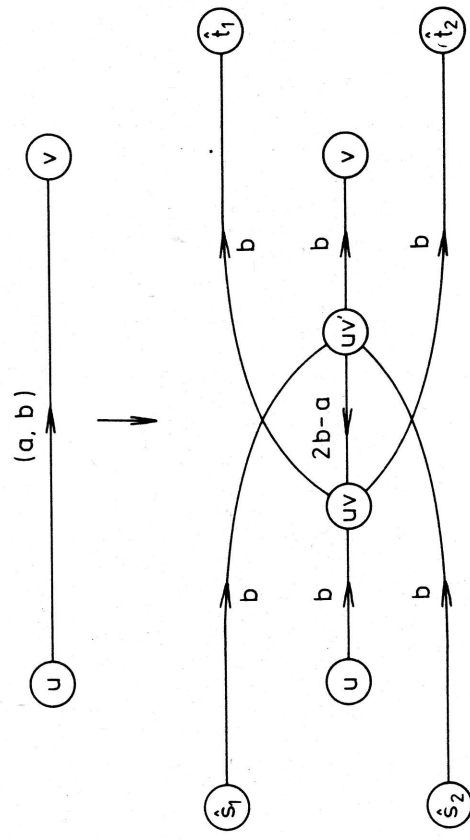
Iná úloha je taká, kde nemáme predpísané požiadavky, ale treba maximalizovať $f(x_1) + f(x_2)$: vtedy hovoríme o úlohe nájsť maximálny 2-produktový tok. Aj nasledujúci výsledok dáva Itai (1978).

Veta 4. (i) Úlohu nájsť prípustný 2-produktový tok s dolnými medzami možno polynomiuálne prertransforovať na úlohu nájsť 2-produktový tok s požiadavkami.
(ii) Úlohu nájsť 2-produktový tok s požiadavkami možno polynomiuálne prertransforovať na úlohu nájsť maximálny 2-produktový tok.

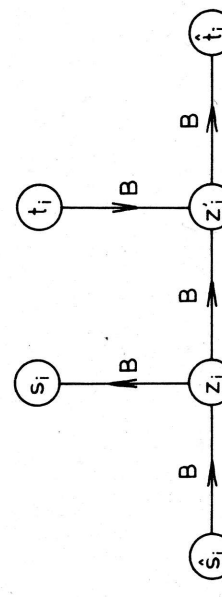
DÔKAZ. (i) K danému digrafu G s dolnými medzami zostrojíme digraf \hat{G} (bez dolných medzi) pridaním nových vstupov \hat{s}_1, \hat{s}_2 a nových výstupov \hat{t}_1, \hat{t}_2 a nasledujúcimi úpravami: (1) Každú hrancu $(u, v) \in E(G)$ (s dolnou medzou a , kapacitou b) nahradíme štruktúrou z obr. 4, keď uv a uv' sú nové vrcholy zodpovedajúce hrane (u, v) a každá hrana má už len kapacitu (dolné medze sú nulové). (2) Pôvodné vstupy a výstupy sa stanú obyčajnými vrcholmi a pre $i = 1, 2$ pridáme štruktúru z obr. 5, kde z_i, z'_i sú nové vrcholy a $B = \sum_{e \in E(\hat{G})} b(e)$ (súčet všetkých kapacít hrán v \hat{G}). (3) Požiadavky na veľkosť jednotlivých tokov kladieme: $d_1 = d_2 = 2B$.

Ak existuje v G tok (x_1, x_2) , tak ľahko zostrojíme v \hat{G} tok (\hat{x}_1, \hat{x}_2) nasycujúci všetky hrany incidiujúce s niektorými zo vstupov alebo výstupov: $\hat{s}_1, \hat{s}_2, \hat{t}_1, \hat{t}_2$ ($\hat{x}_i(u, uv) := \hat{x}_i(uw', v) := x_i(u, v)$). Potom $f(\hat{x}_i) = 2B$, a teda požiadavky budú spĺňané. Obrátenie, k takému toku v \hat{G} nájdeme ľahko tok v G . Tým je časť (i) dokázaná.

(ii) Nех je daný digraf G s požiadavkami d_1, d_2 . Utvorme digraf \hat{G} pridaním nových vstupov \hat{s}_1, \hat{s}_2 , výstupov \hat{t}_1 a hrán (\hat{s}_i, s_i) , (t_i, \hat{t}_i) kapacity d_i ($i = 1, 2$). Potom



Obr. 4. Odstránenie dolných medzí.



Obr. 5. Ku konštrukcii digrafu G.

Zrejme v \hat{G} existuje $(s_1, s_2) \rightarrow (t_1, t_2)$ tok (x_1, x_2) s $f(x_1) \geq d_1$ a $f(x_2) \geq d_2$, pravé viedy, keď v \hat{G} existuje maximálny $(\bar{s}_1, \bar{s}_2) \rightarrow (\bar{t}_1, \bar{t}_2)$ tok (\bar{x}_1, \bar{x}_2) s $f(\bar{x}_1) + f(\bar{x}_2) = d_1 + d_2$. ■

Každá zo spomínaných tokových úloh v digrafoch je špeciálnou úlohou lineárneho programovania, a teda z vset 1 až 4 máme:

- Veta 5.** Nezávisle od existencie polynomiálneho algoritmu pre úlohu lineárneho programovania sú nasledujúce úlohy s racionalnými dátami, kde úlohy o tokoch sú v digrafoch, polynomiálne ekvivalentné:
- (1) Úloha lineárneho programovania.
 - (2) Homologický tok s dolnými medzami.

Veta 6. Nasledujúce celočíselné tokové úlohy v digrafoch sú NP-ťažké, dokonca v prípade, že všetky dolné medze aj kapacity sú z množiny $\{0, 1\}$.

- (1) Homologický tok s dolnými medzami.
- (2) Selekívny 2-produktový tok s dolnými medzami.
- (3) 2-produktový tok s dolnými medzami.
- (4) 2-produktový tok s požiadavkami.
- (5) Maximálny 2-produktový tok.

Zrejme, že tvrdenia (1) a (3) v slabšej forme dáva Sahni (1974). Even, Itai a Shamir (1976) dávajú priamo transformáciu problému splniteľnosti na úlohu (4) a túto transformujú na (5).

6.Z Cvičenia a poznámky

1. Ukažte príklad, kde algoritmus Forda a Fulkersona nedá ani v limite maximálny $s-t$ tok. [Návod: Nech $r := (\sqrt{5}-1)/2$, $b_p := r^p$ ($p = 0, 1, \dots$). Potom zrejme $b_{p+2} = b_p - b_{p+1}$, rad Σb_p konverguje, a teda má nejaký súčet B. Nech G je digraf s vrcholmi s, u_i, v_j, t ($i, j = 1, \dots, 4$), šípmi su_i, v_jt, u_iv_j ($i, j = 1, \dots, 4$), a uv_j, v_jv_i ($i, j = 1, \dots, 4; i \neq j$). Šípy u_1v_1, u_2v_2, u_3v_3 a u_4v_4

- majú kapacity b_0, b_1, b_2, b_3 ; ostatné majú kapacity rovné B . V 0-tom kroku zostrojíme tok velkosti b_0 po ceste s_1, v_1, t , a tým získeame na špoch u_i, v_i rezervy $0, b_1, b_2, b_3$. V induktívnom p -tom kroku ($p \geq 1$) najprv zväčšíme tok o a_{p+1} tak, aby sme z rezerv $0, b_p, b_{p+1}, b_{p+1}$ (nie nevyhnutne v tomto poradí) získali rezervy $0, b_p - b_{p+1}, 0, b_{p+1}$ a potom zväčšíme tok o $b_p - b_{p+1}$ a dostaneme rezervy $b_{p+2}, 0, b_{p+2}, b_{p+1}$. Tako po p -tom kroku získeame $s \rightarrow t$ tok veľkosti $b_0 + b_1 + \dots + b_p < B$, ale maximálny tok má veľkosť $4B$. [Ford, Fulkerson (1962)].
2. Tok sa nazýva **acyklický**, ak šípy, na ktorých je kladný, tvoria acyklický digraf. Tok x s velkostou $f(x) = 0$ sa nazýva **cirkulácia**. Dokážte, že každý tok možno rozložiť na acyklický tok a cirkuláciu.
 3. Ukažte, že algoritmy zo 6.B zaručujú konvergenciu k maximálnemu toku pri ťubovoňlých reálnych kapacitách.
 4. V danom acyklickom digrafe treba nájsť minimálny počet ciest, z ktorých každé dve sú disjunktné a ktoré spolu obsahujú všetky vrcholy. Sformulujte to ako tokovú úlohu.
 5. Dajte tokovú formuláciu nasledujúcich dvoch úloh: (a) Pre daný systém množín $\{S_1, \dots, S_k\}$ treba nájsť tzv. systém rozličných reprezentantov e_1, \dots, e_k (t. j. $e_i \in S_i$ a $e_i \neq e_j$ pre $i \neq j$). (b) Pre dva systémy $\{S_1, \dots, S_k\}$ a $\{T_1, \dots, T_k\}$ treba nájsť spoločný systém rozličných reprezentantov.
- Ukažte, že pre tri systémy je už taký problém NP-tažký [Návod: Transformuje úlohu 3-rozmerného párenia].
6. Ukažte, že algoritmus polocyklov a polociest pre najlacnejší maximálny tok (pozri 6.D) možno upraviť pre úlohy, kde cena toku po šípe nie je len lineárna, ale všeobecne konvexná po častiach lineárna funkcia toku.
 7. Ukažte, že (všeobecnú) dopravnú úlohu možno pretransformovať na Hitchcockovu dopravnú úlohu. [Návod: Utvoríme bipartitný digraf H s partiami $E(G)$ a $V(G)$, kde požiadavka vo vrchole ij je b_{ij} : požiadavka vo vrchole j je $b(k, V_G^*(k)) - a_k$, ak k je vstupom v G , $b(k, V_G^*(k)) + b'_k$, ak k je vstupom v G a $b(k, V_G^*(k))$ inak. Pritom šíp (ij, k) v H má cenu c_{ij} , ak $j = k$, 0 pre $i = k$, a ∞ v ostatných prípadoch. Položte $x_G(ij) = x_H(ij, j)$. [Ford a Fulkerson (1962)].]
 8. Dokážte, že zmena c_{ij} na $c_{ij} + g_i + h_j$ v Hitchcockovej dopravnej úlohe nemá vplyv na optimálitu riešenia.
 9. Vychádzajúc z modelu Hitchcockovej dopravnej úlohy dokážte, že jednoženstvo je najlepšia forma marželstiev pre spoločnosť. (Tí, ktorím sa to nezdá, podobne dokážu, že je to najhoršia forma.) [Dantzig (1962).] [Návod: Predpokladajte, že každá osoba má požiadavku celkove na skrátenie trvania o jednotku. pohľavia, ktorú možno zložiť aj z príspievkov viacerých ľudí. Zo spolužitia

muža i a ženy j má spoločnosť zisk c_{ij} , ak ide o „plný úvážok“ (inak sa berie úmerná časť z c_{ij}). Po pripadnom dodaní fiktívnych osôb môžeme predpokla- dat, že počty mužov a žien sú rovnaké. Väčšou úlohou je ukázať, že sumárny maximálny zisk sa dá realizovať aj vtedy, keď každé spolužitie bude „pl- nouvážkové“.]

10. Dokážte, že v algoritme pre Hitchcockovu dopravnú úlohu z časti 6.D pri zmene riešenia poklesne hodnota účelovej funkcie o $\delta(u_i + v_j - c_{ij})$.
 11. Modifikujte príklad Zadieha z obr. 6.D.3 a ukážte exponentiálnu zložitosť simplexovej metódy zo 6.D pre Hitchcockovu dopravnú úlohu. [Návod: Vstupmi budú u_1, \dots, u_k , t s požiadavkami $1, 3, 5, \dots, 2^{k-1} + 2^{k-3}, 2^k + 2^{k-2}$ a výstupmi v_1, v_2, \dots, v_k, s s požiadavkami $2, 2, 5, \dots, 2^{k-1} + 2^{k-3}, 2^k + 2^{k-2}$. Všetky šípy $s u_i$ a v_j obrátme a pridáme šíp ts ceny $-\infty$; doplníme šípmi ceny ∞ . Ak začneme z kostry s hranami su_i, vt, ts , tak zmeny riešenia budú zodpovedať zmenám toku v pôvodnom príklade. Overte na obr. 6.D.4.]
 12. (Toky s násobičmi.) Nech každý šíp ij digrafa má okrem kapacity b_{ij} priradený tzv. **násobič toku** $w_{ij} > 0$. Ak do hrany vstupi x_{ij} jednotiek, tak vystúpi $x_{ij}w_{ij}$ jednotiek. $s \rightarrow t$ tok x musí spĺňať podmienky: $0 \leq x_{ij} \leq b_{ij} \wedge \sum w_{ip}x_{pj} = \sum x_{ij}$ $= 0$ pre $i \neq s, t$. Čistý odtok z s je $f^*(x) := \sum x_{sj} - \sum w_{js}x_{js}$ a čistý prítok do t je $f_t(x) := \sum w_{tp}x_{pt} - \sum x_{tp}$. Obvyklou úlohou je **minimalizovať stratu toku**, t. j. $f_s^*(x) - f_t(x)$, pričom často býva jedna z hodnôt $f_s^*(x), f_t(x)$ predpisaná. (a) Navrhnite nejaký postup pre hľadanie optima ([Jewell (1962)], [Onaga (1967)], [Černý (1972)]). Onaga dokazuje analógiu vety 6.D.1.)
 - (b) Ukažte na príklade, že celočiselné dátá nezaručujú celočiselný optimálny tok. (Týmto sa zmenšuje význam tokov s násobičmi.)
 - (c) Dokážte, že problém nájsť celočiselný tok s maximálnym čistým prítokom do t je NP-tažký, dokonca pre planárne acyklické digrafy s predpísaným alebo aj nepredpísaným čistým odtokom z . [Návod: Transformuje problém rozdeľenia čísel a_1, \dots, a_p na dve časti so súčetmi $d = \sum a_i/2$. Zostrojte digraf so šípmi si kapacity 1 a s násobičom 1, ti kapacity 1 a s násobičom a_i a šípom ti kapacity d a s násobičom 1 [Sahni (1974)].]
 13. Dokážte vetu 6.F.6.
- Poznamenajme, že Fortune et al. (1980) dokázali, že problém nájsť v digrafe pre dané s_1, s_2, t_1, t_2 dve disjunktívne cesty $s_1 \rightarrow t_1$ a $s_2 \rightarrow t_2$ je NP-tažký. Na druhej strane, takýto problém v grafoch je polynomiálne riešiteľný [Shiloach (1980)].
14. Nech G je digraf projektu (pozri 4.A), kde každej činnosti $(šípu) ij$ je priradené číslo a_{ij}^0 — **normálne trvanie činnosti**, číslo b_{ij} — **najkratšie trvanie činnosti** a číslo c_{ij} cena (náklady potrebné na skrátenie trvania o jednotku). Teda skrátenie činnosti $z a_{ij}^0$ na t_{ij} , $b_{ij} \leq t_{ij} \leq a_{ij}^0$, si vyžaduje zvýšenie nákladov

$\circ c_{ij}(a_{ij}^0 - t_{ij})$. Nech T_a^0 je trvanie projektu vypočítané z čísel a_{ij}^0 a T_b zasa z čísel b_{ij} . Úlohou je zistíť tzv. nákladovú krivku projektu, t. j. pre každé $T \in [T_a, T_b]$ určiť minimálne sumárne náklady $C(T)$ potrebné na skrátenie činností tak, aby celkové trvanie projektu bolo T ; naviac, žiadame nájsť aj jednotlivé trvania t_{ij} . Toto je úloha parametrického lineárneho programovania a nákladová krivka je vždy konvexná po častiach lineárná.

Pre túto špeciálnu úlohu boli vypracované viaceré postupy využívajúce duálnu úlohu a toky v sietach [Kelley (1961)], [Fulkerson (1961)]. K úlohe o maximálnom toku sa však dostaneme aj jednoduchšie:

Nech T_a^0 je zistené trvanie projektu z hodnôt a_{ij}^0 (pozri 4.Z.6) a nech $\hat{G} \subseteq G$ pozostáva zo všetkých kritických činností (šípov), t. j. \hat{G} je zjednotením všetkých kritických (nejdlhších) $s-t$ ciest v G . Ak chceme projekt skrátiť o $\delta > 0$, tak musíme všetky kritické cesty skrátiť o δ . Najlacnejšie sa to urobí tak, že najdeme najlacnejšiu $s-t$ rez v \hat{G} , t. j. minimový $s-t$ rez (V_s, V_t), pričom kapacita šípa ij je c_{ij} ak $a_{ij}^0 > b_{ij}$ a ak $a_{ij}^0 = b_{ij}$. Potom všetky hrany rezu skrátime o δ , t. j. trvania a_{ij}^0 zmeníme na $a_{ij}^1 := a_{ij}^0 - \delta$ a mimo rezu bude $a_{ij}^1 := a_{ij}^0$. Tým sa projekt skráti na dĺžku $T_a^1 = T_a^0 - \delta$, ak δ volíme dostatočne malé. Číslo δ treba voliť maximálne možné, ale tak, aby dĺžka žiadnej nekritickej $s-t$ cesty v G nepresiahla číslo $T_a^0 - \delta$. Tým zostojíme lineárny úsek medzi T_a^0 a T_a^1 a vychádzajúc z hodnôt a_{ij}^1 môžeme celý postup opakovat.

Navrhni postup pre hľadanie čísla δ a celú metódu zdôvodnite. Tiež uvažuje pripad, kedy namiesto $c_{ij}(a_{ij}^0 - t_{ij})$ je daná konvexná po častiach lineárna nákladová funkcia $c(t_{ij})$ činnosti ij .

Graf môže byť súvislý alebo nesúvislý. Avšak niektoré súvislé grafy môžu mať „vyššiu“ súvislosť, napr. ak sú bez mostov, resp. artikulácií (kap. 3). Podobne je to v digrafoch. V teórii grafov sa zaviedli pojmy umožňujúce meriť súvislosť: hranová, resp. vrcholová súvislosť. Medzi dvoma vrcholmi (miestami komunikačnej siete) bude intuitívne veľká súvislosť, ak treba na ich separovanie odstrániť mnoho hrán, resp. vrcholov. Ukazuje sa, že to je ekvivalentné tomu, že sú spojené mnogými disjunktnými cestami. Z takýchto „lokálnych“ miere možno vyrobiť „globálne“ miery súvislosti (budeťme žiadat, aby každé dva vrcholy dosťatočne súviseli). Uvedieme, ako tieto súvislosti nájsť. Takýto postup možno nazvať analýzou grafu, resp. digrafu a pri hranačach s kapacitami ide vlastne o zistenie maximálneho možného toku medzi každými dvoma miestami komunikačnej siete. Pre grafy rišime aj obrátenú úlohu, tzv. synézu, kde ide o nájdenie najlacnejšej komunikačnej siete umožňujacej toky danych veľkostí. Inou mierou súvislosti siete je maximálny počet parciálnych sietí, na ktoré možno danú sieť rozložiť tak, aby v rámci každej siete bola zabezpečená cesta (z jedného miesta do ostatných alebo medzi každými dvoma). Tu ide vlastne o rozklad grafu na hranovo-disjunktívne súvislé faktory.

7.A

Hranová a vrcholová súvislosť

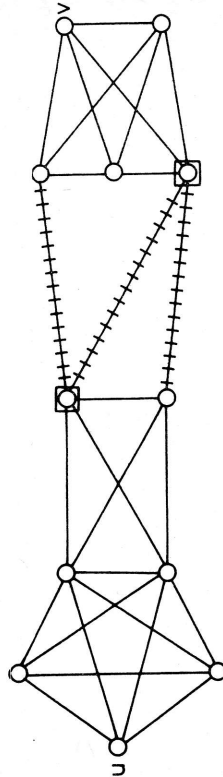
Nech G je pseudomograf reprezentujúci nejakú komunikačnú siet. Túto siet budeme považovať za tým spoloahlivejšiu, čím viac liniek z nej treba odstrániť, aby sme porušili všetky $u-v$ sledy pre nejaké u, v . Podobne možno hovoriť o počte odstranených vrcholov v súvislosti so sledmi medzi zvyšnými vrcholmi. To vede k nasledujúcim pojmom.

Nech $u, v \in V(G)$. Hovoríme, že množina hrán $S \subseteq E(G)$ separuje u a v (v tomto poradí), ak v $G - S$ neexistuje $u-v$ sled, vtedy sa S nazýva hranový $u-v$ separátor. Podobne, ak $u, v \in V(G)$ a $S \subseteq V(G) - \{u, v\}$, tak S sa nazýva vrcholový $u-v$ separátor, ak v $G - S$ neexistuje $u-v$ sled. (Ak $uv \in E(G)$, tak vrcholový $u-v$ separátor neexistuje.) V oboch prípadoch môžeme klásť $S = \emptyset$, ak už v G neexistuje $u-v$ sled.

Minimálny (v zmysle inkluzie) vrcholový (resp. hranný) $u-v$ separátor sa nazýva **vrcholový (hranový) $u-v$ rez**.

S hrannoumi rezmi v grafoch a digrafoch sme sa už stretli v častiach 5.B a 6.A, ale inak definovanými. V skutočnosti však každý hranný $u-v$ rez pseudomigrafu G má tvar $\{e \in E(G) \mid e$ je hrana xy , kde $x \in U$ a $y \in V(G) - U\}$ (za U stáč zvolit množinu všetkých vrcholov dosiahnuteľných z u v $G-S$). Množinu všetkých hrán rezu označujeme symbolom $(U, V(G) - U)_G$; ak ide o **rebrový rez** (pozostávajúci výhradne z rebier), tak uprednostňujeme zápis $[U, V(G) - U]_G$.

Hranový $u-v$ rez S , ktorý má minimálny počet prvkov, nazývame **minimový**; potom hovoríme, že **hranná súvislosť** $\kappa(u, v) = |S|$. Analogicky definujeme **vrcholovú súvislosť** $\kappa(u, v)$ medzi u a v pre $uv \notin E(G)$. Obr. 1



Obr. 1. Minimové rezy, $\lambda(u, v) = 3$, $\kappa(u, v) = 2$.

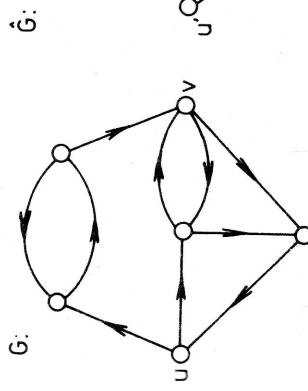
ilustruje tieto pojmy v grafe. Budeme hovoriť, že $u-v$ cesty P_1, P_2, \dots, P_k sú **vnútorné disjunktné**, ak žiadne dve z nich nemajú spoločný vnútorný vrchol a hovoríme, že sú **hranno-disjunktné**, ak žiadne dve z nich nemajú spoločnú hranu.

Nasledujúci výsledok je známy pod názvom **Mengerova veta**. Menger (1927) formuloval svoj výsledok v tvare vrcholovej verzie v grafoch a ďalšie variácie vznikli neskôr.

Veta 1 (Menger). Nech G je pseudomigraf a u, v nech sú jeho dva vrcholy.

Potom platí:

- mohutnosť $\lambda(u, v)$ minimového hrannového $u-v$ rezu je rovná maximálnejmu počtu hranno-disjunktných $u-v$ ciest,
 - ak neexistuje hrana uv , tak mohutnosť $\kappa(u, v)$ minimového vrcholového $u-v$ rezu je rovná maximálemu počtu vnútorné disjunktných $u-v$ ciest.
- DOKAZ.** Mengerova veta nám pripomína vetu (6.A.1) o minimovom reze a maximálnom toku. Túto vetu aj využijeme na dôkaz [Dantzig, Fulkerson (1956)], tak $\lambda(G) = \kappa(G) = 0$. Formálne:



Obr. 2. Digraf \hat{G} na zisťovanie vrcholovej súvislosti v G .

Maximálny celočíselný $u''-v'$ tok v \hat{G} nám „ukáže“ $\kappa(u, v)$ vnútorné disjunktné $u-v$ ciest v G . Keďže viac ich zrejme neexistuje, dôkaz je hotový. ■

Hranová (resp. **vrcholová**) **súvislosť** $\lambda(G)$ (resp. $\kappa(G)$) pseudomigrafu G je definovaná ako minimálny počet hrán (resp. vrcholov), po odstránení ktorých získame pseudomigraf bez silnej súvislosti alebo jednovrcholový. Teda ak G nie je silne súvislý, tak $\lambda(G) = \kappa(G) = 0$. Formálne:

alebo y existuje. Avšak rez $\{u\} \cup S$, resp. $S \cup \{v\}$ má nanajvyšší $\kappa(G) - 1$ prvkov, čo je nemožné. ■

$\lambda(G) = \begin{cases} 0, & \text{ak } |V(G)| = 1; \\ \min \{\lambda(u, v) \mid u, v \in V(G), u \neq v\} \text{ inak.} \end{cases}$

$\kappa(G) = \begin{cases} |V(G)| - 1, & \text{ak pre každé dva vrcholy } u, v \text{ existuje hrana } uv; \\ \min \{\kappa(u, v) \mid u, v \in V(G), u \neq v\} \text{ neexistuje hrana } uv \} \text{ inak.} \end{cases}$

Pseudomograf G sa nazýva **hranovo** (resp. **vrcholovo**) k -súvislý, ak $\lambda(G) \geq k$ (resp. $\kappa(G) \geq k$).

V nasledujúcej vete sa obmedzujeme na grafy a digrafy, ale čitateľ by si mal premyslieť zovšeobecnenie na pseudomografy.

Nech $\delta(G)$, $\delta^+(G)$, resp. $\delta^-(G)$ označujú minimálne hodnoty stupňa, odchádzajúceho, resp. prichádzajúceho stupňa v G . Potom platí nasledujúce tvrdenie [Whitney (1932)].

Veta 2.

(a) Pre lubovoľný graf G je

$$\kappa(G) \leq \lambda(G) \leq \delta(G).$$

(b) Pre lubovoľný digraf G je

$$\kappa(G) \leq \lambda(G) \leq \min \{\delta^+(G), \delta^-(G)\}.$$

(c) Lubovoľné dva vrcholy u, v grafu alebo digrafu G sú spojené aspoň $\kappa(G)$ vnútorné disjunktnými a aspoň $\lambda(G)$ hranovo-disjunktnými $u-v$ cestami.

DÔKAZ. V (a) aj (b) sú nerovnosti so stupňami zrejmé, a preto dokazujeme len vzťah $\kappa(G) \leq \lambda(G)$. Nech $(U, \bar{U})_G$ je hranový rez v G mohutnosti $\lambda(G)$ a nech uv je jedna jeho hrana. Ukažeme, že po odstránení vhodných $\lambda(G)$ vrcholov bude G bez silnej súvislosti alebo triviálny. Pre každú hrancu $xy \in (U, \bar{U})_G - \{uv\}$ vymenjajme ten z vrcholov x, y , ktorý je rôzny od u aj v . Taktôto vymenjávanie nanajvyšší $\lambda(G) - 1$ vrcholov. Ak v U zostal len vrchol u , tak ešte odstráňme vrchol v , inak odstráňme vrchol u .

(c) Pre hranovú súvislosť $\kappa(G)$ to vyplýva ihned z Mengerovej vety. Pre vrcholovú súvislosť $\kappa(G)$ to máme zarúčené len pre nesusedné vrcholy u, v . Pre kompletne grafy a digrafy je to tiež pravda, a preto nech $uv \in E(G)$ a G nie je kompletnej: potom $\kappa(G) \leq n - 2$. Ak tvrdenie neplatí, tak maximálny počet p vnútorné disjunktných $u-v$ ciest v $G - uv$ je nanajvyšší $\kappa(G) - 2$ a podľa Mengerovej vety existuje vrcholový rez S , $|S|=p$, separujúci u a v . Nech U je množina vrcholov dosiahnutelných z u v $(G - uv) - S$ a $\bar{U} = V(G) - U$. Ak existuje $x \in U - \{u\}$, tak $\{u\} \cup S$ zrejme separuje x a v v G a existuje $y \in \bar{U} - \{v\}$, tak $S \cup \{v\}$ separuje u a y . Keďže $|S| = p \leq \kappa(G) - 2 \leq n - 4$, tak x

alebo y existuje. Avšak rez $\{u\} \cup S$, resp. $S \cup \{v\}$ má nanajvyšší $\kappa(G) - 1$ prvkov, čo je nemožné. ■

Ďalšie vlastnosti hranových a vrcholových súvislostí možno nájsť v knihách z teórie grafov. Z novších úspechov pozri napr. Mader (1979). Dobrý prehľad je v [Mader (1979a)]. Friedler (1973) zaviedol tzv. *algebraickú súvislosť* grafu G ako druhé najmenšie vlastné číslo matice $A = (a_{ij})$, kde $a_{ij} = -1$, ak $ij \in E_G$, $a_{ii} = \deg_G(i)$ a $a_{ij} = 0$ inak. O význame tohto parametra pojednáva [Fiedler (1975)].

Z výpočtového hľadiska je vhodné sa obmedziť na grafy a digrafy, a preto tak ďalej aj robíme.

HLADANIE SÚVISLOSTÍ V GRAFOCH

A. DIGRAFOCH

Z dôkazu vety 1 viďime, že na nájdenie čísla $\lambda(u, v)$ alebo $\kappa(u, v)$ stačí vyriešiť jednu tokovú úlohu vo vhodnom digrafe s jednotkovými kapacitami. Ak G je graf alebo digraf, maximálny tok je nanajvyšší $n - 1$, a preto nanajvyšší tokovo zvážovaní toku treba vo Fordovom a Fulkersonovom algoritme. Jedno zváženie toku možno urobiť v čase $O(m)$ (na nájdenie rezervnej polocesty použijeme algoritmus Moora), a tak celkovo vystačíme s $O(mn)$ operáciami.

Trochu lepšie algoritmy vyuvinuli Even a Tarjan (1975). Pre $\lambda(u, v)$ dávajú $O(m^{2/3})$ algoritmus a pre $\kappa(u, v)$ $O(mn^{1/2})$ algoritmus. Čísla $\lambda(G)$, resp. $\kappa(G)$ možno zistíť vyriešením množstva tokových úloh. (Pre $\lambda(G)$ je to $n(n-1)/2$ úloh, ak G je graf. Pre $\kappa(G)$ hľadáme maximálny $u-v$ tok len pre $uv \notin E(G)$.) Avšak stačí riešiť omnoho menšie tokové úlohy.

Na určenie $\lambda(G)$ stačí nájsť minimový hranový rez $(U, \bar{U})_G$; jeho mohutnosť je $\lambda(G)$. K tomu stačí zistíť $(2n - 1)$ minimových rezov; minimový $1-i$ rez a minimový $i-1$ rez pre $i = 2, 3, \dots, n$, ak G je digraf s vrcholmi $1, 2, \dots, n$. (Ak G je graf, tak $\lambda(1, i) = \lambda(i, 1)$, a preto stačí riešiť polovičný počet tokových úloh.) Z dôvodnenie je v tom, že alebo $1 \in U$ alebo $1 \in \bar{U}$, takže napr. v prvom prípade rez $(U, \bar{U})_G$ je $1-i$ rezom pre nejaké i . Fordov–Fulkersonov algoritmus tu poskytuje $O(mn^2)$ algoritmus pre $\lambda(G)$. Avšak Even a Tarjan (1975) uvádzajú $O(mn^{3/2})$ algoritmus.

Pre vrcholovú súvislosť $\kappa(G)$ nevieme takto zredukovať počet tokových úloh (lebo ak by vrchol 1 patril do minimového vrcholového rezu, tak by sme dostali fallosný výsledok). Teda riešiac $O(n^2)$ tokových úloh, dostávame $O(mn^3)$ algoritmus. Even a Tarjan (1975) tu dávajú $O(m^2 n^{1/2})$ algoritmus.

Pripomíname, že zistíť, či $\kappa(G) \geq 1$ alebo 2 možno v čase $O(m+n)$ (pozri 3.A, B), a tak je to aj pre zistenie 3-súvislosti [Hopcroft, Tarjan (1973a)].

Konečne Even (1975) dáva $O(kn^3)$ algoritmus na zistenie, či $\kappa(G) \geq k$, ak $k < n^{1/2}$.

7.B Hranové súvislosti medzi každými dvoma vrcholmi grafu

V prechádzajúcej časti sme videli, že na určenie hranovej súvislosti $\lambda(G)$ grafu G stačí riešiť $n - 1$ úlohu o maximálnom toku. Gomory a Hu (1961) ukázali, že toľko úloh stačí riešiť aj na zistenie všetkých hranových súvislostí $\lambda(i, j)$ pre $i, j \in V(G)$. Toto ukázali všeobecne pri reálnych kapacitach rebier $b_{ij} \geq 0$. Potom namiesto $\lambda(i, j)$ sa uvažuje veľkosť f_{ij} maximálneho $i \rightarrow j$ toku. Zistovanie čísel f_{ij} sa často nazýva *analýza grafu*. Obrátenie tejto úlohy je tzv. *synéza grafu*, kde ide o navrhnutie grafu a kapacít jeho rebier tak, aby umožňoval toky predpisanych veľkostí, čo má význam pri navrhovaní komunikačných sietí. Najprv sa venujeme analýze a potom syntéze.

ANALÝZA GRAFU

Gomory a Hu (1961) analyzujú graf G postupným riešením tokových úloh a kontrahovaním vrcholov. Postupne zostrojujú strom T s kapacitami rebier, ktorý má tie isté veľkosti f_{ij} ako pôvodný graf G . Hrany stromu T zodpovedajú $n - 1$ „oddeleným“ hranovým rezon grafu G .

Hovoríme, že rez $R = [A, B]_G$ pretina množinu vrcholov $M \subset V_G$, ak $A \cap M \neq \emptyset$ aj $B \cap M \neq \emptyset$. Tiež budeme hovoriť, že dva rez $R_1 = [A_1, B_1]_G$ a $R_2 = [A_2, B_2]_G$ sa pretinajú, ak všetky štyri množiny $A_1 \cap A_2, A_1 \cap B_2, B_1 \cap A_2$ a $B_1 \cap B_2$ sú neprázne. (V diagrame grafu zobrazíme rez R , čiarou oddelujúcou

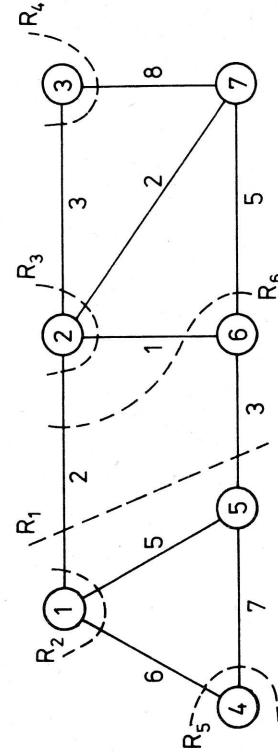
A_i a B_j , $i = 1, 2$. Ak sa rez R_1 a R_2 nepretinajú, tak ich možno zobraziť nepretinajúcimi sa čiarami.)

Analýzu grafu najprv ilustrujeme na príklade a potom postup zdôvodníme. Nech G je graf z obr. 1 s vyznačenými kapacitami rebier (prerušované čiary a symboly R_i označujú rez, ktoré ziskame neskôr). Tento graf je reprezentovaný stromom T_0 s jediným vrcholom, ktorý je vlastne „obálkou“ pre $V(G)$ (pozri obr. 2). Potom zvolíme dva vrcholy s, t , z obálky a nájdeme nejaký minimový $s_i \rightarrow t_i$ rez $R_i = [U_i, \bar{U}_i]_G$, čím ziskame z T_0 strom T_i s dvoma vrcholmi-obálkami: jedna z nich pozostáva z U_i a druhá z \bar{U}_i . Obálky spojíme hranou s kapacitou rovnou kapacite $b(R_i)$ rezu R_i , (pozri obr. 2, kde $s_i = 1, t_i = 2, U_i = \{1, 4, 5\}, b(R_i) = 5$, rez R_i tvorí hrany, ktoré pretina prerušovaná čiara označená symbolem R_i). V strome T_1 zvolineľ ibovoľne dva vrcholy s_2, t_2 z tej istej obálky C a nájdeme minimový $s_2 \rightarrow t_2$ rez R_2 v grafie G , avšak taký, ktorý nepretina druhú obálku stromu T_1 . To sa zarúčí tak, že hľadáme $s_2 \rightarrow t_2$ rez R_2 v grafie \hat{G} , ktorý vznikne kontrakciou množiny vrcholov $V_1 = \{2, 3, 6, 7\}$ (druhá obálka) do jediného vrcholu (pripadné vzniknute násobné hrany môžeme nahradí jednoducho, ak im dám sumárne kapacity). Neskôr ukážeme, že kapacita rezu R_2 sa tým nezmiení. Keďže v reze $R_2 = [U_2, \bar{U}_2]_G$ je obálka V_1 v \bar{U}_2 , tak v novom strome T_2 bude spojená do obálky $\{4, 5\}$ (hranou kapacity 5 ako v strome T_1). Kapacita $b(R_2)$ rezu R_2 sa vyznačí na hrane spájajúcej dve časti (nové obálky) starej obálky. Taktôto postupujeme ďalej aj vo všeobecnosti, až ziskame strom T_{n-1} s n obálkami, čo je výsledok postupu.

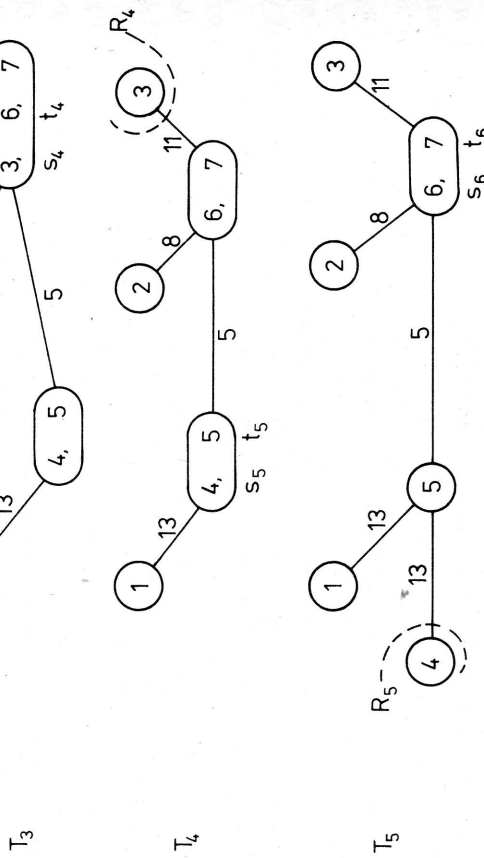
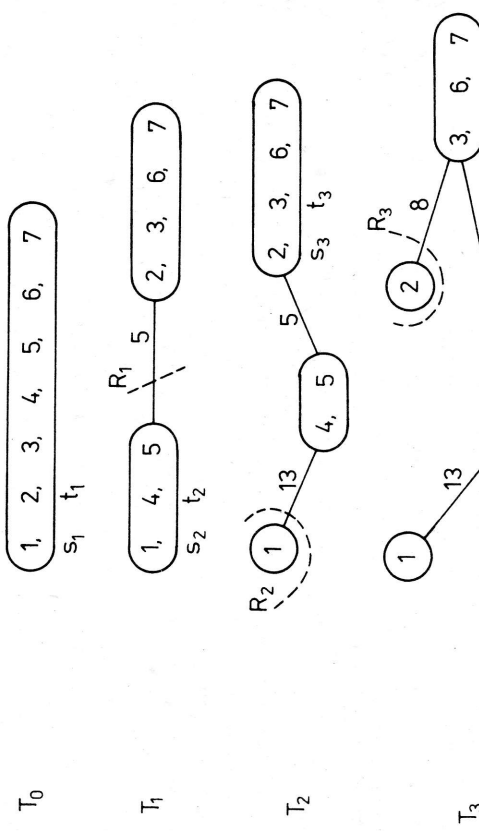
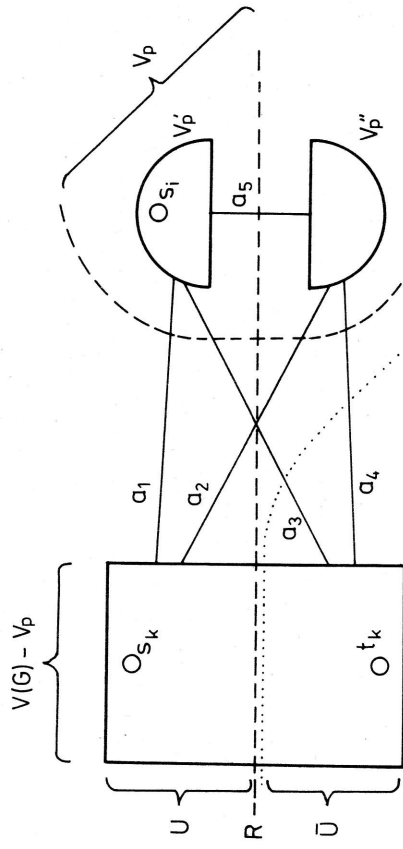
Všeobecný krok možno dobre ilustrovať na prechode od T_5 k T_6 : V strome T_{k-1} nájdeme obálku C s aspoň dvoma vrcholmi, z ktorých zvolíme s_k a t_k (u nás $s_6 = 6, t_6 = 7$). V lese $T_{k-1} - C$ je niekolko komponentov, ktorých vrcholové množiny sú V_1, V_2, \dots, V_q (u nás $q = 3$: $V_1 = \{1, 4, 5\}, V_2 = \{2\}, V_3 = \{3\}$). V grafie G kontrahujeme každú množinu V_p na jediný vrchol v_p , čím ziskame (multi)graf \hat{G} , v ktorom nájdeme minimový $s_k \rightarrow t_k$ rez $\hat{R}_k = [\hat{U}_k, \bar{\hat{U}}_k]_G$. Tento rez zodpovedá nejakému $s_k \rightarrow t_k$ rezu $R_k = [U_k, \bar{U}_k]_G$ tej istej kapacity (neskôr dokážeme, že aj R_k je minimový rez). Strom T_k vznikne z T_{k-1} takto: Namiesto obálky C budeme mať dve obálky $C \cap U_k$ a $C \cap \bar{U}_k$, ktoré spojíme hranou kapacity $b(R_k)$. Ostatné obálky budú ako v T_{k-1} ; pri tom hrana, ktorá viedla z nejakej množiny V_p do C , povedie teraz do $C \cap U_k$, ak $V_p \subset U_k$, resp. povedie do $C \cap \bar{U}_k$, ak $V_p \subset \bar{U}_k$ (kapacita hrany sa nemeni).

Lema 1(a). Rez R_k je minimový $s_k \rightarrow t_k$ rez v grafie G .

DOKAZ. Stačí dokázať, že z lubovoľného minimového $s_k \rightarrow t_k$ rezu R možno vyrobti taký minimový $s_k \rightarrow t_k$ rez, ktorý nepretina žiadnu množinu V_p . Taký rez možno



Obr. 1. Graf s kapacitami rebier a s vyznačenými minimovými rezmi.

Obr. 2. Generovanie ekvivalentného stromu T_6 ku grafu z obr. 1.Obr. 3. Nahradenie rezu R rezom \tilde{R} .

utvoriť opakovanim konštrukcie rezu \tilde{R} z obr. 3. Tu $s_k \rightarrow t_k$ rez R pretína množinu V_p , a tým ju rozdeľuje na dve časti V'_p a V''_p . Množina V_p súvisela s obálkou C cez nejakú hranu, ktorá zodpovedá nejakému rezu R_i v G , ktorým sme v minulosť oddeliли V_p od $V(G) - V_p$. Preto vo V_p leží práve jeden z vrcholov s_i, t_i . V grafe majú oba symetrickú funkciu, a preto môžeme predpokladať, že $s_i \in V_p$ a $t_i \in V'_p$. Symetria obr. 3 nám dovoluje predpokladať, že $s_i \in V'_p$ (ak $s_i \in V''_p$, tak \tilde{R} bude „nad“ množinou V_p).

Nech sumárna kapacita rebier spájajúcich: $U \cap (V(G) - V_p)$ a V'_p je a_1 , $U \cap (V(G) - V_p)$ a V''_p je a_2 , $U \cap (V(G) - V_p)$ a V_p je a_3 , $U \cap (V(G) - V_p)$ a V_p' je a_4 , V_p a V'_p je a_5 (pozri obr. 3). Potom z toho, že rez R_i je minimový máme:

$$a_1 + a_2 + a_3 + a_4 \leq a_1 + a_3 + a_5,$$

odkiaľ získame:

$$a_3 + a_4 \leq a_3 + a_5 - a_2 \leq a_2 + a_3 + a_5.$$

Preto $\tilde{R} = [U \cup V'', \bar{U} - V''_p]$, $\bar{U} - V''_p$ bude tiež minimovým $s_k \rightarrow t_k$ rezom v G (vzhľadom na množinu $V(G) - V_p$, sú R a \tilde{R} rovnake).

Rez \tilde{R} pretína o jednu množinu V_j menej ako rez R , a preto opakovánim tohto postupu možno získať minimový $s_k \rightarrow t_k$ rez nepretinajúci žiadnu z množín V_j .

Kedže rez R_k je minimový spomedzi $s_k \rightarrow t_k$ rezov takejto vlastnosti, tak je minimový vôbec. ■

Lema 1(b). Pre lubovolné vrcholy v_1, v_2, \dots, v_p grafu G platí:

$$f_{v_1 v_p} \geq \min \{f_{v_1 v_2}, f_{v_1 v_3}, \dots, f_{v_1 v_{p-1}}, f_{v_1 v_p}\}.$$

DÔKAZ. Najprv nech $p = 3$. Podľa Fordovej–Fulkersonovej vety existuje $v_i \rightarrow v_j$ rez $[U, U]_G$ kapacity $b := f_{v_i v_j}$. Ak $v_2 \in U$, tak $f_{v_1 v_3} \leq b$ a ak $v_2 \notin U$, tak $f_{v_1 v_3} \leq b$. Preto $f_{v_1 v_3} \geq \min \{f_{v_1 v_2}, f_{v_1 v_3}\}$. Požadovaná nerovnosť ihneď vyplýva indukciou. ■

Veta 1. Veľkosť f_{ij} maximálneho $i \rightarrow j$ toku v grafie G je rovná veľkosti f'_{ij} maximálneho $i \rightarrow j$ toku v strome T_{n-1} , t.j.

$$f_{ij} = f'_{ij} = \min \{b(e) | e \text{ je hrana (jedinej) } i \rightarrow j \text{ cesty v } T_{n-1}\},$$

kde $b(e)$ označuje kapacitu hrany e v strome T_{n-1} .

DÔKAZ. Nech $f'_{ij} = b(e)$. Hrana e v strome T_{n-1} zodpovedá nejakému rezu $R_k = [U_k, \bar{U}_k]$ s $i \in U_k$ a $j \in \bar{U}_k$. (Žiadne dva z rezov R_p sa nepretínajú, a preto hrana e bude zodpovedať rezu R_k v T_k aj v T_{n-1} .) Preto $f_{ij} \leq b(R_k) = b(e) = f'_{ij}$.

Obratnú nerovnosť dokážeme tým, že ukážeme pre každé k :

(*) Ak hrana e spája v T_k dve obálky C, D , existujú vrcholy $u \in C$ a $v \in D$ tak, že platí: $f_{uv} = b(e)$.

Z platnosti (*) pre T_{n-1} potom vyplýva, že $f_{ij} \geq f'_{ij}$ pre každé 2 vrcholy $i, j \in V(G)$. Skutočne: Ak ij je hranou v T_{n-1} , tak podľa (*) je $f_{ij} = f'_{ij}$. Inak nech $v_1 v_2 \dots v_p$ je (jedina) $i \rightarrow j$ cesta v T_{n-1} . Potom tvrdenie vyplýva z lemy 1(b).

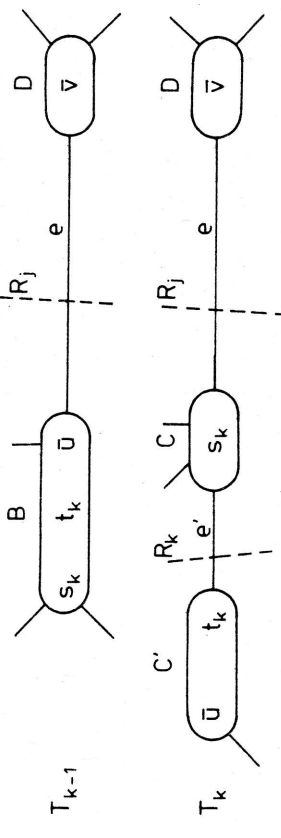
Preto nám zostáva dokázať (*). Tvrdenie zrejmé plati pre T_1 a pre indukciu nech platí pre T_{k-1} . Pre hrancu e v T_k spájajúcu dve obálky C a D sú tri možnosti:

(i) C a D boli obálkami v T_{k-1} : potom požadované vrcholy u a v zo strienu T_{k-1} ponecháme.

(ii) C a D vznikli rozdeľením jednej obálky v T_{k-1} : potom bolo $s_k \in C$ a $t_k \in D$ (resp. obratne), a preto môžeme položiť $u = s_k$ a $v = t_k$.

(iii) Jedna z obálok, povedzme C , vznikla rozdelemiem nejakej obálky B v T_{k-1} na C' a C , ale D bolo obálkou v T_{k-1} . Teda v T_{k-1} hrana e spájala B a D : nech $\bar{u} \in B$, $\bar{v} \in D$ boli také, že $f_{\bar{u}\bar{v}} = b(e)$. Ak $\bar{u} \in C$, tak zrejme môžeme položiť $u = \bar{u}$, $v = \bar{v}$. Tako zostáva prípad, keď $\bar{u} \in C'$. Možeme predpokladať, že $t_k \in C'$ a $s_k \in C$ (pozri obr. 4). Dokážeme, že možno zvoliť $u = s_k$ a $v = \bar{v}$.

Pretože rez R_k a R_j sa nepretínajú, tak kapacity rezov R_k, R_j sa nezmenia, ak všetky vrcholy v C' pospájame hranami kapacity ∞ . V takomto grafe \tilde{G} môžeme písat: $\tilde{f}_{s_k u} = b(e) = f_{s_k u}$, $\tilde{f}_{\bar{u} v} = \infty$, $\tilde{f}_{\bar{u} v} = b(e)$, a teda podľa lemy 1(b):



Obr. 4. K dôkazu vety 1.

$$\tilde{f}_{s_k u} \geq \min \{\tilde{f}_{s_k u}, \tilde{f}_{\bar{u} v}, \tilde{f}_{\bar{u} v}\} = \min \{b(e'), b(e)\}.$$

Pretože rez R_k je minimový $t_k \rightarrow s_k$ rez v G , tak existuje taký minimový $s_k \rightarrow \bar{v}$ rez v G , ktorý nepretíná C' . (Nech R je lubovoľný minimový $s_k \rightarrow \bar{v}$ rez v G . Ak R pretíná C' , tak rovnako ako v dôkaze lemy 1(a), kde sme z rezu R zos trojili rez \tilde{R} pomocou rezu R_k (pozri obr. 3), možno teraz pomocou rezu R_k utvoriť z rezu R minimový $s_k \rightarrow \bar{v}$ rez R' nepretínajúci C' .) Preto $\tilde{f}_{s_k \bar{v}} = f_{s_k \bar{v}}$. Tako z uvedeného máme:

$$f_{s_k u} \geq \min \{b(e'), b(e)\}.$$

A však $b(e') \geq b(e)$, lebo $f_{\bar{u} v} = b(e)$ a vrcholy \bar{u} a \bar{v} separuje rez R_k kapacity $b(e')$. Tako $\tilde{f}_{s_k u} \geq b(e)$, ale pretože rez R_j kapacity $b(e)$ separuje s_k a \bar{v} , tak $f_{s_k \bar{v}} = b(e)$. Preto nám vrcholy $u = s_k$ a $v = \bar{v}$ vyhovujú. ■

SYNTÉZA GRAFU

Zaujímavosťia úloha ako analýza sa zdá byť syntéza grafu: Navrhnutý graf a kapacity hrán tak, aby umožňoval toku predpisanych veľkostí medzi každými dvoma vrcholmi. Aplikácie takejto úlohy pri konštruovaní komunikačných sieťov sú zrejmé, ak pridáme požiadavku, aby siet bola najlacnejšia. To vede k úlohe:

Daná je symetrická matica (c_{ij}) typu (n, n) požadaviek na $i \rightarrow j$ toku ($r_{ij} = 0$) a symetrická matica (c_{ij}) cien za jednotkovú kapacity. Ulohou je navrhnuť kapacity $b_{ij} \geq 0$ hrán kompletného grafu G tak, aby pre každé dva vrcholy i, j v G existoval $i \rightarrow j$ tok veľkosti aspoň r_{ij} , t.j. $f_{ij} \geq r_{ij}$ a pritom aby

$$\sum_{i, j \in G} c_{ij} b_{ij}$$

bolo minimálne.

Navrhnuté postupy na riešenie tejto úlohy (napr. [Gomory, Hu (1962)]), nie sú dosť efektívne. Avšak v špeciálnom prípade, keď všetky ceny c_{ij} sú rovnaké, úlohu

vime dobre riešiť. Vtedy môžeme predpokladať, že všetky $c_{ij} = 1$, a teda účelom je minimalizovať súčet kapacít b_{ij} . Nasledujúci algoritmus [Gomory, Hu (1961)] navrhne kapacity b_{ij} tak, že v nasledujúcich vzájomoch budú rovnosti.

$$(*) \quad \sum_j b_{ij} \geq \max_j \{r_{ij}\} \quad (i=1, 2, \dots, n).$$

Kedže každé prípadné riešenie musí spĺňať (*), tak je zrejmé, že získame optimálne riešenie.

Významné je pozorovanie, ktoré sme získali pri analýze grafu, že namiesto požiadaviek pre kompletnej graf K_n stačí uspokojiť požiadavky na nejakej (ľubovoľne zvolenej) maximovej kostre T (t. j. najlacnejšiu kostru pri ohodnoteniaciach $-r_{ij}$). Maximum z požiadaviek pri každom vrchole i je v K_n a v T rovnaké (inak by kostra T nebola maximova).

Ďalší postup ilustrujeme na príklade z obr. 5, kde je kompletný graf K_5 s vyznačenými požiadavkami r_{ij} a maximová kostra T . Túto kostru T potom rozložíme na „rovnomenné“ stromy, t. j. stromy, v ktorých má každá hrana kostra T nebola maximova.

Prvý z nich bude kostra s požiadavkou rovnou minimálnej požiadavke v T (u nás 6). Po odčítaní tejto hodnoty nenulové hrany tvoria les, ktorého každý netričný strom týmto spôsobom rozkladáme na rovnomenné stromy aď. Taktto získaný rozklad je zrejmé jednoznačný.

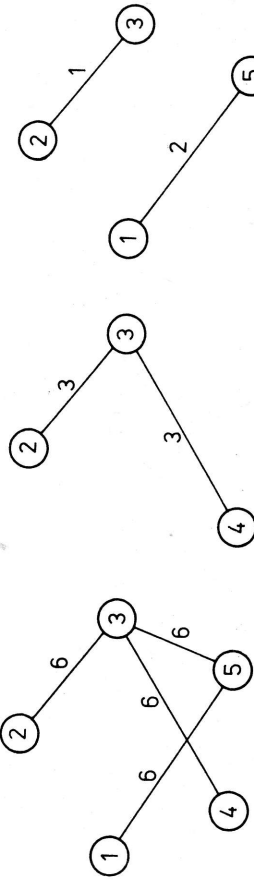
Ďalej každý rovnomenný strom nahradíme cyklom prechádzajúcim všetkými vrcholmi stromu (v hubovom poradí) a na každú jeho hranu dámme ohodnotenie rovné polovičnej rovnomennej požiadavke príslušného stromu (pozri obr. 7). (Výnimku by mohli tvoriť stromy s jednou hranou, ako uvidíme z nasledujúceho kroku, kde každý 2-cyklus zmeníme na povodnú hranu.)

Obr. 5. Tokové požiadavky a maximová kostra T .

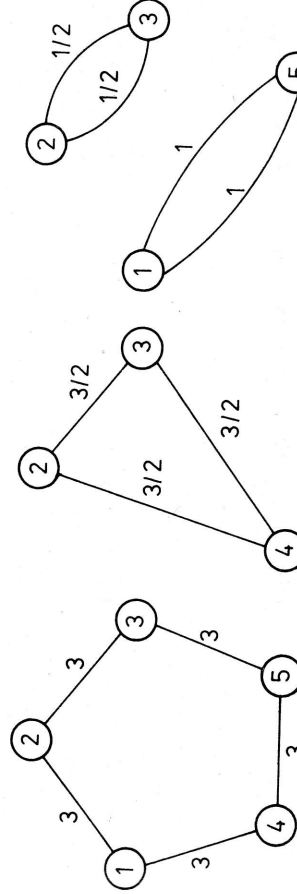
Graf K5 s 5 vrcholmi (1, 2, 3, 4, 5). Požiadavky sú uvedené na hraniach: (1,2): 10, (1,3): 4, (1,4): 6, (1,5): 5, (2,3): 10, (2,4): 8, (2,5): 9, (3,4): 4, (3,5): 6, (4,5): 5. Maximová kostra T je vyznačená čiernymi hranami: (1,3), (3,2), (2,4), (4,5), (5,1).

rovnakú požiadavku (obr. 6). Prvý z nich bude kostra s požiadavkou rovnou minimálnej požiadavke v T (u nás 6). Po odčítaní tejto hodnoty nenulové hrany tvoria les, ktorého každý netričný strom týmto spôsobom rozkladáme na rovnomenné stromy aď. Taktto získaný rozklad je zrejmé jednoznačný.

Ďalej každý rovnomenný strom nahradíme cyklom prechádzajúcim všetkými vrcholmi stromu (v hubovom poradí) a na každú jeho hranu dámme ohodnotenie rovné polovičnej rovnomennej požiadavke príslušného stromu (pozri obr. 7). (Výnimku by mohli tvoriť stromy s jednou hranou, ako uvidíme z nasledujúceho kroku, kde každý 2-cyklus zmeníme na povodnú hranu.)



Obr. 6. Rozklad kostry T na rovnomenné stromy.



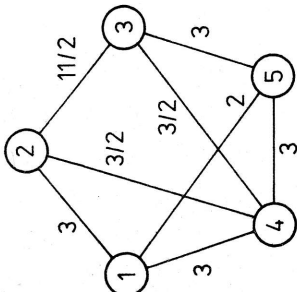
Obr. 7. Nahradenie rovnomenných stromov cyklami.

Konečným krokom je superpozícia všetkých cyklov do jedného grafu G , kde každá hrana ij dostane ohodnotenie b_{ij} rovné súčtu ohodnotení hrany ij vo všetkých cykloch (pozri obr. 8). ●

Veta 2. Graf G s kapacitami b_{ij} získaný vyšše uvedeným postupom je optimálnym riešením úlohy syntézy.

Dôkaz. Z postupu vidime, že ak zabezpečíme tokové požiadavky každého rovnomenného stromu zvlášt, tak aj pre kostru T (sučet maximálnych $i-j$ tokov v jednotlivých rovnomenných stromoch je zrejme $i-j$ tokom v T). Avšak v zodpovedajúcich cykloch možno viesť $i-j$ tok tej istej velkosti, a teda požadovaný sumárny tok možno viesť aj v G .

Optimalita vyplýva z toho, že vo vztahoch (*) budú rovnosti. ■



Obr. 8. Finálny graf G získaný superpozíciou cyklov z obr. 7.

Poznamenajme, že ak sú všetky požiadavky r_{ij} celé čísla, tak uvedený algoritmus zabezpečí, že všetky b_{ij} budú celočíselné násobky čísla 1/2. Problém nájst celočíselné optimum zostáva otvorený, avšak problém s (nerovnakými) cennami c_{ij} je tu NP-ťažký (7.Z.7).

7.C Maximálny počet disjunktných zdrojových kostier

Istou mierou súvislosti nejakého vrcholu v_0 s ostatnými môže byť počet (hranovo) disjunktných zdrojových kostier so zdrojom v_0 .

Nech G je multidigraf a v_0 nejaký jeho vrchol. Ak $S \subset V(G)$ a $v_0 \in S$, tak množinu hrán $(S, V(G) - S)_G$ označime $E_G^+(S)$ a nazývame v_0 -rež. Rišeme: $h_G(S) = |E_G^+(S)|$.

Nasledujúcu vetu objavil Edmonds (1973), avšak jeho dôkaz nedával potrebný algoritmus. Tu sledujeme dôkaz algoritmickej povahy, ktorý dal Lovász (1976).

Veta 1. Maximálny počet hranovo-disjunktných kostier so zdrojom v_0 je rovný minimálnemu počtu hrán vo v_0 -reze.

DOKAZ. Jedným smerom je tvrdenie zrejmé. Preto iba dokazujeme, že ak $h_G(S) \geq k$ pre každé $S \subset V(G)$, $v_0 \in S$, tak v G existuje k hranovo-disjunktných kostier so zdrojom v_0 . Postupujeme indukciou podľa k .

Nech $Q = (U, F) \subset G$ je strom so zdrojom v_0 a taký, že

$$(*) \quad h_{G-F}(A) \geq k-1, \text{ pre každé } S \subset V(G), \text{ kde } v_0 \in S.$$

232

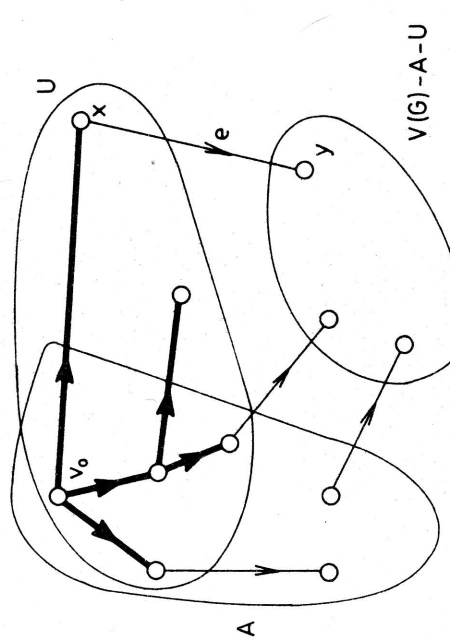
Ak $U = V(G)$, tak Q je kostra v $G - F$, čo spolu s $k-1$ kostrami v $G - F$ (existujúcimi podľa indukčného predpokladu) je k kostier. Preto nech $U \subset V(G)$. Ukážeme, že existuje šíp $e \in E_G^+(U)$ tak, že nový strom $Q + e$ ešte stále spĺňa (*).

Takto postupne získame z Q kostru. Najprv zvolíme libovoľnú hranu $e \in E_G^+(U)$. Zrejmé $Q + e$ bude strom so zdrojom v_0 . Preto kľúčovou zostáva podmienka (*). Ak pre každé $S \subset V(G)$, kde $v_0 \in S$, je $h_{G-F}(S) \geq k-1$, tak máme požadovanú hranu e nájdenú.

V opačnom pripade pre nejaké $A \subset V(G)$ s $v_0 \in A$ platí: $h_{G-F}(A) = k-2$. Kedže hranu e odchádza aj z množiny U aj z A , tak odchádza aj z $A \cup U$, t.j., $e \in E_{G-F}^+(A \cup U)$, takže $A \cup U \subset V(G)$ a zrejmé $h_{G-F}(A \cup U) = k-1$. Budeme predpokladať, že A je maximálna (v zmysle inkluzie) množina spĺňajúca podmienku

$$(**) \quad v_0 \in A, \quad A \cup U \subset V(G) \quad \text{a} \quad h_{G-F}(A) = k-1.$$

Situáciu znázorňuje obr. 1. Keďže $h_{G-F}(A \cup U) = h_{G-F}(A \cup U) \geq k$, tak $A \cup U \neq A$, $U \notin A$ a existuje šíp $e \in E_{G-F}^+(A \cup U) - E_{G-F}^+(A)$: nech $e = xy$. Zrejmé $x \in U - A$ a $y \in V(G) - A = U$. Dokážeme, že strom $Q' = (U \cup \{y\}, F \cup \{e\})$ so zdrojom v_0 spĺňa (*).



Obr. 1. K dôkazu vety 1.

Ak $e \notin E_G^+(S)$, tak potom $h_{G-F-e}(S) = h_{G-F}(S) \geq k-1$. Preto nech $e \in E_G^+(S)$. Potom $x \in S$, $y \in V(G) - S$.

Vo všeobecnosti platí nerovnosť $h(S \cup A) + h(S \cap A) \leq h(S) + h(A)$, ktorú použijeme. U nás máme $h_{G-F}(A) = k-1$, $h_{G-F}(S \cap A) \geq k-1$ (indukčný postup).

predpoklad). Keďže $x \in S$, $x \in U - A$ a $y \in V(G) - S$, $y \in V(G) - U - A$, tak $S \cup A \neq A$ a $S \cup A \subset V(G)$. Pretože A je maximálna množina spôjajúca (**), tak $h_{G-S}(S \cup A) \geq k$. Potom dosadením do spomínamej všeobecnej nerovnosti získame $h_{G-F}(S) \geq k$. Preto $h_{G-F}(S) \geq k - 1$, čo sme chceli dokázať. ■

Na základe vety 1 a jej dôkazu možno postaviť polynomálny algoritmus pre nájdenie maximálneho počtu disjunktných zdrojových kostier. Prvé také algoritmy dávajú nezávisle Tarjan (1974) a Lovász (1976). Tu uvedieme Lovászov prístup, ktorý vychádza z predchádzajúceho dôkazu.

Algoritmus vyžaduje často zisťovať, či hodnota minimového v_0 -rezu $r(\hat{G}) := \min \{h_C(S) | S \subset V(\hat{G}), v_0 \in S\}$ v danom faktore $\hat{G} \subset G$ je aspoň $k - 1$. To možno zisťiť vyriešením úlohy o existencii $v_0 \rightarrow v$ toku v \hat{G} veľkosťi aspoň $k - 1$ (pri jednotkových kapacitách hrán) pre každé $v \in V(\hat{G}) - \{v_0\}$. Fordov–Fulkersonov algoritmus tu vystačí s $O(km)$ operáciami na jednu úlohu, teda zistí, či $r(\hat{G}) \geq k - 1$ možno v čase $O(knm)$.

Algoritmus

KROK 0: Nájdeme $k := r(G)$, $G_k := G$.

KROK 1: $F_k := \emptyset$, $P_k := E(G_k)$, $U_k := \{v_0\}$. Ak $k = 0$, tak STOP: F_1, F_2, \dots $F_{r(G)}$ sú disjunktné kostry so zdrojom v_0 a je ich maximálny možný počet.

KROK 2: Ak $|F_k| = n - 1$, tak $G_{k-1} := G_k - F_k$, $k := k - 1$ a ideme na krok 1.

Inak ideme na krok 3.

KROK 3: Zvolíme lubovoľné $e = xy \in P_k \cap E^+_G(U_k)$, $P_k := P_k - \{e\}$. Ak $r(G_k - F_k - e) \geq k - 1$, tak $F_k := F_k \cup \{e\}$, $U_k := U_k \cup \{y\}$ a ideme na krok 2.

Inak $P_k := P_k - \{e\}$ a ideme na krok 3. ●

Význam množiny P_k spočíva v tom, že v kroku 3 testujeme každú hrancu e nanajvýš raz. Totiž ak zistíme pre strom (U_k, F_k) , že $r(G_k - F_k - e) \leq k - 2$, tak zrejmé pre väčší strom (U'_k, F'_k) bude tiež $r(G_k - F'_k - e) \leq k - 2$, a teda je to zbytočné overovať. Teda hrancu e môžeme z množiny prípustných hrán P_k vyniechať. Taktto pre každé k , krok 3 prebehne nanajvýš $|E(G_k)| \leq m$ raz.

Dominujúcou zložkou v kroku 3 je výpočet hodnoty minimového v_0 -rezu: $O(knm)$ operácií, ako sme už uvádzali.

Potom na najdenie jednej zdrojovej kostri stačí $O(km^2n)$ operácií a na nájdenie k zdrojových kostier stačí $O(k^2m^2n)$ operácií.

Tarjan (1974) uvádzá $O(k^2m^2)$ algoritmus a v práci [Tarjan (1976)] je pre $k = 2$ takmer lineárny algoritmus.

Hranová súvislosť $\lambda(u, v)$ dvoch vrcholov u a v je podľa Mengerovej vety rovná maximálnemu počtu hranovo disjunktných $u \rightarrow v$ ciest. V časti 7.C sme skúmali „súvislosť“ jedného vrcholu v_0 ku všetkým ostatným a hľadali maximálny počet (hranovo) disjunktných kostier so zdrojom v_0 . Čo je lepšiu mieru „súvislosti“ predstavuje maximálny počet silne súvisiacich faktorov, na ktoré možno daný graf (alebo digraf) rozložiť, lebo zahŕňa všetky vrcholy rovnako. Pre digrafy nebola táto otázka vyriešená, ale pre grafy dámé definitívnu odpoved.

Úlohy takéhoto druhu vznikajú pri rozkladoch komunikačných sieť medzi viacerých užívateľov. (Napr. cestnú sieť chceme rozložiť medzi $k = 3$ užívateľov: bicykle, osobné autá a nákladnú dopravu tak, aby sa okrem križovatiek nestretávali, pričom majú všetky základné body v každej parciálnej sieť súvisieť. Podobne možno rozkladať telegrafnú alebo inú sieť.) Taktto sa dostávame k úlohe:

(a) Nájst k disjunktných kostier multigrafu G .

Tutte (1961) dokázal, že multigraf G má k disjunktných kostier práve vtedy, ak pre každé r a každý rozklad V_1, V_2, \dots, V_r množiny $V(G)$ je počet hrán spájajúcich dve rôzne triedy aspoň $k(r-1)$. Iný dôkaz dal Nash–Williams (1961). Oba dôkazy poskytujú algoritmy na riešenie úlohy (a), hoci samotný výsledok priamo nevieme využiť. Pribuzná je úloha:

(b) Nájst k kostier multigrafu G , ktoré v zjednotení obsahujú všetky hrany. Nash–Williams (1964) ukázal, že takých k kostier existuje práve vtedy, ak $k \geq m(H)/(n(H)-1)$, pre každý netrivialný indukovaný podgraf $H \subseteq G$. Edmonds (1965a) dáva dobrý algoritmus pre úlohu (b) (v reči matroidov). Úloha (a) a úloha (b) sú zrejme špeciálne prípady nasledujúcej:

(c) Nájst najobjemnejší systém k kostier multigrafu G , t. j. najšťastnejší takých k kostier T_1, T_2, \dots, T_k , že $|E(T_1) \cup E(T_2) \cup \dots \cup E(T_k)|$, tzv. objem, je maximálny. Pre $k = 2$ má úloha (c) tiež význam pri analýze elektrických obvodov a jej riešenie dávajú Kishi a Kajitani (1969). Kameda (1976) zovšeobecnil ich úvahy a tu sledujeme jeho prácu.

Ak $S \subseteq E(G)$, tak označime $\bar{S} := E(G) - S$. Nech $\{T_1, T_2, \dots, T_k\}$ je najšťastnejší systém k kostier multigrafu G . Nech $C_i(e)$ (pre $e \in E(G)$) označuje množinu hrán (jedinečného) cyklu v $T_i + e$, ak $e \notin E(T_i)$; inak kladieme $C_i(e) = \emptyset$. Predstavme si, že kostri T_x a T_1 majú spoločnú hrancu e_1 a nech e_2 je taká hrana, že $e_1 \in C_1(e_2)$ a $e_2 \in \overline{C_1(e_2)}$. Potom zrejme zmenením kostri T_1 na susednú kostru $T_1 - e_1 + e_2$ získame objemnejší systém k kostier. Ak by $e_2 \in \cup E(T_i)$, ale napr.

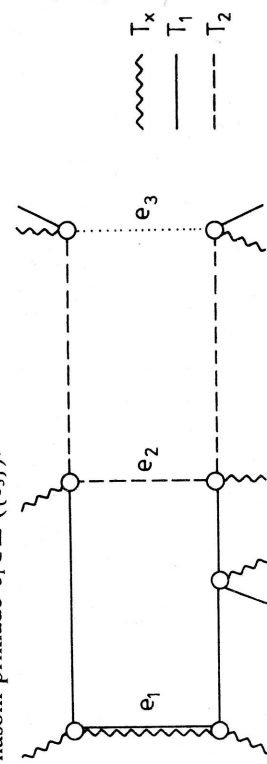
$e_2 \in C_2(e_3)$ kde $e_3 \in \overline{E(T_i)}$, tak zmeniac T_1 na $T_1 - e_1 + e_2$ a T_2 na $T_2 - e_2 + e_3$ získame opäť objemnejší systém (pozri obr. 1), lebo e_3 pribudne do $\overline{E(T_i)}$. V týchto úvahách nejme možno pokračovať. To vedie k zavedeniu funkcií $Z(S)$ a $Z^*(S)$ pre $S \subseteq E(G)$:

$$Z(S) = \bigcup_{e \in S} \bigcup_{i=1}^k C_i(e),$$

$$Z^*(S) = Z(S) \cup Z^2(S) \cup Z^3(S) \cup \dots,$$

kde $Z^2(S) = Z(Z(S))$ atď.

V našom priklade $e_1 \in Z^*(\{e_3\})$.



Obr. 1. Zváženie objemu zmenou kostier na susedné.

Všimnime si, že $Z^*(S)$ možno vypočítať v polynomiaľnom počte krokov. Totiž platí:

Veta 1. Pre každé $S \subseteq E(G)$ je

$$Z^*(S) = Z(S) \cup Z^2(S) \cup \dots \cup Z^{kn}(S).$$

Dôkaz. Ak označíme $S(i) := Z(S) \cup \dots \cup Z^i(S)$, tak z definície Z vidíme, že ak $S(i) = S(i+1)$ pre nejaké i , tak potom $S(i) = S(i+j)$ pre každý $j \geq 1$, a teda $S(i) = Z^*(S)$. Avšak $S(i) - S \subseteq \overline{E(T_i)}$ pre lubovoľné i a $|\overline{E(T_i)}| \leq kn$. Preto $S(kn) = S(kn+1) = Z^*(S)$. ■

Uvedené pozorovanie nás vedie k nasledujúcemu výsledku, kde pod *duplicítou hranou* systému kostier rozumieme hranu ležiacu v aspoň dvoch kostrach.

Veta 2. Systém k kostier T_1, T_2, \dots, T_k multigrafu G je najobjemnejší práve vtedy, keď každá duplicitná hraná je mimo množnosť $Z^*(\overline{E(T_i)})$.

Dôkaz. (\Rightarrow) Ak existuje duplicitná hraná $e_1 \in Z^*(\overline{E(T_i)})$, tak existuje postupnosť hrán e_1, e_2, \dots, e_{p+1} a indexov i_1, \dots, i_p tak, že $e_p \in C_{i_p}(e_{p+1})$ pre $p = 1, 2, \dots, r$

(porovnaj obr. 1). Po zmenе kostri $T_p + e_{p+1} - e_p$ pre $p = 1, 2, \dots, r$ (ostatné kostri zostanú nezmenené) získame objemnejší systém kostier, lebo hrana e_{p+1} pribudne a žiadna nevypadne (e_1 zostane v aspoň jednej kostre, lebo bola duplicitná). Získaný spor dokazuje implikáciu.

(\Leftarrow) Nech \hat{G} je faktor multigrafa G s $E(\hat{G}) = Z^*(\overline{E(T_i)})$. Množinu $E(\hat{G})$ rozložíme na hrany ležiace v $\overline{E(T_i)}$ a v $\overline{\overline{E(T_i)}}$. Najprv však dokážeme, že pre každý komponent H v \hat{G} platí: $H \cap T_1, H \cap T_2, \dots, H \cap T_k$ sú hranovo disjunktné kostry v H , kde $H \cap T_j := (V(H), E(H) \cap E(T_j))$. Ke tomu stačí ukázať, že lubovoľné dva vrcholy x a y v $H \cap T_i$ súvisia. Keďže H je súvislý, tak v nom existuje nejaká $x-y$ cesta P . Trváme, že pre každú hranu $e_i = x-y$ cesty P existuje $x-y$ cesta Q_i , ktorej všetky hrany ležia v $E(T_i) \cap Z^*(\overline{E(T_i)})$. Ak $e_i \in E(T_i)$, tak je to zrejmé z definície \hat{G} . Inak za Q_i stačí zobrať jedinú $x-y$ cestu v $T_i + e_i$ (potom $Q_i \subseteq Z(\overline{E(T_i)})$). Tým je ukázané, že x a y súvisia v $H \cap T_j$, a teda $H \cap T_j$ je kostra v H . Disjunktnosť kostier $H \cap T_1, \dots, H \cap T_k$ vyplýva z predpokladu, že duplicitné hrany systému T_1, \dots, T_k sú mimo $E(\hat{G})$. Teraz množinu $E(\hat{G})$ rozložíme:

$$\begin{aligned} E(\hat{G}) &= [E(\hat{G}) \cap (\overline{E(T_i)})] \cup [E(\hat{G}) \cap (\cup E(T_i))] = \\ &= [\overline{\cup E(T_i)}] \cup [\cup (E(\hat{G}) \cap E(T_i))], \\ &\text{lebo } \overline{\cup E(T_i)} \subseteq E(\hat{G}). \text{ Nech } p \text{ je počet komponentov v } \hat{G}, \text{ a nech } \hat{m} = |E(\hat{G})|. \end{aligned}$$

Z posledného vzťahu potom máme: $\hat{m} = |\overline{\cup E(T_i)}| + \kappa(n-p)$, lebo les s p komponentmi má $n-p$ hrán a tieto lesy sú podľa uvedeného hranovo disjunktné.

Keď teraz T_1, T_2, \dots, T_k je lubovoľný iný systém k kostier v G . Potom máme:

$$E(\hat{G}) = [E(\hat{G}) \cap (\overline{E(T_i)})] \cup [E(\hat{G}) \cap (\cup E(T_i))]$$

a odial

$$\hat{m} = |E(\hat{G})| \leqslant |\overline{\cup E(T_i)}| + \kappa(n-p).$$

Porovnanie tejto nerovnosti s uvedenou rovnosťou dáva: $|\overline{\cup E(T_i)}| \leqslant |\overline{\cup E(T_i)}|$, a teda $|\cup E(T_i)| \geqslant |\overline{\cup E(T_i)}|$, t.j. systém T_1, \dots, T_k je najobjemnejší. ■

Kameda navrhuje nasledujúci algoritmus pre najobjemnejší systém k kostier, ktorý je založený na postupnom zväčšovaní systému k kostier ako v prvej časti dôkazu vety 2.

Algoritmus

KROK 1: Nájdeme nejaký sústém k kostier T_1, T_2, \dots, T_k v G (napr. nájdeme nejakú kostru T_i , a položime $T_i := T_i$ pre všetky i).

KROK 2 (overovanie optimality sústemu podľa vety 2):

2.1: $M := \overline{\cup E(T_i)}$.

2.2: Ak $M = \emptyset$, tak STOP: sústém T_1, \dots, T_k je najobjemnejší. Inak zvolime lubovoľné hranu $e \in M$, $M := M - \{e\}$, $S := \{e\}$,

$$R := \{e\}.$$

2.3: $S := Z(S) - R$.

Ak S obsahuje duplicitnú hranu sústemu T_1, \dots, T_k , tak tento sústém zmeníme na objemnejší (tak ako v prvej časti dôkazu vety 2), zahŕňajúci hranu e : označíme ho opäť ako T_1, \dots, T_k a ideme na krok 2.

Ak $S \not\subseteq R$, tak $R := R \cup S$ a ideme na krok 2.3. Inak ideme na krok 2.2. ●

Vynechanie z grafu poruší každú $s-t$ cestu dĺžky nepresahujúcej L [Lovász et al. (1978)]. Teda vo všeobecnosti analógia Mengerovej vety neplatí, ale pre $L = d(s, t)$ platí.

- (b) Ukážie, že pre hranovo disjunktívne cesty je to podobné.
Itai et al. (1982) ukázali, že problém nájsť maximálny počet vnútorné (resp. hranovo) disjunktívnych $s-t$ ciest dĺžky nanajvýš L je NP-tažký v grafoch aj grafoch už pre $L \geq 5$.
- 6. Dokážte, že ak má graf G všetky stupne párne, tak má takú orientáciu H , že pre každé dva vrcholy u, v platí: $\lambda_H(u, v) = \lambda_G(u, v)$. [Návod: Súhlasne zorientujte eulervský tah v G (časť 9.A).]

Zosilnenie pre lubovoľný multigraf dáva Nash–Williams (1960).

- 7. Dokážte, že pre problém syntézy grafu (7.B) je NP-tažký, ak ceny c_{ij} nie sú rovnaké a žiadame nájsť celočíselné optimum (t.j. celočíselné b_{ij}), dokonca pre prípad, že všetky $r_{ij} = 2$. [Návod: Transformujte problém hamiltonovského cyklu.]
- 8. Nech je daný digraf G s n vrcholmi a n -tica (k_1, k_2, \dots, k_n) čísel. Navrhnite algoritmus pre nájdenie $k_1 + \dots + k_n$ hranovo disjunktívnych kostier, kde k_i z nich má zdroj vo vrchole v_i ($i = 1, \dots, n$). [Návod: Ku G pridáme nové vrcholy v_0, u_1, \dots, u_k , a šípy v_0u_j, u_ju_s pre všetky $j, t, s: j \neq t$ a šípy $w_1v_1, \dots, w_kv_k; w_{k+1}v_1; w_{k+1}v_2, \dots, w_{k+n}v_2; \dots; w_{k+1}v_n; \dots + k_{n-1} + 1v_n, \dots, w_{kn+k}v_n$. Potom hľadáme v novom digrate kostry so zdrojom v_0 .]
- 9. Dokážte správnosť algoritmu z časti 7.D.
- 10. Kundu (1974) dokázal, že pre maximálny počet $\iota(G)$ disjunktívnych kostier grafu G platí: $(\lambda(G) - 1)/2 \leq \iota(G) \leq \lambda(G)$. Ukážte nejaké triedy grafov, kde sa nerovnosť dosahuje.
- 11. Problém rozkladu grafu na súvislé faktory možno zosilniť a žiaľať, aby faktory mali predpisane priemery. Dokážte, že ak možno rozložiť nejaký kompletívny graf na faktory s danými priemermi, tak aj každý väčší kompletívny graf možno rozložiť na faktory s takými priemermi [Bosák et al. (1968)]. Skúmal si aj iné variácie úlohy: predpísané polometry [Palumbíny, Znám (1973)], predpísané priemery aj polometry [Niepel (1980)], rozklady kompletívneho bipartitného grafu [Tomová (1977)] a ī. Ak však vo všeobecnosti upustíme od kompletivnosti grafov, tiež úlohy sú NP-tažké [Plesník (1982)]. Ako špeciálny druh rozkladu digrafa možno chápať aj zorientovanie daného grafu G na digraf H s minimálnym priemerom, resp. polomerom. Táto úloha je tiež NP-tažká [Chvátal, Thomassen (1978)]. Najdite taký graf G priemeru 2, pre ktorý je $\text{diam}(H) = 6$ (najmenší taký má $n = 7, m = 9$).

8 PÁRENIA

Pod **párením** v grafe G budeme rozumieť takú podmnožinu X hranovej množiny, že každý vrchol z G incideje s jednou hranou z X . (Niekedy tiež hovoríme, že X je *množina nezávislých hrán*.) Pre dané párenie X v grafe G každá hraha z X nazýva *páriaca* a každá hraha z $E(G) - X$ *nepáriaca*. Ak vrchol incideje s hranou párenia, tak sa nazýva *párený alebo tiež pokrytý vrchol*; inak sa vrchol nazýva *volný alebo tiež nepárený (nepokryty)*. Ak je každý vrchol párený, tak párenie X sa nazýva *úplné* a vytvára 1-faktor (*lineárny faktor*) v G . Tento pojem sa zovšeobecňuje na faktory s ohrianičeniami na stupne. Pre aplikáciu má význam priradiť hranám ceny a uvažovať cenu párenia. Špeciálnou skupinou úloh o páreniach sú úlohy v bipartitných grafoch, ktoré však možno pretransformovať na tokové úlohy.

Okrem priamych úloh o páreniach (priradovanie pracovníkov k strojom, utváranie priateľských dvojíc a pod.) existujú aplikácie nepriame (najkratšia cesta v grafe (4.D), čínsky poštar (9.B) a ī.).

Budeme uvažovať dve úlohy (druhá je zovšeobecnením prvej):

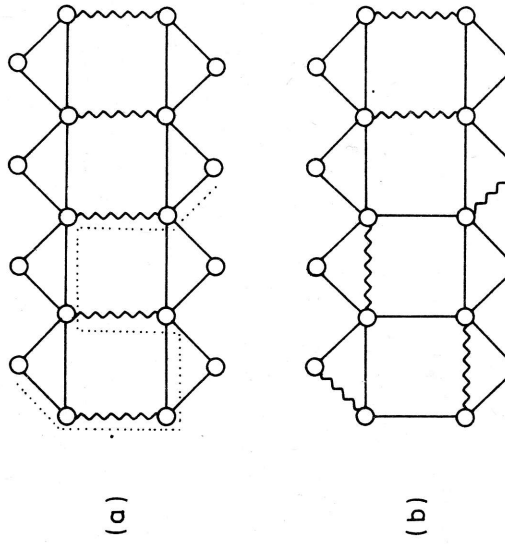
Problém najpočetnejšieho párenia: V danom grafe treba nájsť párenie maximálnej mohutnosti.

Problém najcenejšieho párenia: V danom grafe, kde každá hraha $i j$ má cenu c_{ij} (reálne číslo), treba nájsť párenie s maximálnou sumárnou cenou.

Najprv sa venujeme len problému najpočetnejšieho párenia.

8.A Alternujúce cesty

Velmi ľahko možno nájsť tzv. *maximálne párenie*, t. j. párenie, ku ktorému už nemožno pridať žiadnu ďalšiu hranu. Pravda, mohutnosť maximálneho párenia sa môže značne lísiť od mohutnosti najpočetnejšieho párenia. Vhodným nástrojom na prerábanie párení je pojem *alternujúcej cesty*, t. j. cesty, v ktorej sa striedajú páriace a nepáriace hrany. Alternujúca cesta, ktorej oba kraje sú voľné, nazýva sa zväčšujúca. Na obr. 1(a) sú páriace hranы vlnovkové a bodkovane je vyznačená zväčšujúca cesta. Pomocou takejto cesty možno dané párenie zmeniť na párenie,



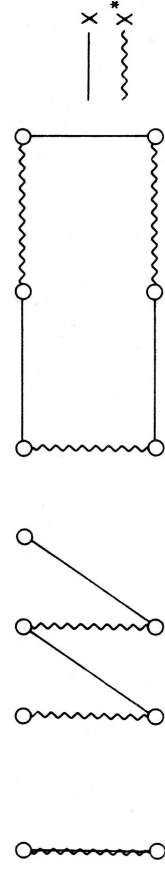
Obr. 1. Zmena párenia pomocou zväčšujúcej cesty.

ktoré má o jednu hranu viac (ako ilustruje obr. 1(b)), jednoducho vymenením páriacich a nepáriacich hrán cesty.

S myšlienkom zväčšujúcej cesty sa stretnávame už u Petersena (1891), Egerváryho (1931) a ī., ale plnú silu tohto pojmu uvádzajú Berge (1957):

Veta 1. Párenie X je najpočetnejšie \Leftrightarrow neexistuje zväčšujúca cesta pre X .

DOKAZ. (\Rightarrow) Týmto smerom je tvrdenie zrejmé. (\Leftarrow) Nech X^* je nejaké najpočetnejšie párenie. Dokážeme, že $|X| = |X^*|$ a dôkaz bude hotový. Uvažujme podgraf $H = G(X \cup X^*)$. Zrejme H má len vrcholy stupňa 1 a 2, a preto každý jeho komponent má niektorý z troch tvarov z obr. 2, t. j.: (1) Jediná



Obr. 2. Komponenty z dôkazu vety 1.

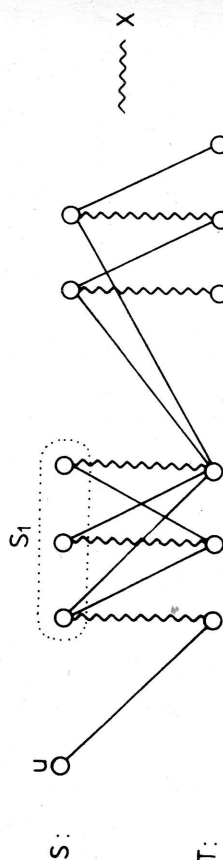
hrana : keďže neexistuje zväčšujúca cesta pre X ani pre X^* (podľa prvej časti tvrdenia), tak táto hrana patrí do $X \cap X^*$. (2) Alternujúca cesta párnnej dĺžky (alternujúca cesta nepárnej dĺžky by bola zväčšujúca alebo pre X alebo pre X^*).
 (3) Alternujúci cyklus (teda párnnej dĺžky). Taktio každý komponent obsahuje rovnaký počet hrán z X ako z X^* . Preto $|X| = |X^*|$. ■

Užitočnosť zväčšujúcich ciest demonštrujeme ďalej na nasledujúcej vete, ktorú objavili König (1931) a Hall (1935) a možno ju interpretovať takto : Zo systému množín S_1, S_2, \dots, S_p možno vybrať *p rozličných reprezentantov* (t. j. prvky $e_1 \in S_1, \dots, e_p \in S_p$ tak, že $e_i \neq e_j$ pre $i \neq j$) práve vtedy, keď pre každé k zjednotenie k množín obsahuje aspoň k prvkov. Nech

$$V_G(A) := \bigcup_{a \in A} V_G(a) \text{ pre } A \subseteq V(G).$$

Veta 2. (König–Hall). V bipartitnom grafe (aj multigrafe) $G = (S, T; E)$ existuje párenie pokryvajúce $S \Leftrightarrow$ pre každé $A \subseteq S$ platí : $|A| \leq |V_G(A)|$.

DOKAZ. (\Rightarrow) Hrany párenia zabezpečujú požadovanú nerovnosť.
 (\Leftarrow) Nech X je najpočetnejšie párenie v G a nech existuje vrchol $u \in S$ nepokrytý s X (pozri obr. 3). Nech $S_1 \subseteq S$ je množina vrcholov dosiahnutelných z u po alternujúcich cestách nenulovej dĺžky. Zrejmé $V_{G \setminus X}(S_1) = V_G(S_1 \cup \{u\})$ (podľa definície S_1). Potom však pre $A = S_1 \cup \{u\}$ máme spor s predpokladom vety. ■



Obr. 3. K dôkazu Königs-Hallovej vety.

Königova–Hallova veta má široké použitie pri odvodzovaní rôznych tvrdiení (pozri cvičenia). Už sme ju použili napr. v 5.C. Gallai (1963) pomocou nej dokazuje aj nasledujúci pekný výsledok [Tutte (1947)], ktorý tu nedokazujeme.

Veta 3 (Tutte). Grafof (aj pseudografof) G má 1-faktor \Leftrightarrow pre každú podmnožinu $P \subseteq V(G)$ je počet nepárných komponentov grafu $G - P$ nanajvýš $|P|$. (Komponent nazývame nepárný, ak má nepárný počet vrcholov.)

8.B Hľadanie najpočetnejšieho párenia

Zo všeobecného problému najprv vyčleníme úlohu v bipartitných grafoch, ktorá je riešiteľná pomocou tokov.

PÁRENIA V BIPARTITNÝCH GRAFOCH

Táto úloha sa ľahko zvládne pomocou tokov : Daný bipartitný graf $G = (S, T; E)$ doplníme dvoma vrcholmi s a t , pridáme šíp su pre každé $u \in S$, šíp vt pre každé $v \in T$ a pôvodné rebrá orientujeme smerom z S do T . Potom každému šípu vzniknutého digrafa \hat{G} predpíšeme kapacitu 1. Je zrejmé, že maximálny celočíselný $s-t$ tok v \hat{G} určuje nejaké najpočetnejšie párenie v G (tvoria ho nasýtené hrany uv , kde $u \in S, v \in T$) a naopak.

To je jedna z mnohých aplikácií tokov, ktoré možno nájsť v [Ford, Fulkerson (1962)]. Nasledujúce tvrdenie sa zvyčajne pripisuje Königovi (1931) a Egervárymu (1931), hoci sa našiel aj skorší prameň [Frobenius (1912)] s príbuzným výsledkom v reči matíc. Pripomeňme, že vrchol pokrýva hrany a obrátenie, ak sú incidentné.

Veta 1 (König–Egerváry). V bipartitnom grafe je maximálny počet nezávislých hrán rovný minimálному počtu vrcholov pokryvajúcich (spolu) všetky hrany.

DÔKAZ. Uvažme uvedený digraf \hat{G} a aplikujme Mengerovu vetu 7.A.1(b). Zrejmé vrcholový $s-t$ rez v \hat{G} je vrcholovým pokrytím hrán v G a obrátenie. Vnútorné disjunktné $s-t$ cesty v \hat{G} zodpovedajú nezávislým hránam v G (cesta $su \cup vt$ korešponduje s hranou uv). ■

Pripomeňme, že pomocou tokov vieme nájsť aj takéto minimové pokrytie. Ak však upustíme od bipartinosti, tak problém je NP-tažký (veta 2.D.7).

EDMONDOVOA METÓDA

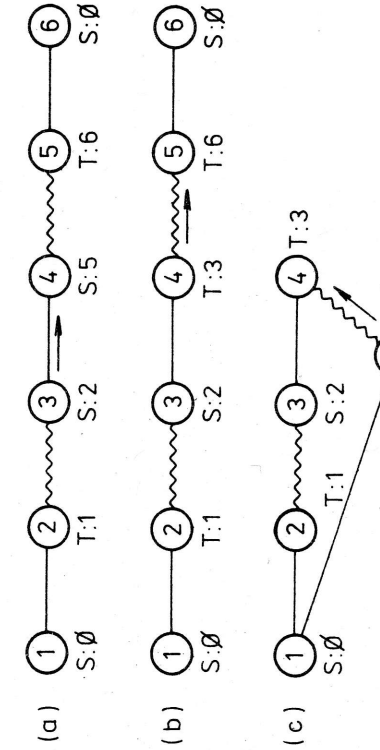
Ak graf G nie je bipartitný, tak metódy tokov zlyhávajú. Možno sa však oprieť o Bergeovu vetu a dané párenie postupne meniť pomocou zväčšujúcich alternujúcich ciest, až získame najpočetnejšie párenie. Týmto je však úloha len zdanivo vyniesená, lebo sme nedali metódou na hľadanie zväčšujúcich ciest. Edmonds (1965) bol prvý, ktorý túto prekážku zdola. Dokáže uvádzame základné myšlienky jeho metódy pre hľadanie najpočetnejšieho párenia.

Predpokladajme, že máme nájdené nejaké párenie X v grafe G . Ak neexistujú vohné vrcholy, tak X je úplné párenie a niet čo robiť. V opačnom prípade

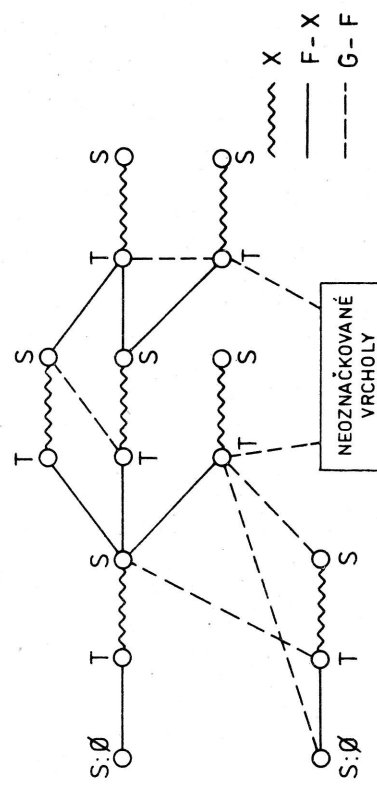
začkovaním vrcholov nájdeme zväčšujúcu cestu a párenie X cez ňu zväčšíme, alebo zistíme, že zväčšujúca cesta neexistuje, čo podľa Bergeovej vety znamená, že X je už najpočetnejšie párenie. Ak sa uskutočnilo zväčšenie, tak postup opakujeme pre nové párenie.

Značkovanie robíme nasledovne: Na začiatku dostanú všetky volné vrcholy značku „ $S:\emptyset$ “. Vo všeobecnosti, nech už niektoré vrcholy majú značky. Každý označkovaný vrchol i má značku tvaru „ $S:k$ “, resp. „ $T:k$ “, čo značí, že existuje alternujúca $u—i$ cesta začínajúca v nejakom voľnom vrchole u a jej predposledný vrchol je k . (Stručne hovoríme, že i má značku S , resp. T , lebo tieto prvé zložky sú podstatné.) Vrchol u sa nazýva koreň pre i . Označkovanie, ale nepreskúmaný vrchol i preskúname takto:

- (1) Ak i má značku S , tak každý neoznačkovaný vrchol j , taký, že $ij \in E(G)$ – X , dosťava značku „ $T:j$ “
- (2) ak i má značku T , $ij \in X$ a vrchol j je neoznačkovaný, tak j dostáva značku „ $S:i'$ “.



Obr. 1. Možnosti vyskytujúce sa pri značkovani.



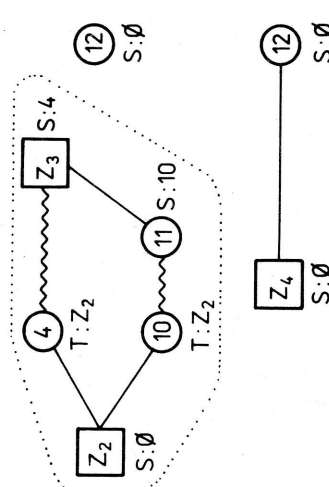
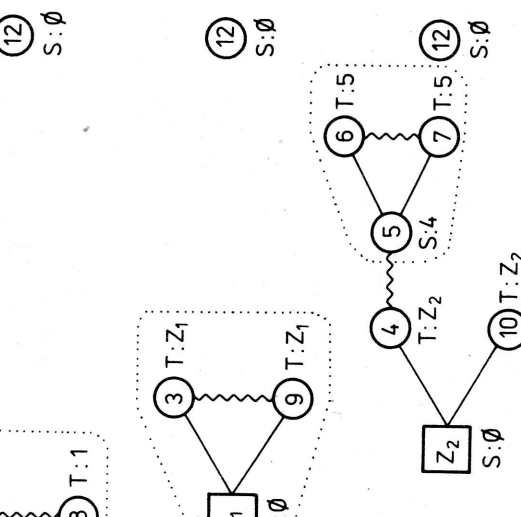
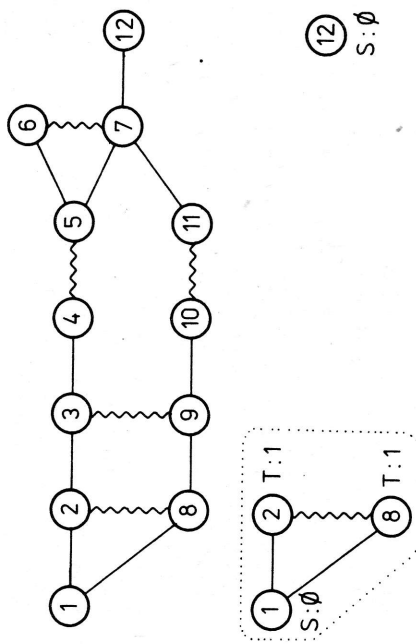
Obr. 2. Madarský les F v grafe G pri párení X .

Isté problém vznikajú, ak vrchol j už značku má. Všetky takéto možnosti ukazuje obr. 1, kde hrany párenia sú vlnovkové a šípka vyznačuje „hranu ij . V týchto prípadoch i aj j majú rovnaké značky (S alebo T), a tedy vyhľadáme ich korene (t.j. volné vrcholy u_i a u_j , z ktorých vychádzia značkovanie pre i , resp. j), pomocou dvojich zložiek vrcholov postupujúc späť od i a j . Tým nájdeme alternujúcu $u_i—i$ cestu P_i , a alternujúcu $u_j—j$ cestu P_j . Ak $u_i \neq u_j$, tak znejme $P_{ij}P_j^{-1}$ je zväčšujúca $u_i—u_j$ cesta (na obr. 1(a) je $i=3, j=4, u_i=1, u_j=6$).

Ak $u_i = u_j = :u$ (ako na obr. 1(c) a (d)), tak $P_{ij}P_j^{-1}$ vytvára istý podgraf, ktorý sa skladá z nejakej alternujúcej $u—v$ cesty P a alternujúcej $v—v$ cyklu Z nepárnnej dĺžky (na obr. 1(d) máme $u=1, v=3$), pričom obe hrany cyklu incidujúce s v sú nepáriace. Cyklus Z sa nazýva *kvet*, cesta P *stopka* (kvetu Z) a v je *báza* (kvetu Z). Poznamenajme, že všetky alternujúce cesty pred skúmaním hrany ij tvorili les, a preto P a Z sú určené jednoznačne. Hoci P môže mať nulovú dĺžku (obr. 1(c)), Z má vždy dĺžku aspoň 3.

Kvet Z stiahneme do jedineho vrcholu, ktorý budeme nazývať *pseudovrchol* (a na obrázku vyznačovať ako štvorček). Dáme mu značku, ktorú mala báza kvetu Z , pričom vzniknutý pseudovrchol považujeme za nepreskúmaný (totiž vrcholy i , resp. j boli také). Potom pokračujeme v značkovani v ziskanom grafe G' pri korespondujúcom párení X' . Po čase opäť môžeme objavíť kvet v G' . Po jeho stiahnutí pokračujeme v značkovani vo vzniknutom grafe G'' pri párení X'' a.t.d. (Hovoríme o grafoch, lebo násobné hrany, resp. slučky nemajú význam, a preto ich netreba uvažovať.)

Keďže každá kontrakcia zmenšuje počet vrcholov aspoň o 2, tak v nejakom $G^{(k)}$ bud (i) objavíme zväčšujúcu cestu, alebo (ii) značkovanie skončí preskúmaním



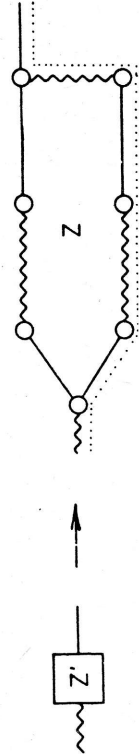
8.PÁRENIA
8.B
246

všetkých označovaných vrcholov a bez objavenia zväčšujúcej cesty. V prípade (i) možno párenie $X^{(k)}$ a (ako ukážeme) aj X zväčsiť. V prípade (ii) zjednotenie všetkých alternujúcich ciest, cez ktoré súme označovali jednotlivé vrcholy, tvorí tzv. **maďarský les**. (V takomto lese pre každú hranu grafu platí: ak jeden jej kraj má značku S , tak druhý patrí tiež do lesa a má značku T ; pozri obr.2.) Z postupu označovania je zrejmé, že v prípade (ii) v $G^{(k)}$ žiadna zväčšujúca cesta neexistuje, a potom (ako ukážeme) ani v G , takže X je najpočetnejšie párenie.

Na obr. 3 je priklad grafu G , párenia X a postupných kontrakcií objavovaných kvetov. Na záver sa získala zväčšujúca cesta $(Z_4, 12)$. Rozvinutím pseudovercholov postupne z takejto cesty získavame cesty: $(Z_2, 4, Z_3, 12)$, $(Z_1, 9, 3, 4, 5, 6, 7, 12)$ a $(1, 2, 8, 9, 3, 4, 5, 6, 7, 12)$, čo je už zväčšujúca cesta v pôvodnom grafe. Použitie kontrakcií v procese hľadania zväčšujúcich ciest oprávňuje nasledujúca veta.

Veta 2. Nech Z je kvet objavený v grafe G pri značkovani vzhľadom na párenie X . Ďalej nech po kontrakcii kvetu Z na vrchol Z' vznikne z G graf G' a z X párenie X' . Potom v G' existuje zväčšujúca cesta pre $X' \Leftrightarrow Z$ v G existuje zväčšujúca cesta pre X .

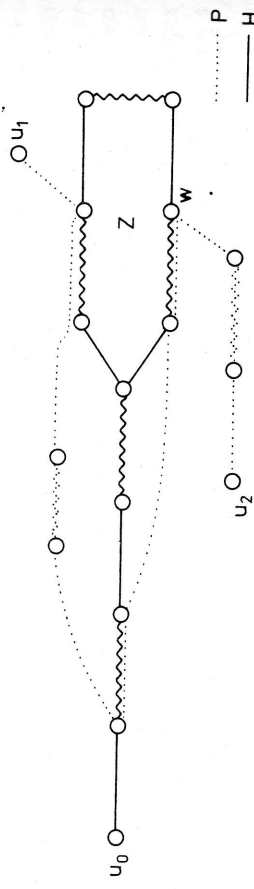
Dôkaz. (\Rightarrow) Ku každej zväčšujúcej ceste v G' obsahujúcej vrchol Z' vieme ľahko nájsť zväčšujúcu cestu P v G tak, ako ilustruje obr. 4.



Obr. 4. K dôkazu prvej implikácie z vety 2.

(\Leftarrow) Nech P je zväčšujúca $u_1—u_2$ cesta v G a nech kvet Z má koreň u_0 . Ďalej, nech H je graf pozostávajúci z kvetu Z a jeho stopky. Ak P a H sú disjunktné, tak zrejme P existuje aj v G' : preto nech $P \cap H \neq \emptyset$. Budeme predpokladať, že $u_2 \neq u_0$. Nech w je posledný vrchol cesty P ležiaci v H . Potom fahko nájdeme alternujúcu $u_0—w—u_2$ cestu Q (ako na obr. 5) takú, že úsek $w—u_2$ leží v H a úsek $w—u_0$ je mimo H . Pri kontrakcii kvetu Z sa zrejme Q zmení na zväčšujúcu cestu Q' v G' . ■

■ Obr. 3. Priebeh značkovania a kontrakcie kvetov.



Obr. 5. K dôkazu druhej implikácie z vety 2.

Tým máme algoritmus pre najpočetnejšie párenie zdôvodnený a môžeme ho zhŕnuť takto:

Algoritmus

KROK 0 : Nájdeme nejaké (napr. prázdne alebo maximálne) párenie X v grafe G . Žiadny vrchol nie je označovaný.

KROK 1 (značkanie):

- 1(a) : Každému volnému vrcholu pridáme značku „ $S: \emptyset$ “. Všetky vrcholy sú nepreskúmané.
- 1(b) : Ak sú všetky označované vrcholy preskúmané, ideme na krok 3.

Inak zvolime īubovoľný nepreskúmaný vrchol i . Ak i má značku S , ideme na 1(c); ak má T , ideme na 1(d).

- 1(c) (priēskum vrcholu i so značkou S):

Pre každú nepáriacu hranu ij urobíme:
Ak vrchol j má značku S , tak podľa druhých zložiek značiek nájdeme korene pre i a j . Ak majú rôzne korene, tak ideme na krok 2. Ak majú spoločný koreň, tak sme objavili kvet, ktorý stiahneme na jediný vrchol so značkou bázy kvetu: považujeme ho za nepreskúmaný a ideme na 1(b).
Ak vrchol j má značku T , tak ju ponecháme a ak nemá žiadnu značku, tak mu dáme „ $T:i$ “.

Tým je vrchol i preskúmaný a ideme na 1(b).

- 1 (d) (priēskum vrcholu i so značkou T):

Nájdeme (jedinú) páriacu hranu ij .
Ak j má značku T , tak podľa druhých zložiek značiek nájdeme korene pre i a j . Ak majú rôzne korene, ideme na krok 2. Ak majú spoločný koreň, tak sme objavili kvet, ktorý stiahneme na

jediný vrchol so značkou bázy kvetu: považujeme ho za nepreskúmaný a ideme na 1(b).

Ak vrchol j nemá žiadnu značku, tak mu dáme „ $S:i$ “ a ideme na 1(b).

KROK 2 (zväčšovanie párenia):

Pomocou nájdenej zväčšujúcej cesty v stiahnutom grafe G nájdeme zväčšujúcu cestu v pôvodnom grafe G a párenie X zväčšíme. Všetky značky zotrieme a ideme na krok 1.

KROK 3 : Žiadna zväčšujúca cesta neexistuje, a teda párenie je najpočetnejšie:

STOP. ●

Odhadnime zložitosť uvedeného algoritmu. Počet zváčšovania je nanajvýš $O(n)$. Každé zváčšovanie vyžaduje znáčkovanie, pri ktorom prezieme nanajvýš $O(n)$ vrcholov (lebo pseudovrcholov nie je viac ako $O(n)$) a $O(n)$ operácií stačí na nájdenie koreňov a vlastného zmenu párenia. Na prezentie jedného vrcholu stačí $O(n)$ operácií, ak nepočítame kontrakciu a rozvíjanie, na ktoré však stačí $O(n^2)$ operácií. Teda celkove máme $O(n^4)$ algoritmus.

Ak G je bipartitný graf, tak tam kvety neexistujú, a teda stačí $O(n^3)$ operácií. Avšak aj vo všeobecnosti možno dosiahnuť $O(n^3)$ algoritmus, ak sa vyhneme kontrakcii kvetu vhodným označením jeho vrcholov [Lawler (1976)]. Inú implementáciu tejto zložitosti dáva aj Gabow (1976). Hopcroft a Karp (1973) dávajú $O(n^{5/2})$ algoritmus pre bipartitné grafy (presnejšie: $O((m+n)n^{1/2})$ algoritmus) a rovinutím ich myšlienok, Even a Kariv (1975) dosiahli takúto nízku zložitosť aj vo všeobecnom prípade.

8.C

Hľadanie najcenejšieho párenia

Edmonds (1965b) navrhol dobrý algoritmus aj pre problém najcenejšieho párenia. Zovšeobecnil myšlienku Kuhna (1955), ktorý použil lineárne programovanie (a vypracoval tzv. *maďarskú metódu pre páričiaci problém*, t. j. najcenejšie párenie v bipartitnom grafe).

Poznamenajme, že ak z párenia vynecháme hrany s cenou $c_{ij} \leq 0$, tak sa jeho celková cena nezmiení, a preto v ďalšom môžeme predpokladať, že v grafe G sú všetky ceny $c_{ij} > 0$.

Úloha najprv priradíme istú úlohu lineárneho programovania. Nech pre každú hranu ij je x_{ij} premenná, pričom chceme, aby $x_{ij} = 1$, ak hrana ij je vybraná do

párenia a $x_{ij} = 0$ inak. Ak c_{ij} je cena hrany ij a B je vrcholovo-hranová incidenčná matica uvažovaného grafu G , tak úlohu môžeme formulovať takto:

$$\begin{aligned} &\text{maximalizovať} \quad c^T x \\ &\text{pri ohrazeniach} \quad \begin{aligned} &Bx \leq 1, \\ &x_{ij} \in \{0, 1\}. \end{aligned} \end{aligned}$$

Posledné ohrazenie však robí úlohu diskrétnou a nevieme ju dobre riešiť. Edmonds preto upustil od diskrétnosti, ale pribral ďalšie ohrazenia, ktoré musí každé párenie späťat. Nech $Q_k \subseteq V(G)$ má neparny počet prvkov (stručne: Q_k je nepárná podmnožina), teda $|Q_k| = 2q_k + 1$, potom z lubovoľného párenia na najväčší q_k hrán patrí do $G(Q_k)$. Nech Q_1, Q_2, \dots, Q_p sú všetky nepárne podmnožiny $V(G)$ (zrejme $p = 2^{n-1}$) a nech $Q = (q_{ij})$ je matica, ktorej riadky zodpovedajú týmto nepárnym podmnožinám a stĺpce hranám e_1, e_2, \dots, e_m grafu G , pričom $q_{ik} = 1$ práve vtedy, keď $e_i \in G(Q_k)$. Potom spominanú podmienku môžeme formálne zapísť takto: $Qx \leq q$, kde $q = (q_1, q_2, \dots, q_p)^T$. Tako získavame úlohu:

$$\begin{aligned} &\text{maximalizovať} \quad c^T x \\ &\text{pri ohrazeniach} \quad \begin{aligned} &Bx \leq 1, \\ &Qx \leq q, \\ &x \geq 0. \end{aligned} \end{aligned}$$

Pravda, na prvý pohľad sme si pôvodnú formuláciu pokazili, lebo sme nezaručili, že riešenie x tejto úlohy bude mať celočíselné zložky (0 a 1). Avšak aj keby sme to zaručili, alebo nežiadali, úlohu riešiť priamo by sme sora mohli, keďže už je zápis je rozsiahly (matice Q má $m \cdot 2^{n-1}$ prvkov). Nasledujúca metóda takýto explicitný zápis nevyžaduje a zaručuje celočíselné riešenie.

Duálna úloha k uvedenej *primárnej úlohe* lineárneho programovania je:

$$\begin{aligned} &\text{minimalizovať} \quad \sum_{i=1}^n u_i + \sum_{k=1}^p q_k z_k \\ &\text{pri ohrazeniach} \quad \begin{aligned} &Bu + Q^T z \geq c, \\ &u \geq 0, \\ &z \geq 0, \end{aligned} \end{aligned}$$

kde u a z sú stĺpcové vektory duálnych premenných (u_i zodpovedá vrcholu i a z_k nepárnnej podmnožine Q_k).
Z teórie duality v lineárnom programovaní sú známe tzv. *podmienky ortogonalnosti*, ktoré sú nutnými a postačujúcimi podmienkami na to, aby prípustné riešenia primárnej a duálnej úlohy boli optimálne. Pre našu dvojicu úloh tieto podmienky sú takéto:

$$(1) \quad x_{ij} > 0 \Rightarrow u_i + u_j + \sum_{k=1 \atop ij \in Q_k}^p z_k = c_{ij}, \quad (ij \in E(G));$$

$$(2) \quad u_i > 0 \Rightarrow \sum_{j \in V(i)} x_{ij} = 1, \quad (i \in V(G));$$

$$(3) \quad z_k > 0 \Rightarrow Q_k x = q_k, \quad (k = 1, 2, \dots, p),$$

kde Q_k je k -tý riadok matice Q (a zodpovedá podmnožine označenej tým istým symbolom Q_k). (Poznamenajme, že v ďaľšom používame len postačiteľnosť týchto podmienok a táto ľahko vypĺňava z tzv. *slabej veri o dualite*: pozri časť 2.B.)

Myslienka Edmondsovej metódy pre hľadanie najcenejšieho párenia je takáto: Nájdeme také prípustné riešenia primárnej a duálnej úlohy, ktoré spĺňajú podmienky (1) a (3), ale nemusia spĺňať (2). Potom postupne prerábame tieto riešenia na také, ktoré spĺňajú viac a viac podmienok (2), až dospejeme k takýmu prípustnému riešeniu, ktoré budú spĺňať všetky podmienky (1), (2) a (3), a teda už to budú optimálne riešenia.

Na začiatku zrejme stačí voliť:

$$x_{ij} = 0 \quad \text{pre všetky } ij \in E(G),$$

$$u_i = \frac{1}{2} \max_{ij \in E(G)} \{c_{ij}\} \quad \text{pre všetky } i \in V(G),$$

$$z_k = 0 \quad \text{pre všetky } k.$$

Teda v G zvolíme párenie $X = \emptyset$ a vieme, že každé párenie spĺňa primárne ohrazenia. Keďže u_i sú dosťatočne veľké, aj duálne ohrazenia sú spĺnené. Triviálne sú spĺnené (1) a (3).

Vo všeobecnosti, ak máme párenie X (t. j. prípustné riešenie primárnej úlohy) a prípustné riešenie duálnej úlohy spĺňajúce (1) a (3), tak alebo je spĺnené aj (2), alebo existuje vrchol i , pre ktorý (2) neplatí. V prvom prípade máme optimum. V druhom prípade existuje voľný vrchol a pokúsime sa „zlepšiť“ riešenia. Vo všeobecnosti zlepšovanie riešení sa robí pomocou alternujúceho lesa, ktorý získame značkováním (ako pri hľadaní najpočetnejšieho párenia) v tzv. *grafe rovnosti* G' , ktorý je získaný z G kontraktiami všetkých množín Q_k , pre ktoré $z_k > 0$ a vyniechaním všetkých hrán ij , kde $u_i + u_j + \sum z_k > c_{ij}$.

Pri značkovani sa nájdene kvety siahnu do pseudovrcholov, ktoré sa môžu dostať ešte do väčších pseudovrcholov atď. Tiež sa budú niektoré pseudovrcholy rozrúhovať na kvety. Teda graf G' , na začiatku utvorený z G , sa bude týmito meniť, ale vždy bude označený symbolom G' . Taký pseudovrchol, ktorý neleží v inom pseudovrchole, sa nazýva *vonkajší*. Poznamenajme, že v skutočnosti nemusíme

kvety stiahnuť, ale stačí ich dať do „obálok“, ktoré pri značkovaní považujeme za pseudovrcholy. Vtedy bude G' multigraf, avšak pre potreby značkovania stačí uvažovať graf. Z výpočtového hľadiska je dôležité, že len také nepárne množiny vrcholov Q_k budú mať $z_k > 0$, ktoré predstavujú pseudovrcholy (kvety). Preto stačí registrovať len málo hodnôt z_k (ostatné sú nuly).

Majme teda G' a korespondujúce párenie. Začíname značkovanie volných vrcholov. Ak objavíme kvet k , tak ho stiahneme na pseudovrchol, ktorý dostane značku S , položíme $z_k = 0$ a pokračujeme v značkovani vo vzniknutom multigrafe (ktorý tiež označime G'). Značkovanie sa zrejme ukončí alebo najdením zväčšujúcej cesty alebo nájdením maďarského lesa. Rozoberieme obe možnosti.

V prvom pripade pomocou nájdenej zväčšujúcej cesty zväčšíme okamžité párenie v G' o jednu hranu, všetky značky zotrieme a v G' začneme znova značkovanie (podľa nového párenia).

Všimnime si, ako sa týmto zmenila situácia pre graf G . Zväčšujúcej ceste v G' zrejme zodpovedá nejaká zväčšujúca $s-t$ cesta v G a novému páreniu v G' nové párenie v G , ktoré však teraz nekonštruujeme (ale až na konci celého algoritmu). Z ďalšieho výplyne, že minimálna hodnota premennej u_i je nenulová a že sa nadobúda aj na všetkých volných vrcholoch grafu G . Preto $u_k = u_i > 0$ a keďže u_i a u_k boli volné, tak podmienku (2) nespĺňali. Avšak pri novom párení už ju budú spĺňať. Tako sa počet vrcholov nesplňujúcich (2) zmenší o 2. Počet páriacich hrán v pseudovrchole sa zmenou párenia nemeni (zostáva ich tam $(|Q_k|-1)/2$), a preto sa podmienka (3) neporuší. Splnená zostane aj (1), lebo zväčšujúca cesta v G pozostáva len z hrán, kde $u_i + u_j + \sum z_k = c_{ij}$ (na hránach v G' je to zrejmé a hrany vo vnútri pseudovrcholov patria do nejakého prechádzajúceho G' ; vidíme, že

splnenie rovnosti si zachovávajú). Duálne premenné u_i , z_k sa pri zmene párenia nemenia.

Teraz rozoberieme druhú možnosť, t.j. situáciu, keď už v značkovaní nemožno pokračovať, lebo vytvorený les F je maďarský. V tomto prípade pozmeníme duálne premenné, čo bude istý pokrok. Určíme číslo $\delta > 0$ (z nízkej uvedených podmienok) a premené u_i a z_k zmeníme nasledovne: Pre každý vrchol $i \in V(G)$ so značkou S alebo obsiahnutý vo vonkajšom pseudovrchole so značkou S , zmeníme u_i na $u_i - \delta$. Pre každý vrchol $i \in V(G)$ so značkou T , resp. obsiahnutý vo vonkajšom pseudovrchole so značkou T , zmeníme u_i na $u_i + \delta$. Pre každý vonkajší pseudovrchol k (presnejsie: pre množinu Q_k vrcholov v ňom) zmeníme z_k na $z_k + 2\delta$, ak má značku S a na $z_k - 2\delta$, ak má značku T . Hodnoty u_i a z_k sa pre neoznačované vrcholy a pseudovrcholy a vnútorné pseudovrcholy nemenia. Obr. 1 ukazuje zmeny u_i a výrazu $u_i + u_j + \sum z_k$ na hránach ij . (Páriace hrany sú vlnovkové, pseudovrcholy sú štvorcové, prvky lesa F sú vyznačené hrubo a čiarkované sú hrany z G nepatriace do G' ani do pseudovrcholov.) Na hránach $ij \in E(G)$, ktorých oba kraje ležia v nejakom pseudovrchole, sa hodnota výrazu $u_i + u_j + \sum z_k$ nezmiení, lebo tam sa zmeny kompenzujú.

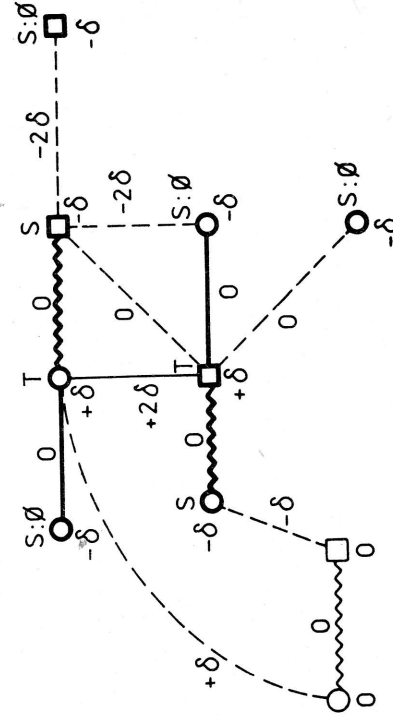
Z požiadavky duálnej prípustnosti máme nasledujúce obmedzenia na δ .

- (4) $u_i - \delta \geq 0$, ak i má značku S , alebo leží vo vonkajšom pseudovrchole so značkou S .
- (5) $z_k - 2\delta \geq 0$, ak k je vonkajší pseudovrchol so značkou T .

Pokiaľ ide o výraz $u_i + u_j + \sum z_k$, tak duálnu prípustnosť môžu ovplyvniť len zmeny, pri ktorých sa výraz zmení. Kedže na hránach neležiacich v pseudovrcholoch je vždy $\sum z_k = 0$, tak získame ďalšie obmedzenia na δ :

- (6) $(u_i - \delta) + (u_j - \delta) \geq c_{ij}$, ak každý z kraju hrany ij alebo má značku S , alebo leží vo vonkajšom pseudovrchole so značkou S , ale oba vrcholy neležia v tom istom pseudovrchole.
- (7) $(u_i - \delta) + u_j \geq c_{ij}$, ak je ij taká hrama, že i alebo obsahujúci ho vonkajší pseudovrchol má značku S a ani j ani obsahujúci ho vonkajší pseudovrchol nemajú žiadnu značku.

Tieto štyri obmedzenia spolu s $\delta \geq 0$ zaručujú duálnu prípustnosť. Keďže pre žiadnu páriacu hranu ij sa výraz $u_i + u_j + \sum z_k$ nemeni, tak (1) zostáva dodržaná. Hodnota z_k sa mohla zväčšiť iba pre množinu Q_k v pseudovrchole. Ten však vždy obsahuje $q_k = (|Q_k|-1)/2$ páriacich hrán, a teda ani (3) sa neporušila. Hodnota u_i sa zväčšuje len pri vrcholoch so značkou T , resp. ležiacich v pseudovrcholoch so značkou T . Pretože skúmane prípad, kedy neexistuje zväčšujúca cesta, tak pri každom takom vrchole, resp. pseudovrchole musí byť páriaca hrana. Teda každý



Obr. 1. Účinok zmen duálnych premenných.

vrchol i splňajúci (2) bude spĺňať (2) aj po zmene duálnych premenných. Aby sme dosiahli „kvalitatívne zlepšenie“, tak volíme δ maximálne možné splňajúce (4) až (7).

Preskúmame jednotlivé prípady určujúce takéto δ a ukážeme, že vždy je $\delta > 0$.

Predovšetkým si všimnime, že na začiatku boli všetky u_i zvolené rovnaké a pri každom zmenšení u_i majú všetky voľné vrcholy, resp. pseudovrcholy, znáčku S . Preto minimálna hodnota u_i je (aj) vo všetkých voľných vrcholoch a je nenulová (inak sú všetky podmienky (2) splnené). Teda ak je δ určené podľa (4), tak $\delta > 0$ a po zmene budú všetky u_i vo voľných vrcholoch nulové, a tým (2) splnená, takže máme nájdené optimálne riešenia oboch úloh.

Ak je δ určené podľa (5), tak nejaké z_k sa stane nulové a príslušný pseudovrchol so znáčkou T môžeme roztahnúť. Ak sa dohodneme, že po každej zmenze duálnych premenných každý vonkajší pseudovrchol k so $z_k = 0$ a znáčkou T roztahneme a tiež po každom zväčšovanom páreniu roztahneme všetky pseudovrcholy so $z_k = 0$, tak aj v (5) vždy získame $\delta > 0$. Totiž pri poslednom značkovani môžu vzniknúť len pseudovrcholy so znáčkou S (a $z_k = 0$), ale (5) sa týka pseudovrcholov so znáčkou T .

Ak je δ určené podľa (6), tak po zmenе bude hrana ij figurovať v G' , a preto bude možné existujúci maďarský les F rozšíriť o túto hrancu (získame alebo zväčšujúcu cestu alebo nový kvet). Teraz tam však hrana ij nepatri, lebo les F je maximálny, a preto je $u_i + u_j > c_{ij}$. Teda aj tu získame $\delta > 0$.

Konečne, ak je δ určené podľa (7), tak k lesu F opäť bude možné pridať aspoň hranu ij . Podobne ako v predchádzajúcom prípade, aj tu získame $\delta > 0$. Tým sme kompletne preskumali aj prípad, keď sme značkovaním získali maďarský les. Ako sme videli, sú takéto možnosti: (i) našli sme optimum (najcennejšie párenie), (ii) po zmene premenných u_i a z_k alebo nájdeme zväčšujúcu cestu, alebo roztahneme pseudovrchol so znáčkou T , alebo utvoríme pseudovrchol so znáčkou S , alebo k lesu F pridáme ďalšiu hrancu, a tým novú znáčku T . V celom algoritme sa optimum môže nájsť iba raz a zväčšujúca cesta nanajvýš $\lfloor n/2 \rfloor$ razy. Preto si všimnime len operácie medzi dvoma po sebe idúcimi zväčšovaniami párenia (resp. pred prým a po poslednom). Pretože vtedy sa značky S a T nevymeniajú a vytvárame len vrcholy so znáčkou S , roztahnute pseudovrcholu so znáčkou T sa môže uskutočniť nanajvýš $\lfloor n/2 \rfloor$ -krát. Pseudovrcholy so znáčkou S sa môže uskutočniť nanajvýš $\lfloor n/2 \rfloor$ -krát. Konečne, pridať k alternujúcemu lesu F novú hrancu, a teda novú znáčku T , možno nanajvýš $(n-1)$ -krát. Teda celkovo medzi dvoma zväčšovaniami párenia robíme zmenu duálnych premenných nanajvýš $O(n)$ -krát. Každú zmenu duálnych premenných možno zrejmé urobiť v čase $O(n^2)$. Z operácií medzi dvoma zväčšovaniami dominuje stiahnutie kvetov

a roztahnutie pseudovrcholov — $O(n^3)$ operácií (jedno stiahnutie, resp. roztahnutie možno urobiť v čase $O(n^2)$). Taktôž na celý algoritmus vystačíme s $O(n^4)$ operáciami. Avšak starostlivo implementáciou možno získať $O(n^3)$ algoritmus. Implementácie s časmi $O(n^r)$ a $O(n^3)$ uvádzia napr. Lawler (1976). Uvedený zdôvodnený postup môžeme zhmúť takto :

Algoritmus

KROK 0: Začíname s párením $X := \emptyset$ a duálnymi premennými $u_i := \frac{1}{2} \max c_{is}$

a $z_k := 0$. Utvórite graf rovnosti G' .

KROK 1 (značkovanie):

- 1(a): Každému voľnému vrcholu alebo pseudovrcholu priradíme znáčku „ S, \emptyset “. Tieto vrcholy tvoria les F .
- 1(b): Les F rozširujeme značkováním v G' . Ak nájdeme kvet k , tak ho stiahneme na pseudovrchol so znáčkou jeho bázy (má znáčku S), položíme $z_k = 0$ a so vzniknutým G' a príslušným lesom F ideme na 1(b). Ak nájdeme zväčšujúcu cestu, ideme na krok 2. Ak utvórite maďarský les, ideme na krok 3.

KROK 2 (zväčšovanie párenia): Pomocou nájdenej zväčšujúcej cesty zväčšíme párenie v G' . Zoríieme všetky znáčky, roztahneme všetky pseudovrcholy so $z_k = 0$ a s takýmto G' ideme na krok 1.

KROK 3 (zmena duálnych premenných): Z podmienok (4) až (7) určíme maximálne $\delta > 0$ a urobíme zmeny duálnych premenných. Ak δ dáva v (4) rovnosť, tak ideme na krok 4. Ak δ dáva rovnosť v (5), tak roztahneme tie vonkajšie pseudovrcholy znáčky T , ktoré majú $z_k = 0$ a s takýmto G' a príslušným F ideme na 1(b). Ak δ dáva rovnosť v (6) alebo (7), tak ku G' pridáme tie hrany ij , ktoré dávali v (6) alebo (7) rovnosť a s takým G' a s nezmeneným F ideme na 1(b).

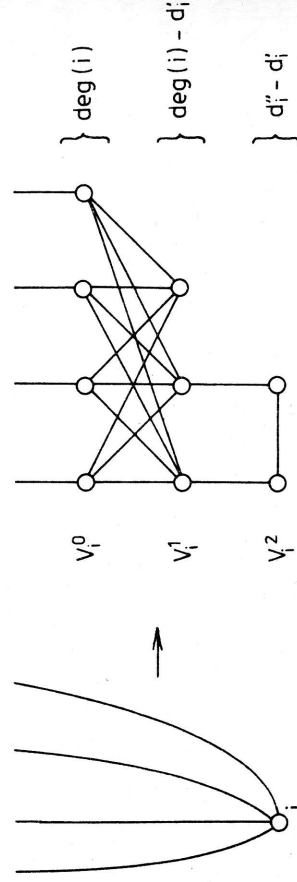
KROK 4 (záver): Roztahnutím všetkých pseudovrcholov v G' (v obrátenom poradí ich vzniku) získame najcennejšie párenie v G : STOP. ●

8.D Faktory s predpísanými stupňami

Najdením najočetnejšieho páreňa vyríšime aj otázku, či graf má úplné párenie, t. j. lineárny faktor. Od tohto problému sa dostávame k úlohe nájst kvadratický alebo iný pravdepodobný faktor, resp. všeobecne k úlohe nájst faktor, ktorý má v každom vrchole i predpísaný stupeň d_i . Tutte (1954) pretransformoval túto úlohu na úlohu nájst lineárny faktor. Vychádzajúc z tejto myšlienky možno zvládnúť trochu všeobecnejšie úlohy.

DOLNÉ A HORNÉ MEDZE NA STUPNE

Nech je daný graf (alebo aj pseudograf) G a pre každý jeho vrchol i nech je daná dvojica celých čísel d'_i, d''_i ($0 \leq d'_i \leq d''_i \leq \deg(i)$). Úlohou je nájst taký faktor F grafu G , že pre každý vrchol i platí: $d'_i \leq \deg_F(i) \leq d''_i$. Ukažeme polynomálnu transformáciu tejto úlohy na úlohu nájst lineárny faktor. Najprv každý vrchol $i \in V(G)$ nahradíme štruktúrou z obr. 1, kde $|V_i^0|$



Obr. 1. Transformácia stupňových medzi.

$$(1) \quad \sum_{j \in V(i)} x_{ij} = d_i \text{ pre } i \in V(G),$$

$$(2) \quad 0 \leq x_{ij} \leq b_{ij} \text{ pre } ij \in E(G).$$

Takéto úlohy skúmali Edmonds (1967a), Edmonds a Johnson (1970) a Edmonds (1975). Tu uvedieme len niekoľko poznatkov. Všimnime si, že ak všetky $b_{ij} = 1$, tak hrany ij s $x_{ij} = 1$ určujú faktor grafu, ktorý má vo vrchole i stupeň d_i .

Hoci uvedená úloha sa zdá byť dosť všeobecná, predsa ju možno transformovať na úlohu najcennejšieho páreňa, čo teraz urobíme v troch krokoch (i) až (iii).

- (i) Najprv využijeme kapacity hrán. Každú hranu ij nahradíme cestou $ipqj$, kde p a q sú nové vrcholy priradené hrane ij . Požiadavky vrcholov i a j sa nemenia,

Takto sme ku grafu G priradili nový graf, ktorý označíme symbolom \hat{G} . Prenechávame čitateľovi overiť (8.Z.6), že platí:

Veta 1. Graf G má faktor F taký, že $d'_i \leq \deg(i) \leq d''_i$ pre každé $i \Leftrightarrow$ graf \hat{G} má lineárny faktor.

DÔKAZ vety 1 poskytne aj polynomálny algoritmus pre F .

Teda ak stupeň každého vrcholu faktora môže prebiehať interval, tak pre úlohu máme polynomálny algoritmus. Žiaľ, vo všeobecnosti ak je pre každý vrchol predpísaná prípustná množina stupňov, už to nie je tak [Plesník, Wawruch (1982)]:

Veta 2. Problém nájst faktor grafu so stupňami z predpísaných množín je NP-fázky dokonca v planárnych kubických a bipartiitných grafoch.

Istou analógiou úlohy o najlacnejšom maximálnom toku je nasledujúca úloha.

ÚLOHA S CENAMI A KAPACITAMI HRÁN

A S VRCHOLOVÝMI POŽIADAVKAMI

Dany je graf G . Pre každý jeho vrchol i je predpísaná celočíselná požiadavka $d_i > 0$ a každá hraná ij má celočíselnú kapacitu $b_{ij} > 0$ a reálnu cenu c_{ij} . Úlohou je nájst celé čísla x_{ij} ($ij \in E(G)$)

minimalizujúce

$$\sum_{ij \in E(G)} c_{ij} x_{ij}$$

pri ohreničeniaciach

$$(1) \quad \sum_{j \in V(i)} x_{ij} = d_i \text{ pre } i \in V(G),$$

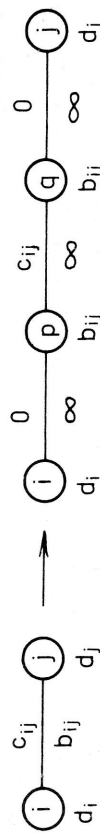
$$(2) \quad 0 \leq x_{ij} \leq b_{ij} \text{ pre } ij \in E(G).$$

Všimnime si, že ak všetky $b_{ij} = 1$, tak hrany ij s $x_{ij} = 1$ určujú faktor grafu, ktorý má vo vrchole i stupeň d_i .

Hoci uvedená úloha sa zdá byť dosť všeobecná, predsa ju možno transformovať na úlohu najcennejšieho páreňa, čo teraz urobíme v troch krokoch (i) až (iii).

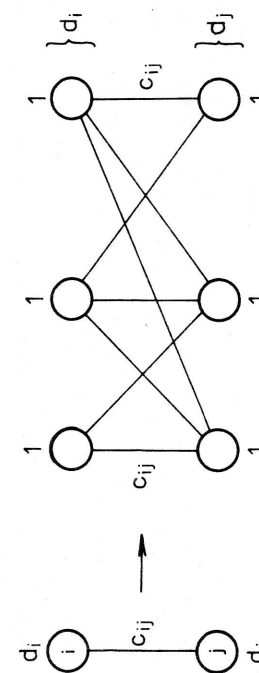
- (i) Najprv využijeme kapacity hrán. Každú hranu ij nahradíme cestou $ipqj$, kde p a q sú nové vrcholy priradené hrane ij . Požiadavky vrcholov i a j sa nemenia,

$d_p := b_{ij} = d_q := \hat{c}_{pq} := \hat{c}_{qi} := 0$, $\hat{c}_{pq} := c_{ij}$ (pozri obr. 2). Transformácia je zrejmé správna: Vo vzniknutom grafe \hat{G} bude $\hat{x}_{ij} = \hat{x}_{ij} - \hat{x}_{pq} = x_{ij} - x_{pq} = b_{ij} - x_{ij}$, ak x_{ij} je v G a obrátene. Tako získame úlohu maximalizovať $\sum \hat{c}_{pq} \hat{x}_{pq} = \sum c_{ij} b_{ij} - \sum c_{ij} x_{ij}$.



Obr. 2. Vylúčenie kapacít hrán.

(ii) Teraz transformujeme túto maximalizačnú úlohu bez hranových kapacít (všetky sú ∞) na úlohu nájist najcenejší lineárny faktor. K tomu každý vrchol i s požiadavkou d_i nahradíme d_i vrcholmi s jednotkovými požiadavkami a každú hranu ij nahradíme $d_i d_j$ hranami s cenami c_{ij} (obr. 3).



Obr. 3. Transformácia na jednotkové požiadavky.

(iii) Konečne, úlohu nájist najcenejší lineárny faktor transformujeme na úlohu nájist najcenejší párenie. Na tento účel každú cenu c_{ij} zväčšíme o rovnaké dostatočne veľké číslo M . Tieto nové ceny $c'_{ij} := c_{ij} + M$ zabezpečia, že najcenejšie párenie bude úplné (ak úplné existuje).

Poznamenajme, že kroky (i) a (iii) predstavujú polynomiale transformácie, ale krok (ii) nie, a preto je vhodný iba pre malé hodnoty d_i (a b_{ij} , ak uvažujeme pôvodný problém). Toto je sphenené napr. pri hľadaní najkratšej cesty v grafe (pozri 4.D).

Rozvinutím myšlienok použitých pri hľadaní najcenejšího párenia (8.C) sa však podarilo zostrojiť polynomiaľný algoritmus aj pre úlohu s cenami a kapacitami hrán a lubovoľnými vrcholovými požiadavkami a tiež pre niektoré jej modifikácie (pozri [Edmonds, Johnson (1970)] a [Edmonds (1975)]).

1. Ukažte, že v nemulovom grafe pomer možnosti najpočetnejšieho a maximálneho párenia nepresahuje 2; uvedte extremálne príklady. [Návod: Dokázavajte 8.A.1.]

2. Dokážite Königovu–Hallovu vetu 8.A.2 pomocou tokov.

3. (a) Dokážite, že pre lubovoľné párenie X v grafe G existuje najpočetnejšie párenie X^* pokryvajúce všetky vrcholy pokryté párením X . Speciálne, pre lubovoľný vrchol w s $\deg(w) > 0$ existuje najpočetnejšie párenie pokryvajúce w [Lawler (1976)]. [Návod: Všimnite si účinok zmeny párenia cez alternujúci tah na pokrytie vrcholov.]

(b) Nech G je bipartitný graf s partiami S a T . Dokážte, že pre lubovoľné dve párenia X_1 a X_2 v G existuje také párenie $X \subseteq X_1 \cup X_2$, ktoré pokryva všetky vrcholy v S pokryté s X_1 a všetky vrcholy v T pokryté s X_2 [Mendelsohn, Dulmage (1958)].

4. Dokážte, že: (a) Pravidelný bipartitný multigraf stupňa k možno rozložiť na k 1-faktorov [König (1936)].
(b) Pravidelný pseudograf stupňa $2k$ možno rozložiť na k 2-faktorov [Petersen (1891)]. [Návod: Každý komponent má eukleovský tah, ktorého hrany súhlasne zořientujeme; získaný pseudograf reprezentujeme bipartitným multigrafom a použijeme (a).]

5. Nech F je maďarský les grafu G pri párení X (pozri 8.B). Dokážte, že ak X_1 je najpočetnejšie párenie v $G - V(F)$, tak $X_1 \cup (X \cap E(F))$ je najpočetnejšie párenie v G . Ako to možno využiť v algoritme pre najpočetnejšie párenie?

6. Dokážte vetu 8.D.1.

7. (a) Uvažujte zovšeobecnenie úlohy s cenami z 8.D, kde namiesto (2) žiadame, aby $b'_{ij} \leq x_{ij} \leq b''_{ij}$ (b'_{ij} a b''_{ij} sú predpísané celé nezáporné čísla). Redukujte toto zovšeobecnenie na základnú.

(b) V inom zovšeobecnení namiesto (1) žiadame: $d'_i \leq \sum_{j \in V(i)} x_{ij} \leq d''_i$, kde d'_i a d''_i sú dané celé nezáporné čísla. Redukujte takúto úlohu na základnú. [Návod: Pri každom vrchole i dámem namiesto dvojice d'_i, d''_i len požiadavku d''_i a pridáme dva nové vrcholy i_1, i_2 s požiadavkami $r_i := d''_i - d'_i$. Ďalej pridáme hrany i_1, i_2 a i, i_1 s príslušnými kapacitami: $|r_i/2|, |r_i/2|$ a r_i . Potom pridáme štyri vrcholy w_1, w_2, w_3 a w_4 (spoločne pre všetky i), z ktorých prvé tri majú požiadavky n (je počet pôvodných vrcholov) a w_4 má 0 alebo 1. Konečne pridáme hrany $w_1 w_2, w_1 w_3, w_2 w_3, w_3 w_4$ kapacit $[n/2], [n/2], n, 1$ a pre každé pôvodné i hranu i, w_1 kapacity 1. Ceny všetkých nových hrán sú nulové.]

9**POCHÔDZKY**

- Získaný graf označme G_0 , ak w_4 má požiadavku 0 a G_1 , ak w_4 má 1. Ukážte, že stačí riešiť dve základné úlohy (jednu pre G_0 a jednu pre G_1).]
8. Navrhnite algoritmus pre nájdienie takého párenia, v ktorom minimálna cena hrany je maximálna.

9. Nech p je množstvo najpočetnejšieho párenia v grafe G bez nulových vrcholov a nech q je minimálny počet hrán pokryvajúcich všetky vrcholy v G (hrana pokrýva svoje kraje). Dokážte, že $p + q = n(G)$ [Gallai (1959)] a navrhnite algoritmus pre nájdienie minimového hranového pokrycia vrcholov grafu [Norman, Rabin (1959)].
- Poznamenajme, že v grafe s cennami hrán má zmysel hľadať tzv. *najlacnejšie hranové pokrytie vrcholov* grafu (minimalizujeme sumu cien pokryvajúcich hrán). Algoritmus pre nájdienie takého pokrytia vypracoval L. J. White (dizertačia 1967) a uvádzá ho napr. Minieka (1978): využívajú sa podobné myšlienky ako v časti 8.C, pri hľadaní najcennejšieho párenia. Najlacnejšie hranové pokrytie možno uvažovať aj ako špeciálny prípad úlohy z cvičenia 7(b) ($d'_i = 1$, $d''_i = n - 1$). Ulohu najlacnejšieho hranového pokrytia však možno pretransformovať na úlohu najlacnejšieho párenia aj v čase $O(n^2)$: v tomto čase možno urobiť aj obrátenú transformáciu [Plesník (1982a)].

10. V časti 4.D sme redukovali úlohu nájdenia najkratšej $s-t$ cesty v grafe na úlohu o faktore za predpokladu, že neexistujú cykly zápornej dĺžky. Uvedte, ako to zistíme.

11. Ukážte, že nezávisle od existencie polynomálneho algoritmu pre najcennejšie párenie sú úlohy najcennejšieho párenia a najcennejšieho úplného párenia polynomálne ekvivalentné. Ďalej ukážte, že stačí uvažovať len úlohy s kladnými cennami.

12. Dokážite nasledujúce zosilnenie tvrdenia z cvičenia 1 pre grafy s kladnými cennami hrán: Pažravá metóda (pozri 2.E) poskytuje $\frac{1}{2}$ -aproximáciu najcennejšieho párenia, ale nezararuje ϱ -aproximáciu pre $\varrho > \frac{1}{2}$.

13. Dokážte, že úloha nájdi kubický podgraf grafu je NP-ťažká [V. Chvátal — pozri v [Garey, Johnson (1979)]]: [Navod: Transformujte problem presneho pokrycia 3-množinami.]

Úloha je NP-ťažká dokonca aj pre planárne bipartitné grafy s maximálnym stupňom 4 [Plesník [1981b]].

14. Dokážte, že množina všetkých párených vrcholov v lubovoľne zvolenom maximálnom párení predstavuje 2-aproximáciu grafa.
- Pokrytie hrán grafu [Garey, Johnson (1979)].

Úlohy skúmané v tejto kapitole vychádzajú z klasických úloh nájdi eulerovský tah, resp. hamiltonovský cyklus. V prvom prípade ide o uzavretý tah obsahujúci každú hrancu grafu a v druhom o cyklus obsahujúci všetky vrcholy grafu. Tieto úlohy sa prirodzeným spôsobom prenášajú do digrafov, resp. migrafov. Vyznamenejšie sú však zovšeobecnenia týchto úloh, kde sú hránam priradené dĺžky a úlohou je nájsť najkratšiu „pochôdzku“. Tako vzniká úloha obchodného cestujúceho alebo úloha čínskeho poštára. Hoci zdanivo ide o podobné úlohy, hľadat eulerovské tathy je ľahké, zatiaľ čo úloha nájdi hamiltonovský cyklus patrí k veľmi obtiažným úloham. Toto platí aj v ohodnotených gratoch, hoci za istých predpokladov vieme nájsť aspoň approximáciu optimu.

9.A Eulerovské tathy

Taky uzavretý tah pseudomigrafu, ktorý obsahuje všetky hrany a vrcholy, nazýva sa *eulerovsky tah*. Ak má pseudomigraf takýto tah, tak sa nazýva *eulerovsky*. Tento pojem budeme skúmať iba v grafoch, digrafoch a migrafoch, ale všetky výsledky a dôkazy zostávajú platné aj pri násobných hránach a slučkách. V súvislosti s tzv. problémom 7 mostov dal Euler (1736) úplnú charakterizáciu takýchto grafov:

Veta 1. Graf G je eulerovsky \Leftrightarrow (i) je súvislý a (ii) každý jeho vrchol má párný stupeň.

DÔKAZ. (\Rightarrow) Eulerovský tah zabezpečuje súvislosť a počet príchodov do nejakého vrcholu je rovný počtu odchodov z tohto vrcholu.
 (\Leftarrow) Začnajúc z lubovoľného vrcholu $v_0 \in E(G)$ cestujme stále po neprejedných hránach. Takéto cestovanie zrejmene skončí vo vrchole v_0 , lebo platí (ii), a teda sme utvorili nejaký v_0-v_0 tah T . Ak $E(T) = E(G)$, tak T je eulerovský tah. Inak utvoríme dlhší v_0-v_0 tah takto: Zvolíme netrivariálny komponent C v $G-E(T)$. Podľa (i), T a C majú nejaký spoločný vrchol w , a tak, ako sme utvorili T v G , tak v C možno utvoriť nejaký netrivariálny $w-w$ tah Q . Ak do tahu T vsunieme táh Q ,

získame $v_0 - v_0$ tah T' dlhší ako T . Takéto predĺžovanie nás zrejme priviedie k eulervskému tahu. ■

LABYRINTOVÝ ALGORITMUS PRE EULEROVSKÝ TAH

Dôkaz vety 1 je zároveň algoritmus na zostrojenie eulervského tahu. Edmonds a Johnson (1973) navrhli efektívnejší postup na báze Tarryho algoritmu (3.A) pre prieskum labyrintu, a preto nasledujúci postup nazvali labyrintový algoritmus. Jeho zložitosť je $O(m+n)$.

V danom grafe G zvolíme libovoľne vrchol v_0 . Začínajúc vo v_0 vyvárame sled dotiaľ, pokial to dovolujú níže uvedené pravidlá (P1) a (P2). Prítom si zaznamenávame (ako pri Tarryho algoritme) smer prechodu po hránach a pre každý vrchol $v \neq v_0$ aj hranu prvého prichodu do v . Okrem toho si zaznamenávame hranu v tom poradí, ako nimi prechádzame druhýkrát, t. j. späťne. Táto postupnosť hrán sa nazýva *spätná postupnosť*.

(P1) V jednom smere môžeme hranou prechádzat iba raz.

(P2) Pri odchode z nejakého vrcholu u uprednostňujeme hranu v tomto poradí:

(a) hranu neprejdené ani raz;

(b) hranu prejdené iba v smere do u , okrem hran prvého prichodu;

(c) hranu prvého prichodu. ●

Uvedený postup je špeciálnym prípadom Tarryho algoritmu, a preto, ak už nemôžemo pokračovať, tak každá hraná komponenta obsahujúceho v_0 je prejdená každým smerom práve raz. Nech T označuje príslušnú spätnú postupnosť.

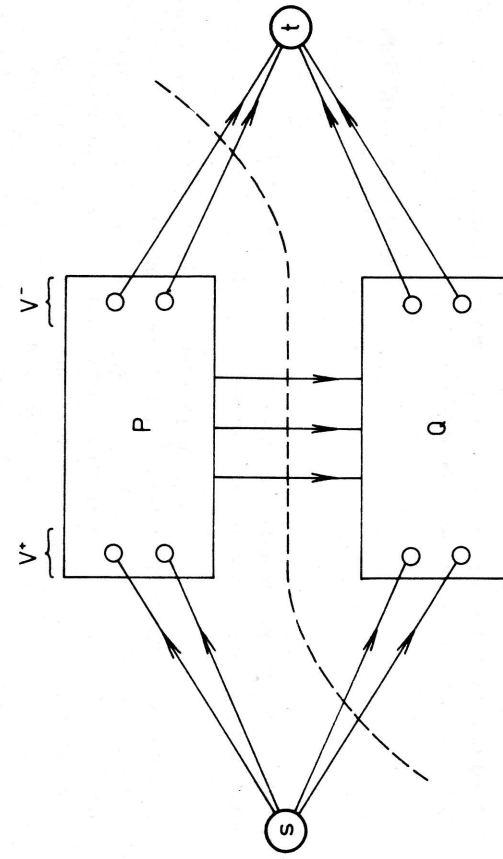
Veta 2. Pre získanú spätnú postupnosť platí: T je eulervský tahu grafu $G \Leftrightarrow G$ je eulervský.

DÔKAZ. (\Rightarrow) Zrejmé. (\Leftarrow) T obsahuje každú hranu práve raz, a preto stačí dokázať, že T je sled. Predovšetkým viďme (stupeň vrcholov sú párné), že prvá hraná v T odchádza z v_0 . Pre indukciu predpokladajme, že prvých $k \geq 1$ hrán v T tvorí sled $v_0 v_1 \dots v_k$ (vo vrcholovom výjadrení). Ukažeme, že aj ďalšia hraná $x y$ v T odchádza z v_k . Nech $x \neq v_k$. Potom sme z v_k prechádzali do x len po hranách neprejdených ani v jednom smere: preto $x \neq v_i$ aj pre každé $i = 0, 1, \dots, k-1$ (prednóst hrán). Potom však $x y$ nemôže existovať, lebo x má párný stupeň. ■

EULEROVSKÉ DIGRAFY A MIGRAFY

V prípade digrafu máme nasledujúcu analógiu vety 1: jej dôkaz je podobný a prenechávame ho čitateľovi (9.Z.2(a)).

Veta 3. Digraf G je eulervský \Leftrightarrow (i) G je slabo súvisý a (ii) G je rovnovážne orientovaný.



Obr. 1. Minimový rez v F .

Tarryho prieskumom digrafu (pozri 3.E) získame tiež analogický labyrintový algoritmus (9.Z.2(b)). Situácia je však ľahšia pre migrafy, ako vidieť z nasledujúceho Fordorho a Fulkersonovo výsledku (1962).

Veta 4. Migraf G je eulervský \Leftrightarrow sú splnené nasledujúce podmienky:

- (i) G je slabo súvisý,
- (ii) celkový stupeň každého vrcholu je párný,
- (iii) pre každú množinu $S \subseteq V(G)$ je $|(\bar{S}, S)_G| - |(\bar{S}, S)_H| \leq |[S, \bar{S}]_G|$, kde $\bar{S} := V(G) - S$, prvé dva rezy sa týkajú šípov a posledný rebiel.

DÔKAZ. (\Rightarrow) Orientujúc rebrá v G v smere, ktorým prechádzá eulervský tahu, získame z G nejaký multidigraf H , kde $|(\bar{S}, S)_H| = |(\bar{S}, S)_G|$.

(\Leftarrow) Najprv časť rebiel zorientujeme tak, aby v získanom migrafe H bolo $\deg_H^+(v) = \deg_H^-(v)$ pre každé v , a potom už ľahko zostrojime v H eulervský tahu, ktorý bude zrejme aj eulervským tahuom v G . Požadovanú orientáciu nájdeme transformáciou na tokovú úlohu v istom digrafe F . Nech pre každý vrchol v je $d(v) := \deg^-(v) - \deg^+(v)$. Potom: (1) vynecháme z G všetky šípy; (2) každé rebro nahradíme dvojicou protišípov s kapacitami 1 a (3) pridáme dva nové vrcholy s a t , pričom s spojíme s každým vrcholom $v \in V^+ := \{v | d(v) > 0\}$ šípom sv kapacity $d(v)$ a každý vrchol $v \in V^- :=$

Ani tu netreba uvažovať slučky a násobné hrany, lebo napr. vsunutím nových vrcholov sa ich zbavíme. Uvážime zvlášť úlohu v grafoch, digrafoch a migrafoch.

$$\sum_{v \in P \cap Q} d(v) + \sum_{v \in P \cap V} d(v) > |P, Q|_G.$$

Podľa definície čísel $d(v)$ z toho máme:

$$(*) \quad \sum_{v \in P} \deg_G^+(v) - \sum_{v \in P} \deg_G^-(v) > |P, Q|_G.$$

Avšak $\sum_{v \in P} \deg^+(v) = |(P, Q)_G| + |(P, P)_G|$ a $\sum_{v \in P} \deg^-(v) = |(Q, P)_G| + |(P, P)_G|$. Takže pre $S := Q$ je $\bar{S} = P$ a z (*) získame spor s predpokladom (iii). Preto $P = \emptyset$. Potom teda tok x nasycuje všetky hrany odchádzajúce z s a tiež všetky hrany prichádzajúce do t (lebo $\sum_{v \in V(G)} d(v) = 0$).

Teraz utvoríme z G multimgraf H takto: Každé rebro $[u, v] \in E(G)$ bude rebrom aj v H , ak tok $x(u, v) = x(v, u)$: inak namiesto rebra $[u, v]$ dám ten zo šípov (u, v) a (v, u) , na ktorom bola hodnota toku x väčšia (t. j. rovná 1). Zrejme platí: $\deg_H^+(v) = \deg_H^-(v)$ pre každý vrchol v .

Nech rebrá multimigrafu H vytvárajú faktor H^0 a šíp faktor H^1 . Každý komponent grafu H^0 je podľa vety 1. eulerovský a každý slabý komponent multidigrafu H^1 je tiež eulerovský. Z predpokladu (i) vyplýva, že jednotlivé eulerovské tahi možno ľahko pospájať do jediného eulerovského tahu migrafu H . Tento bude aj eulerovský tahanom v G . ■

Uvedený dôkaz poskytuje algoritmus pre nájdenie eulerovského tahu v migrafe. Jeho zložitosť je určená zložitosťou algoritmu pre nájdenie maximálneho toku v F .

9.B Úloha čínskeho poštára

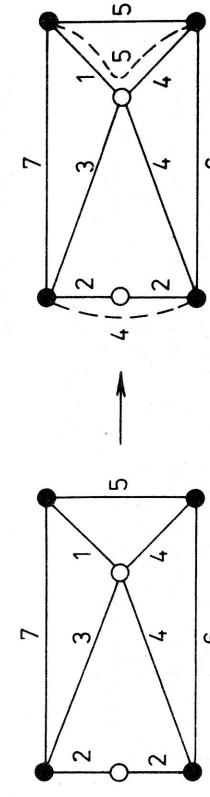
Vtedy, keď eulerovský tahn neexistuje, uspokojíme sa aj s eulerovským sledom, čo je uzavretý sled obsahujúci všetky hrany a vrcholy. Pravda, v tomto prípade nás bude zaujímať najkratší taký sled, ako je to aj v nasledujúcej úlohe, kde pristupujú ohodnotenia hrán.

Ani tu netreba uvažovať slučky a násobné hrany, lebo napr. vsunutím nových vrcholov sa ich zbavíme. Uvážime zvlášť úlohu v grafoch, digrafoch a migrafoch.

ČÍNSKY POŠTÁR V GRAFOCH

Táto úloha je historicky prvou. Pôvodne ju navrhol a riešil čínsky matematik Kwan (1962) v súvislosti s úlohou poštára, ktorý má prejsť všetky ulice svojho mesta (obvodu) a vrátiť sa späť. Odtiaľ je aj názov úlohy. Kwan navrhol začať s ľubovoľným prípusťným riešením a postupne ho vylepšovať. Avšak pri tom vznikali úlohy identifikácie cyklov zápornej dĺžky, ktoré už neriešil.

Schodnejši sa ukázal prístup, ktorý ako prvý uvádzajú Busacker a Saaty (1965) a nezávisle Edmonds (1965c): Ak má graf všetky stupne párne, tak každý eulerovský tahn je optimálnym riešením úlohy. Inak treba íst niektorými hranami viackrát. Preto sa ponúka myšlienka popáriť vrcholy nepárneho stupňa novými hranami (najkraššími cestami), čím sa získa eulerovský multigraf, ktorého eulerovský tahn zodpovedá eulerovskému sledu v G . Obr. 1 ilustruje túto ideu.



Obr. 1. Optimálne doplnenie grafu na eulerovský multigraf.

Takýto postup je zdôvodnený nasledujúcimi úvalami. Nech S^* je eulerovský sled v G . Nech G^* je multigraf získaný z G pridaním tzv. umelých hrán ku G : pre každú hrancu $e \in E(G)$, ak S^* obsahuje hranu e k -krát, tak ku e pridáme $k-1$ násobkých hrán dĺžky $c(e)$. Keďže sledu S^* v G vieme priradiť tiah v G^* , tak G^* je eulerovský, a preto má všetky stupne párne. Nech V_1 je množina vrcholov nepárneho stupňa v G . Multigraf $H := G^* - E(G)$ má len umelé hrany a tú istú množinu V_1 vrcholov nepárneho stupňa ako G a možno v ňom nájsť $q := |V_1|/2$ hranovo disjunktných ciest $u_1-v_1, u_2-v_2, \dots, u_q-v_q$, kde $\{u_1, v_1, \dots, u_q, v_q\} = V_1$. (Také cesty možno ľahko nájsť: Zvolíme $u_1 \in V_1$ a nájdeme nepredzíelný tiah T_1 začínajúci v u_1 ; zrejme T_1 končí v nejakom vrchole v_1 nepárneho stupňa a možno z neho vybrať u_2-v_1 cestu P_1 . Potom zvolíme $u_2 \in V_1 - \{u_1, v_1\}$

a v $H - E(P_1)$ analogicky nájdeme $u_2 - v_2$ cestu P_2 atď.). Týmto cestám zodpovedajú cesty v G , ktoré sú určené tými istými postupnosťami vrcholov.

Následujúci algoritmus je preto zameraný na nájdenie systému ciest, ktoré spolu pária všetky vrcholy nepárneho stupňa a majú sumárnu dĺžku minimálnu. Jeho správnosť vypĺňa z uvedených úvah.

Algoritmus

KROK 1: Ak $V_1 = \emptyset$, tak (G je eulerovsky) položíme $\hat{G} := G$ a ideme na krok 4.

Inak pre každé dva vrcholy $u, v \in V_1$ nájdeme (podľa kap. 4) najkratšiu $u - v$ cestu P_{uv} (jej dĺžka je $d_G(u, v)$).

KROK 2: V kompletnom grafu K na množine vrcholov V_1 predpíšeme každej hrane uv cenu rovnú $d_G(u, v)$ a nájdeme v K najlacnejšie úplné párenie M (podľa kap. 8; M existuje, lebo $|V_1|$ je párné číslo).

KROK 3: Ku G pridáme hrany párenia M , čím získame nejaky multigraf \hat{G} .

KROK 4: V eulerovskom multigrafe \hat{G} nájdeme (podľa 9.A) nejaký eulerovsky tah T .

KROK 5: Z tahu T zostrojíme eulerovsky sled S grafu G tak, že v ňom každú hranu $uv \in M$ nahradíme cestou P_{uv} . Potom S je najkratší eulerovsky sled grafu G : STOP. ●

ČÍNSKY POŠTÁR V DIGRAFOCH

Pre tento problém Edmonds a Johnson (1973) navrhli takýto postup:

Kedže G je silne súvislý, eulerovsky sled v G existuje. Nech S^* je najkratší eulerovsky sled. Utvorme multidigraf G^* pridaním nových hrán ku G : ak S^* obsahuje hranu ij k-krát, tak k nej pridáme $k-1$ násobných hrán dĺžky c_{ij} . Takto G^* je eulerovsky a $c(G^*) = c(S^*)$. Preto tu vzniká úloha doplniť G na rovnovážne orientovaný multidigraf \hat{G} hrannami minimálnej sumárnej dĺžky. Potom eulerovsky tah v \hat{G} bude zodpovedať najkratšiemu eulerovskému sledu v G . Túto úlohu však možno sformulovať ako úlohu najlacnejší celočíselny tok s požiadavkami, ktorú vieme riešiť (pozri 6.D). Ak neznáma x_{ij} označuje počet umelých hrán násobných s $ij \in E(G)$, tak máme úlohu:

minimizovať

$$\sum_{ij \in E(G)} c_{ij} x_{ij}$$

pri ohrianičeniac

$$\sum_{j \in V(i)} x_{ij} - \sum_{i \in V(j)} x_{ij} = d(i) := \deg^-(i) - \deg^+(i), \quad i \in V(G),$$

$$\begin{cases} x_{ij} \geq 0 \\ x_{ij} - \text{celé} \end{cases} \quad ij \in E(G).$$

(Úlohu vieme previesť na úlohu s jedným vstupom a výstupom a vyriešiť v polynomálnom počte krokov aj algoritmom polocyklov a polociest, lebo kapacity hrán budú čísla $|d(i)|$). ●

ČÍNSKY POŠTÁR V MIGRAFOCH

Túto úlohu už nevieme dobre riešiť. Naviac Papadimitriou (1976) dokazuje:

Veta 1. Úloha čínskeho poštára v migrafoch je NP-tažká, dokonca pre planárne neohodnotené migrafy s maximálnym (celkovým) stupňom 3.

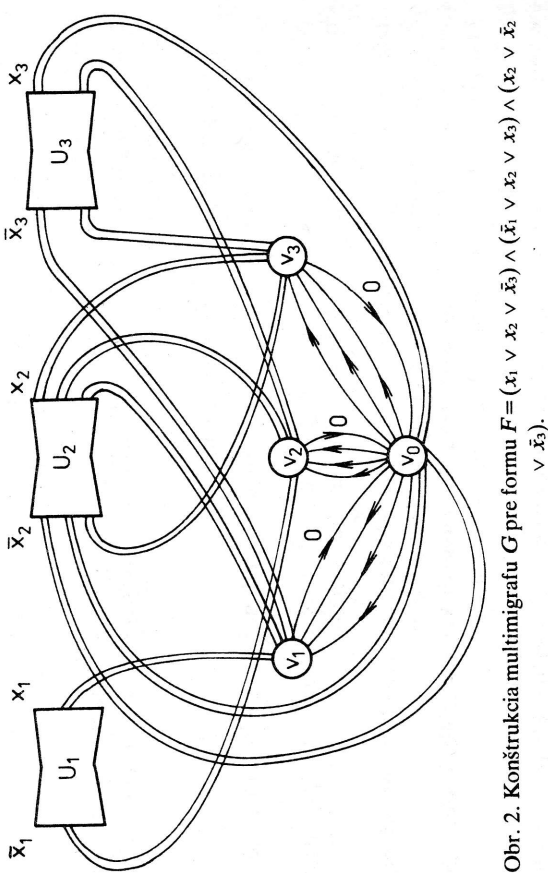
DOKAZ. (1) Najprv dokážeme vetu pre ohodnotené migrafy bez ohrianičenia, a potom postupne prejedeme k jednotlivým ohrianičeniam.

Cenou eulerovského sledu nazývame rozdiel jeho dĺžky a súčtu dĺžok všetkých hrán migrafu (táto cena je nulová pre eulerovské tropy).

Na našu úlohu transformujeme problem splnenosti boľovského výrazu v konjunkívnej normálnej forme s troma premennými v každej klauzule. Nech forma $F = C_1 \wedge C_2 \wedge \dots \wedge C_q$, kde každá klaузula C_i je 3-členná disjunkcia premenných x_1, x_2, \dots, x_p , resp. ich negácií $\bar{x}_1, \bar{x}_2, \dots, \bar{x}_p$. Postup budeme ilustrovať na príklade, keď $F = (x_1 \vee x_2 \vee \bar{x}_3) \wedge (\bar{x}_1 \vee \bar{x}_2 \vee x_3) \wedge (x_2 \vee \bar{x}_2 \vee \bar{x}_3)$: tu je $p = q = 3$. Nech pre každé i označuje s_i počet výskytov symbolu x_i a \bar{s}_i počet výskytov symbolu \bar{x}_i v F . Položime $t_i = 2 \max\{s_i, \bar{s}_i\}$.

Predpokladajme, že pre každé i máme k dispozícii tzv. usmerňovač U_i kapacity t_i a ceny a_{ij} , ktorý predbežne budeme považovať za „dvojpôlový vrchol“ s vlastnosťami: Každý jeho pól inciduje s_i rebrami. Ak je zapojený v nejakom migrafe, tak prispieva k cene lubovoľného eulerovského sledu S príspievkom aspoň a_i . Prítom tento príspievok je presne a_i pravé vtedy, ak v S prechádzame buď všetky rebrá pri lavom pôle v smere do U_i a tie pri pravom pôle smerom od U_i alebo naopak, pričom každé rebro sa vyskytuje v S iba raz. Neskôr ukážeme, že takýto usmerňovač možno realizovať migrafom.

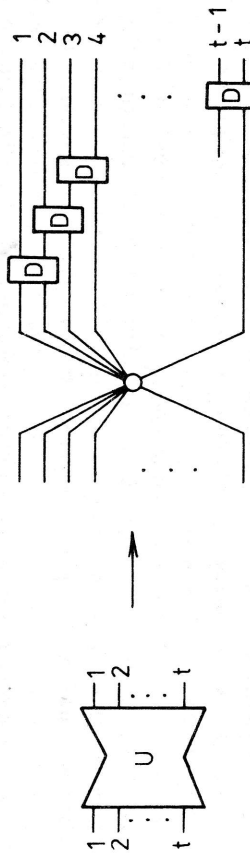
K forme F priradíme multimgraf G s p usmerňovacimi U_1, U_2, \dots, U_p a $q+1$ (obyčajnými) vrcholmi v_0, v_1, \dots, v_q nasledovne (pre nás priklad formy F je G na obr. 2): Pre každé $i = 1, 2, \dots, p$ a každé $j = 1, 2, \dots, q$ vedeieme dve rebrá z_j do lavého pôlu v U_i , ak C_j obsahuje \bar{x}_i a do pravého pôlu, ak C_j obsahuje x_i . Z volby t_i je vidieť, že takto zaplníme aspoň jeden pól v U_i . Pre úplné zaplnenie vedeieme potrebný počet dvojíc reber do v_0 . Všetky rebrá majú dĺžku 1 (na obrázkoch vyznačujeme len nejednotkové dĺžky hrán). Ďalej pre každé j pridáme tri násobné šípky $v_0 z_j$ dĺžky 1 a jeden šíp $v_j z_j$ dĺžky 0.



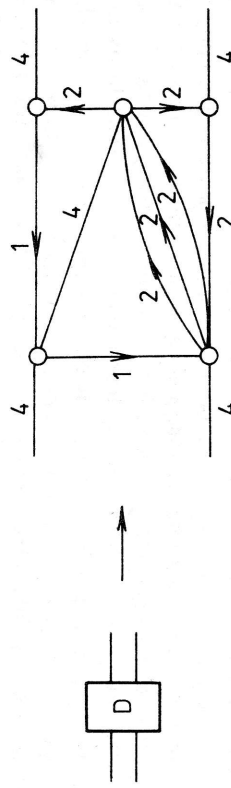
Obr. 2. Konštrukcia multimigrafa G pre formu $F = (x_1 \vee x_2 \vee x_3) \wedge (\bar{x}_1 \vee x_2 \vee \bar{x}_3) \wedge (x_2 \vee x_3 \vee \bar{x}_3)$.

Dokážeme, že v G existuje eulrovský sled ceny nanajvýš $a := a_1 + \dots + a_p$ práve vtedy, keď je forma F splnitelná.

- Nech $F(x_1^*, x_2^*, \dots, x_p^*) = 1$ (pravdivá hodnota). Potom všetky rebrá pri U_i zorientujeme zľava doprava (prichádzajúce sú pri \bar{x}_i a odchádzajúce pri x_i), ak $x_i^* = 1$ a sprava dolava, ak $x_i^* = 0$. Keďže každá klanuza G je splnená, tak pri každom v_j je aspoň jedna dvojica násobnych hrán prichádzajúcich do v_j . Doteraz máme preto zabezpečené, že $\deg^-(v_j) \geq 5$, a teda, že $\deg^+(v_j) \leq 5$ (lebo celkovo je pri každom v_j 10 hrán). Ak $\deg^-(v_j) - \deg^+(v_j) > 0$, tak pridáme ďalšiu šípku v_{v_0} (dlžky 0), až bude tento rozdiel nulový. Získaný multidigraf \hat{G} má všetky vrcholy v_1, \dots, v_q aj „vrcholy“ U_1, \dots, U_p rovnovážne ($\deg^+ = \deg^-$), a preto aj vrchol v_0 musí byť taký. Taktôž \hat{G} má eulrovský tan \hat{T} , ktorému zodpovedá eulrovský sled T v G tej istej dĺžky (šípy $v_j v_0$ majú dĺžku 0). Podľa predpokladu o usmerňovačoch U_1, \dots, U_p , sled T má cenu a .
- Obrátenie, nech G má eulrovský sled T ceny nanajvýš a . Z príspevkov jednotlivých U_i vyplýva, že musí mať cenu práve a . Okrem toho musia byť všetky hrany pri U_i prechádzané buď zľava doprava alebo vopäť sprava doľava. Keďže už žiadny ďalší príspevok k cene sledu nie je možný, musí sled T pre každý vrchol v_j prechádzať aspoň jednou dvojicou hrán od nejakého U_i k v_j , lebo inak by musel opakovane prechádzať nejakou hranou nenulovej dĺžky. Potom však postup v (i) možno obrátiť a získať splnenie formy F .

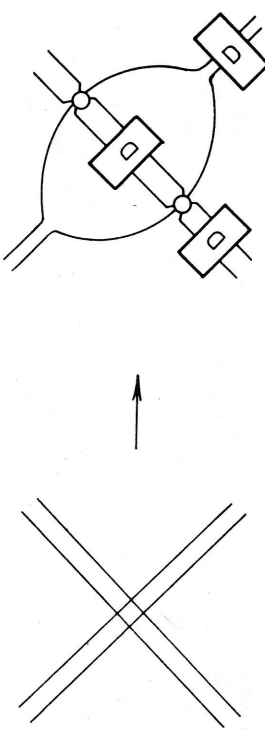


Obr. 3. Usmerňovač kapacity t .



Obr. 4. Realizácia usmerňovača kapacity 2 a ceny 4.

- Toto tvrdenie teraz zosilníme ohranením na planárne migrafy. Samotné D je planárne, a teda aj každé U_i (obr. 4 a 3). Môžeme predpokladať, že migrafa G je zakreslený v rovine tak, že násobné hrany sú vedené blízko seba, že pretínajú sa vždy dvojice rebier a že v dostatočne malom kruhu sa nachádzajú priesecníky nanajvýš dvoch dvojíc rebier (porovnaj obr. 2). Potom križovanie možno vyriešiť tak, ako na obr. 5. Pravda, pri každej takejto substitúcií musíme celkovú cenu a zväčsiť o 12. Čitateľovi nechávame overiť, že cena eulrovského sledu sa zväčší



Obr. 5. Vyriešenie krížovania rebier.

práve o 12 iba vtedy, ak tento sled zachováva smer prechádzania rebrami z ľavej časti obr. 5 : inak sa zväčší o viac.

(4) Teraz odstránime veľké stupne. Ak nejaký vrchol w má stupeň väčší ako 3, tak zválimme dve hrany e_1, e_2 incidentné s w a ležiace v tej istej stene rovinného (diagramu) multimigrafa. Potom pridáme nový vrchol w' a hrany e'_1, e'_2 odpojíme od w a pripojíme ich do w' . Ďalej pridáme rebro ww' nulovej dĺžky. Tým sme znížili stupeň vrcholu w o 1 a utvorili len vrchol stupňa 3 bez porušenia planárnosti. Ľahko zistíť, ako sa transformuje najkratší eulerovský sled a že jeho cena sa nemeni. Opakováním tohto postupu získame požadované stupne (≤ 3).

(5) Nejednotkové dĺžky hrán odstránime takto: Nech m je počet hrán v doteraz získanom multimigrafe H . Dĺžku $c(e)$ každej hrany e nahradíme dĺžkou $c'(e) = 1$, ak $c(e) = 0$ a dĺžkou $c'(e) = m^2 c(e)$, ak $c(e) > 0$. Tvrďme: pri dĺžkovej funkcií c existuje eulerovský sled S cený nanajvyšš. A práve vtedy, keď pri dĺžkovej funkcií c' existuje eulerovský sled S' cený nanajvyšš $(A+1)m^2 - 1$. Môžeme predpokladať, že S neobsahuje viac ako $m^2 - 1$ hrán dĺžky 0. Potom tento istý sled pri dĺžkovej funkcií c' má cenu nanajvyšš $m^2 A + (m^2 - 1)1$. Obrátenie, ak rozdelíme hrany z S' prispievajúce do ceny sledu na hrany dĺžky aspoň m^2 a hrany jednotkovej dĺžky, tak hrany prvej skupiny budú prispievať k cene číslom nanajvyšš A a druhé nulou pri dĺžkovej funkcií c . Preto za S môžeme zobrať S' .

Ak teraz do každej hrany e dĺžky $c'(e) > 1$ vsunieme $c'(e) - 1$ nových vrcholov, hrancu e rozdelíme na hrany jednotkovej dĺžky. Zároveň sme sa zbavili násobných hrán. Triviálne možno overiť, že všetky transformácie, ktoré sme urobili, sú polynomiale.

■

k ČÍNSKÝCH POŠTÁROV

Ak namiesto jedného máme $k \geq 2$ pošárov, tak budeme požadovať, aby v zjednotení obsiahli všetky hrany a pritom žiadnen z nich nepresiel príliš mnoho.

Formálne: Nech G je pseudomigraf, kde každá hrana e má reálnu dĺžku $c(e) \geq 0$. Pre daný vrchol $v_1 \in V(G)$ treba nájsť k takých $v_1 - v_i$ sledov S_1, S_2, \dots, S_k , ktoré v zjednotení obsahujú všetky hrany a pritom $\max\{c(S_j) | 1 \leq j \leq k\}$ je minimálne. Túto úlohu študujú Fredericson, Hecht a Kim (1978) a nasledujúci výklad je založený na ich článku.

Veta 2. Pre každé $k \geq 2$ je úloha k čínskych poštárov NP-tažká, dokonca pre grafy alebo digrafy.

DOKÁZ. Na takúto úlohu transformujeme problém rozdeľenia čísel a_1, \dots, a_p na k tried s rovnakými súčtami. K tomu stačí zobrať za G pseudomigraf (alebo pseudodigraf) s jediným vrcholom v_1 a P slučkami dĺžok a_1, \dots, a_p . Aby sme sa vyhli slučkám, vsunieme do každej dvoj vrcholy, príčom stredná hrana dostane dĺžku slučky a obe krajiné hrany budú mať nulovú dĺžku. ■

V prípade pseudografov však možno zabezpečiť v polynomálnom čase aspoň istú aproximáciu optimálnej.

Nasledujúci štandardizácia algoritmus pre pseudografov G štipeci optimálny sled S^* z problému jedného čínskeho pošára na k úsečov, ktoré po predĺžení do vrcholu v_1 dávajú množinu prípusťných „takmer rovnakých“ sledov pre k pošárov. Najprv zavedieme niekoľko označení.

Nech $S^* = (v_1, e_1, v_2, e_2, \dots, v_q, e_q, v_r)$, kde v_i sú vrcholové a e_i hranné prvky a nech $S_{i,j}^*$ označuje $v_i - v_j$ úsek sledu S^* . Ďalej označíme:

$$d_{\max} := \frac{1}{2} \max_{2 \leq i \leq q-1} \{d(v_1, v_i) + c(e_i) + d(v_{i+1}, v_1)\},$$

$$c_j := \frac{j}{k} [c(S^*) - 2d_{\max}] + d_{\max}, \quad \text{ak } 1 \leq j \leq k.$$

Algoritmus

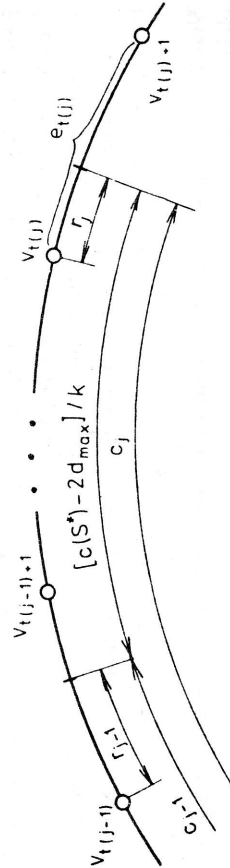
KROK 1: Nájdeme najkratší eulerovský sled S^* (úloha jedného čínskeho pošára).

KROK 2: Pre každé $j = 1, 2, \dots, k-1$ urobíme:
Nájdeme najväčší index $t(j)$ taký, že $c(S_{1,t(j)}^*) \leq c_j$ (pozri obr. 6):

$$r_j := c_j - c(S_{1,t(j)}^*);$$

$$z(j) := \begin{cases} t(j), & \text{ak } r_j + d(v_{t(j)}, v_1) \leq c(e_j) - r_j + d(v_{t(j)+1}, v_1), \\ t(j) + 1, & \text{inak.} \end{cases}$$

Okrem toho nech $z(0) := z(k) := 1$.



Obr. 6. K štiepiacemu algoritmu.

KROK 3: Pre každé $j = 1, 2, \dots, k$ úsek $S^*_{z(j-1), z(j)}$ predĺžime o najkratšiu $v_1 - v_{z(j-1)}$ cestu a najkratšiu $v_{z(j)} - v_1$ cestu v G . Získané $v_1 - v_1$ sledy S_1, S_2, \dots, S_k tvoria výstup algoritmu. STOP. ●

Veta 3. Nech $L^k := \max \{c(S_j) \mid 1 \leq j \leq k\}$ a nech L_{opt}^k je hodnota optimálneho riešenia pre úlohu k čínskych poštárov. Potom

$$\frac{L^k}{L_{opt}^k} \leq 2 - \frac{1}{k}.$$

Dôkaz. Nech sledy T_1, T_2, \dots, T_k tvoria optimálne riešenie. Potom zrejme $c(S^*) \leq \sum c(T_i) \leq k L_{opt}^k$. Nech sa d_{max} realizuje pri indexe g . Hrana $e_{(g)}$ leží v nejakom siede T_i , a preto

$$2d_{max} = d(v_1, v_{(g)}) + c(e_{(g)}) + d(v_{(g)+1}, v_1) \leq c(T_i) \leq L_{opt}^k.$$

Z definície čísla d_{max} pre každé j platí:

$$(*) \min \{d(v_1, v_{(g)}) + r_j, c(e_{(g)}) - r_j + d(v_{(g)+1}, v_1)\} \leq d_{max}.$$

Podľa toho, či $z(j) = t(j)$, alebo $t(j) + 1$ a či $z(j-1) = t(j-1)$ alebo $t(j-1) + 1$, sú štyri možnosti. Tu preskúmame len jednu (ostatné sú podobné): $z(j-1) = t(j-1)$, $z(j) = t(j) + 1$.

Použijúc (*) pre $j-1$ a pre j , získame:

$$\begin{aligned} d(v_1, v_{(g-1)}) + r_{j-1} &\leq d_{max}, \\ c(e_{(g)}) - r_j + d(v_{(g)+1}, v_1) &\leq d_{max}. \end{aligned}$$

Na základe týchto a predchádzajúcich netvorností máme:

$$c(S_j) \leq d_{max} + \frac{1}{k} [c(S^*) - 2d_{max}] + d_{max} \leq 2\left(1 - \frac{1}{k}\right) d_{max} + \frac{1}{k} c(S^*) \leq \left(2 - \frac{1}{k}\right) L_{opt}^k. \blacksquare$$

9.C

Úloha obchodného cestujúceho

Hamiltonovský cyklus migrafu je cyklus obsahujúci všetky vrcholy. Analogicky hamiltonovský sled je uzavretý sled obsahujúci všetky vrcholy. Ak cesta obsahuje všetky vrcholy, tak sa tiež nazýva hamiltonovská, hoci (s výnimkou triviálnej) nie je uzavretá. Je zrejmé, že migrant má hamiltonovský sled práve vtedy, keď je silne súvislý. Charakterizovať hamiltonovské migrafy (t.j. také, ktoré majú hamiltonovský cyklus) sa doteraz nepodarilo. Sú však známe viaceré postačujúce podmienky. Väčšina z nich je založená na myšlienke, že ak má migraf dostatočne veľké stupne, tak má hamiltonovský cyklus. Vzor pre také tvrdenia dal Dirac (1952): Ak v grafe G s $n \geq 3$ vrcholmi je $\deg(v) \geq n/2$ pre každý vrchol v , tak G má hamiltonovský cyklus. Pre digrafy máme [Ghouila-Houri (1960)]: Ak v silne súvislostom digrafe G je $\deg^+(v) + \deg^-(v) \geq n$ pre každý vrchol v , tak G má hamiltonovský cyklus. Zosilnenie týchto výsledkov a iné tvrdenia možno nájsť napr. v [Behzad, Chartrand, Lesniak-Foster (1979)].

Prirodzeným zošteobecnením na ohodnotenie migrafy sa dostávame k tzv. úlohe obchodného cestujúceho: Daný je migraf G , v ktorom každá hrana e má reálnu dĺžku $c(e) \geq 0$: treba nájsť najkratší hamiltonovský cyklus (stručne: NH cyklus). Táto úloha je bezprostrednou formuláciou úlohy z praxe: obchodný cestujúci má navštíviť každé z miest práve raz, vrátiť sa do východzieho mesta, ale precestovať čo najmenej. Prvé zmienky o úlohe sa vyskytuju v súvislosti s pokusmi riešiť ju pomocou lineárneho programovania [Dantzig, Fulkerson, Johnson (1954)]. K tejto úlohe vede aj vyberanie poštových schránonok alebo vytvorenie optimálnej postupnosti technologických operácií (dĺžky hrán sú dané nákladmi na prestavovanie alebo čistenie strojov a pod.).

Pokiaľ sa obchodný cestujúci nevyhýba mestám, ktoré už navštívil, tak namiesto požiadavky navštíviť každé mesto práve raz, stačí žadať, aby každé mesto navštívil aspoň raz, čo môže viesť k menšej dĺžke jeho pochôdzky (napr. podvodník sa obáva príst niekom druhýkrát). Formálne: treba nájsť najkratší hamiltonovský sled (stručne: NH sled).

TRANSFORMÁCIE ÚLOH

Uvedieme niektoré známe transformácie medzi zavedenými problémami.

(i) Rebro možno nahradí dvojicou protisípov tej istej dĺžky (v probléme NH cyklu aj v probléme NH sledu), a tým previesť úlohu na digrafy.

(ii) Problem NH cyklu v grafe, resp. v digrafe, možno pretvárať na problem NH sledu takto: Dĺžku každej hrany zväčšme o veľké číslo M , napr. $M > \Sigma c(e)$. Potom NH cyklus pri pôvodných dĺžkach hrán zodpovedá NH sled

dĺžky nepresahujúcej $\Sigma c(e) + Mn$ pri nových dĺžkach a obratene (lebo hamiltonovský sled, ktorý nie je cyklom, má aspoň $n+1$ hrán).

(iii) Platí aj obratne. Problém NH sledu možno pretransformovať na problém NH cyklu: Dany graf (alebo digraf) G prerobime na kompletný graf (digraf) \hat{G} na tých istých vrcholoch, prícom dĺžka $\hat{c}(uv)$ hrany $uv \in E(\hat{G})$ je rovná $d_G(u, v)$. Potom každému NH sledu v G zodpovedá NH cyklus rovnakej dĺžky v \hat{G} a obratne.

(iv) Teraz si všimnime prechod z digrafov na grafy. Nasledujúcu transformáciu dáva Tarjan (pozri [Karp (1972)]): **K** digrafu G priradíme graf \hat{G} takto: $V(\hat{G}) := \{v^0, v^1, v^2 | v \in V(G)\}$, $E(\hat{G}) := \{(v^0v^1, v^1v^2) | v \in V(G)\} \cup \{(v^0w^2) | vw \in E(G)\}$. Látko je nájsť korešpondenciu medzi hamiltonovskými cyklami v G a hamiltonovskými cyklami v \hat{G} . Problém NH sledu v digrate možno potom pretransformovať na problém NH sledu v grafe pomocou (iii), (iv) a (ii).

(v) Končne poznamenajme, že vo všetkých úlohach sa stačí obmedziť na kompletné grafy či digrafy (doplňme hranami veľkej dĺžky).

OBĀŽNOŠŤ A APPROXIMÁCIA

Už v kap. 2 sme videli, že nájsť hamiltonovský cyklus v grafe, resp. digrafe, sú NP-ťažké problémy, a teda takým sú aj úlohy NH cyklu. Z uvedených polynomiálnych transformácií potom vyplýva, že aj úlohy NH sledu sú NP-ťažké. Sahni a Gonzalez (1976) však ukazujú, že úloha obchodného cestujúceho je obzvlášť ťažká.

Pre dané reálne číslo $\varrho \geq 1$ nazvime úlohou ϱ -aproximácie NH cyklu, nájsť taký hamiltonovský cyklus Z^* v kompletnom ohodnotenom grafe, resp. digrafe, že $c(Z)/c(Z^*) \leq \varrho$, kde Z^* je NH cyklus. Analogicky možno hovoriť o úlohe ϱ -aproximácie NH sledu.

Veta 1. Pre každé $\varrho \geq 1$ je úloha ϱ -aproximácie NH cyklu NP-ťažká (v grafoch aj digrafoch). ■

Dôkaz. Urobíme transformáciu problému nájsť hamiltonovský cyklus v grafe (dôkaz je rovnaký aj pre digraf) na nás problem ϱ -aproximácie. Dany graf G doplníme hranami dĺžky $M > \varrho n - n + 1$ na kompletný graf H . Pôvodné hrany sú jednotkovej dĺžky. Nech Z^* je NH cyklus v H a nech Z je riešenie úlohy ϱ -aproximácie NH cyklu v H . Ak $c(Z) = n$, tak Z je hamiltonovský cyklus v G . Inak $c(Z) \geq n - 1 + M$. Keďže $c(Z)c(Z^*) \leq \varrho$, tak aj $(n - 1 + M) \leq \varrho c(Z^*)$, a teda podľa voľby M , $\varrho n < \varrho c(Z^*) > n$, a preto G nemá hamiltonovský cyklus. ■

Podľa vety 1 máme malú nádej nájsť polynomiálny algoritmus aspoň pre približné riešenie úlohy NH cyklu. Avšak pre úlohu NH sledu v grafe sú už approximačné algoritmy. Úloha approximovať NH sled v digrafe zostáva teoreticky neriešená a v ďalšom sa obmedzíme len na grafy.

Doteraz bolo vytvorených mnoho heuristik pre úlohu obchodného cestujúceho (kvôli prehľadu pozri napr. [Christofides (1975 a 1979)]); rozsiahle experimentálne porovnávania rôznych heuristik dávajú Golden, Bodin, Doyle a Stewart (1980). Rosenkrantz, Stearns a Lewis (1977) preskúmali viaceré heuristiky a ukázali, že niektoré z nich poskytujú priateľnú approximáciu optimu za predpokladu takej dĺžkovej funkcie v kompletnom grafe, ktorá spĺňa trojuholníkovú nerovnosť ($c_{ij} + c_{jk} \geq c_{ik}$ pre každé tri vrcholy i, j, k). Tento predpoklad umožňuje ku každému NH sledu priradiť rovnako dlhý hamiltonovský cyklus. Na druhej strane hľadanie NH sledu môžeme uvedenou transformáciou (iii) previesť na hľadanie NH cyklu, čo môže byť niekedy prehľadnejšie (pri navrhovaní heuristik s ohodnoteniami $c(e) \geq 0$ spĺňajúcimi trojuholníkovú nerovnosť).

Teraz uvedieme dve heuristiky. Predpokladáme, že je daný kompletný graf G a obrátenie.

Teraz uvedieme dve heuristiky. Predpokladáme, že je daný kompletný graf G a obrátenie.

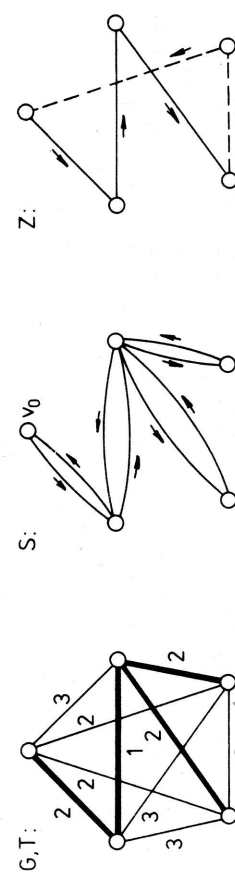
METÓDA ZDVHOJENIA KOSTRY

Túto metódu navrhli Kim (1975) a pozostáva z troch krokov:

KROK 1: Považujúc dĺžky hrán za ich ceny, nájdeme najlacnejšiu kostru T (pozri kap. 5).

KROK 2: Zvolíme lubovoľný vrchol v_0 a utvoríme hamiltonovský $v_0 - v_0$ sled S pre T (napr. použitím Tarryho prieskumu), ktorý obsahuje každú hrancu v T práve 2-krát.

KROK 3: Sled S nahradíme cyklom Z takto: Prechádzame sledom S a kedysiok-vek by sme mali istý znova po prejdených vrcholoch, tak príslušný $i-j$



Obr. 1. Kompletný graf a najlacnejšia kostra: hamiltonovský sled; hamiltonovský cyklus.

NH cyklu v G : STOP. ■

Obr. 1 ilustruje uvedený postup.

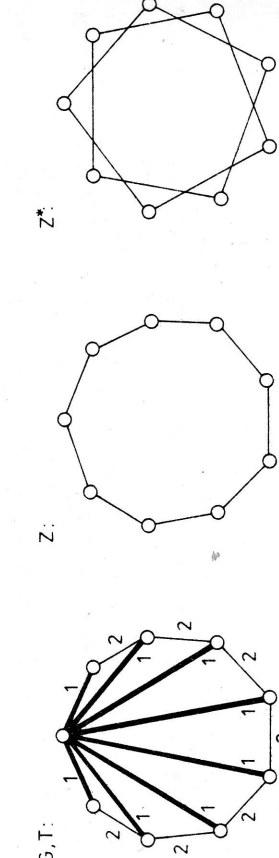
Nech Z^* je NH cyklus v G . Budeme predpokladať, že $c(Z^*) > 0$ (inak z trojuholníkovej nerovnosti vyplýva, že všetky $c(e) = 0$).

Veta 2. Metóda zdvojenia kostry dáva vždy hamiltonovský cyklus Z s

$$\frac{c(Z)}{c(Z^*)} < 2.$$

Naviac, ohrazenie 2 nemožno zmeniť.

Dôkaz. Keďže vyniechaním najdlhšej hrany zo Z^* získame kostru, tak $c(T) < c(Z^*)$. Dalej máme $c(S) = 2c(T)$. Trojuholníková nerovnosť (priadne jej opakovaná aplikácia) dáva: $c(Z) \leq c(S)$. Taktto spolu námame: $c(Z) \leq 2c(Z^*)$. Na druhej strane, uvažujme zovšeobecnenie príkladu z obr. 2. Ide o kompletnej graf s nepárnym počtom vrcholov n , kde každá z $n - 2$ vyznačených hrán na obvode má dĺžku 2 a každá iná dĺžku 1. Kostra T je hrubo vyznačená. Získame $c(Z) = 2(n - 2) + 2 = 2n - 2$, ale vidime, že $c(Z^*) = n$. Preto $c(Z)/c(Z^*) = 2 - 2/n$, čo pre $n \rightarrow \infty$ dáva 2. ■



Obr. 2. Hraničný príklad pre metódu zdvojenia kostry.

Poznamenajme, že ak nám ide len o approximáciu NH sledu v (nekompletom) súvisiame grafom G , tak prvé dva kroky metódy kostry nám stačia na nájdenie hamiltonovského sledu S s $c(S)/c(S^*) \leq 2$.

Myšlienka approximácie pomocou kostry sa vyskytla vo viacerých 2-aproximačných algoritmoch bud' explicitne alebo implícitne. Niektoré z nich uvedieme v cvičeniach. Avšak žiadny z nich nedáva ϱ -approximáciu pre $\varrho < 2$.

CHRISTOFIDESOVA METÓDA KOSTRY A PÁRENIA

Christofides (1976) dosiahol zlepšenie aproximácie tým, že namiesto zdvojenia kostry dopfňa kostru na eulervský multigraf pomocou párenia vrcholov nepárnego stupňa. Jeho metóda pozostáva z piatich krokov:

KROK 1: V G nájdeme najlacnejšiu kostru T .

KROK 2: Určime $V_0 := \{v \in V(G) | \deg_T(v) \text{ je nepárne}\}$ (zrejme $|V_0|$ je párne číslo).

KROK 3: V $G(V_0)$ nájdeme najlacnejšie úplné párenie X (pozri kap. 8).

KROK 4: Pridáme hrany párenia X ku kostre T a v získanom eulervskom multigrafe \hat{T} nájdeme eulervský tah S .

KROK 5: K fahu S vytvoríme cyklus Z preskakovaním vrcholov, ktoré sa opakujú (ako v kroku 3 metódy zdvojenia kostry): STOP. ●

Veta 3. Christofidesova metóda kostry a párenia dáva vždy hamiltonovský cyklus

$$Z_S$$

$$\frac{c(Z)}{c(Z^*)} < \frac{3}{2}.$$

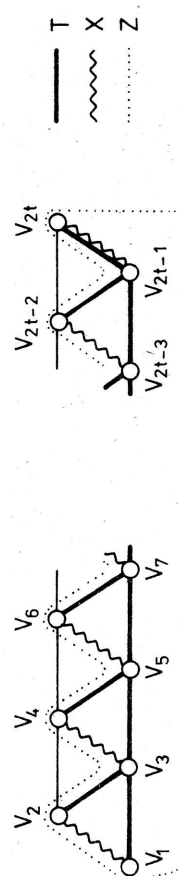
Naviac, ohrazenie 3/2 nemožno zmeniť.

Dôkaz. Zrejme $c(T) < c(Z^*)$. Nech Z_0^* je hamiltonovský cyklus v grafe $G(V_0)$, ktorý vznikne zo Z^* nahradením úsekov nepatriacich do V_0 hranami z $G(V_0)$. Z trojuholníkovej nerovnosti máme $c(Z_0^*) \leq c(Z^*)$. Keďže Z_0^* možno rozložiť na

dve párenia grafu $G(V_0)$, tak $c(X) \leq \frac{1}{2} c(Z_0^*)$. Sumarizujúc máme:

$$c(Z) \leq c(\hat{T}) = c(T) + c(X) < c(Z^*) + \frac{1}{2} c(Z_0^*) \leq \frac{3}{2} c(Z^*).$$

Cornuejols a Nemhauser (1978) ukázali, že pomer $3/2$ nemožno znížiť. Na tento účel uvažujeme kompletný graf G s $2t$ vrcholmi, ktorého podstatná časť je na



Obr. 3. Hraničný príklad pre Christofidesovu metódu.

- obr. 3. Hrana v_1v_{2t} má dĺžku t , ostatné nakreslené hrany majú dĺžku rovnú 1 a nenakreslené hrany ij majú dĺžky rovné vzdialenosťam $d(i, j)$ v nakreslenom grafe. Hrany patriace do kostry T , párenia X a cyklu Z sú vyznačené. Víme, že $c(T) = 2t - 1$, $c(X) = t$ a $c(Z) = 3t - 1$. Avšak optimálny cyklus $Z^* = v_1v_3 \dots v_{2t-1}v_{2t}v_{2t-2} \dots v_4v_2v_1$ má $c(Z^*) = 2t$. Preto $c(Z)/c(Z^*) \rightarrow 3/2$ pre $t \rightarrow \infty$. ■

Poznamenajme, že lepší ako uvedený 3/2-aproximačný algoritmus nie je známy.

9.Z Cvičenia a poznámky

- Dokážte, že problém nájsť eulerovský faktor grafu je NP-tažký dokonca pre planárne bipartitné grafy s maximálnym stupňom 3 [Puleyblank (1979)]. Tiež dokážte analogiu pre digrafy.
- (a) Dokážte vetu 9.A.3. (b) Navrhnite lineárny algoritmus pre hľadanie eulerovského ľahu v digrafe. [Utvorte analógiu labyrinthového algoritmu a obrátte spätnú postupnosť. Iný algoritmus dávajú Edmonds a Johnson (1973)].
- Overte správnosť realizácie usmerňovača z obr. 9.B.4.
- Dokážte, že v algoritme čínskeho poštára v grafe každé dve páriace cesty P_{uv} a P_{xy} majú nanajvýš jeden spoločný vrchol.
- Preskúmajte variácie úlohy obchodného cestujúceho a čínskeho poštára, keď začiatok a koniec pochôdzky môžu byť rôzne, resp. sú predpísané. Pretransformujte ich na základné úlohy.
- Ak G je graf, tak nech G' označuje graf s $V(G') = V(G)$ a $xy \in E(G')$ ak $d_G(x, y) \leq s$. Sekanina (1960) dokázal, že ak G' je súvisý, tak G^3 má hamiltonovský cyklus. Ukážte, že zistíte, či G^2 má hamiltonovský cyklus je NP-tažký problém. [Underground (1978) transformuje problém hamiltonovského cyklu tak, že ku každému vrcholu pridá cestu dĺžky 2.]
- Uvedieme dva špeciálne prípady, kedy vieme pomerne ľahko vyriešiť úlohu obchodného cestujúceho.
 - Kompletnej digraf G s dĺžkami hrán $c_{ij} \geq 0$, kde $c_{ij} = 0$, ak $i \geq j$ ($i, j = 1, 2, \dots, n$). Lawler (1971) navrhuje utvoriť bipartitný digraf s partiami $V_1 = \{1', 2', \dots, (n-1)'\}$, $V_2 = \{2'', 3'', \dots, n''\}$ a hrannami $i''j'$ dĺžky c_{ij} . Potom hrany najlacnejšieho párenia množiny V_1 do V_2 dávajú po prechode ku $G' 1-n$ cestu a nejaké cykly, ktoré možno manipuláciou s hrannami nulovej dĺžky prerobiť na najkratší hamiltonovský cyklus. Upresnite a dokážte. (Podobnými

manipuláciami Gilmore a Gomory (1964) vyriešili jeden významný technologický problém.)

(b) Nech H je digraf a G je tzv. hranný digraf, t. j. $V(G) = E(H)$ a $(e_1, e_2) \in E(G)$ práve vtedy, keď e_1e_2 je sled v H . Ukážte, že existuje bijekcia medzi eulerovskými tahmi v H a hamiltonovskými cyklami v G . Ďalej ukážte, že ak pre každú hrancu $xy \in E(G)$ majú všetky hrany odrážajúce z x a všetky hrany prichádzajúce do y rovnaké dĺžky, tak stačí nájsť nejaký eulerovský tah v H a zodpovedajúci cyklus v G už bude optimálny [Syslo (1973)].

- Uvažujte nasledujúce tri heuristiky pre úlohu obchodného cestujúceho v kompletnom grafe s nezápornými dĺžkami hrán spôjajúcimi trojuholníkovú nerovnosť.
 - Ak máme vytorený cyklus C_i s vrcholmi v_1, v_2, \dots, v_i (na začiatku je $i=2$ a C_i je len najkrasšia hrana), kde $2 \leq i < n$, tak nájdeme vrchol v_{i+1} mimo C_i , ale najbližší k C_i . Pre $i=2$ pridáme k C_i hrany v_1v_3 a v_2v_3 a získame C_3 . Pre $i \geq 3$ nájdeme v C_i takú hrancu xy , aby cyklus $C_{i+1} := C_i - xy + xv_{i+1} + yv_{i+1}$ bol najkratší. Výsledkom je cyklus C_{n+1} .
 - Zvolime vrchol v_1 . Ak máme vytorenú cestu $P_i = v_1v_2 \dots, v_i$, kde $i < n$, tak mimo P_i nájdeme taký vrchol v_{i+1} , ktorý je najbližší k v_i . Potom $P_{i+1} := v_1v_2 \dots v_{i+1}$. Výsledkom je cyklus $P_n + v_nv_1$.
 - Nájdeme tzv. 2-optimalný hamiltonovský cyklus, t. j. cyklus s vlastnosťou: po vynechaní ľubovoľných jeho dvoch hrán a pridaní iných dvoch hrán, nezískame krajiš hamiltonovský cyklus.

Dokážte, že žiadna z týchto heuristik nezaručuje q -aproximáciu pre $q < 2$. (Pre (a) možno položiť $q=2$, ale napr. pre (b) neexistuje pevné q)

Rosenkrantz et al. (1977).

- Frederickson et al. (1978) študovali tzv. úlohu autožeriau: Daný je migraf G s nezápornými dĺžkami hrán a vrchol v_0 ; treba nájsť najkratší $v_0 - v_0$ sled obsahujúci všetky šípy (napr. niektoré ulice treba prejsť v požadovanom smere, lebo na pravej strane sa bude nakladať).
 - Dokážie, že táto úloha je NP-tažká.

10 PLANÁRNE GRAFY

- (b) Ukážte transformácie na zabezpečenie predpokladu (i). Pre k autožeriav bol získaný štiepiaci $(9/5 + 1 + 1/k)$ -aproximačný algoritmus.
10. Uvažujte nasledujúci všeobecný problém pochôdzky [Orloff (1974)]. Daný je pseudomigraf G s nezápornými dĺžkami hrán a množina $Q \subseteq V(G) \cup E(G)$: úlohou je nájsť najkratší uzavretý sled v G obsahujúci všetky prvky z Q . Ak $Q \subseteq E$, tak hovoríme o *úlohe viedieckeho poštára*.
- Dokážte, že úloha viedieckeho poštára je NP-tažká v grafoch aj digrafoch [Lenstra, Rinnooy Kan (1976)].
 - Zosilnite tvrdenie z (a) pre planárne kubické grafy (resp. digrafy) s jednotkovými dĺžkami hrán. [Návod: V probléme hamiltonovského cyklu nahradte každý vrchol grafom s vrcholmi 1, ..., 7 a hranami 12, 16, 23, 25, 34, 45, 47, 56, 67: do Q dajte hrany 12, 34 a 67.]
 - Sformuluje všeobecný problém pochôdzky ako 0—1 úlohu lineárneho programovania.

Mnoho reálnych objektov možno reprezentovať planárnymi grafmi, prípadne pseudomigráfmi (komunikačné siete na zemskom povrchu, tlačené elektronické spoje a ď.). Uvedieme niektoré kvantitatívne vzťahy pre planárne grafy, potom si všimneme rôzne rovinná vnoenia, zastavíme sa pri charakterizácii planárnych grafov a nakoniec načrtнемe algoritmus na zistovanie planarity grafov.

V našich úvahách sa obmedzujeme takmer všade na grafy (niektoré z výsledkov platia len pre grafy a niektoré sa dajú triviálne rozšíriť).

Pripomeňme, že graf (alebo aj pseudomigraf) G sa nazýva planárny, ak existuje rovinný diagram pre G (t. j. taký, v ktorom sa hrany nepretínajú). Vtedy tiež hovoríme, že G je vnoriteľný do roviny. Vrcholy sú reprezentované bodmi a hrany jordanovskými čiarami (definíciu a vlastnosti možno nájsť napr. v [Čech (1966)]). Jednoducho však hovoríme o vrcholoch a hránach. Ak z roviny vyniecháme všetky body rovinného diagramu, tak zvyšná množina bodov roviny pozostáva z niekoľkých súvislých oblastí, ktoré sa nazývajú steny diagramu. Práve jedna stena je neohraničená a nazýva sa *vonkajšia* : ostatné steny sa nazývajú *vnitorné*. (Bodová hrаницa každej steny zodpovedá istým vrcholom a hránam, ktoré spolu tvoria podgraf grafu G a nazývame ho jednoduchou *hranica*. Hranica môže byť aj nesúvislým podgrafom, ale ak G je vrcholovo 2-súvislý, tak je to vždy cyklus (bodová hrаницa je vždy uzavretá jordanovská čiara)).

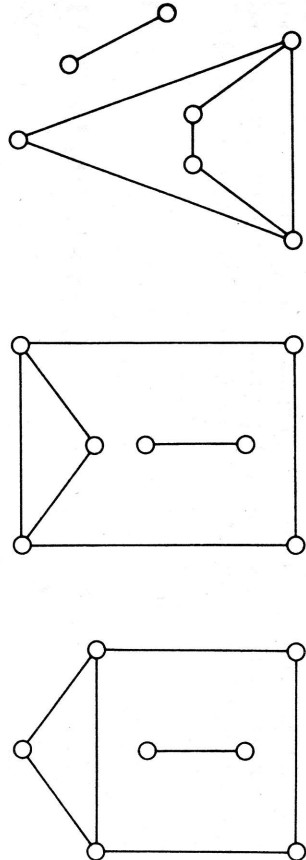
Poznamenávame, že často hovoríme o diagrame G , pod čím rozumieme diagram grafu G .

10.A Eulerov vzorec

Jeden graf môže mať viac rozličných diagramov, ako ilustruje obr. 1. (Slovo „rozličný“ tu má intuitívny zmysel: spresnenie je v 10.B.) Avšak už Euler (1752) si v súvislosti s 3-rozmernými polýédrami všimol, že počet stien sa nemení.

Veta 1 (Eulerov vzorec). Pre rovinný diagram G pseudografa s n vrcholmi, m hranami, r stenami a k komponentmi platí:

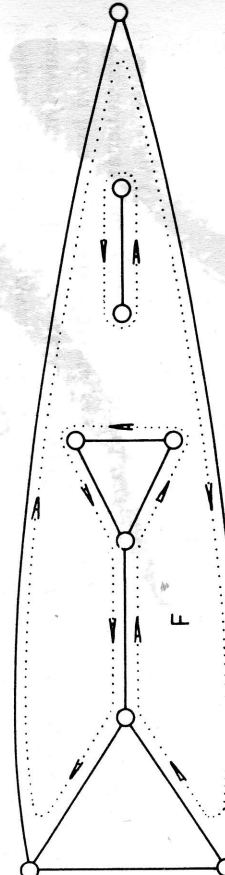
$$n - m + r = k + 1.$$



Obr. 1. Tri diagramy toho istého grafu.

DÔKAZ. (Indukciou podľa m .) Zvolíme libovolnú hranu e a uvážime, či je mostom alebo nie. Z predpokladu o $G_1 := G - e$ tvrdenie hned vyplýnie: V prvom prípade je $n_1 = n$, $m_1 = m - 1$, $r_1 = r$ a $k_1 = k + 1$; v druhom $n_1 = n$, $m_1 = n - 1$, $r_1 = r - 1$ a $k_1 = k$. ■

Nech F je stena rovinného diagramu. Urobme „prechádzku tesne vedľa hranice“ steny F tak, že najblížší bod hranice budeme mať vždy vľavo (pozri obr. 2), až sa vrátime do východiskového bodu. Ak takto obídeme každý



Obr. 2. Určenie dĺžky hranice steny.

komponent hranice a pritom každej hrenej, vedľa ktorej sme prešli, priradíme šípku, tak každá hraná steny F získa jednu alebo dve šípky, pritom dve šípky získa práve vtedy, keď je mostom. Celkový počet priradených šípok nazveme *dĺžkou hranice steny F* . Nasledujúce dôsledky vety 1 ukazujú, že planárne grafy majú pomerne málo hrán.

Dôsledok 1(a). Ak každá stena rovinného diagramu grafu má dĺžku hranice aspoň g , kde $g \geq 3$, tak

$$m \leq \frac{g}{g-2} (n-2).$$

DÔKAZ. Nech r_i je počet takých stien, ktorých dĺžka hranice je i . Potom celkový počet stien $r = \sum r_i$ (tu aj ďalej i prebieha hodnoty $3, 4, \dots$). Taktôž Eulerovo vzorca získame:

$$gn - gm + g\sum r_i = g(1+k).$$

Ak urobíme prechádzku z obr. 2 pre každú stenu, tak zrejmé každá hrana dostane práve dve šípky. Preto

$$2m = \sum ir_i.$$

Sčítaním posledných dvoch rovností získame:

$$(*) \quad gn + \sum (g-i)r_i - g(1+k) = (g-2)m.$$

Keďže $k \geq 1$ a $r_i = 0$, ak $i < g$, tak dostávame $gn - 2g \geq (g-2)m$. ■

Dôsledok 1(b). Ak G je planárny graf s $n \geq 3$ vrcholmi, tak $m \leq 3n - 6$.

DÔKAZ. Eventuálnym pridaním nových hrán získame z rovinného diagramu grafu G súvislý rovinný diagram, kde každá stena už má dĺžku hranice aspoň 3. ■

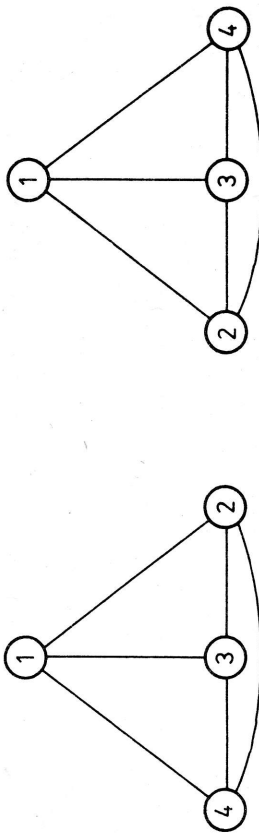
Ak G je planárny graf a pre každú novú hranu e už $G + e$ nie je planárny graf, tak G sa nazýva *maximálny planárny* graf. Lahko sa dokáže, že v každom rovinnom diagrame maximálneho planárneho grafu G je každá stena trojuholníkom (hranica steny je trojuholník), ak $n \geq 3$. Taký diagram sa nazýva *rovinná triangulácia*. Potom zo vzťahu (*) vidime, že $m = 3n - 6$.

Dôsledok 1(c). Ak G je planárny graf s $n \geq 3$ vrcholmi a bez trojuholníkov, tak

$$m \leq 2n - 4.$$

DÔKAZ. Prípadným doplnením hranami možno získať súvislý rovinný diagram, kde každá stena má dĺžku hranice aspoň 4. ■

Dôsledok 1(d). Každý planárny graf s $n \geq 4$ vrcholmi má aspoň štyri vrcholy stupňa nanajvyššie 5.



10.B Rôzne rovinné vnorenia

Podobne ako do roviny možno definovať vnorenia grafov do iných ploch (tiež žiadame, aby sa hrany neprečípalia). V súvislosti s planármi grafiemi je významná guľová plocha. Lahko je totiž vidieť, že *graf je planárny práve vtedy, keď je vnoriteľný do guľovej plochy*. To možno dokázať napr. pomocou tzv. *stereografickej projekcie*: Ak sa guľa opiera o rovinu bodom \bar{x} a x je protiľahlý bod gule („severný pól“), tak úsečka $[x, y]$, kde y je bod roviny, prečína guľovú plochu v jedinom bode y' . Taktto možno zobraziť diagram z roviny do guľovej plochy. Zrejme inverzné zobrazenie zobrázi každý bod $y' \neq x$ z guľovej plochy do roviny, a teda ak guľu postavíme na rovinu tak, aby bod x ležal vo vnútri steny sférického diagramu, tak získame rovinný diagram.

Teraz si upresníme, kedy budúme dva rovinné alebo aj sférické diagramy D_1 , D_2 grafu G považovať za „rovnaké“. Hovoríme, že D_1 a D_2 sú *ekvivalentné*, ak každá hránica v D_1 je hranicou v D_2 a obrátenie. Hovoríme, že D_1 a D_2 sú *silne ekvivalentné*, ak sú ekvivalentné a pri každom vrchole u platí: hrany incidiujúce s u sa pri pravotočivom obiehaní vrcholu u vyskytujú v D_1 a v D_2 v tom istom poradí.

Taktto ziadne dva z diagramov na obr. 10.A.1 nie sú ekvivalentné. Obr. 1 ukazuje ekvivalentné, ale nie silne ekvivalentné diagramy.

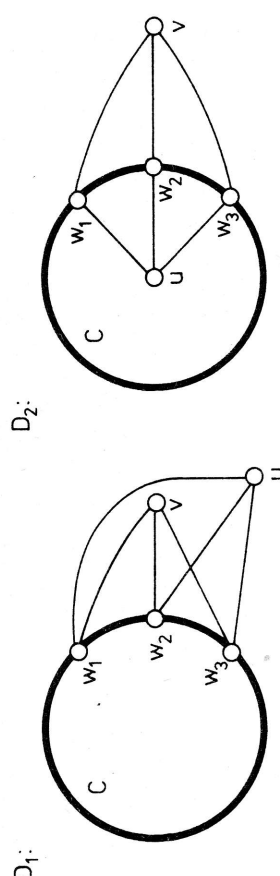
Veta 1. Nech je daný rovinný diagram D grafu G a jeho stena F . Potom existuje silne ekvivalentnýs D diagram D' grafu G , v ktorom korešpondujúca stena F' k F bude vonkajšia.

DÔKAZ. Najprv stereografickou projekciou premietneme D na guľovú plochu a potom zvoliac za severný pól bod vo vnútri steny F , premietneme diagram z gule na rovinu. Získaný diagram D' má požadovanú vlastnosť. ■

Veta 2 [Whitney (1933)]. Všetky rovinné diagramy vrcholovo 3-súvislého grafu G sú navzájom ekvivalentné.

Obr. 1. Ekvivalentné, ale nie silne ekvivalentné diagramy.

DÔKAZ. Nech D_1 a D_2 sú dva rovinné diagramy grafu G . Ukážeme, že sú ekvivalentné. V opačnom prípade existuje cyklus, ktorý je hranicou steny v jednom diagrame a nie je v druhom. Nech C je najkraší taký cyklus a nech je hranicou steny v D_1 . Potom v D_2 existuje vrchol u ležiaci vo vnútri oblasti ohrianičenej cyklom C a vrchol v ležiaci v komplementárnej oblasti (obr. 2(b)). Podľa vety 7.A.2 v G existujú tri vnitorné disjunktné $u-v$ cesty a vidime, že každá z nich má vrchol spoločný s C . Keďže u a v ležia v D_1 vo vonkajšku cyklu C , tak tieto tri cesty sa musia pretinať (obr. 2(a)), čo je spor. ■



Obr. 2. K dôkazu vety 2.

Dôsledok 2(a). Každé dva rovinné diagramy vrcholovo 3-súvislého grafu sú alebo silne ekvivalentné, alebo také získame, ak jeden z nich preklopíme.

DÔKAZ. Ak diagramy nie sú silne ekvivalentné, tak pri každom vrchole majú hrany v nazájom obrátenom poradí, ako sa ľahko ukáže, lebo sú ekvivalentné. ■

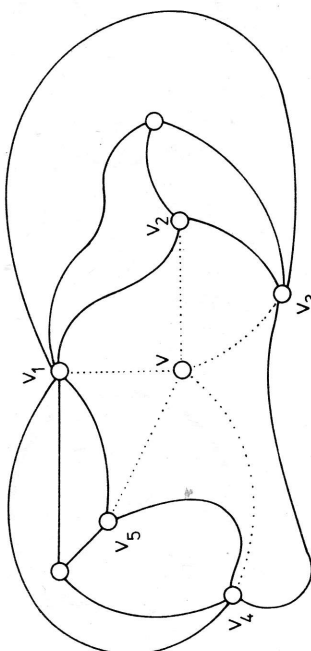
Ešte uvedieme vzťahy planárnych grafov s geometriou. K danému 3-rozmernému konvexnému polyédu P možno priradiť graf G tak, že krajné body (vrcholy) v P budú vrcholmi grafu a hrany v P budú hranami grafu. G sa nazýva skelet polyédra P .

Veta 3 [Steinitz (1922)]. Graf G je skelet nejakého konvexného polyédra $\Leftrightarrow G$ je planárny a vrcholovo 3-súvislý.

Dôkaz tu neuvádzame. Čitateľ ho môže nájsť napr. v [Jučovič (1981)]. Z vety 3 možno ľahko dokázať nasledujúci výsledok, objavený až oveľa neskôr [Wagner (1936)]. Tu však dávame nezávislý dôkaz.

Veta 4. Ku každému rovinnému diagramu D existuje silne ekvivalentný rovinný diagram \hat{D} , v ktorom je každá hrana reprezentovaná úsečkou.

Dôkaz. Môžeme predpokladať, že D je rovinná triangulácia (inak D doplníme). Potom stačí nájsť hocikájky úsečkový rovinný diagram toho istého grafu (dôsledok 2(a)). Pre indukciu podľa n predpokladáme, že $n \geq 4$. Podľa dôsledku 10.A.1(d), existuje vrchol v neležiaci na hraniči vonkajšej trojuholníkovej steny a taký, že $3 \leq \deg(v) \leq 5$. Potom po vyniehaní vrcholu v zostane nám „diera“, ktorej hraničou je nejaký k -uholník $U = v_1v_2 \dots v_kv_1$, kde $3 \leq k \leq 5$ (obr. 3).

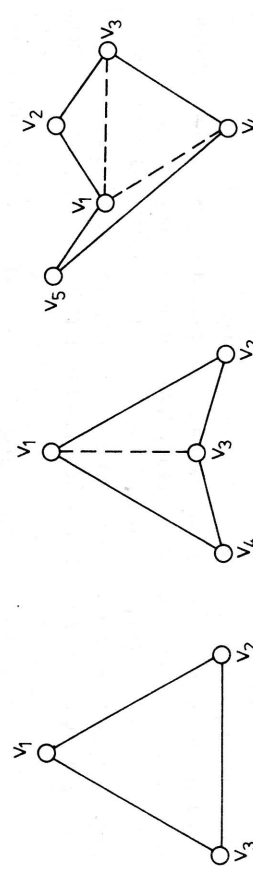


Obr. 3. K dôkazu vety 4.

Ak $k = 4$, tak zrejmé aspoň jedna z hrán v_1v_3, v_2v_4 nepatrí do D (D je rovinný).

Môžeme predpokladať, že $v_1v_3 \notin E(D)$.

Ak $k = 5$, tak existuje aspoň jeden vrchol v_i ($1 \leq i \leq 5$) taký, že $v_iv_j \notin E(G)$ ak $|i-j| = 2$ (lebo napr. ak $v_1v_3 \in E(G)$, tak $v_2v_4, v_2v_5 \notin E(G)$). Môžeme predpokladať, že v_1 je taký



Obr. 4. Niektoré možnosti pre U v \hat{D}_1 .

Ak z \hat{D}_1 vyniecháme hrany, ktoré súme k $D - v$ pridávali, tak do vnútra k -uholníka U možno vrátiť vrchol v a úsečky vv_i ($i = 1, 2, \dots, k$), čím získame požadovaný diagram \hat{D} . Pre $k = 3$ možno v umiestniť hocikde vnútri trojuholníka U . Pre $k = 4$ možno v umiestniť vnútri úsečky v_1v_3 . Konečne pre $k = 5$, vrchol v možno zvoliť v prieniku vnútra pătuholníka U a priamky, ktorá rozdeľuje uhol úsečiek v_1v_2 a v_1v_5 pri vrchole v_1 na polovice. ■

Doteraz sme nekládli na rozmieštenie vrcholov diagramu žiadne obmedzenia. V istom zmysle extémna situácia vzniká, ak každému vrcholu predpísme bod v rovine.

Veta 5. Nech D je rovinný diagram s vrcholmi v_1, v_2, \dots, v_n a nech v rovine je danych n rôznych bodov u_1, u_2, \dots, u_n . Potom existuje diagram D' silne ekvivalentný s D a taký, že pre každé $i = 1, 2, \dots, n$ bude vrchol v_i umiestnený v bode u_i . ■

Dôkaz. Zrejme existuje v rovine taká priamka L , že žiadne dva vrcholy v D neležia na rovnobežke s L . V smere priamky L možno diagram D zmenšiť a zostrojiť rovinný diagram D_ϵ , ktorý sa zmestí do páiska predpísanej šírky $\epsilon > 0$. Pásik obsahujúci D_ϵ možno ohýbať, natahovať a skracovať umiestniť v rovine tak, že v_i sa umiestní do bodu u_i , $i = 1, 2, \dots, n$, ak ϵ je dostatočne malé. ■

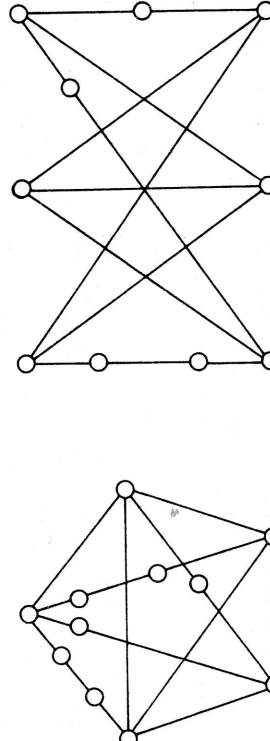
10.C Testovanie planarity

Hned vidieť, že graf je planárny práve vtedy, keď každý jeho komponent je planárny. Whitney (1932a) ukázal, že možno ist' ešte ďalej:

Veta 1. Graf G je planárny \Leftrightarrow každý blok grafu G je planárny.

DôKAZ. (\Rightarrow) Zrejmé. (\Leftarrow) Dokazujeme indukciou podľa počtu blokov. Môžeme predpokladať, že G je súvislý a má viac ako jeden blok, a teda má aj nejaký koncový blok B (pozri kap. 3). Nech c je jediná artikulácia (grafu G) ležiaca v B . Graf $G - B$, získaný z G vynectaním bloku B (okrem vrcholu c), má podľa indukčného predpokladu nejaký rovinný diagram D_{G-B} . Blok B je tiež planárny a podľa vety 10.B.1 má aj taký rovinný diagram D_B , v ktorom c leží na hranici vonkajšej steny. Ak D_B , „vytiahneme pri c do špičky“ a vhodne zmenšíme, tak ho zrejme môžeme spojiť s diagramom D_{G-B} vo vrchole c a získať rovinný diagram pre G . ■

Hovoríme, že dva pseudografy sú *homeomorfne*, ak sú buď izomorfne, alebo z nich možno získať izomorfne pseudografy vsúvaním nových vrcholov do hrán. Napr. kompletný graf K_5 a prvý z grafov na obr. 1 sú homeomorfne, druhý graf na obr. 1 je homeomorfny s komplettným bipartitným grafom $K_{3,3}$.



Obr. 1. Graf homeomorfny s K_5 a graf homeomorfny s $K_{3,3}$.

Nasledujúcu úplnú charakterizáciu planárnych grafov dáva Kuratowski (1930). Jej dôkaz neuvažujeme: možno ho nájsť napr. v [Harary (1969)].

Veta 2 (Kuratowski). Graf G je planárny $\Leftrightarrow G$ neobsahuje podgraf homeomorfny s K_5 alebo s $K_{3,3}$.

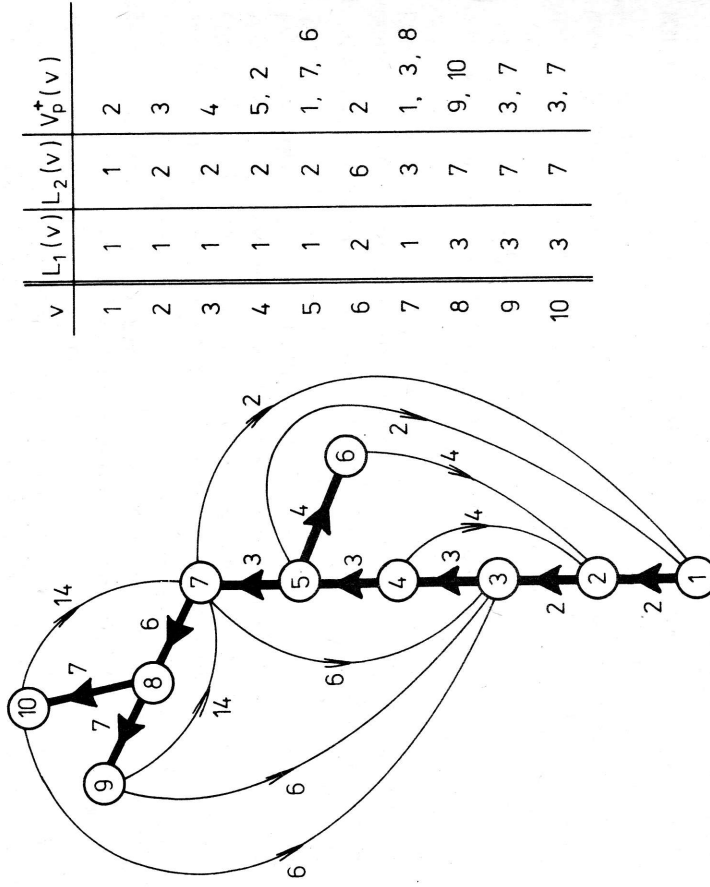
KROK 3: Pre každý šíp uv vypočítame

Zvláštne poznamenávania: Žiaľ, táto veta neposkytuje polynomiálny algoritmus pre testovanie planarity, lebo nevieme polynomiálne zistiť, či G obsahuje podgraf homeomorfny s K_5 . (Jej dôkazy však taký algoritmus naznačujú.)
Prv navrhované algoritmy na zistovanie planarity (napr. [Tutte (1963)], [Lempel, Even, Cederbaum (1967)] sa spočiatku neskúmali z hľadiska výpočtovej zložitosti. Až neskôr sa ukázalo, že sú polynomiálne. Hopcroft a Tarjan (1974) ako prví dali lineárny algoritmus. Vychádzajú z návrhu Auslanderu a Partera (1961), postupne pridávajú k cyklu cesty, až sa získa vnone vereenie celého grafu, alebo sa implementovať na lineárny (pozri [Even (1979)]); tam sa postupne pridávajú vrcholy.
Tu načrtнемe algoritmus Hopcrofta a Tarjana. Podrobnej implementáciu nájdete v ich práci; niektoré opravy tam uvedeného algolovského programu dáva Deo (1976).

HOPCROFTOV A TARJANOV ALGORITMUS PRE PLANARITU

Vzhľadom na dôsledok 10.A.1(b) a vetu 1 sa obmedzíme na zistovanie planarity bloku G s $n \geq 3$ vrcholmi a s $m \leq 3n - 6$ hranami (identifikáciu blokov možno urobiť v lineárnom čase, pozri 3.B.). Uvádzame jednotlivé kroky algoritmu a komentujeme ich.

KROK 1: Postupom do hĺbky reprezentujeme G ako palmu (digraf) P . Získané poradové čísla objavenia vrcholov budú v ďalšom slúžiť ako ich mená. Základom palmy P je zdrojový strom (kostra) T so zdrojom vo vrchole 1.
Na obr. 2 je uvedený príklad palmy, na ktorom budeme násť postup ilustrovať. Hrubé čiary sú stromové hrany a tenké sú chordy (spätné hrany). Taký sled v P , ktorého prvý úsek je v T a zvyšok tvorí jedna chorda, nazývame sled tvaru $T + c$.
KROK 2: Pre každý vrchol v zistíme čísla $L_1(v)$ a $L_2(v)$, kde $L_1(v)$ je najmenší vrchol, pre ktorý existuje $v - L_1(v)$ sled tvaru $T + c$. $L_2(v)$ je druhý najmenší vrchol nie väčší ako v a taký, že existuje $v - L_2(v)$ sled tvaru $T + c$; ak týmto $L_2(v)$ nie je definované, tak kladieme $L_2(v) := v$.
Pretože palma P je blokom, tak zrejme vždy $L_1(v) \leq v$. Tiež $L_1(v) < L_2(v) \leq v$ okrem prípadu, keď $L_1(v) = L_2(v) = v = 1$. Prenechávame čitateľovi navrhnuté lineárny algoritmus pre nájdenie čísel $L_1(v)$ a $L_2(v)$ (postupuje od koncových vrcholov stromu T ku zdroju 1). Pre násť priklad sú tieto čísla na obr. 2.



Obr. 2. Príklad ilustrujúci algoritmus pre planaritu.

$$f(u, v) := \begin{cases} 2v, & \text{ak } uv \text{ je chorda,} \\ 2L_1(v), & \text{ak } uv \in T \text{ a } L_2(v) \geq u, \\ 2L_1(v) + 1, & \text{ak } uv \in T \text{ a } L_2(v) < u. \end{cases}$$

Potom všetky hrany $v P$ usporiadame do neklesajúcej postupnosti podľa hodnôt funkcie f . (To možno urobiť v čase $O(n)$, lebo $m \leq O(n)$ a $2 \leq f(u, v) \leq 2n + 1$.) Konečne na základe tejto postupnosti utvorime usporiadane oznamy nasledovníkov $V_p^*(v) : u$ je voznáme pred w , ak $f(v, u) < f(v, w)$.

Pre nás príklad sú hodnoty $f(u, v)$ vyznačené pri hranach na obr. 2, kde sú aj usporiadane oznamy $V_p^*(v)$.

KROK 4: Pri takto usporiadaných oznamoch digrafu P aplikujeme postup do

hlbky (z vrcholu v vždy ideme na prvý voľný vrchol vo $V_p^*(v)$) začnajúc vo vrchole 1. Z generovaného polosledu dávame na výstup vždy maximálny úsek S_i pozostávajúci zo súhlasiacich hrán. Taktôž rejmeme všetky hrany palmy P rozložíme do sledov S_1, S_2, \dots, S_q , tvaru $T + c$, kde q je počet chord palmy P .

V našom príklade dostaneme: $S_1 = (1, 2, 3, 4, 5, 1)$, $S_2 = (5, 7, 1)$, $S_3 = (7, 3)$, $S_4 = (7, 8, 9, 3)$, $S_5 = (9, 7)$, $S_6 = (8, 10, 3)$, $S_7 = (10, 7)$, $S_8 = (5, 6, 2)$, $S_9 = (4, 2)$.

Lema 1. Pre generované sledy platí:

(a) Nech S_j je $u-v$ sled. Potom v je najmenší vrchol dosiahnutelný z u po nejakom sledo $T + c$ v digrafe P bez chord použitých v predchádzajúcich sledoch S_i . Navyše, v T existuje $v-u$ sled.

(b) Prvý sled (t. j. S_1) je $1-1$ cyklus a každý ďalší sled S_j je nejakou $u-v$ cestou, príčom $|V(S_1) \cup \dots \cup V(S_{j-1})| \cap V(S_j) = \{u, v\}$.

(c) Nech S_i je u_i-v_i sled a S_j je u_j-v_j sled generovaný neskôr. Ak v T existuje u_i-u_j cesta, tak $v_i \leq v_j$.

(d) Nech S_i a S_j sú dva $u-v$ sledy, pričom S_j je generovaný neskôr. Nech w_i je druhý vrchol v S_i a w_j druhý vrchol v S_j . Potom ak $w_i \neq v$ a $L_2(v_i) < u$, tak $v_j \neq v$ a $L_2(v_j) < u$.

DÔKAZ vyplýva z usporiadania nasledovníkov a prenechávame ho čitateľovi. ■

Nech cyklus $C := S_1 = 1v_1v_2 \dots v_p 1$. Vieme, že $1 < v_1 < v_2 < \dots < v_p$ a že $v_p 1$ je choda. Ak si palmu P predstavíme ako bodový diagram v 3-rozmernom priestore a taký, že hrany sa nám nepretinajú, tak $P - C$ má niekoľko súvisiacych častí a (bodový) uzáver každej z nich nazývame *kúsok*. Na identifikáciu kúskov je lepsia nasledujúca ekvivalentná grafová definícia: Kúsok pozostáva alebo z jedinej chody v_iv_j , kde $1 \leq i \leq p-1$ alebo z hrany $v_iv_j \in T$, kde $1 \leq i \leq p$ a $w \in C$, hrán maximálneho podstromu T_w (stromu T) so zdrojom w a všetkých chord odchádzajúcich z T_w . Z postupu do hibky vyplýva, že každý kúsok K pozostáva z niekoľkých po sebe idúcich ciest: $S_i, S_{i+1}, \dots, S_{i+k}$. Týmto je dané aj usporiadanie kúskov. V našom príklade prvy kúsok pozostáva z ciest S_2, S_3, \dots, S_7 , druhý z S_8 a treći z S_9 .

KROK 5: Postupne vytvárame roviný diagram pre P . Najprv zakreslíme cyklus C , a to tak, že cesta $1v_1v_2 \dots v_p$ zodpovedá zvislej úsečke R vedenej zdola nahor a chorda $v_p 1$ je realizovaná oblukom, ktorý leží v pravej polovine od R . V ďalšom postupe zakreslíme aj jednotlivé kúsky opierajúc sa o ďalej uvedené lemy, resp. zistíme, že to nie je možné. STOP. ●

Je zrejmé, že ak chceme získať roviný diagram, tak každý kúsok musí ležať alebo cely vo vnútri cyklu C alebo celý vo vonkajšku. V prvom prípade budeme jednoducho hovoriť o umiestnení kuska vpravo od C a v druhom vľavo od C .

Lema 2. Nech K je kúsok. Predpokladajme, že všetky predchádzajúce kusky sa nám už podarilo rovinne umiestniť. Nech S je prvá cesta (tvaru $T + c$) v K . Keďže S začína a končí na C , tak S je nejaká $v_i \rightarrow v_j$ cesta. Potom S možno umiestniť vľavo (vpravo) od $C \Leftrightarrow$ pre žiadnu už vľavo (vpravo) umiestnenú chordu xv_k neplatí $v_j < v_k < v_i$.

DÔKAZ. Budeme dokazovať len prípad „vľavo“., „Vpravo“ sa dokazuje rovnako.
 \Leftarrow) Z postupu do hlbky vyplýva, že žiadna predchádzajúca cesta tvaru $T + c$ nezačína medzi v_j a v_i . Preto ak žiadna chorda vľavo medzi týmito vrcholmi nekončí, tak zrejme S možno vľavo umiestniť (obr. 3(a)).

(\Rightarrow) Nech nejaká chorda xv_k umiestnená vľavo spôsobí vzťah: $v_j < v_k < v_i$. Ukážeme, že S nemožno vľavo umiestniť. Chorda xv_k je súčasťou nejakého kuska K' , ktorý má zdroj v nejakom vrchole $v_h \in C$. Z postupu do hlbky vyplýva, že $v_h \geq v_i$, lebo K' bol prv generovaný ako K . Uvažime niekoľko možností:

- (1) $v_h > v_i$ (obr. 3(b)). Zrejme S' je prvá cesta v kusku K' : je to nejaká $v_h \rightarrow v_i$ cesta. Podľa lemy 1(c) máme $v_i \leq v_j$. Uvažime 2 prípady.

- (2) $v_h = v_i$. Nech S' je prvá cesta v kusku K' : je to nejaká $v_h \rightarrow v_i$ cesta. Podľa

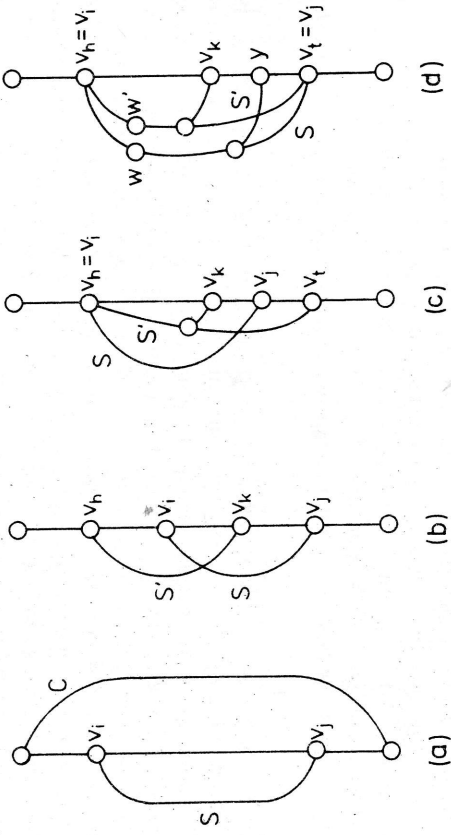
rekurentne nasledujúca lema, ktoré dôkaz prenechávame čitateľovi.
Lem 2 možno použiť na umiestnenie prvej cesty kuska vľavo, resp. vpravo. Ak to nejde, tak niektoré kusky zlava tomu brania, a preto ich presunieme vpravo. Potom však bude možno treba presúvať niektoré kusky opačným smerom atď.

Čitateľa odkažujeme na pôvodný článok Hopcrofta a Tarjana, kde je ukázaná efektívna manipulácia s dátami pre takéto presúvanie kuskov po skupinách. Vypočítovo zložitejší, ale ideovo jednoduchší, je nasledujúci spôsob. Postupne ako spracovávame kusky K^1, K^2, \dots generujeme pomocný graf H , ktorého vrcholmi sú K^1, K^2, \dots , pričom dva vrcholy K^g a K^h ($g < h$) spojíme hranou, ak existuje v K^g chodra xv_k taká, že pre prvú cestu v K^h (vždy má tvar) $v_j \rightarrow v_i$ platí: $v_j < v_k < v_i$. To podľa lemy 2 znamená, že kusky K^g a K^h nemôžu byť na tej istej strane cyklu C . Potom stačí zistiť, či okamžitý graf H je bipartitný (tedy možno prvú cestu z K^h umiestniť, inak je palma P neplanáma).

Zostala nám otvorená otázka umiestnenia ostatných ciest kuska. To však rieši rekurentne nasledujúca lema, ktoré dôkaz prenechávame čitateľovi.

Lema 3. Nech K je kúsok. Predpokladajme, že všetky predchádzajúce kusky a prvú cestu z K sme už rovinne umiestnili. Potom zvyšok (t. j. ostatné cesty) kuska K možno tiež umiestniť \Leftrightarrow digraf $\hat{G} := C \cup K$ je planárny.

Na zistenie planarity digrafu $\hat{G} := C \cup K$ sa použije algoritmus rekurentne. Za základný cyklus v \hat{G} zvolíme cyklus \hat{C} pozostávajúci z $v_i \rightarrow v_j$ cestu S a (jedinej) $v_j \rightarrow v_i$ cestu v strome T . (V našom príklade: ak K pozostáva z ciest S_2, S_3, \dots, S_r , tak $\hat{C} = (5, 7, 1, 2, 3, 4, 5)$, lebo $S = S_2$.) Hned vidieť, že $\hat{G} - \hat{C}$ bude pozostávať z aspoň dvoch kuskov, pričom jeden z nich je časťou cyklu C , a preto je cestou, ktorú ľahko identifikujeme. Teda tento rekurentný proces sa nezacykli. Naviac netreba robiť rozklad na cesty, lebo pôvodné cesty pre ostatné kusky vyhovujú, ako sa ľahko overí. ●



Obr. 3. K dôkazu lemy 2.

10.Z Cvičenia a poznámky

- Dokážte, že ak v rovinnom diagrame grafu G je hranica každej vnútornej steny cyklom párnej dĺžky, tak G je bipartitný.
- Konvexný mnohosten sa nazýva pravidelný, ak jeho steny sú zhodné pravidelné mnogouholníky a pri každom vrchole je rovnaký počet hrán (napr. kocka). Dokážte, že existuje práve päť (až na podobnosť) takýchto mnohostenov (majú 4, 6, 8, 12 a 20 stien). Tieto mnohosteny poznali už starí Gréci a sú známe ako *platónske telasá*.

3. K danému rovinnému diagramu súvislého pseudografu možno zstrojiť tzv. *duálny diagram* takto: Do každej steny umiestníme jeden vrchol a dva takéto vrcholy spojíme tolkými hranami, kolko hrán majú spoločných príslušné steny (ich hranice) a k vrcholu dámme lenko slučiek, kolko príslušná stena obsahuje mostov. Taktôž duálny diagram má práve lenko hrán ako pôvodný. (i) Nakreslite duálne diagramy k plátónskym telasám. (ii) Dokážte, že duál k duálu je pôvodný diagram.

4. Graf sa nazýva *vonkajškovo planárny* (VP), ak má taký roviný diagram, v ktorom všetky vrcholy ležia na hranici vonkajšej steny. (i) Nech G je graf a nech graf \hat{G} vznikne z G pridaním nového vrcholu, ktorý sa spojí hranami so všetkými pôvodnými vrcholmi. Dokážte, že G je VP $\Leftrightarrow \hat{G}$ je planárny. (ii) Využite (i) na dôkaz existencie lineárneho algoritmu pre zistovanie vonkajškej planarity (pozri tiež [Mitchell (1979)]). (iii) Dokážte, že VP graf má nanajvýš $2n - 3$ hrán. (iv) Vyslovte analógiu dôsledku 10.A.1(d) pre VP grafy.

5. (i) Dokážte lemy 10.C.1 a 10.C.3. (ii) Algoritmom z 10.C. ukážte, že tzv. Petersenov graf (t.j. kubický graf s $n = 10$, priemeru 2 a s najmenším cyklom dĺžky 5) nie je planárny.

6. Pridajme ku guli g „úch“ (alebo prevŕtajme g tunelov). Povrch takého telesa sa nazýva (orientovateľná) *plocha rodu* g . (i) Ukážte, že kompletnej graf K_7 je vnoriteľný do plochy rodu 1. (ii) Ukážie, že ak v diagrame grafu vnoreného do plochy rodu g je každá stena jednoducho súvislá oblasť, tak platí zovšeobecnenie Eulerova vzorca: $n - m + r = 2 - 2g$.

Poznamenajme, že zistíť najmenšie g , pre ktoré sa daný graf dá vnorit do plochy rodu g , je otvorený problém a známe sú len čiastkové výsledky (pozri napr. [Behzad et al. (1979)]. Filotti, Miller a Reif (1979) však dali $O(n^{0.00})$ algoritmus na zistenie toho, či stačí rod g .

7. Pre grafy boli navrhnuté ďalšie miery neplanárnosti:

- (i) *Minimálny počet priesekov* hrán v diagrame (v jednom priesečníku

pripúšťame pretínanie iba dvoch hrán); dokážte, že toto číslo je 1 pre kompletnej graf K_5 a 3 pre K_6 .

(ii) *Minimálny počet planárnych grafov*, na ktoré možno daný graf hranovo rozložiť. Ohraničte toto číslo zdola pre kompletné grafy.

Prehľad dosiahnutých výsledkov pozri napr. v [Behzad et al. (1979)]; z novších príspevkov odporúčame [Širán (1981)]. Algoritmicky neboli dosiahnuté významnejšie výsledky.

- (i) Navrhnite nejakú heuristiku na grafoch pre hľadanie planárneho podgrafu s maximálnym počtom hrán. (ii) Zapísť túto úlohu ako 0—1 úlohu lineárneho programovania.

Tento problém je NP-tažký [Liu a Geldmacher (1978)].

11 IZOMORFIZMUS

Problém zistovania izomorfizmu grafov (pseudomografov) stiahne do počiatkov teórie grafov. Jeho význam však stúpol v súvislosti s aplikáciami, najmä pri porovnávaní chemických zlúčenín (resp. ich katalogizácií), pri rozpoznávaní obrazcov a iné. Nie je dokázané, že tento problém je NP-tažký, ale existujú výsledky o polynomiálnej ekvivalencii s inými podobnými problémami v algebraickejch štruktúrach. Na druhej strane polynomiálny algoritmus tiež nie je známy. Pre špeciálne triedy grafov sa však úlohu podarilo zvládnut. Tu si všimneme izomorfizmus stromov a planárnych grafov a tiež problém izomorfismu podstromu. Odkazy na ďalšie výsledky sú najmä v časti 11.Z.

11.A Izomorfizmus stromov

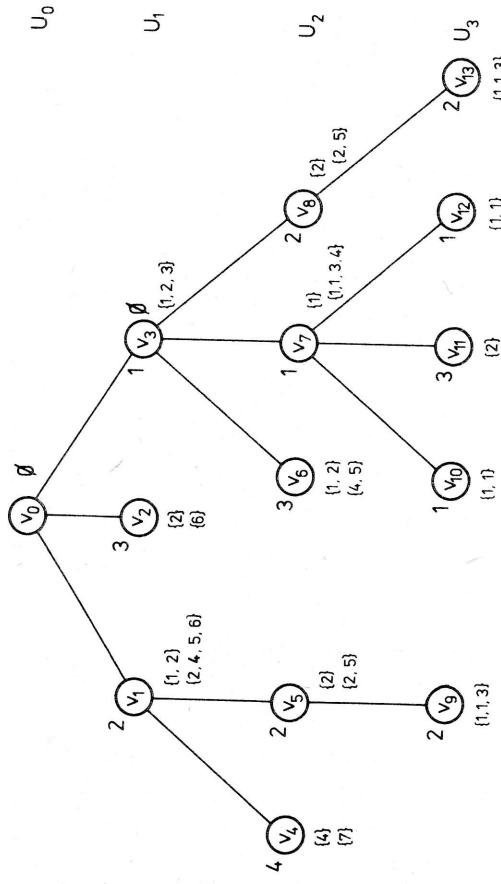
Týmto problémom sa zaoberali viacerí matematici a iní odborníci. Navrhuje sa napr. pretransformovať stromy na nejaké „kanonické“ tvary, ktoré by boli rovnaké iba pre izomorfné stromy. Tu uvádzame základnú myšlienku z práce [Hopcroft a Tarjan (1972)], kde je istý Edmondsov algoritmus (pozri [Busacker a Saaty (1965)]) trochu rozšírený tak, aby bolo možné porovnávať označované stromy.

Predpokladá sa, že ku každému vrcholu u daného neorientovaného stromu T je pridelená značka $L(u)$, čo je nejaká multimožnosťa prirozených čísel (napr. {2, 3, 3, 3, 7, 7}). Ak sú všetky značky rovnaké (napr. prázdne množiny), tak vlastne máme pripadne neoznačovaného stromu.

Dva označované stromy T_1, T_2 pokladáme za izomorfné, ak existuje (obyčajný) izomorfizmus $\varphi: T_1 \rightarrow T_2$, ktorý zachováva značky (t. j. ak $\varphi(u) = v$, tak aj $L(u) = L(v)$).

Uvedieme metódu zostrojenia kanonického stromu k danému označovanému stromu T . Postup ilustrujeme na strome z obr. 1.

KROK 1: Nájdeme centrum stromu T . Ak pozostáva z jediného vrcholu v_0 , prejdeme na ďalší krok. Inak centrum pozostáva z dvoch susediacich vrcholov v_1, v_2 . Potom do hrany v_1v_2 vsunieme nový vrchol v_0 (so značkou \emptyset) a máme strom, ktorý má jediný centrálny vrchol v_0 .



Obr. 1. Zostrojenie kanonického tvaru pre strom.

KROK 2: Urobíme distančný rozklad množiny $V(T)$ z vrcholu v_0 . (Nech úrovne stromu T sú U_0, U_1, \dots, U_r .) Strom T môže uvažovať ako orientovaný so zdrojom v_0 a hovoriť o predchodech a nasledovníkoch.

KROK 3: Značky vrcholov úrovne U , usporiadame lexicograficky od najmenšej po najväčšiu. [Najprv čísla vo vnútri každej značky $L(v)$ usporiadame do neklesajúcej postupnosti. Potom dve rôzne značky $L(u), L(v)$ porovnávame tak, že z nich vyniecháme začiatocný spoločný úsek maximálnej dĺžky a zistujeme, ktorý zvyšok je prázdny, resp. má menší prvý prvk: tu zo značiek prehásime za lexicograficky menšiu (označenie: $<$).] Pre nás príklad máme: $L(v_{10}) = L(v_{12}) < L(v_9) = L(v_{13}) < L(v_{11})$. V súlade s usporiadanim značiek, vrcholy v úrovni U_i dostanú poradové čísla $1, 2, \dots, p_i$, kde p_i je počet rôznych značiek (v príklade je $p_3 = 3$).

KROK 4: Ak už máme usporiadane vrcholy v úrovni U_k , ($2 \leq k \leq s$), tak usporiadame vrcholy $u \in U_{k-1}$ takto: Najprv zväčšíme všetky prvky vo vnútri značiek $(k-1)$ -ej úrovne o hodnotu p_k , čím získame značky $L'(u)$. Potom každému vrcholu $u \in U_{k-1}$ priradíme značku $L''(u)$, ktorej prvé zložky sú usporiadane poradové čísla nasledovníkov vrcholu u a ďalšie zložky sú prvky značky $L(u)$. Tako získané značky

sú vo vnútri usporiadane podľa veľkosti. (V našom príklade je: $L''(v_4) = \{7\}$, $L''(v_5) = \{2, 5\}$, $L''(v_6) = \{4, 5\}$, $L''(v_7) = \{1, 1, 3, 4\}$, $L''(v_8) = \{2, 5\}$.) Značky $L''(u)$ usporiadame lexicograficky, a tým získame poradové čísla vrcholov $u \in U_{k-1}: 1, 2, \dots, p_{k-1}$ (u nás je $p_2 = 4$). Krok 4 opakujeme, kým neusporiadame vrcholy každej úrovne: STOP. ●

Usporiadanim vrcholov v jednotlivých úrovnach je kanonický tvar stromu zostrojený (porovnaj obr. 1). Na tomto základe možno potom strom zakódovať takto: Každému vrcholu x prislúcha okruhla závierka a všetci nasledovníci vrcholu x sú v tejto závierke usporiadani podľa veľkosti poradových čísel pre ich úroveň. Pred závierkou okrem toho môže byť symbol vrcholu, ktorý však možno vyniechať. Do závierky na začiatok (ešte pred nasledovníkom) dávame značku vrcholu. Tento závierkový zápis kanonického stromu pre strom z obr. 1 je takýto (ak nepíšeme symboly vrcholov):
 $(\emptyset(\emptyset(\{1\}(\{1, 1\}) (\{1, 1, 3\}) (\{1, 1, 3\})) (\{1, 2\})) (\{1, 2\}) (\{2\}(\{1, 1, 3\}) (\{1, 1, 3\})) (\{1, 2\})) (\{1, 2\}) (\{2\}(\{1, 1, 3\}) (\{1, 1, 3\})) (\{1, 2\})) (\{1, 2\})) (\{1, 2\})$.

Takéto zápis stromov sa hodia pre katalogizáciu a samozrejme pre zistovanie izomorfizmu označkovanych stromov. Totiž dva izomorfne označkovane stromy musia mať rovnaké centrum a platí nasledujúce tvrdenie, dôkaz ktorého je zrejmý a prenechávame ho čitateľovi.

Veta 1. Pre libovoľné označkovane stromy T_1 , T_2 s rovnakým centrom nasledujúce tvrdenia sú ekvivalentné:

- T_1 a T_2 sú izomorfné.
- Kanonické stromy pre T_1 a T_2 sú rovnaké.
- Závierkové zápis kanonických stromov pre T_1 a T_2 sú rovnaké.

Poznamenajme, že ak každá značka má len prvky z množiny $\{1, 2, \dots, n\}$ a sumárna dĺžka zápisu všetkých značiek je q , tak pri vhodnej implementácii (triedenie je tu dôležité) už uvedená metóda dáva $O(n+q)$ algoritmus, ako ukazujú Hopcroft a Tarjan (1972). Taktto máme $O(n)$ algoritmus na zistovanie izomorfizmu dvoch n -vrcholových neorientovaných stromov. Analogicky možno postupovať aj v prípade, že stromy obsahujú aj šípy.

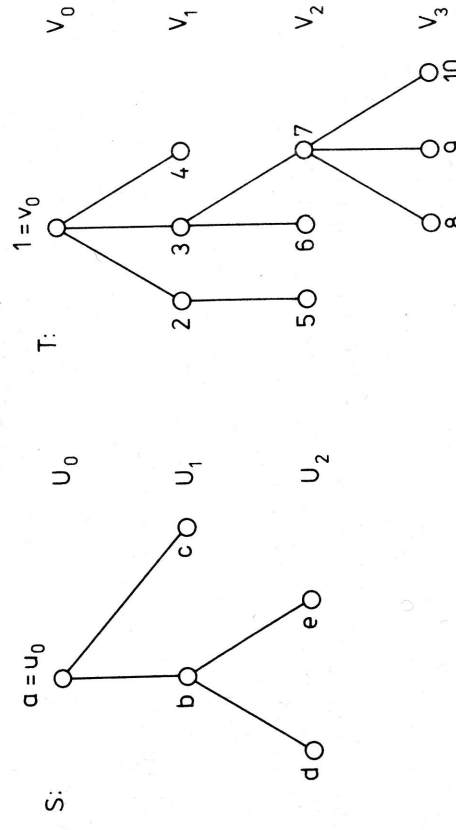
11.B Izomorfny podstrom

Tu uvažujeme nasledujúce zošobečnenie úlohy o izomorfizme dvoch stromov.

Daný je orientovaný strom T so zdrojom v_0 a orientovaný strom S so zdrojom u_0 . Treba zistiť, či T obsahuje podstrom so zdrojom v_0 izomorfny so stromom S . Pripadne zdroj podstromu nemusi byť predpísany. V oboch prípadoch hovorime, že S možno izomorfne vnorí do T .

Ďalej uvádzame metódu, ktorá rieši takéto úlohy. Presnejšie, poskytuje množinu $W(u_0)$ všetkých takých vrcholov stromu T , ktoré môžu slúžiť za zdroj hľadaného podstromu. Postup sa opiera o párenia v bipartitných grafoch. Túto myšlienku naznačujú Hopcroft a Karp (1973) a podrobne rozpracovávajú Matula (1978) a Stadel (1978).

Na obr. 1 možno ľahko overiť, že $W(a) = \{1, 3\}$.



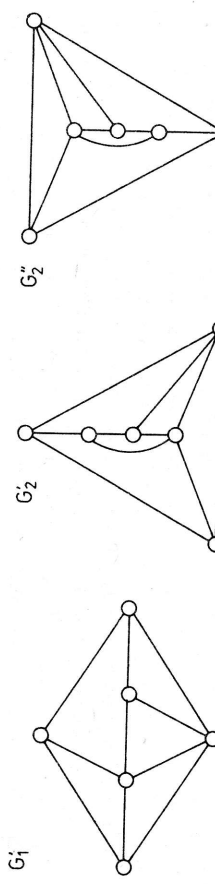
Obr. 1. S možno izomorfne vnorí do $T: W(a) = \{1, 3\}$ (šípkы nie sú vyznačené).

Nech pre daný vrchol $x \in V(S)$ symbol S_x označuje maximálny podstrom stromu S so zdrojom x ; analogicky sa definuje T_x . Nasou úlohou je nájsť množinu $W(u_0) = \{j \in V(T)\} \text{ existuje izomorfne vnotenie } \varphi: S_{u_0} \rightarrow T_j, \text{ kde } \varphi(u_0) = j\}$. Nasledujúca metóda umožňuje nejaké vnotenie aj najst.

Predpokladajme, že pre $x \in V(S)$ a $i \in V(T)$ máme zisťiť, či $i \in W(x)$. K tomu zostrojime bipartitný graf $G_{x,i}$, kde jedna partie vrcholov je $V_s^*(x)$, druhá $V_T^*(i)$ a $E(G_{x,i}) = \{yk | y \in V_s^*(x), k \in V_T^*(i) \cap W(y)\}$. Zrejme platí:

Lema 1. Vrchol $i \in W(x) \Leftrightarrow$ v grafe $G_{x,i}$ existuje párenie pokryvajúce všetky vrcholy partie $V_s^*(x)$.

Poznamenajme, že pre riešenie úlohy určí $W(u_0)$ nie je potrebné zisťovať, či

Obr. 1. Diagramy G_i a G''_2 sú silne izomorfne.

KROK 0 : Utvoríme distančný rozklad $V(S) = U_0 \cup U_1 \cup \dots \cup U_p$ z vrcholu u_0 a distančný rozklad $V(T) = V_0 \cup V_1 \cup \dots \cup V_q$ z vrcholu v_0 .

KROK 1 : Pre každý vrchol $x \in U_p$ položíme $\tilde{W}(x) := V_p \cup V_{p+1} \dots \cup V_q$ a pre každé $x \in V(S) - V_p$ kladieme $\tilde{W}(x) := \emptyset$.

KROK 2 : Pre každé $k = p-1, p-2, \dots, 0$ urobíme:

[Pre každé $x \in U_k$ urobíme:
[Pre každé $i \in V_k \cup V_{k+1} \cup \dots \cup V_{q-p+k}$ urobíme:
[Zostrojíme graf $G_{x,i}$ a zistíme, či v ňom existuje párenie pokryvajúce všetky vrcholy $V_s^*(x)$. Ak existuje, tak $\tilde{W}(x) := \tilde{W}(x) \cup \{i\}$, inak sa $\tilde{W}(x)$ nemene.]

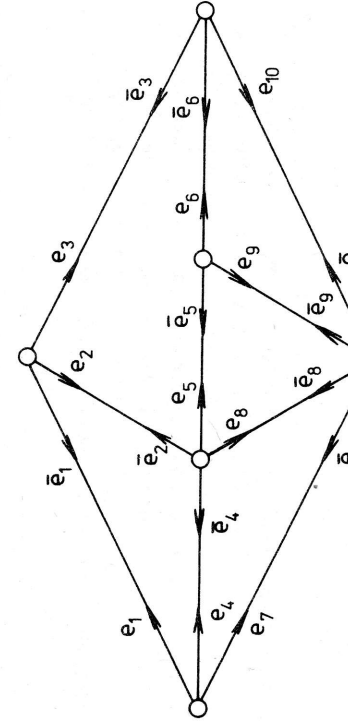
$W(u_0) := \tilde{W}(u_0)$: STOP. ●

Uvedený algoritmus je zrejme polynomiálny, podrobne ho však neanalyzujeme. Matula (1978) a Stadel (1978) uvádzajú algoritmy zložosti $O(n_T^{3/2} n_S)$. Pripomňme (kap. 2), že vo všeobecnosti je problém izomorfnosti podgrafu NP-tažký (pozri tiež (11.Z.4)).

11.C Izomorfizmus 3-súvislých planárnych grafov

Ak chceme porovnať diagramy rôznych, ale izomorfických grafov, tak musíme pojmy „ekvivalentné“, a „silne ekvivalentné“ diagramy rozšíriť. Hovoríme, že rovinné diagramy D_1 pseudografu G_1 a D_2 pseudografu G_2 sú izomorficné, ak existuje izomorfizmus $\varphi: G_1 \rightarrow G_2$, ktorý nadväze zoobrazuje hranicu steny v D_1 na hranicu steny v D_2 ; D_1 a D_2 sú silne izomorficné, ak naviac φ zachováva v diagrame usporiadanie hrán incidujúcich s vrcholom pri jeho obiehaní v pravotočivom smere. (Ak $D_1 = D_2$, tak izomorfizmus sa nazýva automorfizmus.)

Podľa Whitneyho vety, resp. jej dôsledku 10.B.2(a), každé dva rovinné diagramy 3-súvislého grafu sú alebo silne izomorficné, alebo takéto získame, ak jeden z nich preklopíme. Teda na zistovanie izomorfizmu dvoch planárnych vrcholovo 3-súvislých grafov G_1 a G_2 stačí: (1) nájsť ich rovinné diagramy G'_1 a G'_2 , (2)



Obr. 2. Ošipkovany diagram grafu.

šípy do tried tak, aby dva šípy f, g patrili do tej istej práve triedy, keď existuje silný automorfizmus takto ošpkovaného diagramu, pri ktorom sa f zobrazi na g . (Poznamenajme, že f je nejaký šíp e , alebo \bar{e} : kiaieme $\bar{e} = e$) Najprv sa šípy rozdelia do základných tried tak, že dve hrany sú v tej istej práve triedy, keď majú rovnaké nasledujúce parametre:

- (i) dĺžka hranice steny vpravo od šípa,
- (ii) dĺžka hranice steny vľavo od šípa,
- (iii) stupeň vrcholu pri začiatku šípa a
- (iv) stupeň vrcholu pri konci šípa.

(Stupne počítame v neorientovanom diagrame.)

Tieto základné triedy sa potom ešte rozdelia na menšie. K tomu však potrebuje-

me zaviesť niekoľko pojmov.

Sled v ošpkovanom diagrame daný postupnosťou šípov e_1, e_2, \dots, e_k sa nazýva *hraničný*, ak pre každé $i = 1, 2, \dots, k - 1$ existuje práve jedna stena tak, že šípy e_i a e_{i+1} ležia na hranici tejto steny. Hraničný sled je determinovaný hranou e_1 a postupnosťou x pozostávajúcou z $k - 1$ symbolov L alebo R, ktoré označujú, na hranici ktoréj z dvoch stien susediacich cez e_i leží šíp e_{i+1} : ak na hranici ľavej, tak to vyjadrujeme symbol R, inak dávame symbol L, inak dávame symbol R. Napr. na obr. 2 sledy $e_7\bar{e}_8$ a $e_7\bar{e}_7$ nie sú hraničné, ale sled $e_7\bar{e}_8e_5\bar{e}_6\bar{e}_3\bar{e}_1e_7\bar{e}_1\bar{e}_0$ je hraničný a možno ho zadat takto: $e_7(LRLLRRR)\bar{e}_0$. Symbol $e_p(-)e_q$ označuje hraničný sled začínajúci šípom e_p a končiaci šípom e_q ; takýto sled existuje, ak existuje postupnosť x symbolov L alebo R tak, že $e_p(x)e_q$ je hraničný sled.

Dva šípy e a f sa nazývajú *rozdlišiteľné*, ak existujú šípy e_1 a f_1 z rozných základných tried a postupnosť x tak, že $e(x)e_1$ a $f(x)f_1$ sú hraničné sledy; inak sa nazývajú *nerozdišiteľné*. Našim najbližším cieľom je rozdeliť všetky šípy do tried nerozdišiteľných hrán. Na to budeme potrebovať niektoré vlastnosti zavedených pojmov.

Lema 1. Nech e, f, g, h sú šípy v ošpkovanom rovinnom diagrame vrcholovo 3-súvislého grafu. Potom platí:

- (i) Ak existuje $e(-)f$, tak aj $f(-)e$ a $\bar{e}(-)\bar{f}$ existujú.
- (ii) Ak g a h sú rozdišiteľné a existuje x tak, že $e(x)g$ a $f(x)h$ sú hraničné sledy, tak aj e a f sú rozdišiteľné.
- (iii) Ak e a f sú rozdišiteľné, tak aj \bar{e} a \bar{f} sú rozdišiteľné.
- (iv) Ak e a f sú nerozdišiteľné a existuje x tak, že $e(x)g$ a $f(x)h$ sú hraničné sledy, tak aj g a h , a tiež \bar{g} a \bar{h} sú nerozdišiteľné.

Dôkaz. (i) Nech $e e_1 \dots e_f$ je hraničný sled. Ak existuje $e_k(R)f$, tak existuje $f(R\dots R)e_k$: ak existuje $e_k(L)f$, tak existuje $f(LL\dots L)e_k$. Existencia sledu $f(-)e$

vyplýva indukciou. Ak existuje $f(x)e$, tak aj $\bar{e}(x)\bar{f}$, keď x' je postupnosť získaná obrátením postupnosti x a vymenením symbolov L a R.

(ii) Existuje postupnosť y a šípy g_1, h_1 sú hraničné sledy. Potom sledy $e(xy)g_1$ a $f(xy)h_1$ dávajú rozlišiteľnosť e a f .

(iii) Nech g a h sú z rozných základných tried a také, že existujú $e(x)g, f(x)h$, keď x má minimálnu dĺžku. Okrem g a h , lubovoľný šíp v prvom sledge a zodpovedajúci šíp v druhom sledge majú upravo steny s rovnako dlhou hranicou a analogický vľavo (inak by x nemalo minimálnu dĺžku). Potom konštrukcia v dôkaze pre (i) dáva sledy $\bar{e}(y)\bar{g}$ a $\bar{f}(y)\bar{h}$ pre nejaké y . Keďže šípy \bar{g} a \bar{h} sú z rozných základných tried, dôkaz je hotovy. ■

(iv) Pre g a h to vyplýva z (ii) a pre \bar{g} a \bar{h} z (iii). ■

ROZDELENIE ŠÍPOV DO TRIED

Ak existuje jediná základná trieda, tak graf je skeletom niektorého z piatich platónskych telies (pozri 10.Z.2), čo sa ľahko identifikuje. Inak existujú aspoň dve základné triedy a z nich možno postupne vytobiť menšie a menšie triedy, až získame triedy nerozlišiteľných šípov. K tomu Hopcroft a Tarjan dávajú tento algoritmus:

Algoritmus

KROK 0: Nech B_1, B_2, \dots, B_k sú všetky základné triedy ($k \geq 2$). Každej z nich priradíme dva symboly: R a L. V ďalšom budeme tieto triedy štiepiť a nazývať jednoducho triedy.

KROK 1: Ak je každá trieda bez symbolu, tak STOP.

Inak zvolíme nejakú triedu B_i , ktorá má aspoň jeden symbol a zvolíme niekterý z nich. Ak sme zvolili R, tak utvoríme $M_i := \{f \mid \text{existuje } e(R)f, e \in B_i\}$ a symbol R pri B_i zrušíme. Ak sme zvolili L, tak $M_i := \{f \mid \text{existuje } e(L)f, e \in B_i\}$ a symbol L pri B_i zrušíme. Potom pre každú triedu B_j urobíme:

$\begin{cases} \text{Ak sú oba množiny } B_j \cap M_i \text{ a } B_j - M_i \text{ neprázdne, tak urobíme:} \\ \quad \begin{cases} \text{Nech } B_h \text{ a } B_p \text{ označujú tieto dve množiny, kde } |B_h| \leq |B_p|. \text{ Triedu } B_j \text{ nahradíme triedami } B_h \text{ a } B_p, \text{ pričom } B_p \text{ dostane oba symboly R a L a } B_p \text{ len tie symboly, ktoré mála trieda } B_j. \\ \quad \text{Inak } B_j \text{ zostáva.} \end{cases} \\ \text{Ideme na krok 1. } \bullet \end{cases}$

Poznamenajme, že po rozštiepení B_j na B_h a B_p sme dali oba symboly R a L iba

$k B_j$. To sa ukazuje dôležité pre dosiahnutie nízkej zložitosti algoritmu. Na druhej strane pre správnu funkciu algoritmu to postačuje, ako dokážeme.

Veta 1. (a) Uvedený algoritmus vystačí s $O(n \log n)$ operáciami.
 (b) Po skončení algoritmu sú dva šípy e_1, e_2 v rôznych triedach $\Leftrightarrow e_1 \text{ a } e_2 \text{ sú rozlišiteľné.}$

DOKAZ. (a) Po utvorení M_i vždy jeden symbol pri B_i zrušíme a tento symbol sa niekedy znova priradí iba podmnôžine (tryedy B_i), ktorej mohutnosť nepresahuje $|B_i|/2$. Teda každý šíp sa môže objavíť v najväčšej $2 \log m$ triedach B_i , z ktorých sa odstránil symbol (R , resp. L). Na jedno prebehnutie kroku 1 stačí $O(|B_i|)$ operácií. Tako nám celkové stáčia $O(n \log n)$ operácií.

(b) (\Rightarrow) Ukážme, že v každej fáze algoritmu platí: ak e_1, e_2 sú v rôznych triedach, tak sú rozlišiteľné. Na začiatku je to zrejmé pravda. Vo všeobecnosti ukážeme, že ak sa podľa algoritmu B_j rozstiepi na $B_j \cap M_i$ a $B_j - M_i$, tak to platí tiež. Nech $e_1, e_2 \in B_j$, $e_1 \in M_i$ a $e_2 \notin M_i$. Potom existuje $e'_1 \in B_j$ a $e'_2 \notin B_j$ tak, že $e'_1(R)e_1$ a $e'_2(R)e_2$, alebo $e'_1(L)e_1$ a $e'_2(L)e_2$ sú hraničné sledy. Potom však existujú $\bar{e}_1(L)\bar{e}'_1$ a $\bar{e}_2(L)\bar{e}'_2$, alebo $e'_1(R)\bar{e}'_1$ a $\bar{e}'_2(R)\bar{e}'_2$. Podľa indukčného predpokladu sú $e'_1, e'_2, \bar{e}_1, \bar{e}_2$ sú rozlišiteľné, takže potom podľa lemy 1(ii) a (iii) a teda podľa lemy 1(iii) aj \bar{e}'_1 a \bar{e}'_2 sú rozlišiteľné.

(\Leftarrow) Dokážeme indukciou podľa dĺžky s najkratšieho retazca v symboloch R, L , cez ktorý sa \bar{e}_1 a \bar{e}_2 rozlišia. Pre $s = 0$ je tvrdene zrejmé. Inak existujú e'_1 a e'_2 z rôznych základných tried tak, že $\bar{e}_1(y)e'_1$ a $\bar{e}_2(y)e'_2$ sú hraničné sledy. Budeme prepočítať, že $y = Rx$ (pre $y = Lx$ je dôkaz analogicky). Taktto existujú \bar{e}_3 a \bar{e}_4 tak, že $\bar{e}_1(R)\bar{e}_3$ a $\bar{e}_2(R)\bar{e}_4$ sú hraničné sledy. Keďže existujú $\bar{e}_3(x)e'_1$ a $\bar{e}_4(x)e'_2$, tak podľa indukčného predpokladu sa e_3 a e_4 dostali do rôznych tried, a teda hned aspoň jedna z týchto tried dostala oba symboly R a L : nech je to trieda B_i a $e_3 \in B_i$. Potom ešte niekedy budeme rušiť symbol L pri B_i , a vtedy $e_1 \in M_i$, lebo existuje $e_3(L)e_1$, ale $e_2 \notin M_i$. Preto sa e_1 a e_2 dostanú (rozstiepením nejakej triedy B_j) do rôznych tried. ■

Veta 2. Nech je dany ošipkovaný rovinný diagram grafu, ktorého každý komponent je vrcholovo 3-súvislý a nech e_1 a e_2 sú lubovoľné dva jeho šípy. Potom e_1 a e_2 sú rozlišiteľné \Leftrightarrow existuje silný automorfizmus ošipkovaného diagramu zožijúci e_1 na e_2 .

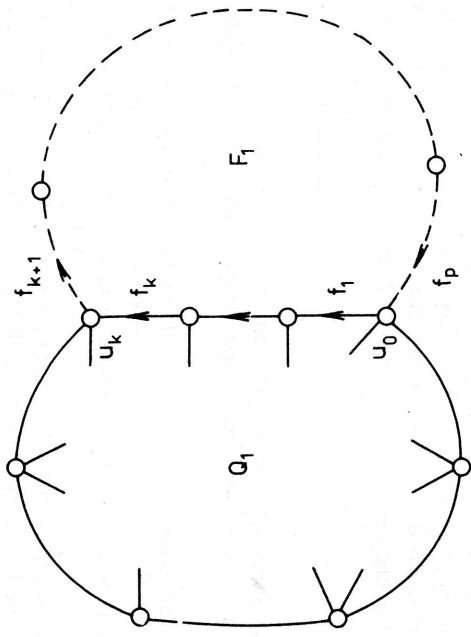
DOKAZ. (\Leftarrow) Zrejmé.

(\Rightarrow) Požadovaný automorfizmus zostrojíme tak, že komponent D_1 diagramu obsahujúci šíp e_1 zožádzime na komponent D_2 obsahujúci šíp e_2 a pritom e_1 na e_2 .

Ostatné komponenty sa zožádzia na seba identicky. Kedykoľvek zožádzime jeden šíp, tak tým automaticky zožádzime jeho začiatok aj koniec, a tým tiež zožádzime obrátený šíp toho istého rebra.

Najprv zožádzime e_1 na e_2 a celú hranicu steny vpravo od e_1 na hranicu steny vpravo od e_2 (obe hranice sú cykly tej istej dĺžky, lebo inak by e_1 a e_2 boli rozlišiteľné). Týmto sme zožádzili sled $e_1(RR \dots R)e_1$ na sled $e_2(RR \dots R)e_2$. Toto zožádzanie v každom ďalšom kroku rozšírimo o zožádzenie hranice jednej steny. Predpokladajme, že už máme zožádený nejaký vrcholovo 2-súvislý vnútorné maximálny poddiagram Q_1 , diagramu D_1 (t.j. časť diagramu D_1 , nachádzajúca sa vo vnútri hranice vonkajšej steny diagramu Q_1 celá patrí do Q_1). Nech Q_1 sa silne izomorfne zožádzá na nejaký poddiagram Q_2 diagramu D_2 , pričom koresponduje šípu sú nerozlišiteľné. Ak $Q_1 = D_1$, sme hotovi, a preto nech $Q_1 \neq D_1$. Potom v D_1 existuje stena F_1 , ktorá má s vonkajšou hranicou diagramu Q_1 spoločnú aspoň jednu hranu. Naviac, stenu F_1 možno zvoliť tak, aby prienik ich hraníc bol súvislý, teda tvorený nejakou cestou f_1, f_2, \dots, f_k , pričom F_1 leží vpravo od f_1 (obr. 3). Nech f_1 odchádza z vrcholu u_0 a nech f_{k+1}, \dots, f_p sú zvyšné šípy cyklu tvoreného hranicou steny F_1 , ako na obr. 3.

Nech g_1 je obrazom šípa f_1 a v_0 obrazom vrcholu u_0 v diagrame Q_2 . Podľa predpokladu sú f_1 a g_1 nerozlišiteľné, a preto môžeme sledu $S_1 = f_1(RR \dots R)$ v D_1 pripať sled $S_2 = g_1(RR \dots R)g_p$ v D_2 . S_2 musí končiť vo v_0 , lebo f_1 a g_1 majú vpravo steny s rovnakou cestou f_1, f_2, \dots, f_k , pričom F_1 leží vpravo od f_1 (obr. 3). Nech f_1 odchádza z vrcholu u_0 a nech f_{k+1}, \dots, f_p sú zvyšné šípy cyklu tvoreného hranicou steny F_1 , ako na obr. 3.



Obr. 3. K dôkazu vety 2.

jeho začiatok v_k by mal v D_2 menší stupeň, ako má u_k v D_1 (lebo v Q_1 a Q_2 majú stupne rovnaké). Potom by však f_k a g_k boli rozdielne, a teda aj f_1 a g_1 by boli také, čo je spor s indukčným predpokladom (korešpondujúce šípy v Q_1 a Q_2 sú nerozdielne). Analogicky je vidieť, že aj $g_{k+2}, \dots, g_p \notin Q_2$.

Takto vieme zobraziť (silne izomorfne) Q_1 spolu s hranicou steny F_1 na Q_2 rozšírené o hranicu nejakej steny F_2 v D_2 . Tieto nové diagramy Q'_1 a Q'_2 sú zrejme vnútorné maximálne poddiagramy a korešpondujúce šípy sú nerozlišiteľné. Opačovaním tohto postupu si môžeme zobraziť celý diagram D_1 na D_2 . ■

Tým máme teoreticky vyriešený problém izomorfizmu vrcholovo 3-súvisiacich planárnych grafov. Tento postup zrejme možno použiť aj v prípade grafov, ktorých každý komponent je vrcholovo 3-súvisiaci. Tiež je vidieť, že takýto postup sa hodí aj v prípade, že hrany, resp. vrcholy sú nejakoznačkovane (šípy s rôznymi značkami dámme do rôznych základných tried).

11.D Izomorfizmus planárnych grafov

V časti 11.A sme videli, že existuje polynomiálny algoritmus na zistovanie izomorfizmu stromov a v 11.C sme uvedli taký algoritmus pre vrcholovo 3-súvisiaci planárne grafy. Tu ukážeme, že ani izomorfizmus planárnych grafov vo všeobecnosti nepredstavuje veľký problém, ak využijeme spomínané algoritmy pre špeciálne prípady. Túto možnosť uvádzajú Weinberg (1966) a podrobnejšie sa tým zaobrábali Hopcroft a Tarjan (1971 a 1972). Uvedieme len základnú myšlienku takého postupu. Vhodné je uvažovať multigrafové.

Nech je daný planárny multigraf G a planárny multigraf H , o ktorých treba zistiť, či sú izomorfne. Postupujeme takto:

Pre G a H vieme nájsť rozklad na komponenty a každý komponent rozložiť na bloky.

Bloky nemajú vo všeobecnosti jednoznačné rovinné diagramy, a preto sa ich snažíme na takéto rozložiť. Tzv. 3-komponent definujeme ako multigraf, ktorý má jeden z tvarov:

- (a) vrcholovo 3-súvisiaci graf,
 - (b) cyklus dĺžky aspoň 3,
 - (c) pozostáva z dvoch vrcholov spojených aspoň tromi (paralelnými) hránami.
- Podľa predchádzajúcej časti vieme zistovať izomorfizmus planárnych multigrafov, ktorých každý komponent je 3-komponent. Hopcroft a Tarjan (1973a) dávajú lineárny algoritmus pre rozklad ľubovoľného (aj neplanárneho) multigrafu

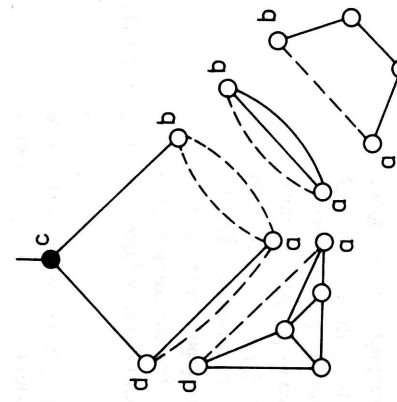
na 3-komponenty. Tu sa týmto nebudem zaoberať, ale len poznamenaná, že ich algoritmus je založený na prieskume do hĺbky a využíva podobné myšlienky ako algoritmus pre planaritu (kap. 10). Na účely zistovania izomorfizmu však stačí vedieť rozpoznať a odštiepovať tzv. koncové 3-komponenty.

Nech B je koncový alebo izolovaný blok multigrafa G ; nech B má aspoň tri vrcholy a nie je 3-komponentom. Ak B je koncový, nech c je (jedina) artikulácia v B . Potom B obsahuje také dva (rózne) vrcholy u, w , každý stupňa aspoň 3 (v G), že vznikne niektorý z prípadov:

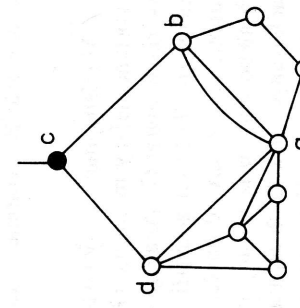
- (i) u a w sú spojené $t \geq 2$ paralelnými hránami,
- (ii) u a w sú spojené cestou P dĺžky aspoň 2, ktorej každý vnútorný vrchol má v G stupeň rovny 2,
- (iii) multigraf $B - u - w$ je nesúvisiaci a má taký komponent F , ktorý neobsahuje c (ak B je koncový blok) a pritom $B(V(F) \cup \{u, w\}) + e_1$ je 3-súvisiaci multigraf, kde e_1 je nová uw hrana.

V každom z týchto troch prípadov množinu $\{u, w\}$ nazývame **koncová dvojartikulácia**. Rozštiepením každého z vrcholov u, w možno odštiepiť z G istý multigraf T , ktorý nazveme **koncový 3-komponent**, a zostane nám menší multigraf G_1 : V prípade (i) T pozostáva z vrcholov u a w , všetkých hrán, ktoré ich spájajú v G a jednej novej uw hrany e_1 , ktorú pridávame. Potom G_1 vznikne z G vymenávaním uw hrán, ktoré sme dali do T (vrcholy u, w tam budú, lebo pôvodne štiepime) a pridaním jednej novej uw hrany (pozri obr. 1).

V prípade (ii) T pozostáva z vrcholov a hrán cesty P a novej uw hrany e_1 . Vymenávaním všetkých hrán a vnútorných vrcholov cesty P z G a pridaním novej uw hrany e_2 získame G_1 (obr. 1).



Obr. 1. Odštiepenie koncových 3-komponentov.



Konečne v prípade (iii) $T = B(V(F) \cup \{u, w\}) + e_1$ a $G_1 = G - V(F) + e_2$, kde e_1, e_2 sú nové uw hrany (pozri obr. 1).

Hned vidieť, že T je vždy 3-komponent. Naviac možno ukázať, že koncové 3-komponenty sú jednoznačne určené (11.Z.7). Všimnime si (obr. 1), že niektorá koncová dvojartikulácia môže slúžiť na odštiepenie viacerých 3-komponentov súčasne. Tiež je dobré si uvedomiť, že každá nová hrana indikuje cestu, ktorá viedla cez odštiepenú časť.

To bolo štiepenie v izolovanom alebo koncovom bloku cez dvojartikulácie. Ešte môžeme odštiepiť celý koncový blok, ak je 3-komponentom. Takéto štiepenie pozostáva z rozštípenia jedineho vrcholu — artikulácie grafu G , pričom hrany koncového bloku budú v jednej odštiepenej časti a ostatné v druhej. Vzhľadom na to, že izomorfné multigrafy musia mať izomorfné komponenty, koncové bloky a koncové 3-komponenty, možno navrhnuť nasledujúci algoritmus na zistovanie izomorfizmu planárnych multigrafov. Jeho správnosť vyplýva z uvedenej diskusie.

Algoritmus

KROK 1: Dané dva planárne multigrafy G a H , medzi ktorými hľadáme izomorfizmus, rozložíme na komponenty. Položíme $G_0 := G$, $H_0 := H$ a ideme na krok 2.

KROK 2: V každom komponente multigrafov G_0 a H_0 vyhľadáme všetky koncové bloky. Ak existuje aspoň jeden, ideme na krok 3, inak na krok 4.

KROK 3: Vo všetkých koncových blokoch vyhľadáme všetky koncové dvojartikulácie. Nech tvoria množinu M . Ak $M \neq \emptyset$, urobíme štiepenie A a vrátime sa na krok 3, inak urobíme štiepenie B a vrátime sa na krok 2.

ŠTIEPENIE A: V každej koncovej dvojartikulácii z M odštiepime všetky koncové 3-komponenty. Taktôž z G_0 zostane nejaký multigraf G_1 a nech odštiepené 3-komponenty tvoria multigraf G'_1 . Analogicky z H_0 dostaneme H_1 a H'_1 ; Zistíme (podľa 11.C) izomorfizmus medzi G'_1 a H'_1 ; pritom odlišujeme nové hrany od starých, označkovanej od neoznačkovaných alebo inak označkovaných, a označkovanej vrcholy od neoznačkovaných. Ak $G'_1 \cong H'_1$ tak $G \not\cong H$ a STOP. Inak novým uw hránám v G_1 a H_1 priradíme znaky — usporiadane dvojice lubovoľných čísel (s_u, s_w) (tá istá hrana zapisaná ako wu dostáva (s_w, s_u)), ale tak, aby dve takéto dvojice (s_u, s_w) a (s_x, s_y) boli rovnaké práve vtedy, keď medzi

prislušnými odštiepenými 3-komponentami existuje izomorfizmus zoobrazujúci u na x a w na y . Položíme $G_0 := G_1$, $H_0 := H_1$.

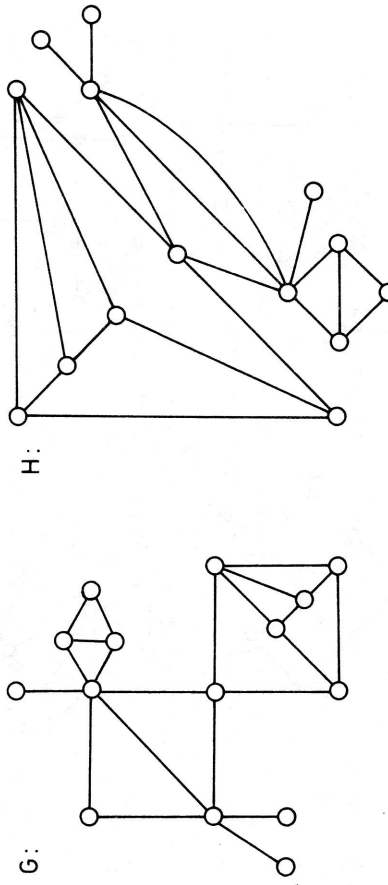
ŠTIEPENIE B: Odštiepime všetky koncové bloky v artikuláciach. Tým z G_0 zostane G_1 a nech odštiepené bloky tvoria multigraf G'_1 . Nech H_1 a H'_1 vzniknú analogicky z H_0 . Zistíme (podľa 11.C) izomorfizmus medzi G'_1 a H'_1 ; pritom odštiepené vrcholy odlišujeme od iných a zohľadňujeme značkovanie ako v štiepení A. Ak $G'_1 \cong H'_1$, tak $G \cong H$ a STOP. Inak odštiepené vrcholy (predtým artikulácie) v G_1 a H_1 dostanú znaky — každý vrchol x jedno lubovoľné číslo t_x , ale tak, aby dve takéto čísla t_x a t_y boli rovnaké práve vtedy, keď medzi prislušnými odštiepenými multigrafmi pri x a y (pozostávajúcimi z koncových blokov pri x a y) existuje izomorfizmus zoobrazujúci x na y . Položíme $G_0 := G_1$ a $H_0 := H_1$.

KROK 4: Vo všetkých blokoch (máme len izolované) vyhľadáme množinu M koncových dvojartikulácií. Ak $M \neq \emptyset$, urobíme štiepenie A a vrátime sa na krok 4, inak ideme na krok 5.

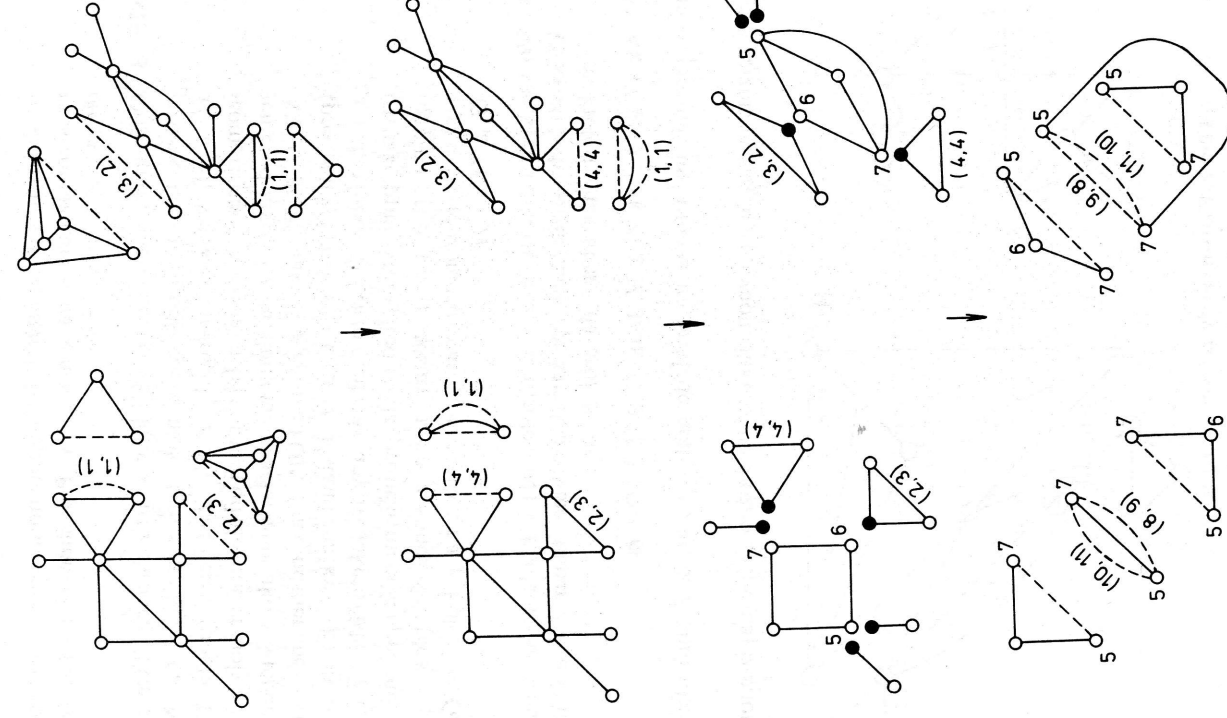
KROK 5: Ak $G_0 \not\cong H_0$, tak $G \not\cong H$. Inak $G \cong H$. STOP. ●

Uvedený algoritmus ilustrujeme na príklade grafov z obr. 2. Postup ukazuje obr. 3.

Na záver poznámenajme, že v polynomálnom čase možno zisťovať aj izomorfizmus.



Obr. 2. Planárne grafy na ilustráciu algoritmu.



mus grafov vnoriteľných na plochu rodu r (pre lubovoľné pevné $r \geq 0$) [Miller (1980)], [Filotti, Mayer (1980)].

11.Z Cvičenia a poznámky

1. Navrhnite nejaký postup pre zistovanie izomorfizmu digrafov.
Možno očakávať, že navrhnete alebo nepolyomiálny algoritmus alebo polynomiálnu heuristiku. Mnohé návrhy nájde čitateľ v literatúre. Napr. [Bertzis (1973)], [Cornel, Gotlieb (1970)]; prehľadné články sú [Read, Cornel (1977)], [Gati (1979)] a tiež [Tarijan (1980)]. K problému izomorfizmu existujú polyomiálne ekvivalentné úlohy z algebraických štruktúr a i. (pozri napr. [Garey, Johnson (1979)] a [Corneil, Kirkpatrick (1980)]), kde sú tiež analyzované niektoré heuristiky).
2. Ukážte, že problém izomorfizmu pre pseudomigrafy, digrafy a grafy sú polyomiálne ekvivalentné.
3. Ukážte, že v probléme izomorfizmu sa možno obmedziť na: (a) bipartitné grafy, (b) acyklické digrafy, (c) pravidelné grafy.
Luks (1982) dáva polynomiálny algoritmus pre izomorfizmus grafov s pevným maximálnym stupňom. Využíva sa tam teória grúp. (Pozri tiež knihu [Hoffmann (1982)].)
4. (i) Dokážte, že problém izomorfínskeho podstromu H v grafe G je NP-tažký, dokonca ak H je strom s maximálnym stupňom 2 (teda cesta) a G je planárny bipartitný graf s maximálnym stupňom 3. (ii) Zapísťe úlohu izomorfínskeho podgrafu H v grafe G ako 0—1 úlohu lineárneho programovania.
Poznamenajme, že problém nájšť v danom strome G podgraf izomorfný s daným lesom H je NP-tažký [Garey, Johnson (1979)].
5. Nех G a H су графы s $V(G) = \{v_1, \dots, v_n\}$, $V(H) = \{u_1, \dots, u_n\}$ ($n \geq 3$) а неch $G - v_i \cong H - u_i$ pre $i = 1, \dots, n$. V tzv. *Ulamovej hypotéze* sa tvrdí, že потом $G \cong H$, ale zatial zostáva otvorená. (Mnoho čiastkových riešení nájde čitateľ v [Behzad et al. (1979)]. Dokáže túto hypotézu pre prípady: (a) G a H sú pravidelné, (b) G a H sú nesúvislé.
6. Nех je dané pevné n . Najdiť čo najväčšie číslo s^* a n -vrcholový graf G^* tak, aby každý n -vrcholový graf G a graf G^* obsahovali izomorfínske vrcholové indukované podgrafy. Maximálne možné s^* nie je známe [Zelinka (1975)].
7. Dokážte, že koncové 3-komponenty multigrafu sú jednoznačne určené.

► Obr. 3. Zistovanie izomorfizmu grafov z obr. 2.

LITERATÚRA

- * Adelson-Velskij, G. M., Dimic, E. A., Karzanov, A. V. (1975): Potokovje algoritmy. Moskva, Nauka, [4.F, 6.D, 6.E, 6.F].
- Aho, A. V., Garey, M. R., Ullman, J. D. (1972): The transitive reduction of a directed graph. *SIAM J. Comput.*, 1, 131–137, [3.G].
- * Aho, A. V., Hopcroft, J. E., Ullman, J. D. (1974): The design and analysis of computer algorithms. Reading, Mass., Addison-Wesley, (ruský preklad: Moskva 1979), [1.G, 2.A, 2.C, 2.E].
- Appel, K., Haken, E. (1976): Every planar map is four colorable. *Bull. Amer. Math. Soc.*, 82, 711–712, [1.A].
- Auslander, L., Parter, S. V. (1961): On imbedding graphs in the plane. *J. Math. and Mech.*, 10, 517–523, [10.C].
- Babai, L., Kučera, L. (1979): A graph canonization with linear expected time. *Proc. 19th IEEE Symp. Found. Computer Sci.*, Puerto Rico, [2.E].
- * Behzad, M., Chartrand, G., Lesniak-Foster, L. (1979): Graphs and digraphs. Boston, Prindle, Weber and Schmidt, [1.A, 9.C, 11.Z].
- Bellman, R. E. (1958): On a routing problem. *Quart. Appl. Math.*, 16, 87–90, [4.B].
- Berge, C. (1957): Two theorems in graph theory. *Proc. Nat. Acad. Sciences USA*, 43, 842–844, [8.A].
- * Berge, C. (1958): Théorie des graphes et ses applications. Paris, Dunod (ruský preklad: London Moskva 1962), [5.Z, 6.D].
- * Berge, C. (1970): Graphes et hypergraphes. Paris, Dunod, (anglický preklad: London 1973), [2.E, 3.Z].
- * Berge, C., Ghoulia-Houri, A. (1962): Programmes, jeux et réseaux de transport. Paris, Dunod, (anglický preklad: London 1965), [6.F].
- Berziss, A. T. (1973): A backtrack procedure for isomorphism of directed graphs. *J. ACM*, 20, 365–377, [11.Z].
- * Biggs, N. L., Lloyd, E. K., Wilson, R. J. (1976): Graph theory 1736–1936. Oxford, Clarendon Press, [1.A].
- Bilý, J., Fiedler, M., Nožička, F. (1958): Die Graphentheorie in Anwendung auf das Transportproblem. *Czechoslovak Math. J.*, 8(83), 94–121, [6.D].
- Blattner (pozri Dantzig).
- Bock, F. C. (1971): An algorithm to construct a minimum directed spanning tree in a directed network. *Developments in Operations Research*. New York, Gordon and Breach, 29–44, [5.F].
- Bođin (pozri Golden).
- * Bondy, J. A., Murty, U. S. R. (1976): Graph theory with applications. London, Macmillan, [predhovor].
- Borosch, I., Treybig, L. B. (1976): Bounds on positive integral solutions of linear Diophantine equations. *Proc. Amer. Math. Soc.*, 55, 299–304, [2.B].
- Borůvka, O. (1926): O jistém problému minimálním. Práce moravské přírodrověd. spol. (Brno), III(3), 37–58, [5.B].
- Bosák, J. (1979): Ako bol vyriesený problem štyroch farieb. *Pokroky mat. fyz. astr.*, 24, 181–201, [1.A].
- * Bosák, J. (1980): Grafy a ich aplikácie. Bratislava, Alfa, [predhovor, 1.B].
- Bosák, J., Rosa, A., Znám, Š. (1968): On decompositions of complete graphs into factors with given diameters. *Theory of graphs*. Budapest, Akadémiai Kiadó, 37–56, [7.Z].
- * Brunovský, P., Černý, J. (1980): Základy matematickej teórie systémov. Bratislava, Veda, [predhovor].
- Bulitko, V. K. (1973): O grafach s zadannymi okruženiami veršin. *Trudy matem. inst. im. V. A. Steklova*, 133, 78–94, [2.A].
- Bulitko, V. K. (1973a): Ob odnoj algoritmičeski nerazrešimoj massovoj zadáce dľa grafov. Upravajemyje sistemy, vyp. 2. Novosibirsk, Nauka, 61–73, [2.A].
- Busacker, R. G., Gowen, P. J. (1961): A procedure for determining a family of minimal-cost network flow patterns. *Operations Research Office*, John Hopkins University, Technical report, 15, [6.D].
- * Busacker, R. G., Saaty, T. L. (1965): Finite graphs and networks. New York, McGraw-Hill, (ruský preklad: Moskva 1974), [6.D, 9.B, 11.A].
- Cantor, G. (1874): Über eine Eigenschaft des Inbegriffes aller reellen algebraischen Zahlen. J. reine angew. Math., 77, 258–262, [2.A].
- Catwright (pozri Harary).
- Cayley, A. (1874): On the mathematical theory of isomers. *Philos. Mag.*, 67, 444–446, [1.A].
- Cederbaum (pozri Lempel).
- Cook, S. A. (1971): The complexity of theorem-proving procedures. *Proc. Third Annual ACM Symp. on Theory of Computing*, 151–158, [2.C, 2.D].
- Cook, S. A., Reckhow, R. A. (1973): Time-bounded random access machines. *J. Computer Syst. Sci.*, 7, 354–373, [2.A].
- Cornel, D. G., Gottlieb, C. C. (1970): An efficient algorithm for graph isomorphism. *J. ACM*, 17, 51–64, [11.Z].
- Cornel, D. G., Kirkpatrick, D. G. (1980): A theoretical analysis of various heuristics for the graph isomorphism problem. *SIAM J. Comput.*, 9, 281–297, [11.Z].
- Cornel (pozri Read).
- Cornuejols, G., Nemhauser, G. L. (1978): Tight bounds for Christofides' traveling salesman heuristic. *Math. Programming*, 14, 116–121, [9.C].
- * Čech, E. (1966): Bodové množiny. Praha, Academia, [10 (ivod)].
- Čerkasskij, B. V. (1973): Konečnyj algoritm riešenia zadáci o dvuchproduktovom potoku. *Ekonomika i matematické metody*, 9, 1147–1149, [6.E].
- Čerkasskij, B. V. (1977): Algoritmus postrojenia maximalnogo potoka v seti s trudojom-kostju $O(n^2 p)$ dejstvij. Matematické metody rešenia ekonomiceskich zadač, Sb. 7. Moskva, Nauka, 117–126, [6.B].

- Černý, J. (1972): Transportnyje seti s usiljenjem. Ekon.-mat. obzor, 8, 299—309, [6.Z].
- Černý (pozri Brunovský).
- * Čulík, K., Doležal, V., Fiedler, M. (1967): Kombinatorická analýza v praxi. Praha, SNTL, [predhovor, 5.A, 5.B, 5.C].
- * Čupr, K. (1949): Geometrické hry a zábavy. Praha, Cesta k vědění, [3.A].
- Dambit (pozri Grinberg).
- Dantzig, G. B. (1951): Application of the simplex method to a transportation problem. Activity Analysis of Production and Allocation, Cowles Commission Monograph 13. New York, John Wiley, 359—373, [6.D].
- Dantzig, G. B. (1962): Linear programming and extensions. Princeton, Princeton University Press (slovenský preklad: Bratislava 1966), [2.B, 6.D, 6.Z].
- Dantzig, G. B. (1966): All shortest routes in a graph. Oper. Res. House, Stanford University Tech. Rep., 66—3, [4.Z].
- Dantzig, G. B., Blattner, W., Rao, M. R. (1967): Finding a cycle in a graph with minimum cost to time ratio with application to a ship routing problem. Theory of graphs. Paris, Dunod, 77—84, [4.F].
- Dantzig, G. B., Fulkerson, D. R. (1954): Minimizing the number of tankers to meet a fixed schedule. Naval Res. Logist. Quart., 1, 217—222, [6.C].
- Dantzig, G. B., Fulkerson, D. R. (1956): On the max-flow mincut theorem of networks. Linear inequalities and related systems, Annals of Math. Study, 38. Princeton, Princeton University Press, 215—221, [7.A].
- Dantzig, G. B., Fulkerson, D. R., Johnson, M. S. (1954): Solution of a large-scale traveling salesman problem. Operations Res., 2, 393—410, [9.C].
- Davis, E. W., Patterson, H. J. (1975): A comparison of heuristic and optimum solutions in resource-constrained project scheduling. Management Sci., 21, 944—955, [4.Z].
- * Deo, N. (1974): Graph theory with applications to engineering and computer science. Englewood Cliffs, New Jersey, Prentice-Hall, Inc., (poľský preklad: Warszawa 1980).
- Deo, N. (1976): Note on Hopcroft and Tarjan planarity algorithm. J. ACM, 23, 74—75, [10.C].
- Deo (pozri Reingold).
- Dijkstra, E. W. (1959): A note on two problems in connexion with graphs. Numer. Math., 1, 269—271, [4.B, 5.B].
- Dinic, E. A. (1970): Algoritmus rešenja zadaci o maximalnom potoku v seti so stepenjocenkovj. Doklady Akad. Nauk SSSR, 194, 754—757, [6.B].
- Dinic, E. A. (1973): Algoritmus porazrijadnogo sokratenia nevijazok i transportnyje zadaci. Issledovaniya po diskretnoj matematike. Moskva, Nauka, 46—57, [6.B].
- Dinic, E. A., Zajcev, M. A., Karzanov, A. V. (1974): Ekonomnyj algoritm vydelenija blokov v grafe. Žurnal vychisl. matem. i matem. fiziki, 14, 1309—1316, [3.B].
- Dinic (pozri Adelson-Velskij).
- Dirac, G. A. (1952): Some theorems on abstract graphs. Proc. London Math. Soc., 2, 69—81, [9.C].
- Doležal (pozri Čulík).
- Doyle (pozri Golden).
- Dreyfus, S. E., Wagner, R. A. (1971): The Steiner problem in graphs. Networks. Networks, 1, 194—207, [5.G].
- Dulmage (pozri Mendelsohn).
- Edmonds, J. (1965): Path, trees and flowers. Can. J. Math., 17, 449—467, [2.A, 8.B].
- Edmonds, J. (1965a): Minimum partition of a matroid into independent subsets. J. Res. Nat. Bur. Standards, 69B, 67—72, [7.D].
- Edmonds, J. (1965b): Maximum matching and a polyhedron with 0, 1 vertices. J. Res. Nat. Bur. Standards, 69B, 125—130, [8.C].
- Edmonds, J. (1965c): The Chinese postman's problem. Bull. Operations Res. Soc. Suppl., 1, 73, [9.B].
- Edmonds, J. (1967): Optimum branchings. J. Res. Nat. Bureau Standards, 71B, 233—240, [5.F].
- Edmonds, J. (1967a): An introduction to matching. Mimeographed lecture notes. Engineering summer conference. Univ. of Michigan, Ann Arbor, [8.D].
- Edmonds, J. (1973): Edge-disjoint branchings. Combinatorial Algorithms (Courant Inst. Sci. Symp. 9). New York, Algorithmic Press, 91—96, [7.C].
- Edmonds, J. (1975): Some well-solved problems in combinatorial optimization. Combinatorial Programming: Methods and Applications. Dordrecht, Reidel, 285—301, [8.D].
- Edmonds, J., Johnson, E. L. (1970): Matching: A well-solved class of integer linear programs. Combinatorial structures and their applications. New York, Gordon and Breach, 89—92, [8.D].
- Edmonds, J., Johnson, E. L. (1973): Matching, Euler tours and the Chinese postman. Math. Programming, 5, 88—124, [9.A, 9.B, 9.Z].
- Edmonds, J., Karp, R. M. (1970, 1972): Theoretical improvements in algorithmic efficiency for network flow problems. Combinatorial structures and their applications. New York, Gordon and Breach, 1970, 93—96 (abstract). J. ACM, 19 (1972), 248—264, [4.B, 4.C, 4.F, 6.A, 6.B, 6.D].
- Egerváry, J. (1931): Matrixok kombinatorius tulajdonságairól. Mat. Fiz. Lapok, 38, 16—28, [8.A, 8.B].
- * Erdős, P., Spencer, J. (1974): Probabilistic methods in combinatorics. Budapest, Akadémiai Kiadó, (ruský preklad: Moskva 1976), [2.E].
- Eswaran, K. P., Tarjan, R. E. (1976): Augmentation problems. SIAM J. Comput., 5, 653—665, [3.C].
- Euler, L. (1736): Solutio problematis ad geometriam situs pertinens. Comment. Acad. Sci. Imp. Petropol., 8, 128—140, [1.A].
- Euler, L. (1752): Elementa doctrinae solidorum. Novi Comm. Acad. Sci. Imp. Petropol., 4, 109—140, [10.A].
- Even, S. (1975): Algorithm for determining whether the connectivity of a graph is at least k. SIAM J. Computing, 4, 393—396, [7.A].
- * Even, S. (1979): Graph algorithms. Potomac, Computer Science Press, [7.Z, 10.C].
- Even, S., Itai, A., Shamir, A. (1976): On the complexity of timetable and multicommodity flow problems. SIAM J. Comput., 5, 691—703, [6.E, 6.F].
- Even, S., Kariv, O. (1975): An $O(n^2)$ algorithm for maximum matching in general graphs.

- Proc. 16th Annual Symp. on Foundations of Computer Science. IEEE, New York, 100—112, [8.B].
- Even, S., Tarjan, R. E. (1975): Network flow and testing graph connectivity. SIAM J. Computing, 4, 507—518, [7.A].
- Even (pozri Lempel).
- Faradžev, I. A. (1970): Efektívnye algoritmy riešenia nekotorych zadač dla orientirovannyh grafov. Žurnal výčisl. matem. i matem. fiziki, 10, 1049—1054, [3.E, 3.G].
- Fiedler, M. (1973): Algebraic connectivity in graphs. Czech. Math. J., 23(98), 298—305, [7.A].
- Fiedler, M. (1975): Algebraische Zusammenhangszahl der Graphen und ihre numerische Bedeutung. Numerische Methoden bei graphentheoretischen und kombinatorischen Problemen. Int. Schriftenreihe zur numer. Math. 29. Basel-Stuttgart, Birkhäuser Verlag, 69—85, [7.A].
- *Fiedler, M. (1981): Speciální matice a jejich použití v numerické matematice. Praha, SNTL, [predhovor, 3.Z].
- Fiedler, M., Nožička, F. (1961): Ob odnom kriterii v teorii transportnoj problemy. Czech. Math. J., 11, 204—212, [6.D].
- Fiedler (pozri Bílý, Čulík).
- Filotti, I. S., Mayer, J. N. (1980): A polynomial-time algorithm for determining the isomorphism of graphs of fixed genus. Proc. Twelfth Annual ACM Symposium Th. Computing, 236—243, [11.D].
- Filotti, I. S., Miller, G. L., Reif, J. H. (1979): On determining the genus of a graph in $O(v^{O(g)})$ steps. Proc. Eleventh Ann. ACM Symposium on Theory of Computing, 27—37, [10.Z].
- Fischer, M. J., Meyer, A. R. (1971): Boolean matrix multiplication and transitive closure. 12th Annual Symposium on Switching and Automata Theory. IEEE, New York, 129—131, [3.G].
- Flood, M. M. (1953): On the Hitchcock distribution problem. Pacif. J. Math., 3, 369—386, [6.D].
- Floyd, F. W. (1962): Algorithm 97: shortest path. Comm. ACM 5, 345, [4.C].
- Ford, L. R. (1956): Network flow theory. The Rand Corp., P-923, [4.B].
- Ford, L. R., Fulkerson, D. R. (1956): Maximal flow through a network. Canad. J. Math., 8, 399—404, [6.A].
- Ford, L. R., Fulkerson, D. R. (1956a): Solving the transportation problem. Management Sci., 3, 24—32, [6.D].
- Ford, L. R., Fulkerson, D. R. (1957): A simple algorithm for finding maximal network flows and an application to the Hitchcock problem. Canadian J. Math., 9, 210—218, [6.A].
- *Ford, L. R., Fulkerson, D. R. (1962): Flows in networks. Princeton, Princeton U. Press, (ruský preklad : Moskva 1966), [6.A, 6.D, 6.Z, 8.B, 9.A].
- Fortune, S., Hopcroft, J. E., Wyllie, J. C. (1980): The directed subgraph homeomorphism problem. Theor. Comput. Sci., 10, 111—121 [6.Z].
- *Frank, H., Frisch, I. T. (1971): Communication, transmission, and transportation networks. Reading, Mass., Addison-Wesley, (ruský preklad : Moskva 1980).

- Frederickson, G. N., Hecht, M. S., Kim, C. E. (1978): Approximation algorithms for some routing problems. SIAM J. Comput., 7, 178—193, [9.B, 9.Z].
- Frisch (pozri Frank).
- Frobenius, G. (1912): Über Matrizen aus nicht negativen Elementen. Sitzungsber. König. Preuss. Akad. Wiss., 23, 456—477, [8.B].
- Fulkerson, D. R. (1959): Increasing the capacity of a network, the parametric budget problem. Management Sci., 5, 472—483, [6.D].
- Fulkerson, D. R. (1966): Flow networks and combinatorial operations research. Amer. Math. Monthly, 72, 115—138, [4.Z].
- Fulkerson (pozri Danzig, Ford).
- Gäbow, H. N. (1976): An efficient implementation of Edmond's algorithm for maximum matching on graphs. J. ACM, 23, 221—234, [8.B].
- Gallai, T. (1959): Über extreme Punkt- und Kantenmengen. Ann. Univ. Sci. Budapest, Eötvös Sect. Math., 2, 133—138, [2.D, 8.Z].
- Gallai, T. (1962): Graphen mit triangulierbaren ungeraden Vierecken. Magyar Tud. Akad. Kut. Int. Közleményei, 7, 3—36, [3.B].
- Gallai, T. (1963): Neuer Beweis eines Tutte-schen Satzes. Magyar Tud. Akad. Matem. Kut. Int. Közl., 8, 135—139, [8.A].
- Garey, M. R., Graham, R. L., Johnson, D. S. (1977): The complexity of computing Steiner minimal trees. SIAM J. Appl. Math., 32, 835—859, [5.G].
- Garey, M. R., Graham, R. L., Johnson, D. S., Knuth, D. E. (1978): Complexity results for bandwidth minimization. SIAM J. Appl. Math., 34, 477—495, [3.Z].
- Garey, M. R., Johnson, D. S. (1976): The complexity of near-optimal graph coloring. J. ACM, 23, 43—49, [2.D].
- Garey, M. R., Johnson, D. S. (1977): The rectilinear Steiner tree problem in NP-complete. SIAM J. Appl. Math., 32, 826—834, [2.D, 2.Z, 5.G, 5.Z].
- *Garey, M. R., Johnson, D. S. (1979): Computers and intractability, A guide to the theory of NP-completeness. San Francisco, Freeman (ruský preklad : Moskva 1982), [2.C, 2.D, 2.E, 2.Z, 4.D, 4.Z, 5.Z, 8.Z, 11.Z].
- Garey, M. R., Johnson, D. S., Stockmeyer, L. (1976): Some simplified NP-complete graph problems. Theor. Comput. Sci., 1, 237—267, [2.D, 2.Z, 3.Z].
- Garey, M. R., Johnson, D. S., Tarjan, R. E. (1976): The planar Hamiltonian circuit problem in NP-complete. SIAM J. Comput., 5, 704—714, [2.D].
- Garey (pozri Aho).
- *Garfinkel, R. S., Nemhauser, G. L. (1972): Integer Programming. New York, Wiley, (polští preklad : Warszawa 1978), [4.Z].
- *Gass, S. I. (1964): Linear programming: Methods and applications, 2nd ed. New York, McGraw-Hill, (slovenský preklad : Bratislava 1972), [6.D].
- Gati, G. (1979): Further annotated bibliography on the isomorphism disease. J. Graph Theory, 3, 95—109, [11.Z].
- Geldmacher (pozri Liu).
- Ghouila-Houri, A. (1960): Une condition suffisante d'existence d'un circuit Hamiltonien. C. R. Acad. Sci. Paris, 156, 495—497, [9.C].

- Ghouila-Houri (pozri Berge).
 Gilbert (pozri Chung).
- Gilmore, P. C., Gomory, R. E. (1964): Sequencing a one state-variable machine: a solvable case of the traveling salesman problem. *Operations Res.*, 12, 655—679, [9.Z].
- Giliavik, F. (1975): Maximal graphs with given connectivity and edge-connectivity. *Mat. čas.*, 25, 99—103, [7.Z].
- Glover, F., Karney, D., Klingman, D. (1974): Implementation and computational comparisons of primal, dual and primal-dual computer codes for minimum cost network flow problems. *Networks* 4, 191—212, [6.D].
- Glover, F., Klingman, D. (1975): Finding minimum spanning trees with a fixed number of links at a node. Combinatorial programming: methods and application. Dordrecht, Reidel, 191—202, [5.C].
- Golden, B., Bodin, L., Doyle, T., Stewart, W. (1980): Approximate traveling salesman algorithms. *Operations Res.*, 28, 694—711, [9.C].
- Goldner (pozri Rosenthal).
- * Golštejn, E. G., Judin, D. B. (1969): Zadaci linejnog programirivanja transportnog tipa. Moskva, Nauka, [6.D].
- * Golumbic, M. C. (1980): Algorithmic graph theory and perfect graphs. New York, Academic Press, [2.E].
- Gomory, R. E., Hu, T. C. (1961): Multi-terminal network flows. *J. SIAM*, 9, 551—570, [7.B].
- Gomory, R. E., Hu, T. C. (1962): An application of generalized linear programming to network flows. *SIAM J. Appl. Math.*, 10, 260—283, [7.B].
- Gomory (pozri Gilmore).
- Gonzalez (pozri Salani).
- Goralčíková, A., Koubek, V. (1979): A reduct-and-closure algorithm for graphs. Lecture verbandre Systeme I. Monografie Math. Physik, 38, 173—198, [2.A].
- Graham, R. L., Hwang, F. K. (1976): Remarks on Steiner minimal trees I. *Bull. Inst. Math. Acad. Sinica*, 4, 177—182 [5.G].
- Graham (pozri Garey).
- Gödel, K. (1931): Über formal unentscheidbare Sätze der Principia Mathematica und verwandter Systeme I. Monografie Math. Physik, 38, 173—198, [2.A].
- Grinberg, E. Ja., Dambit, Ja. Ja. (1966): Nekotoryje svojstva grafov soderžačich kontury. Latv. mat. ježegodnik (Riga), 2, 65—70, [2.Z].
- Grötschel, M., Lovász, L., Schrijver, A. (1981): The ellipsoid method and its consequences in combinatorial optimization. *Combinatorica* 1, 169—197, [2.B].
- Gruska, J. (1975): Zložitosť konkrétnych algoritmov I. Základné princípy. (Učebné texty.) Výskumné vypočítové stredisko, Bratislava, [2.A, 2.E].
- Haken (pozri Appel).
- Hakimi, S. (1962): On the realizability of a set of integers as degrees of the vertices of a graph. *J. SIAM Appl. Math.*, 10, 496—506, [1.Z].
- Hakimi, S. L. (1971): Steiner's problem in graphs and its implications. *Networks*, 1, 113—133, [5.G].
- Hakimi (pozri Kariv).
- Hall, P. (1935): On representatives of subsets. *J. London Math.*, Soc., 10, 26—30, [8.A].
- Hanan, M. (1966): On Steiner's problem with rectilinear distance. *SIAM J. Appl. Math.*, 14, 255—265, [5.G, 5.Z].
- Harary, F. (1962): A graph theoretic approach to matrix inversion by partitioning. *Numerische Math.*, 4, 128—135, [3.D].
- * Harary, F. (1969): Graph theory. Reading, Addison-Wesley, (ruský preklad: Moskva 1973), [1.B, 1.Z, 3.B, 5.Z, 10.C].
- * Harary, F., Norman, R. Z., Cartwright, D. (1965): Structural models: An introduction to the theory of directed graphs. New York, Wiley.
- Havel, V. (1955): Poznámka o existenci konečných grafů. Časopis Pěst. Mat., 80, 477—480, [1.Z].
- Hecht (pozri Frederickson).
- Hilbert, D. (1926): Über das Unendliche. *Math. Annalen*, 95, 134—151, [2.A].
- Hitchcock, F. L. (1941): The distribution of a product from several sources to numerous localities. *J. Math. Phys.*, 20, 224—230, [6.D].
- * Hoffmann, C. M. (1982): Group-theoretic algorithms and graph isomorphism. Lectures Notes in Computer Science 136. Berlin, Springer-Verlag, [11.Z].
- Holer, I. (1981): The NP-completeness of edge-colouring. *SIAM J. Comput.* 10, 718—720, [2.D].
- Hopcroft, J. E., Karp, R. M. (1973): An $n^{5/2}$ algorithm for maximum matchings in bipartite graphs. *SIAM J. Comput.*, 2, 225—231, [8B; 11.B].
- Hopcroft, J. E., Tarjan, R. E. (1971): A V^2 algorithm for determining isomorphism of planar graphs. *Inf. Processing Letters*, 1, 32—34, [11.D].
- Hopcroft, J. E., Tarjan, R. E. (1972): Isomorphism of planar graphs (working paper). Complexity of Computer Computations. New York, Plenum Press, 131—152, [11.A, 11.C, 11.D].
- Hopcroft, J. E., Tarjan, R. E. (1973): Efficient algorithms for graph manipulation. *Comm. ACM*, 16, 372—378, [3.A, 3.B].
- Hopcroft, J., Tarjan, R. E. (1973a): Dividing a graph into triconnected components. *SIAM J. Computing*, 2, 135—158, [7.A, 11.D].
- Hopcroft, J. E., Tarjan, R. E. (1973b): A $V \log V$ algorithm for isomorphism of triconnected planar graphs. *J. Computer System Sci.*, 7, 323—331, [11.C].
- Hopcroft, J. E., Tarjan, R. E. (1974): Efficient planarity testing. *J. ACM*, 21, 549—568, [10.C].
- Hopcroft, J. E., Wong, J. K. (1974): Linear time algorithm for isomorphism of planar graphs. *Proc. Sixth Ann. ACM Symp. Th. Computing*, 172—184, [11.C].
- Hopcroft (pozri Aho, Fortune).

- Horařík, P. (1983): A note on removing a point of a strong digraph. *Math. Slovaca*, 33, 85—86, [3.Z].
- Hu, T. C. (1963): Multi-commodity network flows. *J. ORSA*, 11, 344—360, [6.E].
- * Hu, T. C. (1969): Integer programming and network flows. Reading, Addison-Wesley, (ruský preklad: Moskva 1974), [2.B, 6.A].
- Hu (pozri Gomory).
- Hwang, F. K. (1976): On Steiner minimal trees with rectilinear distance. *SIAM J. Appl. Math.*, 30, 104—114, [5.G].
- Hwang (pozri Graham, Chung).
- Chacjan, L. G. (1979): Polinomialnyj algoritm v linejnõm programmirovani. *Dokl. Akad. Nauk SSSR*, 244, 1093—1096, [2.B].
- Chacjan (pozri Kozlov).
- Chandrasekaran R. (1977): Minimal ratio spanning trees. *Networks*, 7, 335—342, [5.D].
- Chandrasekaran R. (1977): Minimal ratio spanning trees. *Networks*, 7, 335—342, [5.D].
- Chartrand (pozri Behzad).
- Cheriton, D., Tarjan, R. E. (1977): Finding minimum spanning trees. *SIAM J. Comput.*, 5, 724—742, [5.B].
- Choquet, G. (1938): Etude de certains réseaux de routes. *C. R. Ac. Sciences Paris*, 206, 310—311, [5.B].
- * Christofides, N. (1975): Graph theory, An algorithmic approach. London, Academic Press, (ruský preklad: Moskva 1978), [2.Z, 4.F, 9.C].
- Christofides, N. (1976): Worst-case analysis of a new heuristic for the travelling salesman problem. Technical Report No. 388, Graduate School of Industrial Administration, Pittsburgh, Carnegie-Mellon University, [9.C].
- Christofides, N. (1979): The travelling salesman problem. Combinatorial optimization. New York, Wiley, 132—149, [9.C].
- Chu, Y. J., Liu, T. H. (1965): On the shortest arborescence of a directed graph. *Sci. Sinica*, 14, 1396—1400, [5.F].
- Chung, F. R. K., Gilbert, E. N. (1976): Steiner trees for the regular simplex. *Bull. Inst. Math. Acad. Sinica*, 4, 313—325, [5.G].
- Chung, F. R. K., Hwang, F. K. (1978): A lower bound for the Steiner tree problem. *SIAM J. Appl. Math.*, 34, 27—36, [5.G].
- Church, A. (1936): An unsolvable problem of elementary number theory. *American J. Math.*, 58, 345—363, [2.A].
- Chvátal, V., Thomassen, C. (1978): Distances in orientations of graphs. *J. Combin. Theory, 24B*, 61—75, [7.Z].
- Chvátal (pozri v [Garey, Johnson (1979)]), [8.Z].
- Itai, A. (1978): Two commodity flow. *J. ACM*, 25, 596—611, [2.B, 6.C, 6.E, 6.F].
- Itai, A., Perl, Y., Shiloach, Y. (1982): The complexity of finding maximum disjoint paths with length constraints. *Networks*, 12, 277—286, [7.Z].
- Itai (pozri Even).
- Jarník, V. (1930): O jistém problému minimálním. Práce mor. přírodořed. spol. (Brno), VII(4), 57—63, [5.B].

- Jarník, V., Kössler, M. (1934): O minimálních grafech obsahujících n daných bodů. *Časopis Pěst. Mat. Fyz.*, 63, 223—235, [5.G].
- * Jermoljev, Ju. M., Melnik, I. M. (1968): Ekstremlnye zadaci na grafech. Kiev, Naukova dumka.
- Jeroslow, R. G. (1973): There cannot by any algorithm for integer programming with quadratic constraints. *Operations Res.*, 21, 221—224, [2.B].
- Jewell, W. S. (1958): Optimal flow through networks. *Massachusetts Institute of Technology Inter. Tech. Report*, 8, [6.D].
- Jewell, W. S. (1962): Optimal flow through networks with gains. *Operations Res.*, 10, 476—499, [6.Z].
- Johnson, D. B. (1973): A note on Dijkstra's shortest path algorithm. *J. ACM*, 20, 385—388, [4.B, 4.C].
- Johnson, D. B. (1977): Efficient algorithms for shortest paths in sparse networks. *J. ACM*, 24, 1—13, [4.B, 4.Z].
- Johnson, D. S. (1974): Worst case behavior of graph coloring algorithms. *Proc. 5th S—E Conf. Combinatorics, Graph Theory, Computing*. Winnipeg, Utilitas Mathematica Publishing, 513—527, [2.Z].
- Johnson, D. S., Lenstra, J. K., Rinnooy Kan, A. H. G. (1978): The complexity of the network design problem. *Networks*, 8, 279—285, [5.Z].
- * Jucovič, E. (1981): Konvexné mnogosteny. Bratislava, Veda, [10.B].
- Judin (pozri Golštejn).
- Kajitani (pozri Kishi).
- Kameda, T. (1976): On maximally distant spanning trees of a graph. *Computing*, 17, 115—119, [7.D].
- Kariv, O., Hakimi, S. L. (1979): An algorithmic approach to network location problems I: the p-centers. *SIAM J. Appl. Math.*, 37, 513—538, [2.Z].
- Kariv, O., Hakimi, S. L. (1979a): An algorithmic approach to network location problems II: the p-medians. *SIAM J. Appl. Math.*, 37, 539—560, [2.Z].
- Kariv (pozri Even).
- Karney (pozri Glover).
- Karp, R. M. (1971): A simple derivation of Edmonds' algorithm for optimum branching. *Networks*, 1, 265—272, [5.F].
- Karp, R. M. (1972): Reducibility among combinatorial problems. Complexity of computer computations. New York, Plenum Press, 85—104, [2.B, 2.C, 2.D, 2.Z].
- Karp, R. M. (1977): Probabilistic analysis of partitioning algorithms for the traveling salesman problem in the plane. *Math. Operations Res.*, 2, 209—224, [2.E].
- Karp (pozri Edmonds, Hopcroft).

- Karzanov, A. V. (1974): Nachořenije maximalnogo potoka v seti metodom predpotokov. Dokl. Akad. Nauk SSSR, 215, 49–53, [6.B].
- Karzanov (pozri Dinic, Adel'son-Velskij).
- Kerschenbaum, A., Van Slyke, R. (1972): Computing minimum spanning trees efficiently. Proc. 25th Ann. Conf. of the ACM 1972, 518–527, [5.B].
- Kim, C. (1975): A minimal spanning tree and approximate tours for a traveling salesman. Comp. Sci. Tech. Report, University of Maryland, [9.C].
- Kim (pozri Frederickson).
- Kirchhoff, G. (1847): Über die Auflösung der Gleichungen, auf welche man bei der Untersuchung der linearen Verteilung galvanischer Ströme geführt wird. Ann. Phys. Chem., 72, 497–508, [1.A, 5.A].
- Kirkpatrick (pozri Corneil).
- Kishi, G., Kajitani, Y. (1969): Maximally distant trees and principal partition of a linear graph. IEEE Trans. Circuit Theory CT-16, 323–330, [7.D].
- Kleie, V., Larman, D. (1979): Use of Floyd's algorithm to find shortest restricted paths. Discrete optimization I. Annals of discrete mathematics 4. Amsterdam, North-Holland, 237–249, [4.D].
- Klein, M. (1967): A primal method for minimal cost flows. Management Sci., 14, 205–220, [6.D].
- Klingman (pozri Glover).
- * Knuth, D. E. (1973): The art of computer programming, 3: Sorting and searching. Reading, Mass., Addison-Wesley, (ruský preklad: Moskva 1978), [2.A].
- Knuth (pozri Garey).
- * Kotzig, A. (1961): Matematické metódy v hospodárskej praxi. Bratislava, Vydavateľstvo SAV, [predhovor].
- Koubek, V., Ríha, A. (1981): The maximum k-flow in a network. Mathematical Foundations of Computer Science 1981. Lecture Notes in Computer Science 118. Berlin, Springer-Verlag, 389–397.
- Koubek (pozri Gorálčíková).
- Kozlov, M. K., Tarasov, S. P., Chaejjan, L. G. (1979): Polinomialnaja razrešimost vypuklogoto kvadratichnogo programmirovaniya. Dokl. Akad. Nauk SSSR, 248, 1049–1051, [2.Z].
- König, D. (1931): Graphen und Matrizen. Mat. Fiz. Lapok, 38, 116–119, [8.A, 8.B].
- * König, D. (1936): Theorie der endlichen und unendlichen Graphen. Leipzig, Akademische Verlagsgesellschaft, [1.A, 1.E, 3.B, 8.Z].
- Kössler (pozri Jarník).
- Kruskal, J. B. (1956): On the shortest spanning subtree of a graph and the traveling salesman problem. Proc. Amer. Math. Soc., 7, 48–50, [5.B, 5.Z].
- Kučera, L. (1977): Expect behaviour of graph coloring algorithms. Lecture Notes in Computer Sci. 56, Berlin, Springer-Verlag, 447–451, [2.E].
- Kučera, L. (1981): Maximum flow in planar networks. Mathematical foundations of Computer Science 1981. Lecture Notes in Computer Science 118. Berlin, Springer-Verlag, 418–422, [6.B].

- Kučera, L., Nešetřil, J., Pultr, A. (1980): The complexity of dimension three and some edge covering characteristics of a graph. J. Theor. Comput. Sci., 11, 1–14, [1.Z].
- Kučera (pozri Babai).
- Kuhn, H. W. (1955): The Hungarian method for the assignment problem. Naval Res. Logist. Quart., 2, 83–97, [8.C].
- Kundu, S. (1974): Bounds on the number of disjoint spanning trees. J. Combin. Theory, 17B, 199–203, [7.Z].
- Kuratowski, K. (1930): Sur le problème des courbes gauches en topologie. Fund. Math., 15, 271–283, [10.C].
- Kwan, M. (1962): Graphic programming using odd and even points. Chinese Math., 1, 273–277, [9.B].
- Kyš, P., Wawruch, A. (1981): Point-maximal subgraphs with a given diameter, (rukopis), [2.Z].
- Larman (pozri Klee).
- Lawler, E. L. (1967): Optimal cycles in doubly weighted directed linear graphs. Theory of graphs. Paris, Dunod, 209–214, [4.D, 4.F].
- Lawler, E. L. (1971): A solvable case of the traveling salesman problem. Math. Programming, 1, 267–269, [9.Z].
- Lawler, E. L. (1972): A procedure for computing the K best solutions to discrete optimization problems and its application to the shortest path problem. Management Sci., 18, 401–405, [4.E].
- * Lawler, E. L. (1976): Combinatorial optimization: networks and matroids. New York, Holt, Rinehart and Winston, [2.E, 4.D, 4.E, 4.F, 8.B, 8.C, 8.Z].
- Lempel, A., Even, S., Cederbaum, I. (1967): An algorithm for planarity testing of graphs. Theory of graphs. Paris, Dunod, 215–232, [10.C].
- Lenstra, J. K., Rinnooy Kan, A. H. G. (1976): On general routing problems. Networks, 6, 273–280, [9.Z].
- Lenstra (pozri Johnson).
- Lesniak-Foster (pozri Behzad).
- Lewis (pozri Rosenkrantz).
- Liebl, P., Sedláček, J. (1966): Umformung von Quadratmatrizen auf Quasitrianguläre Form mit Mitteln der Graphentheorie. Aplikace mat., 11, 1–9, [3.E].
- Liu, P. C., Geldmacher, R. C. (1978): On the deletion of nonplanar edges of a graph., (rukopis), [10.Z].
- Liu (pozri Chu).
- Lloyd (pozri Biggs).
- Lovász, L. (1973): Covering and colorings of hypergraphs. Proc. 4th Southeastern Conference on Combinatorics, Graph Theory and Computing. Winnipeg, Utilitas Mathematica Publishing, 3–12, [2.D].
- Lovász, L. (1976): On two minimax theorems in graphs. J. Combin. Theory (B) 21, 96–103, [7.C].
- * Lovász, L. (1979): Combinatorial problems and exercises. Budapest, Akadémiai Kiadó, [2.E, 3.Z].

- Lovász, L. (1980): A new linear programming algorithm — better or worse than the simplex method? *The Mathematical Intelligencer*, 2, 141—146, (český překlad: Pokroky mat. fyz. astr., 26 (1981), 193—202, [2.B].)
- Lovász, L., Neumann-Lara, V., Plummer, M. (1978): Mengerian theorems for paths of bounded length. *Periodica Math. Hung.*, 9, 269—276, [7.Z].
- * Lucas, E. (1882): Isomorphism of graphs of bounded valence can be tested in polynomial time. *J. Computer System Sci.*, 25, 42—65, [11.Z].
- Mader, W. (1979): Eine Reduktionsmethode für den Kantenzusammenhang in Graphen. *Math. Nachr.*, 93, 187—204, [7.A].
- Mader, W. (1979a): Connectivity and edge-connectivity in finite graphs. Surveys in combinatorics. Cambridge, Cambridge University Press, 66—95, [7.A].
- Martynjuk, V. V. (1962): Ekonomnoje postrojenije tranzitivnogo zamykaniia binarnogo otnošenija. *Žurnal výčisl. matem. i matem. fiziki*, 2, 723—725, [3.G].
- Matijasevič, J. B. (1970): Diofantovost precíslimých množestv. *Dokl. Akad. Nauk. SSSR*, 191, 279—282, [2.A].
- Matsuyama (pozri Takahashi).
- Matula, D. W. (1978): Subtree isomorphism in $O(n^{s/2})$. Algorithmic aspects of combinatorics. *Annals of discrete mathematics* 2. Amsterdam, North—Holland, 91—106, [11.B].
- Mayer (pozri Filotti).
- Megiddo (pozri v [Garey, Johnson (1979)]), [4.D].
- Melnik (pozri Jermoliev).
- Mendelsohn, N. S., Dulmage, A. L. (1958): Some generalizations of the problem of distinct representatives. *Canad. J. Math.*, 10, 230—241, [8.Z].
- Menger, K. (1927): Zur allgemeinen Kurventheorie. *Fund. Math.*, 10, 96—115, [7.A].
- Meyer (pozri Fischer).
- Miller, G. L. (1980): Isomorphism testing for graphs of bounded genus. *Proc. Twelfth Annual ACM Symposium Th. Computing*, 225—235, [11.D].
- Miller (pozri Filotti).
- Minieka, E. (1973): Maximal, dynamic and lexicographic flows. *Operations Res.*, 21, 517—527, [6.C].
- * Minieka, E. (1978): Optimization algorithms for networks and graphs. New York, Marcel Dekker, (ruský překlad: Moskva 1981), [2.Z, 8.Z].
- Mitchell, S. L. (1979): Linear algorithms to recognize outerplanar and maximal outerplanar graphs. *Inf. Proc. Letters*, 9, 229—232, [10.Z].
- * Moon, J. W. (1970): Counting labelled trees. Montreal, Canadian Mathematical Congress, [5.Z].
- Moore, E. F. (1957): The shortest path through a maze. *Proc. Int. Symp. on Theory of Switching* 1957. Annals of the Computation Lab. of Harvard University 30, Harvard U. Press, Cambridge, 1959, 285—292, [4.B].
- Morávek, J. (1969): On the complexity of discrete programming problems. *Aplikace mat.*, 14, 442—474, [2.A].

- Munro, I. (1971): Efficient determination of the transitive closure of a directed graph. *Inform. Proc. Letters*, 1, 56—58, [3.G].
- Murty (pozri Bondy).
- Nash-Williams, C. St. J. A. (1960): On orientations, connectivity and odd-vertex-pairings in finite graphs. *Can. J. Math.*, 12, 555—567, [7.Z].
- Nash-Williams, C. St. J. A. (1961): Edge-disjoint spanning trees of finite graphs. *J. London Math. Soc.*, 36, 445—450, [7.D].
- Nash-Williams, C. St. J. A. (1964): Decomposition of finite graphs into forests. *J. London Math. Soc.*, 39, 12, [7.D].
- * Nebeský, L. (1969): Algebraic properties of trees. Praha, Acta Univ. Carolinae Monograph, [predhovor].
- * Nečas, J. (1978): Grafy a jejich použití. Praha, SNTL, [predhovor].
- Nemhauser (pozri Cornuejols, Garfinkel).
- * Nešetřil, J. (1979): Teorie grafů. Praha, SNTL, [predhovor, 2.E, 5.Z].
- Nešetřil, J., Poljak, S. (1980): Geometrické a algebraické souvislosti kombinatorické optimalizace. *Zborník SOFSEM '80. Výskumné výpočtové středisko, Bratislava*, 35—77, [2.B].
- Nešetřil, J., Pultr, A. (1977): A Dushnik-Miller type dimension of graphs and its complexity. *Lecture Notes in Computer Sci.* 56. Berlin, Springer-Verlag, 482—493, [1.Z].
- Nešetřil (pozri Kučera).
- Neumann-Lara (pozri Lovász).
- Niepel, L. (1980): On decomposition of complete graphs into factors with given diameters and radii. *Math. Slovaca*, 30, 3—11, [7.Z].
- Niepel, L., Tomasta, P. (1981): Elevation of a graph. *Czech. Math. J.*, 31(106), 475—483, [3.Z].
- Nevergold (pozri Reingold).
- * Noltemeier, H. (1976): Graphentheorie mit Algorithmen und Anwendungen. Berlin, Walter de Gruyter, [4.B].
- Norman, R. Z., Rabin, M. (1959): Algorithm for a minimal cover of a graph. *Proc. Amer. Math. Soc.*, 10, 315—319, [8.Z].
- Norman (pozri Harary).
- Nožička (pozri Blížík, Fiedler).
- Onaga, K. (1967): Optimal flows in general communication networks, *J. Franklin Inst.*, 283, 308—327, [6.Z].
- Orden, A. (1956): The transshipment problem. *Management Sci.*, 3, 276—285, [6.D].
- Orloff, C. S. (1974): A fundamental problem in vehicle routing. *Networks*, 4, 35—64, [9.Z].
- Palumbíny, D., Znám, Š. (1973): On decompositions of complete graphs into factors with given radii. *Mat. časop.*, 23, 306—316, [7.Z].
- Pan (pozri v [Tajjan (1980)]), [3.G].
- Papadimitriou, C. H. (1976): On the complexity of edge traversing. *J. ACM*, 23, 544—554, [9.B].
- Parter (pozri Auslander).
- Patterson (pozri Davis).

- Perl (pozri Itai).
 Petersen, J. (1891) : Die Theorie der regulären Graphs. *Acta Math.*, 15, 193—220, [8.A, 8.Z].
- Plesník, J. (1975) : Critical graphs of given diameter. *Acta Fac. R. N. Univ. Comen. Math.*, 30, 71—93, [7.Z].
- Plesník, J. (1976) : Minimum block containing a given graph. *Archiv Math. (Basel)*, 27, 668—672, [3.C].
- Plesník, J. (1979) : The NP-completeness of the hamiltonian cycle problem in planar digraphs with degree bound two. *Inf. Processing Letters*, 8, 199—201, [2.D].
- Plesník, J. (1980) : Coloring of graphs by partitioning. *Math. Slovaca*, 30, 121—126, [2.Z].
- Plesník, J. (1980a) : On the computational complexity of centers locating in a graph. *Appl. Math.*, 25, 445—452, [2.Z].
- Plesník, J. (1981) : A bound for the Steiner tree problem in graphs. *Math. Slovaca*, 31, 155—163, [5.G].
- Plesník, J. (1981a) : The complexity of designing a network with minimum diameter. *Networks*, 11, 77—85, [5.Z].
- Plesník, J. (1981b) : A note on the complexity of finding regular subgraphs, (rukopis), [8.Z].
- Plesník, J. (1982a) : Complexity of decomposing graphs into factors with given diameters or radii. *Math. Slovaca*, 32, 379—388, [7.Z].
- Plesník, J. (1982) : Equivalence between the minimum covering problem and the maximum matching problem, (rukopis), [8.Z].
- Plesník, J., Wawruch, A. (1981) : On the complexity of finding degree constrained subgraphs. *Acta Math. Univ. Comen.*, 40—41, 215—218, [8.D].
- Plummer (pozri Lovász).
- Pojak, S., Rödl, V., Turzik, D. (1981) : Set representation of graphs and its complexity. *Discrete Appl. Math.*, (v tlači), [1.Z].
- Poříček (pozri Nešetřil).
- Ponstein, J. (1972) : On the maximal flow problem with real arc capacities. *Math. Programming*, 3, 254—256, [6.A].
- Pósa, L. (1976) : Hamiltonian circuits in random graphs. *Discrete Math.*, 14, 359—364, [2.E].
- Prim, R. C. (1957) : Shortest connection networks and some generalizations. *Bell System Tech. J.*, 36, 1389—1401, [5.B].
- Pulleblank, W. R. (1979) : A note on graphs spanned by Eulerian graphs. *J. Graph Theory*, 3, 309—310, [9.Z].
- Pultr (pozri Kučera, Nešetřil).
- Rabin (pozri Norman).
- Rao (pozri Dantzig).
- Read, R. C., Corneil, D. G. (1977) : The graph isomorphism disease. *J. Graph Theory*, 1, 339—363, [11.Z].
- Reckhow (pozri Cook).
- Rédei, L. (1934) : Ein kombinatorischer Satz. *Acta Litt. Szeged*, 7, 39—43, [1.A, 1.Z].
- Reif (pozri Filotti).

- * Reingold, E. M., Nievergelt, J., Deo, N. (1977) : Combinatorial algorithms: Theory and practice. Englewood Cliffs, New Jersey, Prentice-Hall, Inc., (ruský preklad : Moskva 1980), [2.E].
- Richardson, M. (1946) : On weakly ordered systems. *Bull. Amer. Math. Soc.*, 52, 113—116, [3.Z].
- Rimnoy Kan (pozri Johnson, Lenstra).
- Robbins, H. E. (1939) : A theorem on graphs with an application to a problem of traffic control. *Amer. Math. Monthly*, 46, 281—283, [3.Z].
- Rosa (pozri Bosák).
- Rosenkrantz, D. J., Stearns, R. E., Lewis, P. M. (1977) : An analysis of several heuristics for the traveling salesman problem. *SIAM J. Comput.*, 6, 563—581, [9.C, 9.Z].
- Rosenthal, A., Goldner, A. (1977) : Smallest augmentations to biconnect a graph. *SIAM J. Comput.*, 6, 55—66, [3.C].
- Rotschild, B., Winston, A. (1966) : On two-commodity network flows. *J. ORSA*, 14, 1121—1129, [6.E].
- Rödl (pozri Poljak).
- Říha (pozri Koubeš).
- Saaty (pozri Busacker).
- Sahni, S. (1974) : Computationally related problems. *SIAM J. Comput.*, 3, 262—279, [2.Z, 6.F, 6.Z].
- Sahni, S., Gonzalez, T. (1976) : P-complete approximation problems. *J. ACM*, 23, 555—565, [2.C, 2Z, 9.C].
- * Sachs, H. (1970) : Einführung in die Theorie der endlichen Graphen. Teil I. Leipzig, Teubner.
- * Sachs, H. (1972) : Einführung in die Theorie der endlichen Graphen. Teil II. Leipzig, Teubner.
- Safarovitch, M. (1973) : Two-commodity network flows and linear programming. *Math. Programming*, 5, 1—20, [6.E].
- Sedláček, J. (1957) : O konečných orientovaných grafech. *Časop. Pěst. Mat.*, 82, 195—215, [3.B].
- Sedláček, J. (1959) : O jednom typu dobré orientovaných grafi. *Časop. Pěst. Mat.*, 84, 7—15, [3.Z].
- * Sedláček, J. (1964) : Kombinatorika v teorii a praxi (Úvod do teorie grafi). Praha, Nakladatelství ČSAV, [predhovor].
- * Sedláček, J. (1977, 1981) : Úvod do teorie grafi. Praha, Academia, [predhovor, 1.B].
- Sedláček (pozri Liebl).
- Sekanina, M. (1960) : On an ordering of the set of vertices of a connected graph. *Spisy Přírod. Fak. Univ. Brno*, 137—141, [9.Z].
- Shamir (pozri Even).
- Shiloach, Y. (1980) : A polynomial solution to the undirected two path problem. *J. ACM*, 27, 445—456, [6.Z].

- Schnorr, C. P. (1977) : An algorithm for transitive closure with linear expected time. Fachbereich Mathematik, Universität Frankfurt, [3.G].
- Schrijver (pozri Gröschel).
- Slater, P. J. (1975) : Leaves of trees. Proc. 6th S—E conf. combinatorics, graph theory and computing : Congressus Numerantium 17. Winnipeg. *Utilitas Math.*, 549—559, [3.C].
- computing : Congressus Numerantium 17. Winnipeg. *Utilitas Math.*, 549—559, [3.C].
- Steator, D., Tarjan, R. E. (1980) : An O($n \ln m \log n$) algorithm for maximum network flows. Twenty-first Ann. Symp. on Found. Computer Sci., [6.B].
- Spencer (pozri Erdős).
- Stadel, M. (1978) : A remark on the time complexity of the subtree problem. Computing, 19, 297—302, [11.B].
- Stearns (pozri Rosenkrantz).
- Steinitz, E. (1922) : Polyeder und Raumenteilungen. Encyklopädie der Mathematischen Wissenschaften IIIAB12, 1—139, [10.B].
- Stewart (pozri Golden).
- Stockmeyer (pozri Garey).
- Strassen, V. (1969) : Gaussian elimination is not optimal. *Numerische Math.*, 11, 354—356, [3.G].
- Sylvester, J. J. (1978) : Chemistry and algebra. *Nature*, 17, 284, [1.A].
- Syslo, M. M. (1973) : A new solvable case of the traveling salesman problem. *Math. Programming*, 4, 347—348, [9.Z].
- Šíráň, J. (1981) : Additivity of the crossing number of graphs with connectivity 2., (rukopis), [10.Z].
- * Taha, H. A. (1975) : Integer programming. New York, Academic Press, [2.B, 2.C].
- Takahashi, H., Matsuyama, A. (1980) : An approximate solution for the Steiner problem in graphs. *Math. Japonica*, 24, 573—577, [5.G].
- Tarasov (pozri Kozlov).
- Tarjan, R. E. (1972) : Depth-first search and linear graph algorithms. *SIAM J. Comput.*, 1, 146—160, [3.A, 3.B, 3.D, 3.E].
- Tarjan, R. E. (1974) : A good algorithm for edge-disjoint branchings. *Inf. Processing Letters*, 3, 51—53, [7.C].
- Tarjan, R. E. (1975) : Efficiency of a good but not linear set union algorithm. *J. Assoc. Comput. Mach.*, 22, 215—225, [5.B].
- Tarjan, R. E. (1976) : Edge-disjoint spanning trees and depth-first search. *Acta Informatica*, 6, 171—185, [7.C, 7.D].
- Tarjan, R. E. (1977) : Finding optimum branchings. *Networks*, 7, 25—35, [5.F].
- Tarjan, R. E. (1980) : Recent developments in the complexity of combinatorial algorithms. Fifth IBM Symposium on Foundations of Computer Science (Computational Complexity), Tokyo, [11.Z].
- Tarjan (pozri Eswaran, Even, Garey, Hopcroft, Cheriton, Sleator).
- Tarjan (pozri v [Karp (1972)]), [2.D].
- Tarry, G. (1895) : Le problème des labyrinthes. *Nouvelles Ann. Math.*, 14, 187—190, [3.A].
- Thomassen (pozri Chvátal).
- Whitney, H. (1932) : Congruent graphs and the connectivity of graphs. *Amer. J. Math.*, 54, 158—168, [7.A].
- Whitney, H. (1932a) : Non-separable and planar graphs. *Trans. Amer. Math. Soc.*, 34, 339—362, [10.C].
- Whitney, H. (1933) : A set of topological invariants for graphs. *Amer. J. Math.*, 54, 231—235, [10.B].
- Wilson (pozri Biggs).
- Wong (pozri Hopcroft).

- Toman, E. (1979) : Geometričeskoje strojenije slučajnych bulevych funkciij. Problemy kibernetiki, 35, 111—132, [1.Z].
- Tomasta (pozri Nispel).
- Tomová, E. (1977) : Decomposition of complete bipartite graphs into factors with given diameters. *Math. Slovaca*, 27, 231—237, [7.Z].
- * Trávník, I., Vlach, J. (1975) : Sieťová analýza. Bratislava, Alfa, [4.A].
- Trémaux (pozri v [Lucas (1882)]), [3.A].
- Treybing (pozri Borosh).
- Turing, A. M. (1936) : On computable numbers, with an application to the Entscheidungsproblem. *Proc. London Math. Soc.* (ser. 2), 42, 230—265, [2.A].
- Tutte, W. T. (1947) : The factorization of linear graphs. *J. London Math. Soc.*, 22, 107—111, [8.A].
- Tutte, W. T. (1954) : A short proof of the factor theorem for finite graphs. *Canad. J. Math.*, 6, 347—352, [8.D].
- Tutte, W. T. (1961) : On the problem of decomposing a graph into n connected factors. *J. London Math. Soc.*, 142, 221—230, [7.D].
- Tutte, W. T. (1963) : How to draw a graph. *Proc. London Math. Soc.*, 13, 743—767, [10.C].
- Ullman (pozri Aho).
- Van Slyke (pozri Kerschenbaum).
- Vlach (pozri Trávník).
- Wagner, K. (1936) : Bemerkungen zum Vierfarbenproblem. *Jahresber. Deutsch. Math.-Verein.*, 46, 26—32, [10.B].
- Wagner, R. A. (1976) : A shortest path algorithm for edge-sparse graphs. *J. ACM*, 23, 50—57, [4.B].
- Wagner, R. A. (pozri Dreyfus).
- * Walther, H. (1979) : Anwendungen der Graphentheorie. Berlin, VEB Deutscher Verlag der Wissenschaften.
- Warshall, D. (1962) : A theorem on Boolean matrices. *J. ACM*, 9, 11—12, [3.G, 4.C].
- Wavruch (pozri Kyš, Plesník).
- Weinberg, L. (1966) : A simple and efficient algorithm for determining isomorphism of planar triply connected graphs. *IEEE Trans. on Circuit Theory CT-13*, 142—148, [11.C, 11D].
- Whinston (pozri Rotschild).
- Whitney, H. (1932) : Congruent graphs and the connectivity of graphs. *Amer. J. Math.*, 54, 158—168, [7.A].
- Whitney, H. (1932a) : Non-separable and planar graphs. *Trans. Amer. Math. Soc.*, 34, 339—362, [10.C].
- Whitney, H. (1933) : A set of topological invariants for graphs. *Amer. J. Math.*, 54, 231—235, [10.B].
- Wilson (pozri Biggs).
- Wong (pozri Hopcroft).

PREHĽAD OZNÁČENÍ

- Wyllie (pozri Fortune).
 Yao, A. C. (1975): An $O(|E| \log \log |V|)$ algorithm for finding minimum spanning trees.
 Inf. Processing Letters, 4, 21–23, [5.B].
- Yen, J. Y. (1971): Finding the K shortest loopless paths in a network. Manag. Sci., 17, 712–716, [4.E].
- Yen, J. Y. (1972): Finding the lengths of all shortest paths in N-node nonnegative-distance complete networks using $\frac{1}{2} N^3$ additions and N^2 comparisons. J. ACM, 19, 423–424, [4.Z].
- Zadéh, N. (1972): Theoretical efficiency of the Edmonds-Karp algorithm for computing maximal flows. J. ACM, 19, 184–192, [6.B].
- Zadéh, N. (1973): A bad network problem for the simplex method and other minimum cost flow algorithms. Math. Programming, 5, 255–266, [2.B, 6.D].
- Zajcev (pozri Dinic).
- Zelinka, B. (1975): On certain distance between isomorphism classes of graphs. Časop. pěst. mat., 100, 371–373, [11.Z].
- * Zelinka, B., 1977: Rovinné grafy. Praha, Mladá fronta, [predhovor].
- Znám (pozri Bosák, Palumbíny).
- * Zykov, A. A. (1969): Teoriya konečnych grafov. Novosibirsk, Nauka.
- Zykov, A. A. (1974): Gipografy. Uspechi mat. nauk, 29, 89–154, [2.E].

$x := y$	definitoričká rovnosť (symbol x dostáva hodnotu symbolu y)
$[x]$	dolná celá časť čísla x (najväčšie celé číslo nepresahujúce x)
$[x]$	horná celá časť čísla x (najmenšie celé číslo nie menšie ako x)
$A \cup B$	zjednotenie množín
$A \cap B$	priek množín
$A - B$	rozdiel množín
\bar{A}	komplement množiny A do základnej množiny (často $\bar{A} = V_g - A$)
$A \subseteq B$	A je podmnožinou množiny B
$A \subset B$	A je vlastnou podmnožinou množiny B
$x \in A$	x patrí do A
$x \notin A$	x nepatrí do A
$ A $	mohutnosť (počet prvkov) množiny A , absolútna hodnota čísla A
$\{x P\}$	množina všetkých prvkov x s vlastnosťou P
$\varphi: A \rightarrow B$	zobrazenie (funkcia) množiny A do množiny B
φ^{-1}	inverzné zobrazenie k φ
(x, y)	usporiadaná dvojica, šíp xy
$A \times B$	$\{(x, y) x \in A, y \in B\}$
(x_1, x_2, \dots, x_n)	usporiadaná n -tica
$A \times B \times C$	$\{(x, y, z) x \in A, y \in B, z \in C\}$
$[x, y]$	neusporiadaná dvojica, rebro xy
$A \circ B$	$\{[x, y] x \in A, y \in B\}$
xy	súčin čísel x a y , rebro s krajmi x a y , šíp orientovaný $z x $ do y
$x \vee y$	disjunkcia (výrokov v logike)
$x \wedge y$	konjunkcia
\bar{x}	negácia
$x \Rightarrow y$	implikácia
$x \Leftrightarrow y$	ekvivalencia
$H \subseteq G$	H je podgrafom grafu G
$H \subset G$	H je vlastným podgrafom grafu G
$H \cong G$	H a G sú izomorfné
$G(S)$	vrcholovo-indukovaný podgraf na S

АЛГОРИТМЫ НА ГРАФАХ

Резюме

$G \langle S \rangle$	obal (hranovo indukovaný podgraf) na S
$G - S$	maximálny podgraf grafu G neobsahujúci S
\bar{G}	komplementárny graf ku G
K_n	komplementárny graf s n vrcholmi
$V(G), V_G$	vrcholová množina grafu G
$E(G), E_G$	hranová množina grafu G
$n(G), n_G, n$	počet vrcholov grafu G
$m(G), m_G, m$	počet hrán grafu G
$V(v)$	(presnejšie: $V_G(v)$) vrcholové okolie vrcholu v (množina okolitých vrcholov)
$V^-(v)$	prichádzajúce vrcholové okolie
$V^+(v)$	odchádzajúce vrcholové okolie
$V^0(v)$	neutralné vrcholové okolie
$E(v)$	(presnejšie: $E_G(v)$) hranové okolie vrcholu v (množina hrán incidentných s vrcholom v)
$E^-(v)$	prichádzajúce šípové okolie
$E^+(v)$	odchádzajúce šípové okolie
$E^0(v)$	rebrové okolie
$\deg(v)$	(presnejšie: $\deg_G(v)$) (celkový) stupeň vrcholu v
$\deg^-(v)$	prichádzajúci stupeň
$\deg^+(v)$	odchádzajúci stupeň
$\deg^0(v)$	rebrový stupeň
S^{-1}	obrátený sled k sledu S
$d(u, v)$	(presnejšie: $d_G(u, v)$) vzdialenosť vrcholov u a v
$\text{ex}(u)$	(presnejšie: $\text{ex}_G(u)$) excentricita vrcholu u
$\text{ex}^-(u)$	prichádzajúca excentricita
$\text{ex}^+(u)$	odchádzajúca excentricita
$\text{diam}(G)$	diameter
$\text{rad}(G)$	radius
$f(x)$	velkosť toku x
$f^*(x)$	čistý odtok toku x z S
$f_t(x)$	čistý prítok toku x do t
$(A, B)_G$	hranový rez digrafu G
$[A, B]_G$	hranový rez grafu G
$\lambda(G)$	hranová sívislosť grafu G
$\chi(G)$	vrcholová sívislosť grafu G
$\lambda(u, v)$	mohutnosť minimového hranového $u-v$ rezu
$\kappa(u, v)$	mohutnosť minimového vrcholového $u-v$ rezu
$\chi(G)$	chromatické číslo (farebnosť) grafu G

В книге излагаются основные алгоритмы на графах. Большинство из них изложено детально и без требований на специальную математическую подготовку, но определенная математическая зрелость необходима. Материал делится на 11 глав, каждая из которых сопровождается упражнениями и дополнительными замечаниями.

Вводная глава 1 содержит основные понятия теории графов. Глава 2 содержит неформальное введение в алгоритмы. Понятие полиномального преобразования здесь иллюстрируется многими примерами включая задачу линейного программирования. Затем вводятся NP-трудные и NP-эквивалентные задачи и показывается несколько основных NP-трудных задач, например задача нахождения гамильтонова цикла. В главе 3 описываются методы поиска в неориентированном графе или лабиринте и затем расширяются для нахождения связных компонент, блоков, точек сочленения, листов и мостов. Рассматривается проблема наименьшего блока или листа сдергивающего граф. Аналогичные методы предложены и для ориентированных графов. Кроме того рассмотрены транзитивное замыкание и редукция. В главе 4 находятся алгоритмы для оптимальных путей взвешенных графах. Особенно изучаются алгоритмы для кратчайших путей. Также рассмотрены кратчайшие пути с ограничениями и все кратчайшие пути.

Деревья и главным образом остевые деревья изучаются в главе 5. Кроме классической задачи минимального остовного дерева, рассматриваются некоторые обобщения: минимальное остовное дерево с заданной степенью одной вершины, или остовное дерево с минимальным отношением двух весов. Тоже дан алгоритм для минимального иерархического дерева. Задача дерева Штейнера решается точным и приближенным алгоритмом.

Глава 6 имеет дело с потоками и начинает классическим алгоритмом Форда а Фалкерсона. Затем даны полиномиальные алгоритмы для максимального потока. Глава продолжается с вариантами основной задачи. Классическая транспортная задача, проблема потока минимальной стоимости с одним приложением и неориентированная двухпродуктовая задача, тоже включаются. В конце главы некоторые теоретические обсуждения других потоковых задач. Две части главы 7 содержат специальные потоковые вопросы: вершинная или реберная связность. Многополосные задачи анализа и синтеза основаны на Гомори и Ху. Как мера связности графа, выступает и максимальное число непересекающихся остовых деревьев.

Паросочетания обсуждаются в главе 8. Употребление чередующихся цепей демонстрировано на двух алгоритмах Эдмонса (паросочетание максимальной мощности и паросочетание максимальной цены). В одной части этой главы исследуется проблема

нахождения подграфа с заданными степеньями вершин. Глава 9 включает проблему эйлеровых циклов, китайского почтальона и задачу коммивояжера.

Последние две главы относятся к плоским графам: Глава 10 содержит некоторые классические теоремы о плоских графах и в общих чертах один алгоритм для расположения графа в плоскости. Изоморфное вхождение одного дерева в другое и изоморфизм плоских графов изучаются в главе 11.

GRAPH ALGORITHMS

Summary

The book provides main graph algorithms. Most of them are discussed in details and without prerequisites to a special mathematical background, but certain mathematical maturity is necessary. The material is divided into eleven chapters each of which is supplemented by exercises and additional remarks.

The introductory Chapter 1 contains basic graph definitions. Chapter 2 contains an informal introduction to algorithms. The notion of polynomial transformation is illustrated by several examples including the problem of linear programming. Then NP-hard and NP-equivalent problems are introduced and some basic problems are shown to be NP-hard, for example the hamiltonian cycle problem.

In Chapter 3 methods of exploring an undirected graph or a maze are described and these are also extended for finding components, blocks, cutvertices, leaves and bridges. The problem of smallest augmentation of a given graph to a block or a leaf is studied. Analogous methods are developed for directed graphs. In addition, the transitive closure and reduction are considered. Chapter 4 deals with optimal paths in weighted graphs. Especially shortest-path algorithms are presented. Constrained shortest paths and all shortest paths can be found there.

Trees and mainly spanning trees are studied in Chapter 5. In addition to the classical minimum spanning tree problem, some generalizations are considered: a minimum spanning tree with prescribed degree of a vertex, or a minimum-ratio spanning tree (each edge has two weights). An algorithm for a minimal directed spanning tree is also given. The problem of finding Steiner minimum tree is studied and an approximation algorithm, in addition to an exact method, is presented.

Chapter 6 deals with flows and begins with the classical algorithm of Ford and Fulkerson. Then some polynomial algorithms for a maximal flow are shown. The chapter continues with variations of the basic problem. The classical transportation problem, the problem of a minimum cost flow with an application, and the two-commodity (undirected) flow problem are included too. Finally, some theoretical considerations about other flow problems are presented. Two parts of Chapter 7 contain so special flow problems as finding the vertex, or edge connectivities of a graph. The multiterminal analysis and synthesis are based on Gomory and Hu. As a measure of connectivity of a graph, the maximal number of disjoint spanning trees is used.

Matchings are discussed in Chapter 8. The usefulness of alternating paths is demonstrated by two Edmonds' algorithms (one for the cardinality matching problem and the second for the weighted matching problem). A part of the chapter is devoted to spanning subgraphs

with prescribed degrees. Chapter 9 includes eulerian trails, the Chinese postman's problem, and the traveling salesman problem.

Two last chapters deal with planar graphs. Chapter 10 contains some classical theorems about planar graphs and an outline of a planarity algorithm. The subtree problem and the isomorphism problem for planar graphs are treated in Chapter 11.

REGISTER

- algoritmus** 40
 - , najdlhšia 115
 - , najkratšia 111
 - , v grafe 124
 - , najššia 131
 - s najväčšou otáčkovanou šírkou 132
 - , zväčšujúca 240
 - cesty, hranovo disjunktne 220
 - , M najkratších 129
 - , vnútorné disjunktne 220
- cirkulácia** 193, 216
- CPM** 114, 136
- cyklus** 24
 - (p-cyklus) 24
 - , hamiltonovský 38, 273
 - , najkratší 273
 - s maximálnym ziskom 133
 - , záporný 123
- deorientácia pseudomagrafu** 22, 108
- diagram** 20
- diagram, duálny** 294
- blok** 79
 - , rovinný 20, 281
 - , stérický 284
 - , úsečkový 286
- diagramy, ekvivalentné** 284
- centrum grafu** 39
 - stromu 39
 - (p -centrum) 70
- cesta** 24
 - , alternujúca 240
 - , hamiltonovská 38, 61, 91
 - , kritická 136
 - , jednostranne stívivý 91
- báza kvetu** 245
- blok** 79
 - , izolovaný 81
 - , koncový 81
- činnosť, kritická** 136
- číslo, cyklotomické** 138
- artikulácia** 79
- automorfizmus** 22
 - , silný 300
- analyza grafu** 224
 - projektu 113
 - approximácia 53
 - artikulácia 79
 - automorfizmus 22
 - , silný 300
- projektu** 113
- approximácia** 53
- artikulácia** 79
- automorfizmus** 22
- silný** 300
- strelka** 24
- stromu** 39
- cesta** 24
- alternujúca** 240
- hamiltonovská** 38, 61, 91
- acyklický** 31
- hranový** 279
- jednostranne stívivý** 91

- , kompletnej 30
 — projektu 114
 —, silne súvislý 91
 —, slabo súvislý 91
 —, ohodnotený 34
 —, Petersenov 294
 —, planárny 20, 281
 —, maximálny 283
 —, pravidelný (stupňa k) 29
 —, prázdný 30
 —, prienikový 39
 —, sietový 114
 — — — list 86
 — digrafu na silne súvislý 99
 dvojartikulácia, koncová 307
 eccentricita 27
 —, odchádzajúca 27
 —, prichádzajúca 27
- faktor** 22
 —, lineárny (1-faktor) 256
 —, pravidelný 256
 — s predpisanými stupňami 256
 farbenie vrcholov grafu 58
 — hypergrafu 57
 farebnosť grafu 58
 forma, konjunktívna normálna 50
 funkcia, úcelová 45, 53
- graf** 18
 — bipartitný 30
 —, blokovo-artikulačný 81
 —, eukleovský 261
 — hamiltonovský 273
 — komplementárny 30
 — k-partitný 30
 — kubický 29
 — kvadratický 29
 — lineárny 29
 —, nekonečný 23
 —, nesúvislý 27
- izomorfizmus 22, 296, 300
 —, silný 300
- jadro** 109
- kapacita hrany 173
 — rezu 176
 — vrcholu 186
 kapacity špov (najlacnejšie zväčšenie) 201
 kauzula 51
 kocka 39
 komplement grafu 30
 komponent pseudomagrafu 26
 (3-komponent) 306
 (—, koncový) 307
 —, izolovaný 88
 — digrafu, jednostranný 92
 — —, silný 92
 — —, slabý 92
 koniec hrany 21
 kondenzácia, listová 86
 —, digrafu 92
 koreň 77, 96, 245
 kostra 27, 137
 —, najlacnejšia 139
 — —, zdvojová 157
 — s minimálnym pomerom dvoch ohodnotení 150
 —, susedná 140
 kostry, disjunktívne 235
 — —, zdvojové 232
 kraj hrany 21
 — polosledu 24
- kŕivka**, nákladová, projektu 218
- kúsok 291
 kvet 245
- labyrint 72
- les 31
- obal** 22
 očislovanie vrcholov digrafu, monotonne 97
- odtok, čistý 174
 ohodnotenie pseudomagrafu 34
 ohriadenia, kapacitné 173
 okolie, hranové 21
- , neutrálne vrcholové 21
 —, odchádzajúce šípové 21
 —, vrcholové 21
 —, prichádzajúce šípové 21
 —, vrcholové 21

- matica incidenčná 37
 —, susedská 35
- matroidy 69
- medián (p-median) 70
 medza na tok, dolná 186
 metóda bisekcie 48, 134
 — dynamického programovania 67
- , Edmonosova 243, 251
- elipsoidová 46
 —, Christofidesova 277
- , maďarská 200, 249
- pažtráv 68
- simplexová 45, 196
 — vverenia a ohrančovania 67
- , zdvojenia kostry 275
- metódy, pravdepodobnostné 68
- migráf 18
- mnohosten (= polyéder) 286
 —, pravidelný 294
- množina, absorbujuca 109
 —, dominujúca 70
 —, nezávislá 59, 109
- multidraf 18
 multigraf 18
 multimograf 18
- most
- nasledovník 21
 násobnosť dvojice 21
 — hrany 21
- neslučka 21
- nesúvislý** 30
- vnoriteľný do guľovej plochy 284
- vonkajškovo-planárny 294
- grafy homeomorfné 288
- , izomorfné 22
- elevácia 109
- heuristika 54
- hodnota toku 174
- hrana 18
 — incidentná s vrcholom 21
 —, krížová 95
 —, nasýtená 175
 — neorientovaná 21
 — nepáriaca 240
 — odchádzajúca 21
 — orientovaná 21
 — páriaca 240
 — priama 95
 — prichádzajúca 21
 — spätná 76, 95
 — stromová 76, 95
 —, tranzitívna 102
- hrany, násobné 18, 21
 —, nezávislé 240
 — polosledu, nesúhlasné 24
 — —, súhlasné 24
 —, rovnoberžné (= paralelné) 21
 —, susedné 21
- hypergraf 57
- chorda 76, 137, 289

- , rebrové 21
 - , vrcholové 21
 - orientácia pseudomigraťu 22, 108, 239
 - otec 76
- palma** 76
- párenie 240
 - , maximálne 240
 - , najcennejšie 240
 - , najpočetnejšie 240
 - , úplné 240
 - , 3-rozmerné 55
- partia vrcholov 30
- PERT 114, 136
- plocha rodu *g*
- RAM 42
 - , Turingov 41
 - podgraf 22
 - , hranovo-indukovaný 22
 - , indukovaný (vrcholovo-indukovaný) 22
 - , maximový kompletný 59
- kubický 260
 - , steinerovský 164
 - , vlastný 22
- podgrafy, hranovo disjunktívne 22
 - , (vrcholovo) disjunktívne 22
 - podmienky kontinuity 173
 - ortogonalita 45
 - podstron, izomorfny 298
 - podkrytie, hranové (vrcholov) 260
 - , presné 3-množinami 57
 - , vrcholové (hrán) 59, 243, 260
- polocesta 24
 - , rezervná 176
 - , zväčšujúca 176
- polocyklus 24
 - (*P*-polocyklus) 26
- polocykly, nezávislé 137
- polomer (= rádius) 28
- polosled 24
 - , netriňávajúcy 24

- , rebrový 24
 - , orientovaný 24
 - , otvorený 24
 - , triviálny 24
 - , uzavretý 24
- polosledy, nezávislé 137
- polotah 24
- polyeder 286
- postup do hĺbky 76, 95
 - šírky 77
- prameň 29
- predchodec 21
- priemer (= diameter) 28
- rieplenosť hrany 173
- priesčnik 20, 294
- prieskum digrafov 93
- grafov 72
 - , Tarryho 73, 93
 - , Trémauxov 75, 95
- princip optimality 67
- problém, algoritmickej nerozložiteľný 41
- mostov 12
 - multicentra 70
 - multimediu 70
 - NP-ekvivalentný 50
 - NP-fažký 50
 - NP-ípíný 50
 - optimalizačný 50, 53
 - priradovací 249
 - pochôdzky, všeobecny 280
 - rozhodovací 50
 - splnieťnosti 50
 - Steinerov 163
 - ťiroch farieb 14
 - rezervná 176
- , zväčšujúca 176
- polocyklus 24
 - (*P*-polocyklus) 26
- polocykly, nezávislé 137
- polomer (= rádius) 28
- polosled 24
 - , netriňávajúcy 24
- , s ohaničeniami 124
 - , najspolahlivejši 113
- slučka 21
- splnieťnosť (boolevskej formy) 50, 190
 - 3-splnitelnosť 54
- stena diagramu 281
 - , vonkajší 251
- rádius (= polomer) 28
 - rebro 18, 21
 - , slučkové 21
- redukcia, polynomiálna 44
 - , tranzitívna 102
- rekurzia 67
 - , orientovaný 33
 - , označovaný 296
 - , steinerovský 164
 - , stokový 33
 - , zdrojový 33
 - , -, najlacnejší 157
- stupeň vrcholu 28, 38
 - , celkový 28
 - , odchádzajúci 28
 - , -, prichádzajúci 28
 - , -, rebrový 28
- sused kostry 140
 - súvislosť digrafa 91
 - , jednostranná 91
 - , silná 91
 - , slabá 91
- , rozdielenie množin 57
- rozdielenie vrcholov acyklického digrafu 97
 - , distančný 116
- rozsietenie, bázické 45
 - , prípusné 45
 - , optimálne 45
- rovnice, binárne 48
 - rovinka, polynomická 41
 - rozdielenie multimnožiny čísel 48
 - rozklad grafa na faktory 235, 239, 259
- prvok pseudomigraťu 21
 - prvky, incidentné 21
- pseudodigraf 18
 - , rovnovážny (= rovnovážne orientovaný) 29
- separátor 219

- syntéza grafu 229
- systém kiester, najobjemnejší 235
- rozličných reprezentantov 216
- šíp** 18, 21
 - , stučkový 21
 - , říšip, nesúhlásne rovnobežné 18
 - , rozlišiteľné 302
 - šírka cesty 131, 172
 - , očakávaná 132
 - , grafu, pásová 110
 - hrany 131, 172
 - štruktúra, grafová 18
- teleso, platónske** 294
- tok** 173
 - , acylický 216
 - , blokujúci 175
 - , celočíselny 179, 192, 195, 206
 - , dvojproduktový 202, 205, 212, 213, 215
 - , —, — s dolnými medzami 212, 215
 - , homologický 209, 215
 - , lexikograficky maximálny 186
 - , maximálny 174
 - , —, najlacnejší 192
 - , minimálny 187, 189
 - po rebre 189
 - , prípustný 187
 - s násobičmi 217
 - s požiadavkami 213
 - , selektívny 210
 - , viacproduktový 201, 210
 - transformácia 44
 - , polynomiálna 44
 - triangulácia, rovinná 283
 - trieda homologických hrán 209
 - NP 50
 - triedy, základné 302
 - triedenie 43
 - tryvanie činnosti 113, 136, 217
 - projektu 115, 136, 218
 - tunaj 16
 - tah 24

- dosiahnutelný (z vrcholu) 27
- , koncový (šípa, polosledu, stromu) 21, 24, 33
 - , krajný 21
 - , nulový 29
 - , okolitý 21
 - , párený 240
 - , pokrytý 240
 - , prechodový 173
 - , rovnovážny 29
 - , volný 240
- vrcholník (p-uholník) 26
- úloha, approximačná 53
- autožriavu 279
- binárneho lineárneho programovania 47
- celočíselného lineárneho programovania 47
- čínskeho poštára 265
- dopravná 195
- , —, klasická (Hitchcockova) 196
- , hamiltonovská 61
- k čínskych poštárov 270
- kvadratického programovania 71
- lineárneho programovania 44
- , —, duálna 45
- , NP-tažká a pod. (pozri problém) 50
- , —, — o binárnom batohu 48
- celočíselnom batohu 48
- maximálnom toku 173
- obchodného cestujúceho 273
- optimizačná 50, 53
- triedenia 43
- videckého poššára 280
- úroveň 97
- úsek polosledu 24
 - , —, vlastný 24
- usporiadanie (triedenie) 43
 - , monotonéne (topologicke) 97
- ústie 29
- uzaver, tranzitívny 101
- velkosť toku 174
- veta Königova-Hallová 242
 - , Mengerova 220
 - o dualite, silná 45
 - — —, slabá 45
 - vetva 88
- vnorenie grafu 284
- vrchol 18
 - , centrálny 28

GRAFOVÉ ALGORITMY

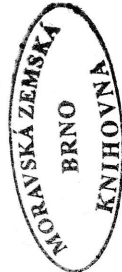
RNDr. Ján Plesník, CSc.

str — — — — —
 ſy — — — — —
 ſy — — — — —
 ſp — — — — —
 ſp — — — — —
 ſr — — — — —
 — — — — —

Obálku a väzbu navrhol Milan Chvíla
 Zodpovedná redaktorka publikácie Katarína Kenižová
 Technická redaktorka publikácie Gabriela Szabóová
 Korektorka Eva Kanská

— — Vydanie prvé. Vydala VEDA, vydavateľstvo Slovenskej
 akadémie vied, v Bratislave r. 1983 ako 2408, publikáciu.
 Strán 344. Náklad 1500 výtlačkov. AH 21,91 (text
 18,50, ilustrácie 3,41), VH 22,52. Vytláčili ZT, n. p.,
 závod Svetnosť, Bratislava.

1197/I-1973
 71-023-83
 509/58 03/2
 Kčs 48,— I



GRAFOVÉ ALGORITMY

Ján Plesník

Pomocou grafových štruktur možno jednoducho sformulovať mnohé úlohy z praxe. Takéto modely sú veľmi prehľadné a dostupné širokemu okruhu záujemcov. Prítom sú grafové štruktury exaktne matematické objekty skúmané v teórii grafov. Pre viaceré úlohy na grafových štruktúrach boli vypracované postupy — grafové algoritmy — umožňujúce ich aj prakticky vyriešiť. Pre záujemcov o grafy sú v knihe uvedené mnohé úlohy, ktoré sú však takéto, že nie sú v knihe ťažko vyriešiť.

Kniha podáva výsledky výskumov v uvedenej problematike. Študujú sa v knihe viaceré základné grafové pojmy a s nimi súvisiace úlohy, ako sú optimálne cestovanie, kostry, párenia, pochôdzky, planariita a izomorfizmus. Hlavný dôraz sa kladie na principy algoritmov a ich používania, čitateľ je však informovaný aj o výpočtovej zložitosti, a najmä o tzv. NP-ťažkých úlohách. Uvádzajú sa aj niektoré výsledky nealgoritmickej teórie, ktoré vedú čitateľa k samostatnej práci.

Publikácia je nenáročná na matematické znalosti čitateľa. Väčšina potrebných pojmov je v knihe vysvetlená a jej štúdium je uľahčené aj množstvom ilustrácií. Kniha je určená širokemu okruhu čitateľov: matematikom, technikom, ekonómom a poslucháčom pri- slušných vysokých škôl.